



Główny Inspektorat Ochrony Środowiska

**MONITORING CAŁKOWITEJ ZAWARTOŚCI OZONU
W ATMOSFERZE ORAZ NATEŻENIA PROMIENIOWANIA UV-B
NA STACJI BELSK W LATACH 2023-2025
RAPORT O STANIE WARSTWY OZONOWEJ W 2022 ROKU**



Praca wykonana na zlecenie Głównego Inspektoratu Ochrony Środowiska (umowa nr GIOŚ/31/2023/DMS/NFOŚiGW z dnia 20.02.2023) finansowana ze środków Narodowego Funduszu Ochrony Środowiska i Gospodarki Wodnej.

Opracowano w Instytucie Geofizyki Polskiej Akademii Nauk w Zakładzie Fizyki Atmosfery, pod kierownictwem dr hab. Janusza Jarosławskiego, prof. IFG.

Przy cytowaniu danych należy podawać źródło danych:
Państwowy Monitoring Środowiska, Inspekcja Ochrony Środowiska

Warszawa, 2023

Spis treści

WSTĘP	3
1. Całkowita zawartość ozonu i jego rozkład pionowy	6
1.1. Całkowita zawartość ozonu uzyskana z pomiaru spektrofotometrem Dobsona	6
1.2. Całkowita zawartość ozonu uzyskana z pomiaru spektrofotometrem Brewera	16
1.3. Rozkład pionowy ozonu metodą Umkehr	19
2. Zawartość dwutlenku siarki, ozonu dwutlenku azotu i tlenku węgla przy powierzchni Ziemi w Centralnym Obserwatorium Geofizycznym PAN Belsku w 2022 r.	31
2.1. Dwutlenek siarki	31
2.2. Ozon przyziemny i dwutlenek azotu	34
2.3. Tlenek Węgla	39
2.4. Pył zawieszony PM10	41
3. Nadfioletowe promieniowanie słoneczne UV-B	75
4. Zmiana zawartości ozonu w atmosferze nad Belskiem w 2022 r.	87
4.1. Całkowita zawartość ozonu w Belsku	87
4.2. Profil pionowy ozonu w Belsku	89
4.3. Ekstremalne wartości całkowitej zawartości ozonu w Belsku	92
4.4. Promieniowanie UVB w Belsku	95
4.5. Globalne zmiany całkowitej zawartości ozonu	98
4.6. Podsumowanie	108
4.7. Bibliografia	110
Załącznik 1. Wyniki pomiarów całkowitej zawartości ozonu zmierzonych spektrofotometrem Dobsona na stacji IGF PAN w Belsku 01.01.2022 - 31.12.2022	113
Załącznik 2. Wyniki pomiarów stężeń gazowych zanieczyszczeń powietrza na stacji IGF PAN w Belsku 01.01.2022 - 31.12.2022	193
Załącznik 3. Dane za rok 2022 całkowitej zawartości ozonu, rozkładu pionowego ozonu metodą Umkehr i promieniowania UV-B w Belsku	366

WSTĘP

Celem pracy jest:

- * śledzenie stanu warstwy ozonowej nad Polską, trendów i skali zjawiska na tle globalnego procesu zmian warstwy ozonowej w celu zapewnienia naukowej podstawy i obiektywnego uzasadnienia działań podejmowanych na rzecz ochrony warstwy ozonowej
- * zapewnienie podstaw do informowania społeczeństwa o skutkach zmian warstwy ozonowej objawiających się wzrostem natężenia biologicznie czynnego promieniowania UV-B w przypadku zmniejszenia zawartości ozonu w atmosferze
- * udział w międzynarodowej wymianie danych ozonowych, zgodnie z wymaganiami Konwencji Wiedeńskiej i Światowego Systemu Obserwacji Ozonu.

Wyniki tych prac stanowią naukową podstawę działań podejmowanych na rzecz ochrony warstwy ozonowej w ramach Protokołu Montrealskiego, którego Polska jest stroną.

W okresie od 1 stycznia 2022r. do 31 grudnia 2022r. zrealizowano wszystkie zadania zgodnie ze szczegółowym zakresem prac stanowiącym załącznik nr 1 do umowy nr GIOŚ/31//2023/DMS/NFOŚiGW z dnia 20.02.2023r.

W ramach poszczególnych zadań w 2022 roku w Centralnym Obserwatorium Geofizycznym Polskiej Akademii Nauk w Belsku wykonano:

1. Całkowita zawartość ozonu i jego rozkład pionowy.
 - 1.1 Pomiary całkowitej zawartości ozonu przy pomocy spektrofotometru Dobsona prowadzono systematycznie pięciokrotnie (w lecie) lub trzykrotnie (w zimie) w ciągu dnia, o ile nie uniemożliwiło tego wystąpienie opadu deszczu lub śniegu. Wartości średnie dzienne wyznaczono z pomiarów o największej dokładności, zgodnie z rekomendacją Międzynarodowej Komisji Ozonu (International Ozone Commission) Światowej Organizacji Meteorologicznej (WMO) (Załącznik 1).
 - 1.2 Pomiary całkowitej zawartości ozonu przy pomocy spektrofotometru Brewera prowadzono systematycznie o ile nie uniemożliwiło tego wystąpienie opadu deszczu lub śniegu. Wartości średnie dzienne uzyskiwane są z pomiarów, dla których rozrzut nie przekracza 2,5 D.
 - 1.3 Wykonano 223 serii pomiarowych przy pomocy spektrofotometru Brewera pozwalających wyznaczyć pionowy rozkład ozonu metodą Umkehr. Pomiary Umkehr wykonywane są w określonych warunkach pogodowych (bezchmurne

niebo). Wyniki pomiarów z serii Umkehr, po wstępnym opracowaniu w Belsku wysyłane są do Światowego Centrum Danych Ozonowych w Kanadzie, gdzie profile ozonu wyznaczane są dla całej sieci światowej tego rodzaju pomiarów.

Wyniki otrzymane z pomiarów są weryfikowane pod względem kompletności i spójności oraz przetwarzane do postaci umożliwiającej ich dalsze wykorzystywanie. Dodatkowo, po wykonaniu kalibracji spektrofotometrów dane historyczne są ponownie przeliczane, już z uwzględnieniem najnowszych współczynników kalibracyjnych. Dopiero tak przetworzone dane stanowią podstawę do interpretacji i analiz statystycznych. Zbiory danych powstałe w wyniku realizacji zadań są przechowywane na dysku twardym komputera zakładowego, a kopie zapasowe na nośnikach elektronicznych.

2. W Centralnym Obserwatorium Geofizycznym PAN w Belsku w 2022 roku kontynuowano rejestrację biologicznie czynnego ultrafioletowego promieniowania słonecznego, UV-B, rozpoczętą w roku 1975. Obecnie pomiary wykonywane są przy pomocy miernika UVS-AE-T firmy Kipp & Zonen (K&Z), w jednostkach [SED]. Jednostka SED jest proponowana przez *International Organization for Standardization* (ISO) w miejsce jednostki MED, Minimum Erythema Dose. Zgodnie ze standardem ISO 17166:1999 stosowanie jednostek SED pozwala na prowadzenie standaryzowanych pomiarów promieniowania UV, które nie są obciążone indywidualnymi cechami osobniczymi determinującymi wystąpienie rumienia.

Wyniki otrzymane z pomiarów są weryfikowane pod względem kompletności i spójności oraz przetwarzane do postaci umożliwiającej ich dalszą obróbkę. Dodatkowo, po wykonaniu kalibracji dane historyczne są ponownie przeliczane już z uwzględnieniem najnowszych współczynników kalibracyjnych. Dopiero tak przetworzone dane stanowią podstawę do interpretacji i analiz statystycznych. Zbiory danych powstałe w wyniku realizacji zadań są przechowywane na dysku twardym komputera zakładowego, a kopie zapasowe na nośnikach elektronicznych.

3. W 2022 roku wykonywano w Belsku pomiary i rejestrację stężenia ozonu, SO₂, CO, NO₂ i pyłu zawieszonego PM₁₀ w przyziemnej warstwie atmosfery. Pomiary te wykonywane są w sposób ciągły (24 godziny na dobę) analizatorami firmy Horiba, Thermo i Envea. Na podstawie uzyskiwanych wartości chwilowych obliczane są średnie 60 min. Na ich podstawie przeprowadzana jest dalsza analiza wyników: obliczane są dobowe wartości maksimum i minimum, średnia wartość dobową, średnie przebiegi dobowe oraz średnie miesięczne. Wyniki pomiarów przekazywano

na bieżąco do bazy danych CAS znajdującej się w oddziale CLB GIOŚ w Warszawie i przesyłane do Komisji Europejskiej trybie miesięcznym. Opracowano 1-godzinne wartości stężeń O₃, SO₂, CO, NO₂ i PM₁₀ (Załącznik 2).

Wyniki otrzymane z pomiarów są weryfikowane pod względem kompletności i spójności oraz przetwarzane do postaci umożliwiającej ich dalszą obróbkę. Dodatkowo, po wykonaniu kalibracji dane historyczne są ponownie przeliczane już z uwzględnieniem najnowszych współczynników kalibracyjnych. Dopiero tak przetworzone dane stanowią podstawę do interpretacji i analiz statystycznych. Wyposażenie pomiarowe i używana aparatura podlegała stałemu nadzorowi i obsłudze serwisowej.

4. Wyniki pomiarów całkowitej zawartości ozonu w atmosferze oraz natężenia promieniowania UV-B przekazywano do GIOŚ w trybie miesięcznym.
5. Wyniki pomiarów całkowitej zawartości ozonu i natężenia promieniowania UV-B za rok 2021 dla Głównego Urzędu Statystycznego przekazano do GIOŚ.
6. W przypadku spadku całkowitej zawartości ozonu o więcej niż 20% średniej wieloletniej zostałyby poinformowany GIOŚ.
7. Dane o całkowitej zawartości ozonu i jego rozkładzie pionowym przekazywano do Światowego Centrum Danych Ozonowych w Toronto, Kanada.
8. Średnie dzienne wartości całkowitej zawartości ozonu przekazywano do Laboratorium Fizyki Atmosfery Uniwersytetu w Salonikach, Grecja, oraz do Światowego Centrum Danych Ozonowych w Toronto, Kanada, gdzie sporządzane są aktualne mapy ozonu dla półkuli północnej
9. Opracowano końcowy raport o stanie warstwy ozonowej i natężenia promieniowania UV-B. Raport ten zawiera analizę danych i trendy w Polsce na tle zmian globalnych.

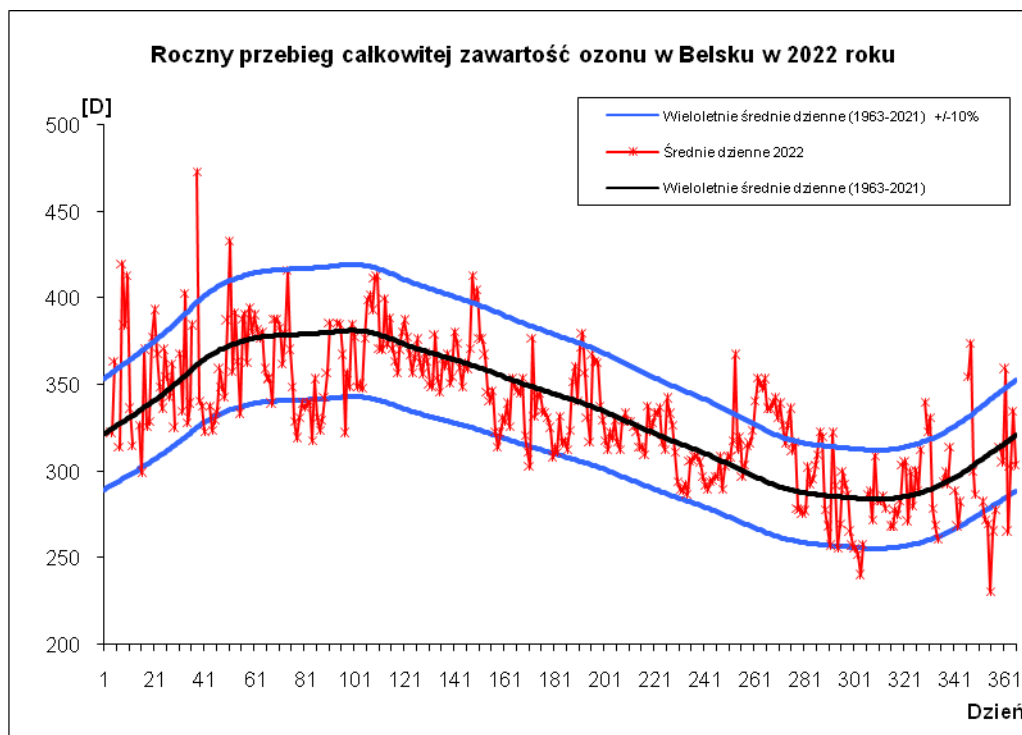
1. Całkowita zawartość ozonu i jego rozkład pionowy

1.1. Całkowita zawartość ozonu uzyskana z pomiaru spektrofotometrem Dobsona

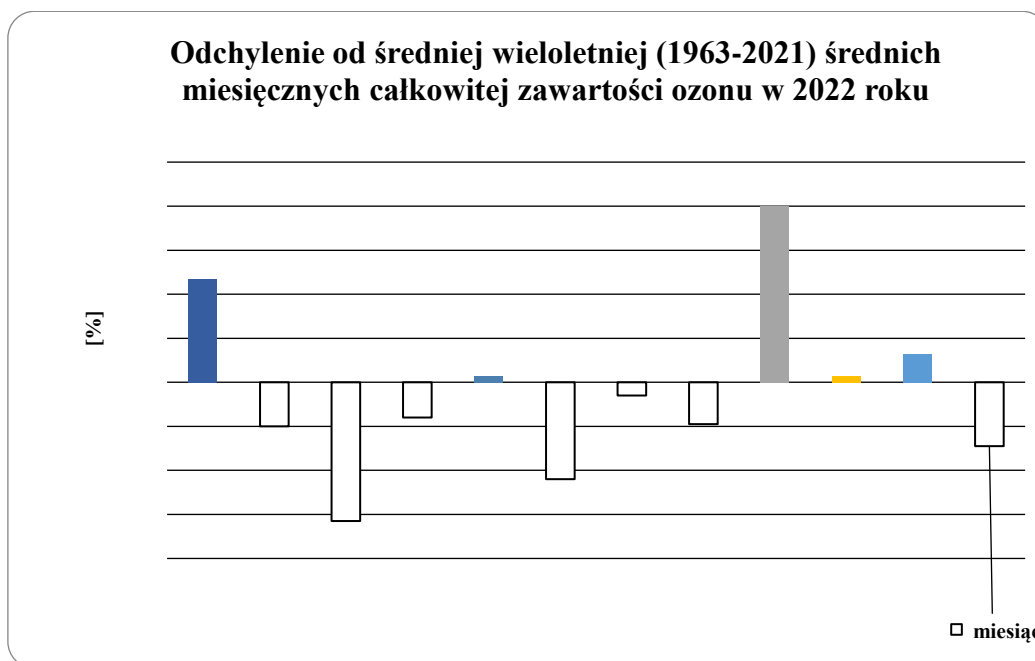
Bonawentura Rajewska-Więch, Janusz W. Krzyścin

Całkowita zawartość ozonu jest wielkością, od której w znacznej mierze zależy dopływ do powierzchni Ziemi słonecznego promieniowania ultrafioletowego UV-B. Miarą jej jest grubość warstwy ozonu w atmosferze po sprowadzeniu go do warunków standardowych ciśnienia i temperatury. Średnio w atmosferze znajduje się 8×10^{18} cząsteczek ozonu w słupie powietrza o podstawie 1 cm^2 , co jest równoważne warstwie tego gazu o grubości 0,3 cm. Jednostka całkowitej zawartości ozonu nazywana jest atmocentymetrem (atm-cm); całkowita zawartość ozonu wynosi 1 atm-cm, jeśli grubość warstwy ozonu w standardowych warunkach ciśnienia i temperatury wynosi 1 cm, a jej tysięczną część nazwano dobsonem (D).

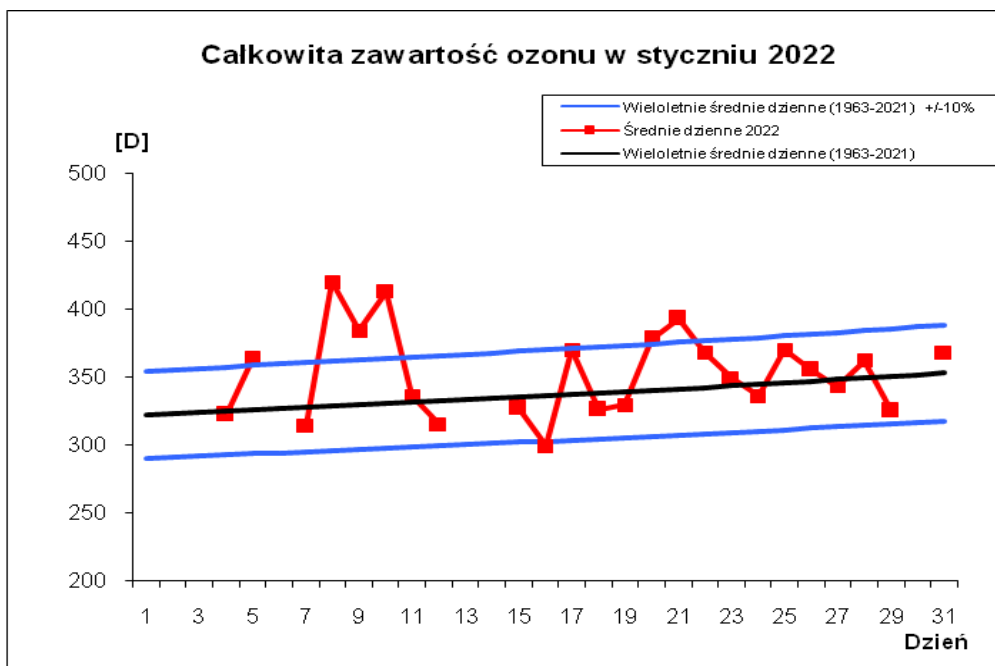
Analiza danych o całkowitej zawartości ozonu uzyskanych przy pomocy spektrofotometru Dobsona pozwala stwierdzić, że w 2022 roku średnie miesięczne wartości całkowitej zawartości ozonu w Belsku były wyższe od średniej wieloletniej z lat 1963-2021 w styczniu, maju, wrześniu, październiku i listopadzie. Ujemne odchylenia średniej miesięcznej całkowitej zawartości ozonu od średniej wieloletniej zaobserwowano w lutym 2,0%, marcu 6,3%, kwietniu 1,6%, czerwcu 4,4%, lipcu 0,6%, sierpniu 1,9% i grudniu 2,9%. Przebieg średnich dziennych całkowitej zawartości ozonu w 2022 roku, zmierzonych spektrofotometrem Dobsona, w odniesieniu do wieloletniej średniej dziennej (1963-2021) $\pm 10\%$ przedstawiono na Rys.1.1.1. Odchylenia procentowe średnich miesięcznych całkowitej zawartości ozonu od odpowiednich średnich wieloletnich przedstawia Tab.1.1.1 i Rys.1.1.1a.



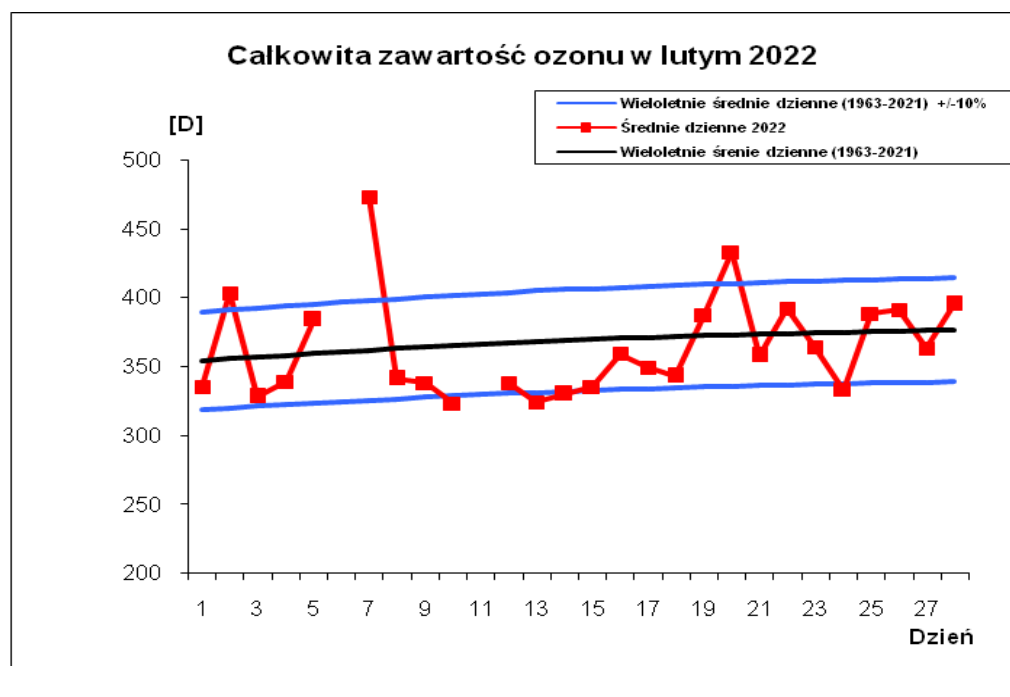
Rys. 1.1.1. Roczny przebieg średnich dziennych całkowitej zawartości ozonu, Belsk, 2022r.



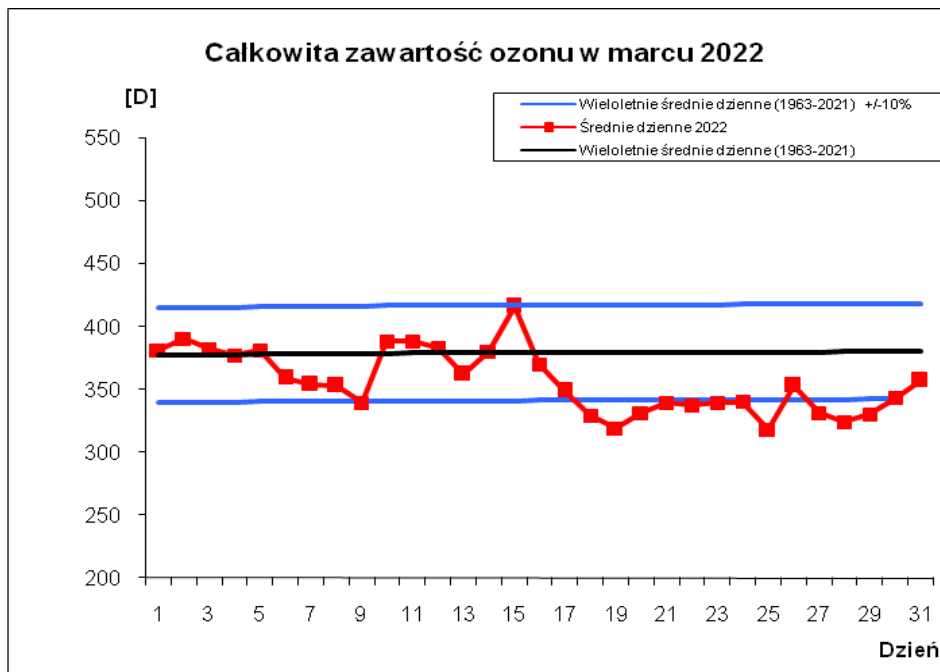
Rys.1.1.1.a. Odchylenie od średniej wieloletniej (1963-2021) średnich miesięcznych całkowitej zawartości ozonu w 2022 roku



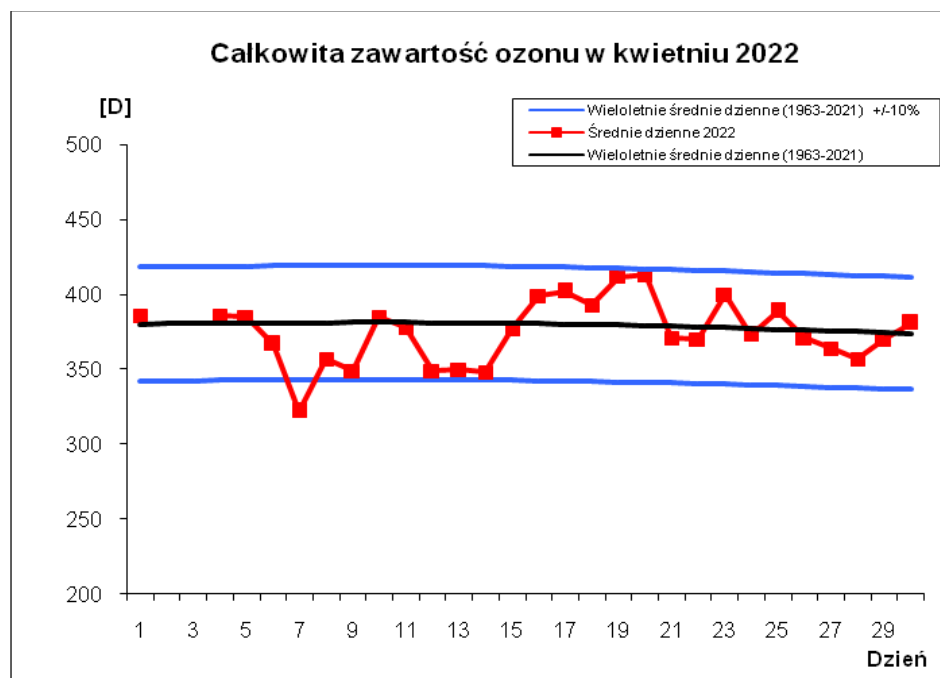
Rys. 1.1.2. Przebieg średnich dziennych całkowitej zawartości ozonu, styczeń 2022r.



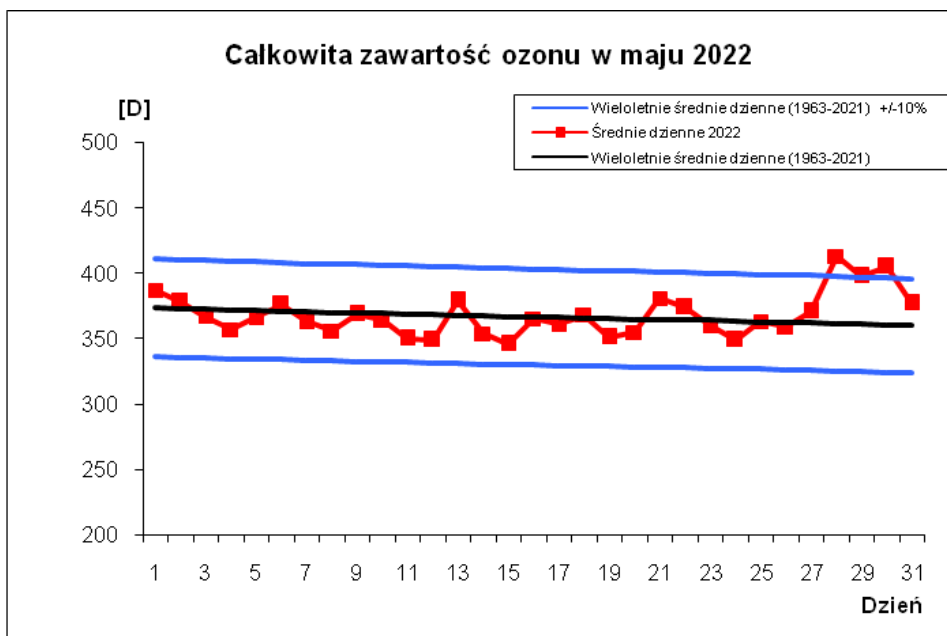
Rys. 1.1.3. Przebieg średnich dziennych całkowitej zawartości ozonu, luty 2022r.



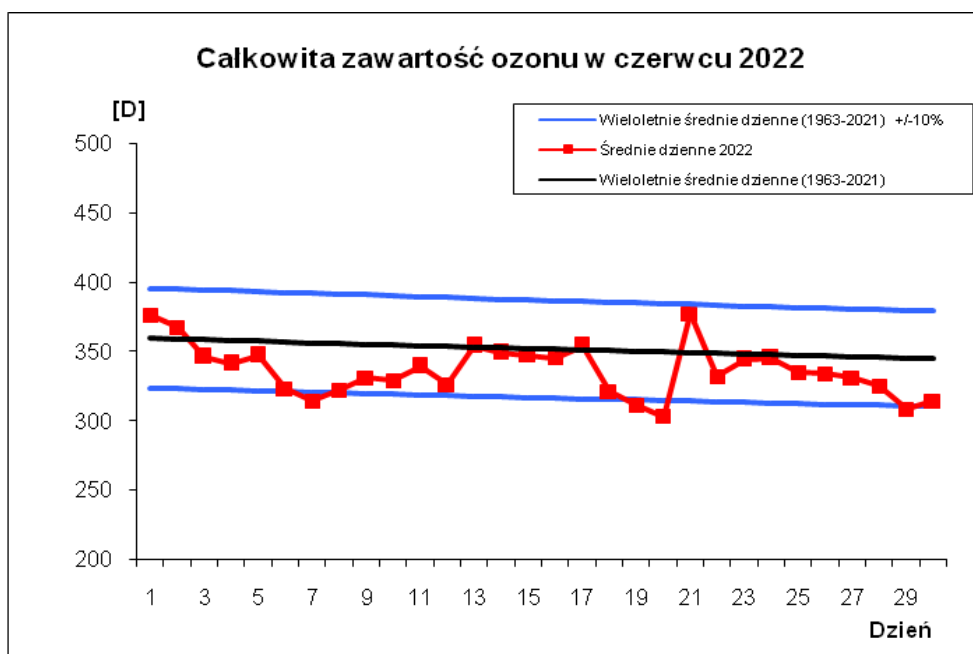
Rys.1.1.4. Przebieg średnich dziennych całkowitej zawartości ozonu, marzec 2022r.



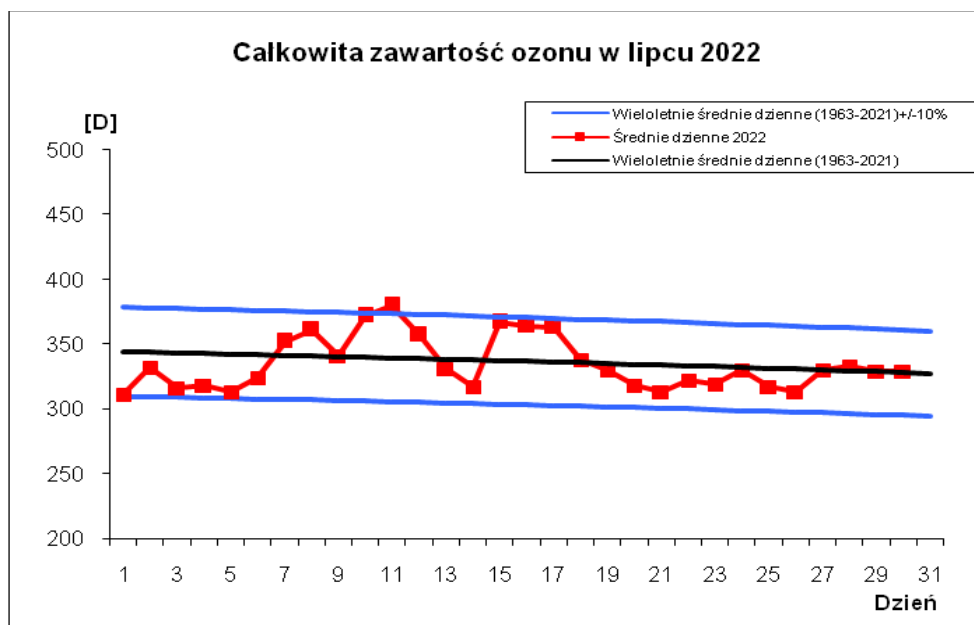
Rys.1.1.5. Przebieg średnich dziennych całkowitej zawartości ozonu, kwiecień 2022r.



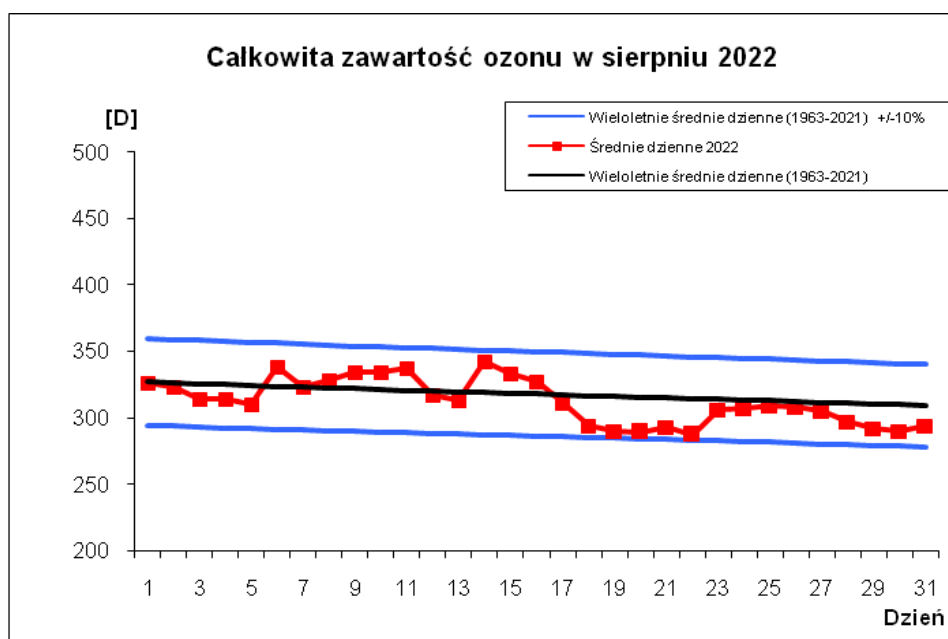
Rys.1.1.6. Przebieg średnich dziennych całkowitej zawartości ozonu, maj 2022r.



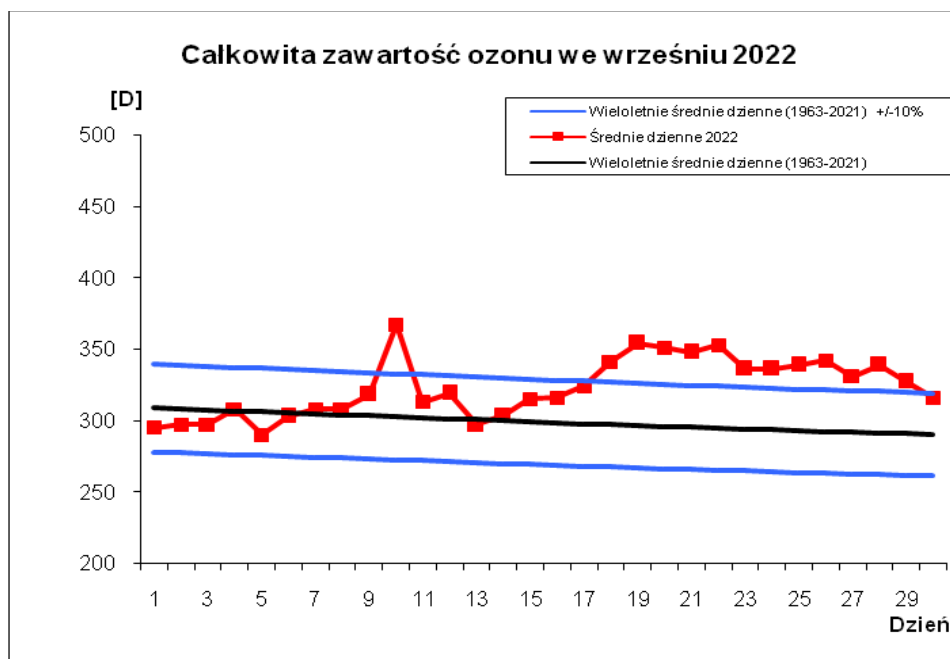
Rys.1.1.7. Przebieg średnich dziennych całkowitej zawartości ozonu, czerwiec 2022r.



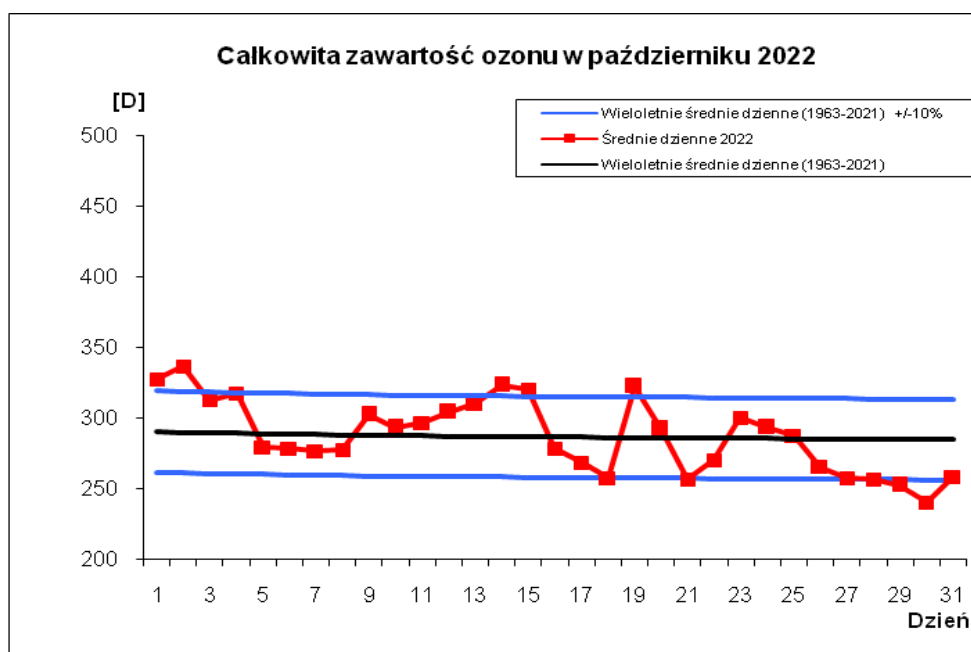
Rys.1.1.8. Przebieg średnich dziennych całkowitej zawartości ozonu, lipiec 2022r.



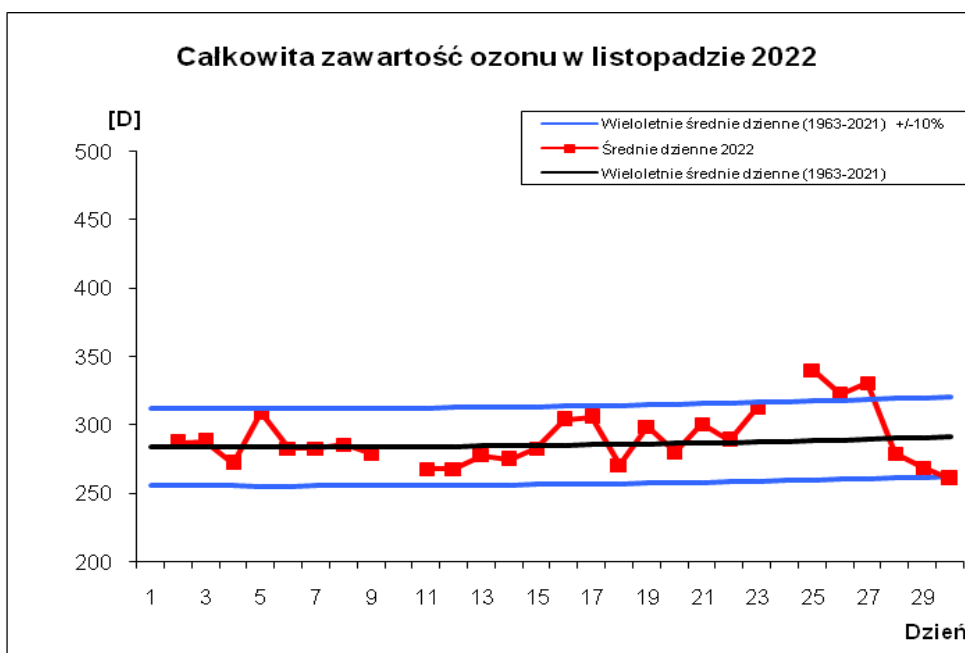
Rys.1.1.9. Przebieg średnich dziennych całkowitej zawartości ozonu, sierpień 2022r.



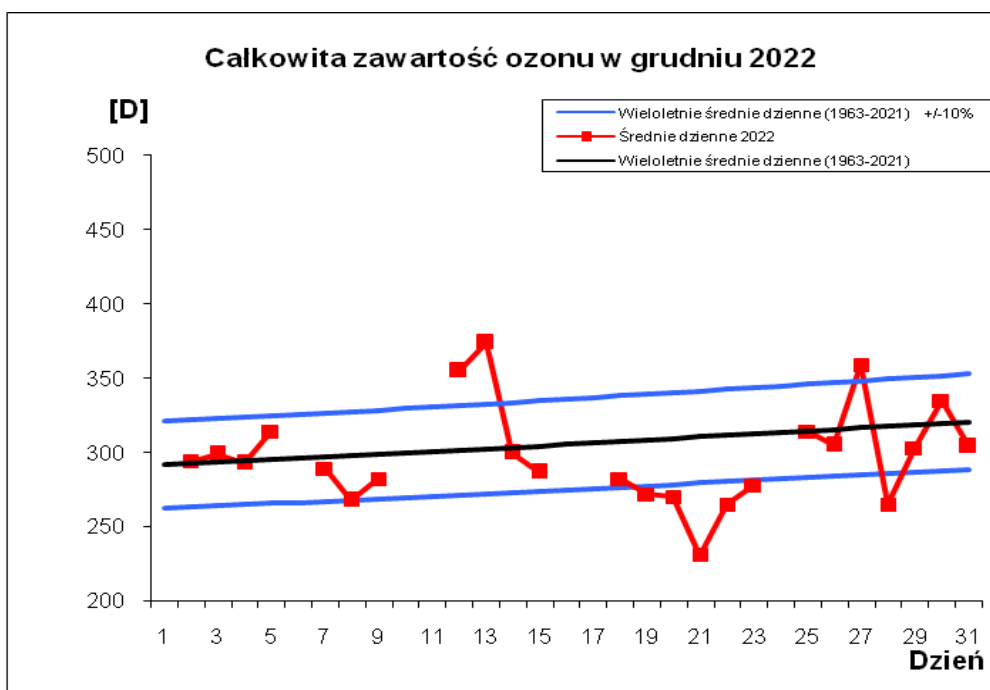
Rys.1.1.10. Przebieg średnich dziennych całkowitej zawartości ozonu, wrzesień 2022r.



Rys.1.1.11. Przebieg średnich dziennych całkowitej zawartości ozonu, październik 2022r.



Rys.1.1.12. Przebieg średnich dziennych całkowitej zawartości ozonu, listopad 2022r.



Rys.1.1.13. Przebieg średnich dziennych całkowitej zawartości ozonu, grudzień 2022r.

Tabela 1.1.1. Średnie miesięczne całkowitej zawartości ozonu [D] w 2022 roku i ich odstępstwa od średnich wieloletnich 1963-2021.

	I	II	III	IV	V	VI	VII	VIII	IX	X	XI	XII
Śr. wiel. 1963-2021	337	370	380	381	367	352	337	318	299	286	286	306
Śr. mieś. 2022	353	363	356	375	368	337	335	312	323	287	290	297
Różnica w %	4,7	-2,0	-6,3	-1,6	0,3	-4,4	-0,6	-1,9	8,0	0,3	1,3	-2,9

W miesiącach letnich 2022 roku, kiedy promieniowanie ultrafioletowe osiąga maksymalne natężenie, ze względu na dominującą zależność od wysokości Słońca, odchylenia średnich miesięcznych wartości ozonu w odniesieniu do średnich wieloletnich (1963-2021) wynosiły -4,4% w czerwcu, -0,6% w lipcu i -1,9% w sierpniu (Tabela 1.1.1).

Przebieg średnich wartości dziennych całkowitej zawartości ozonu w atmosferze w poszczególnych miesiącach przedstawia sekwencja rysunków (Rys.1.1.2 – Rys.1.1.13), gdzie czerwona linia – średnie dzienne całkowitej zawartości ozonu w 2022 roku, linia czarna – wieloletnia (1963-2021) średnia dzienna całkowitej zawartości ozonu, linia niebieska – odchylenie o $\pm 10\%$ od wieloletniej średniej dziennej. Jeśli odniesiemy te przebiegi do miesięcznych średnich wieloletnich, to widzimy, że największe niedobory całkowitej zawartości ozonu obserwowano w lutym, marcu, kwietniu, czerwcu, sierpniu i grudniu. W lutym (Rys.1.1.3), marcu (Rys.1.1.4), kwietniu (1.1.5), czerwcu (Rys.1.1.7), sierpniu (Rys.1.1.9) i grudniu (Rys.1.1.13) średnie dzienne wartości całkowitej zawartości ozonu z wyjątkiem odpowiednio dziewięciu, czterech, dziewięciu, czterech, siedmiu i czterech dni były poniżej średniej wieloletniej 1963-2021. W styczniu (Rys.1.1.2) i wrześniu (Rys.1.1.10) średnie dzienne całkowitej zawartości ozonu były odpowiednio przez dziewięć i cztery dni wyższe od średniej wieloletniej (1963-2021). W maju (Rys.1.1.6), lipcu (Rys.1.1.8), październiku (Rys.1.1.11) i w listopadzie (Rys.1.1.12) średnie dzienne całkowitej zawartości ozonu z wyjątkiem odpowiednio dziesięciu, ośmiu, czternastu i dziewięciu dni w każdym z nich były niższe od średniej wieloletniej 1963-2021. niedobory całkowitej zawartości ozonu w miesiącach letnich (maj, czerwiec, lipiec, sierpień) w stosunku do średniej wieloletniej mogą stanowić potencjalne zagrożenie wzmocnionym dopływem promieniowania ultrafioletowego. Spadki całkowitej zawartości

ozonu, przekraczające -10% średniej wieloletniej obserwowano w marcu, czerwcu i grudniu 2022 roku.

Przebieg zmienności z dnia na dzień całkowitej zawartości ozonu w Belsku w 2022 roku w odniesieniu do przebiegu średnich wieloletnich (1963-2021) i ich odchyłeń $\pm 10\%$ od średniej wieloletniej przedstawiono na Rys.1.1.1.

Stacja ozonu w Centralnym Obserwatorium Geofizycznym PAN w Belsku uczestniczy w programie sporządzania codziennych map całkowitej zawartości ozonu dla półkuli północnej przez Northern Hemisphere Ozone Mapping Centre w Laboratorium Fizyki Atmosfery Uniwersytetu w Salonikach, Grecja oraz w Światowym Centrum Danych Ozonowych w Toronto, Kanada. Program ten realizowany jest w ramach Systemu Globalnego Monitoringu Ozonu (GO₃OS), działającego pod egidą Światowej Organizacji Meteorologicznej (WMO). Dzięki temu mamy dostęp do aktualnych danych o całkowitej zawartości ozonu w ciągu całego roku, uzyskiwanych przez stacje pomiarowe biorące udział w tym eksperymencie.

W załączeniu (Załącznik 1) przedstawiono wyniki wszystkich pomiarów całkowitej zawartości ozonu wykonane za pomocą spektrofotometru Dobsona w Belsku od stycznia do grudnia 2022 roku.

1.2. Całkowita zawartość ozonu uzyskana z pomiaru spektrofotometrem Brewera Janusz Jarosławski, Bonawentura Rajewska-Więch

Przez cały 2022 rok wykonywano pomiary całkowitej zawartości ozonu przy pomocy spektrofotometru Brewera. Wartości średnie dzienne całkowitej zawartości ozonu uzyskiwane są z pomiarów, dla których rozrzut nie przekracza 2,5 D.

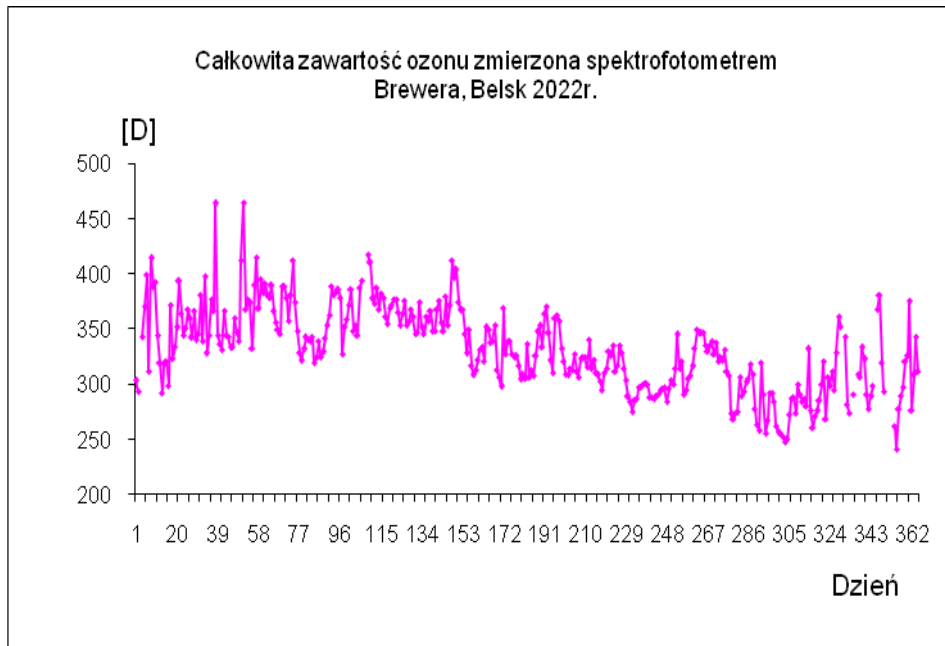
Metodę pozwalającą wyznaczyć całkowitą zawartość ozonu na podstawie pomiarów w świetle rozproszonym z zenitu opracowano w 1995 roku. Pozwoliło to na wykonywanie pomiarów również w okresie pochmurnej pogody, co ma istotne znaczenie szczególnie w okresie jesienno-zimowym ze względu na ograniczoną liczbę dni pogodnych. Wyniki pomiarów w postaci średnich dziennych całkowitej zawartości ozonu przedstawiono w Tabeli 1.2.1 i na Rys.1.2.1.

Zgodność danych o całkowitej zawartości ozonu uzyskanych ze spektrofotometru Brewera z danymi otrzymanymi przy pomocy spektrofotometru Dobsona może być oceniona jako dobra. Różnica średnich miesięcznych całkowitej zawartości ozonu uzyskanych za pomocą spektrofotometru Dobsona i Brewera mieści się w granicach około $\pm 2\%$ w ciągu całego roku. Należy dodać, że wyniki tych pomiarów różnią się między innymi dlatego, że spektrofotometr Brewera dostarcza danych, w których uwzględniony jest błąd wynikający z obecności w atmosferze zaburzającego absorbera, jakim jest dwutlenek siarki (SO₂). Mimo wymienionych różnic pomiarowych, średnie miesięczne całkowitej zawartości ozonu uzyskane przy pomocy obydwu przyrządów różnią się niewiele (Rys.1.2.2).

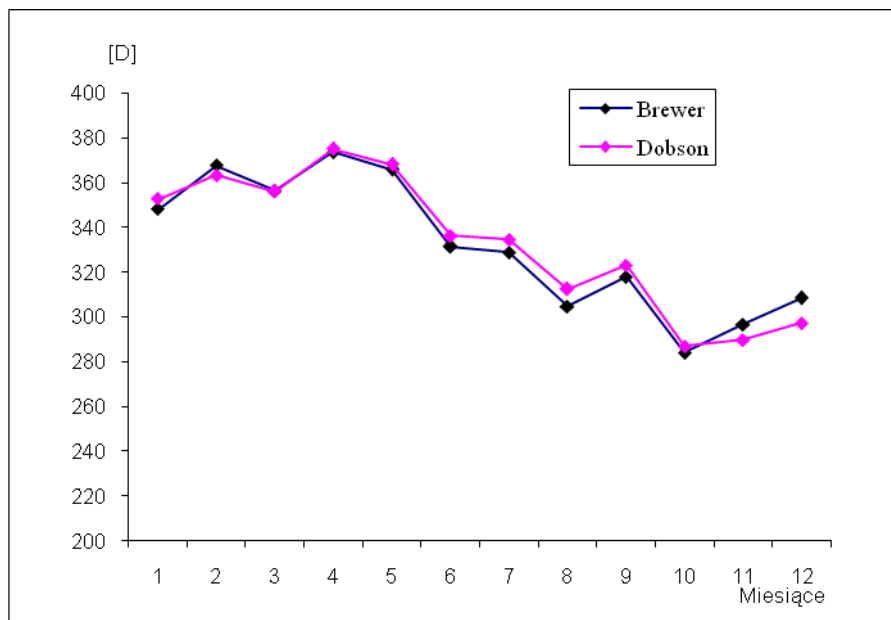
Jakkolwiek podstawowym przyrządem sieci pomiarów całkowitej zawartości ozonu nadal pozostaje spektrofotometr Dobsona, to jednak możliwość kontynuacji pomiarów i analiz porównawczych obu przyrządów jest niezwykle ważna, chociażby ze względu na zapewnienie ciągłości serii pomiarów.

Tabela 1.2.1. Średnie dzienne wartości całkowitej zawartości ozonu uzyskane z pomiaru spektrofotometrem Brewera w Belsku w 2022 roku.

	I	II	III	IV	V	VI	VII	VIII	IX	X	XI	XII
1	303,2	338,8	383,1	363,1	377,5	367,3	305,1	314,2	290,5	321,5	273	290,5
2	293,2	397,9	391,3	389,2	377,6	368,1	336,9	322,4	294,1	330,8	286,9	-
3	-	328,1	381,3	381,5	364,8	346,1	306,1	310	295,5	311,3	288,7	309,1
4	342,9	344	378,3	383,4	353,6	328,1	312,9	308,5	297,2	307,7	273,5	306,7
5	369,9	376,8	389,5	385,6	363,8	349,2	307,5	303	284,6	273,2	299,4	333,3
6	399,1	366,4	366	378,7	376	317,2	326,1	294,7	295,8	268,2	290,4	322,9
7	311,2	464,2	356,1	327,4	353,9	308,5	347,6	309,9	303,5	273,8	284,2	290,4
8	414,3	344,2	349,8	352,5	357,2	313,3	352,9	313,9	299,4	274,6	286,9	277,4
9	388,3	337,1	345,6	359	368,4	321,7	334,3	329,9	314,7	306,5	280,3	289,8
10	392,6	331,4	388,8	371,4	361,1	331,5	364	326,2	345	289,7	331,9	298,3
11	344,4	367,1	388,2	386	345,2	333,9	370,9	335,2	314	293,5	276,1	-
12	319,2	344,1	378,2	348,5	346,9	321,3	346,6	311,8	321,1	301,8	260,8	367,7
13	291,7	343,2	357,4	353,1	374,9	351,5	321,5	316,9	290,8	305,5	271,6	381,5
14	318,2	333,4	381	344,7	351,5	349,2	310,4	335,5	294,9	317,8	275,8	319,4
15	321	334,1	412,8	387,4	345,2	338	359,9	328,9	305	308,6	285,9	293,6
16	298,8	359,8	374,7	393,7	361,5	339,5	362,6	314,5	308	278	299,6	-
17	371,9	346,4	348,7	-	357,6	353,7	357,6	303,6	316,2	263,8	321,4	-
18	323,5	339,1	329	-	366,2	313,2	332,3	288,9	333,1	258,6	268,7	-
19	334,1	412,5	321,5	417,3	347,9	306,8	321,2	283,6	349,8	319,9	306,1	-
20	351,7	465,2	332	410,5	348,1	298	309,2	275,3	346,4	290,6	298,7	262,2
21	393,4	367,8	342,4	377,8	368	368,9	308,4	285,1	346,4	255,4	311,4	241,1
22	363,9	376,9	340,6	373,7	375,8	326,9	314,7	286,5	346,8	267,4	294,7	277,8
23	344,8	374	339,3	387,1	356,7	338,8	312,6	297,4	335,3	292,2	329,1	289,9
24	350,5	332,5	342,6	367,6	348,6	339,6	327,2	297,4	329,6	291,7	361	296,9
25	368,1	390,5	319,6	382,6	379,3	327,1	311,7	299,5	335,7	284,1	351,9	321,2
26	360	415	324,5	378,6	353,2	325	306,9	301,6	338,9	261,9	-	325,4
27	342,4	368,7	338,8	361,6	371,7	325,4	322,8	300,1	327	256,1	342,7	375,7
28	366,6	395,3	325,2	354,4	412,6	317,4	325	288,2	338,2	255,4	281,6	276,7
29	340,9		329,3	369	397,1	304,5	324,4	288,5	321,4	252,8	273,6	308,5
30	345,4		342,2	372,3	403,9	308,5	315,3	287,1	324,9	247,9	-	342,6
31	380,5		353,5		374,5		340,1	289,5		249,6		311,5



Rys.1.2.1. Przebieg średnich dziennych całkowitej zawartości ozonu zmierzonej spektrofotometrem Brewera, Belsk 2022



Rys.1.2.2. Przebieg średnich miesięcznych całkowitej zawartości ozonu zmierzonych spektrofotometrem Dobsona i Brewera, Belsk 2022

1.3. Rozkład pionowy ozonu metodą Umkehr

Bonawentura Rajewska-Więch, Janusz W. Krzyścin

Serie pomiarów wykonywanych w świetle rozproszonym pochodzącym z niezachmurzonego zenitu przy odległościach zenitalnych Słońca 60° – 90° umożliwiają wyznaczenie rozkładu pionowego ozonu tzw. metodą Umkehr. Wyniki pomiarów z tych serii, po wstępnym opracowaniu w Belsku, wysyłane są do Centrum Danych Ozonowych w Kanadzie, gdzie profile ozonu wyznaczane są z tego rodzaju obserwacji dla całej sieci światowej pomiarów spektrofotometrycznych. Ze względu na wymagania pogodowe (około 3,5 godzin bezchmurnej pogody) liczba serii pomiarów Umkehr zmienia się znacznie z roku na rok.

W 2022 roku wykonano 223 serii pomiarowych przy pomocy spektrofotometru Brewera pozwalających wyznaczyć pionowy rozkład ozonu metodą Umkehr.

W tabeli 1.3.1 przedstawiono wyniki pomiarów rozkładu pionowego ozonu (rano - A, po południu - P) w dziesięciu warstwach atmosfery o grubości 5 km. Do wyznaczenia rozkładu pionowego ozonu konieczna jest znajomość całkowitej zawartości ozonu.

Tabela 1.3.1 Zawartości ozonu w poszczególnych warstwach umkehrwskich

Data	Zawartość Ozonu w warstwach [D]										O ₃
	10	9	8	7	6	5	4	3	2	1	[D]
07.01.2022 P	1.35	2.52	6.48	17.22	34.53	58.33	75.95	58.33	30.45	25.00	309.0
09.01.2022 A	1.64	3.78	9.54	18.68	34.91	67.11	96.42	78.84	41.03	30.70	382.9
15.01.2022 A	1.35	2.50	6.19	17.21	39.19	59.30	64.74	58.78	38.60	32.21	320.8
17.01.2022 P	1.59	3.70	9.97	20.01	31.84	54.85	90.31	81.49	44.57	32.15	370.7
18.01.2022 A	1.60	3.59	8.70	18.00	38.29	59.78	58.98	55.68	40.61	35.30	322.5
23.01.2022 P	1.67	3.98	10.35	19.45	32.30	60.79	87.06	66.89	35.71	27.70	345.6
29.01.2022 A	1.98	5.13	12.55	19.36	27.81	62.97	100.02	65.28	28.09	21.27	343.0
12.02.2022 A	1.68	4.01	10.50	19.44	31.98	60.07	79.96	58.28	37.32	35.05	341.0
12.02.2022 P	1.39	2.99	9.37	24.53	41.71	59.91	79.58	63.55	35.26	25.33	341.9
13.02.2022 A	1.55	3.49	9.27	19.11	34.07	60.47	77.20	56.40	36.96	35.47	336.7
13.02.2022 P	1.56	3.61	10.10	21.31	35.77	60.09	81.73	63.92	37.13	28.62	343.3
14.02.2022 A	1.54	3.45	9.06	19.01	35.53	58.55	65.99	53.00	40.22	38.49	328.0
14.02.2022 P	1.43	3.22	10.28	24.27	36.57	56.41	85.09	64.79	32.10	21.80	333.3
15.02.2022 A	1.48	3.13	7.85	16.91	33.61	52.91	65.64	67.04	48.13	35.15	331.6
16.02.2022 A	1.79	4.51	12.01	21.45	30.64	54.48	95.48	81.35	42.68	27.20	369.9
18.02.2022 P	1.51	3.28	8.46	19.32	40.70	65.93	74.94	54.63	34.53	30.69	334.7
24.02.2022 A	1.51	3.28	8.46	19.32	40.70	65.93	74.94	54.63	34.53	30.69	334.7
28.02.2022 A	1.52	3.38	9.05	19.59	36.50	58.67	80.36	78.65	55.83	42.50	388.1
01.03.2022 A	1.39	3.11	10.40	25.32	35.49	50.64	88.11	80.90	47.21	31.03	372.4
01.03.2022 P	1.57	3.59	9.59	20.66	40.12	66.77	88.89	76.93	48.55	35.19	392.1
02.03.2022 A	1.94	5.02	13.20	23.06	36.19	64.50	90.24	73.72	46.26	36.55	392.6
02.03.2022 P	1.59	3.64	9.44	20.33	42.99	67.53	75.40	68.48	52.18	44.17	389.0
10.03.2022 A	1.51	3.48	10.57	24.97	44.41	72.39	91.35	63.87	35.85	27.73	375.1
10.03.2022 P	1.51	3.37	9.29	21.25	43.36	77.42	101.51	71.73	38.23	26.91	392.9
11.03.2022 A	1.39	2.99	9.40	24.76	42.62	58.65	80.91	75.24	49.59	35.35	380.6
11.03.2022 P	1.61	3.74	9.90	19.21	36.25	76.37	108.78	73.15	36.63	26.11	390.3
12.03.2022 A	1.32	2.56	6.97	18.24	38.91	66.35	77.55	62.40	51.80	51.58	383.3
12.03.2022 P	1.56	3.65	10.39	20.39	32.21	68.91	108.17	72.95	34.79	23.61	374.4

Data	Zawartość Ozonu w warstwach [D]										O ₃
	10	9	8	7	6	5	4	3	2	1	[D]
13.03.2022 A	1.42	3.11	9.38	22.16	35.76	54.27	77.88	65.49	42.12	33.36	345.0
13.03.2022 P	1.59	3.78	10.81	20.99	33.25	69.40	102.98	67.76	33.26	24.58	366.8
14.03.2022 A	1.36	2.82	8.37	22.24	42.09	62.84	80.40	66.72	43.88	34.38	365.2
14.03.2022 P	1.88	4.71	12.13	19.85	33.12	79.76	116.71	71.01	29.63	19.73	386.1
17.03.2022 A	1.49	3.38	9.99	23.50	41.47	58.67	66.69	54.48	41.03	37.92	340.3
17.03.2022 P	1.32	2.68	8.49	25.59	47.56	59.77	73.98	64.23	41.71	31.09	355.4
18.03.2022 A	1.36	2.92	9.72	26.99	45.45	53.90	59.27	52.81	38.65	31.99	322.6
18.03.2022 P	1.58	3.73	11.07	25.29	45.65	67.13	73.16	49.74	30.39	27.04	334.0
19.03.2022 A	1.48	3.42	11.02	25.76	39.68	54.95	67.36	51.34	32.81	28.15	315.2
19.03.2022 P	1.52	3.46	10.00	22.38	40.02	65.28	80.99	53.75	28.84	23.81	328.3
20.03.2022 A	1.35	2.83	9.05	23.76	39.65	55.73	71.90	56.76	34.99	27.69	322.3
20.03.2022 P	1.32	2.67	8.21	22.05	37.92	56.79	83.21	66.07	36.73	25.16	337.6
21.03.2022 A	1.35	2.77	8.33	22.17	40.01	52.63	63.38	58.80	44.08	36.84	330.8
21.03.2022 P	1.30	2.59	7.85	22.27	43.28	63.96	76.12	56.76	37.35	32.70	344.3
22.03.2022 A	1.43	3.12	9.32	22.71	40.28	56.68	70.03	57.75	37.74	30.18	328.4
22.03.2022 P	1.22	2.34	8.35	25.54	41.97	61.32	83.76	62.74	35.91	26.64	347.9
23.03.2022 A	1.41	3.05	9.09	22.41	40.66	57.32	65.73	53.80	39.00	34.49	327.3
23.03.2022 P	1.47	3.30	9.79	22.22	40.43	70.51	87.40	55.56	28.91	23.56	341.2
24.03.2022 A	1.36	2.88	9.00	23.93	43.17	56.80	63.88	56.30	42.29	35.96	335.9
24.03.2022 P	1.25	2.48	8.54	25.11	42.62	63.08	80.43	57.59	34.55	28.81	343.5
25.03.2022 A	1.59	3.71	10.47	22.81	43.56	62.55	61.28	45.20	34.00	33.07	318.8
25.03.2022 P	1.11	1.82	6.77	26.16	46.40	54.29	59.61	52.04	38.72	32.67	319.0
26.03.2022 A	1.43	3.21	10.26	24.78	37.97	46.41	60.52	60.52	43.52	31.95	319.2
27.03.2022 A	1.28	2.54	8.32	23.68	41.43	60.34	71.97	51.54	35.95	36.46	335.2
28.03.2022 A	1.49	3.34	9.49	20.33	37.36	61.70	66.78	43.91	32.08	35.02	313.0
28.03.2022 P	1.40	2.99	9.01	22.29	40.49	65.23	84.30	57.67	32.33	27.12	335.5
30.03.2022 A	1.30	2.64	8.42	22.38	36.89	52.36	70.65	60.08	42.37	37.01	334.8
03.04.2022 A	1.46	3.31	10.38	23.30	35.74	56.69	84.00	70.07	45.59	36.35	367.1

Data	Zawartość Ozonu w warstwach [D]										O ₃
	10	9	8	7	6	5	4	3	2	1	[D]
07.04.2022 A	1.35	2.69	7.04	15.73	36.54	61.36	64.50	52.44	42.68	40.21	325.6
10.04.2022 A	1.36	3.39	9.90	21.07	37.29	61.94	80.92	66.24	46.53	40.58	370.6
12.04.2022 A	1.37	2.80	9.66	26.48	44.11	61.95	78.08	59.27	37.47	31.00	351.1
12.04.2022 P	1.38	2.78	9.25	25.51	45.07	64.36	75.15	52.76	34.31	32.44	342.7
13.04.2022 A	1.39	3.55	10.60	23.11	43.38	71.89	79.95	51.26	31.65	30.92	347.9
14.04.2022 A	1.40	3.41	11.23	26.29	41.33	64.34	85.45	56.99	28.47	20.89	336.9
14.04.2022 P	1.41	2.92	8.78	22.39	48.02	73.41	73.42	49.56	35.84	37.25	354.2
24.04.2022 A	1.42	3.00	9.90	24.04	39.24	61.78	81.38	62.41	43.09	40.73	368.2
27.04.2022 A	1.43	2.64	8.99	23.92	37.65	54.83	80.92	67.89	44.29	35.71	357.3
28.04.2022 A	1.44	1.61	4.31	17.29	40.00	50.73	53.01	56.44	57.96	61.92	348.9
29.04.2022 P	1.45	2.31	7.47	22.29	41.14	57.74	78.77	69.05	49.10	42.18	374.3
30.04.2022 A	1.46	2.73	8.69	22.74	41.57	59.48	78.28	66.50	45.87	38.87	366.0
30.04.2022 P	1.47	3.26	10.81	24.70	36.89	55.96	80.02	66.55	47.19	44.35	372.9
01.05.2022 A	1.48	3.40	9.93	20.19	40.21	71.60	79.68	56.37	40.50	42.24	367.6
01.05.2022 P	1.49	3.01	9.58	23.10	41.06	65.15	88.10	70.49	45.52	37.20	384.3
02.05.2022 A	1.50	3.23	9.95	22.76	41.91	65.00	80.98	64.10	43.84	39.54	373.4
03.05.2022 A	1.51	2.98	10.06	25.24	43.03	64.95	81.45	61.28	39.74	35.03	364.7
03.05.2022 P	1.52	3.85	12.57	25.13	36.06	64.63	88.12	60.81	36.06	33.00	361.9
04.05.2022 P	1.53	3.13	10.50	26.41	44.80	64.67	83.07	60.98	35.38	27.84	356.3
05.05.2022 P	1.54	2.58	8.73	25.79	48.63	63.62	74.61	60.32	42.41	38.49	366.5
06.05.2022 P	1.55	3.06	9.46	21.13	39.76	69.69	86.12	62.78	41.64	39.30	376.9
09.05.2022 A	1.56	2.61	8.16	21.12	43.85	66.33	71.06	55.24	42.67	43.92	357.6
09.05.2022 P	1.57	3.36	10.42	23.27	45.72	77.17	83.46	51.96	33.02	36.23	36.2
10.05.2022 A	1.58	2.93	10.36	26.73	45.29	69.86	83.39	56.12	34.03	31.88	361.3
10.05.2022 P	1.59	2.65	9.23	25.58	43.70	66.37	89.24	61.52	32.84	25.11	354.9
11.05.2022 P	1.60	2.63	8.11	21.50	51.20	79.46	69.76	39.43	29.12	39.09	343.6
12.05.2022 A	1.61	3.52	11.91	28.62	55.38	88.17	82.55	37.14	14.89	17.62	339.1
12.05.2022 P	1.46	3.32	10.39	23.31	35.75	56.70	84.01	70.08	45.60	36.36	367.1

Data	Zawartość Ozonu w warstwach [D]										O ₃
	10	9	8	7	6	5	4	3	2	1	[D]
13.05.2022 A	1.50	3.32	9.79	19.91	41.58	73.94	78.95	53.04	37.46	42.25	363.8
15.05.2022 A	1.31	2.74	9.43	25.46	44.93	63.88	75.70	54.61	35.00	33.23	345.6
15.05.2022 P	1.47	3.29	10.81	25.16	43.54	66.66	80.84	56.52	33.60	30.04	344.7
16.05.2022 A	1.33	2.76	8.82	22.14	48.69	81.74	72.91	37.19	28.48	45.88	354.3
17.05.2022 P	1.39	3.02	10.11	23.80	41.34	75.17	92.99	55.53	28.75	27.06	358.0
18.05.2022 A	1.21	2.40	9.02	26.86	44.16	62.52	79.04	61.39	41.97	39.78	368.5
18.05.2022 P	1.35	2.87	9.72	25.82	46.97	68.55	83.86	58.70	33.80	28.22	357.9
19.05.2022 A	1.29	2.67	9.35	25.87	45.12	66.47	81.16	54.06	30.94	28.77	344.3
19.05.2022 P	1.09	1.77	6.16	22.92	43.26	59.44	68.22	53.04	40.77	45.54	344.1
20.05.2022 P	1.46	3.26	10.48	22.69	40.78	73.02	83.51	50.88	29.42	31.23	346.1
24.05.2022 A	1.26	2.59	9.71	27.54	43.37	59.76	82.24	62.78	34.83	23.00	342.9
29.05.2022 A	1.26	2.48	7.80	19.72	42.02	71.08	83.89	67.68	50.42	52.86	401.7
30.05.2022 P	1.27	2.55	8.49	23.08	46.43	67.97	77.20	65.37	51.38	55.89	402.8
31.05.2022 A	1.38	3.06	11.42	28.91	41.05	60.18	91.44	70.75	40.31	30.07	376.1
31.05.2022 P	1.39	2.97	9.73	23.71	39.67	55.87	90.15	79.96	45.82	26.77	371.2
01.06.2022 P	1.39	2.96	9.44	21.74	43.88	70.99	75.41	53.40	37.77	42.71	361.1
02.06.2022 P	1.17	2.19	8.09	25.45	43.02	59.40	77.71	63.90	45.64	46.93	374.8
03.06.2022 A	1.27	2.53	8.68	24.20	43.61	57.12	68.61	56.76	39.94	39.73	342.3
03.06.2022 P	1.22	2.41	9.11	26.04	41.37	59.27	73.95	55.55	37.17	38.15	344.1
05.06.2022 P	1.34	2.80	9.23	22.92	42.14	61.13	68.09	49.05	33.60	38.17	329.0
06.06.2022 A	1.21	2.37	8.96	27.71	47.42	60.83	67.66	46.42	27.91	27.79	316.5
11.06.2022 P	1.31	2.70	9.25	25.15	46.25	61.02	67.63	49.89	33.49	37.22	334.0
12.06.2022 A	1.20	2.26	7.89	24.57	47.40	59.53	58.30	42.17	31.09	38.60	313.5
12.06.2022 P	1.34	2.74	8.74	20.71	41.03	63.55	66.71	45.91	31.38	37.54	322.1
15.06.2022 P	1.21	2.39	9.53	27.76	42.09	64.79	88.11	60.48	31.67	24.01	348.3
16.06.2022 A	1.09	1.83	6.87	26.47	48.12	55.86	70.08	58.58	37.19	31.09	333.9
17.06.2022 A	1.23	2.43	9.27	26.46	39.86	57.15	80.13	62.13	39.12	38.88	356.2
18.06.2022 A	1.31	2.72	9.89	26.84	44.35	60.22	72.03	50.00	27.08	21.64	312.1

Data	Zawartość Ozonu w warstwach [D]										O ₃
	10	9	8	7	6	5	4	3	2	1	[D]
18.06.2022 P	1.32	2.70	9.06	24.23	46.94	62.88	64.40	44.22	27.88	30.46	312.7
19.06.2022 A	1.39	2.94	9.47	21.93	41.68	62.88	64.96	41.57	25.59	31.08	303.0
20.06.2022 P	1.07	1.74	6.62	26.08	49.02	57.35	55.44	40.72	29.85	37.64	305.7
21.06.2022 A	1.13	1.99	7.51	25.91	46.12	56.21	60.29	46.83	33.37	39.33	318.7
22.06.2022 P	1.29	2.59	8.48	22.16	43.46	60.87	65.92	50.60	36.34	44.59	337.7
23.06.2022 A	1.04	1.72	7.69	30.35	46.67	53.02	69.60	58.77	38.44	36.70	342.4
24.06.2022 A	1.23	2.42	8.86	27.15	48.04	59.85	69.53	52.86	32.89	32.44	333.5
25.06.2022 P	1.17	2.15	7.46	24.58	50.23	63.82	65.52	49.37	34.61	41.05	340.3
26.06.2022 A	1.19	2.27	8.47	26.45	46.81	59.92	64.14	46.93	32.16	39.46	328.2
27.06.2022 P	1.27	2.50	8.16	22.10	47.10	68.39	65.24	41.43	27.39	36.52	320.5
28.06.2022 A	1.31	2.63	8.47	22.68	50.27	67.49	61.34	42.06	29.47	38.27	324.4
29.06.2022 P	1.22	2.40	9.03	26.82	45.85	61.58	66.69	46.49	30.15	35.99	326.0
30.06.2022 A	1.25	2.45	8.58	24.56	47.10	63.28	61.11	42.44	30.41	41.33	323.7
01.07.2022 P	1.30	2.62	8.76	24.07	49.54	65.14	60.42	41.37	28.81	38.09	320.7
02.07.2022 A	1.28	2.58	8.84	23.90	44.83	61.44	61.54	41.79	28.61	39.14	315.0
03.07.2022 P	1.08	1.83	7.31	27.28	48.71	59.51	56.21	37.64	26.36	36.71	303.1
04.07.2022 A	1.25	2.47	8.74	25.82	49.00	59.96	54.12	36.79	25.97	36.27	300.7
05.07.2022 A	1.42	3.09	10.61	26.32	45.43	59.95	59.92	38.54	24.06	33.78	303.6
06.07.2022 A	1.22	2.33	7.86	23.10	46.15	61.57	57.82	38.74	27.45	40.60	308.2
07.07.2022 A	1.34	2.78	9.35	23.78	44.99	68.16	65.74	36.85	21.22	34.43	309.9
08.07.2022 A	1.30	2.60	8.74	23.04	42.31	63.27	72.82	53.21	35.09	49.52	354.7
09.07.2022 P	1.23	2.39	8.92	26.58	43.82	62.34	80.14	57.84	32.24	34.49	348.5
10.07.2022 A	1.22	2.33	8.06	23.91	44.08	61.13	71.46	52.67	30.83	34.07	328.0
11.07.2022 P	1.15	2.10	8.15	26.05	42.98	59.15	66.93	47.03	28.46	36.97	318.8
12.07.2022 A	1.25	2.41	8.13	23.97	46.99	58.86	57.07	41.33	27.29	39.17	307.2
13.07.2022 P	1.39	2.92	9.35	23.05	46.83	65.54	59.32	38.28	24.33	35.90	309.1
14.07.2022 A	1.30	2.60	8.54	22.90	46.23	64.98	59.11	36.83	23.30	36.77	303.5
15.07.2022 P	1.25	2.43	8.42	24.73	47.50	62.28	58.56	38.72	24.94	38.23	308.0

Data	Zawartość Ozonu w warstwach [D]										O ₃
	10	9	8	7	6	5	4	3	2	1	[D]
22.07.2022 A	1.27	2.51	8.64	24.57	45.25	60.01	61.56	42.04	25.50	35.62	307.1
23.07.2022 A	1.32	2.66	8.42	22.00	47.34	66.37	58.42	37.25	24.62	40.49	310.7
24.07.2022 A	1.23	2.49	10.07	29.59	42.22	51.21	66.45	52.39	31.09	37.74	324.1
24.07.2022 P	1.37	2.88	9.60	24.28	43.56	63.23	69.63	46.95	26.64	34.55	322.3
25.07.2022 A	1.29	2.61	8.94	25.21	46.94	62.19	63.54	43.08	25.07	33.08	311.1
25.07.2022 P	1.41	2.99	9.14	20.68	44.22	70.59	63.16	36.09	21.12	34.06	307.6
28.07.2022 A	1.22	2.31	7.82	24.03	48.83	65.12	63.71	44.54	27.66	39.67	325.5
29.07.2022 A	1.32	2.67	8.42	21.09	43.14	67.64	67.45	43.61	26.62	41.92	325.7
03.08.2022 A	1.52	3.41	10.55	22.80	48.14	78.72	61.63	29.61	17.23	35.12	310.7
03.08.2022 P	1.19	2.26	8.59	27.12	45.82	58.35	60.36	41.57	24.61	36.96	307.3
04.08.2022 A	1.31	2.64	8.59	23.11	45.87	63.63	58.31	37.29	22.66	37.26	301.7
04.08.2022 P	1.29	2.58	8.62	24.11	46.60	62.99	61.29	41.43	24.54	36.95	310.8
05.08.2022 A	1.31	2.62	8.34	23.05	48.65	64.60	54.04	33.61	21.34	38.14	297.3
05.08.2022 P	1.25	2.44	8.49	25.77	48.39	60.48	57.20	38.70	23.19	36.26	302.7
07.08.2022 A	1.24	2.36	7.76	22.62	43.84	57.96	53.18	36.23	23.51	41.33	292.1
07.08.2022 P	1.33	2.73	9.25	24.55	43.40	62.00	67.53	45.22	24.38	33.97	314.0
08.08.2022 P	1.33	2.77	9.79	26.25	42.82	58.82	69.85	50.24	27.09	35.34	323.6
10.08.2022 A	1.23	2.43	9.53	27.88	41.34	54.84	68.86	51.46	28.61	39.80	326.5
11.08.2022 A	1.26	2.46	8.67	25.00	42.68	57.20	64.64	48.70	28.94	44.15	325.5
17.08.2022 A	1.09	1.89	8.41	31.45	48.19	49.01	53.48	43.78	26.07	39.77	304.0
17.08.2022 P	1.50	3.49	11.96	27.37	41.67	64.07	68.43	38.19	17.04	26.09	299.2
18.08.2022 A	1.31	2.71	9.52	26.99	45.98	55.28	51.78	34.93	20.24	35.31	285.1
18.08.2022 P	1.39	2.94	9.53	24.37	44.92	61.54	59.16	37.55	19.75	31.19	292.1
19.08.2022 P	1.44	3.08	9.33	21.74	41.68	60.03	54.59	33.98	19.33	35.08	281.5
20.08.2022 P	1.36	2.84	9.32	23.94	39.24	49.41	56.56	42.94	22.79	31.72	279.1
21.08.2022 A	1.65	3.78	10.40	20.92	47.81	72.45	54.18	28.93	15.68	27.74	282.6
25.08.2022 P	1.17	2.12	8.15	27.37	47.25	55.96	52.88	38.67	23.25	41.57	300.7
26.08.2022 A	1.29	2.61	9.06	26.17	45.14	53.58	50.93	38.05	23.15	42.27	295.0

Data	Zawartość Ozonu w warstwach [D]										O ₃
	10	9	8	7	6	5	4	3	2	1	[D]
27.08.2022 A	1.18	2.21	8.74	28.70	43.36	44.55	51.56	44.37	25.43	40.25	291.7
27.08.2022 P	1.49	3.30	10.06	23.28	40.99	53.86	56.18	44.02	25.78	43.70	305.2
28.08.2022 A	1.39	2.94	9.37	23.67	40.78	51.29	50.46	37.96	22.92	42.30	285.9
29.08.2022 P	1.40	2.95	9.05	21.35	38.56	57.32	55.14	36.56	21.06	39.85	285.7
01.09.2022 A	1.48	3.29	10.31	23.13	35.28	49.25	60.35	44.54	22.35	34.68	285.2
03.09.2022 A	1.34	2.72	8.66	23.75	44.13	55.50	54.17	40.24	22.01	36.25	289'4
03.09.2022 P	1.38	2.98	10.14	25.97	38.95	50.07	67.95	52.72	23.98	29.13	301.0
04.09.2022 A	1.33	2.65	8.03	21.68	42.58	55.73	52.41	38.85	22.62	41.45	289.9
05.09.2022 A	1.59	3.65	10.68	22.86	39.13	54.61	57.46	40.12	20.06	32.58	283.2
05.09.2022 P	1.57	3.55	10.17	21.74	41.19	62.19	59.17	37.08	18.15	30.06	284.7
06.09.2022 A	1.39	2.89	8.80	23.23	43.69	51.46	48.71	39.79	23.48	41.66	287.5
06.09.2022 P	1.47	3.33	10.99	25.89	39.89	56.34	65.21	43.93	20.36	31.48	299.0
07.09.2022 A	1.44	3.19	10.38	25.15	39.08	51.71	63.44	48.54	23.70	34.74	301.3
07.09.2022 P	1.36	2.84	9.13	23.91	41.02	53.47	61.19	47.98	24.62	37.38	303.5
08.09.2022 A	1.38	2.94	9.67	25.00	42.59	56.11	58.53	42.60	22.21	36.89	299.1
13.09.2022 A	1.44	3.18	10.17	24.97	41.63	57.77	62.23	40.50	17.81	26.37	284.8
17.09.2022 A	1.44	3.17	10.14	24.77	41.06	58.24	67.51	49.06	23.13	35.68	315.1
23.09.2022 A	1.48	3.35	10.69	26.08	44.37	66.22	78.30	53.11	21.99	29.33	333.8
23.09.2022 P	1.57	3.56	10.30	23.81	46.24	70.85	73.59	47.75	20.96	32.10	331.3
24.09.2022 A	1.42	2.93	8.20	19.21	36.83	62.97	77.42	53.84	23.99	37.61	326.5
26.09.2022 A	1.50	3.38	10.33	23.21	38.58	64.25	79.46	55.52	24.42	36.36	338.5
05.10.2022 P	1.63	3.89	11.67	26.84	48.49	64.70	52.33	28.72	12.95	23.07	269..9
07.10.2022 A	1.53	3.51	10.78	25.56	43.19	55.56	53.76	36.47	16.62	25.74	272.0
07.10.2022 P	1.70	4.10	11.51	23.15	40.21	62.20	59.10	34.78	15.26	25.55	277.5
10.10.2022 A	1.41	3.13	10.66	27.40	41.60	47.77	59.05	50.96	22.78	28.09	291.3
12.10.2022 A	1.52	3.35	9.38	21.20	38.28	55.07	62.06	48.95	23.46	34.92	299.9
13.10.2022 A	1.44	3.19	10.33	25.72	41.97	56.98	65.00	47.30	20.67	28.64	301.0
13.10.2022 P	1.64	3.83	10.56	22.41	42.58	67.38	64.75	39.73	17.88	29.37	308.0

Data	Zawartość Ozonu w warstwach [D]										O ₃
	10	9	8	7	6	5	4	3	2	1	[D]
17.10.2022 A	1.56	3.54	10.04	22.52	41.73	60.55	52.17	29.72	14.07	25.38	261.8
17.10.2022 P	1.69	3.90	9.60	18.92	44.67	72.15	43.59	16.86	11.79	32.88	260.7
18.10.2022 A	1.76	4.21	10.66	20.32	41.17	66.81	51.97	24.68	11.13	20.95	252.7
20.10.2022 A	1.60	3.59	9.42	19.71	37.67	58.08	61.74	45.47	21.33	30.77	290.3
24.10.2022 P	1.29	2.52	8.50	27.38	50.06	50.09	43.83	42.31	24.12	36.16	289.0
26.10.2022 P	1.57	3.53	9.48	19.87	35.17	52.66	53.97	37.48	18.36	29.09	262.7
27.10.2022 A	1.56	3.45	9.23	20.87	39.53	50.11	45.31	37.97	20.14	27.60	255.3
27.10.2022 P	1.58	3.56	9.47	19.38	33.18	48.39	50.73	37.22	18.72	29.01	252.5
28.10.2022 A	1.58	3.55	9.53	20.72	36.63	45.12	45.34	41.89	21.86	28.32	254.2
02.11.2022 P	1.46	3.14	9.08	21.40	37.52	54.09	60.58	46.36	22.05	28.94	285.1
03.11.2022 A	1.49	3.29	9.48	22.01	37.82	52.96	63.29	50.89	22.74	25.55	288.0
03.11.2022 P	1.50	3.13	7.57	16.36	36.27	55.80	50.15	43.31	26.67	40.66	286.1
06.11.2022 A	1.54	3.49	10.08	22.91	39.71	56.45	64.77	50.82	22.43	23.29	292.7
06.11.2022 P	1.52	3.31	8.85	20.25	39.88	59.33	59.80	43.73	20.87	26.39	283.6
08.11.2022 A	1.50	3.35	9.70	21.98	38.78	61.95	69.34	45.34	18.66	21.34	289.8
08.11.2022 P	1.67	3.89	9.79	18.49	35.94	67.50	67.97	37.98	16.44	23.65	283.3
09.11.2022 A	1.42	2.86	7.69	19.95	43.64	62.31	49.96	35.31	21.28	33.43	281.2
09.11.2022 P	1.62	3.70	9.54	20.02	44.85	77.60	56.16	22.25	12.06	26.40	277.1
15.11.2022 P	1.76	4.19	10.21	18.42	36.35	68.24	65.85	37.30	17.30	24.15	283.9
20.11.2022 A	1.58	3.50	8.69	17.79	34.48	53.80	60.05	53.07	29.04	33.73	297.8
20.11.2022 P	1.57	3.54	9.45	19.49	34.55	58.05	68.40	50.26	23.93	27.07	296.4
21.11.2022 A	1.69	3.89	9.12	15.93	30.56	60.48	72.18	53.99	26.94	31.46	308.0
08.12.2022 A	1.68	3.88	9.30	16.26	28.45	54.94	69.25	47.99	22.67	23.41	277.1
08.12.2022 P	1.24	2.05	5.89	19.90	39.21	49.27	54.95	50.42	27.66	26.81	276.9
09.12.2022 P	1.80	4.31	10.05	16.45	29.19	60.06	71.58	47.00	22.56	24.11	286.9
14.12.2022 P	1.59	3.57	9.01	18.26	33.28	55.19	71.73	59.99	30.62	27.57	310.6
28.12.2022 A	1.50	3.20	8.25	17.77	31.37	46.78	56.03	50.06	31.08	29.45	276.2

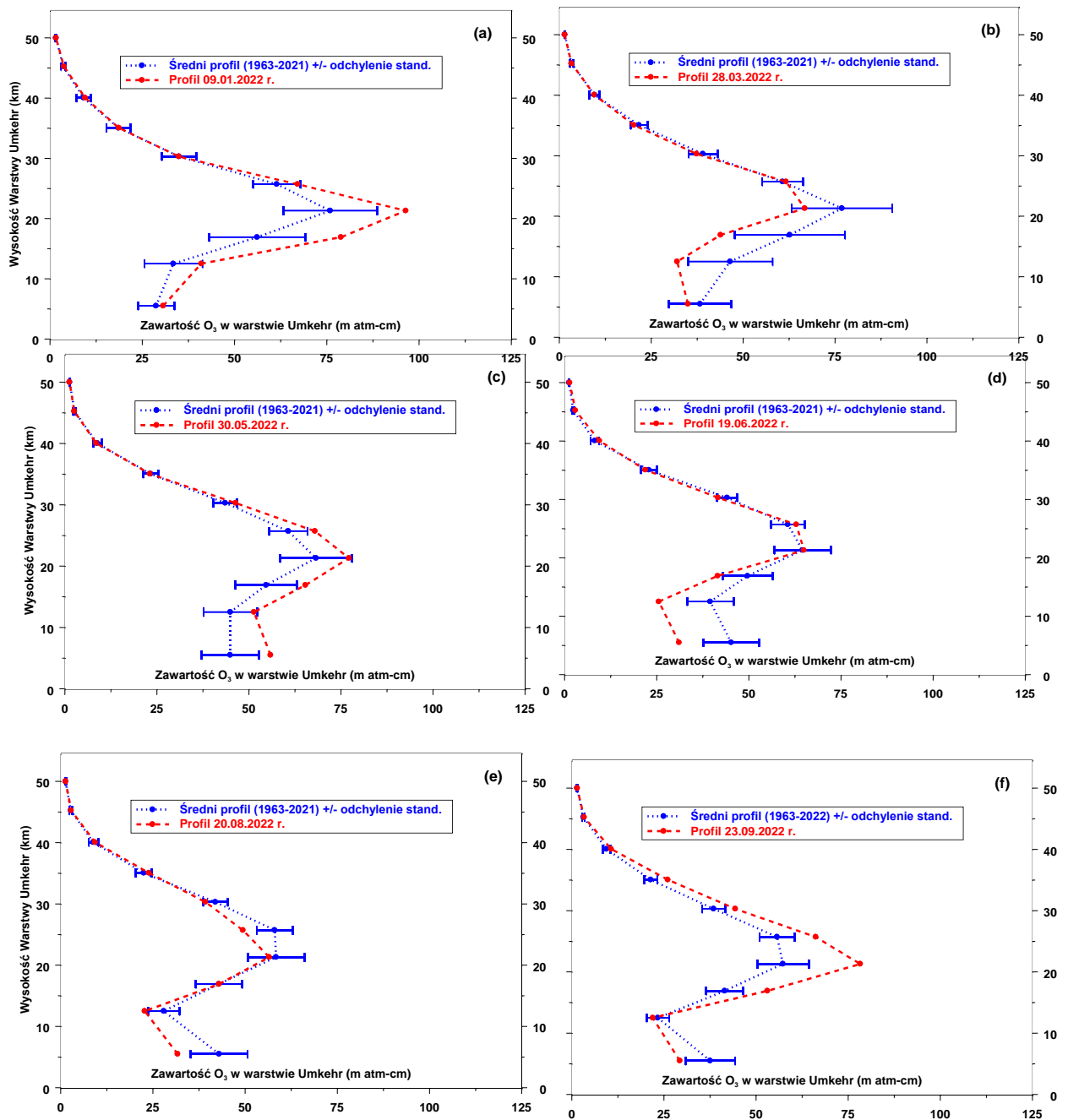
W Tabeli 1.3.2 przedstawiono średnie miesięczne zawartości ozonu w poszczególnych warstwach umkehrowskich, gdzie AVE – średnia arytmetyczna, SD – odchylenie standardowe, n – Ilość obserwacji Umkehr w miesiącu, O_3 – średnia całkowitej zawartości ozonu z dni kiedy wykonywano pomiar Umkehr.

Na Rys.1.3 przedstawiono interesujące przykłady zmian zawartości ozonu w poszczególnych umkehrowskich warstwach atmosfery. Jak widać zmiany te w odniesieniu do średniej wieloletniej 1963-2021 (linia niebieska) są najbardziej spektakularne w dolnej stratosferze i w troposferze. Niestety, w metodzie Umkehr zawartości ozonu wyznaczone w najniższych warstwach są najmniej wiarygodne. Na Rys.1.3 można zauważyć znacznie większą zmienność średnich zawartości ozonu w dolnej stratosferze w okresie zimowo-wiosennym w porównaniu do lata. Ponadto profile ozonu w poszczególnych dniach mogą znacznie odbiegać od średnich wieloletnich, zarówno co do wartości w poszczególnych warstwach jak i wysokości wystąpienia maksimum ozonu.

Należy dodać, że zmiany profilu ozonu przy ustalonej całkowitej zawartości ozonu są jednym z czynników wpływających na wielkość natężenia promieniowania UV-B docierającego do powierzchni Ziemi. Dane ozonowe ze stacji dysponującymi długimi, ciągłymi i wiarygodnymi seriami pomiarowymi są szczególnie cenione w analizach statystycznych, mających na celu poznanie zmian zawartości ozonu na różnych wysokościach w atmosferze. W Europie są tylko trzy stacje wykonujące spektrofotometryczne pomiary rozkładu pionowego ozonu metodą Umkehr, w których tego typu pomiary wykonywane są ponad dwadzieścia lat. Należy do nich Belsk z ponad 50-letnią zrewaloryzowaną serią pomiarową. Wyniki pomiarów rozkładu pionowego ozonu metodą Umkehr w Belsku są szeroko stosowane w najpoważniejszych analizach statystycznych i metodycznych.

Tabela 1.3.2 Średnie miesięczne zawartości ozonu w poszczególnych warstwach umkehrwskich w 2022 roku

Miesiąc	Średnia zawartość ozonu w warstwie [D]											O ₃ [D]	
	2022	10	9	8	7	6	5	4	3	2	1		n
I	AVE	1,60	3,60	9,11	18,6	34,1	60,5	81,9	66,5	37,0	29,2	7	342,1
	SD	0,21	0,90	2,23	1,1	3,9	3,8	15,8	10,2	6,0	4,8		27,2
II	AVE	1,54	3,48	9,49	20,4	36,2	59,4	78,3	63,3	39,5	31,9	11	343,9
	SD	0,11	0,43	1,67	2,3	3,6	4,0	3,4	9,5	7,0	6,1		18,4
III	AVE	1,44	3,17	9,47	22,9	40,3	62,0	79,2	61,3	38,8	31,5	37	349,6
	SD	0,16	0,61	1,29	2,1	3,7	7,7	14,6	9,1	6,3	6,2		26,1
IV	AVE	1,41	2,89	9,07	22,7	40,9	61,5	76,1	59,8	41,9	38,2	14	356,0
	SD	0,04	0,51	1,82	3,2	3,5	6,3	8,6	7,0	8,1	9,5		14,7
V	AVE	1,44	2,91	9,64	24,2	44,0	68,4	81,4	57,8	37,0	35,5	30	351,5
	SD	0,14	0,41	1,25	2,5	3,8	7,0	6,2	9,3	7,4	8,6		16,1
VI	AVE	1,24	2,42	8,57	25,0	45,4	61,1	68,0	49,9	33,1	36,4	26	331,0
	SD	0,09	0,34	0,83	2,3	2,9	4,0	7,0	6,9	4,8	5,9		17,3
VII	AVE	1,28	2,55	8,73	24,3	45,7	62,6	63,3	42,8	26,8	37,4	23	316,5
	SD	0,08	0,28	0,74	2,0	2,2	4,0	6,2	6,2	3,4	3,6		14,1
VIII	AVE	1,33	2,73	9,21	25,0	44,3	58,7	58,0	39,7	22,9	37,2	24	300,0
	SD	0,13	0,45	0,91	2,6	4,3	7,4	6,1	5,9	3,5	4,7		13,8
IX	AVE	1,45	3,15	9,81	23,8	41,0	57,5	63,9	45,7	22,1	34,3	17	303,2
	SD	0,08	0,30	0,90	1,8	2,8	6,0	9,1	5,9	2,0	4,3		18,9
X	AVE	1,57	3,55	10,01	22,6	41,0	57,1	54,0	37,5	18,2	28,5	16	274,9
	SD	0,01	0,41	0,88	3,0	4,4	8,0	7,9	9,1	4,2	4,0		19,1
XI	AVE	1,56	3,48	9,18	19,6	37,7	60,7	62,2	43,9	21,6	28,2	13	288,7
	SD	0,98	0,36	0,81	2,2	3,8	7,0	7,0	8,9	4,7	5,4		8,3
XII	AVE	1,56	3,40	8,50	17,7	32,3	53,2	64,7	55,1	26,9	26,3	5	285,5
	SD	0,21	0,86	1,59	1,5	4,3	5,3	8,5	5,2	4,1	2,5		14,7



Rys.1.3. Pionowy profil O₃ dla wybranych dni w 2022 r, wyznaczony z pomiarów Umkehr spektrofotometrem Brewera z zastosowaniem algorytmu obliczeniowego *UMK04*,

2. Zawartość dwutlenku siarki, ozonu dwutlenku azotu i tlenku węgla przy powierzchni Ziemi w Centralnym Obserwatorium Geofizycznym PAN Belsku w 2022 r.

Janusz Jarosławski

2.1. Dwutlenek siarki

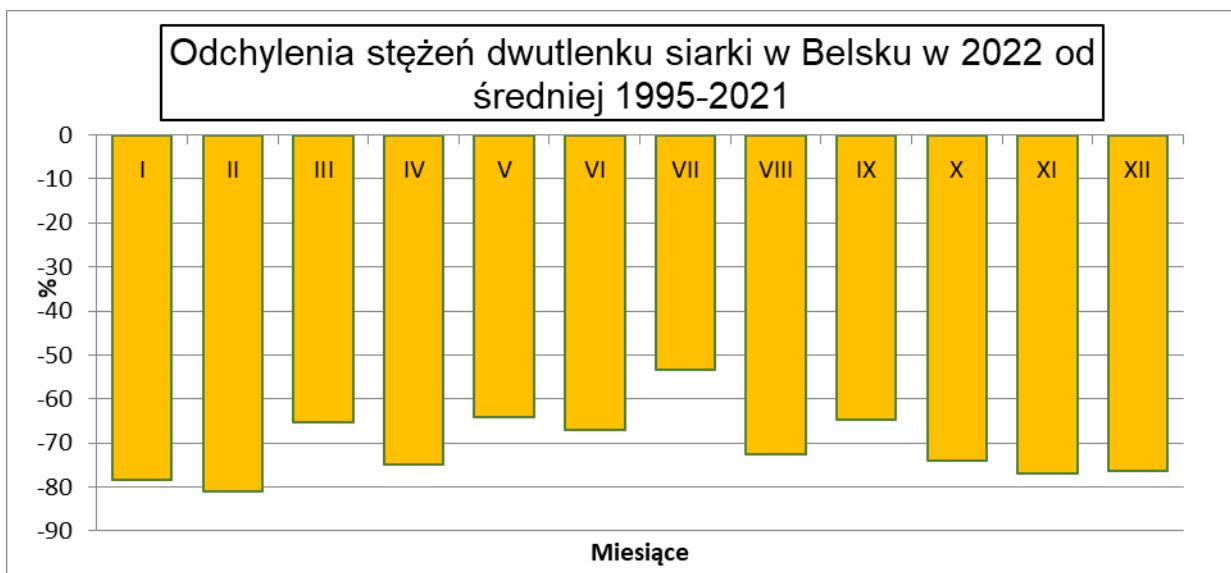
Rok 2022 był kolejnym rokiem systematycznych pomiarów stężeń dwutlenku siarki na stacji w Belsku. Pomiar wykonywany był analizatorem firmy Horiba APSA 370 działającym w oparciu o zjawisko fluorescencji SO₂ w promieniowaniu UV. Wyniki ciągłych pomiarów w postaci średnich 60-min obejmują okres od stycznia do grudnia.



Rys.2.1.1. Przebieg roczny stężenia SO₂ przy powierzchni ziemi, Belsk 2021 i 2022

Przebieg roczny średnich miesięcznych stężeń SO₂ charakteryzował się występowaniem bardzo niskich stężeń w okresie całego roku, ze średnimi miesięcznymi oscylującymi pomiędzy 1,0 a 2,6 µg/m³ (Rys. 2.1.1.). Maksymalne średnie miesięczne stężenie SO₂ w roku 2022 zostało zmierzone w marcu (2,6 µg/m³) i było niższe od maksymalnego średniego miesięcznego stężenia SO₂ zmierzonego w roku 2021 o 1,2 µg/m³ (w lutym). W roku 2022 średnie miesięczne stężenia SO₂ były niższe od średnich wieloletnich zmierzonych w okresie 1995-2021 od około 80% w miesiącach zimowych do około 70% - 60% w pozostałych miesiącach (Rys. 2.1.2). Najniższe średniomiesięczne stężenie SO₂ w ciągu roku zmierzono w sierpniu (średnia miesięczna – 1,0 µg/m³). Było ono wyższe o 0,2 µg/m³ od najniższej wartości średniomiesięcznej stężeń SO₂ zmierzonej

w maju w roku 2021 i było to jedno z najniższych średniomiesięcznych stężeń SO_2 w całej dotychczasowej historii pomiarów tego zanieczyszczenia (od 1995). W roku 2022 kolejny raz obserwowano dalsze zmniejszenie amplitudy przebiegu sezonowego SO_2 ze szczególnie niskimi stężeniami od marca do września, przy również bardzo niskich stężeniach w pozostałych miesiącach roku.



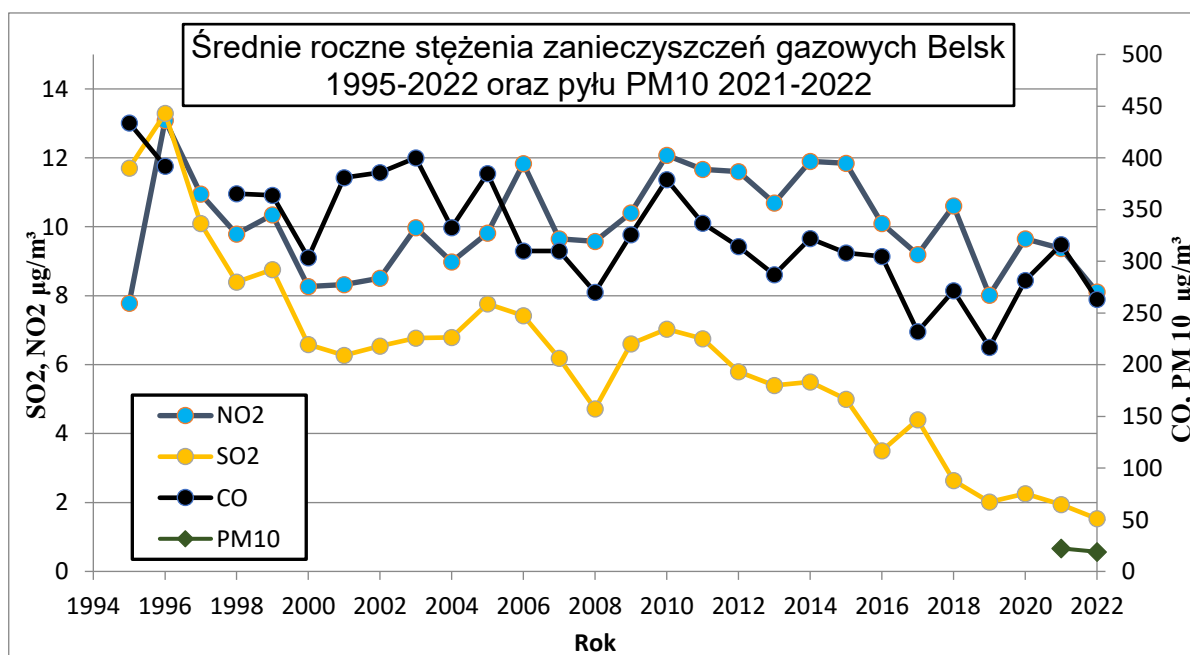
Rys.2.1.2 Odchylenia średnich miesięcznych stężeń SO_2 w 2022 roku od średniej a lat 1995 - 2021 w Belsku

Duże względne odchylenia procentowe od wartości średnich spowodowane są bardzo niskimi wartościami bezwzględnymi stężenia SO_2 – niewielkie zmiany wartości stężeń powodują duże zmiany procentowe względnych odchyleń. Amplituda roczna zmian poziomów stężeń SO_2 pomiędzy zimą a latem była mniejsza niż w ostatnich latach wynosiła około $1,6 \mu\text{g}/\text{m}^3$. Średnia roczna wartość stężenia SO_2 w roku 2022 była niższa o $0,4 \mu\text{g}/\text{m}^3$ od zmierzonej w roku 2021 i była najniższa w całej serii pomiarowej z lat 1995-2021; wynosiła $1,53 \mu\text{g}/\text{m}^3$ (Rys. 2.1.3). Średnie roczne stężenia SO_2 od roku 1995 przedstawia Tabela 2.1.1.

Tabela 2.1.1 Średnie roczne koncentracje SO₂ w przyziemnej warstwie atmosfery w Belsku (µg/m³).

Rok	1995	1996	1997	1998	1999	2000	2001	2002	2003	2004	2005	2006	2007	2008
SO ₂	11,7	13,6	10,1	8,4	8,8	6,6	6,3	6,5	6,8	6,8	7,8	7,4	6,2	4,7
Rok	2009	2010	2011	2012	2013	2014	2015	2016	2017	2018	2019	2020	2021	2022
SO ₂	6,6	7,0	6,8	5,8	5,4	5,5	5,0	3,5	4,4	2,4	2,0	2,3	1,94	1,53

Przebieg średniorocznych stężeń SO₂ od roku 1995 przedstawia Rys.2.1.3. Maksymalne wartości chwilowe (śr. 60-min) stężeń dwutlenku siarki w poszczególnych miesiącach roku 2022 charakteryzowały się jeszcze mniejszą zmiennością, niż w latach poprzednich oraz znacznie mniejszymi wartościami maksymalnymi w ciągu całego roku od analogicznych wartości mierzonych poprzednich latach. Najwyższe chwilowe stężenie SO₂ zmierzone w roku 2021 wyniosło 21 µg/m³ (nietypowo w sierpniu) i było o 26 µg/m³ niższe niż maksymalne stężenie SO₂ zmierzone w roku 2021. Wartości chwilowe (średnie 60-min) stężeń SO₂ przedstawiają rysunki dołączone na końcu raportu. Wartości średnich miesięcznych wraz z wartościami maksymalnymi SO₂ przedstawia Tabela 2.1.2.



Rys.2.1.3. Średnie roczne stężenia zanieczyszczeń gazowych CO, SO₂ i NO₂ 1995-2022 oraz pyłu zawieszonego PM10 2021-2022 w Belsku.

Tabela 2.1.2 Średnie miesięczne i wartości maksymalne koncentracji SO₂ w przyziemnej warstwie atmosfery w Belsku w roku 2022 (µg/m³).

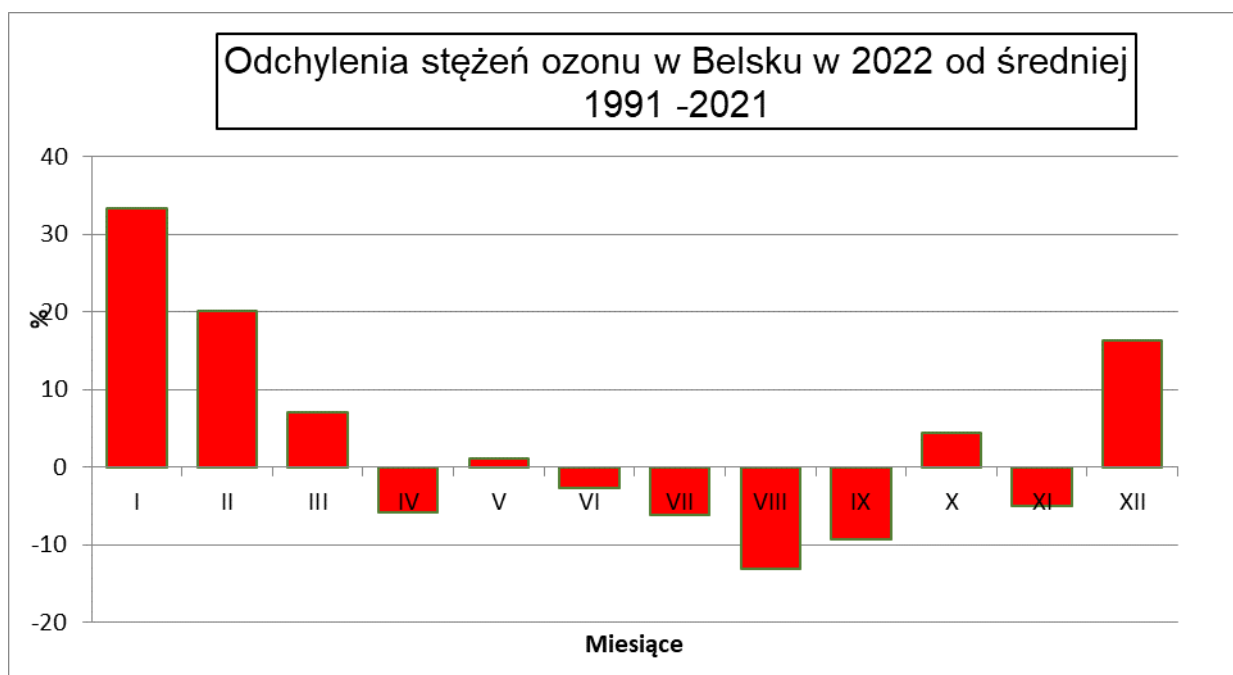
	I	II	III	IV	V	VI	VII	VIII	IX	X	XI	XII
Śr.	2,5	1,9	2,6	1,4	1,4	1,2	1,5	1,0	1,4	1,4	1,5	2,1
max.	20	7	17	11	14	6	7	21	18	15	8	12

2.2. Ozon przyziemny i dwutlenek azotu

Rok 2022 był kolejnym rokiem pomiarów koncentracji ozonu oraz dwutlenku azotu na stacji w Belsku. Pomiary wykonywane były analizatorami firmy Thermo 49i (ozon) oraz firmy Horiba model APNA 370 (tlenki azotu). Analizator ozonu był w ciągu roku wzorcowany przy pomocy kalibratora posiadającego atest zgodności z czeskim krajowym wzorcem referencyjnym zgodnym z NIST znajdującym się w Pradze (Czechy). Wyniki pomiarów koncentracji ozonu pozwalają stwierdzić, że w roku 2022 przebieg cyklu rocznego ozonu był bardzo zbliżony do średniego przebiegu rocznego z ostatnich kilkunastu lat. Maksimum roczne średnich miesięcznych wystąpiło w maju (średnia miesięczna wartość stężenia ozonu 75,7 µg/m³). Było o 4,7 µg/m³ wyższe od maksimum z roku 2021. Odchylenia średnich miesięcznych stężeń ozonu od wartości średnich z okresu 1991-2021 były dodatnie dla sześciu miesięcy (występowały głównie w zimie – w styczniu do +33%) i ujemne w pozostałym okresie, najbardziej w sierpniu (-13%). Przebieg roczny stężenia ozonu w przyziemnej warstwie atmosfery (średnie miesięczne) dla ostatnich dwóch lat przedstawia Rys. 2.2.1, a odchylenia od średnich miesięcznych z lat 1991-2021 przedstawia Rys. 2.2.2.

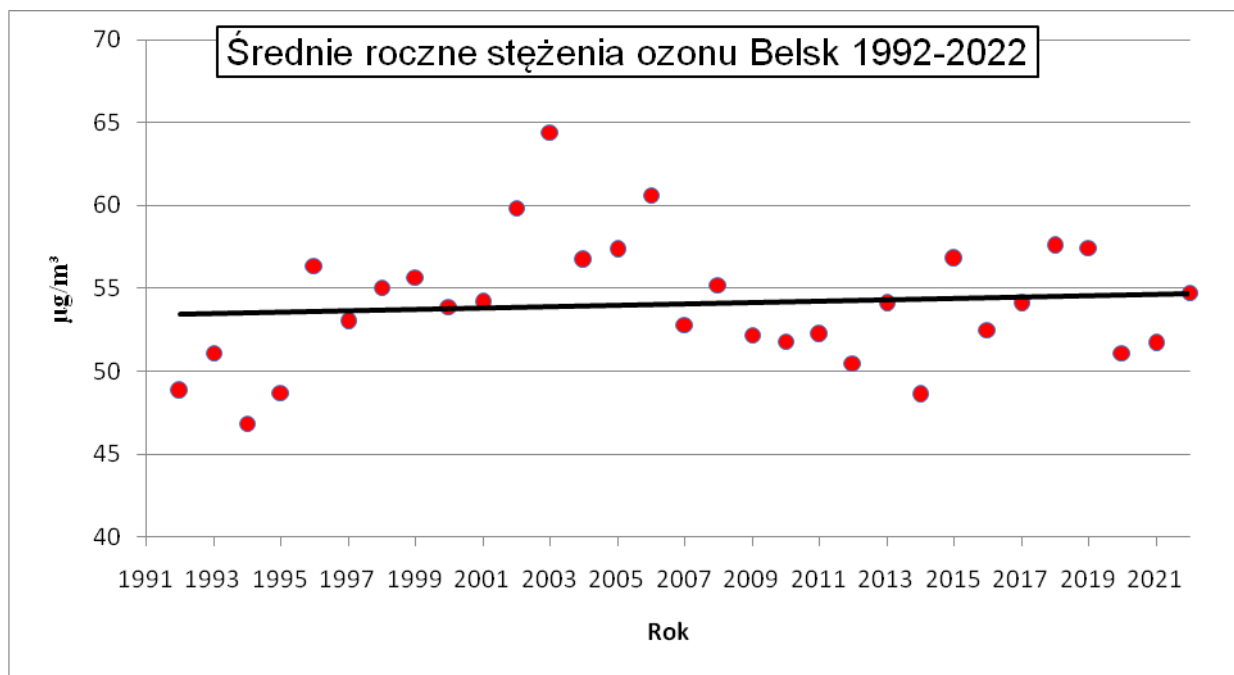


Rys. 2.2.1 Przebieg roczny stężenia ozonu przy powierzchni Ziemi, Belsk 2021 i 2022



Rys. 2.2.2 Odchylenia średnich miesięcznych stężeń ozonu przyziemnego w roku 2022 od średniej z lat 1991-2021 w Belsku

W roku 2022 maksymalne wartości chwilowe stężeń ozonu były porównywalne z obserwowanymi w ostatnich latach, szczególnie w okresie letnim. Maksymalne stężenie chwilowe ozonu (śr. 60-min) wyniosło $144 \mu\text{g}/\text{m}^3$ i zostało zmierzone w lipcu. Od kwietnia do sierpnia wartości maksymalne stężenia ozonu były wyrównane i zawierały się w granicach od 127 do $144 \mu\text{g}/\text{m}^3$. W roku 2022 zwraca uwagę wiosenne maksimum rozszerzone na cztery miesiące, jeszcze więcej niż w poprzednich latach. Świadczyłoby to o m.in. dłużej trwającym wiosennym transporcie ozonu z wyższych warstw atmosfery przeważającym względem lokalnej produkcji fotochemicznej, przynajmniej przez pierwsze dwa miesiące trwania tego maksimum. Wartości chwilowe stężeń ozonu przedstawiają rysunki dołączone na końcu rozdziału. Średnie roczne stężenie ozonu w przyziemnej warstwie atmosfery w roku 2022 wyniosło $54,7 \mu\text{g}/\text{m}^3$ i było wyższe niż w roku 2021 ($51,7 \mu\text{g}/\text{m}^3$) oraz zbliżone do średnich wartości w całej serii obserwowanych w latach 1991-2021. Można stwierdzić, że obserwowane w 2022 roku, zwłaszcza w okresie letnim poziomy stężenie ozonu były porównywalne do tych, jakie mierzono w Belsku w końcu lat 90-tych. Rok 2022 był rokiem średnich stężeń ozonu w całym regionie, wskaźnik AOT40 (suma wartości przekroczeń stężeń ozonu ponad 40 ppb) wyniósł 19445 był wyższy od tego z roku 2021 o 4229, z 16 przekroczeniami wartości średnich 8-godzinnych stężeń. Biorąc pod uwagę wyniki pomiarów z ostatnich prawie trzydziestu lat można stwierdzić, że obserwujemy stabilizację długookresowego trendu stężeń ozonu. Przebieg średnich rocznych stężeń ozonu w latach 1992-2022 przedstawia Rys.2.2.3. Wartości średnich miesięcznych wraz z wartościami maksymalnymi ozonu w roku 2022 przedstawia Tabela 2.2.1.



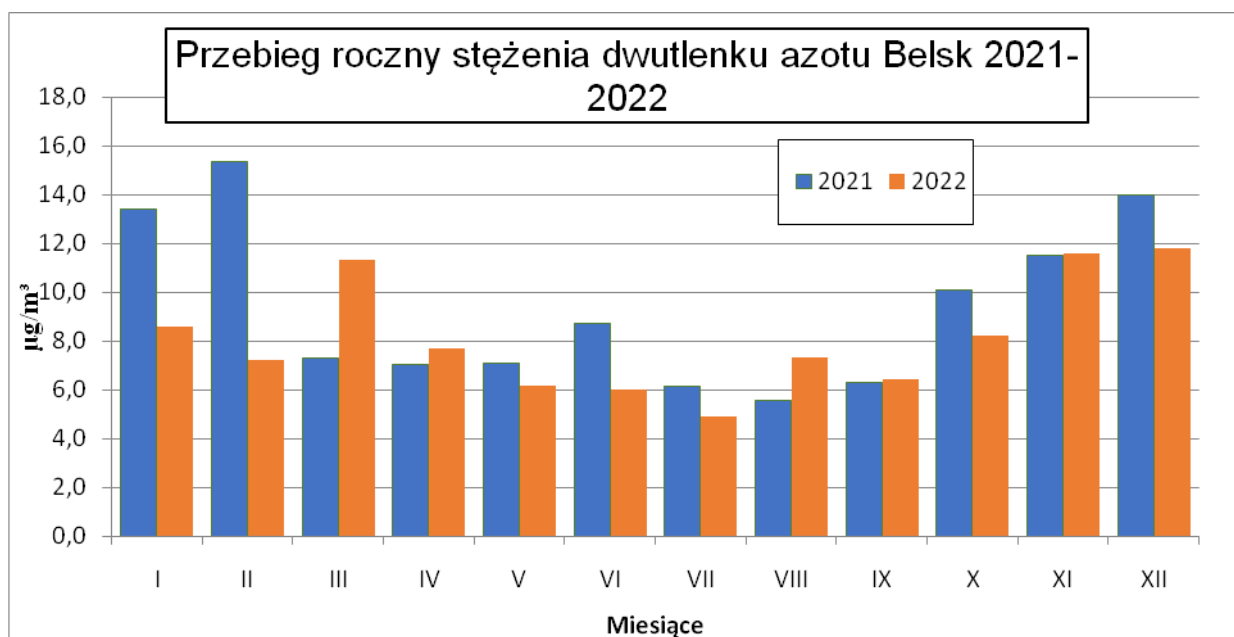
Rys. 2.2.3 Średnie roczne stężenia ozonu przy powierzchni Ziemi, Belsk 1992-2022

Tabela 2.2.1 Średnie miesięczne i wartości maksymalne koncentracji ozonu w przyziemnej warstwie atmosfery w Belsku w roku 2022 (µg/m³).

	I	II	III	IV	V	VI	VII	VIII	IX	X	XI	XII
śr.	49,3	61,1	70,7	69,9	75,7	69,4	62,2	56,0	45,0	38,3	26,3	34,0
Max.	84	84	127	133	133	123	144	130	94	83	68	74

Stężenie dwutlenku azotu w roku 2022 w Belsku osiągało wartości niższe w porównaniu z obserwowanymi w ostatnich latach. Wartości były porównywalne do tych obserwowanych około 2000 roku, kiedy to rejestrowano jedne z najniższych wartości stężeń dwutlenku azotu w całej serii pomiarowej. Niewielki trend spadkowy stężeń obserwowany w ciągu ostatnich 10 lat jest kontynuowany. Przebieg sezonowy stężeń dwutlenku azotu w roku 2022 był nietypowy ze względu na nie wystąpienie podwyższonych stężeń w sezonie zimowym na początku roku. Ponadto w okresie letnim stężenia były niskie w stosunku do średnich – wystąpił natomiast tak jak zwykle wzrost stężeń względem poziomów letnich w okresie zimowym na końcu roku. W miesiącach letnich i zimowo-wiosennych z wyjątkiem marca średnie miesięczne zawierały się między 5 a 9 µg/m³, w pozostałych miesiącach między 8 a 12 µg/m³ (Rys.2.2.4). Odchylenia średniomiesięcznych stężeń NO₂ od

średniej z lat 1995-2021 w roku 2022 były dla 9 miesięcy ujemne, największe ujemne odchyłki wystąpiły w miesiącach zimowych na początku roku do -40% (Rys. 2.2.5).

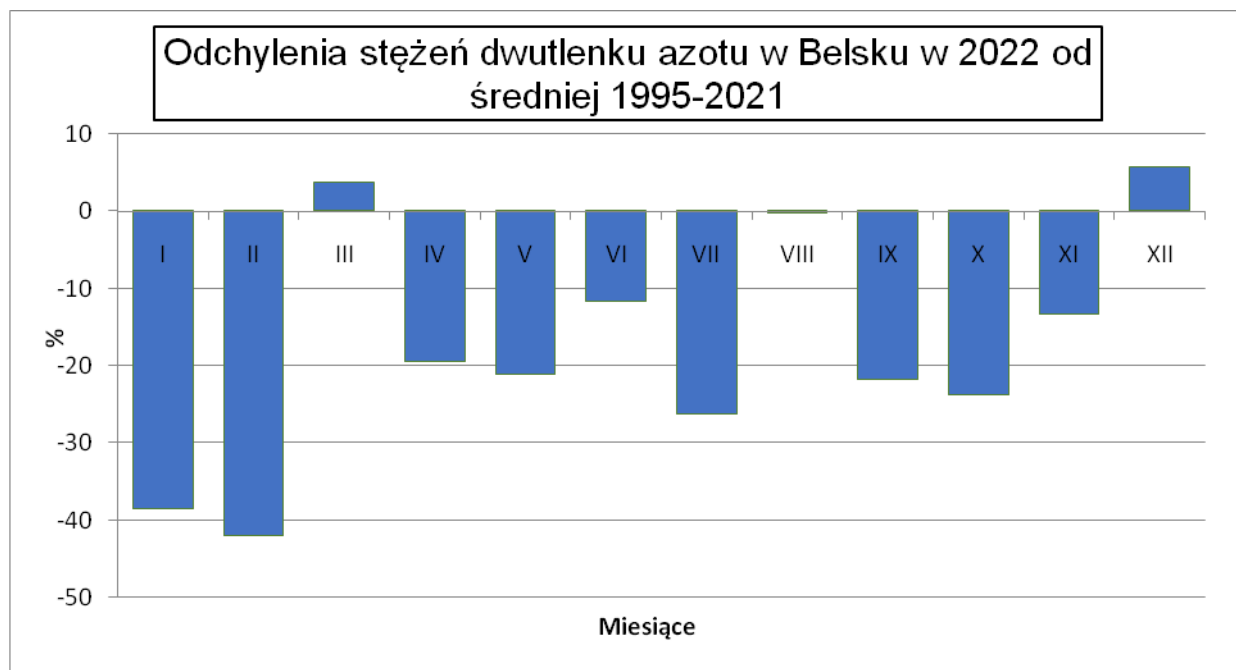


Rys. 2.2.4 Przebieg roczny stężenia NO₂ przy powierzchni Ziemi, Belsk 2021 i 2022.

Najwyższe w roku 2022 średnie miesięczne stężenie dwutlenku azotu zmierzono w grudniu (11,8 µg/m³ – niższe niż w r. 2021) a najniższe w lipcu (4,9 µg/m³ – niższe niż w roku 2021). Przebieg średnich miesięcznych stężeń dwutlenku azotu w roku 2021 i 2022 przedstawia Rys. 2.2.4.

Średnie roczne stężenie dwutlenku azotu w przyziemnej warstwie atmosfery w roku 2022 wyniosło 8,1 µg/m³ i było niższe od tego w roku 2021 o 1,3 µg/m³. Obserwowany spadek poziomu średniorocznych stężeń NO₂ wystąpił równolegle z obserwowanym spadkiem stężeń SO₂ i CO w roku 2022.

Wartości chwilowe stężeń dwutlenku azotu przedstawiają rysunki dołączone na końcu rozdziału. Maksymalne wartości chwilowe dwutlenku azotu były przeciętne w stosunku do wartości zaobserwowanych w ubiegłych latach. Wartość maksymalna – śr. 60-min wyniosła 66 µg/m³ (w marcu) była niższa o 11 µg/m³ od tej zmierzonej w roku 2021 (w styczniu). Wartości średnich miesięcznych wraz z wartościami maksymalnymi dwutlenku azotu w roku 2022 przedstawia Tabela 2.2.2.



Rys 2.2.5 Odchylenia średnich miesięcznych stężeń NO₂ w roku 2022 od średniej z lat 1991-2021 w Belsku

Tabela 2.2.2 Średnie miesięczne i wartości maksymalne koncentracji NO₂ w przyziemnej warstwie atmosfery w Belsku w roku 2022 (µg/m³).

	I	II	III	IV	V	VI	VII	VIII	IX	X	XI	XII
śr.	8,6	7,2	11,3	7,7	6,2	6,0	4,9	7,3	6,4	8,2	11,6	11,8
Max.	55	29	66	40	21	24	19	24	26	34	47	41

2.3. Tlenek Węgla

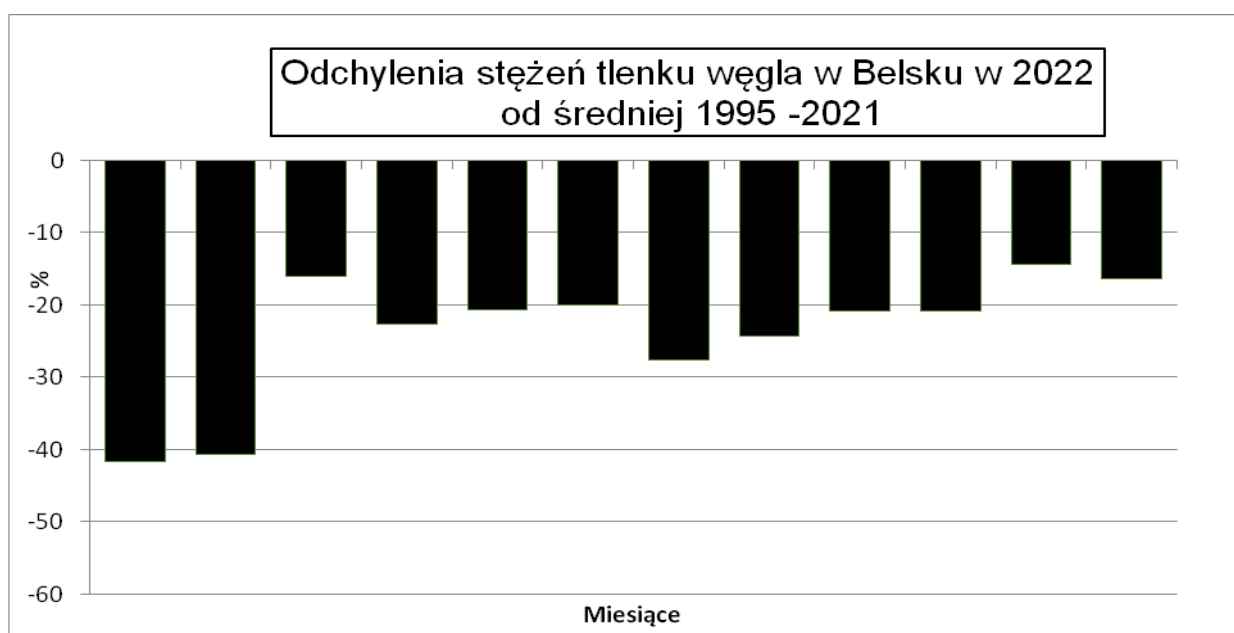
W roku 2022 kontynuowano w Belsku pomiary stężeń tlenu węgla w przyziemnej warstwie atmosfery. Pomiar wykonywany był przyrządem firmy Horiba model APMA370. Analizator działa w oparciu o zjawisko absorpcji promieniowania podczerwonego przez tlenek węgla. Z powodu specyficznych warunków (stacja pozamiejska) stężenia tlenu węgla w rejonie Belska osiągają często niskie wartości szczególnie w okresie letnim (wieloletnia średnia miesięczna w okresie od maja do sierpnia jest na poziomie znacznie poniżej 200 µg/m³ i maleje, zwłaszcza w ostatnich latach). Próg wykrywalności nowego analizatora jest szacowany na ok. 25 µg/m³ (dla poprzedniego analizatora wynosił ok. 100 µg/m³), co skutkuje większą dokładnością danych uzyskiwanych w okresie letnim, kiedy stężenia tlenu węgla w rejonie Belska okresowo zbliżają się 100 µg/m³. Również bardzo ograniczony dryf punktu

zerowego stosowanego analizatora umożliwił dokładniejszy pomiar niskich (rzędu 100 $\mu\text{g}/\text{m}^3$) stężeń CO w powietrzu otaczającym.

W roku 2022 przebieg roczny stężenia CO charakteryzował się wyraźną sezonowością podobnie jak w latach poprzednich, z porównywalną amplitudą zmienności stężeń. Względnie niskie stężenia tlenu węgla zmierzono od kwietnia do października z minimum w lipcu – 164 $\mu\text{g}/\text{m}^3$ – znacznie, o 72 $\mu\text{g}/\text{m}^3$ niżej od majowego minimum roku 2021. Maksymalne stężenie średniomiesięczne wyniosło 388 $\mu\text{g}/\text{m}^3$ w grudniu, mniej o 23 $\mu\text{g}/\text{m}^3$ niż w roku 2021. Odchylenia stężeń w stosunku do średniej wieloletniej były dla wszystkich miesięcy roku ujemne; odchylenia sięgały ok. -40% dla stycznia (Rys. 2.3.2). Średnie roczne stężenie tlenu węgla było niższe o 53 $\mu\text{g}/\text{m}^3$ od tego z roku 2021 i wyniosło 263 $\mu\text{g}/\text{m}^3$. Najwyższe wartości chwilowe stężeń tlenu węgla (średnie 60-min) obserwowano w okresie zimowym (styczeń-marzec i listopad-grudzień) oraz w sierpniu (izolowany epizod) - patrz Tabela 2.3.1. Maksymalne stężenie chwilowe w roku wyniosło 980 $\mu\text{g}/\text{m}^3$; było o ok 360 $\mu\text{g}/\text{m}^3$ niższe od maksymalnych wartości z roku 2021. Przebieg roczny stężenia CO w Belsku w roku 2022 (średnie miesięczne) przedstawia Rys 2.3.1, a wartości średnich miesięcznych i chwilowych wartości maksymalnych przedstawia Tabela 2.3.1



Rys. 2.3.1 Przebieg roczny stężenia CO przy powierzchni Ziemi, Belsk 2021 i 2022



Rys. 2.3.2 Odchylenia średnich miesięcznych stężeń CO w roku 2022 od średniej z lat 1995-2021 w Belsku

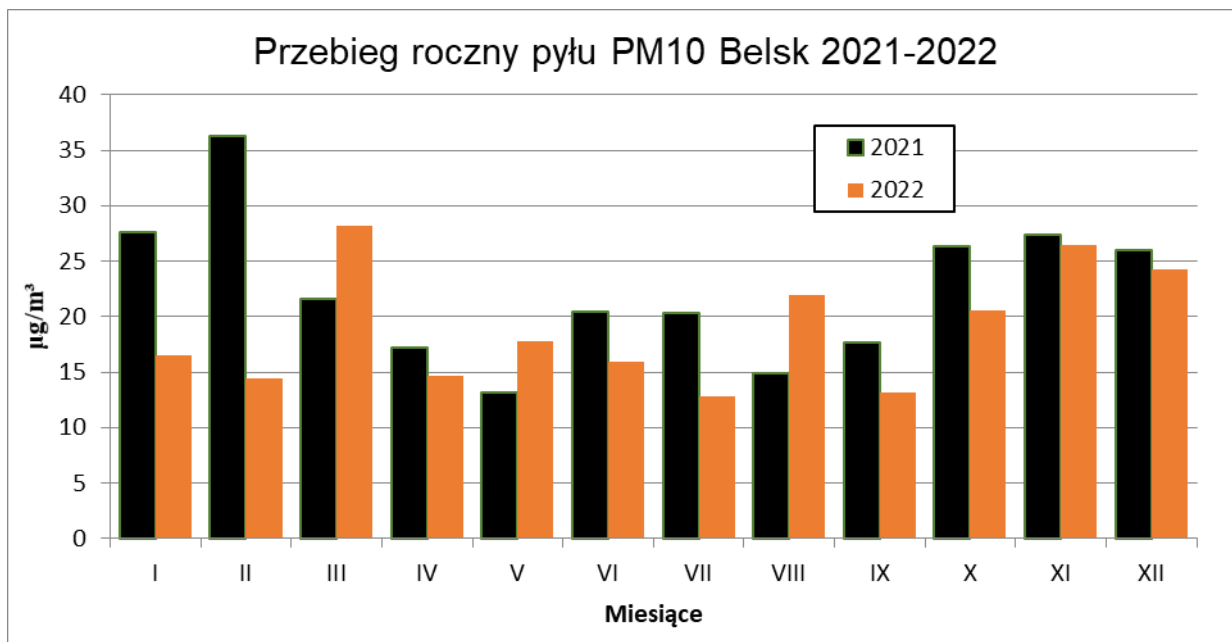
Tabela 2.3.1 Średnie miesięczne i wartości maksymalne koncentracji CO w przyziemnej warstwie atmosfery w Belsku w roku 2022 ($\mu\text{g}/\text{m}^3$).

	I	II	III	IV	V	VI	VII	VIII	IX	X	XI	XII
śr.	296	288	343	261	201	177	164	189	206	276	371	388
max	802	594	809	630	441	678	338	835	416	656	980	975

2.4. Pył zawieszony PM10

Rok 2022 był drugim kompletnym rokiem ciągłych pomiarów w Belsku pyłu zawieszonego PM10. Pomiar wykonywany był przyrządem firmy Environnement model MP101M. Analizator działa w oparciu o zjawisko absorpcji promieniowania beta przez filtr na którym jest osadzany zbierany pył. Średnioroczne stężenie wyniosło $19,0 \mu\text{g}/\text{m}^3$ co jest drugą najniższą wartością zmierzoną w województwie mazowieckim w roku 2022 (po stacji w Gutach Dużych – $16,4 \mu\text{g}/\text{m}^3$). Najwyższe stężenia mierzono w sezonie jesienno-zimowym, z maksimum rocznym w marcu – $28,2 \mu\text{g}/\text{m}^3$, najniższe w pozostałych miesiącach roku z minimum w lipcu – $12,8 \mu\text{g}/\text{m}^3$. Maksymalne stężenie pyłu PM10 (średnia 1-godzinna

zmierzone w roku 2022 w Belsku wyniosło $170 \mu\text{g}/\text{m}^3$ i zostało zmierzone w sierpniu. Liczba przekroczeń wartości dopuszczalnej (średnia dobowa) wyniosła 1 dla roku 2022. Przebieg roczny stężeń pyłu zawieszonego PM10 przedstawiono na rys 2.4.1, wartości średnich miesięcznych stężeń oraz maksymalnych wartości chwilowych przedstawia Tabela 2.4.1



Rys. 2.4.1 Przebieg roczny stężenia PM10 przy powierzchni Ziemi, Belsk 2021 i 2022

Tabela 2.4.1 Średnie miesięczne i wartości maksymalne koncentracji PM10 w przyziemnej warstwie atmosfery w Belsku w roku 2022 ($\mu\text{g}/\text{m}^3$).

	I	II	III	IV	V	VI	VII	VIII	IX	X	XI	XII
śr.	16,5	14,5	28,2	14,7	17,8	15,9	12,8	21,9	13,2	20,6	26,5	24,2
max	79	56	71	54	65	67	43	170	43	65	73	86

Wybrane wyniki pomiarów stężeń zanieczyszczeń powietrza w roku 2022 (średnich 1-godz i średnich kroczących 8 godz. przedstawione są w Tabelach 2.3.2 i 2.3.3

Tabela 2.3.2 Wybrane wyniki pomiarów zanieczyszczeń gazowych powietrza- średnie 1-godz.

Parametr	Jednostki	SO ₂	O ₃	NO ₂	CO	PM10
Kompletność serii pomiarowej	%	95,2%	99,0%	98,8%	98,8%	98,1
Percentyle z serii pomiarowej	S10	0,3	24,8	3,0	163,0	5,1
	S50	1,0	52,9	6,8	234,0	16,8
	S90	3,2	87,3	15,0	404,0	34,9
	S98	6,3	110,5	22,1	550,4	52,6
	S99,8	11,5	131,1	36,1	847,6	73,1
Wartość najwyższa	µg/m ³	21,1	144,1	66,1	980,0	170,3
Liczba wyników pomiarów przewyższających poziom informowania		0	0	0	0	0

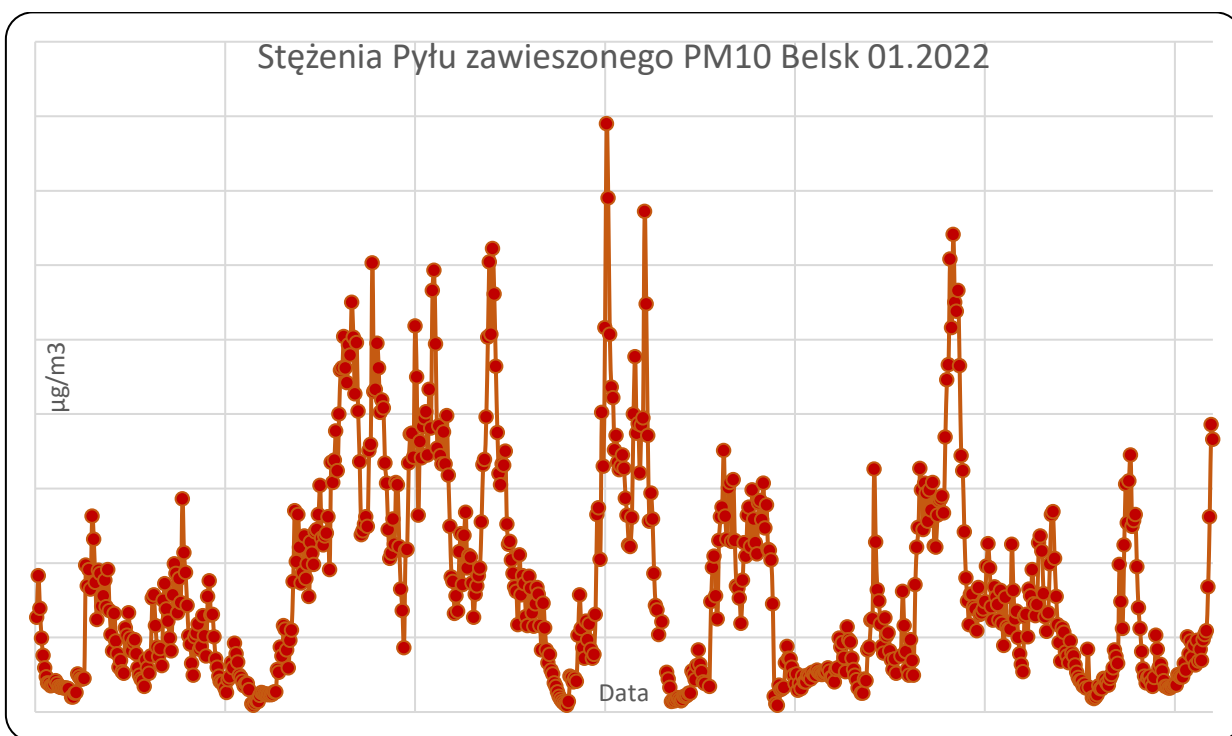
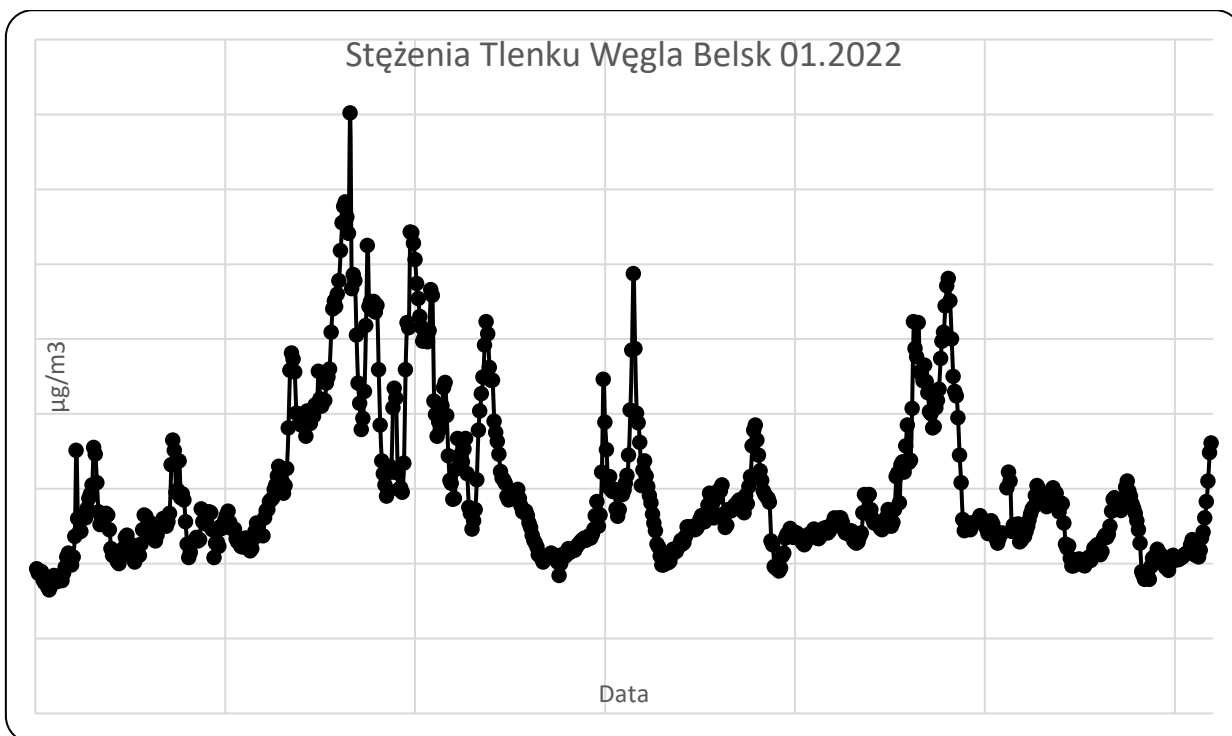
Tabela 2.3.3 Wybrane wyniki pomiarów zanieczyszczeń gazowych powietrza- średnie 8-godz kroczące oraz wskaźnik ozonowy AOT 40.

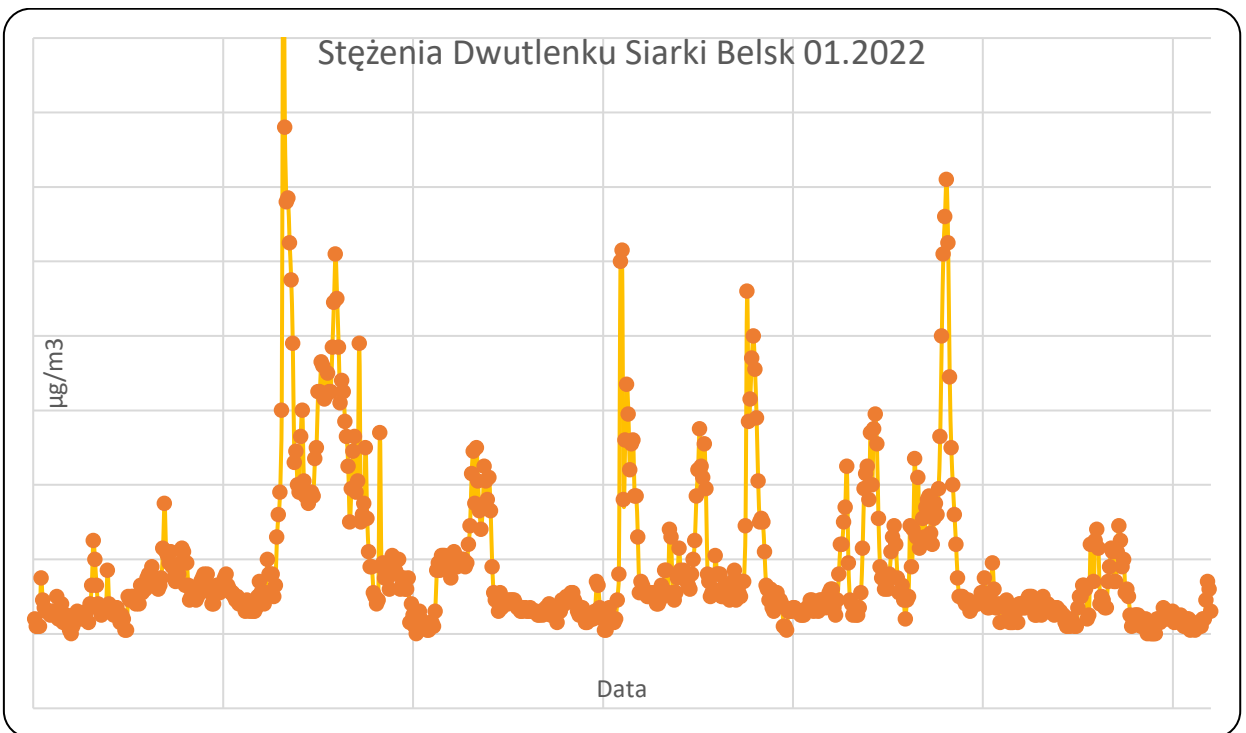
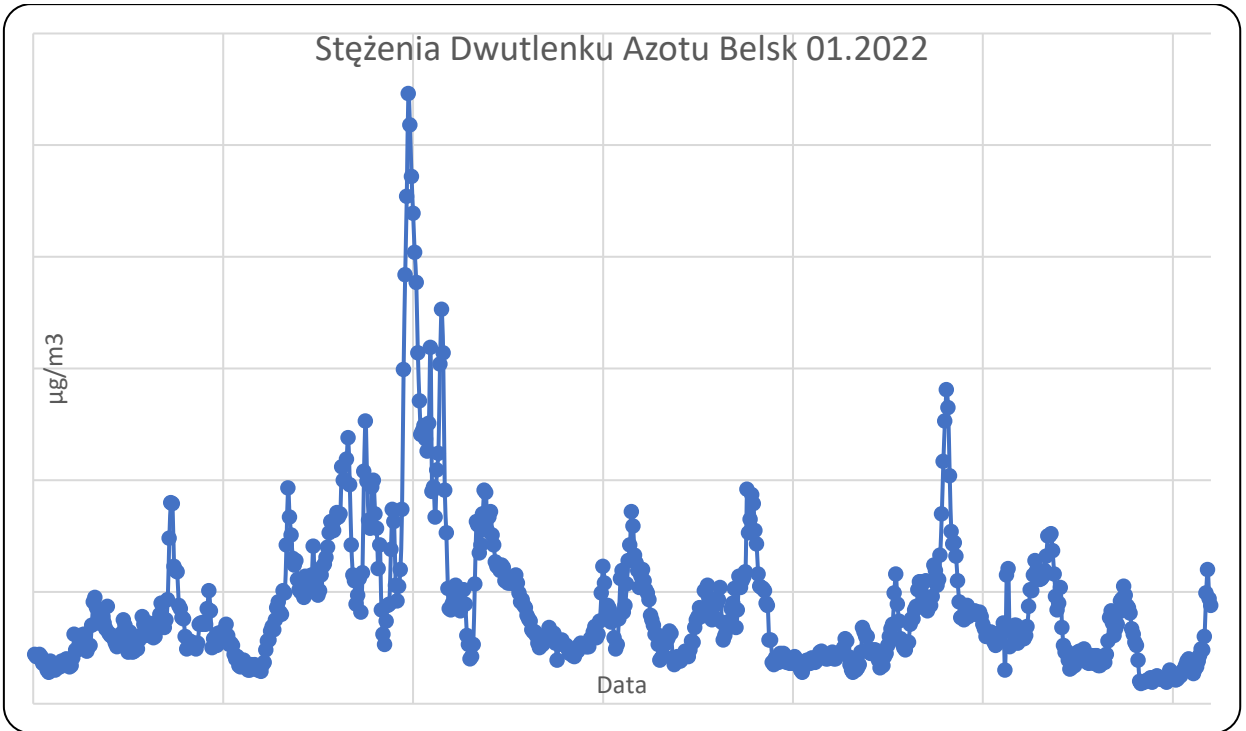
Parametr	Jednostki	O ₃	CO
Kompletność serii pomiarowej	%	99,5%	99,4%
Percentyle z serii pomiarowej	S ₁₀	26,7	165,6
	S ₅₀	54,3	237,0
	S ₉₀	83,6	397,7
	S ₉₈	104,2	530,8
	S _{99,8}	119,7	795,5
Wartość najwyższa	µg/m ³	139,2	909,5
Liczba wyników pomiarów przewyższających wartość dopuszczalną		16	0
Wartość wskaźnika ozonowego AOT 40 µg/m ³ *godz		15216	

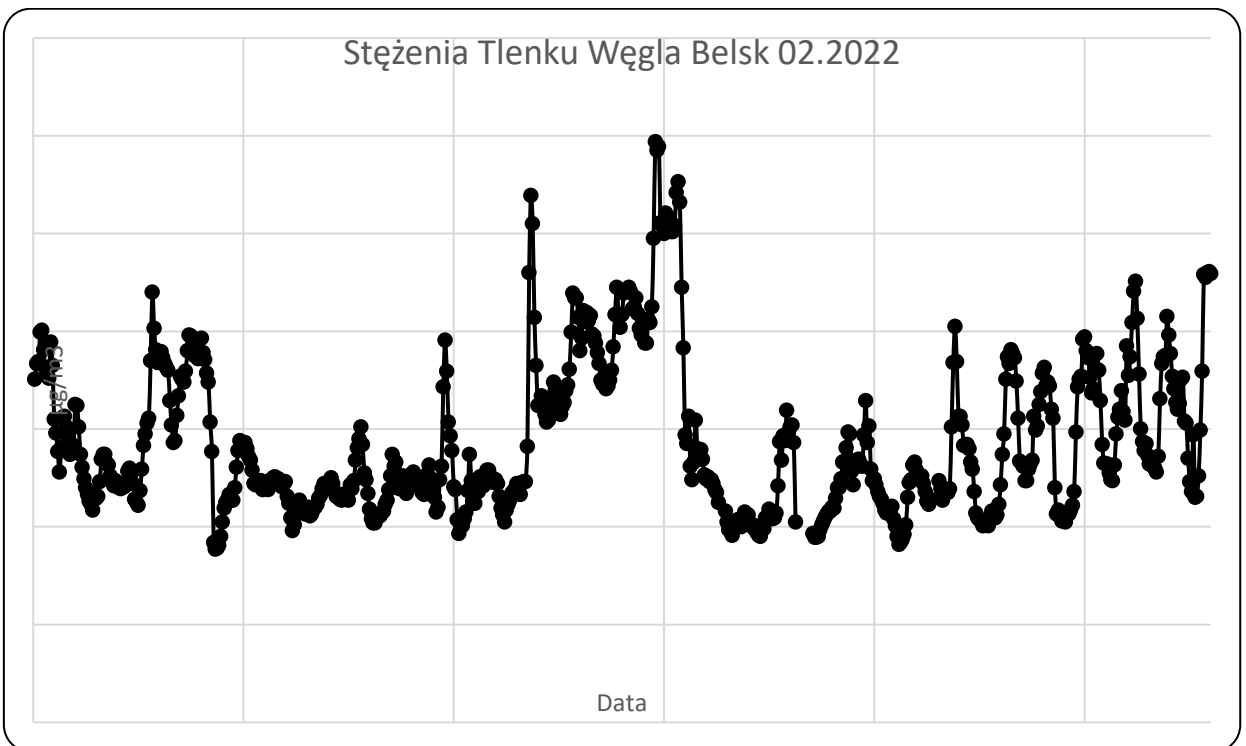
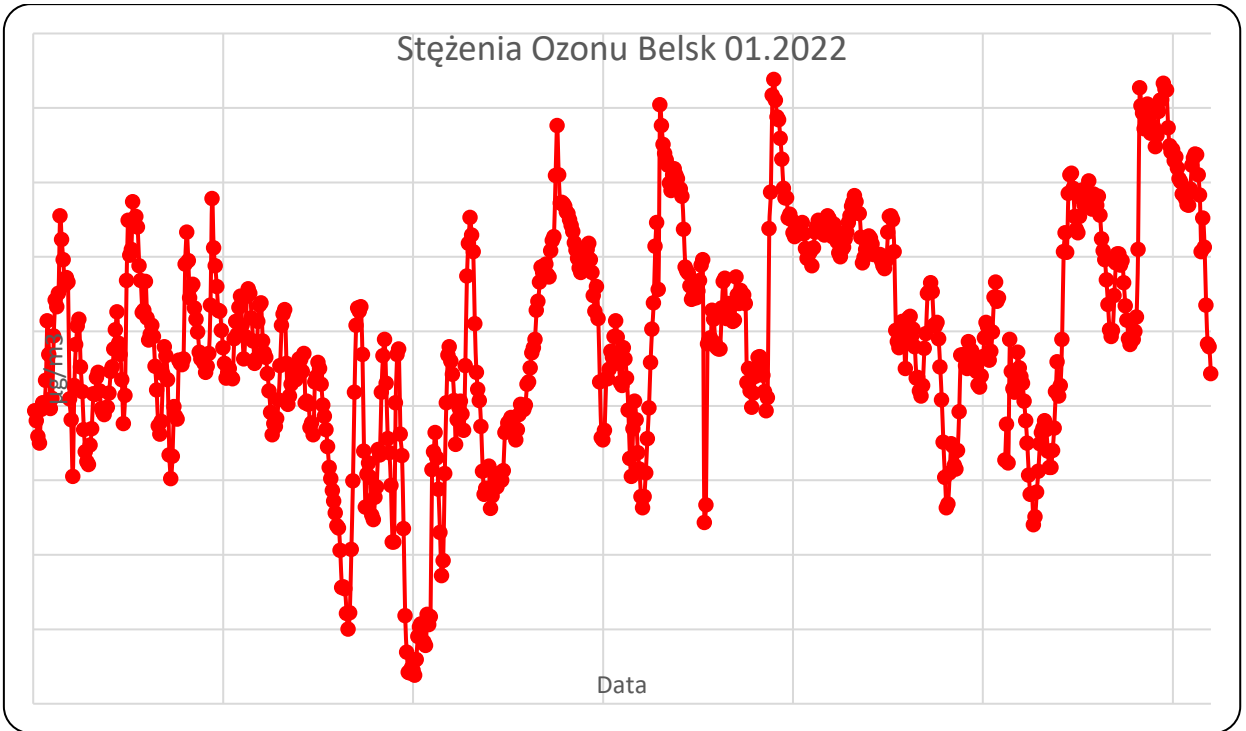
Wszystkie analizatory zanieczyszczeń powietrza pracujące na stacji C.O.G. PAN w Belsku podlegały okresowym przeglądom serwisowym, ponadto przez cały rok realizowany był harmonogram czynności kontrolnych (kontrole parametrów i kontrole typu zero-span, kalibracje wielopunktowe, wymiany zużywających się materiałów eksploatacyjnych), mających na celu zapewnienie jakości otrzymywanych danych.

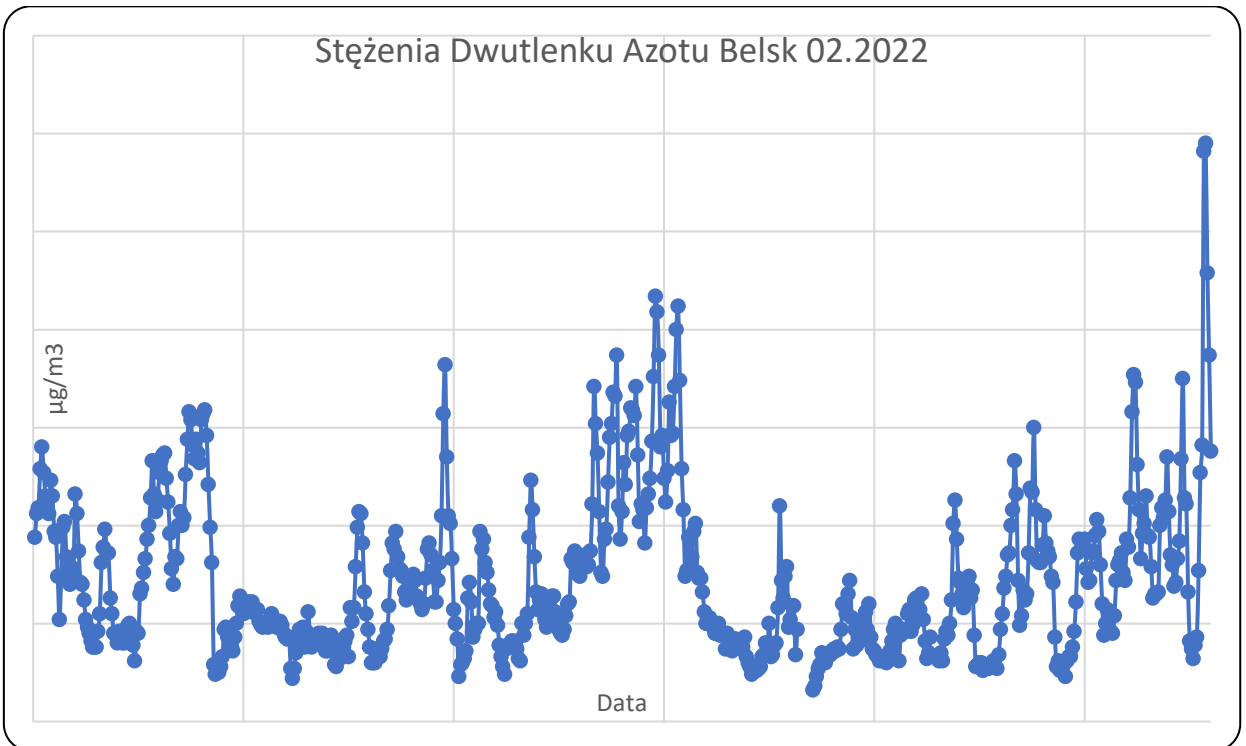
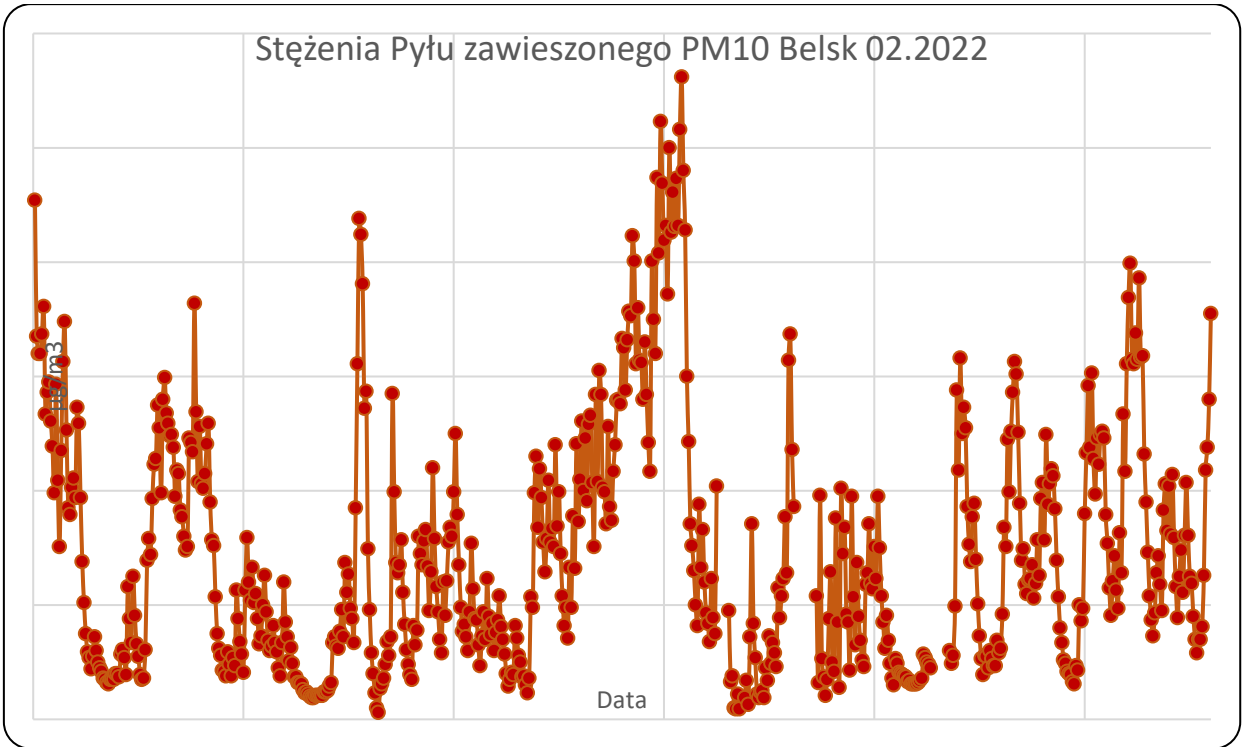
Przebiegi stężeń chwilowych tlenku węgla, dwutlenku azotu, dwutlenku siarki i ozonu rejestrowane w C.O.G. PAN w Belsku w ciągu 2022 roku prezentuje poniższa sekwencja rysunków.

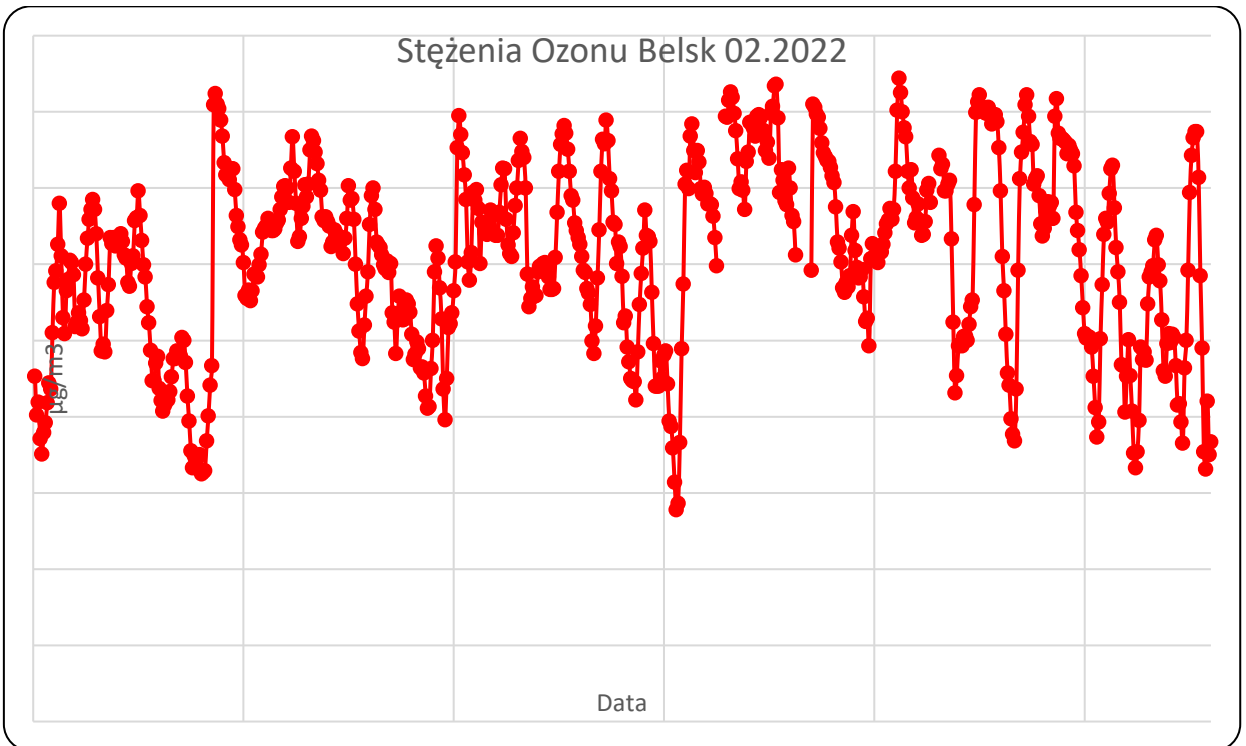
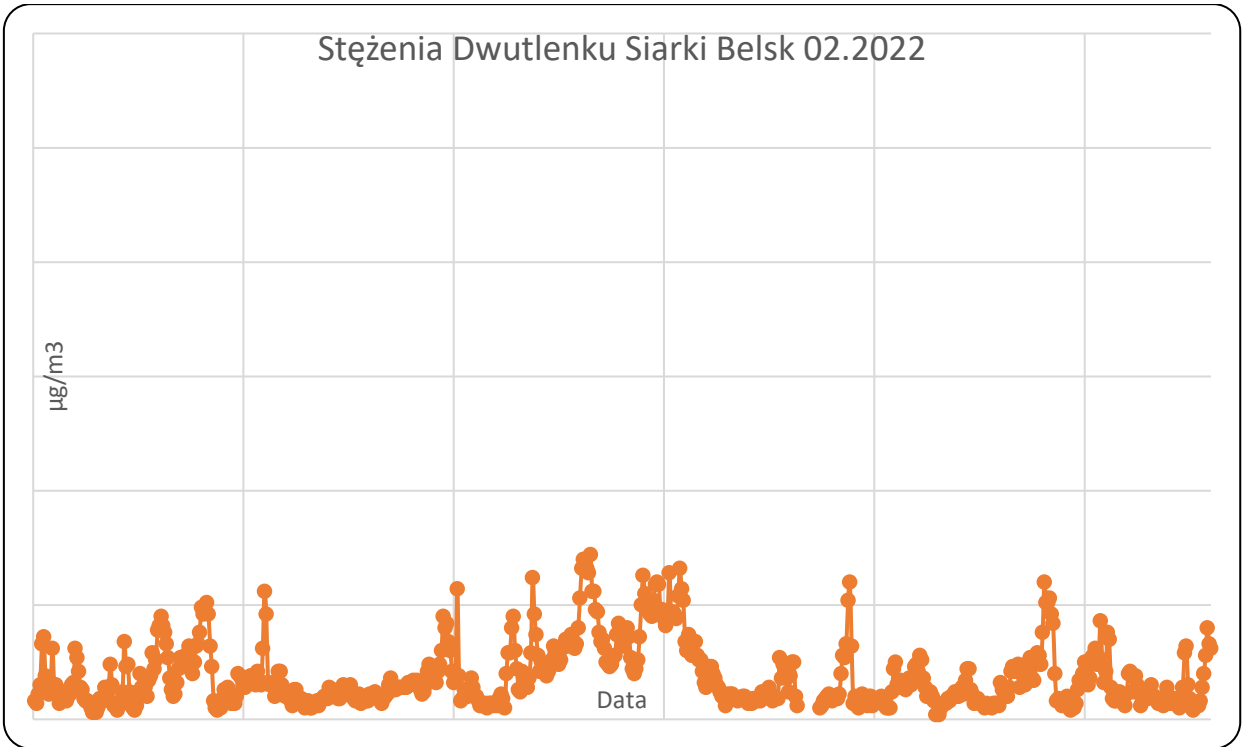
Przebiegi chwilowych stężeń CO,NO₂,SO₂,O₃ i PM₁₀ w COG PAN Belsk w 2022 roku

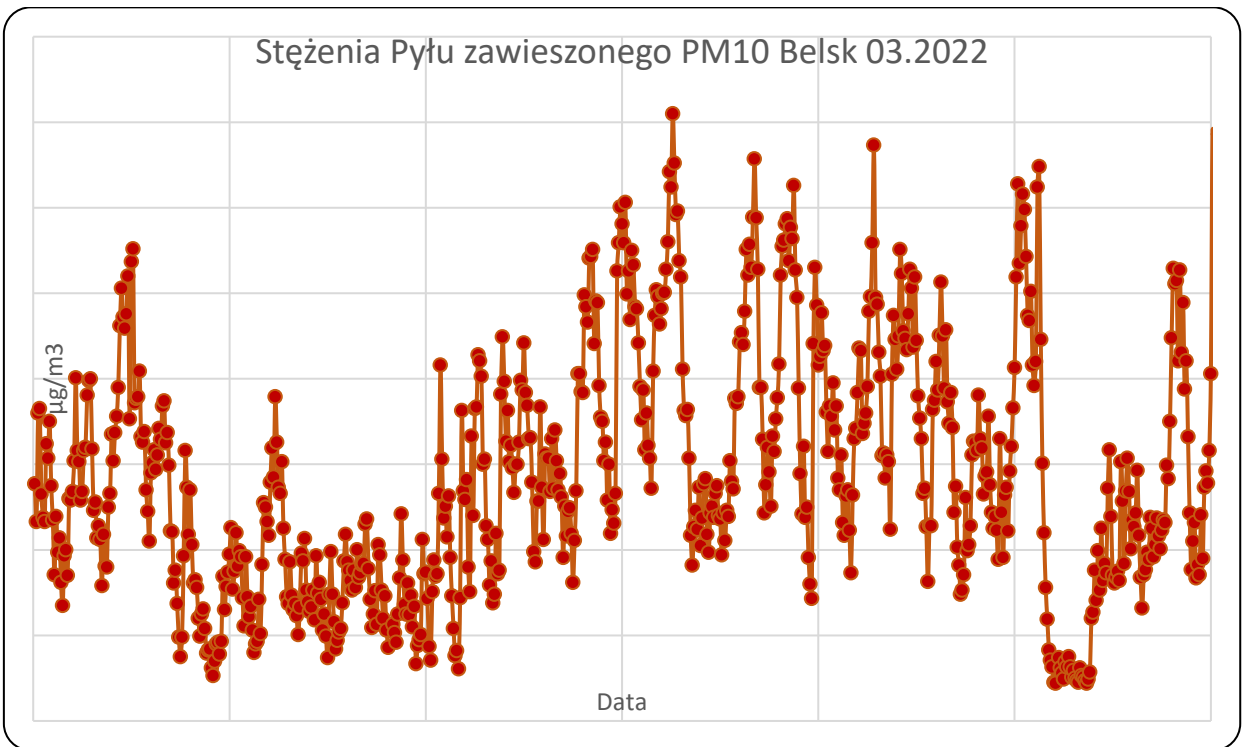
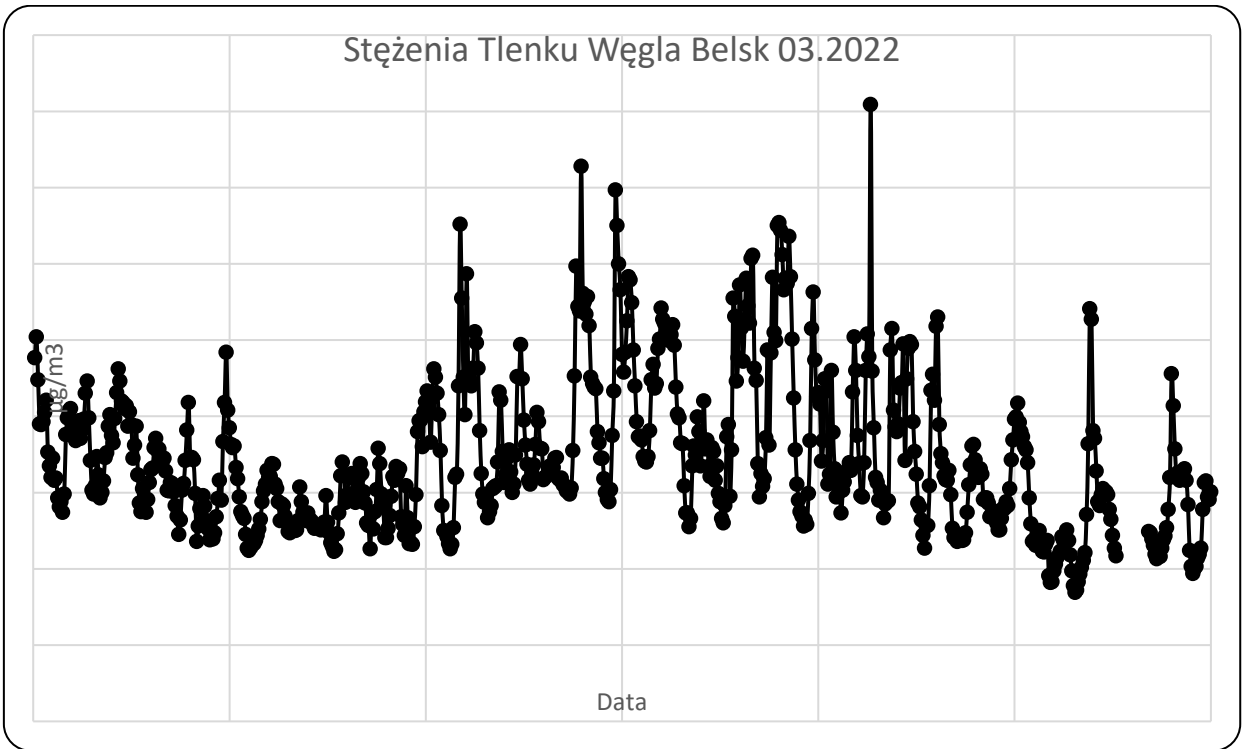


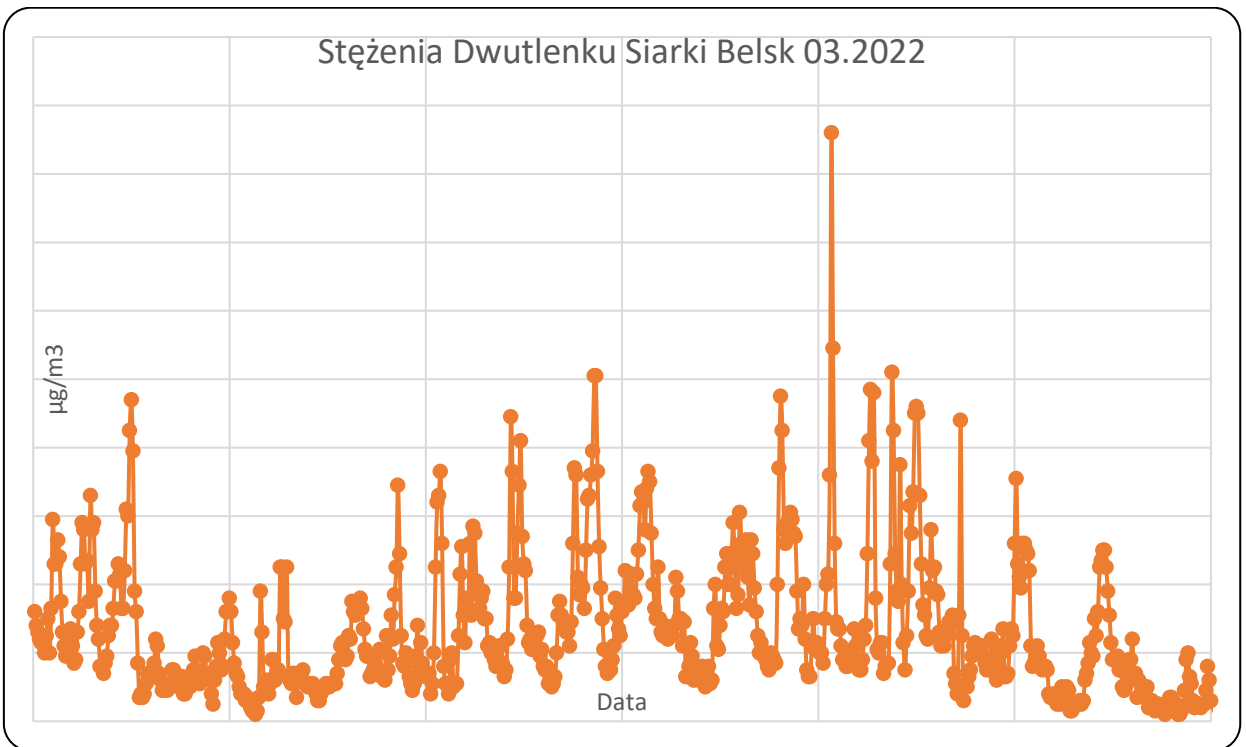
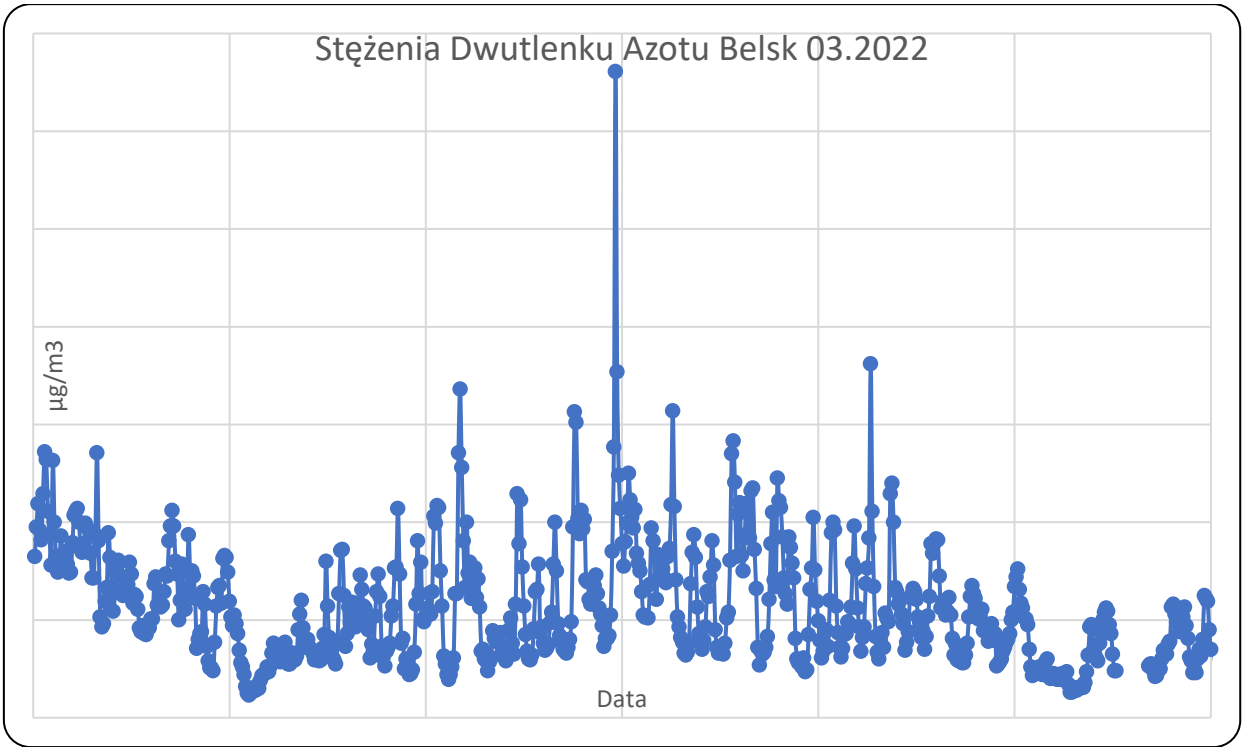


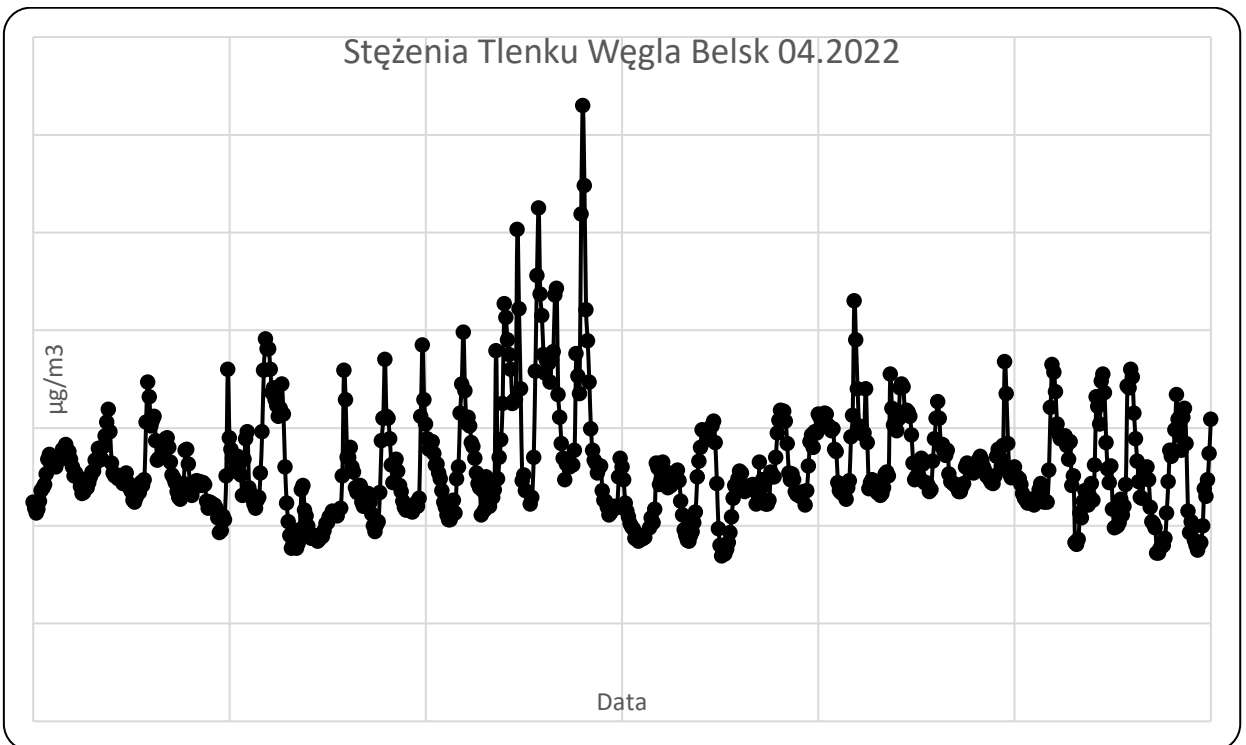
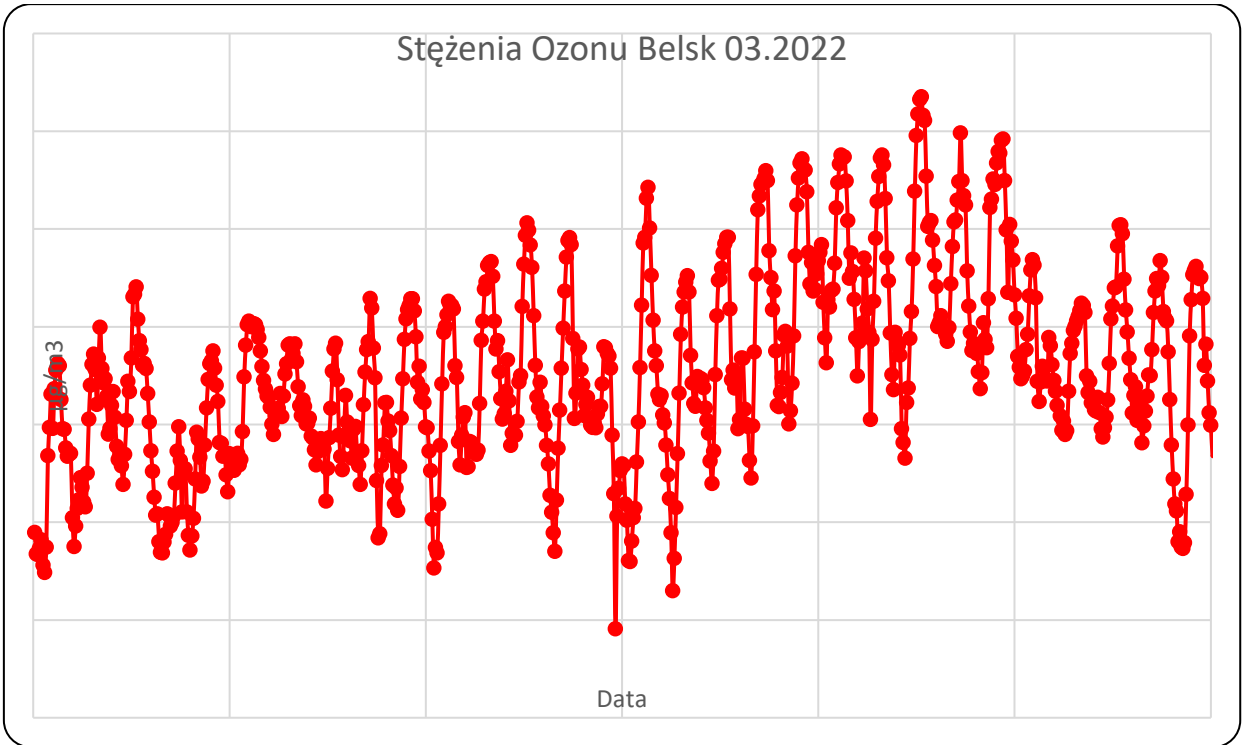


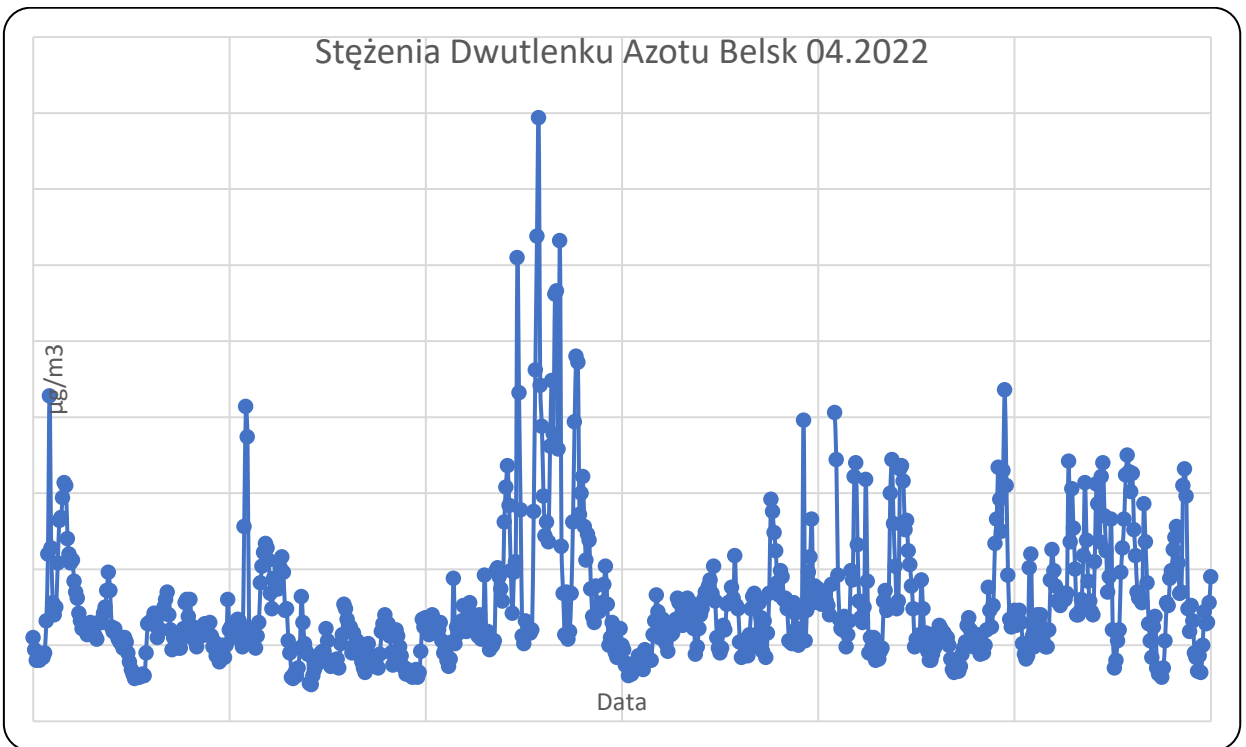
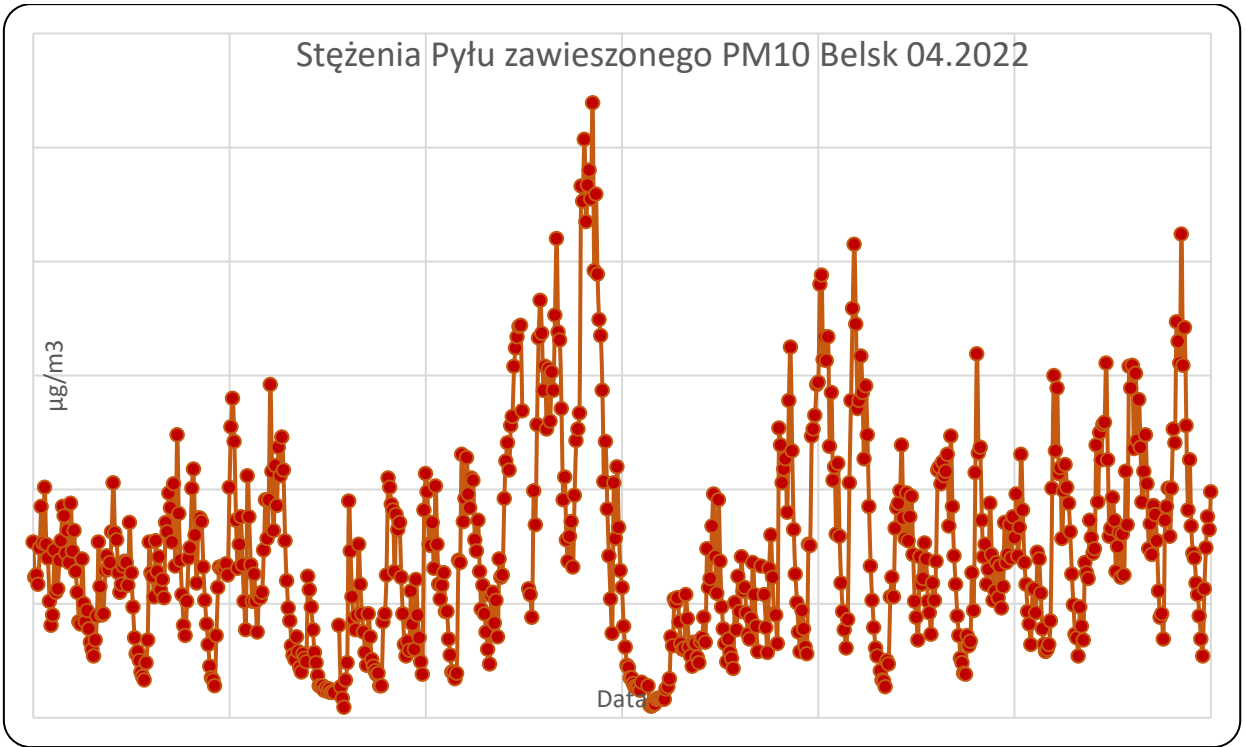


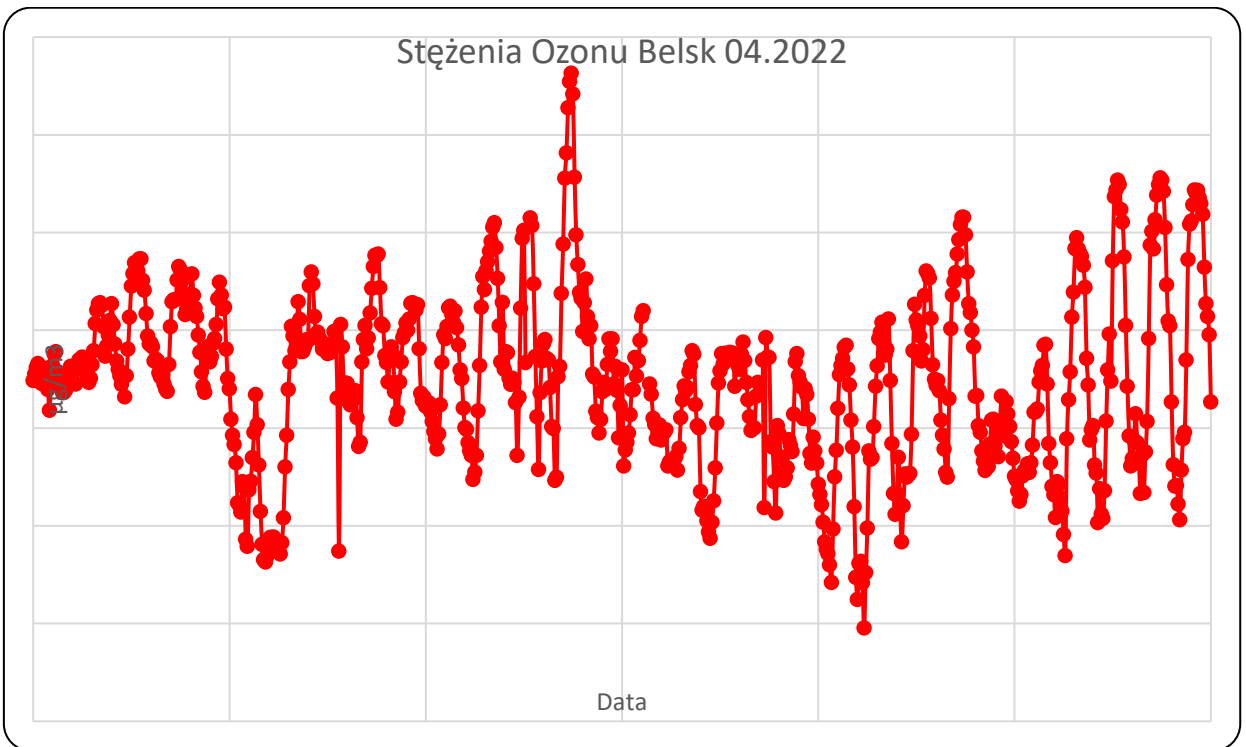
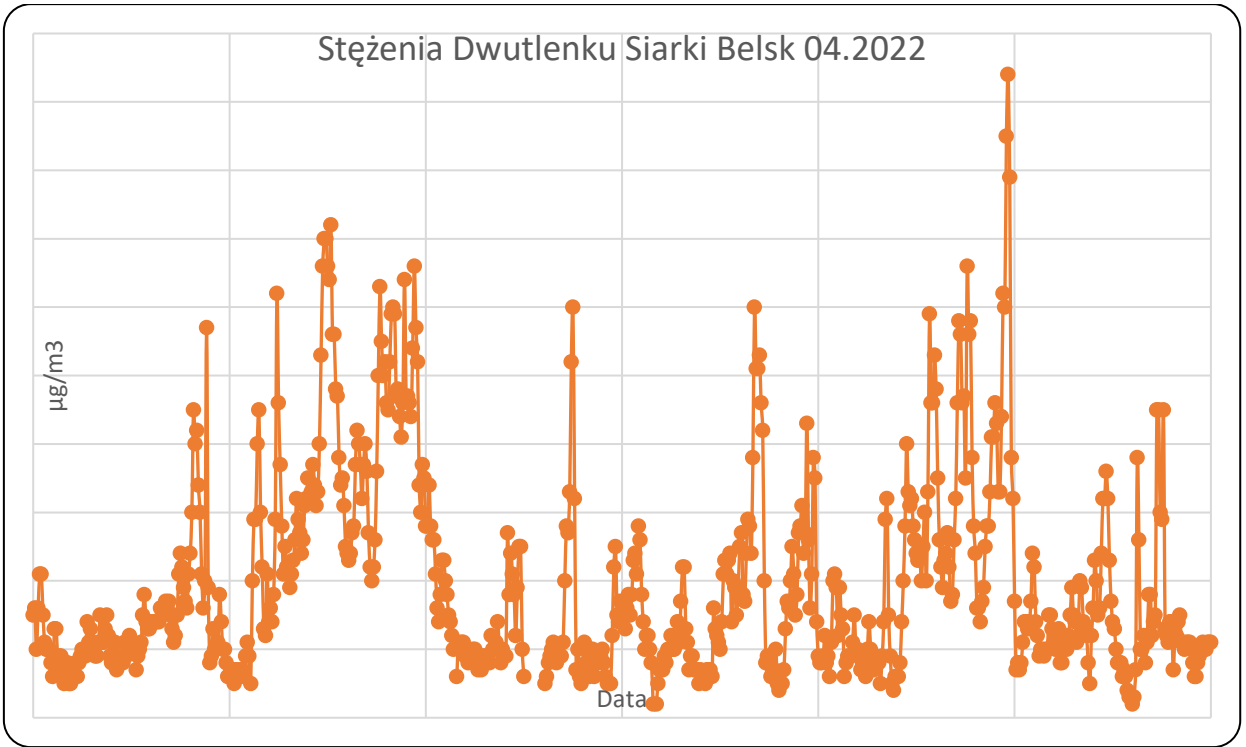




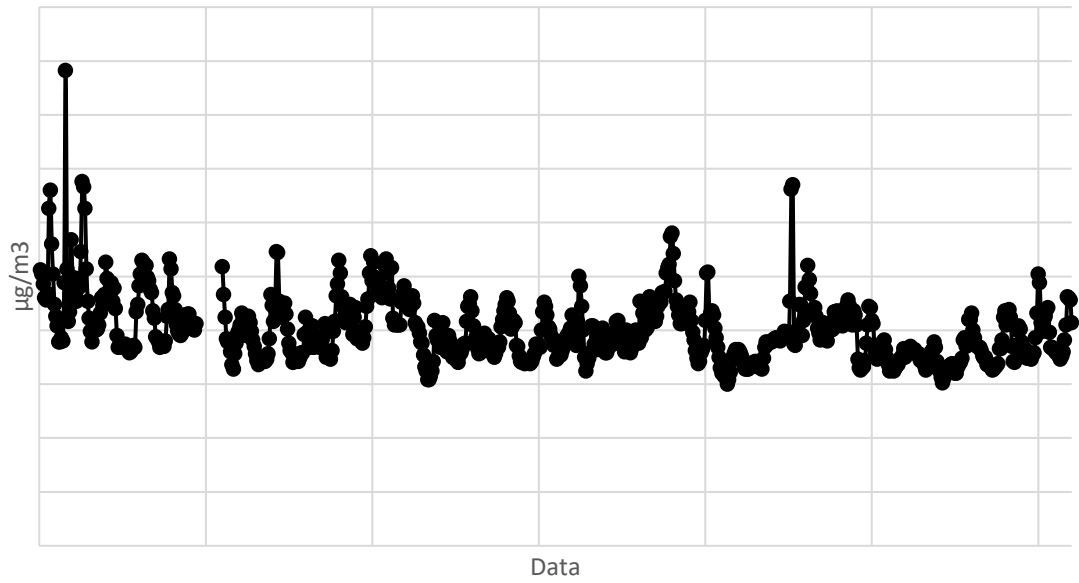




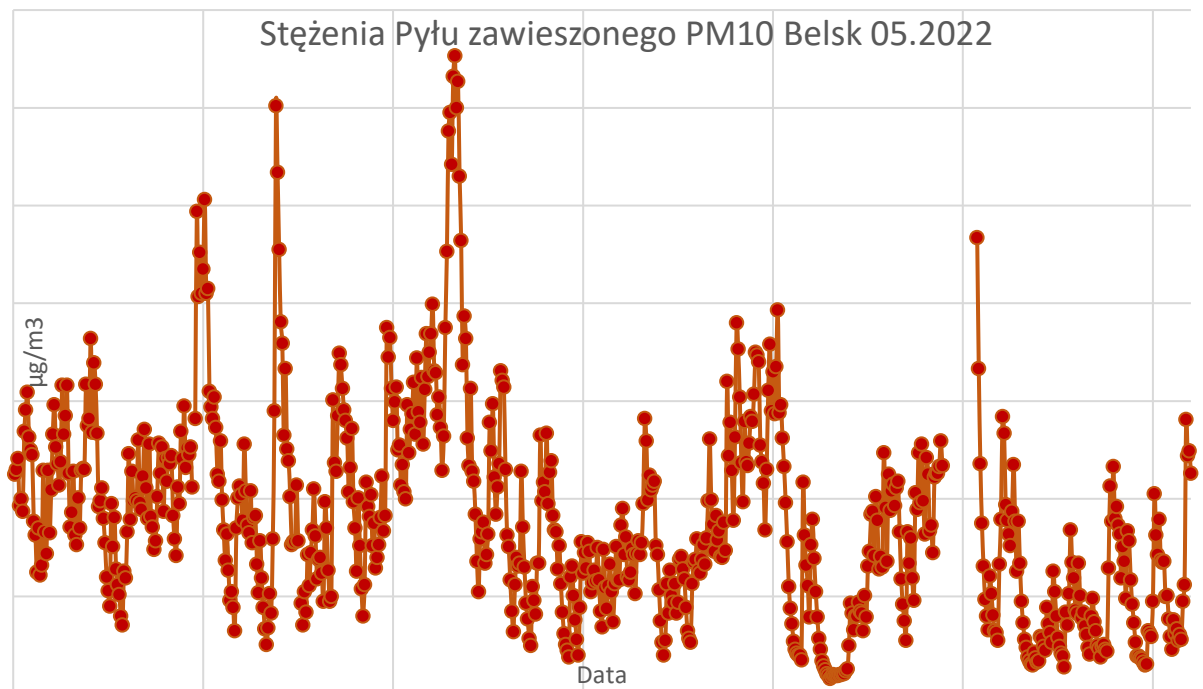


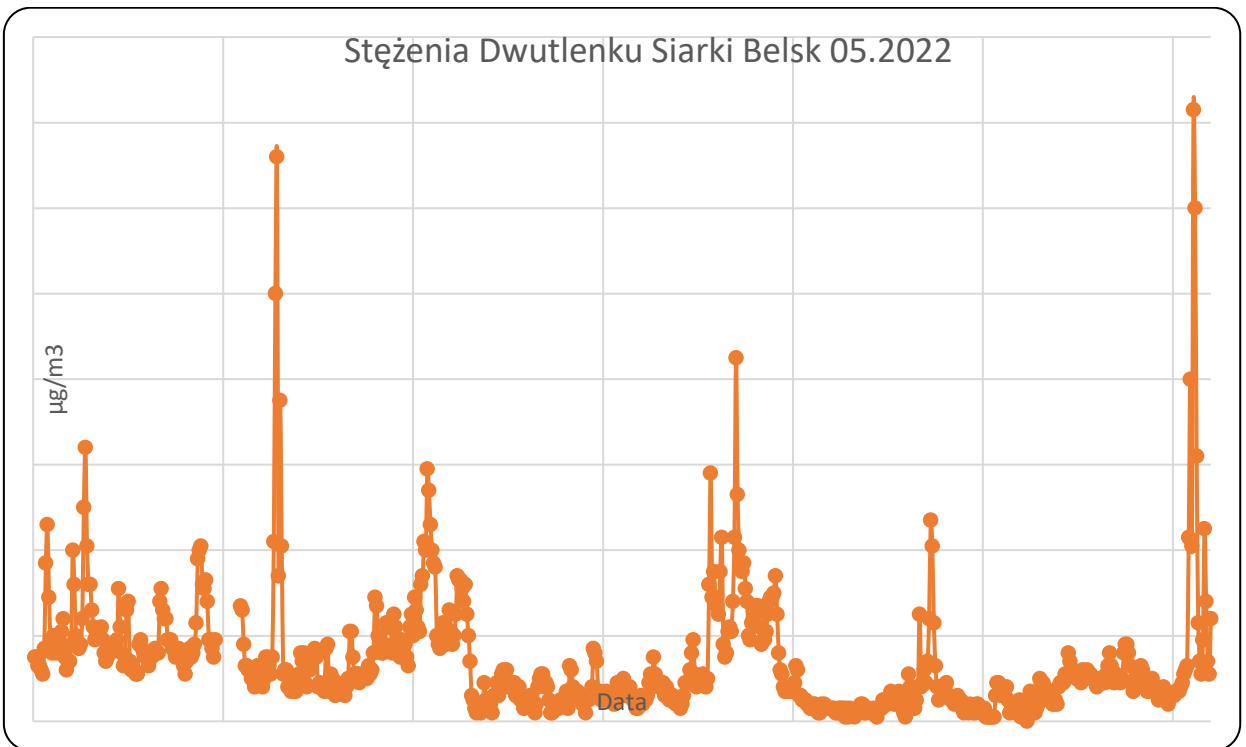
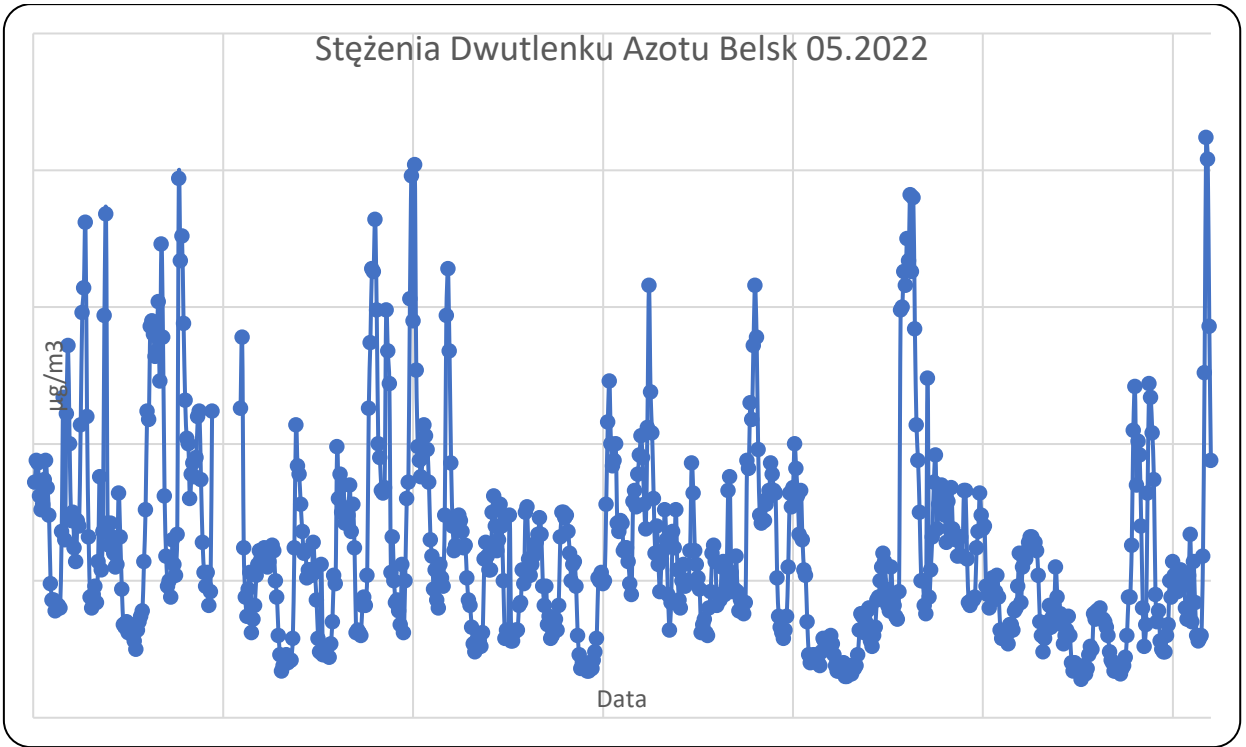


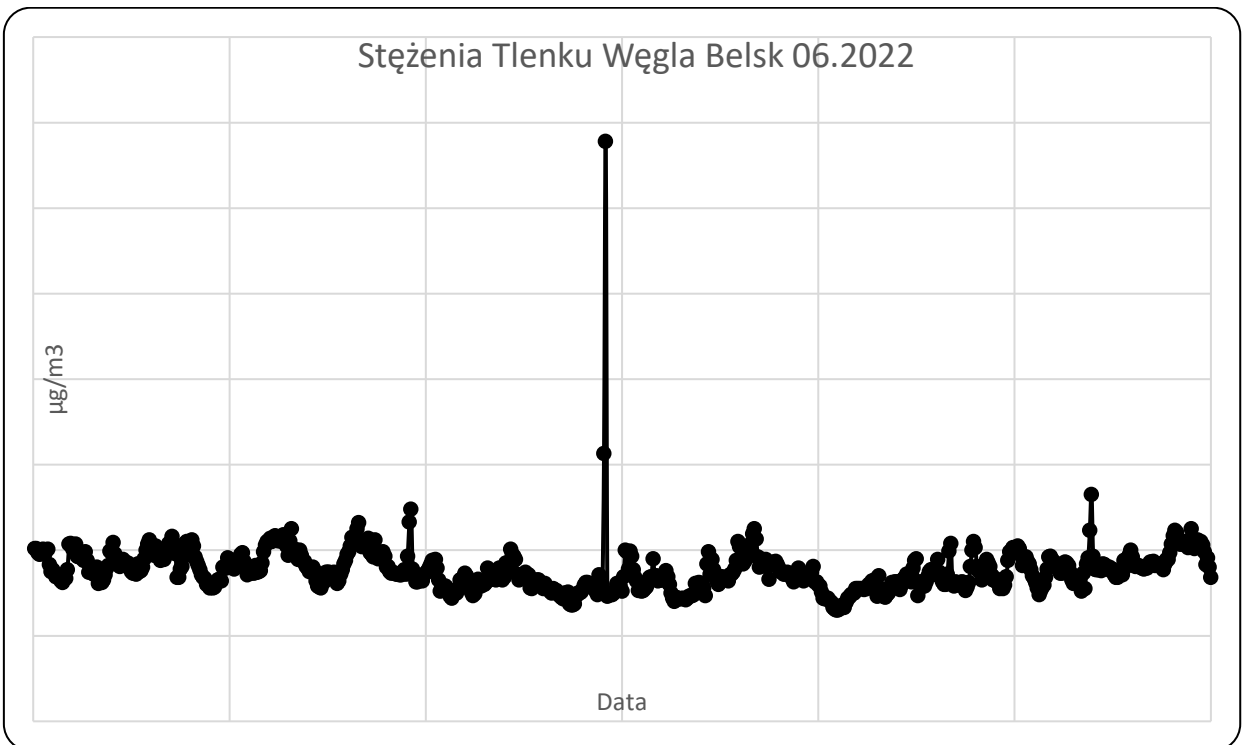
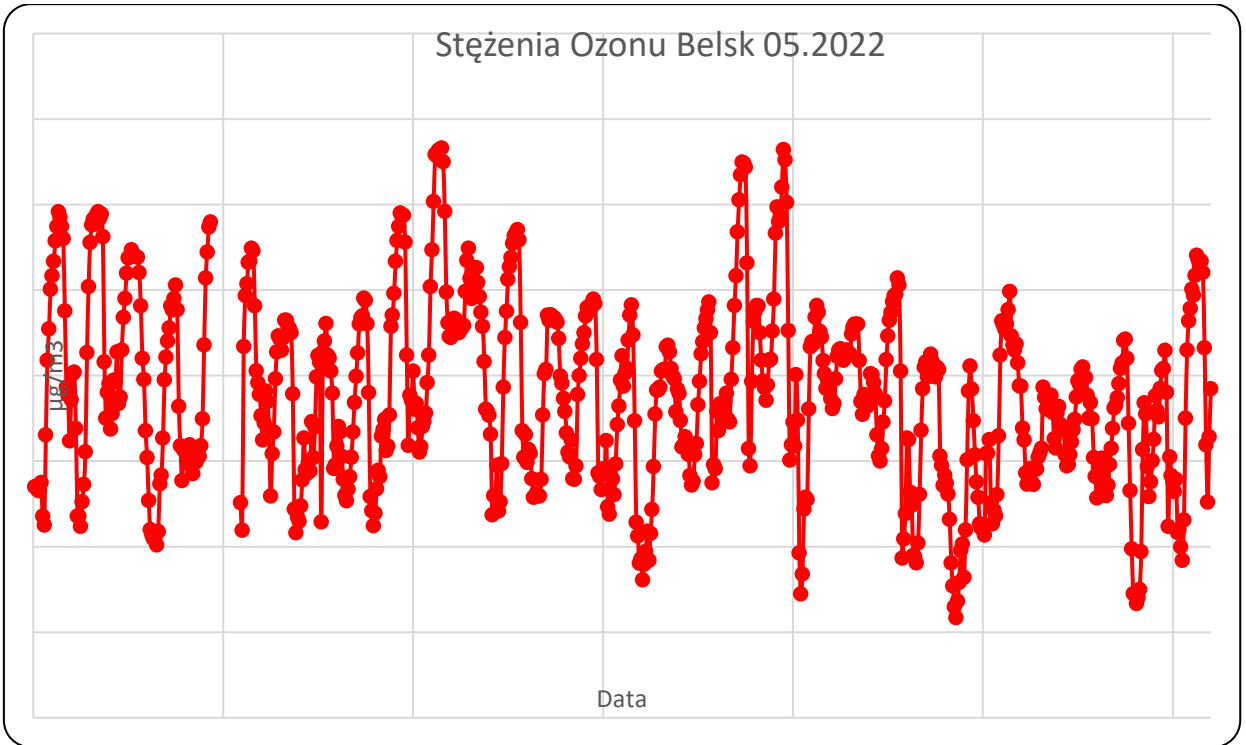
Stężenia Tlenku Węgla Belsk 05.2022

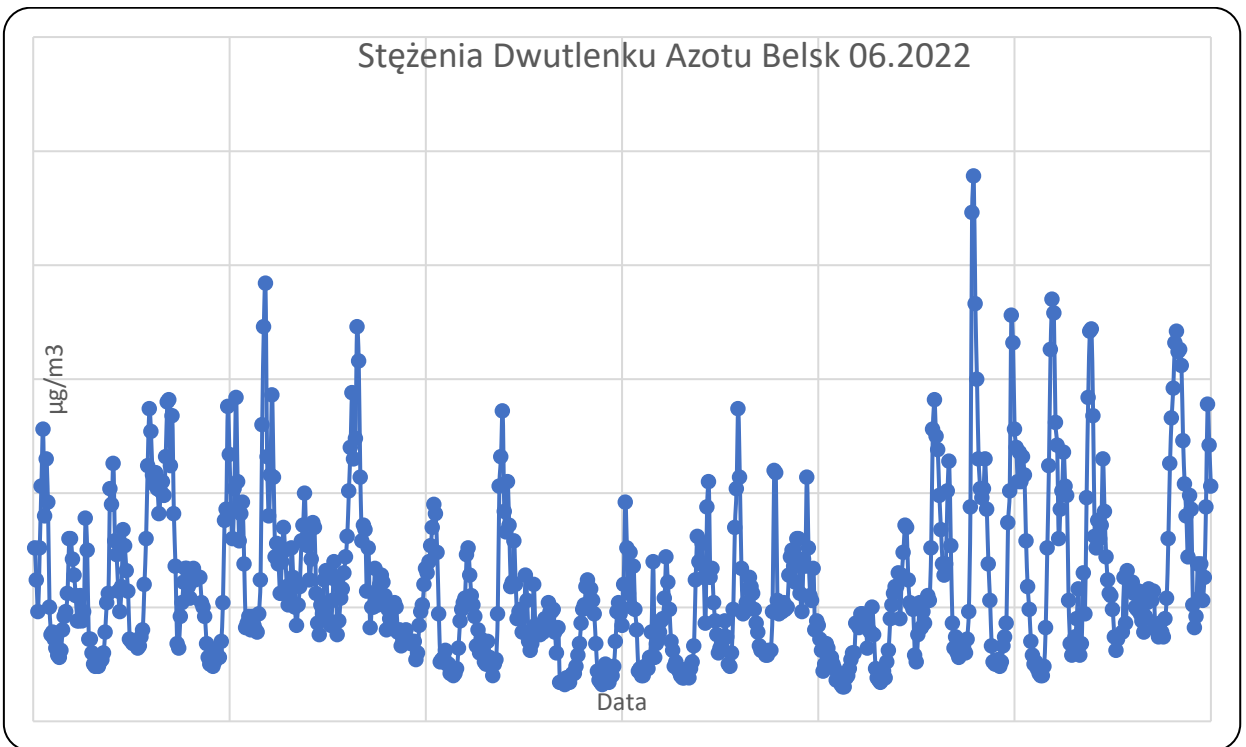
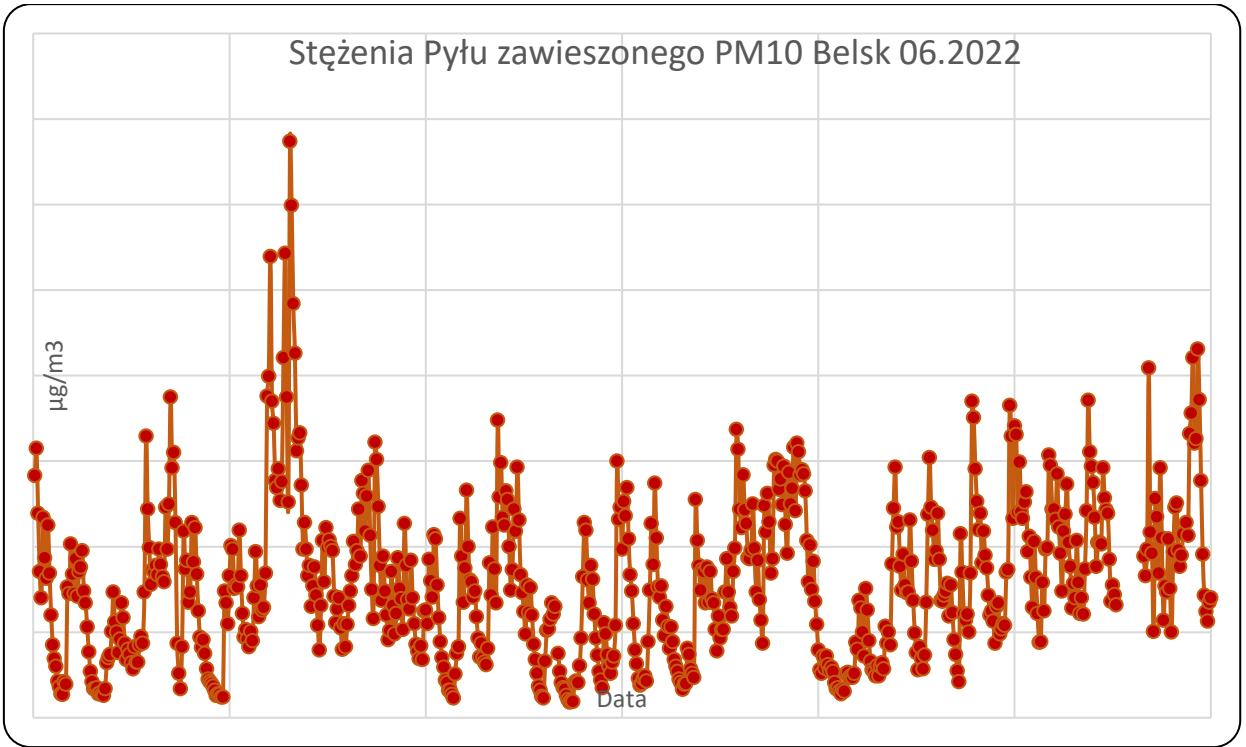


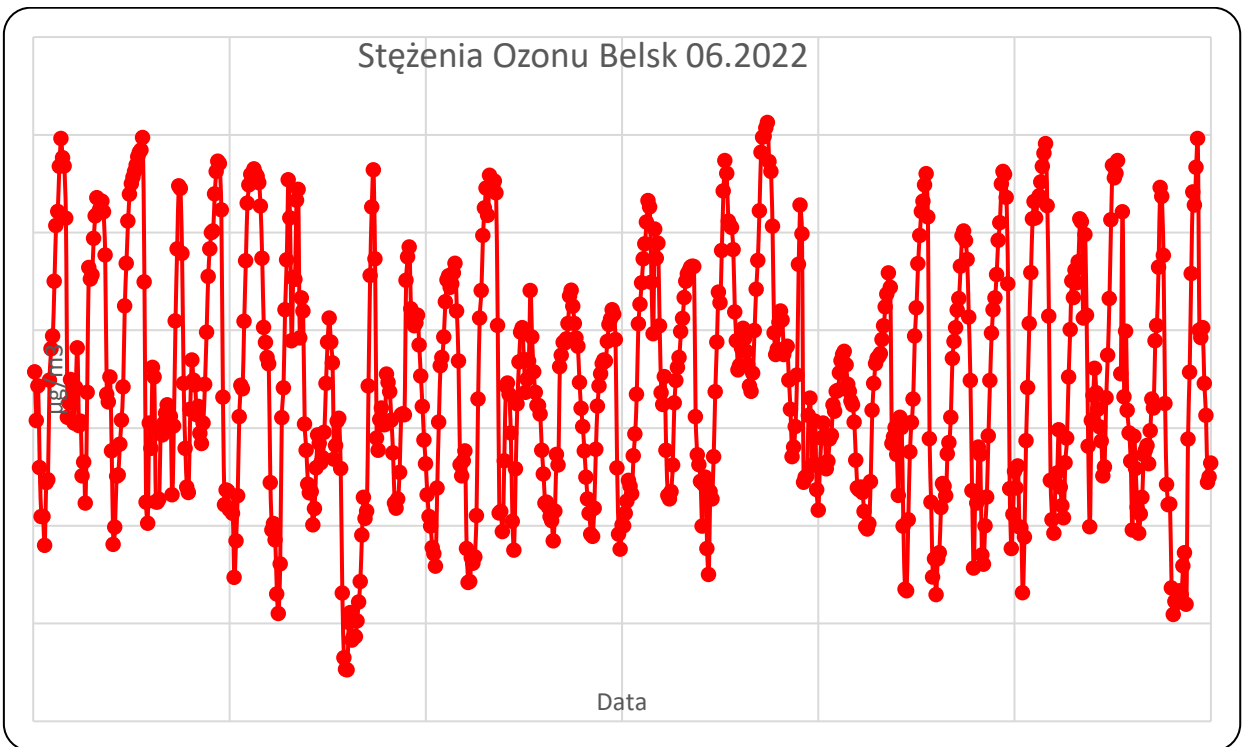
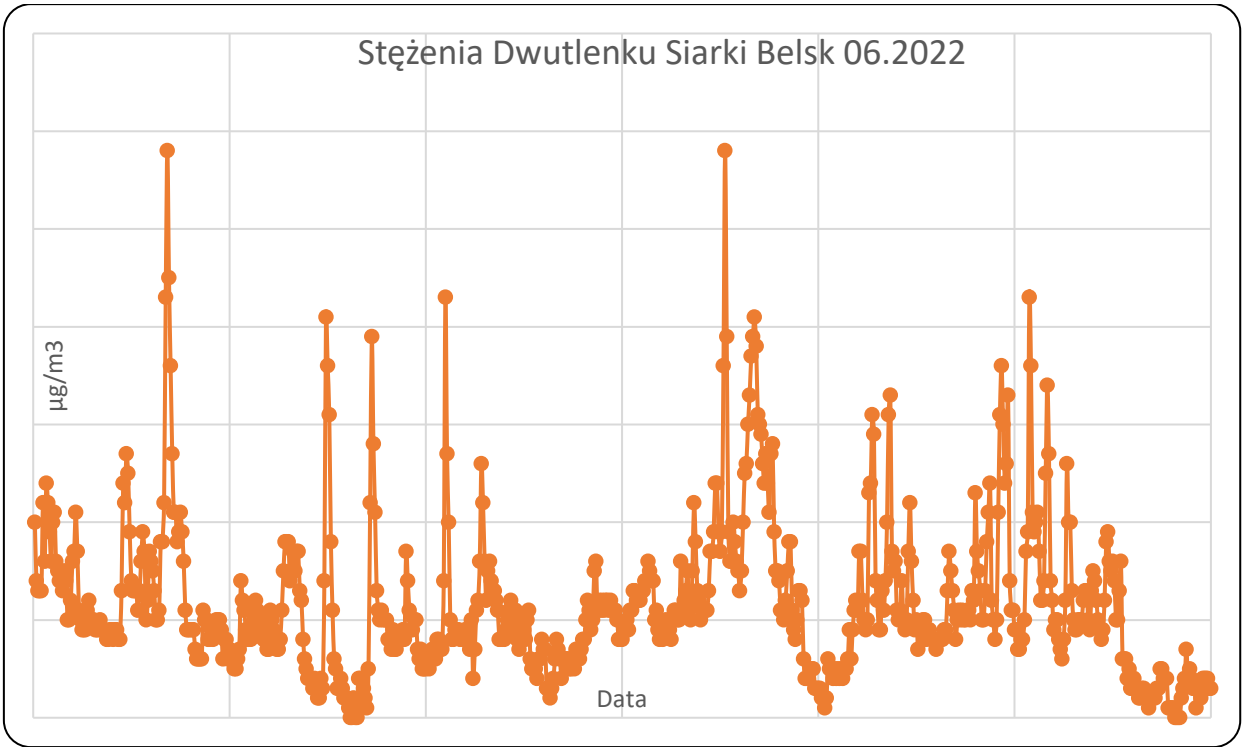
Stężenia Pyłu zawieszonego PM10 Belsk 05.2022

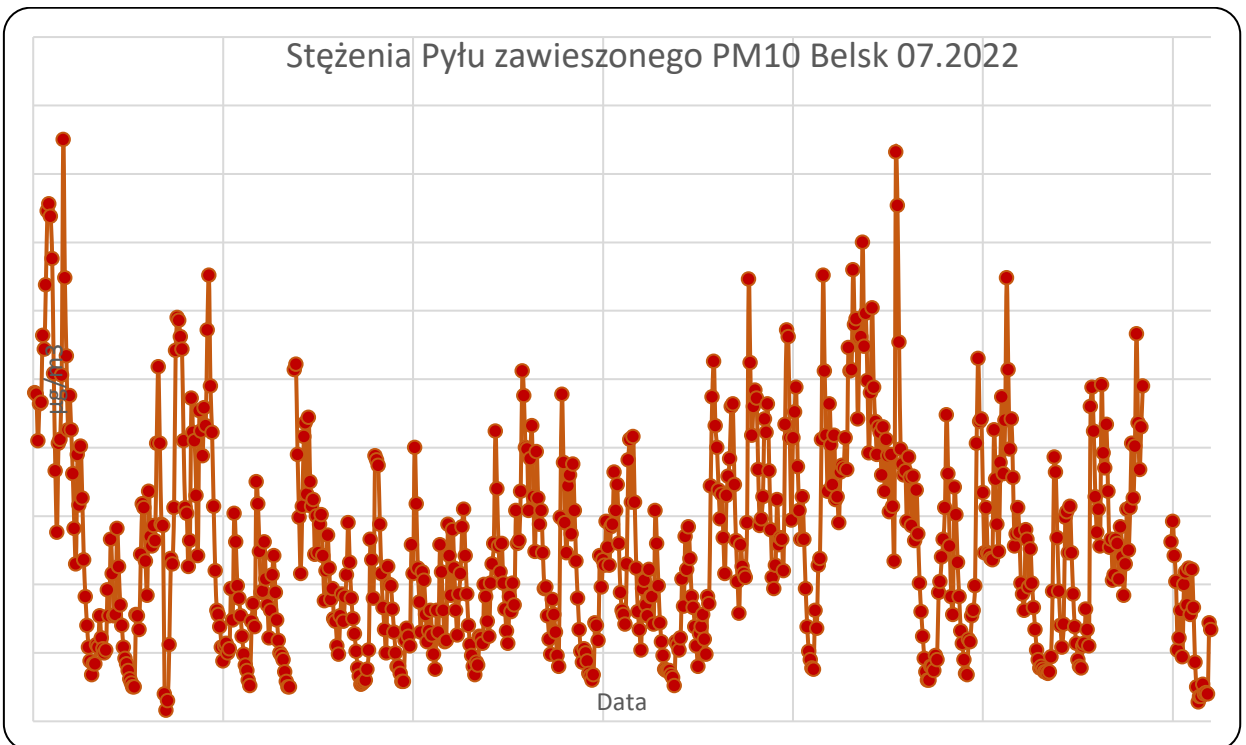
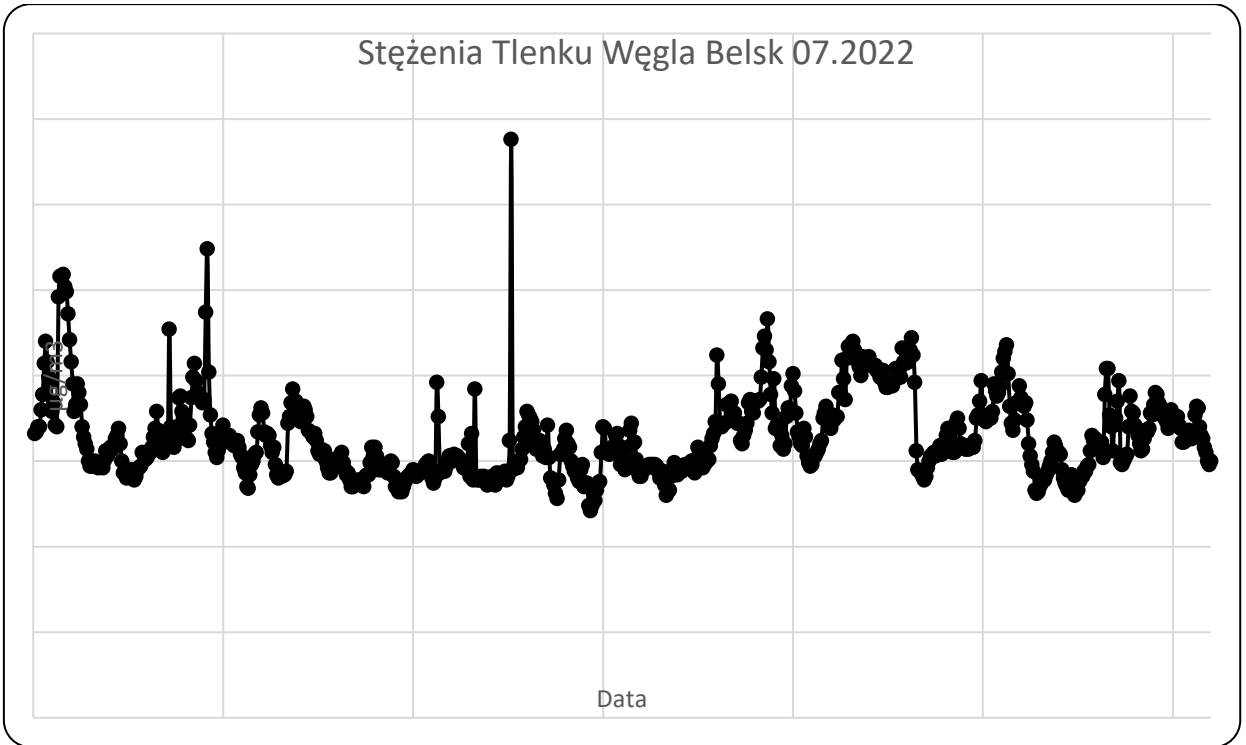


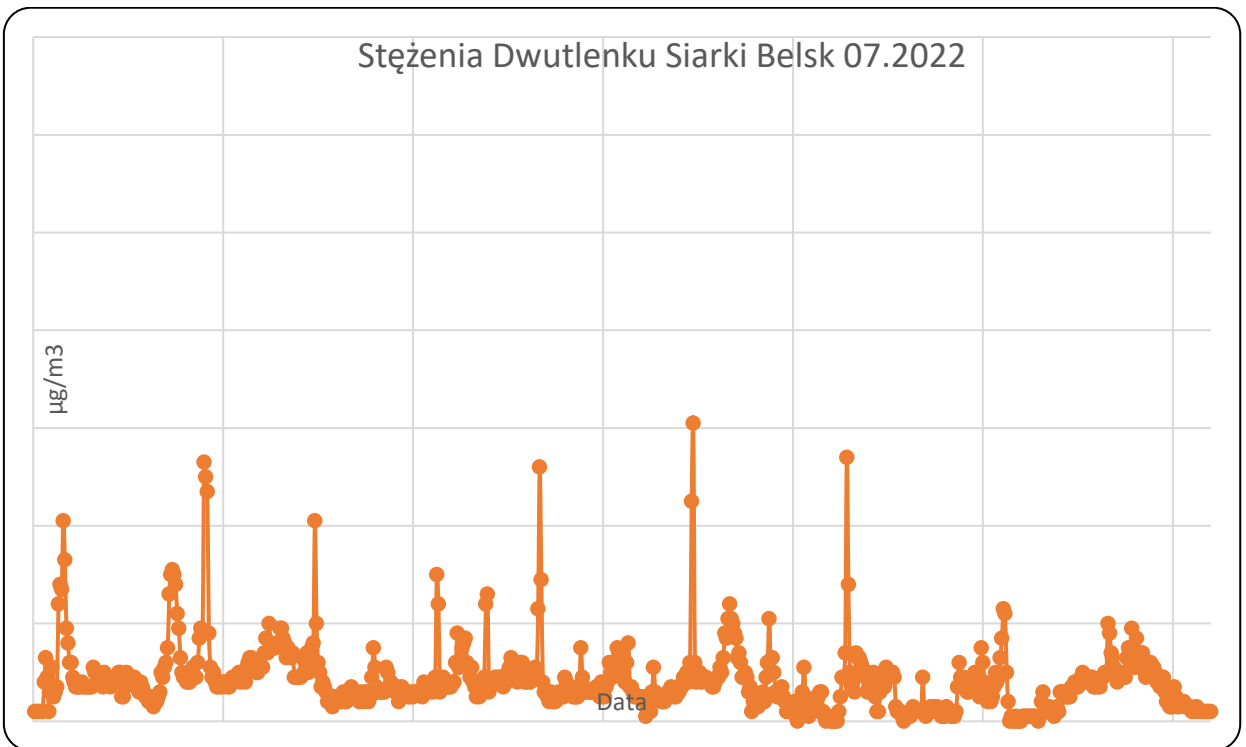
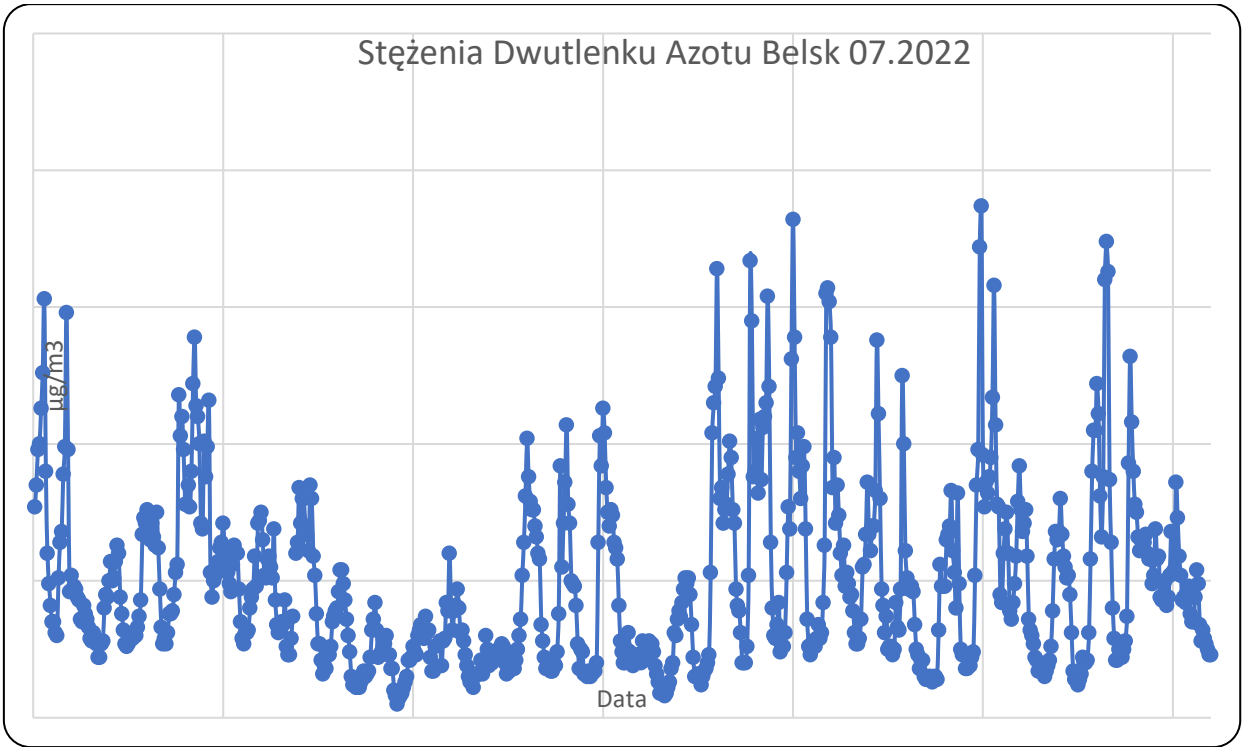


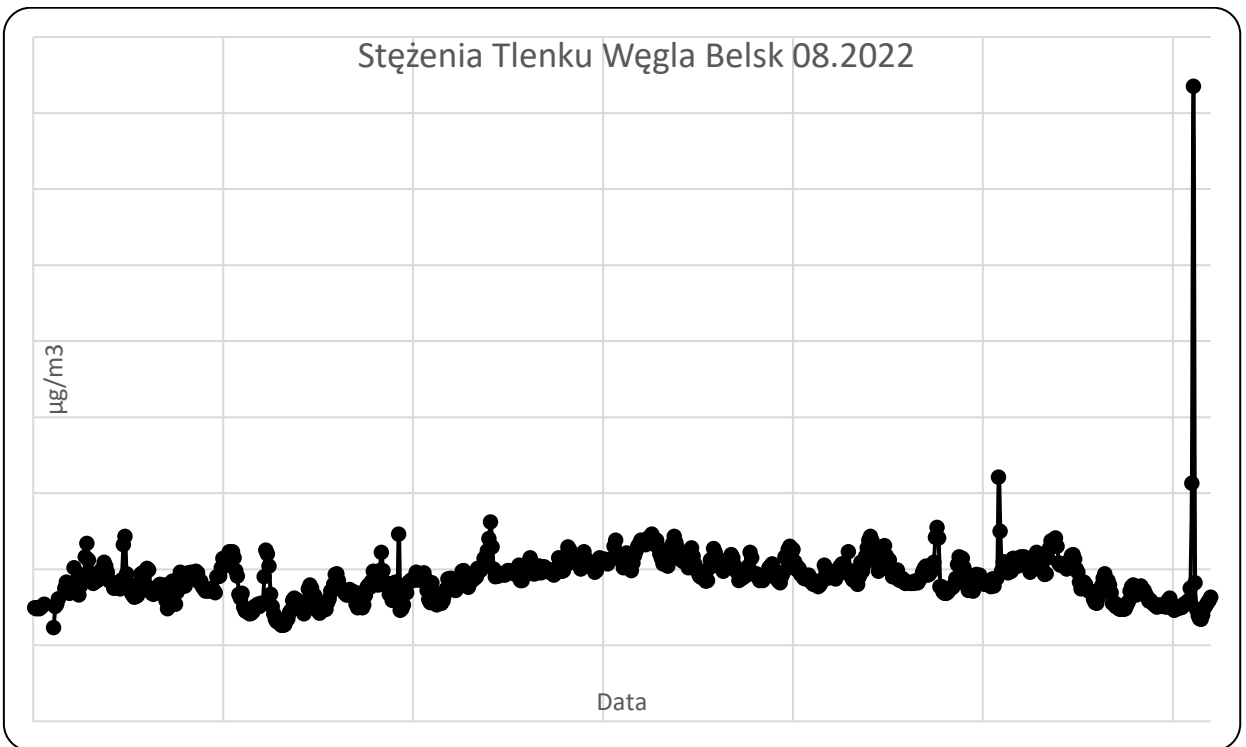
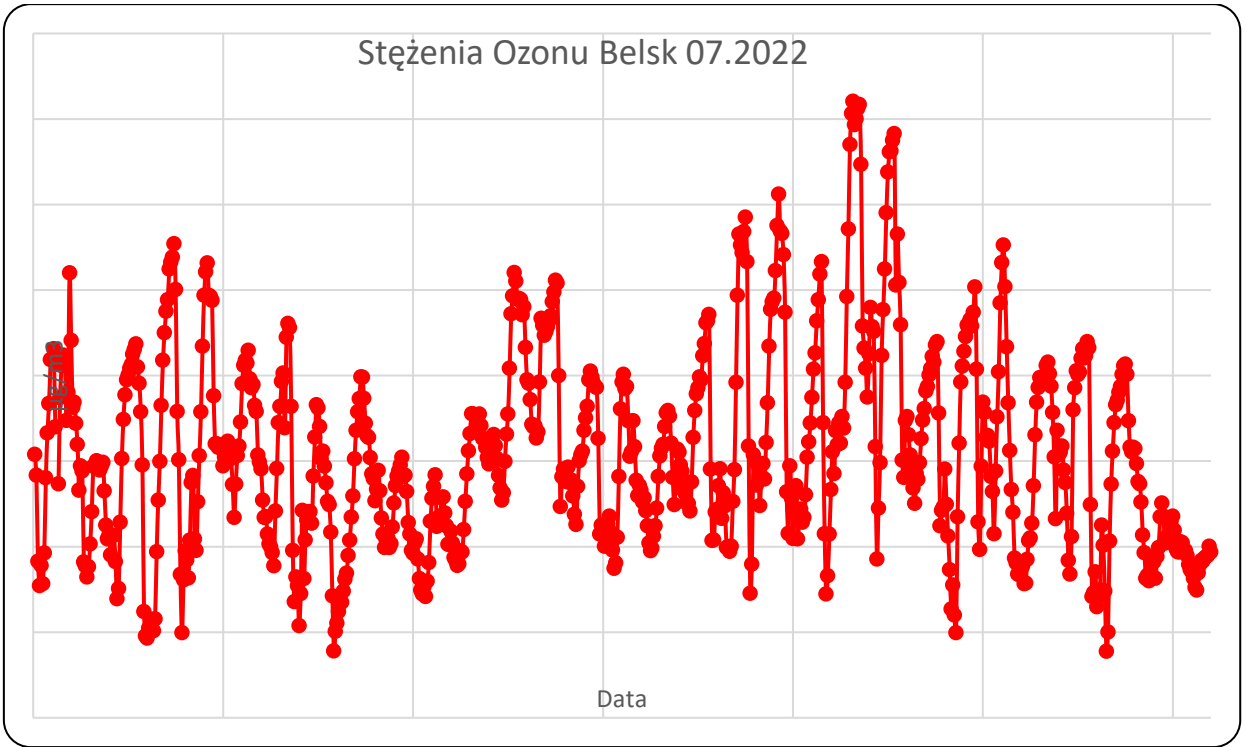


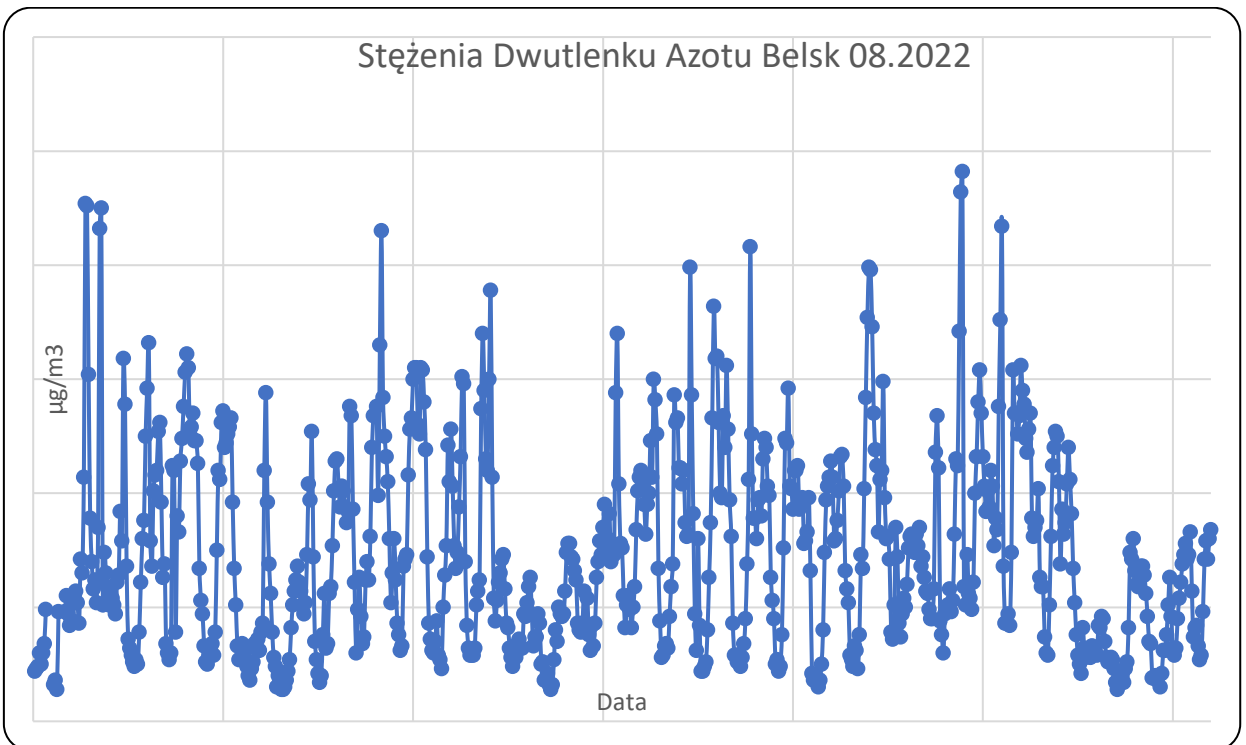
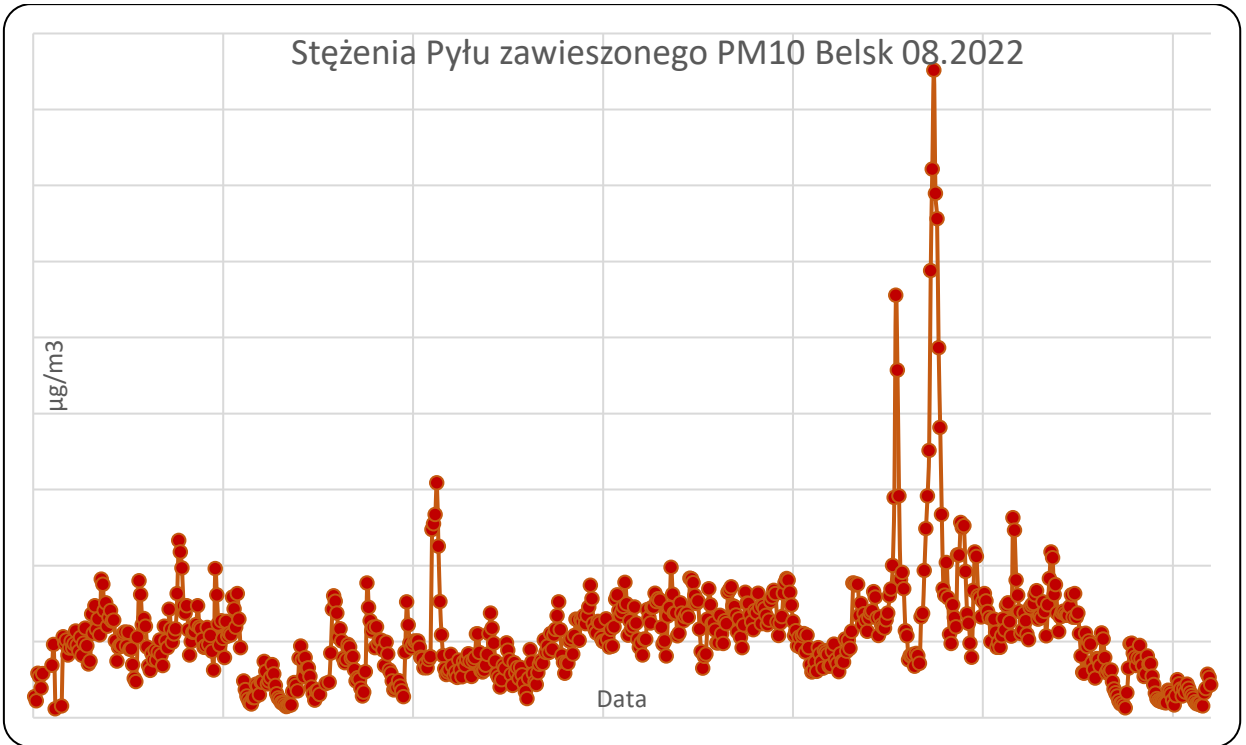


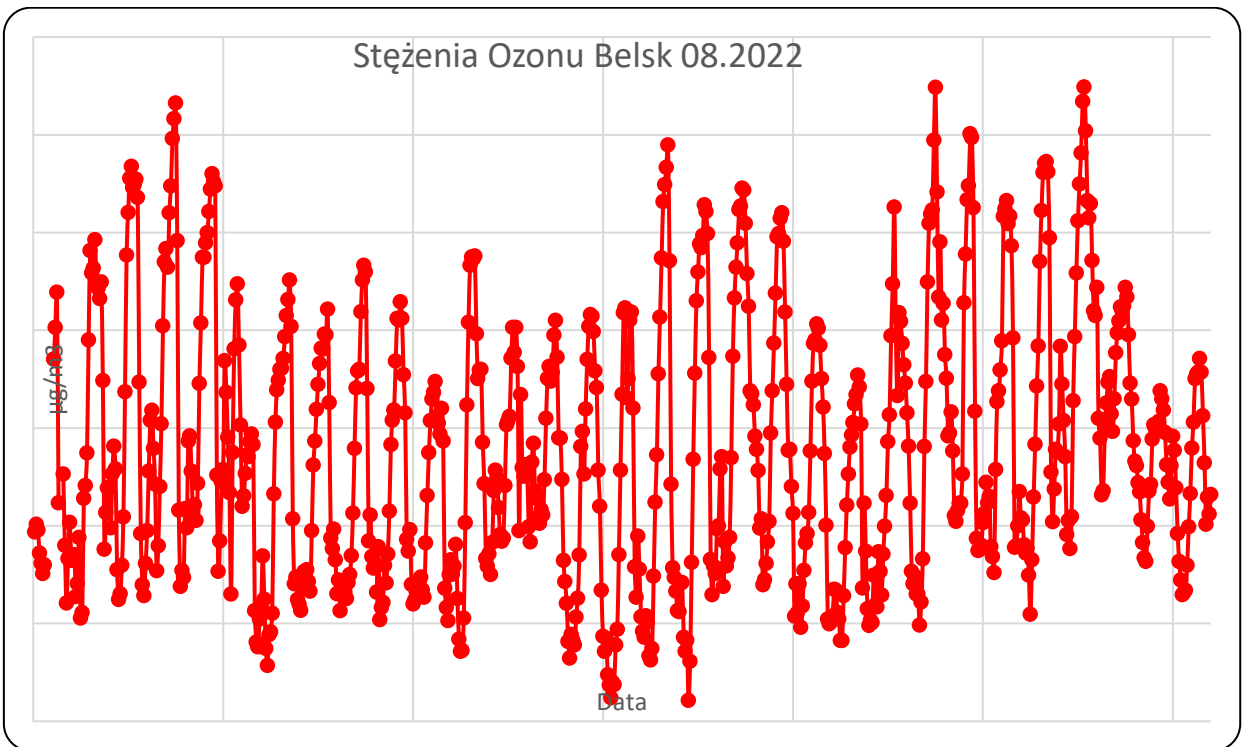
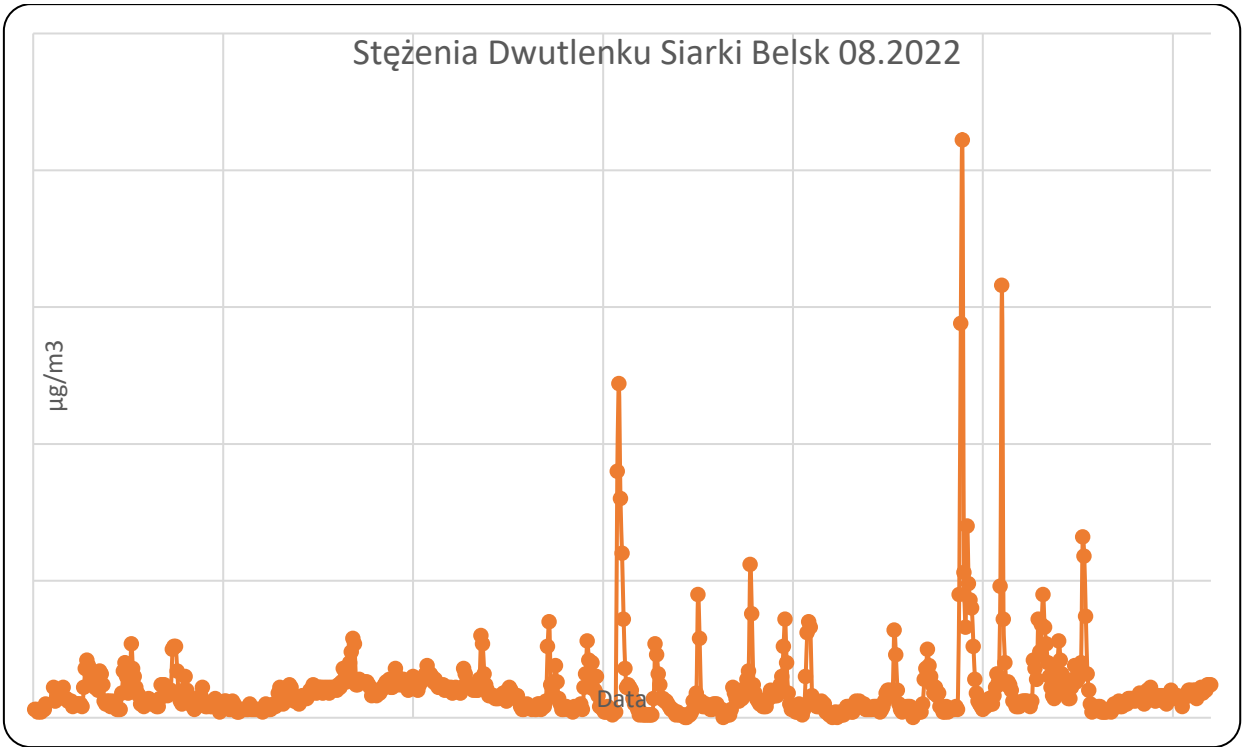


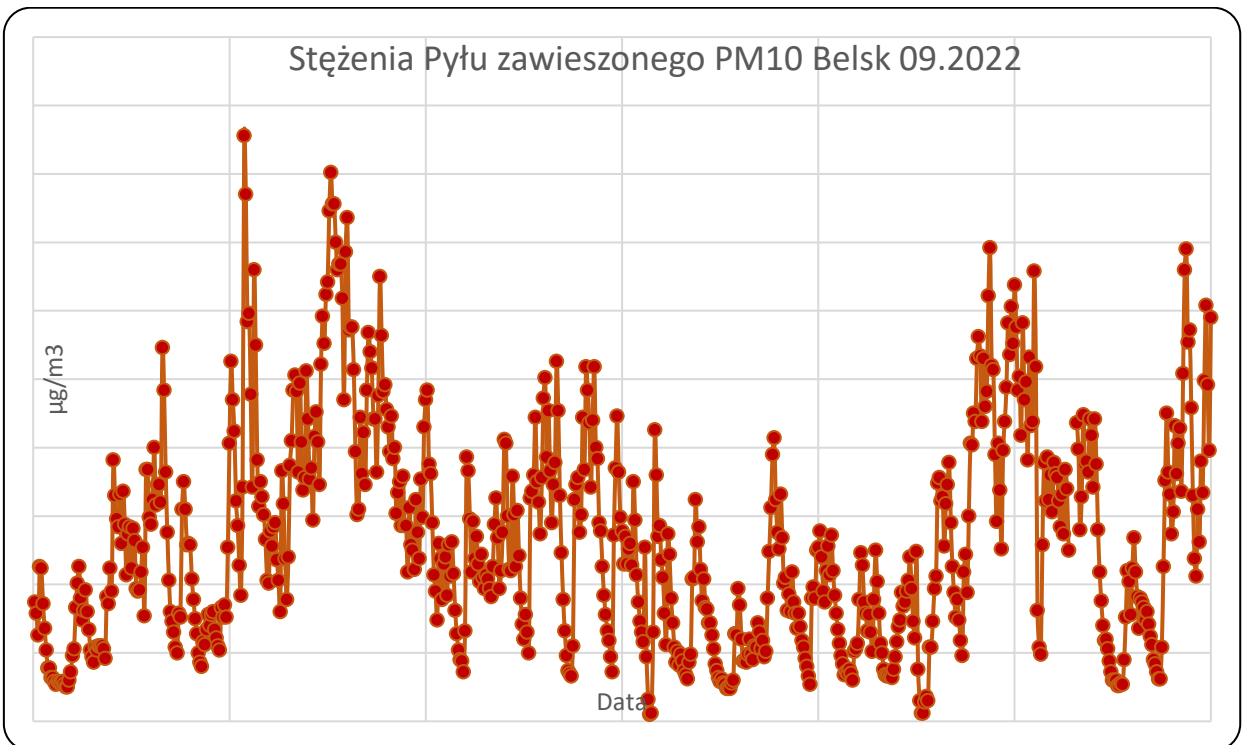
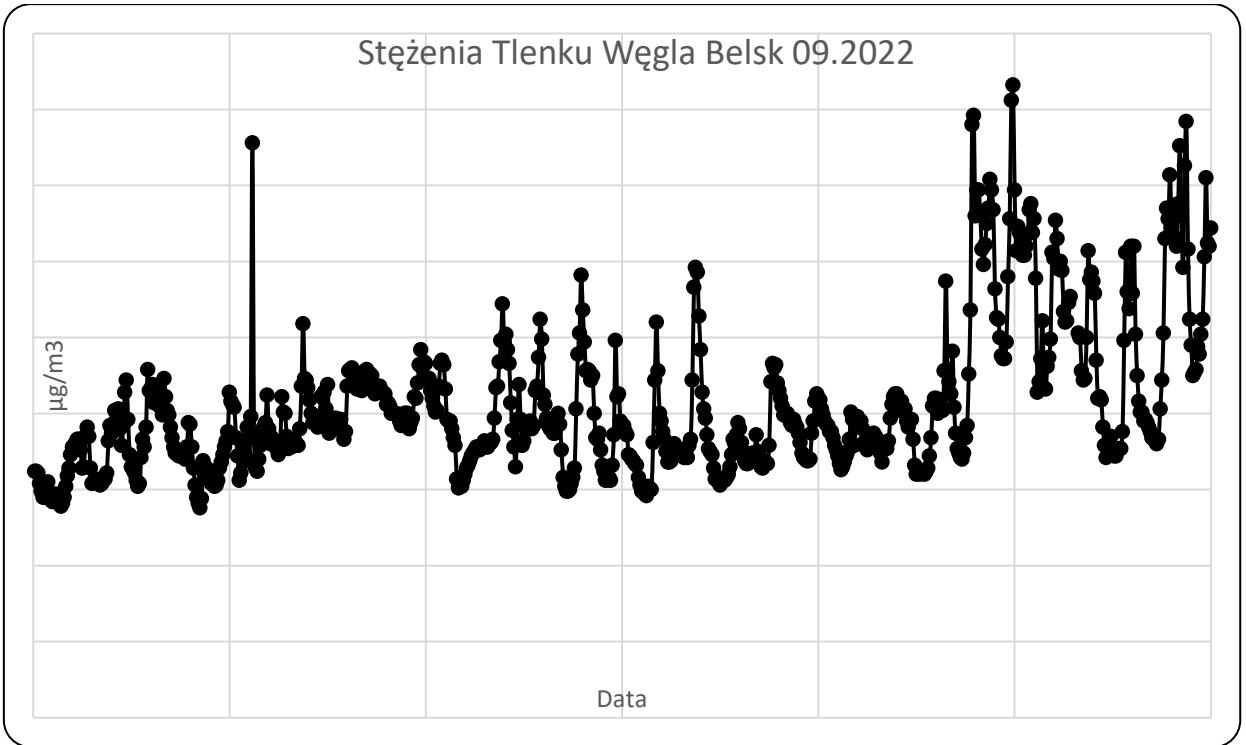


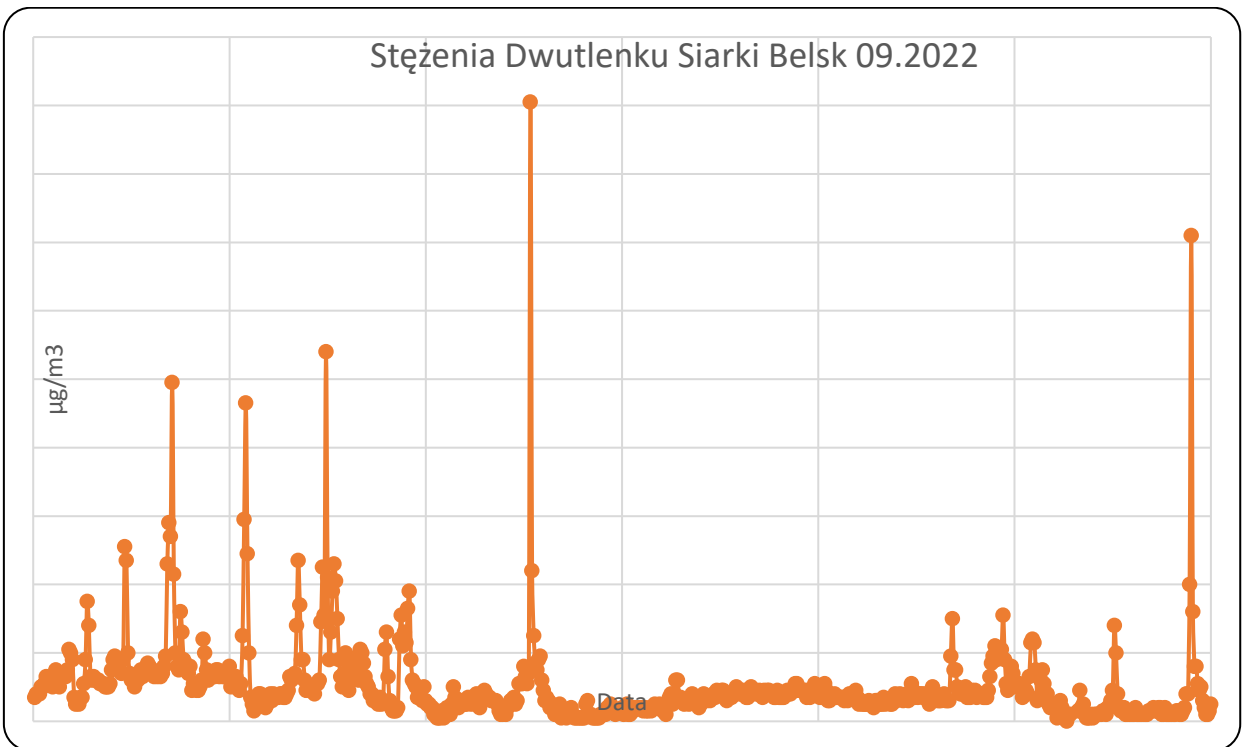
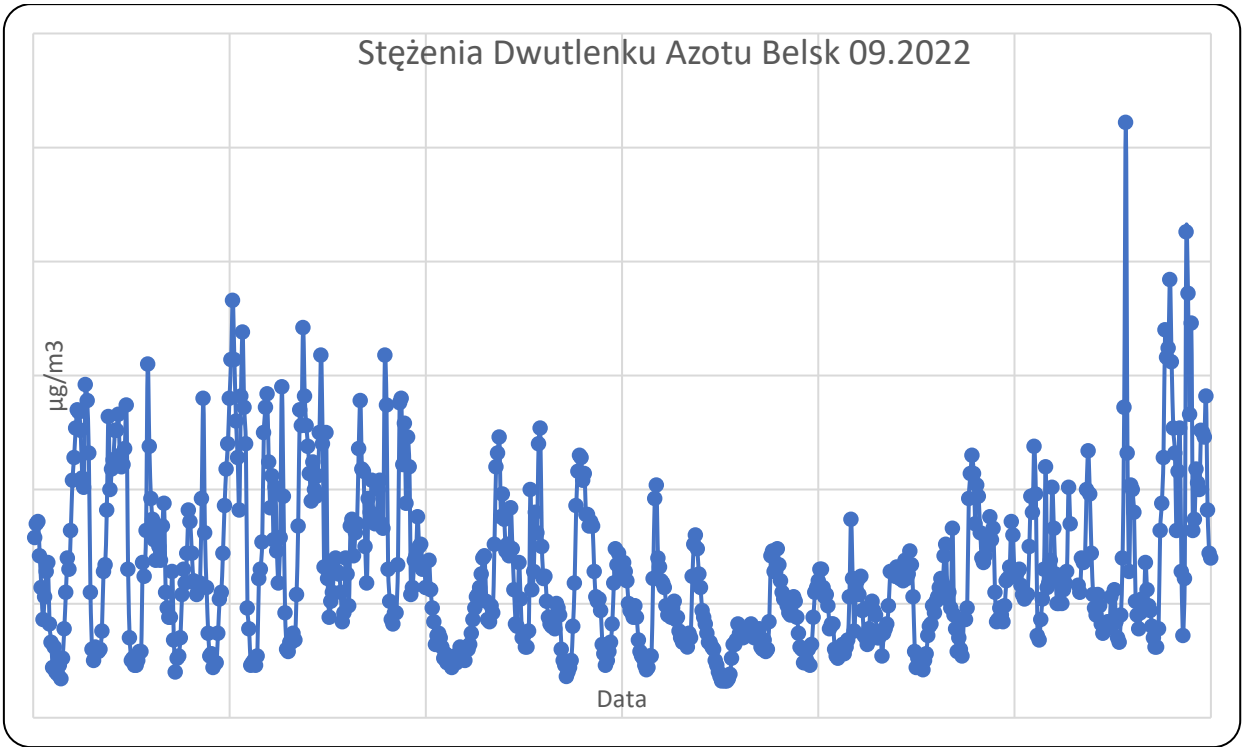


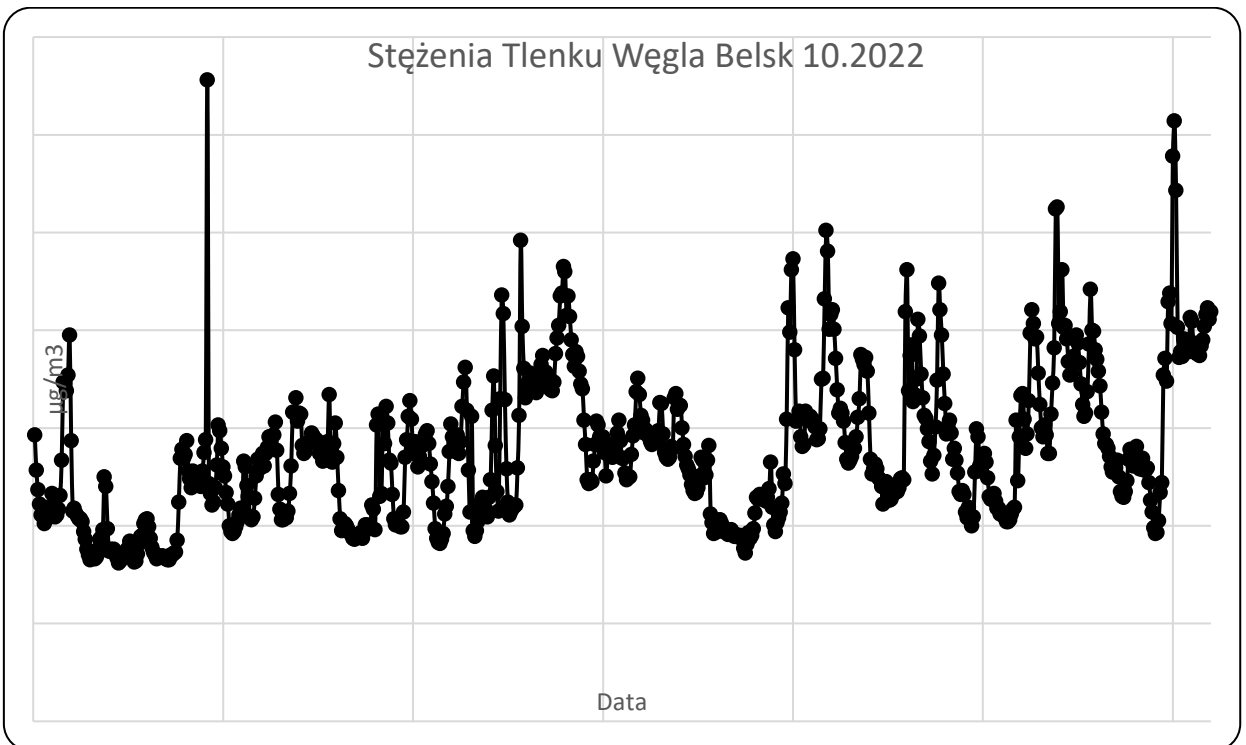
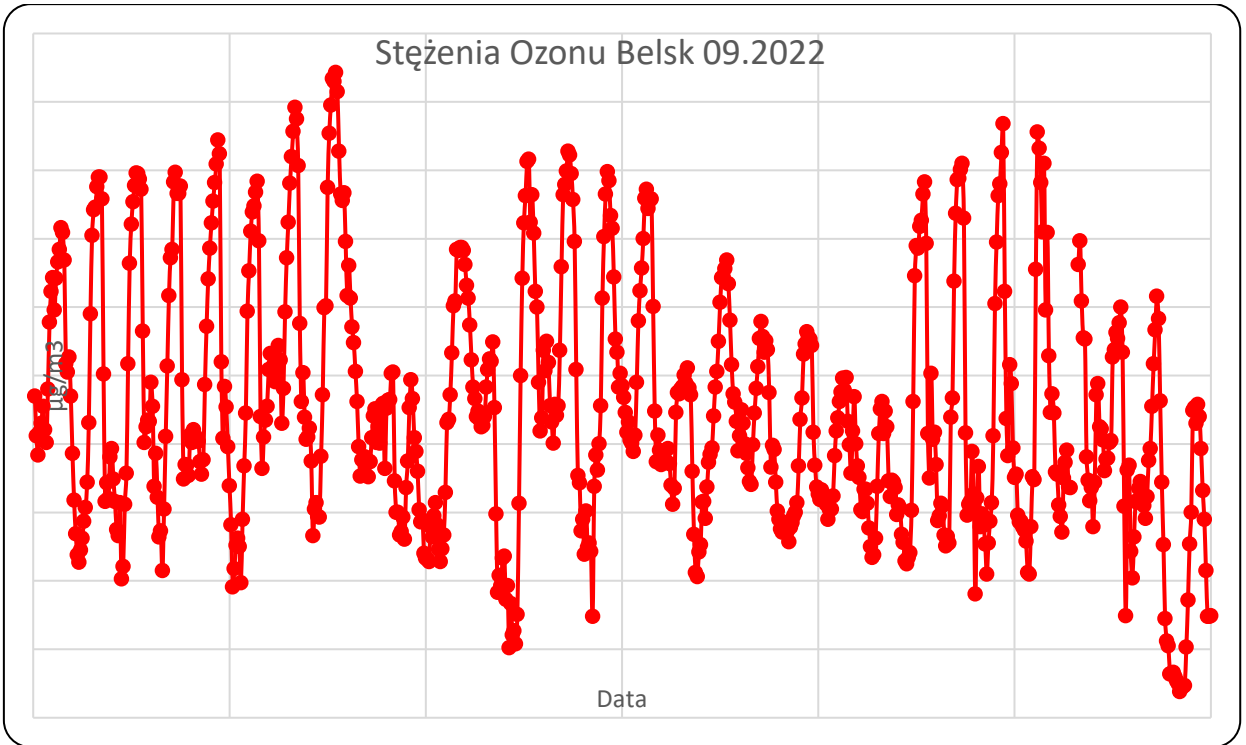


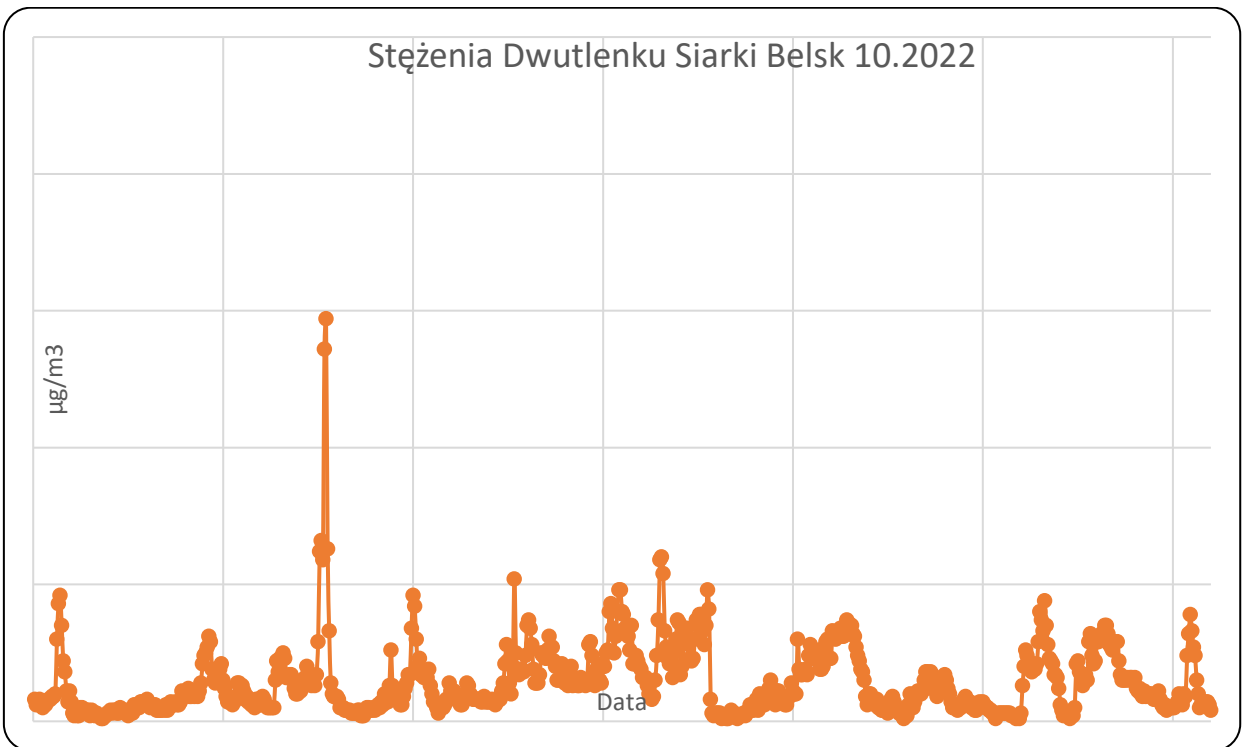
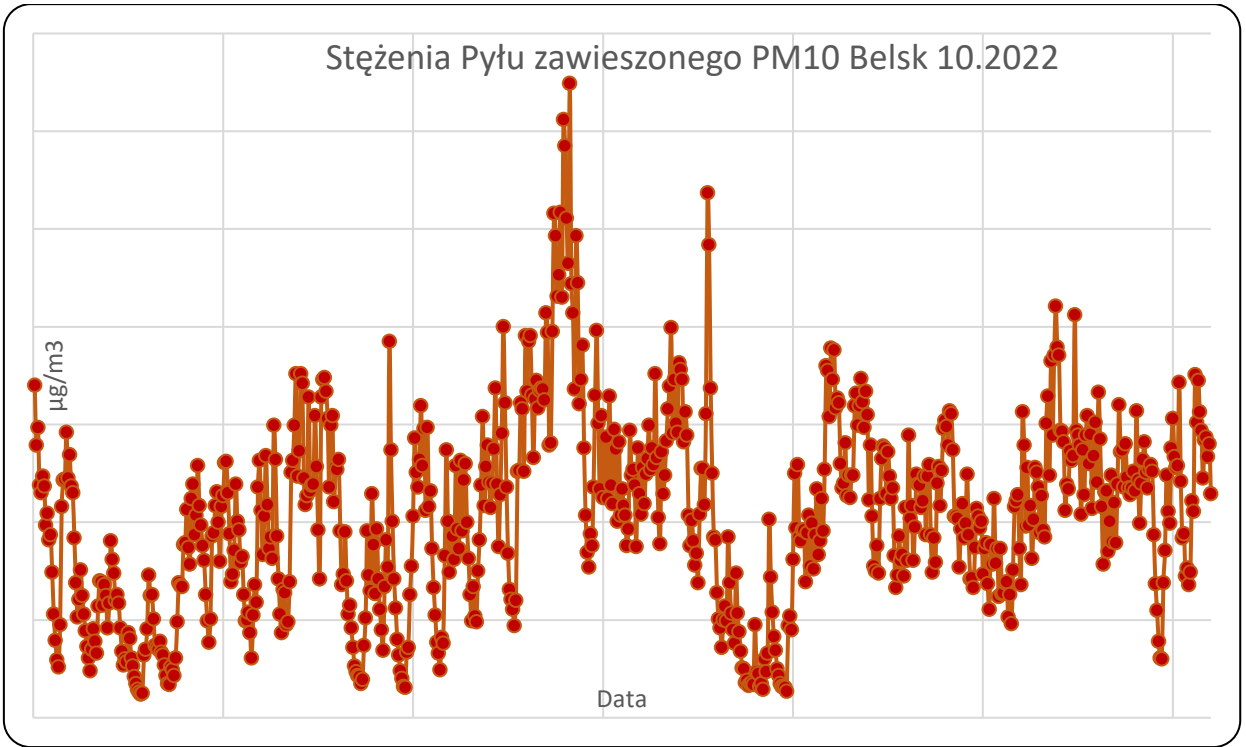


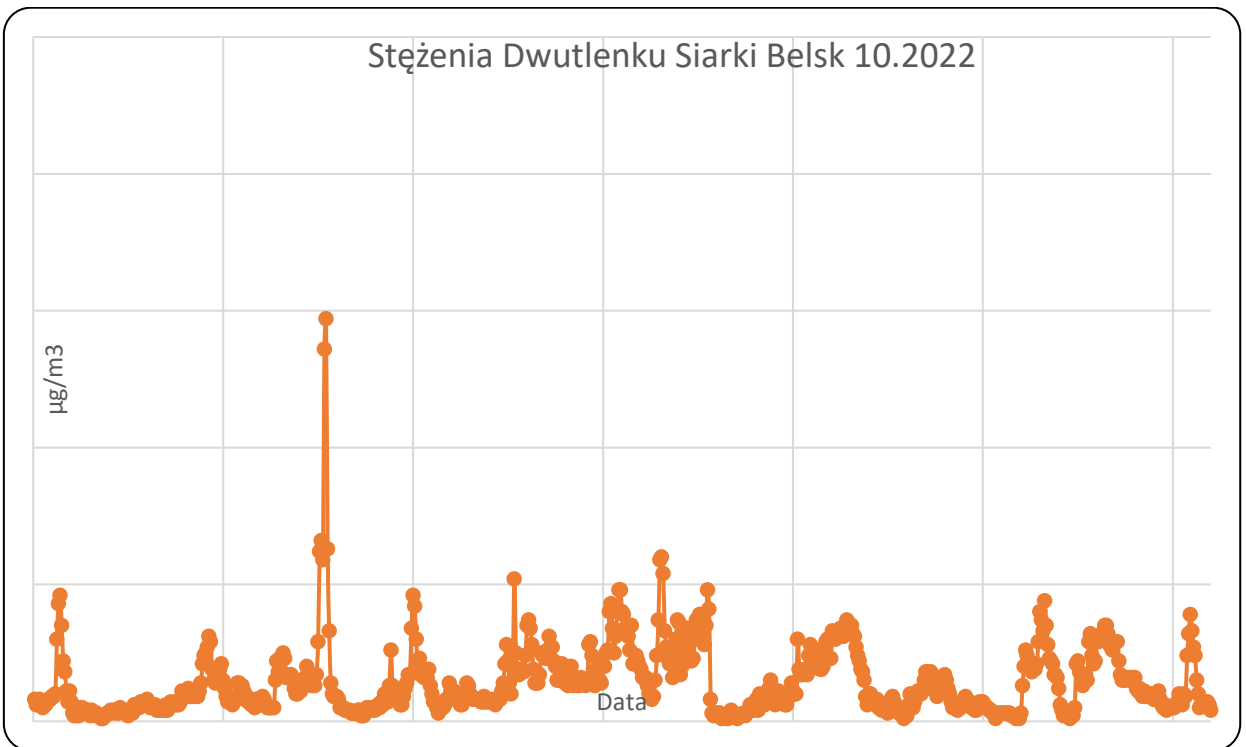
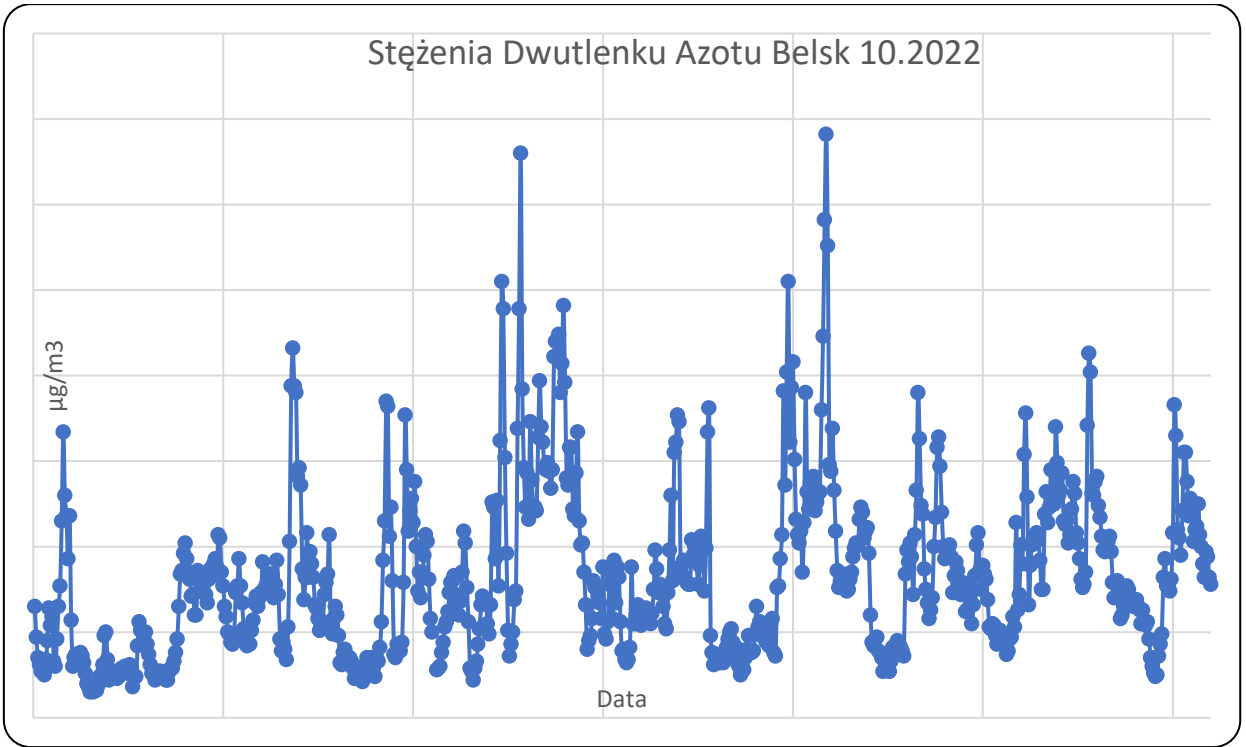


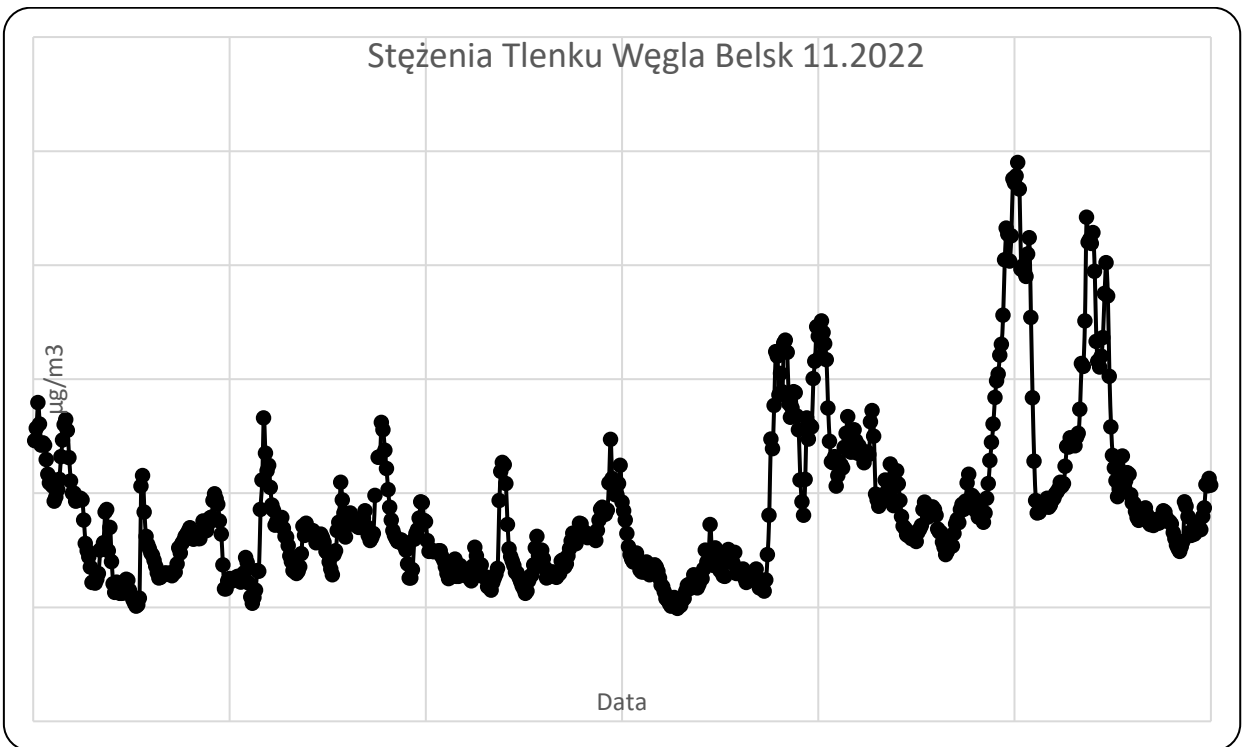
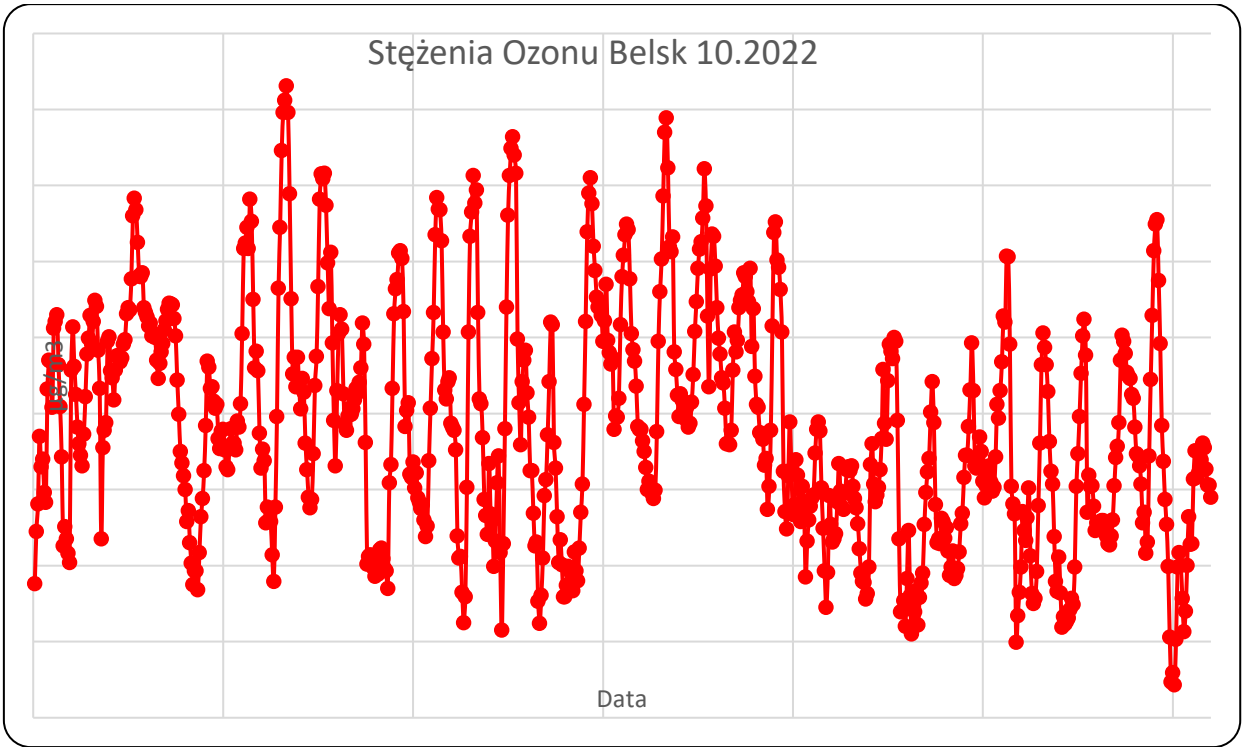


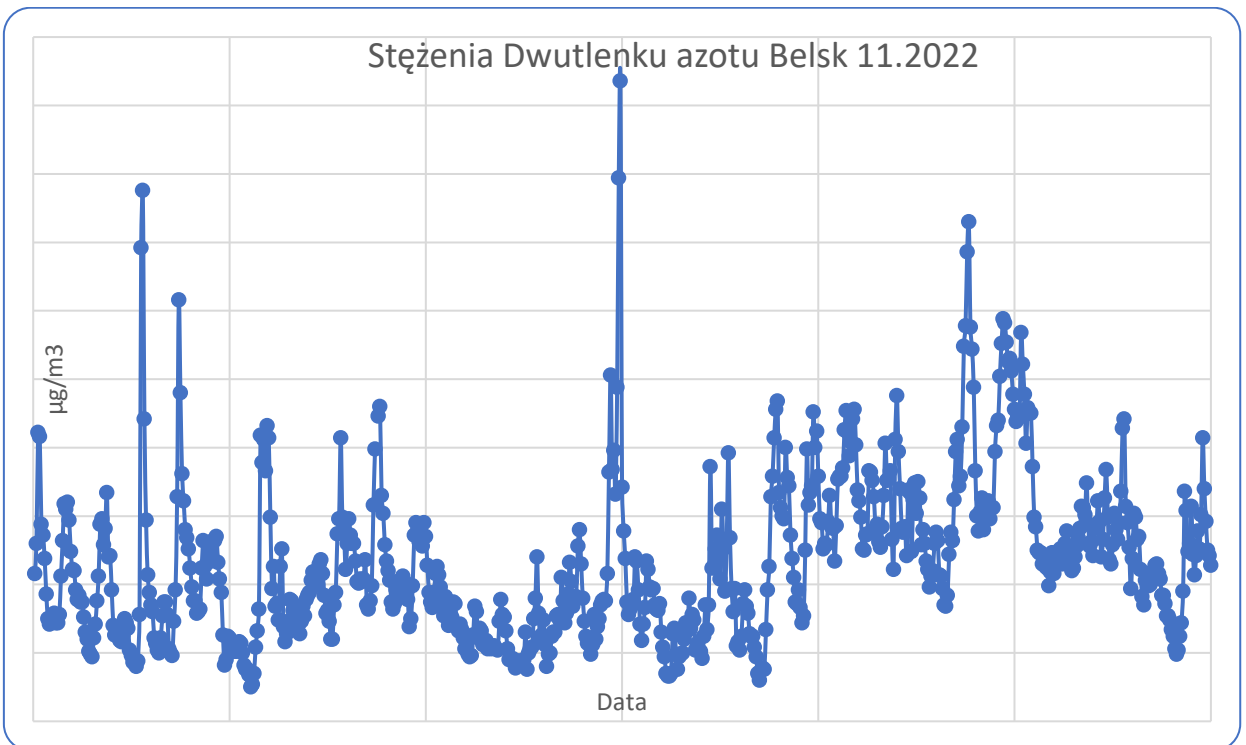
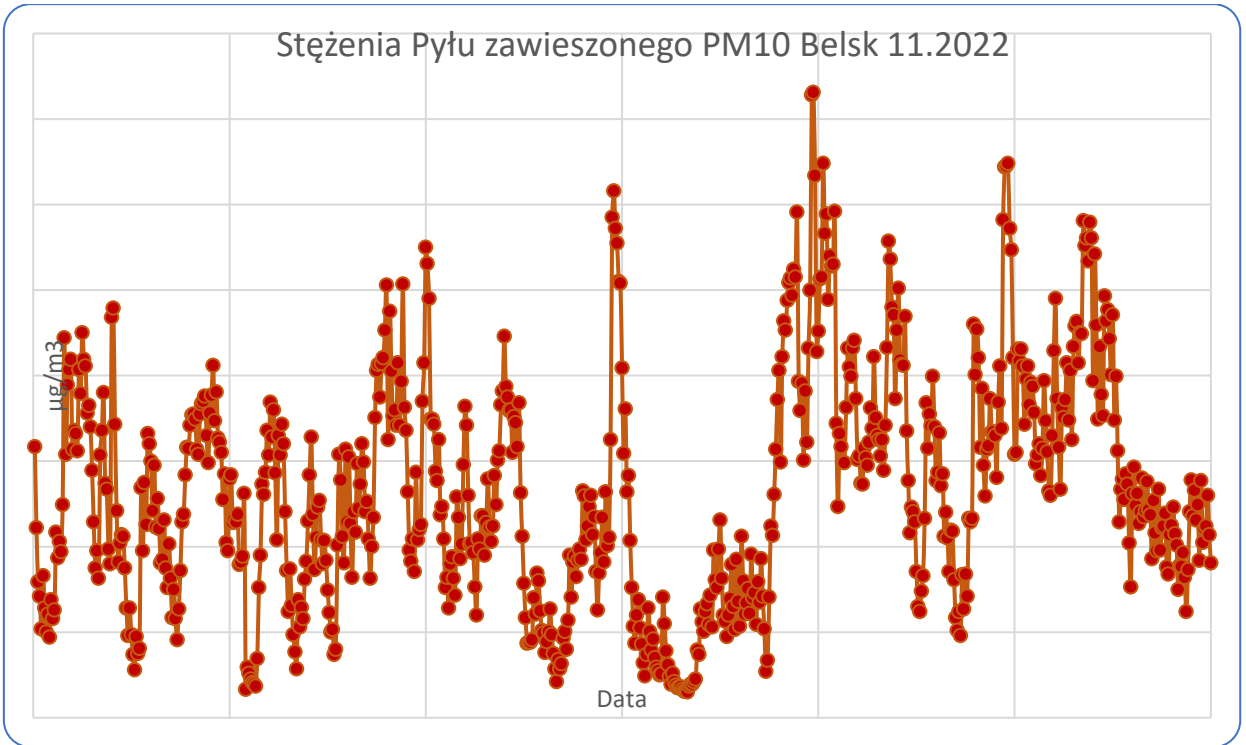


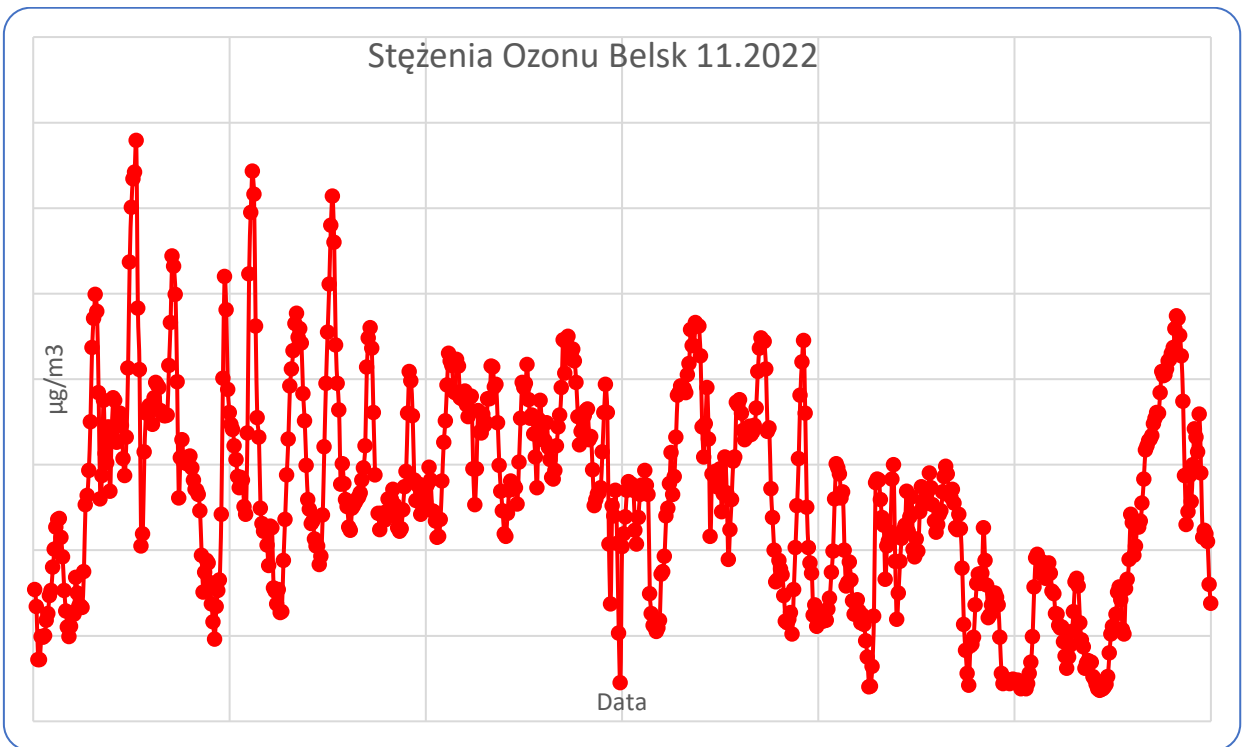
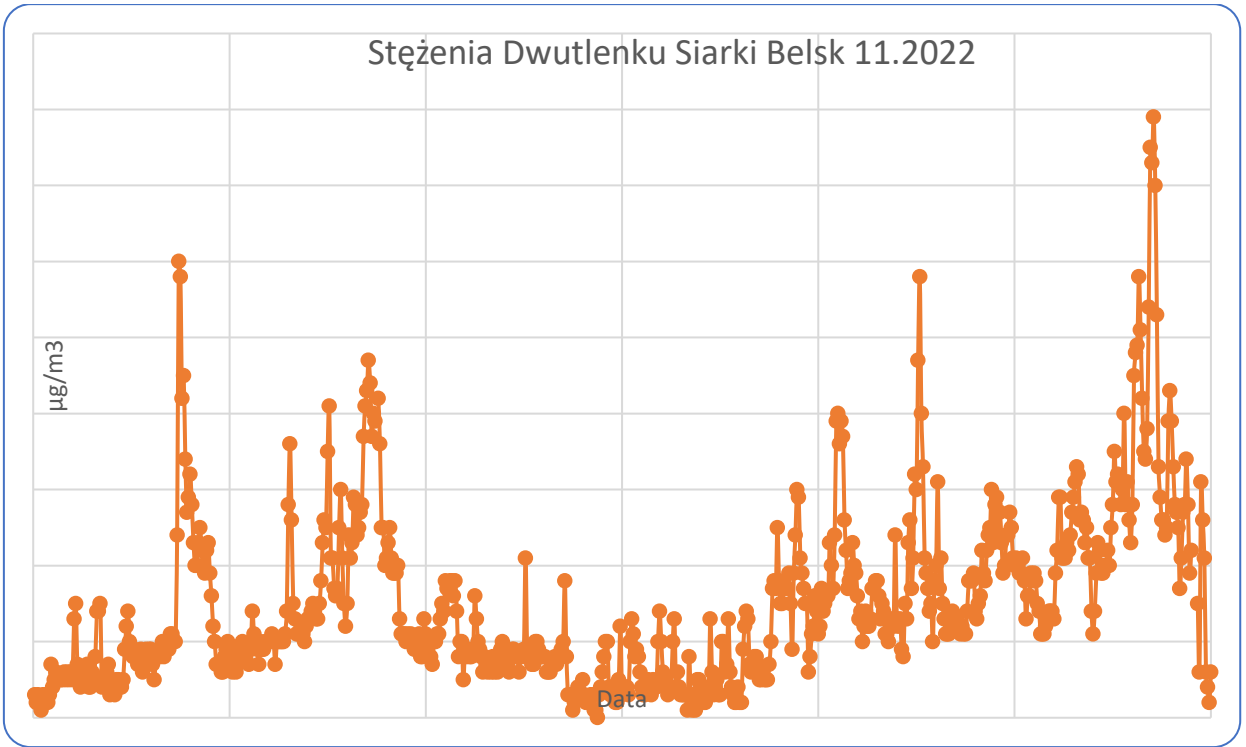


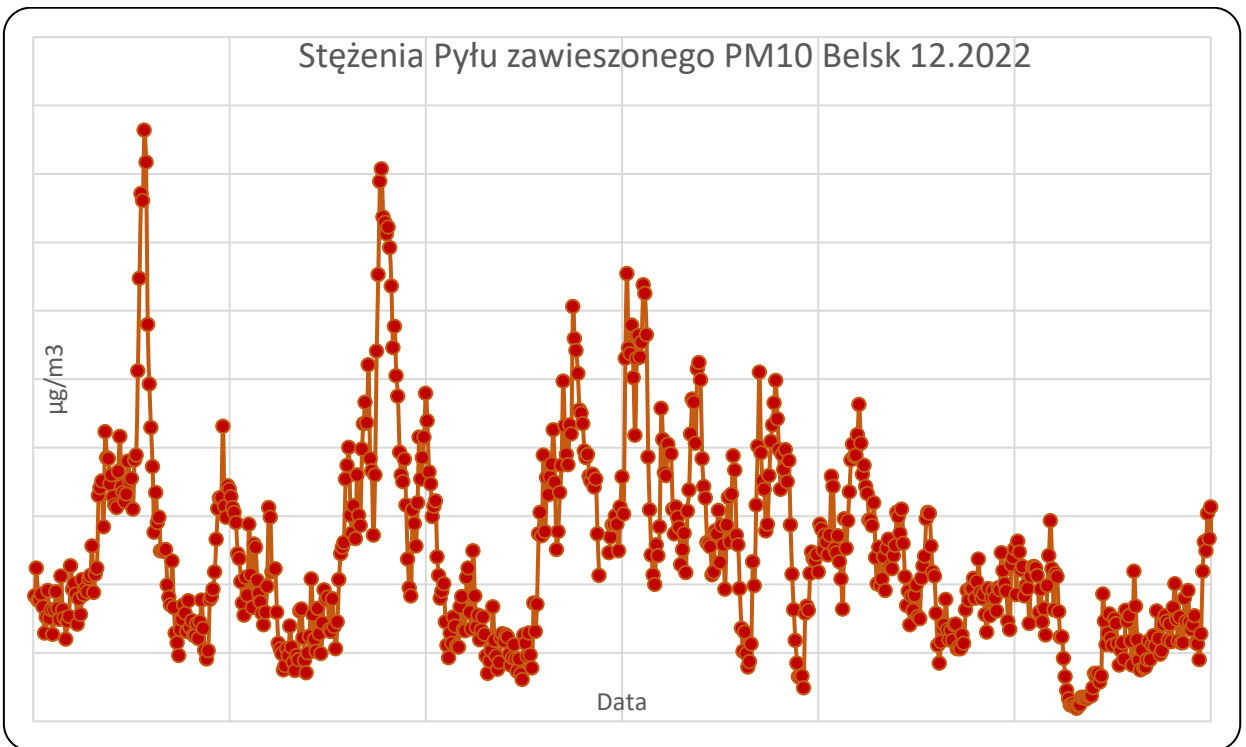
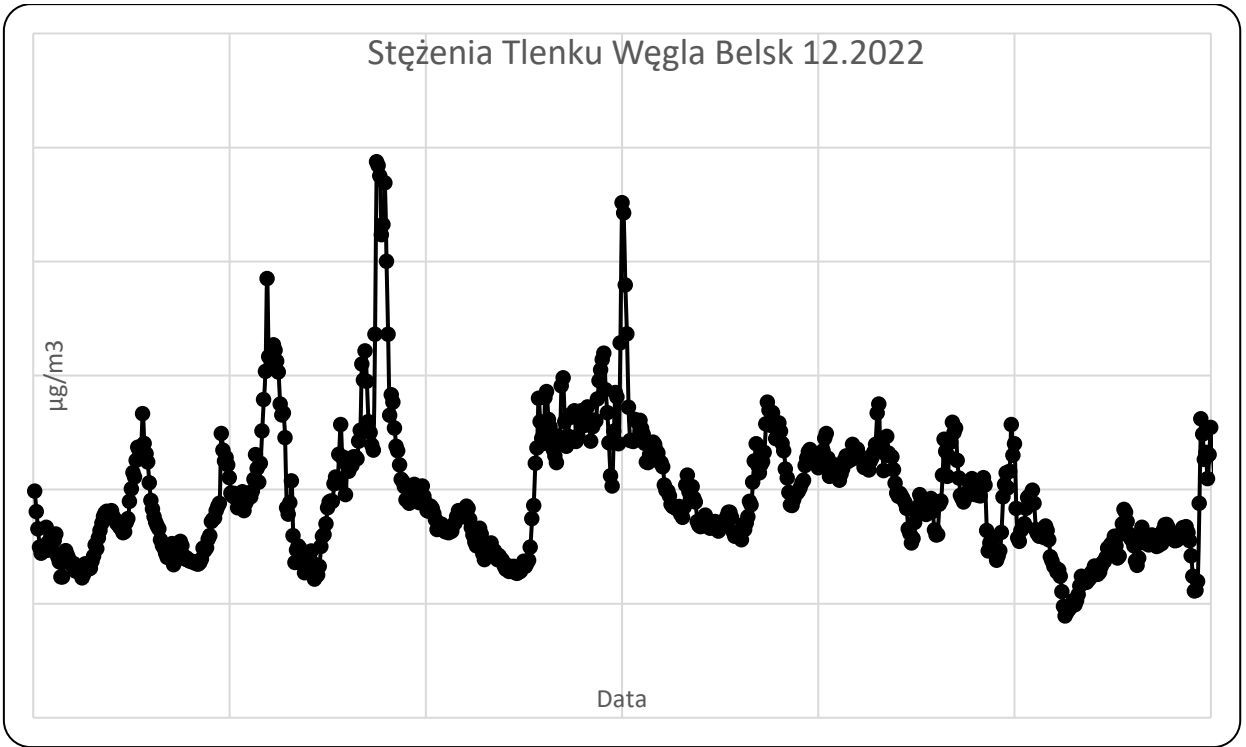


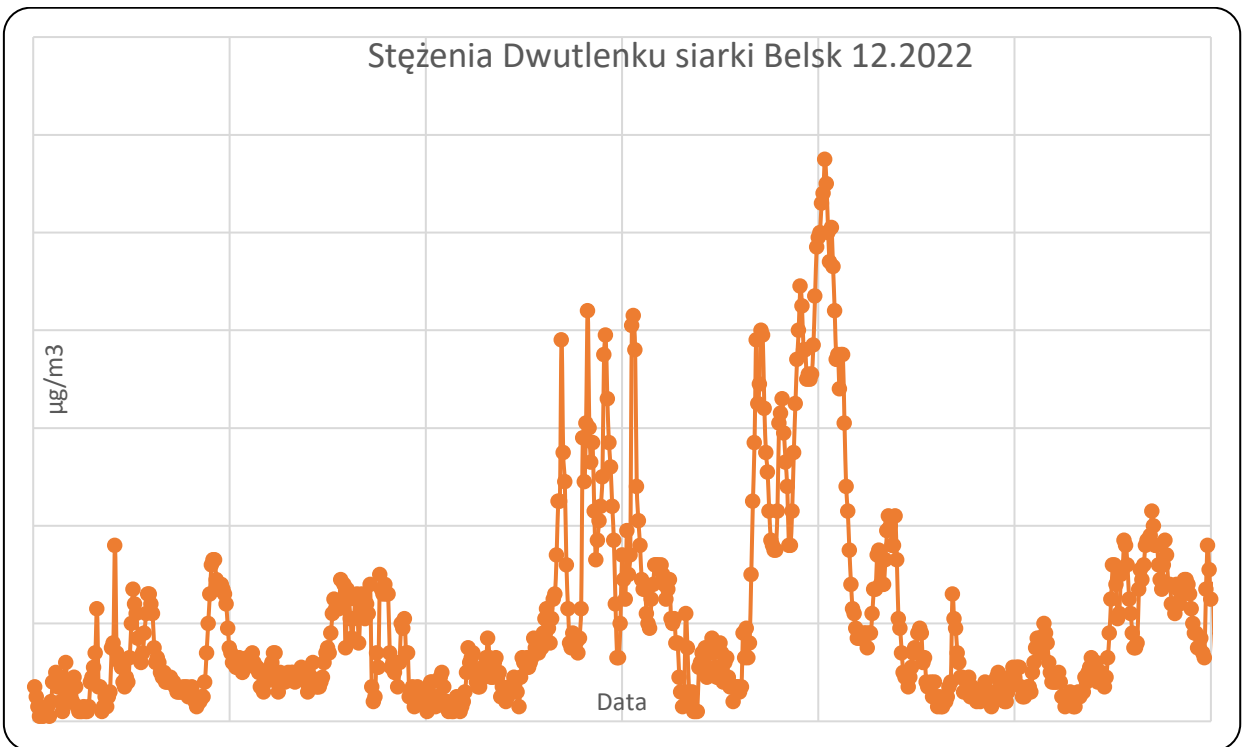
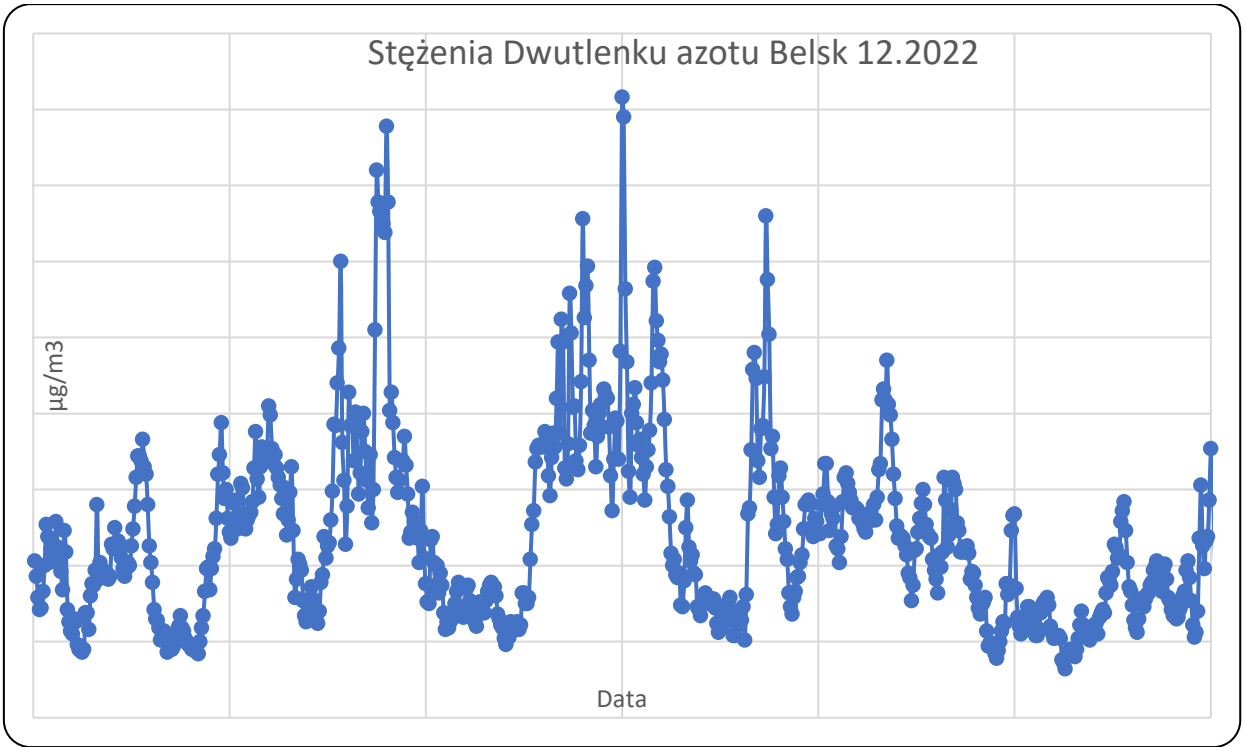


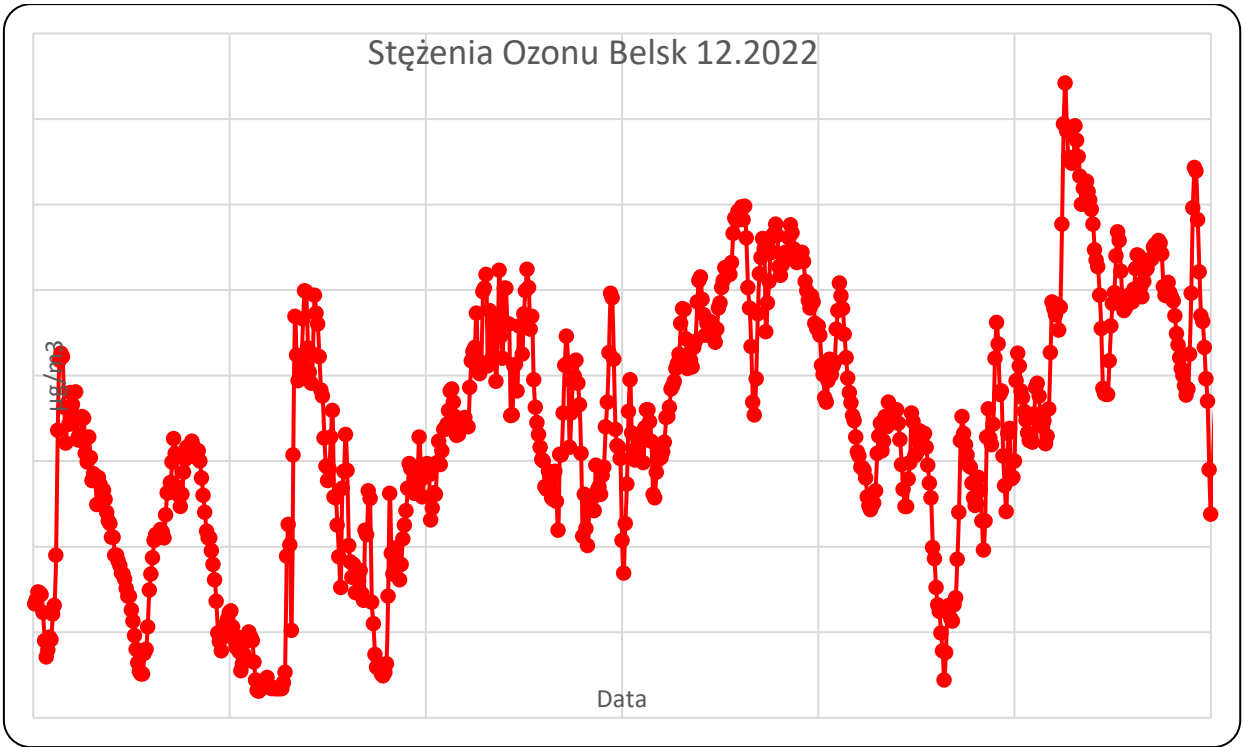












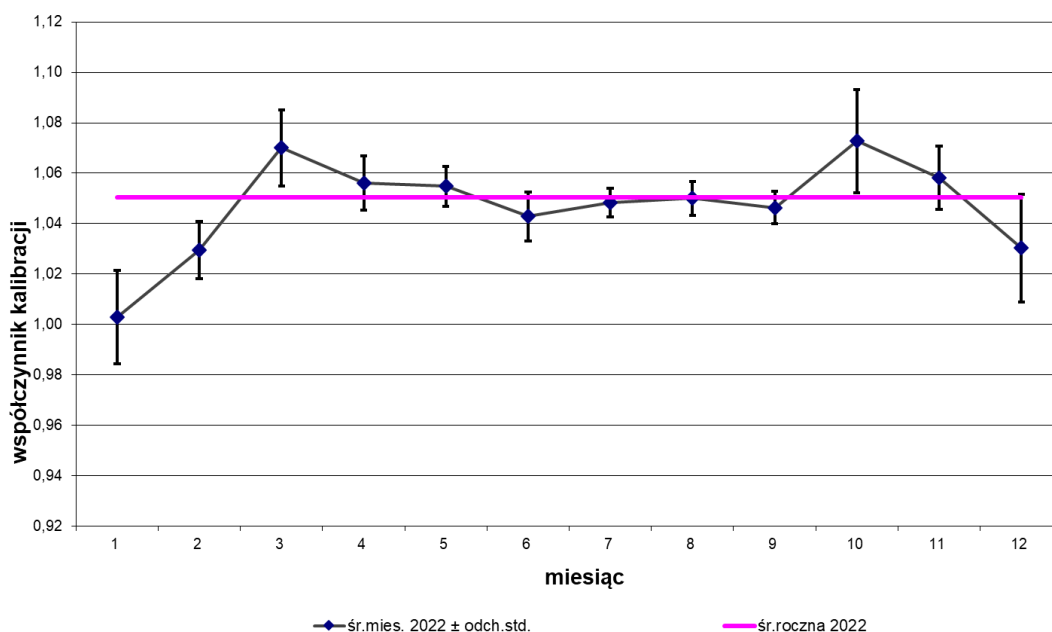
3. Nadfioletowe promieniowanie słoneczne UV-B

Aleksander Pietruczuk, Jerzy Podgórski, Piotr Sobolewski, Jakub Wink

W roku 2022 w Centralnym Obserwatorium Geofizycznym Instytutu Geofizyki PAN (COG) w Belsku kontynuowano monitoring promieniowania ultrafioletowego Słońca w zakresie erytemalnym (UV-B) oraz czasu usłonecznienia. Wykonane pomiary były podstawą do wyznaczenia dawek dobowych napromienienia promieniowaniem o skuteczności erytemalnej (tzw. napromienienie erytemalne) oraz indeksu UV, który określa maksymalną moc napromienienia erytemalnego zarejestrowaną danego dnia.

Pomiary promieniowania słonecznego w zakresie ultrafioletu prowadzone są w obserwatorium w Belsku od połowy lat siedemdziesiątych. W latach 1976 – 1994 pomiary te wykonywane były przy pomocy miernika Robertsona-Bergera (R-B). Od roku 1993 monitoring promieniowania UV-B prowadzony jest przy pomocy mierników firmy Solar Light Co., Filadelfia, USA. Jeden rok wspólnej pracy miernika R-B i UV-biometru firmy Solar Light (SL) posłużył do zapewnienia ciągłości i homogeniczności serii pomiarowej. W sierpniu 2013 miernik SL 501A o numerze seryjnym 2011 zastąpiono identycznym urządzeniem o numerze seryjnym 20233. Równoległe do pomiarów miernikiem SL od 2006 r. używano miernika UVS-AE-T firmy Kipp & Zonen (K&Z). Pozwoliło to na wykorzystanie danych z tego miernika do sporządzenia niniejszego raportu zamiast danych z miernika SL, który uległ awarii w połowie roku 2015. Od tego roku miernik K&Z jest podstawowym miernikiem do monitoringu promieniowania UV w COG Belsk.

Przez cały rok wyniki uzyskiwane z detektora Kipp&Zonen poddawane są bieżącej kontroli, która polega na porównywaniu wartości chwilowych mocy promieniowania UVB uzyskiwanych z detektora Kipp&Zonen oraz ze spektrofotometru Brewera. Spektrofotometr Brewera jest corocznie wzorcowany przez standard światowy Brewer Nr. 17, co zapewnia wysoką dokładność pomiarów UV. W celu zapewnienia większej dokładności do porównań wybierano dni pogodne - całkowicie bądź częściowo bezchmurne. Jako kryterium wyboru dni do porównania wykorzystywano dane uzyskiwane z detektora usłonecznienia CSD-11. Współczynnik kalibracyjny wyznaczano metodą regresji liniowej zależności mocy promieniowania uzyskiwanego z miernika K&Z oraz spektrofotometru Brewera. Zmienność roczna współczynnika jest przedstawiona na Rys. 3.1, średnia wartość współczynnika kalibracyjnego dla 2021 wynosił 1,05. Sezonowe wahania współczynnika kalibracyjnego wynosiły $\pm 5\%$.



Rys.3.1. Zmienność roczna współczynnika kalibracyjnego miernika Kipp&Zonen w 2022 roku.

Wyniki pomiarów dokonanych w roku 2022 dla poszczególnych miesięcy przedstawiono w Tabeli 3.1 w postaci dawek dobowych oraz indeksu UV. Dawki dobowe wyrażone są w SED (Standard Erythema Dose). 1 SED jest równy 100 J/m^2 promieniowania efektywnego erytemalnie (tj. wywołującego rumień na skórze). Jednostka SED jest proponowana przez *International Organization for Standardization* (ISO) zgodnie ze standardem ISO 17166:1999 w miejsce jednostki MED. Indeks UV jest iloczynem maksymalnej mocy promieniowania UV [W/m^2] zmierzonej danego dnia i czynnika 40 [m^2/W]. Jest to bezwymiarowy parametr określający maksymalną zarejestrowaną moc promieniowania UV-B, a jego wartość zawiera się w przedziale od 0 do 16.

Tabela 3.1. Dawki dzienne napromienienia erytemalnego i indeks UV zmierzone w Belsku w 2022 r.

det. 616

Mies.	I		II		III	
Dzień	UV - B [SED]	Indeks UV	UV - B [SED]	Indeks UV	UV - B [SED]	Indeks UV
1	0,90	0,4	2,13	0,6	6,31	1,3
2	0,80	0,3	1,27	0,4	6,26	1,3
3	0,44	0,1	2,61	0,7	5,70	1,3
4	0,71	0,2	1,57	0,6	2,88	1,2
5	0,54	0,2	1,50	0,5	3,70	0,9
6	0,61	0,2	1,25	0,4	4,15	1,2
7	1,74	0,5	1,21	0,4	7,35	1,8
8	1,04	0,3	2,17	0,9	5,27	1,3
9	1,51	0,4	1,77	0,6	5,97	1,5
10	0,64	0,2	2,46	1,1	8,65	1,8
11	1,46	0,4	1,28	0,3	8,96	1,8
12	1,33	0,4	4,62	1,1	9,24	1,9
13	0,48	0,2	4,34	1,0	9,19	1,9
14	0,75	0,3	4,80	1,1	9,50	1,9
15	1,85	0,5	3,32	1,1	5,70	1,6
16	0,87	0,3	4,44	1,1	7,31	1,6
17	0,88	0,5			9,75	2,0
18	1,92	0,6			12,20	2,4
19	1,01	0,3			12,13	2,4
20	1,53	0,5	1,68	0,6	12,13	2,4
21	1,81	0,5	2,41	0,6	12,50	2,5
22	1,95	0,6			13,06	2,6
23	2,23	0,7	2,96	1,4	13,19	2,6
24	1,64	0,4	6,69	1,5	13,65	2,7
25	0,90	0,3	4,78	1,4	15,00	2,9
26	1,23	0,4	3,85	1,2	8,36	2,4
27	0,60	0,2	4,75	1,5	14,97	3,0
28	0,95	0,4	6,28	1,3	16,59	3,3
29	2,14	0,7			8,22	2,8
30	0,98	0,5			11,69	3,0
31	1,85	0,5			6,46	1,6
Średnia	1,20	0,4	3,09	0,9	9,23	2,0
Odch.	-13%		-5%		21%	

Mies.	IV		V		VI	
Dzień	UV - B [SED]	Indeks UV	UV - B [SED]	Indeks UV	UV - B [SED]	Indeks UV
1	7,69	1,8	22,98	4,4	22,75	5,7
2	10,97	2,3	22,05	4,5	29,48	6,2
3	17,92	4,0	23,64	4,7	36,44	6,4
4	17,00	4,2	23,15	5,3	18,12	4,8
5	8,60	3,2	24,09	4,6	37,93	6,1
6	5,43	2,4	22,70	4,6	40,07	7,0
7	17,46	4,2	27,22	5,3	27,48	7,0
8	10,93	3,9	21,33	5,5	18,56	5,4
9	11,05	2,7	28,29	4,9	24,40	6,7
10	10,56	3,3	29,95	5,1	28,39	6,7
11	13,12	3,6	25,20	5,4	39,25	6,5
12	18,36	4,0	25,57	5,2	35,51	6,9
13	18,35	3,9	25,32	5,2	9,42	2,8
14	20,50	3,9	17,93	5,8	26,30	6,8
15	7,04	2,3	33,19	5,9	29,50	6,5
16	16,16	3,8	30,80	5,3	32,98	6,6
17	15,02	3,5	29,34	5,6	33,78	6,4
18	19,77	3,6	31,66	5,3	34,37	7,2
19	8,33	1,8	32,74	5,5	36,93	6,0
20	5,14	1,8	28,70	5,6	26,12	6,8
21	6,61	1,9	19,92	5,5	22,72	6,1
22	13,34	4,3	16,31	5,2	39,89	7,2
23	10,73	2,6	26,35	5,9	35,22	6,9
24	22,55	4,5	19,95	4,6	39,03	6,5
25	11,61	4,5	7,09	1,9	41,08	6,7
26	10,51	2,6	25,72	6,1	40,57	6,8
27	18,53	5,1	11,25	2,7	31,82	5,8
28	18,34	4,3	20,95	5,0	33,95	6,7
29	19,43	4,4	22,50	5,5	21,50	5,8
30	20,81	4,0	13,06	2,9	32,45	6,1
31			32,69	5,6		
Średnia	13,73	3,4	23,92	5,0	30,87	6,3
Odch.	-6%		2%		9%	

Mies.	VII		VIII		IX	
Dzień	UV - B [SED]	Indeks UV	UV - B [SED]	Indeks UV	UV - B [SED]	Indeks UV
1	40,82	6,6	30,29	6,4	19,94	4,8
2	11,51	2,7	21,01	5,3	22,04	4,7
3	42,60	7,2	30,09	6,0	23,15	4,4
4	34,26	7,3	33,57	6,0	20,30	4,4
5	17,78	4,5	34,82	6,0	24,48	4,6
6	31,01	7,2	9,70	3,1	21,95	4,2
7	27,19	6,6	33,35	6,1	21,28	4,1
8	20,27	5,6	31,22	6,0	19,38	4,0
9	31,12	7,2	23,91	4,9	6,49	1,6
10	24,52	6,3	25,66	5,5	3,69	1,2
11	20,59	6,1	21,13	5,2	5,97	1,8
12	21,45	5,4	19,55	4,9	5,21	1,6
13	35,75	7,0	16,29	4,8	13,95	3,0
14	39,67	6,8	19,91	5,1	15,40	3,7
15	30,01	6,2	20,50	4,8	12,86	3,5
16	19,93	5,4	21,63	5,0	12,73	3,7
17	26,05	6,1	25,52	5,2	6,87	2,4
18	35,60	6,7	28,83	5,4	9,76	2,7
19	31,07	6,7	26,35	4,8	7,31	2,6
20	37,52	6,3	24,83	4,8	8,31	2,7
21	36,19	6,0	23,97	5,1	8,37	2,8
22	33,96	5,8	19,95	4,2	8,28	2,7
23	31,64	6,3	19,51	4,7	11,92	2,8
24	26,50	6,2	20,05	4,4	9,62	2,3
25	38,13	6,7	24,20	4,6	9,74	2,3
26	20,08	5,4	21,86	4,5	8,71	2,2
27	29,35	6,4	23,18	4,4	6,16	2,0
28	35,22	6,2	22,33	4,6	9,01	2,4
29	30,63	6,1	23,25	5,1	8,70	2,6
30	8,56	2,4	12,08	3,8	5,01	1,2
31	5,94	1,4	17,66	4,8		
Średnia	28,22	5,9	23,43	5,0	12,22	3,0
Odch.	3%		6%		-6%	

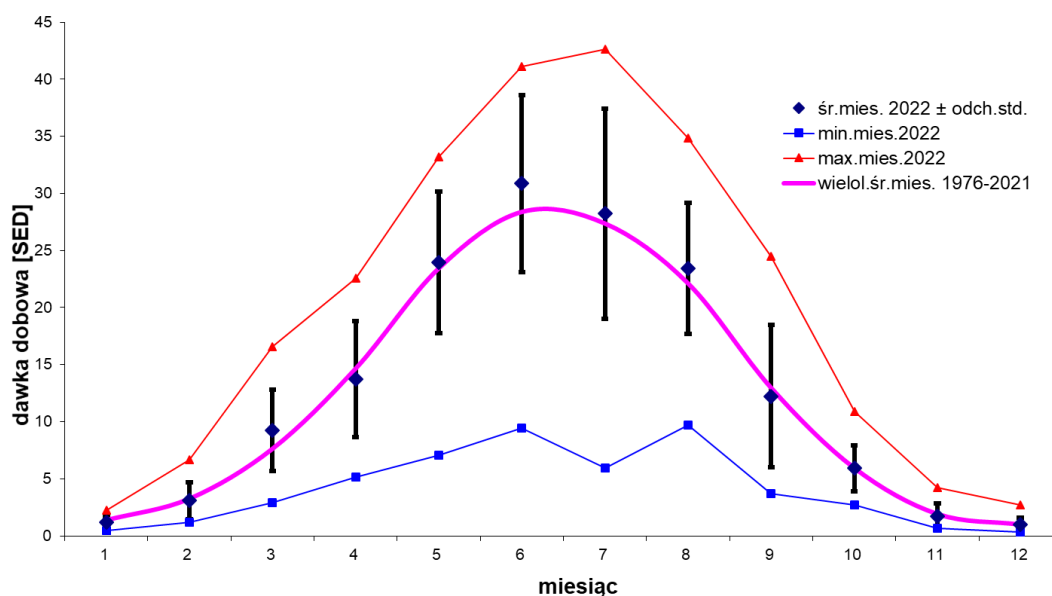
Mies.	X		XI		XII	
Dzień	UV - B [SED]	Indeks UV	UV - B [SED]	Indeks UV	UV - B [SED]	Indeks UV
1	5,76	2,3	1,90	0,5	0,50	0,2
2	5,45	2,1	3,43	1,0	0,34	0,1
3	5,16	2,0	4,25	1,0	0,54	0,2
4	7,22	2,3	3,46	1,1	0,49	0,2
5	8,36	2,4	0,85	0,3	0,46	0,1
6	8,21	2,6	3,71	0,9	0,37	0,2
7	10,90	2,4	2,54	0,7	0,63	0,3
8	7,87	2,1	3,62	0,9	1,44	0,4
9	4,50	1,2	2,94	0,8	1,30	0,4
10	9,59	2,1	1,38	0,5	0,50	0,2
11	7,35	1,9	2,23	0,6	0,96	0,3
12	7,16	1,9	0,70	0,2	0,97	0,3
13	8,02	1,8	1,60	0,6	0,82	0,3
14	5,42	1,3	1,17	0,4	1,73	0,5
15	5,14	1,6	1,74	0,5	0,79	0,3
16	6,98	1,8	0,71	0,3	1,02	0,3
17	7,82	1,7	0,67	0,2	1,29	0,4
18	7,14	1,7	0,95	0,5	1,95	0,5
19	3,66	1,3	2,05	0,6	2,72	0,7
20	5,26	1,5	2,36	0,6	1,57	0,5
21	5,50	1,6	1,87	0,6	1,69	0,5
22	2,72	0,9	1,20	0,4	1,38	0,5
23	3,58	1,0	0,68	0,2	0,79	0,3
24	4,12	1,2	0,83	0,3	0,38	0,1
25	3,96	1,1	1,03	0,3	0,62	0,3
26	4,10	1,0	0,79	0,3	0,85	0,3
27	6,09	1,4	0,92	0,3	0,80	0,3
28	5,71	1,4	0,72	0,2	1,23	0,4
29	4,88	1,4	0,94	0,3	1,02	0,4
30	2,96	0,8	0,70	0,3	1,27	0,4
31	2,71	0,7			1,24	0,4
Średnia	5,91	1,6	1,73	0,5	1,02	0,3
Odch.	-1%		-10%		3%	

Tabela 3.2 zawiera średnie i ekstremalne wartości danych UV, usłonecznienia i ozonu dla poszczególnych miesięcy. Kolumny 2 do 4 zawierają odpowiednio średnią, minimalną i maksymalną wartość dawek dobowych napromienienia erytemalnego, kolumna 5 zawiera średnią wartość indeksu UV, kolumna 6 - usłonecznienia, kolumna 7- średnie miesięczne całkowitej zawartości ozonu, kolumna 8 - średnie wieloletnie (1976-2020) dawek napromienienia erytemalnego, kolumna 9 - odchylenie (w %) dawek napromienienia w bieżącym roku od średniej wieloletniej.

Tabela 3.2. Średnie miesięczne wartości dziennych

(1)	(2)	(3)	(4)	(5)	(6)	(7)	(8)	(9)
	UV-B	UV-B	UV-B	Indeks uv	US	OZON	UV-B	odch.
							1976-2021	
2022:	[SED]	[SED]	[SED]		[Godz.]	[D]	[SED]	
M	średnia	min.	max.	średnia	średnia	średnia	średnia	[%]
1	1,20	0,44	2,23	0,4	1,4	353	1,39	-13
2	3,09	1,21	6,69	0,9	2,9	363	3,27	-5
3	9,23	2,88	16,59	2,0	6,7	356	7,65	21
4	13,73	5,14	22,55	3,4	5,2	375	14,67	-6
5	23,92	7,09	33,19	5,0	9,2	368	23,45	2
6	30,87	9,42	41,08	6,3	10,0	337	28,39	9
7	28,22	5,94	42,60	5,9	8,0	335	27,38	3
8	23,43	9,70	34,82	5,0	8,2	312	22,13	6
9	12,22	3,69	24,48	3,0	4,9	326	12,97	-6
10	5,91	2,71	10,90	1,6	3,8	287	5,95	-1
11	1,73	0,67	4,25	0,5		290	1,92	-10
12	1,02	0,34	2,72	0,3	0,7	297	0,99	3

Na Rys.3.2 przedstawiono średnie miesięczne dawki dobowe napromienienia erytemalnego w 2022 r. wraz z odchyleniami standardowymi w odniesieniu do średnich wieloletnich oraz maksymalne i minimalne wartości dawek dobowych, zarejestrowanych w kolejnych miesiącach roku. Na Rys. 3.3 przedstawione zostały odchylenia procentowe zarejestrowanych w 2022 roku średnich w miesiącu dawek dobowych napromienienia erytemalnego od średniej wieloletniej (1976-2021) w kolejnych miesiącach roku. Na tym samym rysunku przedstawiono także odchylenia procentowe zarejestrowanych w roku 2022 średnich miesięcznych wartości usłonecznienia i koncentracji ozonu od ich średnich wieloletnich.



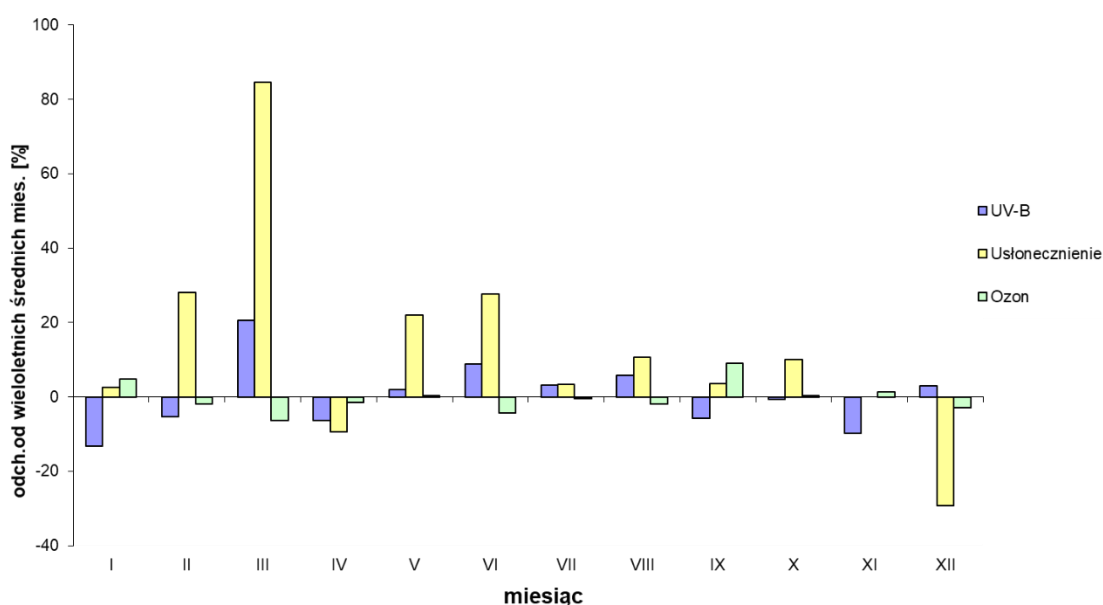
Rys.3.2. Średnie miesięczne dawek dobowych napromienienia erytemalnego oraz największe i najmniejsze wartości zarejestrowane danego miesiąca.

Rok 2022 w porównaniu do poprzedniego roku charakteryzowała się znacznie mniejszą zmiennością odchylen od średniej wieloletniej i występowaniem niskich wartości minimalnych wartości napromienienia w poszczególnych miesiącach.

Największe niedobory napromienienia erytemalnego w 2022 zanotowano w styczniu, wynosiły one ponad 13 procent, niedobory wynoszące blisko 10 procent zanotowano jedynie w listopadzie. Ponadto niedobory wynoszące około 6 procent zanotowano w lutym, kwietniu i wrześniu. Większość tych niedoborów wiąże się z wystąpieniem niewielkich nadwyżek w średnich stężeniach ozonu w danym miesiącu. Natomiast w kwietniu niedobory w napromienieniu erytemalnym należy wiązać z niskim usłonecznieniem. Interesującym miesiącem wydaje się luty, w którym mimo nadwyżek usłonecznienia wynoszących blisko

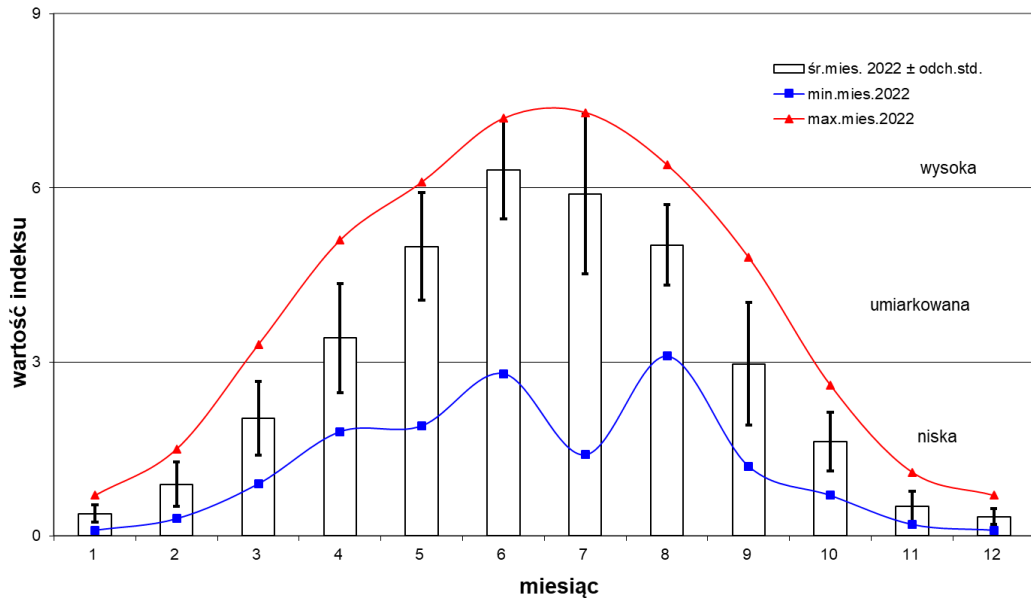
30% i nieznacznych niedoborów ozonu, około 2 procent, zanotowano ponad pięcioprocentowy niedobór promieniowania UV. Sytuację ta należy wiązać z występowaniem w tym miesiącu epizodami podwyższonych stężeń aerozolu. Należy domniemywać, że był to aerozol absorbujący w zakresie UV.

Nadwyżki napromienienia erytemalnego wynoszącą ponad 5 procent zanotowano jedynie w trzech miesiącach. Największą, wynoszącą ponad 20 procent zanotowano w marcu, następnie nadwyżkę prawie 9-cio procentowa zanotowano w czerwcu i prawie sześcioprocentową w sierpniu. Wszystkie one były spowodowane nieznacznymi niedoborami ozonu przy znacznych nadwyżkach usłonecznienia.



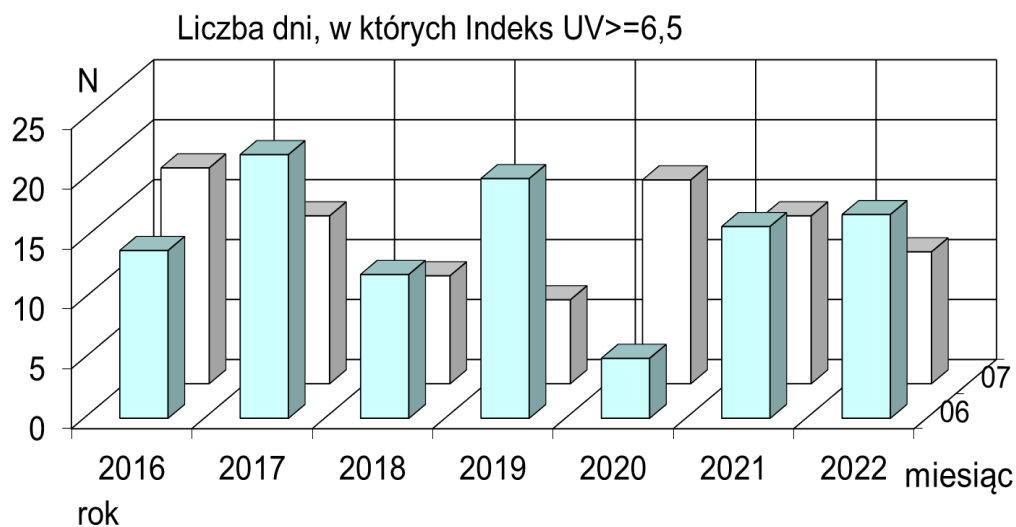
Rys.3.3. Odchylenie od średniej wieloletniej dawek miesięcznych napromienienia erytemalnego, usłonecznienia oraz koncentracji ozonu.

Na Rys. 3.4 przedstawiono średnie miesięczne indeksu UV wraz z odchyleniami standardowymi oraz wartości ekstremalne zarejestrowane w danym miesiącu. Największe wartości indeksu UV zanotowano w miesiącach letnich co wiąże się oczywiście z małymi kątami zenitalnymi Słońca. Warto zwrócić uwagę na prezentowane wartości maksymalne i minimalne. O ile wartości maksymalne i ich przebieg roczny zbliżone są do wartości z lat ubiegłych to rocznym przebiegu warto zwrócić uwagę na wyjątkowo niskie wartości minimalne w miesiącach letnich, szczególnie w lipcu.



Rys. 3.4 Średnie miesięczne indeksu UV oraz największe i najmniejsze wartości zarejestrowane danego miesiąca.

Największą wartości indeksu UV wynoszącą 7,3 zarejestrowano 4 lipca. Wartość indeksu 6.5 została przekroczona w sumie 28 razy, wartość indeksu 7 i więcej była zanotowana 9 razy czyli podobnie jak w roku ubiegłym. W sumie liczba dni z indeksem powyżej 6,5 w miesiącach letnich, a szczególnie w czerwcu jest podobna do tych zeszłego roku i lat 2016 i 2017 gdy przekraczała 35 dni.



Rys.3.5 Liczba dni danego miesiąca, w których indeks UV przekracza wartość 6,5

Podsumowując, w roku 2022 kontynuowano monitoring promieniowania słonecznego z zakresu UV-B w Centralnym Obserwatorium Geofizycznym w Belsku. Prowadzono również stałą weryfikację pomiarów przy pomocy spektrofotometru Brewera.

Warto zaznaczyć, że w miesiącach letnich, to jest okresie z największymi rejestrowanymi wartościami indeksu UV i napromienienia erytemalnego, nie rejestrowano znaczących odchyłeń od średniej wieloletniej. Niemniej na uwagę zasługuje fakt rejestracji szczególnie niskich wartości minimalnych co wiąże się z okresowo występującym dużym zachmurzeniem. W poprzednich latach obserwowano dość dobrą korelację między średnimi miesięcznymi wartościami odchyłeń napromieniania z odchyleniami koncentracji ozonu i usłonecznienia. Szczególnie widoczne jest to dla pary zmiennych napromienienie UV vs. usłonecznienie. Widoczny jest jednak stały spadek kwadratu współczynnika korelacji od 0,96 w 2020 przez 0,64 w 2021 do 0,42 w 2022 roku. Świadczyć to może o malejącej w ostatnich dwóch latach roli zachmurzenia jako czynnika kształtującego dopływ promieniowania UV do powierzchni Ziemi. Jednocześnie warto zaznaczyć znaczny wzrost kwadratu współczynnika korelacji między odchyleniami od średniej wartości napromienienia o koncentracji ozonu, który wynosił 0,52. Podczas gdy w 2021 wynosił 0,40 i 0,23 w 2020. Świadczy to o rosnącej roli koncentracji ozonu.

Liczba dni z wysokim indeksem UV była nieznacznie niższa do tej z lat 2016-2017 i roku ubiegłego. Na uwagę zasługuje fakt, że wysokie wartości indeksu UV rejestrowano jedynie w czerwcu i lipcu.

4. Zmiana zawartości ozonu w atmosferze nad Belskiem w 2022 r.

Janusz Krzyścin, Bonawentura Rajewska-Więch

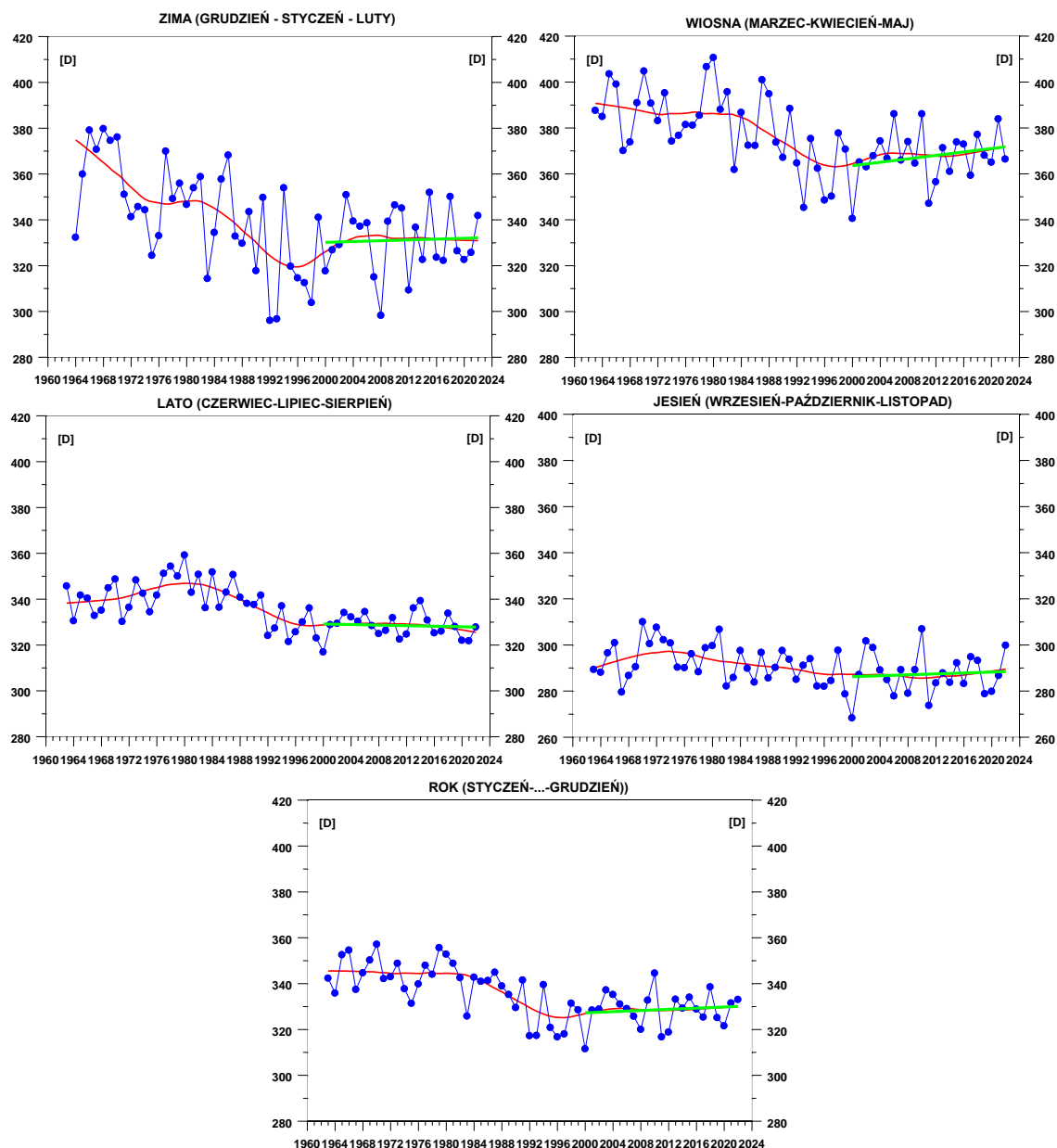
4.1. Całkowita zawartość ozonu w Belsku

W Centralnym Obserwatorium Geofizycznym w Belsku w ciągu całego 2022 r. obserwowano całkowitą zawartość ozonu. Wartości średnich miesięcznych całkowitej zawartości ozonu (CZO_3) niższe od wieloletnich (1963-2021) średnich miesięcznych obserwowano w lutym (2,0%), marcu (6,3%), kwietniu (1,6%), czerwcu (4,4%), lipcu (0,6), sierpniu (1,9%) i grudniu (2,9%) (Rys. 1.1.1a). Dla pozostałych miesięcy średnie miesięczne odchyłki CZO_3 od wieloletnich średnich były dodatnie od 0,3% w październiku do 8,0% we wrześniu. Wartości odchyłek średnich dziennych od średnich wieloletnich przekraczały -10%, zwłaszcza w sezonie zimowym (Rys.1.1.1). Niskie dzienne wartości CZO_3 w stosunku do średnich wieloletnich pojawiły się lutym, marcu, czerwcu i grudniu.

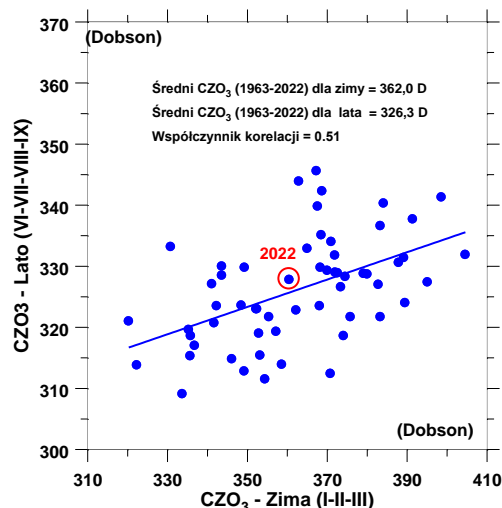
Analizując długookresowe zmiany średnich sezonowych CZO_3 w Belsku (krzywe w kolorze czerwonym na Rys.4.1.1 reprezentujące wygładzone metodą lokalnej regresji przebiegi średnich sezonowych) stwierdzamy, że od połowy lat 90-tych XX wiek następuje zmiana kierunku trendu w średnich sezonowych i w średniej rocznej CZO_3 . Wyraźna spadkowa tendencja, która pojawiła się z końcem lat 70-tych została zatrzymana około 1996 r. Od tego momentu obserwujemy wzrostową tendencję w średnich rocznych CZO_3 , a także w zimowych i wiosennych średnich wartościach CZO_3 . Na początku XXI wieku powyższa tendencja zostaje zahamowana i średnie wartości CZO_3 oscylują wokół ustalonego poziomu bez wyraźnego trendu. Liniowe trendy (proste w kolorze zielonym na Rys.4.1.1) w danych sezonowych i rocznych CZO_3 są nieistotne statystycznie w okresie 2000-2022. Natomiast stabilizację wartości ozonu na poziomie minimum z połowy lat 90-tych XX wieku obserwujemy w sezonach letnim i jesiennym po 1996 r.

W 2022 r. średnia CZO_3 w okresie czerwiec-wrzesień (326,6 D) była zbliżona do wieloletniej normy (326,0 D) dla tego okresu. W tej sytuacji przy braku zachmurzenia poziom promieniowania UV przy powierzchni ziemi powinien być praktycznie równy wieloletniej normie z okresu 1963-2021. Wartości CZO_3 w sezonie letnim 2022 wskazują, że wcześniej w sezonie zimowym (styczeń-marzec) poziom CZO_3 był także zbliżony do wieloletniej (Rys.4.1.2). W 2022 r. powyższa zimowa średnia wynosiła 357,3 D około 1,4% poniżej wieloletniej normy (362,3 D). Wystąpienie zimą wartości CZO_3 znacznie poniżej wieloletniej normy jest sygnałem osłabienia wielkoskalowej komórki cyrkulacyjnej

w stratosferze prowadzącej do wymiany masy między równikiem a biegunem północnym (tzw. cyrkulacja Brewera-Dobsona), która w zimie powoduje akumulację ozonu w średnich i wysokich szerokościach geograficznych. Niedobory CZO_3 , które wystąpiły w okresie zimowym nie zostaną w późniejszych miesiącach zlikwidowane, gdyż niskie wartości CZO_3 pojawiają się w skali całej północnej półkuli poza strefą równikową.



Rys. 4.1.1. Średnie sezonowe całkowitej zawartości ozonu uzyskane z pomiarów spektrofotometrem Dobsona w COG IGF PAN, Belsk, w okresie 1963-2022. Krzywa czerwona przedstawia wygładzone dane, a zielona liniowy trend w okresie 2000-2022.



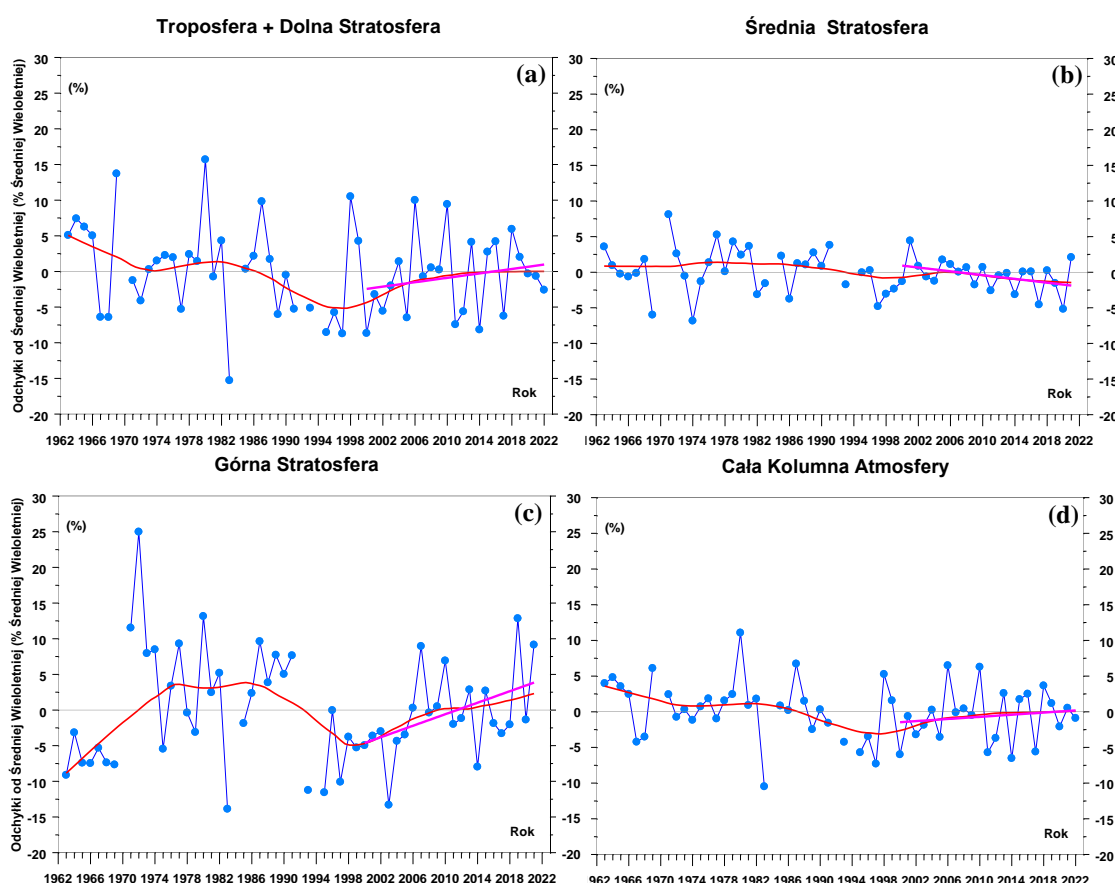
Rys.4.1.2. Średnia całkowitej zawartości ozonu w Belsku w sezonie letnim (czerwiec-lipiec-sierpień-wrzesień) w funkcji średniej w poprzedzającym sezonie zimowym (styczeń-luty-marzec). Czerwony punkt oznacza wartości w 2022 r.

Zmiany w warstwie ozonowej nad Belskiem obserwowane od połowy lat 90-tych XX wieku potwierdzają skuteczność ustaleń Protokołu Montrealskiego z 1987 r. Protokół Montrealski i jego późniejsze poprawki wprowadziły szereg ograniczeń w produkcji i stosowaniu substancji niszczących warstwę ozonową. Od połowy lat 90-tych ubiegłego wieku koncentracja takich substancji w stratosferze zaczyna maleć (Rys.4.5.1). W związku z tym oczekiwano zatrzymania, a następnie odwrócenia spadkowej tendencji w zawartości ozonu w atmosferze. Zatrzymanie spadkowej tendencji w ozonie atmosferycznym w połowie lat 90-tych ubiegłego wieku zostało potwierdzone w licznych pracach między innymi także i w ostatnich pracach zespołu z IGF PAN (Krzyścin i Rajewska-Więch, 2009a, 2009b; Rajewska i Krzyścin, 2010; Krzyścin i inni, 2013; Krzyścin, 2015; Krzyścin i Rajewska, 2016, Krzyścin i Baranowski, 2019, Krzyścin i inni, 2020). Jednak regeneracja warstwy ozonowej nad Belskiem przebiega powoli i w ostatnich 10 latach raczej widać stabilizację poziomu CZO_3 niż jego stopniowy wzrost, który byłby oczekiwany w związku z systematycznie malejącą koncentracją substancji niszczących warstwę ozonową.

4.2. Profil pionowy ozonu w Belsku

Obecnie w literaturze światowej toczy się dyskusja nad tempem powrotu warstwy ozonowej do stanu nie zaburzonego działalnością człowieka. W seriach czasowych całkowitej zawartości ozonu w atmosferze i na wybranych poziomach w stratosferze poszukiwana jest zmiana kierunku trendu z ujemnego na dodatni, którą należałoby oczekiwać wraz z

obserwowanym spadkiem zawartości w troposferze i stratosferze substancji niszczących warstwę ozonową. Badanie zmienności trendu w profilu pionowym ozonu jest szczególnie interesujące bowiem uważa się, że naprawa warstwy ozonowej rozpocznie się od obszarów w wysokiej stratosferze, gdzie zmiany w procesach chemicznej destrukcji ozonu są najłatwiejsze do zaobserwowania, wobec ograniczonego wpływu zmian w dynamice atmosfery i jej składzie chemicznym (np. wzrost CO_2) na koncentrację ozonu na tych wysokościach (Newchurch i inni, 2003).



Rys. 4.2.1. Odchyłki średnich wiosennych (marzec-kwiecień-maj) od średniej wieloletniej zawartości ozonu (1963-2022) w wybranych warstwach atmosfery z pomiarów Umkehr spektrofotometrem Dobsona (1963-2020) i spektrofotometrem Brewera (w latach 2021-2022) w Belsku. Profil ozonu wyznaczono stosując algorytm *UMK04*. (a) troposfera i dolna stratosfera 0-23,5 km, (b) średnia stratosfera 23,5-37,5 km, (c) wysoka stratosfera >37,5 km, (d) cała kolumna atmosfery. Krzywa w kolorze czerwonym przedstawia wygładzone dane, a prosta w kolorze fioletowym trend w okresie 2000-2022.

Na Rys.4.2.1 przedstawiono przebiegi średnich sezonowych (marzec-kwiecień-maj) zawartości ozonu w wybranych warstwach atmosfery (troposfera + dolna stratosfera, środkowa stratosfera, górna stratosfera, cała kolumna atmosfery) z pomiarów Umkehr w Belsku z zastosowaniem spektrofotometru Dobsona w latach 1963-2020

i spektrofotometru Brewer w 2021-2022 r. Profile ozonu w latach 1963-2020 uzyskano stosując procedurę wyznaczania rozkładu pionowego ozonu metodą Umkehr, *UMK04*, która zalecana była przez Centrum Danych Ozonowych w Toronto (Kanada). Następnie stosowano procedurę obliczeniową stosowaną w europejskiej sieci spektrofotometrów Brewera – EUBREWNET. W sezonie wiosennym 2022 r. obserwowano zawartość ozonu w trzech wybranych warstwach atmosfery w pobliżu normy tj. odchyłki od średnich wartości (1963-2022) były w przedziale $\pm 5\%$.

Wstępne porównanie profili pionowych ozonu z obu spektrofotometrów w okresie 2011-2016 pokazało różnice między profilami mieszczące się w granicach dokładności pomiarowej profilu (poster E-337 Jarosławski i inni przedstawiony na Quadrennial Ozone Symposium 2021 w Korei Południowej). Dla każdego spektrofotometru, dokładność pomiaru profilu ozonu w pionowych warstwach atmosfery określono porównując przedpołudniowe i popołudniowe wartości profilu ozonu zmierzone w tym samym dniu w sytuacji, gdy odpowiadająca zmiana całkowitej zawartości ozonu była mniejsza o 1%. Wtedy należało oczekiwać zbliżonych dziennych (przed- i popołudniowych) przebiegów profili pionowych zawartości ozonu w atmosferze.

W celach porównawczych w 2022 r. wykonano 10 profili ozonu stosując spektrofotometr Dobsona i algorytm obliczeniowy *UMK04*, który obowiązywał w latach 1963-2020. Terminy pomiarów Umkehr spektrofotometrem Brewera i Dobsona były zgodne w 8 przypadkach. Średnie różnice między profilami wynosiły od kilku procent w warstwach 0-10,3 km, 19,1-23,5 km i 32,5-47,9 km do kilkunastu procent w warstwach 10,3-19,1 km, 23,5-32,5 km i powyżej 47,9 km. Współczynnik korelacji między zawartością ozonu w 10 warstwach Umkehr z pomiarów profilu pionowego ozonu spektrofotometrami Brewera i Dobsona wynosił 0.97 na podstawie 80 par danych.

Liniowe trendy zmian ozonu w sezonie wiosennym (marzec-kwiecień-maj) w latach 2020-2022 wskazują na stabilizację zawartości ozonu w troposferze i dolnej stratosferze (Rys.4.2.1a), w środkowej stratosferze (Rys.4.2.1b) i w całej kolumnie atmosfery (Rys.4.2.1.d). W górnej stratosferze (Rys.4.2.1c) wyznaczono istotnie statystycznie wzrostowy trend, $3,9\% \pm 1,7\%$ (2σ) na 10 lat. Podobną sytuację stwierdzono w sezonie letnim (czerwiec-lipiec-sierpień) i jesiennym (wrzesień-październik, listopad). Trendy wynosiły $1,9\% \pm 1,5\%$ (2σ) na 10 lat latem i $1,3\% \pm 1,1\%$ (2σ) na 10 lat jesienią. Przez znaczną część sezonu zimowego z przyczyn technicznych nie można wyznaczać profilu pionowego ozonu metodą Umkehr.

W ostatnich latach obserwowana jest stabilizacja poziomu ozonu za wyjątkiem górnej stratosfery. Taka tendencja nie jest jeszcze dobrze utrwalona w niższych warstwach atmosfery i dodanie kolejnych lat może zmienić kierunek trendu. W sprawozdaniu z 2016 r. wyznaczono dodatni trend (od 1995 r.) w warstwie obejmującej dolną stratosferę. Na zmiany ozonu w tej warstwie atmosfery dodatkowo wpływają procesy dynamiczne i dodanie kolejnych lat (2017-2022) zatrzymało wzrostowy trend ozonu w tej warstwie. Natomiast dodatni trend w wysokiej stratosferze (Rys. 4.2.1c), gdzie dominują procesy chemiczne, jest wynikiem zmniejszającej się koncentracji substancji niszczących warstwę ozonową (freony, halony) zaobserwowanym od połowy lat 90-tych XX wieku w związku z funkcjonowaniem ustaleń Montrealskiego Protokołu z 1987 (i jego późniejszych poprawek) o ochronie warstwy ozonowej. Tendencję wzrostową w tej warstwie raportowano w każdym sprawozdaniu od początku XXI wieku.

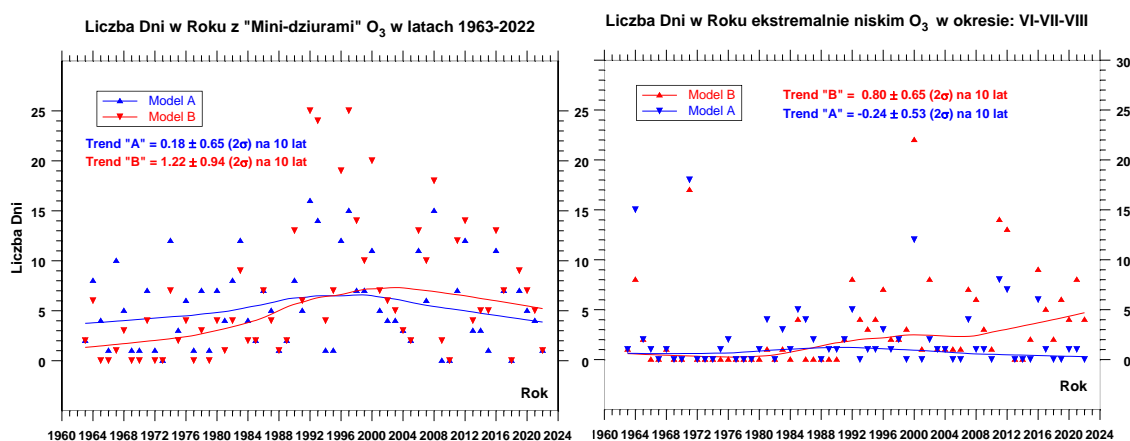
Zaskakujące negatywne trendy w latach 2000-2022 znaleziono w warstwie 23,5-28,0 km (tj. warstwie Umkehr numer 5) w sezonie letnim, $-2,4 \% \pm 1,8 \% (2\sigma)$, oraz danych całorocznych, $-1,7 \% \pm 1,5 \% (2\sigma)$. Występowanie ujemnych trendów w tej warstwie atmosfery w średnich szerokościach geograficznych na półkuli północnej było sygnalizowane przez wielu autorów (np. Ball i inni, 2018; Szelaąg i inni, 2020) na podstawie danych satelitarnych. Jednak przyczyna takiej zmienności ozonu nie jest obecnie znana.

4.3. Ekstremalne wartości całkowitej zawartości ozonu w Belsku

Głębokie lokalne zmniejszenie wartości CZO₃ w średnich szerokościach geograficznych trwające zwykle kilka dni i związane ze zmianami cyrkulacji atmosfery w górnej troposferze i dolnej stratosferze zwane jest „mini-dziurą” ozonową. Nie należy jej mylić ze rozległą „dziurą ozonową” nad Antarktydą, która od połowy lat 1980-tych pojawia się corocznie wczesną wiosną nad tym kontynentem (patrz Roz.4.5). W 2002 r. opublikowano w *International Journal of Climatology* artykuł na temat długookresowych zmian częstości występowania „mini-dziur” na półkuli północnej (Krzyścin, 2002). Zastosowano dwa modele (oznaczone dalej jako **A** i **B**) do wyznaczenia dni z „mini-dziurami”. Poziom CZO₃ w tych dniach z założenia powinien być co najmniej o 20% poniżej ważonej średniej kroczącej (model **A**) lub wieloletniej 1963-2022 średniej dziennej (model **B**).

W nawiązaniu do tej pracy przeprowadzono analizę liczby dni z „mini-dziurami” nad Belskiem w latach 1963-2022, której wyniki przedstawia Rys.4.3.1 (lewa strona). W serii obserwacji w 2022 r. znaleziono 1 dzień (dla obu modeli) z wartościami CZO₃ przekraczającymi wartość progową dla pojawienia się „mini-dziury”. Średnia wieloletnia (1963-2021) liczby dni z „mini-dziurami” ozonowymi wynosi 6 i 7 odpowiednio dla Modelu

A i **B**. Liczba dni z „mini dziurami” znacznie zmienia się z roku na rok. Wyjątkowo w pewnych latach obie metody wskazują na brak „mini-dziur”. Taka sytuacja miała miejsce w latach 1973, 2010 i 2018.



Rys. 4.3.1. Liczba dni w roku z „mini-dziurami” ozonowymi nad Belskiem w latach 1963-2022 (lewa strona) i liczba dni w okresie czerwiec-sierpień z deficytem całkowitej zawartości ozonu >10% normy (prawa strona)

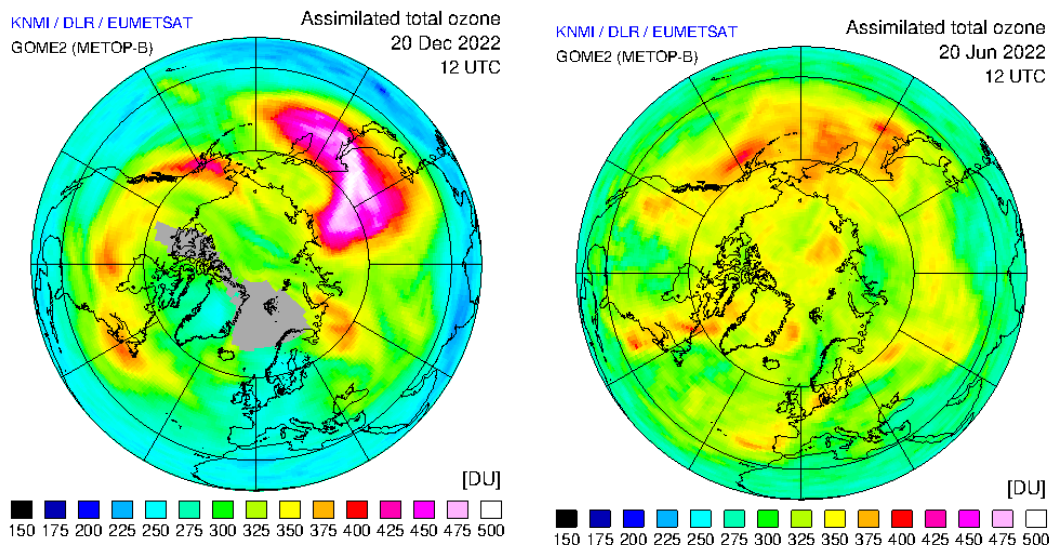
Wygładzone przebiegi czasowe (1963-2022) liczby dni z „mini-dziurami” ozonowymi (Rys.4.3.1 - lewa strona) wskazują, że obecnie znajdujemy się w fazie ustalonej częstotliwości pojawiania się „mini dziur”, która wystąpiła po okresie wzrostu liczby dni z „mini-dziurami” trwającym do połowy lat 90-tych. Dla całego okresu pomiarów w Belsku 1963-2022 model **B** przewiduje stopniowy wzrost liczby dni z „mini-dziurami”. Istotnie statystycznie (na poziomie ufności 2σ) wzrostowa tendencja wynosi około 1-2 dni na 10 lat (patrz wartość trendu na Rys.4.3.1 – lewa strona). Natomiast wyniki modelu **A** sugerują, że liczba „mini-dziur” jest na niezmiennym poziomie w okresie 1963-2022. Modele **A** i **B** w różny sposób klasyfikują „mini-dziury”. Model **A** wyznacza odchylenia od biegnącej średniej, która jest niższa od średniej dla całego okresu (model **B**) w sekwencji lat z obniżonym poziomem ozonu np. w połowie lat 90-tych XX wieku. Wyniki, uzyskane z zastosowaniem modelu **A** sugerują, że krótkookresowe procesy w dynamice atmosfery prowadzące do pojawiania się dni z ekstremalnie małymi zawartościami ozonu nie uległy zasadniczo zmianie w analizowanym okresie. Wyniki modelu **B** sugerują wzrastającą częstotliwość pojawienia się „mini-dziur” w całym okresie pomiarowym w Belsku, ale może to być efektem nałożenia się krótkookresowych dynamicznych spadków ozonu na obniżoną już średnią strefową i przekroczenia bariery -20% normy (wartość progowa pojawienia się „mini-dziury”) są tym samym częstsze. „Mini-dziury” występują nad Belskiem w okresie od

początku listopada do końca marca. W tym czasie dzienne dawki promieniowania UV mierzone przy powierzchni Ziemi są z natury niewielkie (niska wysokość Słońca) i spodziewany duży procentowo wzrost poziomu UV w stosunku do typowych wartości napromienienia UV nie jest szczególnie niebezpieczny. W tym okresie też ludzie na ogół przebywają w pomieszczeniach i rzadko korzystają z kąpeli słonecznych.

Wyznaczenie zmian w częstotliwości pojawienia się ekstremalnie niskich wartości CZO_3 jest szczególnie ważne w sezonie letnim, kiedy wysoki poziom promieniowania UV może stanowić zagrożenie dla zdrowia. W tym sezonie odchyłki CZO_3 od normy większe niż 20% nie występują. Arbitralnie przyjęto próg 10% deficytu CZO_3 do wyznaczenia okresów z ekstremalnie niskimi wartościami ozonu. W tej sytuacji rumieniowa dawka napromienienia UV byłaby ~10% wyższa od normy napromienienia dla bezchmurnego nieba.

Przeprowadzono obliczenia analogicznie do sytuacji dotyczącej „mini-dziur”, ale zastosowano 10% wartość progową. Wyniki przedstawiono na Rys.4.3.1 (prawa strona). Model **B** wskazuje niewielki dodatni trend w ilości ekstremalnych dni tj. około 1 dzień na 10 lat. Według modelu **A** trend ten jest nieistotny statystycznie (patrz wartości trendu na Rys.4.3.1- prawa strona). W 2022 r. w okresie letnim (czerwiec-lipiec-sierpień) znaleziono 5 dni i 1 dzień z wartościami CZO_3 poniżej progu -10%, odpowiednio według modelu **B** and **A**. Takich dni bywa średnio zaledwie kilka w sezonie letnim (znaleziono maksymalnie 22 takich dni w 2000 r.), wtedy bezwzględnie należało ograniczyć czas przebywania w nasłonecznionych miejscach.

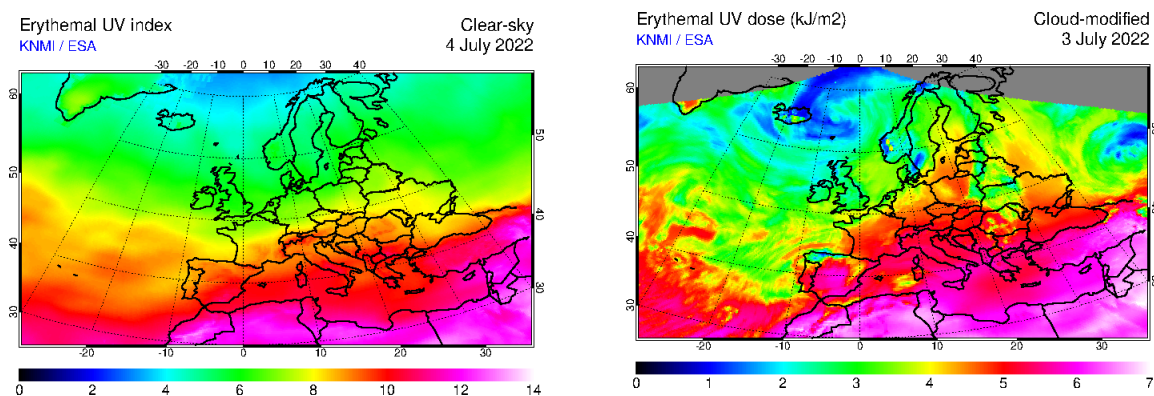
Rys. 4.3.2 (lewa strona) ilustruje przestrzenny rozkład CZO_3 na półkuli północnej na podstawie obserwacji satelitarnych w dniu 21.12.2022 tj. w dniu ekstremalnego niedoboru ozonu w Belsku w 2022 r. Pomiar CZO_3 spektrofotometrem Dobsona pokazał 231 D, czyli ~23% poniżej wieloletniej dziennej normy. Rys.4.3.2 (prawa strona) przedstawia sytuację w dniu 20.06.2022, kiedy zanotowano w Belsku 303 D (~13% poniżej wieloletniej normy w sezonie letnim), co było największym procentowym niedoborem ozonu w okresie czerwiec-wrzesień 2022. Późną wiosną i latem niedobory ozonu rzadko przekraczają poziom 10% normy. W obu przypadkach obszar z ekstremalnym CZO_3 obejmował znaczną część centralnej Europy.



Rys. 4.3.2. Rozkład CZO₃ nad półkulą północną z pomiarów spektrofotometrem GOME-2 na platformie satelitarnej Eumetsat w dniu 21.12.2022 (lewa strona) i 20.06.2022 (prawa strona). Pomiary spektrofotometrem Dobsona w tych dniach pokazały odpowiednio 25,6% i 13,2% ubytek ozonu w stosunku do średniej wieloletniej dla tego dnia. Rysunki pochodzą ze strony https://www.temis.nl/protocols/o3field/o3field_gome2b.php

4.4. Promieniowanie UVB w Belsku

Pomiary natężenia napromienienia o skuteczności rumieniowej z użyciem biometru Kipp & Zonen pokazały w dniu 04.07.2022 najwyższą w roku wartość tj. 7,3 indeksu UV (1 Index = 25mW/m²). Powyższą wartość potwierdziły pomiary widm UV z zastosowaniem spektrofotometru Brewera. Wysoka wartości indeksu w tym dniu była wynikiem niskich wartości CZO₃ (319 D, czyli 6,8% poniżej normy). Tego dnia dzienna dawka rumieniowa (3426 J/m²) nie była rekordowo wysoka w tym roku.

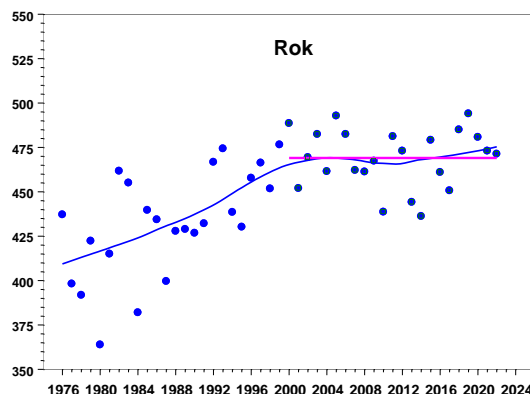


Rys. 4.4.1. Indeks UV i dzienna dawka rumieniowa nad Europą z pomiarów spektrofotometrem GOME-2 na platformie satelitarnej MetOp-A w dniach 04.07.2022 (lewa strona) i 03.07.2022 (prawa strona), odpowiednio, kiedy w Belsku zmierzono maksymalną w roku 2022 wartość indeksu UV (7,3) i dziennej dawki erytemalnej (4260 J/m²).

Najwyższą w 2022 r. dzienną dawkę rumieniową równą 4260 J/m^2 zanotowano 03.07.2022, wtedy indeks UV wynosił 7,2. Satelitarne pomiary (Rys.4.4.1) pokazały zbliżone wartości indeksu i dziennej dawki.

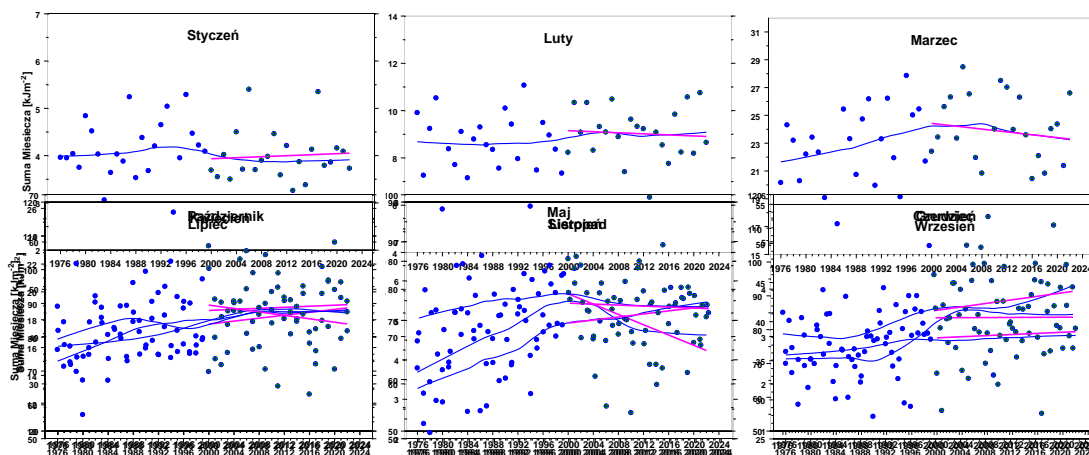
W związku z pojawieniem się niskich wartości ozonu nad Polska w kwietniu 2022 r. wielokrotnie rejestrowano w Belsku wartości indeksu UV powyżej 4 tj. około 15% powyżej wieloletniej normy dla tego miesiąca. W całym miesiącu w sumie takich dni było 11. Maksymalna dawka rumieniowa w tym okresie wynosiła 2255 J/m^2 (24.04), co w przybliżeniu stanowi 11 krotność minimalnej dawki wywołującej rumień skóry (tzw. MED) u osoby z fototypem 2. Największa wartość indeksu UV w tym miesiącu wynosiła 5,1 (27.04). Wysokie wartości indeksu UV o tej porze roku są szczególnie niebezpieczne dla zdrowia, gdyż organizm nie jest jeszcze zaadaptowany do długotrwałych ekspozycji na promieniowanie UV, a umiarkowane temperatury ($\sim 20^\circ \text{C}$) zachęcają do nadmiernego opalania bez zastosowania kremów z filtrem ochronnych. Czerwińska i Krzyścin (2020) stwierdzili, że nadmierne napromienienie w kwietniu może być przyczyną wzrastającej gwałtownie zapadalności na czerniaka w Europie.

W Belsku monitoring promieniowania UV o skuteczności rumieniowej prowadzony jest od 1976 r. z zastosowaniem różnych modeli szerokopasmowych biometrów: Robertson-Berger (1976-1994), Solar Light (1992-2014), Kipp @ Zonen (2006-2022). Seria czasowa w ubiegłych latach, także i w 2022 r., została poddana procedurze homogenizacyjnej, która polegała na zastosowaniu poprawek wynikających z porównania wyników pomiarów szerokopasmowymi miernikami dla dni bezchmurnych z wynikami modelu transferu promieniowania (metoda stosowana w latach 1976-1994) lub z jednoczesnymi pomiarami natężenia promieniowania UV o skuteczności rumieniowej z zastosowaniem spektrofotometru Brewera nr. 64 (metoda stosowana od 1995 r.). Jakość pomiarów ozonu i promieniowania UV belskiego Brewera jest zapewniona przez corocznie porównania (od lata 1995 r.) ze światowym standardem – spektrofotometrem Brewera nr. 17. Przebieg sum rocznych dziennych dawek rumieniowych wskazuje na wzrost napromienienia UV w Belsku w latach 1976-1999 i późniejszą stabilizację (brak trendu). W XXI wieku sumy roczne dziennych dawek rumieniowych oscylują wokół poziomu $\sim 470 \text{ kJ/m}^2$ (Rys 4.4.2). Trend w sumie rocznej w latach 1976-1999 wynosił $5.9 \% \pm 1.6 \%$ na 10 lat. W tym okresie suma roczna wzrosła więc o 14.2%. W 2022 r. suma roczna wyniosła $471,3 \text{ kJ/m}^2$ i była typowa dla wartości w XXI w. W ostatnich latach (od ~ 2010 r.) pojawiła się lekka tendencja wzrostowa, która w okresie 2010-2022 r. była jeszcze nie istotna statystycznie (Rys.4.4.2).



Rys.4.4.2. Roczna suma dziennych dawek promieniowania rumieniowego w Belsku w latach 1976-2022 (punkty). Ciągła krzywa w kolorze niebieskim przedstawia wygładzone dane. Prosta w kolorze fioletowym ilustruje trend w okresie 2000-2022.

Rysunki 4.4.3. przedstawiają serie czasowe sum miesięcznych dziennych dawek rumieniowych składających się na sumę roczną. W niektórych miesiącach przebieg długookresowych zmian w sumach miesięcznych różni się od tego w sumie rocznej. Ale jedynie w maju stwierdzono istotnie statystycznie trend, $-7,5 \% \pm 6,4 \% (2\sigma)$, w sumach miesięcznych po 2000. Przed 2000 r. wzrostowy trend w tym miesiącu wynosił $9,1 \% \pm 6,4 \% (2\sigma)$. W sezonie letnim (czerwiec, lipiec, sierpień) po 1999 r. wyznaczono wzrostową tendencję w sumach miesięcznych $\sim 2\%$ na 10 lat, jednak duże zmiany sum miesięcznych z roku na rok nie pozwoliły stwierdzić, że zmiana ta jest istotna statystycznie. Wzrost sum miesięcznych promieniowania rumieniowego w okresie letnim prowadzi do wzrostu zagrożenia nadmiernym napromienieniem, gdyż w okresie wakacyjnym czas pobytu na wolnym powietrzu jest zwykle dłuższy niż w innych miesiącach.



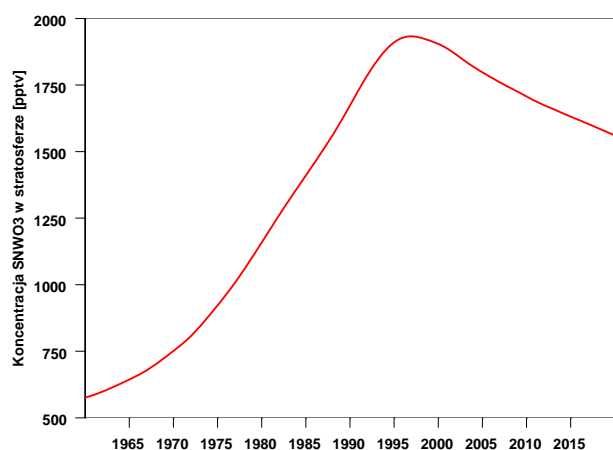
Rys.4.4.3. Sumy miesięczne (od stycznia do grudnia) dziennych dawek promieniowania rumieniowego w Belsku w latach 1976-2022 (punkty). Ciągła krzywa w kolorze niebieskim przedstawia wygładzone dane. Prosta w kolorze czerwonym ilustruje trend w okresie 2000-2022 wyznaczony standardową regresją liniową z zastosowaniem metody najmniejszych kwadratów.

4.5. Globalne zmiany całkowitej zawartości ozonu

„Naprawa” warstwy ozonowej w średnich szerokościach geograficznych na półkuli północnej

Zwykle długookresowe zmiany ozonu wiąże się ze zmianami koncentracji w stratosferze substancji niszczących warstwę ozonową (SNWO₃). Koncentracja SNWO₃ w stratosferze w średnich szerokościach geograficznych zaczyna maleć w drugiej połowie lat 90-tych XX wieku (Rys.4.5.1) w wyniku ograniczeń w produkcji SNWO₃ wprowadzonych przez Protokół Montrealski (PM) z 1987 r. i jego późniejsze poprawki. Natomiast początek zmniejszania koncentracji SNWO₃ obserwowany jest w wysokich szerokościach geograficznych (Arktyka i Antarktyda) od początku XXI wieku. W tej sytuacji w globalnych danych ozonowych w XXI powinien pojawić się dodatni trend związany ze stopniowym zmniejszaniem się koncentracji substancji niszczących ozon w stratosferze, którego identyfikacja może być jednak utrudniona ze względu na występowanie naturalnych oscylacji CZO₃ związanych z globalnymi i lokalnymi procesami transportu ozonu i jego prekursorów w atmosferze. Zmiany klimatu mogą modyfikować naturalne procesy redystrybucji ozonu (np. intensywność komórki Brewera-Dobsona, patrz rozdział 4.1), co w konsekwencji prowadzi do zmniejszenia (lub zwiększenia) CZO₃ w pewnych obszarach na kuli ziemskiej, czyli odpowiednio do wolniejszej (lub szybszej) regeneracji warstwy ozonowej.

Rys. 4.5.1. Zawartość substancji niszczących warstwę ozonową (SNWO₃) w stratosferze



(1960-2020) w średnich szerokościach geograficznych według obliczeń modelowych (krzywa czerwona)

Weber i inni (2022) analizując dane pomiarowe (z sieci naziemnej i obserwacji satelitarnych) i symulacje numeryczne (z zastosowaniem globalnych chemiczno-transportowych modeli) ocenili, że tempo regeneracji CZO₃ w średnich szerokościach geograficznych (35-60° N) wynosiło $0,5 \pm 0,5$ % (2σ) na 10 lat w okresie 1996-2020. Wydaje się, że tempo regeneracji jest w rzeczywistości mniejsze, gdyż w okresie 1996-2000 wystąpiła silna wzrostowa tendencja CZO₃ nie związana ze zmianami SNWO₃, która wpłynęła na wielkość szacowanych trendów w okresie po 1995 r. Fazę przyspieszonego wzrostu w latach 1996-2000 widać wyraźnie w średnich rocznych CZO₃ dla Belska (Rys.4.1.1).

W dalszej części tego podrozdziału będą analizowane trendy CZO₃ na półkuli północnej po 1999 r. Ponieważ zmiany SNWO₃ po 1996 r. są praktycznie liniowe (Rys.4.5.1), liniowe trendy CZO₃ nie powinny zależeć od wyboru momentu startowego w szacowanym trendzie po 1996 r. W obliczeniach trendu wykorzystano kilka zestawów danych CZO₃ z symulacji numerycznych nawiązujących do rzeczywistych danych (tzw. reanaliz) MERRA-2 (1980-2022), ERA5 (1959-2022) i MSR-2 (1979-2021), a także obserwacji satelitarnych SBUV (1970-2021). Trendy wyznaczono zwykłą regresją liniową z początkiem w 2000 r. i końcem w zależności od typu danych tj. 2022 dla MERRA-2 & ERA5 i 2021 dla MSR-2 & SBUV.

Rysunek 4.5.2 przedstawia liniowe trendy w średnich rocznych (Rys.4.5.2a) i letnich CZO₃ (Rys.4.5.2b, czerwiec-lipiec-sierpień) wyznaczone w 5 stopniowych pasach szerokościowych, od równika (0-5°N - pierwszy pas) do bieguna północnego (85-90°N - ostatni 18 pas). Dane CZO₃ dla średnich rocznych i letnich pochodzą z baz danych MERRA-2, MSR-2 i SBUV zawierających średnie miesięczne CZO₃ w miejscach odpowiadającym węzłom gęstej globalnej siatki numerycznej.

Istotnie statystycznie dodatnie trendy CZO_3 , rzędu 1% na 10 lat, wskazujące na postępującą regenerację warstwy ozonowej, wyznaczono tylko w strefie 0-20° N stosując średnie roczne z reanalizy MERRA-2. Natomiast zaskakujące ujemne trendy stwierdzono w średnich rocznych w strefach 40-50° N (MERRA-2) i 65-90° N (MSR-2). Natomiast dane satelitarne SBUV wskazują ujemne trendy w średnich rocznych CZO_3 w strefach 10-20° N, 30-50° N i 75-80° N. Brak istotnego statystycznie trendu w średnich rocznych CZO_3 stwierdzono we wszystkich bazach danych w strefie 20-30° N i w strefie 50-65° N, która obejmuje Belsk. Średnie trendy letnie okazały się być nieistotne statystycznie we wszystkich strefach i bazach danych (Rys.4.5.2b).

Średnie miesięczne CZO_3 z reanalizy ERA5 posłużyły do analizy zmienności trendów w średnich rocznych i letnich w strefie średnich szerokości geograficznych 30-60° N. Trendy w okresie 2000-2022 zostały wyznaczone dla 108 obszarów o rozmiarze 5°(szerokość) x 10°(długość) znajdujących się w tej strefie (Rys.4.5.3). Wyznaczono szereg obszarów z istotnie statystycznie dodatnim trendem w średnich rocznych (1%÷2% na 10 lat), zdecydowanie mniej takich trendów znaleziono w średnich letnich. W otoczeniu Belska (obszar 50-55° N i 10-20° E) trendy wynosiły 1,3%/10lat (istotny statystycznie) i 0,2%/10 lat (nieistotny statystycznie) odpowiednio w średnich rocznych i letnich CZO_3 . Należy zauważyć, że trend letni w okolicach Belska jest jednym z najmniejszych w całej strefie 30-60° N (Rys.4.5.3b).

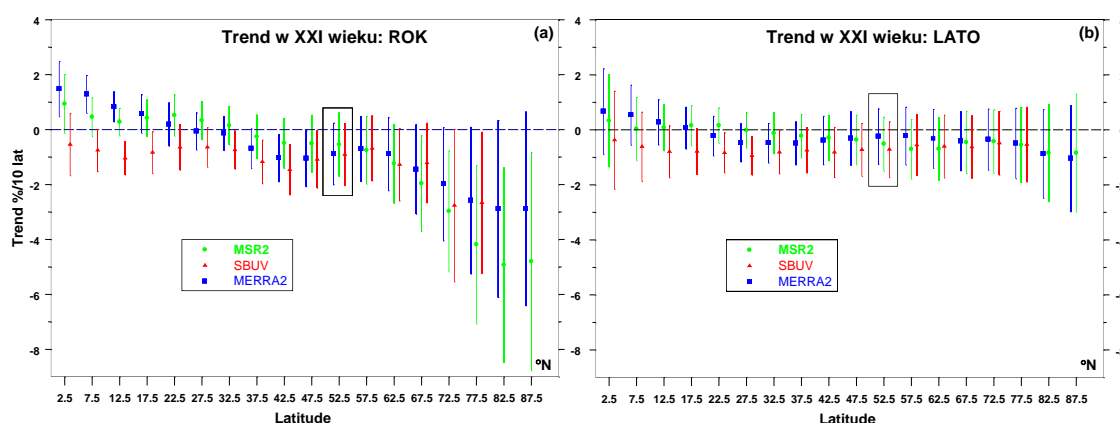
Mimo istniejącego dodatniego trendu w średnich rocznych CZO_3 stwierdzonych w danych ERA5, poziom ozonu w Belsku w ostatnich dziesięciu latach (2013-2022) był 3,7% poniżej poziomu z lat 1970-1979, kiedy stratosfera była w niewielkim stopniu zanieczyszczona substancjami niszczącymi warstwę ozonową. Taka wartość jest zgodna z oszacowaniem zmiany poziomu CZO_3 na podstawie danych obserwacyjnych z Belska. Z rysunku 4.1.1f można odczytać, że średnia roczna CZO_3 wynosiła 345 D przed 1980 r. i 330 D po 1999 r., czyli deficyt CZO_3 wynosi obecnie 4,3%.

Przedstawiona w tym rozdziale analiza trendów ozonu przy zastosowaniu różnych baz danych tj. z reanaliz, danych satelitarnych i naziemnych prowadzi do niejednoznacznych wyników szacowania kierunku zmian ozonu na półkuli północnej w XXI wieku. W średnich szerokościach geograficznych nie stwierdzono istotnego dodatniego trendu po 1999 r. w średnich rocznych i letnich CZO_3 . Reanalizy MERRA-2 & MSR-2 i dane satelitarne SBUV wskazują na występowanie obszarów z istotnym ujemnym trendem w tym obszarze. Natomiast reanaliza ERA5 pokazuje wyłącznie strefy z istotnym dodatnim i nieistotnym trendem. W przypadku obszaru z okolic Belska, wszystkie dane wskazują na nieistotny trend w średnich

dla sezonu letniego. Jedynie ERA5 w średnich rocznych pokazuje istotny dodatni trend w wybranych obszarach w strefie 30-60° N, wszystkie pozostałe bazy sugerują nieistotny lub ujemny trend. Uzgodnienie danych CZO₃ między różnymi bazami nie jest prostym zagadnieniem i obecnie nie można wskazać bazy, która najdokładniej reprezentuje ozon atmosferyczny.

Mechanizmem różnicującym tempo zmian w warstwie ozonowej w średnich szerokościach geograficznych na półkuli północnej mogą być np. lokalne zmiany w dynamice atmosfery powiązane ze zmianami klimatu, prowadzące np. do wzrostu napływu powietrza uboższego w ozon ze stratosfery równikowej do wybranych obszarów poza równikowych, co maskuje regenerację warstwy ozonowej w XXI wieku związaną ze stopniowym usuwaniem ze stratosfery związków chemicznych niszczących ozon.

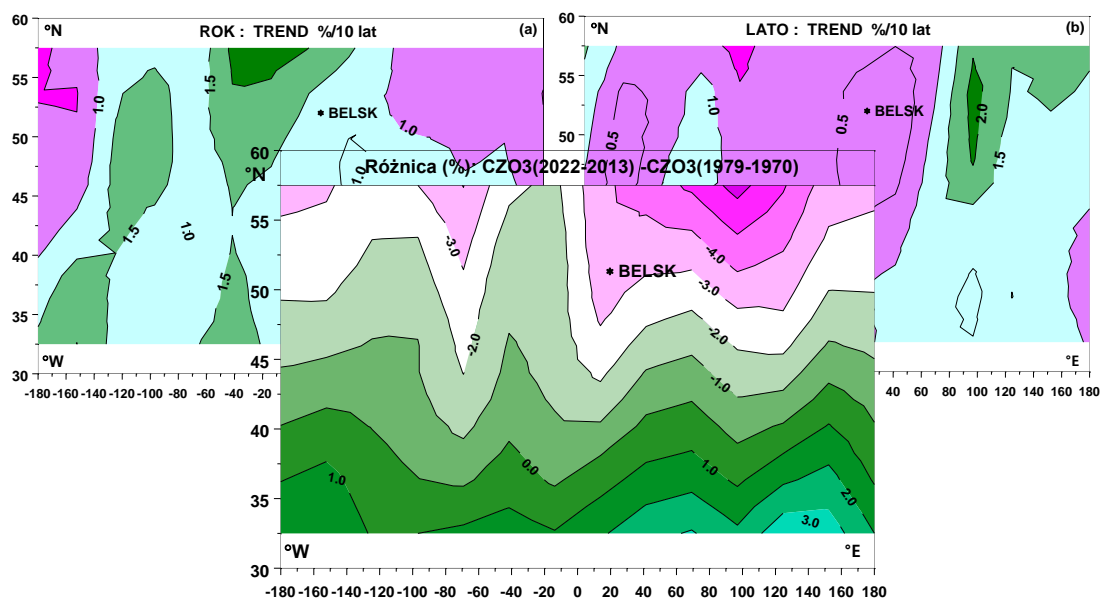
Zmienność ozonu w wysokich warstwach atmosfery jest wynikiem procesów chemicznych, więc statystycznie istotny wzrostowy trend w wysokiej stratosferze nad Belskiem (Rys. 4.2.1c) jest potwierdzeniem skuteczności ograniczeń w produkcji substancji niszczących warstwę ozonową na tych wysokościach w atmosferze, które wprowadził Protokół Montrealski z 1987 r. i jego późniejsze poprawki. Dodatni trend w tej warstwie został stwierdzony na całym globie (Szeląg i inni, 2020).



Rys. 4.5.2. Trendy (%/10 lat) po 1999 r. w średnich rocznych (Rys.4.5.2a) i letnich (Rys.4.5.2b) dla różnych zestawów danych CZO₃. Linie pionowe przedstawiają zakres błędów $\pm 2\sigma$. Prostokąt wyróżnia strefę szerokościową zawierającą Belsk.

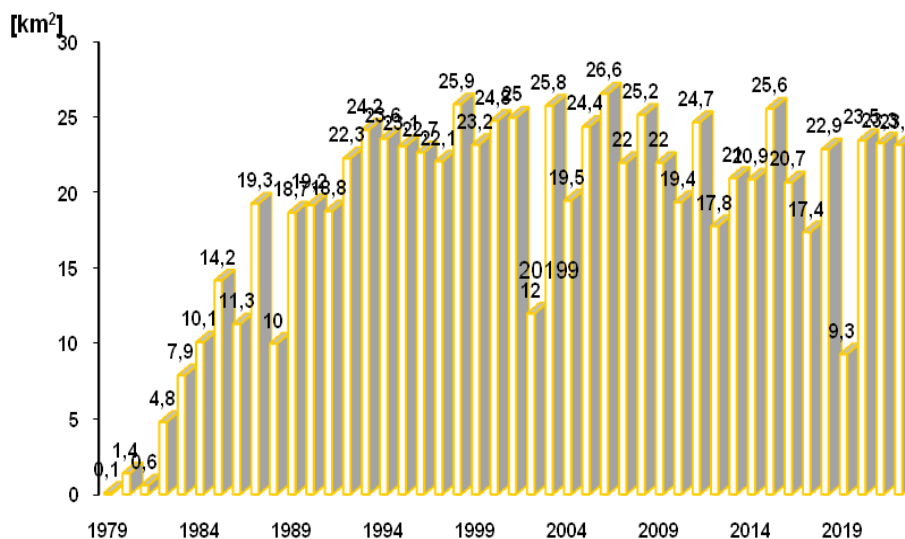
Rys.4.5.3. Trendy (%/10lat) po 1999 r. wyznaczone ze średnich rocznych (Rys.4.5.3a) i letnich (Rys.4.5.3b) CZO₃ z symulacji ERA5 dla obszarów 5°(szerokość) x 10°(długość) w pasie szerokościowym 30-60° N.

Rys. 4.5.4. Różnica między średnimi rocznymi CZO₃ w okresie 2013-2022 i 1970-1979 jako % średniej z lat 1970-1979.



Zmiany całkowitej zawartości ozonu nad Antarktydą i Arktyką

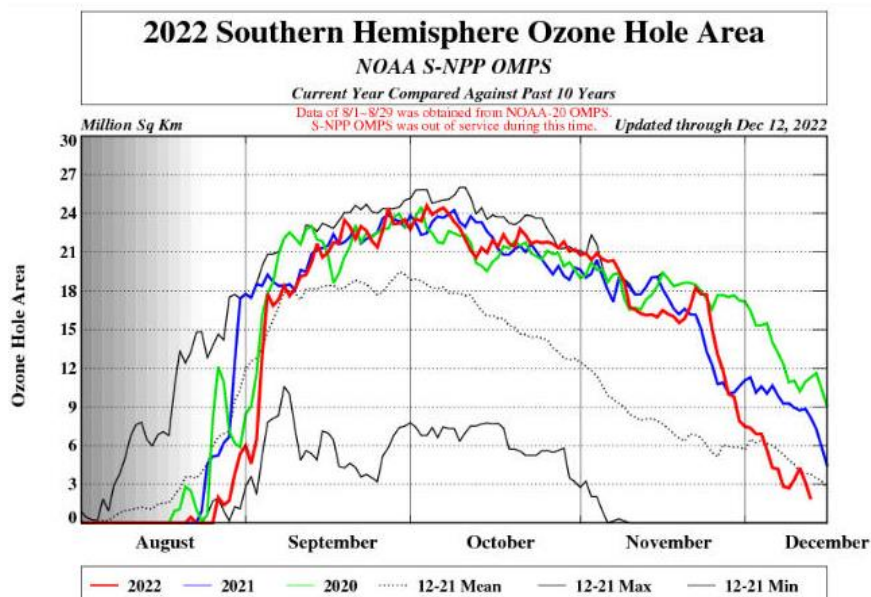
Zwyczajowo mówi się o występowaniu „dziury ozonowej” kiedy CZO_3 jest poniżej 220 Dobsonów. Taka sytuacja zdarza się regularnie w ostatnich 40 latach w okresie sierpień-grudzień nad obszarami polarnymi półkuli południowej. Przed 1979 nie notowano nad Antarktydą wartości CZO_3 mniejszych od 220 Dobsonów. Maksymalny obszar „dziury ozonowej” w 2001 roku osiągnął prawie 29 mln km^2 . Na Rys.4.5.5 przedstawiono średni obszar „dziury ozonowej” w okresie 07.09 – 13.10 w latach 1979-2022. Od połowy lat 90-tych XX wieku powierzchnia „dziury ozonowej” w tym okresie oscyluje wokół dwudziestu kilku milionów km^2 . W sezonie 2022 średnia powierzchnia dziury ozonowej wynosiła 23,2 mln km^2 i była zbliżona do wartości maksymalnej (26,6 mln km^2) z 2006 r. Natomiast w 2019 roku obserwowano jedną z najmniejszych dziur ozonowych (9,3 mln km^2) w XXI wieku. Tak duże zmiany powierzchni dziury w ciągu kilku lat, można wyjaśnić odmiennymi warunkami termicznymi w tych latach. W 2019 r. miało miejsce ocieplenie stratosferyczne, a w latach 2020-2022 antarktyczny wir polarny był odizolowany od cieplejszych mas powietrza zalegających w średnich szerokościach geograficznych, co doprowadziło do wychłodzenia Antarktydy.



Rys.4.5.5. Średni obszar „dziury ozonowej” w milionach km^2 w okresie 07.09 -13.10 w latach 1979-2022.

Niskie temperatury w stratosferze prowadzą do pojawienia się polarnych chmur stratosferycznych (z angielskiego PSC - polar stratospheric clouds), które formują się

w temperaturze poniżej -78°C w niskiej stratosferze (15-20 km). PSC uznawane są jako prekursor destrukcji stratosferycznego ozonu nad tym obszarem (Solomon i inni, 1986). Dziura ozonowa w 2022 r. utrzymywała się wyjątkowo długo i znikła dopiero w połowie grudnia 2022 r. osiągając wyjątkowo duże rozmiary (bliskie najwyższym historycznym wartościom) w pierwszej połowie listopada (Rys.4.5.6).

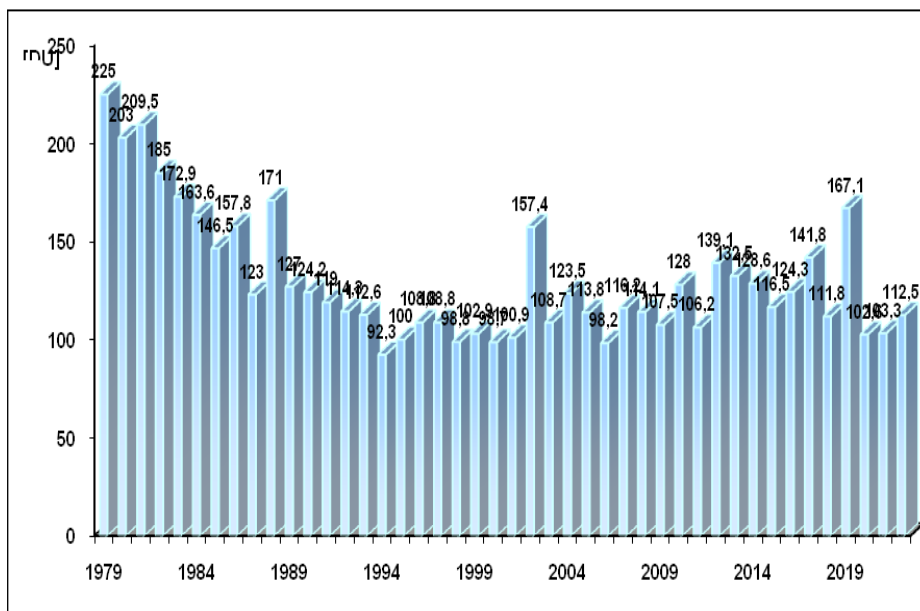


Rys. 4.5.6. Powierzchnia antarktycznej „dziury ozonowej” w milionach km^2 w sezonie w latach 2020, 2021 i 2022 r. (odpowiednio krzywa zielona, niebieska i czerwona) na tle średnich dziennych obszaru dziury ozonowej w okresie 2010-2021 (kropkowana czarna krzywa), oraz maksymalnych i minimalnych dziennych wartości w latach 2010-2020 ciągłe czarne krzywe nad i pod krzywą dla średnich wartości). (źródło: opracowanie NOAA, USA)

Od początku XXI wieku obserwowane są symptomy zmian (może i zaniku?) w rozległości i głębokości „dziury”. Powierzchnia dziury nie rośnie systematycznie z roku na roku, tak jak to obserwowano w latach 80-tych i wczesnych 90-tych ubiegłego wieku. Obserwowane są duże zmiany z roku na rok rozległości dziury i intensywności destrukcji ozonu w obszarze dziury. W związku ze zmianami klimatu i zwiększonymi fluktuacjami w temperaturze w stratosferze nad Antarktydą, co wpływa na tempo niszczenia ozonu w tej warstwie atmosfery, obserwuje się coraz częściej anomalny i nieprzewidywalny rozwój dziury ozonowej. Przez trzy kolejne lata 2020-2022 powierzchnia dziury ozonowej w okresie w okresie 07.09 -13.10 była zbliżona do tej z końca lat 90-tych XX wieku i początku XXI wieku, co może sugerować osłabienie tempa zaniku dziury ozonowej (Rys.4.5.5).

Dziura ozonowa formuje się regularnie już od prawie 40 lat w końcu antarktycznej zimy (sierpień) i zanika kilka tygodni przez początkiem antarktycznego lata. Podobne zjawisko nie

występuje w innych rejonach na kuli ziemskiej. Niezwykle rzadko pojawia się „dziura ozonowa” nad Arktyką i tylko podczas ekstremalnie chłodnych zim (taka ostatnio była w 2020 r). W średnich i niskich geograficznych, temperatura w stratosferze jest za wysoka i nie występują PSC.



Rys.4.5.7. Średnia w okresie 21.09-16.10 całkowita zawartość ozonu (w Dobsonach) w dziurze ozonowej w latach 1979-2022.

Jednym z parametrów określających rozmiar destrukcji ozonu nad Antarktydą jest średnia wartość całkowitej zawartości ozonu w obszarze dziury ozonowej w okresie 21.09-16.10, kiedy dziura osiąga największy rozmiar (Rys.4.5.7). W ubiegłym wieku bywały lata, kiedy ta wartość była poniżej 100 Dobsonów, a przed pojawieniem się dziury ozonowej (przed 1980) minimalne wartości ozonu nad Antarktydą nie spadały poniżej 220 Dobsonów. W 2022 r. średnia wartość CZO₃ w okresie 21.09-16.10 wyniosła 112,5 Dobsonów, co odpowiadało typowej wartości rejestrowanej od połowy lat 90-tych ubiegłego wieku.

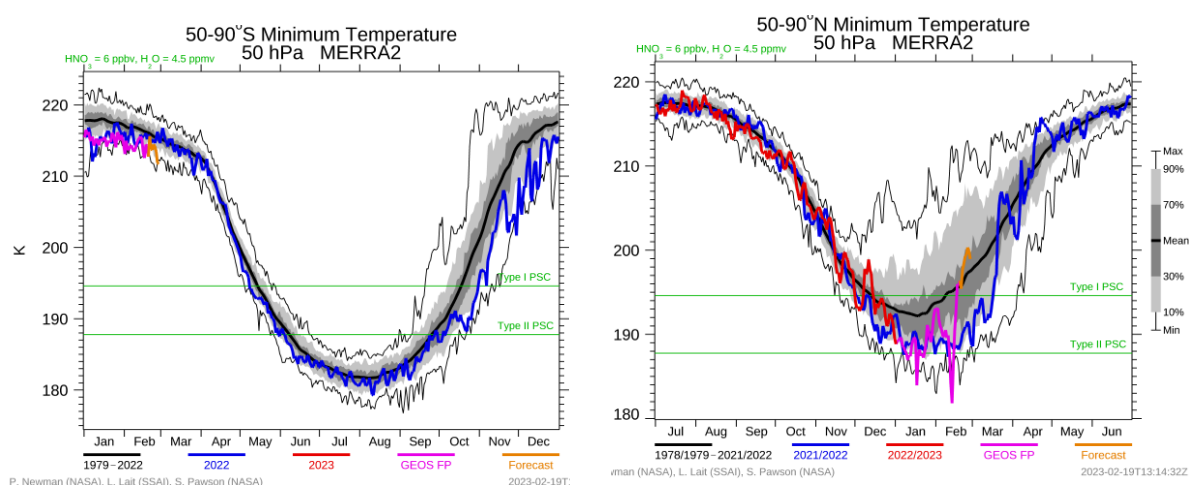
Pojawienie się, jak co roku w ostatnich dziesięcioleciach, dziury ozonowej nad Antarktydą umożliwiły warunki meteorologiczne panujące w stratosferze antarktycznej w czasie zimy (czerwiec-sierpień). Niska temperatura stratosfery przyczyniła się do utworzenie tam chmur zwanych polarnymi chmurami stratosferycznymi (PSCs). Ilość pary wodnej w stratosferze jest bardzo niska – zaledwie 5 cząsteczek pary wodnej na milion cząsteczek powietrza. Toteż w warunkach normalnych w stratosferze chmury się nie pojawiają. Jednakże, kiedy temperatura jest wystarczająco niska, zaczynają się tworzyć chmury zawierające mieszaninę wody i kwasu azotowego. Tego rodzaju chmury są nazywane polarnymi chmurami

stratosferycznymi (PSCs) typu I. Na powierzchni cząstek tworzących te chmury zachodzą reakcje chemiczne, które zmieniają nieaktywne i nieszkodliwe dla ozonu związki halogenowe (np. HCl i HBr) w aktywne chlorki i bromki (np. ClO i BrO). Te aktywne formy chloru i bromu powodują w warunkach dopływu promieniowania słonecznego szybki rozpad cząsteczek ozonu w cyklu katalitycznym, w którym jedna cząsteczka ClO może rozłożyć tysiące cząsteczek ozonu, zanim ulegnie dezaktywacji spowodowanej reakcją z cząsteczką dwutlenku azotu (NO₂). Kiedy temperatura spada jeszcze bardziej (rzędu -90°C) mogą tworzyć się chmury zawierające wyłącznie zamrożoną wodę. Te lodowe chmury nazywane są PSCs typu II. Chmury lodowe w stratosferze prowadzą do dużo większych ubytków ozonu w porównaniu do tych generowanych przez PSCs typu I, gdyż związki halogenowe szkodliwe dla ozonu są wydajniej aktywowane w reakcjach heterogenicznych zachodzących przy powierzchni lodu.

Cząstki obu typów chmur mogą rosnąć do takiej wielkości, że nie mogą już unosić się w powietrzu i wypadają ze stratosfery. Zabierają wówczas ze sobą kwas azotowy. Stanowi on substancję rezerwuarową, która uwalnia dwutlenek azotu (NO₂) w warunkach dopływu promieniowania słonecznego. Jeśli NO₂ będzie usuwany ze stratosfery (tzw. proces denitryfikacji), aktywne cząsteczki chloru i bromu powodują rozkład dużo większej liczby cząsteczek ozonu zanim staną się nieaktywne reagując z tlenkami azotu.

Każdego roku w stratosferze nad Antarktydą istnieją warunki sprzyjające tworzeniu PSC (Rys.4.4.8), bowiem zimą (na półkuli południowej) potężny polarny wir izoluje ten obszar od napływu cieplejszych mas ze średnich szerokości geograficznych. Dochodzi wtedy do znacznego wychłodzenia stratosfery nad Antarktydą i PSC typ I i II mogą pojawić się w maju i zanikają w listopadzie. W sytuacji znacznego zanieczyszczenia atmosfery substancjami niszczącymi warstwę ozonową, które stopniowo, lecz powoli ulega zmniejszeniu w wyniku stosowania ograniczeń w produkcji takich substancji wprowadzonych przez Protokół Montrealski z 1987, następuje całkowite zniszczenie ozonu w dolnej stratosferze (15-20 km) w sezonie wiosennym. Przebieg temperatury w stratosferze zimą i wiosną 2022 r. nad Antarktydą (krzywa w kolorze niebieskim na Rys.4.4.8 - lewa strona) był poniżej średnich temperatur z lat 1979- 2021 (krzywa w pogrubionym kolorze czarnym) dla tego okresu. Niskie temperatury sprzyjały utrzymywaniu się PSC i silnej destrukcji ozonu typowej dla rozbudowanych „dziur” ozonowych z przełomu XX i XXI wieku.

W stratosferze nad Arktyką niskie temperatury sprzyjające tworzeniu PSCs średnio występują na znacznie mniejszym obszarze i dlatego objętość PSC jest znacznie mniejsza niż nad Antarktydą. Rekordowa objętość PSC typ I w Arktyce stanowiła ~40% maksymalnej objętości PSC typ I nad Antarktydą, natomiast w przypadku PSC typ II tylko ~10%. W niektórych latach arktyczna stratosfera była tak ciepła, że nie było warunków do powstania PSC typu II, a nawet PSC typu I. Temperatura od połowy grudnia 2021 do połowy marca 2022 była wystraszająca niska do pojawienia się PSC typu I (krzywa w kolorze niebieskim na Rys. 4.4.8 -prawa strona), co mogło doprowadzić do masowej chemicznej destrukcji ozonu nad tym obszarem i pojawienia się dziury ozonowej z wartościami CZO₃ poniżej 220 DU.

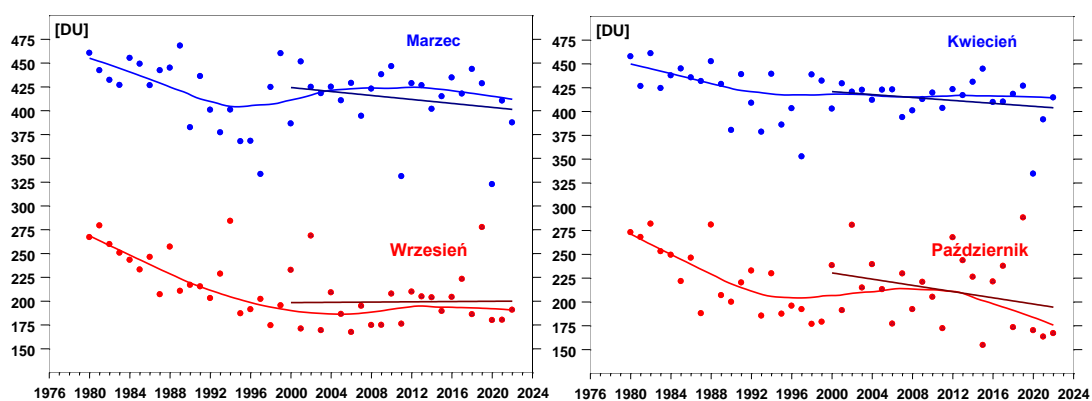


Rys.4.5.8. Minimalna temperatura na poziomie 50 hPa w strefie poza równoleżnikiem 50° (półkula południowa -lewa strona, półkula północna – prawa strona). Pogrubiona krzywa w kolorze czarnym oznacza średnie warunki w latach 1979-2022, poziome linie (zielone) wyznaczają granice pojawienia się polarnych chmur stratosferycznych typu I i II. Cienkie krzywe (w kolorze czarnym) wyznaczają zakres maksymalnych i minimalnych wartości temperatury w tym okresie. Krzywa niebieska i czerwona przedstawia przebiegu temperatury odpowiednio w 2022 i 2023 roku.

Rysunek 4.5.9 przedstawia serie czasowe średnich miesięcznych CZO₃ z reanalizy MERRA-2 dla obszaru 66,5°N-90°N (Arktyka) i 66,5°S-90°S (Antarktyda) dla wybranych wiosennych miesięcy, kiedy efekt destrukcji ozonu związany ze stratosferycznymi chmurami polarnymi powinien być największy (marzec, kwiecień - Arktyka; wrzesień, październik - Antarktyda). W marcu i kwietniu 2020 r. nad Arktyką pojawiły się ekstremalnie niskie średnie miesięczne CZO₃ (najmniejsze w serii czasowej 1979-2020). Poziom ozonu osiągnął 70% średniej dla całego okresu 1979-2021. W 2021 i 2022 r. średnie miesięczne CZO₃ były nieco poniżej normy wyznaczonej z wygładzonych danych (krzywe ciągłe na Rys. 4.5.9).

Naprawa warstwy ozonowej rozpoczęła się po 1995 r. (w Arktyce) i po 2000 r (nad Antarktydą) - Rys.4.5.9. Stopniowa regeneracja warstwy ozonowej w obszarach

podbiegunowych jest jednak słabo widoczna XXI wieku. Wydaje się, że poziom ozonu ustabilizował się w ostatnim dziesięcioleciu, a w październiku nad Antarktydą zaczyna się pojawiać zaskakująco spadkowa tendencja, która jest istotna na poziomie 1σ , lecz nie na 2σ . Oczekiwano wyraźnej wzrostowej tendencji. Natomiast w Arktyce ujemne trendy w marcu i kwietniu są istotne tylko na poziomie 1σ i każdy kolejny rok może zmienić istotność szacowanego trendu. Trudno w tym momencie określić kierunek zmian w warstwie ozonowej w obszarach podbiegunowych, zwłaszcza, że „dziura ozonowa w latach 2020-2022 nad Antarktydą była tak rozległa jak na przełomie XX i XXI wieku i trwała wyjątkowo długo, natomiast nad Arktyką w 2020 r. pojawiła się „dziura ozonowa” nieobserwowana w tym rejonie od 2010 roku.



Rys. 4.5.9. Średnie miesięczne CZO₃ w jednostkach Dobsona nad Arktyką (kolor niebieski) i Antarktyką (kolor czerwony) w dwóch pierwszych miesiącach wiosennych w okresie 1979-2022. Proste przedstawiają liniowe trendy w okresie 2000-2022. Wykorzystano dane z reanalizy MERRA-2

4.6. Podsumowanie

Wypełnianie postanowień Protokołu Montrealskiego z 1987 r. i jego późniejszych poprawek dot. ochrony warstwy ozonowej było jedną z przyczyn zatrzymania się spadkowej tendencji w ozonie atmosferycznym obserwowanej poza strefą równikową do połowy lat 90-tych XX wieku (WMO, 2014). Steinbrecht i inni (2017) stwierdzili na podstawie pomiarów satelitarnych rozkładu pionowego ozonu istotnie statystyczny dodatni trend 1-2% na 10 lat w okresie 2000-2016 wysoko w stratosferze powyżej 5 hPa. W dolnych warstwach atmosfery (100-10 hPa) trendy były nie istotne statystycznie. Zaskakująco w pobliżu 100 hPa trendy stawały się lekko ujemne. Ostatnie prace (Frith i inni, 2014, Chipperfield i inni, 2017, Ball i inni, 2018) wskazują, że oczekiwany wzrostowy trend w całkowitej zawartości ozonu jednak nie pojawiał się w średniorocznych seriach czasowych CZO₃ po 2000 r. Jedyne

w wybranych miesiącach (wrzesień i październik nad Antarktydą) obserwuje się statystycznie istotny dodatni trend w CZO_3 (Solomon i inni, 2016, Pazmino i inni, 2017).

Ball i inni (2018) analizując trendy w profilu pionowym rozkładu ozonu w 10 stopniowych pasach szerokościowych obejmujących obszar między biegunami (60S-60N) potwierdzili istnienie regeneracji warstwy ozonowej wysoko w stratosferze (10-1 hPa) i brak trendu w średniej stratosferze (32-10 hPa) w latach 1998-2016. Jednak stwierdzili zaskakująco trwałą spadkową tendencję ozonu w niskiej stratosferze (32-100 hPa), która istnieje do chwili obecnej od początku analizowanych serii czasowych (od 1985 r.). Utrzymywanie się całkowitej zawartości ozonu na stałym poziomie od końca lat 90-tych ubiegłego wieku jest wynikiem wzrostowego trendu w troposferze, który kompensuje ubytki ozonu w dolnej stratosferze. Wzrosty w wysokiej stratosferze, gdzie koncentracja ozonu jest z natury mała, mają niewielki wpływ na zmiany ozonu w całej kolumnie atmosfery. W tym momencie natura zmian ozonu w dolnej stratosferze nie jest całkowicie poznana. Autorzy wnioskuje na podstawie wyników Hossaini i inni (2017), że negatywne trendy w ostatnich dekadach mogą być wynikiem niszczenia ozonu stratosferycznego przez krótko żyjące substancje, które nie są kontrolowane przez ustalenia Protokołu Montrealskiego i jego późniejsze poprawki. Należy podkreślić, że wyniki Ball i inni (2018) sugerują, że obecne przewidywania czasu regeneracji warstwy ozonowej (około 2050 w średnich szerokościach geograficznych, WMO, 2014), które są oparte na prognozach z wykorzystaniem modeli fizyczno-chemicznych i scenariuszy zmian klimatu, nie są wiarygodne i na ten moment wydaje się, że regeneracja warstwy ozonowej będzie przesunięta w czasie, o ile w ogóle nastąpi.

Podstawowym założeniem spodziewanej regeneracji warstwy ozonowej jest stopniowe eliminowanie substancji niszczących warstwę ozonową. Jednak takie substancje w sposób niekontrolowany mogą przenikać do atmosfery ze składowisk zużytego sprzętu (lodówki, klimatyzatory, gaśnice), zawierające substancje, których stosowanie zostało wcześniej zakazane np. freonu CFC11 (Lickley et al., 2020). Takie nieoczekiwane sytuacje mogą odsunąć termin regeneracji warstwy ozonowej.

Liczne opracowania wskazują na znaczący wpływ zmian w cyrkulacji atmosfery na obserwowane długookresowe tendencje zmian w warstwie ozonowej. Zmiany w warstwie ozonowej są wypadkowym efektem zmniejszenia zanieczyszczenia atmosfery substancjami niszczącymi warstwę ozonową i specyficznej cyrkulacji w atmosferze prowadzącej do długookresowych oscylacji CZO_3 . Wzrostowe, bez ustalonego kierunku, lub nawet spadkowe tendencje w CZO_3 związane z naturalnymi oscylacjami w dynamice dolnej stratosfery mogą występować na przemian utrudniając ocenę tempa regeneracji warstwy ozonowej.

Mieszanie w stratosferze powietrza równikowego z natury ubogiego w ozon z powietrzem w średnich szerokościach geograficznych osłabia tempo naprawy warstwy ozonowej w wybranych rejonach na kuli ziemskiej (Ball i in. 2020). Dodatkowo stwierdzony wzrost koncentracji ozonu przyziemnego w strefie tropików sprzyja większej emisji jodu z powierzchni oceanu, powodując zmniejszenie zawartości ozonu w dolnej stratosferze nad równikiem, a następnie także i w strefie średnich szerokości geograficznych (Koenig i in. 2020). Potencjał niszczenia ozonu przez jod jest porównywalny z chlorem i bromem uwalniającym się z antropogenicznych gazów przenikających do stratosfery (Koenig i in. 2020), a których stosowanie zostało zabronione przez Protokół Montrealski z 1987 roku i późniejsze poprawki. Istnieją więc przesłanki do osłabienia regeneracji warstwy ozonowej, a może i powrotu do spadkowej tendencji zawartości ozonu w stratosferze nad niektórymi obszarami.

Mechanizmy zarówno dynamiczne jak i chemiczne decydujące o zmianach w warstwie ozonowej nie są do końca rozpoznane. W tej sytuacji należy kontynuować prowadzony monitoring zmian całkowitej zawartości ozonu i jego profilu na stacjach naziemnych, a zwłaszcza na tych, które jak Belsk prowadzą ciągle wieloletnie pomiary zapewniając wysoka jakość danych i tym samym stwarzając podstawy do weryfikacji danych satelitarnych i hipotez dot. ewolucji warstwy ozonowej w wyniku współdziałania procesów dynamicznych i chemicznych zachodzących w atmosferze.

4.7. Bibliografia

- Ball, W. T., Alsing, J., Mortlock, D. J., Staehelin, J., Haigh, J. D., Peter, T., Tummon, F., Stübi, R., Stenke, A., Anderson, J., Bourassa, A., Davis, S. M., Degenstein, D., Frith, S., Froidevaux, L., Roth, C., Sofieva, V., Wang, R., Wild, J., Yu, P., Ziemke, J. R., and Rozanov, E. V.: Evidence for a continuous decline in lower stratospheric ozone offsetting ozone layer recovery, *Atmos. Chem. Phys.*, 18, 1379-1394, <https://doi.org/10.5194/acp-18-1379-2018>, 2018.
- Ball W.T., Chiodo G., Abalos M., Alsing J.: Inconsistencies between chemistry climate model and observed lower stratospheric trends since 1998, *Atmospheric Chemistry and Physics*, DOI: 10.5194/acp-2019-734, 2020
- Chipperfield, M.P., Bekki, S., Dhomse, S., Harris, N.R.P., Hassler, B., Hossaini, R., Steinbrecht, W., Thiéblemont, R., and Weber, M.: Detecting recovery of the stratospheric ozone layer, *Nature*, 549, 211-218, doi:10.1038/nature23581, 2017.
- Czerwińska, A.E., and Krzyścin, J.W.: Climatological aspects of the increase of the skin cancer (melanoma) incidence rate in Europe, *International Journal of Climatology*, *Int. J. Climatolog*, 40, 3196-3207, <https://doi.org/10.1002/joc.6391>, 2020.
- Frith, S.M., Kramarova, N.A., Stolarski, R.S., McPeters, R.D., Bhartia, P.K., and Labow, G.J.: Recent changes in total column ozone based on the SBUV Version 8.6 Merged

- Ozone Data Set, *J. Geophys. Res. Atmos.*, 119, 9735-9751, doi:10.1002/2014JD021889, 2014.
- Hossaini, R., Chipperfield, M.P., Montzka, S.A., Leeson, A.A., Dhomse, S., and Pyle, J.A.: The increasing threat to stratospheric ozone from dichloromethane, *Nature Communication*, 8, doi: 10.1038/ncomms15962, 2017.
- Koenig T.K., Baidar S., Campuzano-Jost P., Cuevas C.A., Dix B., Fernandez R.P., Guo H., Hall S.R., Kinnison D., Nault B.A., Ullmann K., Jimenez J.L., Saiz-Lopez A., Volkamer R.: 2020, Quantitative detection of iodine in the stratosphere, *Proceedings of the National Academy of Sciences of the United States of America*, 117 (4), 1860-1866, DOI: 10.1073/pnas.1916828117, 2020.
- Krzyściński, J.W., Long-term changes in ozone mini-hole event frequency over the northern hemisphere derived from ground-based measurements, *Int. J. Climatol.* 22; 1425-1439, 2002
- Krzyściński, J.W., and Rajewska-Więch B., Ozone recovery as seen in perspective of the Dobson spectrophotometer measurements at Belsk (52°N, 21°E) in the period 1963-2008, *Atmospheric Environment* 43, 6369-6375, 2009a.
- Krzyściński, J.W., and Rajewska-Więch B., Trends in the ozone vertical distribution from the Umkehr observations at Belsk, 1963-2007, *International Journal of Remote Sensing*, vol.30, 3917-3926, 2009b.
- Krzyściński, J.W., Rajewska-Więch, B., and Jarosławski, J., The long-term variability of atmospheric ozone from the 50-yr observations carried out at Belsk (51.84°N, 20.78°E), Poland, *Tellus B*, 65, 21779, <http://dx.doi.org/10.3402/tellusb.v65i0.21779>, 2013.
- Krzyściński, J.W., The ozone recovery in the NH extratropics: the trend analyses of SBUV/SBUV-2 merged ozone data in the 1979-2012 period, *Atmospheric Environment* 98, 17-24, 2015.
- Krzyściński, J.W., and Rajewska-Więch, B., Specific variability of total ozone over Central Europe in the period 1979-2014. *International Journal of Climatology*, 36(10) 3539-3549, 2016.
- Krzyściński J, and Baranowski, D., Signs of the ozone recovery based on multi-sensor reanalysis of total ozone for the period 1979-2017. *Atmospheric Environment*, 199, 334-344, <https://doi.org/10.1016/j.atmosenv.2018.11.050>, 2019.
- Krzyściński J., Rajewska-Więch B., i Borkowski J. Stan warstwy ozonowej nad Polską w okresie 1979-2018. *Przegląd Geofizyczny*, 65, Zeszyt 3-4, 103-121, doi: 1032045/PG-2020-011, 2020.
- Lickley M., Solomon S., Fletcher S., Velders G.J.M., Daniel J., Rigby M., Montzka S.A., Kuijpers L.J.M., Stone K.: Quantifying contributions of chlorofluorocarbon banks to emissions and impacts on the ozone layer and climate, *Nature Communications*, 11, 1380, DOI: 10.1038/s41467020-15162-7, 2020.
- Newchurch, M.J., Yang E.S., Cunnold D.M., Reinsel G.C., Zawodny J.C., and Russel III J.M., Evidence for slowdown in stratospheric ozone loss: First stage of ozone recovery, *Journal of Geophysical Research*, vol.108, 4507, 2003.
- Pazmino, A., Godin-Beekmann, S., Hauchecorne, A., Claud, C., Khaykin, S., Goutail, F., Wolfram, E., Salvador, J., and Quel, E.: Symptoms of total ozone recovery inside the Antarctic vortex during Austral spring, *Atmos. Chem. Phys. Discuss.*, <https://doi.org/10.5194/acp-2017-1157>, in review, 2017.

- Rajewska-Więch B., and Krzyścin J., Changes in total column ozone at Belsk in perspective of ozone changes over Europe 1963-2008 (in Polish), *Przegląd Geofizyczny*, Z. 1-2, s. 49-59, 2010.
- Solomon, S., Garcia, R. R., Rowland, F. S., and Wuebbles, D. J.: On the depletion of Antarctic ozone, *Nature*, 321, 755–758, <https://doi.org/10.1038/321755a0>, 1986.
- Solomon, S., Ivy, D.J., Kinnison, J., Mills, M.J., Neely, R.R., and Schmidt, A.: Emergence of healing in the Antarctic ozone layer, *Science*, 353, 269-274, doi: 10.1126/science.aae.0061, 2016.
- Szeląg, M. E., Sofieva, V. F., Degenstein, D., Roth, C., Davis, S., and Froidevaux, L.: Seasonal stratospheric ozone trends over 2000–2018 derived from several merged data sets, *Atmos. Chem. Phys.*, 20, 7035–7047, <https://doi.org/10.5194/acp-20-7035-2020>, 2020
- Steinbrecht, W., Froidevaux, L., Fuller, R., Wang, R., Anderson, J., Roth, C., Bourassa, A., Degenstein, D., Damadeo, R., Zawodny, J., Frith, S., McPeters, R., Bhartia, P., Wild, J., Long, C., Davis, S., Rosenlof, K., Sofieva, V., Walker, K., Rahpoe, N., Rozanov, A., Weber, M., Laeng, A., von Clarmann, T., Stiller, G., Kramarova, N., Godin-Beekmann, S., Leblanc, T., Querel, R., Swart, D., Boyd, I., Hocke, K., Kämpfer, N., Maillard Barras, E., Moreira, L., Nedoluha, G., Vigouroux, C., Blumenstock, T., Schneider, M., García, O., Jones, N., Mahieu, E., Smale, D., Kotkamp, M., Robinson, J., Petropavlovskikh, I., Harris, N., Hassler, B., Hubert, D., and Tummon, F.: An update on ozone profile trends for the period 2000 to 2016, *Atmos. Chem. Phys.*, 17, 10675-10690, <https://doi.org/10.5194/acp-17-10675-2017>, 2017.
- Van der A, R., Allaart, M. and Eskes, H., Multi-Sensor Reanalysis (MSR) of total ozone, version 2. Dataset. Royal Netherlands Meteorological Institute (KNMI), 2015. 015.[doi:10.21944/temis-ozone-msr2](https://doi.org/10.21944/temis-ozone-msr2)
- WMO: Scientific Assessment of ozone Depletion: 2014, Global Ozone Research and Monitoring Project Report, World Meteorological Organization, Report No. 55, p.416, Geneva, Switzerland, 2014.

Załącznik 1. Wyniki pomiarów całkowitej zawartości ozonu zmierzonych spektrofotometrem Dobsona na stacji IGF PAN w Belsku 01.01.2022 - 31.12.2022

Tabele przedstawiają zbiory miesięczne wyników pomiarów całkowitej zawartości ozonu zmierzonych spektrofotometrem Dobsona. Do oznaczenia poszczególnych kolumn zastosowano następujący kod:

DATE – kolejny dzień miesiąca

TYPE – pierwsze dwie litery oznaczają parę długości fal użytych do pomiaru, dwie następne – rodzaj pomiaru, a mianowicie, czy pomiar był wykonany w bezpośrednim promieniowaniu Słońca (QP), czy w świetle rozproszonym z zenitu bezchmurnego (ZB), bądź z zenitu pokrytego chmurami (ZC)

GMT – czas wykonania pomiaru (Greenwich Mean Time)

MU – względna długość drogi promienia słonecznego przez warstwę ozonu (będąca funkcją odległości zenitalnej Słońca)

XOZ – całkowita zawartość ozonu w dobsonach (D)

CLS – rodzaj chmur, jakie towarzyszyły pomiarowi

GGMMM – pierwsze dwie litery oznaczają zaokrągloną godzinę pomiaru (GMT), trzy następne zaokrągloną wartość MU

LSXXX – Pierwsza litera oznacza zakodowaną parę długości fal użytych do pomiaru, druga – rodzaj obserwacji zgodnie z następującym kodem:

0 – w bezpośrednim promieniowaniu Słońca

2 – w świetle rozproszonym z zenitu bezchmurnego (ZB)

3 – w świetle rozproszonym z zenitu zachmurzonego (ZC) chmurami jednolitej i niewielkiej grubości

4 – ZC (jednolite i umiarkowanie zmienne chmury o średniej grubości)

5 – ZC (jednolite i umiarkowanie zmienne chmury o znacznej grubości)

6 – ZC (chmury o zmiennej grubości z opadem lub bez)

7 – ZC mgła

XXX – całkowita zawartość ozonu w dobsonach (D)

at Belsk, Poland

January 2022

Date	Type	GMT	MU	XOZ	CLS	GGMM	LSXXX
1	***** Obs. missing, or dates out of order or wrong						
2	***** Obs. missing, or dates out of order or wrong						
3	***** Obs. missing, or dates out of order or wrong						
4	*****						
	cdzc	9 35 00	3.915	325.	as	10392	26325
	cdzc	9 50 00	3.781	319.	sc	10378	26319
	cdzc	10 05 00	3.687	324.	sc	10369	26324
	cdzc	10 12 00	3.654	321.	sc	10365	26321
	cdzc	10 28 00	3.607	322.	sc	10361	26322
5	*****						
	cdzc	9 01 00	4.379	366.	sc	9438	26366
	cdzc	9 06 00	4.288	362.	sc	9429	26362
	cdzc	9 26 00	3.995	367.	sc	9399	26367
	cdzc	9 44 00	3.808	363.	sc	10381	26363
6	***** Obs. missing, or dates out of order or wrong						
7	*****						
	adqp	10 26 00	3.541	307.		10354	00307
	cdqp	10 26 00	3.541	318.		10354	20318
	cdzb	10 37 00	3.525	320.		11352	22320
	adqp	10 41 00	3.522	308.		11352	00308
	cdqp	10 41 00	3.522	313.		11352	20313
	adqp	10 56 00	3.533	309.		11353	00309
	cdqp	10 56 00	3.533	312.		11353	20312
	cdqp	11 05 00	3.553	314.		11355	20314
8	*****						
	cdzc	10 39 00	3.497	418.	ac	11350	25418
	cdzc	10 49 00	3.498	411.	ac	11350	25411
	cdzc	11 02 00	3.517	421.	ac	11352	25421
	cdzc	11 14 00	3.555	433.	as	11356	25433
9	*****						
	cdzb	10 55 00	3.476	391.		11348	22391
	cdzb	11 08 00	3.505	384.		11350	22384
	cdzb	11 20 00	3.551	380.		11355	22380
	cdzb	11 30 00	3.605	382.		12361	22382
	cdzb	11 39 00	3.667	384.		12367	22384
10	*****						
	cdzc	9 50 00	3.633	412.	as	10363	26412
	cdzc	10 00 00	3.567	407.	as	10357	26407
	cdzc	10 46 00	3.441	411.	sc	11344	26411
	cdzc	11 02 00	3.460	414.	sc	11346	26414
	cdzc	11 40 00	3.640	419.	sc	12364	26419
11	*****						
	cdzc	10 01 00	3.558	342.	as	10356	25342
	cdzc	10 19 00	3.453	337.	as	10345	25337
	cdzc	10 48 00	3.412	337.	as	11341	25337
	cdzc	11 00 00	3.426	331.	as	11343	25331
	cdzc	11 20 00	3.488	333.	as	11349	25333
12	*****						
	cdzc	9 41 00	3.646	327.	sc	10365	25327
	cdzc	9 48 00	3.589	324.	ac	10359	25324
	cdzc	10 00 00	3.509	320.	sc	10351	25320
	cdzc	10 15 00	3.438	313.	ac	10344	25313
	cdzc	10 35 00	3.388	305.	ac	11339	25305
	cdqp	11 39 00	3.562	314.		12356	20314
	cdqp	11 44 00	3.599	317.		12360	20317
13	***** Obs. missing, or dates out of order or wrong						
14	***** Obs. missing, or dates out of order or wrong						
15	*****						
	cdzc	9 33 00	3.622	301.	cu	10362	25301
	adqp	9 38 00	3.575	314.		10357	00314
	cdqp	9 38 00	3.575	325.		10357	20325
	adqp	9 44 00	3.524	316.		10352	00316
	cdqp	9 44 00	3.524	330.		10352	20330
	cdzb	10 05 00	3.389	326.		10339	22326
	cdzb	10 17 00	3.338	330.		10334	22330
	cdzb	10 40 00	3.291	327.		11329	22327
16	*****						
	cdzc	10 41 00	3.258	300.	as	11326	26300

	cdzc	10 46 00	3.256	298.	as	11326	26298
	cdzc	11 05 00	3.275	299.	as	11327	26299
	cdzc	11 10 00	3.286	297.	as	11329	26297
17	*****						
	cdzb	11 20 00	3.283	375.		11328	22375
	cdqp	11 31 00	3.332	372.		12333	20372
	cdzb	11 38 00	3.371	368.		12337	22368
	cdqp	11 46 00	3.424	372.		12342	20372
	cdqp	11 51 00	3.461	365.		12346	20365
	cdqp	12 00 00	3.539	368.		12354	20368
18	*****						
	cdqp	9 37 00	3.478	326.		10348	20326
	cdzb	9 40 00	3.453	327.		10345	22327
	cdqp	9 46 00	3.405	317.		10341	20317
	cdzb	9 49 00	3.384	325.		10338	22325
	cdqp	10 12 00	3.259	326.		10326	20326
	cdzc	10 27 00	3.213	310.	cs	10321	26310
	cdzb	10 58 00	3.196	328.		11320	22328
	adqp	11 09 00	3.215	318.		11322	20318
	cdqp	11 09 00	3.215	329.		11322	20329
	cdzb	11 12 00	3.223	329.		11322	22329
	cdqp	11 22 00	3.255	333.		11326	20333
	cdzb	11 44 00	3.371	328.		12337	22328
19	*****						
	cdzc	10 03 00	3.266	327.	as	10327	26327
	cdzc	10 17 00	3.207	335.	as	10321	26335
	cdzc	10 37 00	3.162	331.	as	11316	26331
	cdzc	10 53 00	3.158	329.	as	11316	26329
	cdzc	11 26 00	3.235	326.	as	11324	26326
	cdzc	11 46 00	3.345	326.	as	12334	26326
20	*****						
	cdzb	11 34 00	3.235	378.	cu	12324	22378
21	*****						
	cdzc	9 25 00	3.481	431.	sc	9348	25431
	cdzc	9 30 00	3.431	421.	sc	10343	25421
	cdzc	10 37 00	3.095	419.	sc	11310	26419
	cdzc	10 48 00	3.088	414.	sc	11309	26414
	cdzc	11 11 00	3.115	410.	cu	11311	25410
	cdzc	11 32 00	3.188	394.	cu	12319	25394
	cdzb	11 36 00	3.208	389.		12321	22389
	cdzb	11 44 00	3.253	398.		12325	22398
	cdqp	11 48 00	3.279	400.		12328	20400
	adqp	11 55 00	3.329	379.		12333	20379
	cdqp	11 55 00	3.329	393.		12333	20393
	adqp	12 03 00	3.396	378.		12340	20378
	cdqp	12 03 00	3.396	387.		12340	20387
22	*****						
	cdqp	10 43 00	3.056	370.		11306	20370
	cdqp	10 49 00	3.054	366.		11305	20366
	cdzc	11 10 00	3.077	344.	sc	11308	25344
23	*****						
	cdqp	10 45 00	3.021	356.		11302	20356
	cdqp	10 54 00	3.021	345.		11302	20345
	adqp	11 00 00	3.026	340.		11303	00340
	cdqp	11 00 00	3.026	346.		11303	20346
	adqp	11 12 00	3.046	339.		11305	00339
	cdqp	11 12 00	3.046	347.		11305	20347
	cdzb	11 41 00	3.157	347.		12316	22347
	cdzb	11 41 00	3.157	347.		12316	22347
24	*****						
	cdzc	9 26 00	3.351	337.	sc	9335	26337
	cdzc	10 09 00	3.064	339.	sc	10306	26339
	cdzc	10 39 00	2.990	339.	sc	11299	26339
	cdzc	11 18 00	3.026	336.	sc	11303	26336
	cdzc	11 32 00	3.075	334.	sc	12308	26334
	cdzc	11 46 00	3.147	334.	sc	12315	26334
	cdzc	12 00 00	3.243	333.	sc	12324	26333
25	*****						
	cdzc	10 56 00	2.953	365.	as	11295	26365
	adzc	10 59 00	2.955	378.	as	11296	06378
	cdzc	11 02 00	2.958	367.	as	11296	26367
26	*****						
	cdzc	9 41 00	3.147	345.	sc	10315	25345
	cdzc	9 46 00	3.113	350.	sc	10311	25350
	cdzc	10 05 00	3.011	358.	as	10301	25358
	cdzc	10 17 00	2.966	360.	as	10297	25360
	adzc	10 20 00	2.957	361.	as	10296	05361

27	*****							
	cdzc	10 26 00	2.908	344.	sc	10291	26344	
	cdzc	10 43 00	2.884	340.	sc	11288	26340	
	cdzc	11 05 00	2.893	344.	sc	11289	26344	
28	*****							
	cdzc	10 35 00	2.858	357.	sc	11286	26357	
	cdzc	10 38 00	2.855	365.	sc	11285	26365	
	cdzc	10 47 00	2.849	366.	sc	11285	26366	
29	*****							
	cdzc	10 25 00	2.842	324.	as	10284	26324	
	cdzc	10 38 00	2.821	320.	as	11282	26320	
	cdzc	10 58 00	2.817	319.	as	11282	26319	
	cdzc	11 16 00	2.843	324.	as	11284	26324	
	cdzc	11 33 00	2.895	334.	sc	12289	26334	
	cdzc	11 45 00	2.948	330.	sc	12295	26330	
30	*****							
	Obs. missing, or dates out of order or wrong							
31	*****							
	cdqp	10 04 00	2.838	361.		10284	20361	
	adqp	10 04 00	2.838	364.		10284	00364	
	cdqp	10 08 00	2.823	365.		10282	20365	
	adqp	10 08 00	2.823	365.		10282	00365	
	cdqp	10 11 00	2.812	366.		10281	20366	
	adqp	10 11 00	2.812	365.		10281	00365	
	adqp	10 34 00	2.758	374.		11276	00374	
	cdqp	10 39 00	2.752	372.		11275	20372	
	cdzc	11 16 00	2.773	382.	cu	11277	26382	
	cdzc	11 25 00	2.796	383.	cu	11280	25383	
	cdzb	11 39 00	2.846	401.	cu	12285	22401	
	cdzc	11 54 00	2.921	402.	cu	12292	25402	

End of total ozone observations computation for January 2022

Total Ozone Observations on Inst. No. 84
at Belsk, Poland

February 2022

Date	Type	GMT	MU	XOZ	CLS	GGMM	LSXXX
1	*****						
	cdqp	8 53 00	3.389	341.		9339	20341
	adqp	8 53 00	3.389	333.		9339	00333
	cdzb	8 56 00	3.349	329.		9335	22329
	cdqp	9 02 00	3.273	335.		9327	20335
	adqp	9 02 00	3.273	331.		9327	00331
	adqp	9 18 00	3.101	329.		9310	00329
	cdqp	9 18 00	3.101	330.		9310	20330
	cdzc	10 14 00	2.768	320.	sc	10277	26320
	adzc	10 18 00	2.757	334.	sc	10276	06334
	adzc	11 51 00	2.866	326.	cu	12287	05326
	cdzb	12 10 00	2.988	331.		12299	22331
	cdzc	12 32 00	3.188	330.	as	13319	26330
2	*****						
	cdzc	10 15 00	2.731	407.	sc	10273	26407
	adzc	10 25 00	2.707	398.	sc	10271	06398
	cdzc	10 39 00	2.686	401.	sc	11269	26401
	adzc	10 52 00	2.680	405.	sc	11268	06405
3	*****						
	cdqp	8 24 00	3.780	327.		8378	20327
	adqp	8 24 00	3.780	315.		8378	00315
	cdqp	8 27 00	3.719	328.		8372	20328
	adqp	8 27 00	3.719	317.		8372	00317
	cdqp	8 32 00	3.623	329.		9362	20329
	adqp	8 32 00	3.623	318.		9362	00318
	cdzc	8 44 00	3.422	327.	sc	9342	26327
	cdzc	10 05 00	2.731	325.	sc	10273	26325
	adzc	10 29 00	2.666	332.	sc	10267	06332
	cdzc	12 30 00	3.077	315.	sc	13308	26315
	cdzc	12 49 00	3.295	315.	sc	13330	26315
	cdzc	13 06 00	3.553	317.	sc	13355	26317
4	*****						
	adzc	10 23 00	2.645	340.	as	10264	05340
	adzc	10 30 00	2.632	339.	as	11263	05339
	adzc	10 38 00	2.621	337.	as	11262	05337
	adzc	11 10 00	2.628	341.	sc	11263	06341
5	*****						
	adzc	11 16 00	2.605	377.	sc	11261	06377
	adzc	11 23 00	2.620	385.	sc	11262	06385

```

      adzc      11 28 00      2.633      389.      sc      11263 06389
6 *****
  Obs. missing, or dates out of order or wrong
7 *****
      cdzc      12 41 00      3.013      474.      sc      13301 25474
      cdzc      12 44 00      3.045      473.      sc      13305 25473
8 *****
      adzc      9 24 00      2.776      355.      ac      9278 04355
      adzc      9 35 00      2.703      353.      sc      10270 05353
      adzc      9 41 00      2.669      348.      sc      10267 05348
      adzc      10 38 00      2.495      329.      sc      11249 06329
      adqp      10 50 00      2.488      342.      sc      11249 00342
      adqp      10 53 00      2.489      340.      sc      11249 00340
9 *****
      adzc      9 28 00      2.712      338.      sc      9271 06338
      adzc      9 34 00      2.674      336.      sc      10267 06336
      adzc      9 43 00      2.624      338.      sc      10262 06338
      adzc      10 00 00      2.549      338.      sc      10255 06338
10 *****
      adzc      9 48 00      2.566      328.      ac      10257 06328
      adzc      10 02 00      2.510      333.      as      10251 06333
      adzc      10 28 00      2.446      320.      cu      10245 06320
      adqp      10 34 00      2.438      322.      sc      11244 00322
      adqp      10 37 00      2.435      324.      sc      11243 00324
      adqp      10 55 00      2.428      322.      sc      11243 00322
      adzc      12 39 00      2.866      339.      sc      13287 06339
11 *****
  Obs. missing, or dates out of order or wrong
12 *****
      adqp      10 55 00      2.369      337.      sc      11237 00337
      cdqp      10 55 00      2.369      334.      sc      11237 20334
      adqp      11 13 00      2.383      338.      sc      11238 00338
      cdqp      11 13 00      2.383      336.      sc      11238 20336
      adqp      11 36 00      2.433      339.      sc      12243 00339
      cdqp      11 36 00      2.433      330.      sc      12243 20330
      adzb      11 40 00      2.445      327.      sc      12244 02327
      adqp      11 50 00      2.481      338.      sc      12248 00338
      adzb      12 13 00      2.595      323.      sc      12259 02323
13 *****
      adzc      10 52 00      2.340      329.      cs      11234 06329
      adzc      11 14 00      2.356      326.      ci      11236 06326
      adzc      11 45 00      2.431      325.      ci      12243 06325
      adzc      12 30 00      2.674      317.      cs      13267 06317
14 *****
      cdqp      8 57 00      2.770      323.      sc      9277 20323
      adqp      8 57 00      2.770      326.      sc      9277 00326
      adzb      9 01 00      2.733      317.      sc      9273 02317
      cdqp      9 05 00      2.699      332.      sc      9270 20332
      adqp      9 05 00      2.699      327.      sc      9270 00327
      cdqp      9 21 00      2.581      328.      sc      9258 20328
      adqp      9 21 00      2.581      327.      sc      9258 00327
      cdqp      9 30 00      2.526      329.      sc      10253 20329
      adqp      9 30 00      2.526      328.      sc      10253 00328
      cdqp      9 49 00      2.433      335.      sc      10243 20335
      adqp      9 49 00      2.433      333.      sc      10243 00333
      adzb      9 55 00      2.410      321.      sc      10241 02321
      adqp      10 20 00      2.341      335.      sc      10234 00335
      cdqp      10 20 00      2.341      338.      sc      10234 20338
      adqp      10 35 00      2.320      336.      sc      11232 00336
      cdqp      10 35 00      2.320      337.      sc      11232 20337
      adqp      11 07 00      2.319      332.      sc      11232 00332
      cdqp      11 07 00      2.319      337.      sc      11232 20337
      adqp      11 42 00      2.391      329.      sc      12239 00329
      cdqp      11 42 00      2.391      334.      sc      12239 20334
      adqp      12 22 00      2.582      330.      sc      12258 00330
      cdqp      12 22 00      2.582      337.      sc      12258 20337
      adzb      12 31 00      2.646      316.      sc      13265 02316
      adqp      13 00 00      2.918      327.      sc      13292 00327
      cdqp      13 00 00      2.918      329.      sc      13292 20329
15 *****
      cdqp      8 29 00      3.045      324.      sc      8305 20324
      adqp      8 29 00      3.045      327.      sc      8305 00327
      adzc      8 46 00      2.839      317.      ac      9284 05317
      adzc      10 26 00      2.303      339.      sc      10230 05339
      adqp      10 42 00      2.286      332.      sc      11229 00332
      cdqp      10 45 00      2.285      337.      sc      11228 20337
      adqp      10 45 00      2.285      335.      sc      11228 00335

```

	cdqp	10 48 00	2.284	341.		11228	20341
	adqp	10 48 00	2.284	336.		11228	00336
	adzb	10 51 00	2.284	327.		11228	02327
	cdqp	10 55 00	2.284	341.		11228	20341
	adqp	10 55 00	2.284	337.		11228	00337
	cdqp	11 00 00	2.286	345.		11229	20345
	adqp	11 00 00	2.286	337.		11229	00337
	cdqp	11 18 00	2.305	342.		11230	20342
	adqp	11 18 00	2.305	335.		11230	00335
	adzsc	12 29 00	2.596	348.	sc	12260	06348
16	*****						
	cdqp	7 14 00	4.943	353.		7494	20353
	cdzb	7 17 00	4.805	356.		7480	22356
	cdqp	8 01 00	3.461	367.		8346	20367
	adqp	8 01 00	3.461	356.		8346	00356
	cdzb	8 07 00	3.344	366.		8334	22366
	cdqp	8 22 00	3.096	370.		8310	20370
	adqp	8 22 00	3.096	364.		8310	00364
	adzb	8 29 00	2.998	355.		8300	02355
	cdqp	8 33 00	2.946	368.		9295	20368
	adqp	8 33 00	2.946	365.		9295	00365
	cdqp	8 44 00	2.819	369.		9282	20369
	adqp	8 44 00	2.819	368.		9282	00368
	adqp	9 13 00	2.565	362.		9257	00362
	cdqp	9 13 00	2.565	360.		9257	20360
	adqp	9 24 00	2.494	365.		9249	00365
	cdqp	9 24 00	2.494	365.		9249	20365
	adzb	9 27 00	2.477	355.		9248	02355
	adqp	10 23 00	2.279	356.		10228	00356
	cdqp	10 23 00	2.279	349.		10228	20349
	adzb	10 26 00	2.275	350.		10227	02350
	adqp	10 37 00	2.262	355.		11226	00355
	adqp	11 01 00	2.259	357.		11226	00357
	cdqp	11 01 00	2.259	350.		11226	20350
	adqp	11 37 00	2.318	356.		12232	00356
	cdqp	11 37 00	2.318	356.		12232	20356
	adqp	12 47 00	2.705	347.		13271	00347
	cdqp	12 47 00	2.705	345.		13271	20345
	adqp	13 10 00	2.952	342.		13295	00342
	cdqp	13 10 00	2.952	344.		13295	20344
17	*****						
	adzb	9 23 00	2.467	335.		9247	02335
	adqp	9 30 00	2.428	347.		10243	00347
	adqp	9 37 00	2.393	346.		10239	00346
	adqp	10 57 00	2.230	355.		11223	00355
18	*****						
	adzsc	9 40 00	2.349	357.	sc	10235	06357
	adzsc	9 49 00	2.313	358.	sc	10231	06358
	adzsc	10 43 00	2.205	353.	sc	11220	06353
	adzsc	11 03 00	2.207	349.	sc	11221	06349
	adqp	11 16 00	2.220	345.		11222	00345
	adqp	11 19 00	2.224	343.		11222	00343
	adzb	11 38 00	2.264	340.		12226	02340
	adqp	11 40 00	2.270	344.		12227	00344
	adqp	11 49 00	2.298	345.		12230	00345
	adqp	11 57 00	2.328	345.		12233	00345
	cdqp	11 57 00	2.328	343.		12233	20343
	adzb	12 40 00	2.574	328.		13257	02328
	adqp	12 57 00	2.724	336.		13272	00336
	cdqp	12 57 00	2.724	333.		13272	20333
	adqp	13 11 00	2.878	332.		13288	00332
	cdqp	13 11 00	2.878	333.		13288	20333
19	*****						
	adzsc	11 00 00	2.179	381.	ac	11218	06381
	adzsc	11 16 00	2.194	382.	ac	11219	06382
	adzsc	11 30 00	2.218	398.	ac	12222	06398
20	*****						
	adzsc	12 34 00	2.464	431.	sc	13246	06431
	adzsc	12 40 00	2.507	435.	sc	13251	06435
21	*****						
	adzsc	9 36 00	2.278	357.	sc	10228	06357
	adzsc	9 46 00	2.239	355.	sc	10224	06355
	adzsc	10 07 00	2.176	355.	sc	10218	06355
	adzsc	10 53 00	2.126	365.	sc	11213	06365
22	*****						
	adzsc	10 59 00	2.103	407.	sc	11210	06407
	adqp	11 29 00	2.139	393.		11214	00393

	adqp	12 25 00	2.347	392.		12235	00392
	cdqp	12 25 00	2.347	388.		12235	20388
	adzc	12 48 00	2.503	376.		13250	05376
23	*****						
	adzc	9 49 00	2.174	366.	sc	10217	06366
	adzc	9 57 00	2.150	371.	sc	10215	06371
	adzc	10 22 00	2.098	367.	sc	10210	06367
	adzc	10 34 00	2.084	359.	ac	11208	06359
	adqp	10 46 00	2.078	364.		11208	00364
	adqp	10 49 00	2.077	364.		11208	00364
	adzc	11 41 00	2.142	357.	as	12214	06357
	adzc	12 01 00	2.206	361.	cu	12221	06361
	adzc	12 28 00	2.335	379.	as	12234	06379
	adzc	13 16 00	2.736	367.	as	13274	06367
24	*****						
	cdqp	8 27 00	2.674	306.		8267	20306
	adqp	8 27 00	2.674	313.		8267	00313
	adz b	8 30 00	2.642	307.		9264	02307
	cdqp	8 40 00	2.545	309.		9255	20309
	adqp	8 40 00	2.545	315.		9255	00315
	cdqp	8 57 00	2.408	311.		9241	20311
	adqp	8 57 00	2.408	319.		9241	00319
	adz b	9 03 00	2.367	310.		9237	02310
	cdqp	9 30 00	2.220	317.		10222	20317
	adqp	9 30 00	2.220	319.		10222	00319
	cdqp	10 00 00	2.116	320.		10212	20320
	adqp	10 00 00	2.116	323.		10212	00323
	cdqp	10 18 00	2.079	319.		10208	20319
	adqp	10 18 00	2.079	324.		10208	00324
	adz b	10 21 00	2.075	315.		10207	02315
	cdqp	10 50 00	2.054	330.		11205	20330
	adqp	10 50 00	2.054	333.		11205	00333
	adqp	11 24 00	2.081	340.		11208	00340
	cdqp	11 24 00	2.081	338.		11208	20338
	adqp	11 37 00	2.107	344.		12211	00344
	cdqp	11 37 00	2.107	347.		12211	20347
	adqp	12 31 00	2.324	348.		13232	00348
	cdqp	12 31 00	2.324	347.		13232	20347
	adz b	12 45 00	2.417	336.		13242	02336
	adqp	13 09 00	2.624	348.		13262	00348
	adqp	13 17 00	2.709	354.		13271	00354
	cdqp	13 17 00	2.709	342.		13271	20342
25	*****						
	adqp	8 26 00	2.645	377.		8264	00377
	adz b	8 56 00	2.383	373.		9238	02373
	cdqp	8 59 00	2.362	367.		9236	20367
	adqp	8 59 00	2.362	380.		9236	00380
	cdqp	9 02 00	2.342	366.		9234	20366
	adqp	9 02 00	2.342	380.		9234	00380
	adz b	9 18 00	2.249	376.		9225	02376
	cdqp	9 21 00	2.234	374.		9223	20374
	adqp	9 21 00	2.234	388.		9223	00388
	cdqp	9 35 00	2.172	373.		10217	20373
	adqp	9 35 00	2.172	389.		10217	00389
	cdqp	10 17 00	2.057	379.		10206	20379
	adqp	10 17 00	2.057	389.		10206	00389
	adqp	10 43 00	2.032	390.		11203	00390
	cdqp	11 00 00	2.033	382.		11203	20382
	adqp	11 00 00	2.033	387.		11203	00387
	adz b	11 03 00	2.034	377.		11203	02377
	adqp	11 41 00	2.093	389.		12209	00389
	cdqp	11 41 00	2.093	380.		12209	20380
	adz b	12 29 00	2.284	382.		12228	02382
	adqp	12 33 00	2.308	391.		13231	00391
	cdqp	12 33 00	2.308	388.		13231	20388
	adqp	13 01 00	2.514	400.		13251	00400
	adqp	13 24 00	2.753	398.		13275	00398
	cdqp	13 24 00	2.753	392.		13275	20392
26	*****						
	adzc	10 56 00	2.009	409.	as	11201	06409
	adzc	11 30 00	2.045	390.	as	12205	06390
	adzc	11 57 00	2.116	407.	sc	12212	06407
	adzc	12 47 00	2.371	377.	as	13237	06377
	adzc	12 53 00	2.416	381.	as	13242	06381
	adzc	13 19 00	2.658	384.	as	13266	06384
27	*****						
	adqp	12 27 00	2.219	363.		12222	00363

adqp	12 34 00	2.258	358.	13226	00358
cdqp	12 34 00	2.258	358.	13226	20358
adqp	12 34 00	2.258	366.	13226	00366
adqp	12 50 00	2.363	364.	13236	00364
adqp	12 58 00	2.425	363.	13242	00363
28	*****				
cdqp	8 31 00	2.483	389.	9248	20389
adqp	8 31 00	2.483	393.	9248	00393
adzb	8 39 00	2.414	370.	9241	02370
cdqp	8 46 00	2.359	386.	9236	20386
adqp	8 46 00	2.359	392.	9236	00392
cdqp	9 09 00	2.212	394.	9221	20394
adqp	9 09 00	2.212	396.	9221	00396
adzb	9 18 00	2.166	372.	9217	02372
cdqp	9 31 00	2.109	396.	10211	20396
adqp	9 31 00	2.109	397.	10211	00397
cdqp	10 23 00	1.980	394.	10198	20394
adqp	10 23 00	1.980	397.	10198	00397
cdqp	10 49 00	1.964	392.	11196	20392
adqp	10 49 00	1.964	396.	11196	00396
cdqp	11 09 00	1.972	393.	11197	20393
adqp	11 09 00	1.972	396.	11197	00396
adzb	11 12 00	1.975	378.	11197	02378
adqp	11 47 00	2.039	397.	12204	00397
cdqp	11 47 00	2.039	393.	12204	20393
adqp	12 05 00	2.096	396.	12210	00396
cdqp	12 05 00	2.096	390.	12210	20390
adqp	12 30 00	2.209	396.	13221	00396
cdqp	12 30 00	2.209	392.	13221	20392
adzb	12 33 00	2.226	375.	13223	02375
adqp	13 02 00	2.427	391.	13243	00391
cdqp	13 02 00	2.427	393.	13243	20393
cdqp	13 15 00	2.546	387.	13255	20387
adqp	13 15 00	2.546	392.	13255	00392

End of total ozone observations computation for February 2022

Total Ozone Observations on Inst. No. 84
at Belsk, Poland

Mmarch	2022					
Date	Type	GMT	MU	XOZ	CLS	GGMMM LSXXX
1	*****					
	adqp	8 16 00	2.596	377.		8260 00377
	cdqp	8 16 00	2.596	366.		8260 20366
	adqp	8 25 00	2.504	378.		8250 00378
	cdqp	8 25 00	2.504	363.		8250 20363
	adqp	8 43 00	2.350	379.		9235 00379
	cdqp	8 43 00	2.350	369.		9235 20369
	adqp	9 25 00	2.108	384.		9211 00384
	cdqp	9 25 00	2.108	376.		9211 20376
	adqp	9 51 00	2.019	381.		10202 00381
	cdqp	9 51 00	2.019	371.		10202 20371
	adzb	9 54 00	2.011	370.		10201 02370
	adqp	11 08 00	1.950	383.		11195 00383
	cdqp	11 08 00	1.950	377.		11195 20377
	adzb	11 16 00	1.958	372.		11196 02372
	adqp	11 37 00	1.992	384.		12199 00384
	cdqp	11 37 00	1.992	373.		12199 20373
	adqp	12 08 00	2.084	382.		12208 00382
	cdqp	12 08 00	2.084	375.		12208 20375
	adqp	12 42 00	2.253	380.		13225 00380
	cdqp	12 42 00	2.253	370.		13225 20370
	adqp	13 14 00	2.503	383.		13250 00383
	cdqp	13 14 00	2.503	376.		13250 20376
	adqp	13 30 00	2.675	379.		14268 00379
	cdqp	13 30 00	2.675	371.		14268 20371
2	*****					
	cdqp	8 03 00	2.708	390.		8271 20390
	adqp	8 03 00	2.708	388.		8271 00388
	cdqp	8 13 00	2.590	393.		8259 20393
	adqp	8 13 00	2.590	393.		8259 00393
	adzb	8 16 00	2.558	380.		8256 02380
	cdqp	8 32 00	2.406	394.		9241 20394
	adqp	8 32 00	2.406	393.		9241 00393
	cdqp	9 25 00	2.083	393.		9208 20393
	adqp	9 25 00	2.083	396.		9208 00396

adzb	9 31 00	2.059	382.		10206	02382
adqp	9 44 00	2.015	394.		10202	00394
cdqp	10 06 00	1.962	393.		10196	20393
adqp	10 06 00	1.962	395.		10196	00395
cdqp	10 31 00	1.928	389.		11193	20389
adqp	10 31 00	1.928	393.		11193	00393
cdqp	11 25 00	1.949	390.		11195	20390
adqp	11 25 00	1.949	388.		11195	00388
adzb	11 43 00	1.984	370.		12198	02370
adzb	11 48 00	1.997	375.		12200	02375
cdqp	11 55 00	2.017	393.		12202	20393
adqp	11 55 00	2.017	390.		12202	00390
cdqp	12 22 00	2.119	384.		12212	20384
adqp	12 22 00	2.119	387.		12212	00387
cdqp	12 48 00	2.265	384.		13226	20384
adqp	12 48 00	2.265	387.		13226	00387
adqp	13 01 00	2.359	383.		13236	00383
cdqp	13 01 00	2.359	375.		13236	20375
adqp	13 17 00	2.500	382.		13250	00382
cdqp	13 17 00	2.500	375.		13250	20375
3 *****						
adzc	8 10 00	2.585	369.	ac	8258	04369
adqp	8 14 00	2.541	369.		8254	00369
adqp	8 17 00	2.510	369.		8251	00369
adzc	8 53 00	2.220	373.	ac	9222	04373
adzc	9 26 00	2.054	377.	ac	9205	04377
adzb	10 24 00	1.914	375.		10191	02375
adzb	10 37 00	1.904	382.		11190	02382
adqp	10 45 00	1.901	391.		11190	00391
cdqp	10 45 00	1.901	395.		11190	20395
adqp	10 53 00	1.901	390.		11190	00390
cdqp	10 53 00	1.901	395.		11190	20395
adqp	11 25 00	1.928	393.		11193	00393
cdqp	11 25 00	1.928	397.		11193	20397
adqp	11 48 00	1.975	388.		12198	00388
cdqp	11 48 00	1.975	385.		12198	20385
adqp	12 13 00	2.057	385.		12206	00385
cdqp	12 13 00	2.057	382.		12206	20382
adqp	12 50 00	2.251	382.		13225	00382
cdqp	12 50 00	2.251	375.		13225	20375
adzb	13 03 00	2.346	374.		13235	02374
adqp	13 27 00	2.571	371.		13257	00371
cdqp	13 27 00	2.571	373.		13257	20373
adqp	13 40 00	2.727	378.		14273	00378
cdqp	13 40 00	2.727	375.		14273	20375
4 *****						
adzc	10 38 00	1.883	382.	ac	11188	05382
adzc	10 41 00	1.882	385.	ac	11188	05385
adzc	10 47 00	1.881	385.	sc	11188	05385
adzc	12 58 00	2.280	379.	ac	13228	06379
adzc	13 20 00	2.466	379.	ac	13247	05379
adqp	13 28 00	2.548	376.		13255	00376
adqp	13 45 00	2.756	378.		14276	00378
5 *****						
adzc	8 28 00	2.341	373.	ac	8234	06373
adzc	8 45 00	2.215	366.	ac	9221	06366
adzc	9 07 00	2.088	368.	ac	9209	06368
adzc	9 29 00	1.995	376.	ac	9200	06376
adzc	9 49 00	1.934	372.	ac	10193	06372
adzc	10 00 00	1.909	370.	ac	10191	06370
6 *****						
adzc	10 52 00	1.842	356.	as	11184	06356
adzc	11 42 00	1.899	355.	as	12190	06355
adzc	12 10 00	1.980	358.	as	12198	06358
adzc	12 48 00	2.162	362.	as	13216	06362
adzc	13 34 00	2.549	364.	as	14255	06364
7 *****						
adzc	8 09 00	2.447	341.	ac	8245	04341
adzc	8 44 00	2.165	340.	cc	9217	03340
adzc	9 01 00	2.068	345.	ac	9207	05345
adzc	10 05 00	1.859	344.	ac	10186	05344
adzc	10 27 00	1.832	345.	ac	10183	05345
cdqp	11 09 00	1.831	352.		11183	20352
adqp	11 09 00	1.831	353.		11183	00353
adzb	11 12 00	1.834	347.		11183	02347
cdqp	11 16 00	1.838	356.		11184	20356
adqp	11 16 00	1.838	354.		11184	00354

	cdqp	11 24 00	1.848	358.		11185	20358
	adqp	11 24 00	1.848	355.		11185	00355
	cdqp	11 33 00	1.862	351.		12186	20351
	adqp	11 33 00	1.862	353.		12186	00353
	cdqp	12 00 00	1.926	343.		12193	20343
	adqp	12 00 00	1.926	354.		12193	00354
	adzb	12 16 00	1.981	344.		12198	02344
	cdqp	12 31 00	2.046	338.		13205	20338
	adqp	12 31 00	2.046	352.		13205	00352
	cdqp	12 49 00	2.144	346.		13214	20346
	adqp	12 49 00	2.144	357.		13214	00357
	adzb	13 44 00	2.634	346.		14263	02346
	adqp	13 52 00	2.740	354.		14274	00354
	cdqp	13 52 00	2.740	353.		14274	20353
8	*****						
	adzc	8 06 00	2.443	342.	as	8244	05342
	adzc	8 22 00	2.296	355.	as	8230	05355
	adzc	8 53 00	2.085	361.	as	9209	06361
	adzc	9 12 00	1.993	362.	as	9199	06362
	adzc	10 38 00	1.806	357.	sc	11181	06357
	adzc	11 15 00	1.818	354.	sc	11182	06354
	adzc	11 53 00	1.887	351.	sc	12189	06351
	adzb	12 42 00	2.080	347.		13208	02347
	adqp	12 51 00	2.132	356.		13213	00356
	adqp	12 54 00	2.151	355.		13215	00355
	adqp	12 59 00	2.184	353.		13218	00353
	cdqp	13 02 00	2.205	369.		13220	20369
	adqp	13 02 00	2.205	352.		13220	00352
	adzb	13 13 00	2.288	344.		13229	02344
	adqp	13 17 00	2.322	352.		13232	00352
	adqp	13 31 00	2.453	352.		14245	00352
	adzc	13 36 00	2.507	354.	sc	14251	05354
9	*****						
	adzc	7 42 00	2.688	333.	ac	8269	05333
	adzc	7 56 00	2.514	328.	cc	8251	04328
	adzc	8 15 00	2.324	334.	ac	8232	04334
	adzc	8 44 00	2.111	331.	ac	9211	04331
	adzc	9 45 00	1.861	331.	sc	10186	05331
	adzc	10 06 00	1.819	333.	ac	10182	05333
	adzc	11 15 00	1.800	340.	sc	11180	05340
	adzc	11 46 00	1.851	344.		12185	04344
	adzc	12 13 00	1.930	342.	sc	12193	06342
	adzc	12 40 00	2.047	347.	ac	13205	06347
	adzc	13 01 00	2.173	348.	as	13217	06348
	adzc	13 37 00	2.486	353.	as	14249	06353
10	*****						
	cdqp	7 47 00	2.582	377.		8258	20377
	adqp	7 47 00	2.582	377.		8258	00377
	adzb	7 50 00	2.545	370.		8255	02370
	cdqp	7 57 00	2.466	380.		8247	20380
	adqp	7 57 00	2.466	379.		8247	00379
	cdqp	8 35 00	2.142	379.		9214	20379
	adqp	8 35 00	2.142	379.		9214	00379
	adzb	8 42 00	2.098	367.		9210	02367
	adqp	8 52 00	2.041	379.		9204	00379
	adqp	9 05 00	1.977	380.		9198	00380
	cdqp	10 01 00	1.808	385.		10181	20385
	adqp	10 01 00	1.808	382.		10181	00382
	adzb	10 20 00	1.782	376.		10178	02376
	cdqp	10 27 00	1.776	391.		10178	20391
	adqp	10 27 00	1.776	387.		10178	00387
	cdqp	11 10 00	1.778	398.		11178	20398
	adqp	11 10 00	1.778	395.		11178	00395
	adqp	11 47 00	1.835	398.		12183	00398
	cdqp	11 47 00	1.835	400.		12183	20400
	adqp	12 10 00	1.900	398.		12190	00398
	cdqp	12 10 00	1.900	390.		12190	20390
	adzb	12 13 00	1.910	387.		12191	02387
	adqp	12 29 00	1.973	397.		12197	00397
	adqp	13 01 00	2.149	396.		13215	00396
	cdqp	13 01 00	2.149	386.		13215	20386
	adqp	13 19 00	2.285	396.		13228	00396
	cdqp	13 19 00	2.285	390.		13228	20390
	adqp	13 41 00	2.500	389.		14250	00389
	cdqp	13 41 00	2.500	378.		14250	20378
	adzb	13 51 00	2.620	378.		14262	02378
11	*****						

cdqp	7 34 00	2.714	398.		8271	20398
adqp	7 34 00	2.714	389.		8271	00389
adzb	7 36 00	2.685	373.		8269	02373
cdqp	8 22 00	2.206	394.		8221	20394
adqp	8 22 00	2.206	388.		8221	00388
adzb	8 25 00	2.184	369.		8218	02369
cdqp	8 41 00	2.078	387.		9208	20387
adqp	8 41 00	2.078	385.		9208	00385
adzb	8 46 00	2.049	373.		9205	02373
cdqp	9 01 00	1.973	388.		9197	20388
adqp	9 01 00	1.973	385.		9197	00385
cdqp	9 26 00	1.875	387.		9188	20387
adqp	9 26 00	1.875	384.		9188	00384
cdqp	9 38 00	1.840	384.		10184	20384
adqp	9 38 00	1.840	385.		10184	00385
cdqp	10 14 00	1.771	391.		10177	20391
adqp	10 14 00	1.771	388.		10177	00388
adzb	10 17 00	1.768	378.		10177	02378
cdqp	10 44 00	1.752	393.		11175	20393
adqp	10 44 00	1.752	392.		11175	00392
cdqp	11 16 00	1.766	399.		11177	20399
adqp	11 16 00	1.766	396.		11177	00396
cdqp	11 54 00	1.834	389.		12183	20389
adqp	11 54 00	1.834	393.		12183	00393
adqp	12 30 00	1.958	390.		13196	00390
cdqp	12 30 00	1.958	383.		13196	20383
adqp	13 00 00	2.119	391.		13212	00391
cdqp	13 00 00	2.119	383.		13212	20383
adzb	13 29 00	2.347	368.		13235	02368
adqp	13 37 00	2.426	384.		14243	00384
adqp	13 42 00	2.480	385.		14248	00385
cdqp	13 42 00	2.480	373.		14248	20373
adqp	13 52 00	2.600	385.		14260	00385
cdqp	13 52 00	2.600	380.		14260	20380
adqp	14 20 00	3.039	379.		14304	00379
cdqp	14 20 00	3.039	376.		14304	20376
adqp	14 41 00	3.519	369.		15352	00369
cdqp	14 41 00	3.519	382.		15352	20382
12	*****					
adzc	7 25 00	2.805	376.	cc	7280	03376
adqp	7 28 00	2.758	389.		7276	00389
adqp	7 43 00	2.553	387.		8255	00387
adqp	8 00 00	2.366	386.		8237	00386
adzb	8 36 00	2.083	369.		9208	02369
adqp	8 43 00	2.041	382.		9204	00382
adzb	8 51 00	1.998	368.		9200	02368
cdqp	9 02 00	1.946	369.		9195	20369
adqp	9 02 00	1.946	380.		9195	00380
cdqp	9 09 00	1.916	374.		9192	20374
adqp	9 09 00	1.916	381.		9192	00381
cdqp	9 31 00	1.840	371.		10184	20371
adqp	9 31 00	1.840	377.		10184	00377
13	*****					
adqp	12 29 00	1.914	365.		12191	00365
cdqp	12 29 00	1.914	368.		12191	20368
adqp	12 41 00	1.969	362.		13197	00362
cdqp	12 41 00	1.969	353.		13197	20353
adqp	12 51 00	2.021	362.		13202	00362
cdqp	12 51 00	2.021	353.		13202	20353
adzb	13 02 00	2.087	354.		13209	02354
adqp	13 10 00	2.141	363.		13214	00363
cdqp	13 10 00	2.141	360.		13214	20360
adqp	13 31 00	2.311	360.		14231	00360
cdqp	13 31 00	2.311	344.		14231	20344
adzb	13 39 00	2.389	350.		14239	02350
14	*****					
adzb	7 30 00	2.643	353.		8264	02353
adqp	7 45 00	2.455	367.		8246	00367
cdqp	7 45 00	2.455	351.		8246	20351
adqp	7 54 00	2.359	370.		8236	00370
cdqp	7 54 00	2.359	354.		8236	20354
adqp	8 18 00	2.152	377.		8215	00377
cdqp	8 18 00	2.152	375.		8215	20375
adqp	8 29 00	2.076	376.		8208	00376
cdqp	8 29 00	2.076	367.		8208	20367
adqp	8 47 00	1.973	377.		9197	00377
adqp	9 35 00	1.791	384.		10179	00384

cdqp	9 35 00	1.791	387.		10179	20387
adzb	9 53 00	1.751	378.		10175	02378
adqp	10 09 00	1.726	384.		10173	00384
adqp	10 52 00	1.702	388.		11170	00388
cdqp	10 52 00	1.702	387.		11170	20387
adqp	11 09 00	1.711	389.		11171	00389
cdqp	11 09 00	1.711	386.		11171	20386
adqp	11 47 00	1.766	385.		12177	00385
cdqp	11 47 00	1.766	385.		12177	20385
adqp	12 12 00	1.833	385.		12183	00385
cdqp	12 12 00	1.833	384.		12183	20384
adqp	12 37 00	1.930	390.		13193	00390
cdqp	12 37 00	1.930	392.		13193	20392
adqp	13 10 00	2.118	380.		13212	00380
cdqp	13 10 00	2.118	376.		13212	20376
adqp	13 37 00	2.342	370.		14234	00370
cdqp	13 37 00	2.342	370.		14234	20370
adqp	13 52 00	2.504	376.		14250	00376
cdqp	13 52 00	2.504	371.		14250	20371
adzb	14 05 00	2.674	365.		14267	02365
15	*****					
cdqp	7 33 00	2.563	405.		8256	20405
adqp	7 33 00	2.563	409.		8256	00409
adzb	7 36 00	2.525	407.		8252	02407
cdqp	7 40 00	2.477	409.		8248	20409
adqp	7 40 00	2.477	413.		8248	00413
cdqp	7 53 00	2.337	415.		8234	20415
adqp	7 53 00	2.337	418.		8234	00418
adzsc	9 20 00	1.816	436.	sc	9182	06436
adzsc	10 04 00	1.716	432.	sc	10172	05432
adzsc	10 43 00	1.686	424.	ac	11169	04424
cdqp	11 15 00	1.700	425.		11170	20425
adqp	11 15 00	1.700	424.		11170	00424
cdqp	11 23 00	1.709	429.		11171	20429
adqp	11 23 00	1.709	425.		11171	00425
adzsc	12 20 00	1.843	422.	sc	12184	06422
adzsc	13 16 00	2.139	413.	sc	13214	06413
adzsc	13 51 00	2.462	422.	ac	14246	06422
adqp	14 09 00	2.697	409.		14270	00409
cdqp	14 09 00	2.697	414.		14270	20414
16	*****					
adzsc	7 16 00	2.764	396.	as	7276	05396
adzsc	7 26 00	2.616	393.	as	7262	05393
adzsc	8 05 00	2.198	382.	as	8220	05382
adzsc	8 21 00	2.079	382.	as	8208	05382
adzsc	9 36 00	1.753	373.	as	10175	05373
adqp	9 53 00	1.717	381.		10172	00381
adqp	10 07 00	1.695	379.		10170	00379
adqp	10 21 00	1.681	377.		10168	00377
adqp	10 47 00	1.671	377.		11167	00377
cdqp	11 19 00	1.689	371.		11169	20371
adqp	11 19 00	1.689	372.		11169	00372
cdqp	11 38 00	1.716	376.		12172	20376
adqp	11 38 00	1.716	372.		12172	00372
cdqp	12 05 00	1.778	358.		12178	20358
adqp	12 05 00	1.778	364.		12178	00364
adqp	12 56 00	1.988	365.		13199	00365
cdqp	12 56 00	1.988	359.		13199	20359
adqp	13 15 00	2.109	361.		13211	00361
cdqp	13 15 00	2.109	364.		13211	20364
adqp	13 53 00	2.456	355.		14246	00355
cdqp	13 53 00	2.456	355.		14246	20355
adzb	13 56 00	2.492	353.		14249	02353
adqp	14 12 00	2.707	348.		14271	00348
cdqp	14 12 00	2.707	343.		14271	20343
17	*****					
cdqp	6 26 00	3.885	330.		6388	20330
adqp	6 26 00	3.885	316.		6388	00316
cdqp	6 32 00	3.687	331.		7369	20331
adqp	6 32 00	3.687	323.		7369	00323
cdqp	7 03 00	2.939	329.		7294	20329
adqp	7 03 00	2.939	339.		7294	00339
cdqp	7 17 00	2.704	327.		7270	20327
adqp	7 17 00	2.704	339.		7270	00339
adzb	7 20 00	2.659	341.		7266	02341
cdqp	7 31 00	2.512	335.		8251	20335
adqp	7 31 00	2.512	345.		8251	00345

cdqp	7 37 00	2.440	338.		8244	20338
adqp	7 37 00	2.440	346.		8244	00346
cdqp	7 56 00	2.246	345.		8225	20345
adqp	7 56 00	2.246	346.		8225	00346
adzsb	8 01 00	2.203	340.		8220	02340
cdqp	8 13 00	2.109	343.		8211	20343
adqp	8 13 00	2.109	348.		8211	00348
cdqp	8 50 00	1.893	342.		9189	20342
adqp	8 50 00	1.893	346.		9189	00346
adzsb	8 57 00	1.862	344.		9186	02344
cdqp	9 30 00	1.751	346.		10175	20346
adqp	9 30 00	1.751	347.		10175	00347
cdqp	9 49 00	1.708	348.		10171	20348
adqp	9 49 00	1.708	346.		10171	00346
cdqp	10 20 00	1.666	353.		10167	20353
adqp	10 20 00	1.666	350.		10167	00350
adqp	10 48 00	1.656	353.		11166	00353
adzsc	12 03 00	1.756	352.	cu	12176	05352
adqp	12 07 00	1.767	351.		12177	00351
adqp	12 43 00	1.902	354.		13190	00354
cdqp	12 43 00	1.902	342.		13190	20342
adqp	13 00 00	1.991	355.		13199	00355
cdqp	13 00 00	1.991	352.		13199	20352
adqp	13 30 00	2.202	354.		14220	00354
cdqp	13 30 00	2.202	355.		14220	20355
adqp	13 45 00	2.342	349.		14234	00349
cdqp	13 45 00	2.342	357.		14234	20357
adqp	14 01 00	2.523	348.		14252	00348
cdqp	14 01 00	2.523	346.		14252	20346
18	*****					
cdqp	7 04 00	2.871	321.		7287	20321
adqp	7 04 00	2.871	327.		7287	00327
adzsb	7 09 00	2.785	322.		7279	02322
cdqp	7 16 00	2.676	324.		7268	20324
adqp	7 16 00	2.676	328.		7268	00328
cdqp	7 57 00	2.208	321.		8221	20321
adqp	7 57 00	2.208	328.		8221	00328
adzsb	8 12 00	2.090	323.		8209	02323
cdqp	8 27 00	1.992	320.		8199	20320
adqp	8 27 00	1.992	329.		8199	00329
cdqp	9 07 00	1.804	331.		9180	20331
adqp	9 07 00	1.804	331.		9180	00331
cdqp	9 45 00	1.699	330.		10170	20330
adqp	9 45 00	1.699	330.		10170	00330
adzsb	9 50 00	1.690	326.		10169	02326
cdqp	10 07 00	1.664	331.		10166	20331
adqp	10 07 00	1.664	331.		10166	00331
cdqp	10 49 00	1.641	334.		11164	20334
adqp	10 49 00	1.641	331.		11164	00331
adqp	11 34 00	1.679	327.		12168	00327
cdqp	11 34 00	1.679	326.		12168	20326
adzsb	11 38 00	1.685	320.		12169	02320
adqp	12 07 00	1.751	325.		12175	00325
adzsb	12 52 00	1.928	320.		13193	02320
adqp	12 55 00	1.944	327.		13194	00327
cdqp	12 55 00	1.944	325.		13194	20325
adqp	13 13 00	2.052	329.		13205	00329
cdqp	13 13 00	2.052	327.		13205	20327
adqp	13 30 00	2.179	329.		14218	00329
cdqp	13 30 00	2.179	327.		14218	20327
adqp	13 50 00	2.367	329.		14237	00329
cdqp	13 50 00	2.367	326.		14237	20326
adqp	14 15 00	2.683	327.		14268	00327
cdqp	14 15 00	2.683	328.		14268	20328
19	*****					
cdqp	7 01 00	2.875	316.		7288	20316
adqp	7 01 00	2.875	319.		7288	00319
adzsb	7 04 00	2.823	315.		7282	02315
cdqp	7 16 00	2.634	312.		7263	20312
adqp	7 16 00	2.634	319.		7263	00319
adzsb	7 24 00	2.525	315.		7253	02315
cdqp	7 27 00	2.487	313.		7249	20313
adqp	7 27 00	2.487	321.		7249	00321
cdqp	7 48 00	2.260	310.		8226	20310
adqp	7 48 00	2.260	319.		8226	00319
cdqp	8 09 00	2.086	309.		8209	20309
adqp	8 09 00	2.086	318.		8209	00318

	cdqp	8 53 00	1.840	308.	9184	20308
	adqp	8 53 00	1.840	317.	9184	00317
	adzb	9 02 00	1.804	311.	9180	02311
	cdqp	9 11 00	1.772	307.	9177	20307
	adqp	9 11 00	1.772	316.	9177	00316
	adqp	10 00 00	1.658	321.	10166	00321
20	*****					
	cdqp	10 46 00	1.612	332.	11161	20332
	adqp	10 46 00	1.612	333.	11161	00333
	cdqp	11 18 00	1.629	329.	11163	20329
	adqp	11 18 00	1.629	333.	11163	00333
	cdqp	11 50 00	1.679	329.	12168	20329
	adqp	11 50 00	1.679	330.	12168	00330
	cdqp	12 31 00	1.799	330.	13180	20330
	adqp	12 31 00	1.799	331.	13180	00331
	cdqp	13 05 00	1.963	332.	13196	20332
	adqp	13 05 00	1.963	332.	13196	00332
	cdqp	13 38 00	2.201	330.	14220	20330
	adqp	13 38 00	2.201	331.	14220	00331
	cdqp	14 15 00	2.617	326.	14262	20326
	adqp	14 15 00	2.617	329.	14262	00329
21	*****					
	cdqp	7 08 00	2.669	333.	7267	20333
	adqp	7 08 00	2.669	334.	7267	00334
	adzb	7 11 00	2.625	326.	7263	02326
	cdqp	7 20 00	2.502	335.	7250	20335
	adqp	7 20 00	2.502	337.	7250	00337
	cdqp	7 38 00	2.297	339.	8230	20339
	adqp	7 38 00	2.297	339.	8230	00339
	adzb	7 41 00	2.267	329.	8227	02329
	cdqp	8 02 00	2.087	342.	8209	20342
	adqp	8 02 00	2.087	342.	8209	00342
	cdqp	8 56 00	1.790	343.	9179	20343
	adqp	8 56 00	1.790	344.	9179	00344
	adzb	9 07 00	1.750	335.	9175	02335
	cdqp	9 49 00	1.645	333.	10164	20333
	adqp	9 49 00	1.645	341.	10164	00341
	cdqp	10 04 00	1.623	333.	10162	20333
	adqp	10 04 00	1.623	341.	10162	00341
	adzb	10 07 00	1.619	334.	10162	02334
	cdqp	10 41 00	1.599	347.	11160	20347
	adqp	10 41 00	1.599	346.	11160	00346
	cdqp	11 22 00	1.620	344.	11162	20344
	adqp	11 22 00	1.620	343.	11162	00343
	adzb	11 45 00	1.655	333.	12165	02333
	adqp	12 22 00	1.751	339.	12175	00339
	cdqp	12 51 00	1.870	335.	13187	20335
	adqp	12 51 00	1.870	338.	13187	00338
	adqp	13 14 00	1.999	337.	13200	00337
	cdqp	13 14 00	1.999	337.	13200	20337
	adqp	13 37 00	2.170	338.	14217	00338
	adqp	13 58 00	2.374	336.	14237	00336
	cdqp	13 58 00	2.374	335.	14237	20335
	adqp	14 16 00	2.600	335.	14260	00335
	cdqp	14 16 00	2.600	333.	14260	20333
22	*****					
	cdqp	7 09 00	2.614	332.	7261	20332
	adqp	7 09 00	2.614	334.	7261	00334
	adzb	7 12 00	2.571	329.	7257	02329
	cdqp	7 21 00	2.454	330.	7245	20330
	adqp	7 21 00	2.454	334.	7245	00334
	cdqp	7 36 00	2.286	330.	8229	20330
	adqp	7 36 00	2.286	335.	8229	00335
	cdqp	8 11 00	2.000	333.	8200	20333
	adqp	8 11 00	2.000	337.	8200	00337
	adzb	8 18 00	1.956	328.	8196	02328
	cdqp	8 51 00	1.791	334.	9179	20334
	adqp	8 51 00	1.791	336.	9179	00336
	cdqp	9 13 00	1.714	340.	9171	20340
	adqp	9 13 00	1.714	337.	9171	00337
	adzb	9 23 00	1.686	331.	9169	02331
	cdqp	9 29 00	1.671	337.	9167	20337
	adqp	9 29 00	1.671	337.	9167	00337
	cdqp	10 31 00	1.587	324.	11159	20324
	adqp	10 31 00	1.587	335.	11159	00335
	adzb	10 42 00	1.585	330.	11159	02330
	cdqp	10 47 00	1.585	330.	11159	20330

adqp	10 47 00	1.585	337.	11159	00337
adqp	11 44 00	1.639	337.	12164	00337
cdqp	11 44 00	1.639	324.	12164	20324
adqp	12 08 00	1.694	343.	12169	00343
cdqp	12 08 00	1.694	332.	12169	20332
adqp	12 24 00	1.743	338.	12174	00338
cdqp	12 24 00	1.743	335.	12174	20335
adqp	12 48 00	1.839	338.	13184	00338
cdqp	12 48 00	1.839	329.	13184	20329
adqp	13 07 00	1.937	339.	13194	00339
cdqp	13 07 00	1.937	334.	13194	20334
adzb	13 23 00	2.040	333.	13204	02333
adqp	13 42 00	2.191	340.	14219	00340
adqp	14 00 00	2.370	338.	14237	00338
cdqp	14 00 00	2.370	336.	14237	20336
adzb	14 13 00	2.528	324.	14253	02324
23	*****				
cdqp	6 41 00	3.059	332.	7306	20332
adqp	6 41 00	3.059	332.	7306	00332
adzb	6 49 00	2.899	333.	7290	02333
cdqp	6 56 00	2.774	336.	7277	20336
adqp	6 56 00	2.774	336.	7277	00336
cdqp	7 05 00	2.632	340.	7263	20340
adqp	7 05 00	2.632	338.	7263	00338
cdqp	7 24 00	2.384	342.	7238	20342
adqp	7 24 00	2.384	339.	7238	00339
adzb	7 44 00	2.182	328.	8218	02328
cdqp	7 56 00	2.082	339.	8208	20339
adqp	7 56 00	2.082	339.	8208	00339
cdqp	8 59 00	1.743	340.	9174	20340
adqp	8 59 00	1.743	339.	9174	00339
adzb	9 10 00	1.707	331.	9171	02331
adqp	9 41 00	1.630	340.	10163	00340
cdqp	10 26 00	1.576	336.	10158	20336
adqp	10 26 00	1.576	340.	10158	00340
cdqp	10 42 00	1.572	341.	11157	20341
adqp	10 42 00	1.572	340.	11157	00340
adzb	10 49 00	1.572	334.	11157	02334
cdqp	11 15 00	1.586	341.	11159	20341
adqp	11 15 00	1.586	339.	11159	00339
adqp	11 46 00	1.629	338.	12163	00338
cdqp	11 46 00	1.629	343.	12163	20343
adqp	12 01 00	1.662	340.	12166	00340
cdqp	12 01 00	1.662	339.	12166	20339
adqp	12 21 00	1.718	340.	12172	00340
cdqp	12 21 00	1.718	339.	12172	20339
adzb	12 24 00	1.728	334.	12173	02334
adqp	12 51 00	1.836	338.	13184	00338
cdqp	12 51 00	1.836	333.	13184	20333
adqp	13 13 00	1.955	340.	13196	00340
cdqp	13 13 00	1.955	344.	13196	20344
adqp	13 31 00	2.079	339.	14208	00339
cdqp	13 31 00	2.079	337.	14208	20337
adzb	13 45 00	2.195	329.	14219	02329
adqp	14 04 00	2.389	336.	14239	00336
cdqp	14 04 00	2.389	331.	14239	20331
adzb	14 16 00	2.539	327.	14254	02327
24	*****				
cdqp	6 43 00	2.964	329.	7296	20329
adqp	6 43 00	2.964	336.	7296	00336
cdqp	6 52 00	2.797	332.	7280	20332
adqp	6 52 00	2.797	336.	7280	00336
adzb	6 57 00	2.714	332.	7271	02332
cdqp	7 05 00	2.592	327.	7259	20327
adqp	7 05 00	2.592	337.	7259	00337
adzc	7 45 00	2.146	329.	8215	03329
cdqp	8 37 00	1.815	343.	9181	20343
adqp	8 37 00	1.815	343.	9181	00343
adzb	8 40 00	1.801	335.	9180	02335
cdqp	8 50 00	1.760	344.	9176	20344
adqp	8 50 00	1.760	343.	9176	00343
cdqp	10 34 00	1.560	338.	11156	20338
adqp	10 34 00	1.560	344.	11156	00344
cdqp	10 48 00	1.559	337.	11156	20337
adqp	10 48 00	1.559	344.	11156	00344
adzb	10 52 00	1.560	338.	11156	02338
cdqp	11 19 00	1.577	341.	11158	20341

	adqp	11 19 00	1.577	343.		11158	00343
	adqp	12 01 00	1.648	343.		12165	00343
	cdqp	12 01 00	1.648	335.		12165	20335
	adqp	12 18 00	1.694	345.		12169	00345
	cdqp	12 18 00	1.694	337.		12169	20337
	adqp	12 51 00	1.820	338.		13182	00338
	cdqp	12 51 00	1.820	333.		13182	20333
	adqp	13 11 00	1.925	338.		13193	00338
	cdqp	13 11 00	1.925	332.		13193	20332
	adqp	13 23 00	2.001	337.		13200	00337
	cdqp	13 23 00	2.001	333.		13200	20333
	adqp	14 00 00	2.319	333.		14232	00333
25	*****						
	cdqp	6 27 00	3.263	319.		6326	20319
	adqp	6 27 00	3.263	321.		6326	00321
	cdqp	6 38 00	3.014	316.		7301	20316
	adqp	6 38 00	3.014	320.		7301	00320
	cdqp	6 50 00	2.786	321.		7279	20321
	adqp	6 50 00	2.786	322.		7279	00322
	cdqp	7 25 00	2.309	320.		7231	20320
	adqp	7 25 00	2.309	321.		7231	00321
	adzb	7 28 00	2.277	311.		7228	02311
	cdqp	7 56 00	2.034	324.		8203	20324
	adqp	7 56 00	2.034	322.		8203	00322
	adzb	8 01 00	1.998	314.		8200	02314
	cdqp	9 09 00	1.678	304.		9168	20304
	adqp	9 09 00	1.678	316.		9168	00316
	adzb	9 17 00	1.655	311.		9166	02311
	cdqp	9 44 00	1.596	307.		10160	20307
	adqp	9 44 00	1.596	317.		10160	00317
	cdqp	10 40 00	1.547	314.		11155	20314
	adqp	10 40 00	1.547	319.		11155	00319
	adzb	10 43 00	1.546	314.		11155	02314
	cdqp	11 17 00	1.563	312.		11156	20312
	adqp	11 17 00	1.563	317.		11156	00317
	cdqp	12 10 00	1.657	315.		12166	20315
	adqp	12 10 00	1.657	320.		12166	00320
	cdqp	12 28 00	1.713	313.		12171	20313
	adqp	12 28 00	1.713	319.		12171	00319
	adzb	12 32 00	1.727	312.		13173	02312
	cdqp	13 03 00	1.864	308.		13186	20308
	adqp	13 03 00	1.864	314.		13186	00314
	cdqp	13 29 00	2.024	306.		13202	20306
	adqp	13 29 00	2.024	312.		13202	00312
	cdqp	14 00 00	2.295	307.		14229	20307
	adqp	14 00 00	2.295	311.		14229	00311
26	*****						
	adzc	11 28 00	1.563	353.	as	11156	06353
	adzc	11 35 00	1.572	356.	as	12157	06356
	adzc	12 59 00	1.827	352.	as	13183	06352
	adzc	13 06 00	1.863	351.	as	13186	06351
	adzc	13 22 00	1.958	353.	as	13196	06353
27	*****						
	adqp	11 39 00	1.566	334.		12157	00334
	adqp	11 47 00	1.580	330.		12158	00330
	adqp	12 02 00	1.611	328.		12161	00328
28	*****						
	cdqp	6 52 00	2.627	306.		7263	20306
	adqp	6 52 00	2.627	313.		7263	00313
	adzb	6 57 00	2.553	309.		7255	02309
	cdqp	7 09 00	2.395	314.		7240	20314
	adqp	7 09 00	2.395	316.		7240	00316
	cdqp	7 54 00	1.979	331.		8198	20331
	adqp	7 54 00	1.979	323.		8198	00323
	cdqp	8 11 00	1.872	335.		8187	20335
	adqp	8 11 00	1.872	324.		8187	00324
	cdqp	8 59 00	1.663	331.		9166	20331
	adqp	8 59 00	1.663	325.		9166	00325
	adzb	9 02 00	1.654	316.		9165	02316
	cdqp	9 25 00	1.593	328.		9159	20328
	adqp	9 25 00	1.593	325.		9159	00325
	cdqp	9 43 00	1.558	333.		10156	20333
	adqp	9 43 00	1.558	325.		10156	00325
	cdqp	10 53 00	1.512	313.		11151	20313
	adqp	10 53 00	1.512	320.		11151	00320
	cdqp	11 23 00	1.533	314.		11153	20314
	adqp	11 23 00	1.533	321.		11153	00321

	adzb	11 26 00	1.536	312.		11154	02312
	adqp	13 13 00	1.870	332.		13187	00332
	cdqp	13 13 00	1.870	333.		13187	20333
	adzb	13 25 00	1.942	320.		13194	02320
	adqp	13 42 00	2.065	327.		14207	00327
	cdqp	13 42 00	2.065	332.		14207	20332
	adqp	14 06 00	2.287	328.		14229	00328
	cdqp	14 06 00	2.287	323.		14229	20323
	adqp	14 24 00	2.504	327.		14250	00327
	cdqp	14 24 00	2.504	322.		14250	20322
	adqp	14 37 00	2.697	330.		15270	00330
	cdqp	14 37 00	2.697	330.		15270	20330
29	*****						
	adzc	7 18 00	2.263	334.	sc	7226	06334
	adzc	7 32 00	2.128	326.	ac	8213	05326
	adqp	7 35 00	2.102	329.		8210	00329
	adqp	7 54 00	1.957	331.		8196	00331
	adzc	9 10 00	1.616	337.	ac	9162	05337
	adzc	10 41 00	1.499	344.	sc	11150	05344
	adzc	11 40 00	1.544	353.	sc	12154	05353
	adzc	12 28 00	1.659	358.	sc	12166	06358
	adzc	12 48 00	1.733	355.	sc	13173	05355
30	*****						
	cdqp	6 41 00	2.721	330.		7272	20330
	adqp	6 41 00	2.721	337.		7272	00337
	cdqp	6 50 00	2.579	329.		7258	20329
	adqp	6 50 00	2.579	338.		7258	00338
	adzb	6 58 00	2.467	333.		7247	02333
	adqp	7 05 00	2.379	340.		7238	00340
	cdqp	8 01 00	1.892	344.		8189	20344
	adqp	8 01 00	1.892	342.		8189	00342
	adzb	8 13 00	1.823	336.		8182	02336
	cdqp	8 45 00	1.681	352.		9168	20352
	adqp	8 45 00	1.681	345.		9168	00345
	adqp	9 00 00	1.631	348.		9163	00348
	cdqp	9 00 00	1.631	355.		9163	20355
	adqp	10 33 00	1.489	344.		11149	00344
	cdqp	10 33 00	1.489	334.		11149	20334
	adzb	10 38 00	1.488	345.		11149	02345
	adqp	10 43 00	1.488	345.		11149	00345
	cdqp	10 43 00	1.488	342.		11149	20342
	adzc	11 17 00	1.504	338.	cu	11150	05338
	adzc	11 59 00	1.568	336.	cu	12157	05336
	adzc	12 15 00	1.607	339.	cu	12161	05339
	adqp	12 38 00	1.680	344.		13168	00344
	adzc	12 56 00	1.753	345.	sc	13175	06345
	adzc	13 24 00	1.903	340.	sc	13190	06340
31	*****						
	adzc	10 42 00	1.477	365.	sc	11148	06365
	adzc	10 49 00	1.478	366.	sc	11148	06366
	adzc	11 07 00	1.485	360.	sc	11149	06360
	adzc	11 34 00	1.513	352.	sc	12151	06352
	adzc	11 56 00	1.550	355.	sc	12155	06355
	adzc	12 15 00	1.595	346.	sc	12160	06346

End of total ozone observations computation for March 2022

Total Ozone Observations on Inst. No. 84
at Belsk, Poland

April 2022

Date	Type	GMT	MU	XOZ	CLS	GGMM	LSXXX
1	*****						
	cdqp	10 41 00	1.466	365.		11147	20365
	adqp	10 41 00	1.466	379.		11147	00379
	adzb	11 45 00	1.519	394.		12152	02394
	adzc	12 20 00	1.597	392.	sc	12160	06392
	adzc	13 28 00	1.896	403.	sc	13190	06403
	adzb	13 45 00	2.014	402.		14201	02402
	cdqp	14 14 00	2.282	386.		14228	20386
	adqp	14 14 00	2.282	392.		14228	00392
	adzc	14 45 00	2.702	387.	cs	15270	06387
2	*****						
	Obs. missing, or dates out of order or wrong						
3	*****						
	Obs. missing, or dates out of order or wrong						
4	*****						
	cdqp	8 14 00	1.733	379.		8173	20379

	adqp	8 14 00	1.733	385.		8173	00385	
	cdqp	8 20 00	1.706	379.		8171	20379	
	adqp	8 20 00	1.706	389.		8171	00389	
	adzb	8 23 00	1.693	392.		8169	02392	
	adqp	8 54 00	1.581	388.		9158	00388	
	adqp	9 01 00	1.562	389.		9156	00389	
	cdqp	10 35 00	1.436	380.		11144	20380	
	adqp	10 35 00	1.436	384.		11144	00384	
	adzc	11 37 00	1.475	380.	cu	12148	05380	
	adzc	12 06 00	1.529	377.	ac	12153	05377	
	adzc	12 34 00	1.605	375.	ac	13161	05375	
	cdqp	13 01 00	1.709	379.		13171	20379	
	adqp	13 01 00	1.709	381.		13171	00381	
	adzb	13 21 00	1.809	379.		13181	02379	
5	*****							
	adzc	6 43 00	2.465	381.	sc	7247	05381	
	adqp	7 05 00	2.204	382.		7220	00382	
	adqp	7 10 00	2.154	391.		7215	00391	
	adzc	10 59 00	1.431	379.	cu	11143	05379	
	adqp	11 08 00	1.436	387.		11144	00387	
	cdqp	11 08 00	1.436	373.		11144	20373	
	adqp	12 18 00	1.548	385.		12155	00385	
	cdqp	12 18 00	1.548	389.		12155	20389	
	adzc	12 42 00	1.621	389.	cu	13162	05389	
	adzb	13 06 00	1.719	379.		13172	02379	
	adqp	13 10 00	1.738	380.		13174	00380	
6	*****							
	adzc	11 05 00	1.424	365.	ac	11142	06365	
	adzc	11 09 00	1.427	364.	ac	11143	06364	
	adzc	11 22 00	1.438	372.	sc	11144	06372	
7	*****							
	adqp	7 16 00	2.052	321.		7205	00321	
	cdqp	7 16 00	2.052	326.		7205	20326	
	adzc	7 33 00	1.919	318.	cu	8192	05318	
	adzc	7 47 00	1.828	315.	cu	8183	05315	
	adzc	8 00 00	1.755	313.	cu	8176	05313	
	adqp	11 44 00	1.457	322.		12146	00322	
	cdqp	11 44 00	1.457	312.		12146	20312	
	adzb	11 55 00	1.476	322.		12148	02322	
	adzc	12 07 00	1.501	318.		12150	05318	
	adzc	12 33 00	1.569	317.	cu	13157	05317	
	adzc	12 55 00	1.647	318.	cu	13165	05318	
8	*****							
	adzc	7 28 00	1.936	379.	sc	7194	06379	
	adqp	7 36 00	1.880	371.		8188	00371	
	adzc	9 21 00	1.470	369.	sc	9147	06369	
	adqp	9 52 00	1.424	361.		10142	00361	
	adqp	9 54 00	1.422	360.		10142	00360	
	adqp	9 57 00	1.419	357.		10142	00357	
	adqp	10 36 00	1.399	357.		11140	00357	
	cdqp	10 42 00	1.399	361.		11140	20361	
	adqp	10 42 00	1.399	358.		11140	00358	
	cdqp	10 47 00	1.399	358.		11140	20358	
	adqp	10 47 00	1.399	357.		11140	00357	
	adqp	10 59 00	1.403	354.		11140	00354	
	adzc	12 41 00	1.585	349.	cu	13158	05349	
	adqp	13 04 00	1.673	359.		13167	00359	
	cdqp	13 04 00	1.673	354.		13167	20354	
	adzb	13 08 00	1.691	350.		13169	02350	
	adzc	13 39 00	1.860	345.	as	14186	05345	
	adzc	13 57 00	1.989	343.	as	14199	06343	
	adqp	14 35 00	2.369	350.		15237	00350	
	cdqp	14 35 00	2.369	349.		15237	20349	
	adzb	14 38 00	2.408	342.		15241	02342	
	adqp	14 52 00	2.609	344.		15261	00344	
	cdqp	14 52 00	2.609	341.		15261	20341	
9	*****							
	adzc	9 34 00	1.438	342.	as	10144	05342	
	adzc	9 45 00	1.423	339.	as	10142	05339	
	adqp	10 39 00	1.390	349.		11139	00349	
10	*****							
	adzc	11 30 00	1.411	385.	sc	12141	06385	
	adzc	11 50 00	1.440	381.	sc	12144	06381	
	adqp	12 00 00	1.458	384.		12146	00384	
	adqp	12 07 00	1.472	385.		12147	00385	
	cdqp	12 07 00	1.472	371.		12147	20371	
	adzc	14 17 00	2.129	392.	sc	14213	06392	

	adz	c	14 33 00	2.301	390.	cu	15230	06390
	adz	c	14 57 00	2.634	391.	sc	15263	06391
	adq	p	15 02 00	2.718	385.		15272	00385
	cdq	p	15 02 00	2.718	374.		15272	20374
11	*****							
	cdq	p	6 09 00	2.786	375.		6279	20375
	adq	p	6 09 00	2.786	381.		6279	00381
	cdq	p	6 19 00	2.614	377.		6261	20377
	adq	p	6 19 00	2.614	383.		6261	00383
	adz	b	6 43 00	2.285	380.		7228	02380
	adq	p	7 04 00	2.069	390.		7207	00390
	cdq	p	7 17 00	1.960	385.		7196	20385
	adq	p	7 17 00	1.960	393.		7196	00393
	cdq	p	7 31 00	1.860	396.		8186	20396
	adq	p	7 31 00	1.860	394.		8186	00394
	adq	p	8 06 00	1.667	393.		8167	00393
	cdq	p	9 14 00	1.454	382.		9145	20382
	adq	p	9 14 00	1.454	388.		9145	00388
	adq	p	10 56 00	1.377	381.		11138	00381
	adz	c	12 33 00	1.529	359.	ac	13153	06359
	adq	p	12 36 00	1.538	363.		13154	00363
	adq	p	12 52 00	1.592	371.		13159	00371
	adq	p	13 20 00	1.713	371.		13171	00371
	adz	c	14 42 00	2.390	366.	ac	15239	06366
	adq	p	14 55 00	2.575	357.		15257	00357
	cdq	p	14 55 00	2.575	356.		15257	20356
	adq	p	15 00 00	2.655	355.		15265	00355
	cdq	p	15 00 00	2.655	359.		15265	20359
12	*****							
	adq	p	6 16 00	2.626	350.		6263	00350
	cdq	p	6 16 00	2.626	341.		6263	20341
	adz	b	6 23 00	2.518	338.		6252	02338
	adq	p	6 30 00	2.419	350.		7242	00350
	cdq	p	6 30 00	2.419	342.		7242	20342
	adq	p	6 49 00	2.192	350.		7219	00350
	cdq	p	6 49 00	2.192	346.		7219	20346
	adq	p	7 16 00	1.949	351.		7195	00351
	cdq	p	7 16 00	1.949	348.		7195	20348
	adz	b	7 19 00	1.926	341.		7193	02341
	adq	p	7 36 00	1.811	349.		8181	00349
	cdq	p	7 36 00	1.811	344.		8181	20344
	adq	p	8 15 00	1.616	350.		8162	00350
	cdq	p	8 15 00	1.616	340.		8162	20340
	adq	p	8 40 00	1.528	352.		9153	00352
	cdq	p	8 40 00	1.528	340.		9153	20340
	adz	b	8 45 00	1.513	348.		9151	02348
	cdq	p	10 30 00	1.366	359.		11137	20359
	adq	p	10 30 00	1.366	354.		11137	00354
	cdq	p	11 05 00	1.373	360.		11137	20360
	adq	p	11 05 00	1.373	352.		11137	00352
	cdq	p	13 04 00	1.629	347.		13163	20347
	adq	p	13 04 00	1.629	349.		13163	00349
	cdq	p	13 14 00	1.673	350.		13167	20350
	adq	p	13 14 00	1.673	347.		13167	00347
	cdq	p	13 38 00	1.800	350.		14180	20350
	adq	p	13 38 00	1.800	347.		14180	00347
	cdq	p	13 57 00	1.927	352.		14193	20352
	adq	p	13 57 00	1.927	346.		14193	00346
	cdq	p	14 05 00	1.989	350.		14199	20350
	adq	p	14 05 00	1.989	345.		14199	00345
	adz	b	14 23 00	2.152	340.		14215	02340
	adq	p	14 35 00	2.282	341.		15228	00341
13	*****							
	cdq	p	5 50 00	3.092	339.		6309	20339
	adq	p	5 50 00	3.092	344.		6309	00344
	cdq	p	6 00 00	2.876	340.		6288	20340
	adq	p	6 00 00	2.876	347.		6288	00347
	adz	b	6 03 00	2.818	341.		6282	02341
	cdq	p	6 14 00	2.624	343.		6262	20343
	adq	p	6 14 00	2.624	349.		6262	00349
	cdq	p	6 39 00	2.278	349.		7228	20349
	adq	p	6 39 00	2.278	351.		7228	00351
	cdq	p	7 22 00	1.886	346.		7189	20346
	adq	p	7 22 00	1.886	349.		7189	00349
	cdq	p	8 17 00	1.596	349.		8160	20349
	adq	p	8 17 00	1.596	352.		8160	00352
	adz	b	8 20 00	1.584	343.		8158	02343

	cdqp	9 05 00	1.453	352.		9145	20352
	adqp	9 05 00	1.453	352.		9145	00352
	cdqp	10 16 00	1.362	336.		10136	20336
	adqp	10 16 00	1.362	351.		10136	00351
	adzb	10 23 00	1.359	344.		10136	02344
	adqp	10 26 00	1.358	352.		10136	00352
	adzsc	11 10 00	1.368	340.	cs	11137	04340
	adzsc	12 06 00	1.444	344.	ac	12144	04344
	adzsc	14 30 00	2.206	358.	as	15221	06358
	adzsc	14 43 00	2.358	354.	as	15236	06354
	adzsc	14 53 00	2.494	350.	as	15249	06350
	adzsc	15 08 00	2.735	355.	as	15274	06355
14	*****						
	adqp	6 00 00	2.834	337.		6283	00337
	cdqp	6 05 00	2.741	334.		6274	20334
	adqp	6 05 00	2.741	339.		6274	00339
	cdqp	6 19 00	2.512	334.		6251	20334
	adqp	6 19 00	2.512	340.		6251	00340
	adzb	6 28 00	2.387	331.		6239	02331
	adqp	6 41 00	2.230	338.		7223	00338
	cdqp	7 00 00	2.041	340.		7204	20340
	adqp	7 00 00	2.041	339.		7204	00339
	cdqp	7 30 00	1.816	349.		8182	20349
	adqp	7 30 00	1.816	343.		8182	00343
	cdqp	8 25 00	1.555	337.		8155	20337
	adqp	8 25 00	1.555	342.		8155	00342
	adzb	8 34 00	1.525	330.		9152	02330
	adqp	9 06 00	1.441	345.		9144	00345
	cdqp	9 15 00	1.423	355.		9142	20355
	adqp	9 15 00	1.423	347.		9142	00347
	cdqp	9 40 00	1.384	349.		10138	20349
	adqp	9 40 00	1.384	348.		10138	00348
	cdqp	10 50 00	1.351	349.		11135	20349
	adqp	10 50 00	1.351	347.		11135	00347
	adqp	12 40 00	1.522	354.		13152	00354
	cdqp	12 40 00	1.522	354.		13152	20354
	adqp	13 09 00	1.629	348.		13163	00348
	cdqp	13 09 00	1.629	355.		13163	20355
	adqp	13 30 00	1.730	352.		14173	00352
	cdqp	13 30 00	1.730	362.		14173	20362
	adqp	13 58 00	1.905	353.		14191	00353
	cdqp	13 58 00	1.905	362.		14191	20362
	adqp	14 18 00	2.069	357.		14207	00357
	cdqp	14 18 00	2.069	368.		14207	20368
	adzb	14 25 00	2.136	343.		14214	02343
	adqp	14 42 00	2.324	356.		15232	00356
	cdqp	14 42 00	2.324	355.		15232	20355
	adqp	15 05 00	2.655	355.		15265	00355
	cdqp	15 05 00	2.655	357.		15265	20357
15	*****						
	adzsc	8 18 00	1.568	368.	sc	8157	06368
	adzsc	8 23 00	1.550	378.	sc	8155	06378
	adzsc	8 49 00	1.472	373.	sc	9147	06373
	adzsc	8 56 00	1.455	374.	as	9145	06374
	adzsc	10 16 00	1.346	374.	sc	10135	06374
	adzsc	10 31 00	1.342	376.	sc	11134	06376
	adzsc	12 46 00	1.533	373.	sc	13153	06373
	adzsc	13 11 00	1.627	373.	sc	13163	06373
	adzsc	13 28 00	1.708	374.	sc	13171	06374
	adzsc	13 48 00	1.823	371.	sc	14182	06371
	adzsc	14 33 00	2.201	388.	sc	15220	06388
	adzsc	14 58 00	2.518	391.	sc	15252	06391
	adzsc	15 13 00	2.767	394.	sc	15277	06394
16	*****						
	cdqp	10 39 00	1.334	392.		11133	20392
	adqp	10 39 00	1.334	391.		11133	00391
	adzsc	11 55 00	1.399	395.	sc	12140	06395
	cdqp	14 24 00	2.092	407.		14209	20407
	adqp	14 24 00	2.092	407.		14209	00407
	adzb	15 07 00	2.634	393.		15263	02393
17	*****						
	adqp	13 41 00	1.756	400.		14176	00400
	adqp	13 52 00	1.824	403.		14182	00403
18	*****						
	adqp	9 29 00	1.367	391.		9137	00391
	cdqp	9 29 00	1.367	383.		9137	20383
	adqp	9 42 00	1.350	392.		10135	00392

	cdqp	9 42 00	1.350	378.		10135	20378
	adqp	9 58 00	1.335	394.		10134	00394
	cdqp	9 58 00	1.335	386.		10134	20386
	adqp	10 13 00	1.326	393.		10133	00393
	cdqp	10 13 00	1.326	378.		10133	20378
	adqp	10 30 00	1.321	397.		11132	00397
	cdqp	10 30 00	1.321	391.		11132	20391
	adzb	10 45 00	1.321	394.		11132	02394
19	*****						
	adzc	6 58 00	1.962	436.	sc	7196	06436
	adzc	7 07 00	1.892	424.	sc	7189	06424
	adzc	7 28 00	1.754	419.	sc	7175	06419
	adzc	10 11 11	1.320	412.	sc	10132	06412
	adzc	10 37 00	1.314	405.	sc	11131	06405
	adzc	11 09 00	1.324	409.	sc	11132	06409
	adzc	12 47 00	1.501	403.	sc	13150	06403
	adzc	13 06 00	1.568	408.	sc	13157	06408
	adzc	13 36 00	1.706	409.	ac	14171	06409
	adzc	13 44 00	1.751	407.	ac	14175	06407
	adzc	14 05 00	1.888	408.	ac	14189	06408
	adzc	14 26 00	2.062	409.	ac	14206	06409
	adzc	15 03 00	2.497	413.	ac	15250	06413
20	*****						
	adzc	10 20 00	1.309	411.	sc	10131	06411
	adzc	10 26 00	1.308	416.	sc	10131	06416
	adzc	11 16 00	1.323	410.	sc	11132	06410
	adzc	11 30 00	1.336	406.	sc	12134	06406
	adzc	12 02 00	1.382	413.	sc	12138	06413
	adzc	12 33 00	1.452	410.	sc	13145	06410
	adzc	12 52 00	1.509	418.	sc	13151	06418
	adzc	13 10 00	1.575	418.	sc	13157	06418
21	*****						
	adzc	12 08 00	1.387	372.	sc	12139	06372
	adzc	12 23 00	1.419	365.	sc	12142	06365
	adzc	12 38 00	1.458	374.	sc	13146	06374
	adzc	13 00 00	1.528	372.	sc	13153	06372
22	*****						
	adzc	7 50 00	1.604	344.	sc	8160	05344
	adzb	8 04 00	1.547	355.		8155	02355
	adzb	8 36 00	1.443	372.		9144	02372
	adzc	8 42 00	1.427	350.	sc	9143	05350
	adzc	10 10 00	1.300	366.	sc	10130	05366
	adqp	10 19 00	1.297	366.		10130	00366
	adqp	10 22 00	1.296	368.		10130	00368
	adqp	10 32 00	1.294	369.		11129	00369
	adqp	10 57 00	1.299	373.		11130	00373
	adzc	12 25 00	1.417	366.	sc	12142	05366
	adqp	12 58 00	1.513	375.		13151	00375
	cdqp	12 58 00	1.513	375.		13151	20375
	adzc	13 38 00	1.685	375.	ac	14169	06375
	adzc	14 00 00	1.816	378.	ac	14182	06378
	adzc	14 56 00	2.336	381.	ac	15234	06381
	adzc	15 27 00	2.826	386.	sc	15283	06386
23	*****						
	adzc	9 59 00	1.301	402.	sc	10130	06402
	adzc	10 15 00	1.292	397.	sc	10129	06397
	adzc	10 30 00	1.288	399.	sc	11129	06399
	adzc	10 44 00	1.289	402.	sc	11129	06402
24	*****						
	cdqp	10 41 00	1.282	385.		11128	20385
	adqp	10 41 00	1.282	374.		11128	00374
	cdqp	11 04 00	1.290	376.		11129	20376
	adqp	11 04 00	1.290	370.		11129	00370
	cdqp	11 53 00	1.341	381.		12134	20381
	adqp	11 53 00	1.341	374.		12134	00374
	adzb	12 31 00	1.418	365.		13142	02365
	adzb	14 03 00	1.813	361.		14181	02361
	adzb	14 20 00	1.938	361.		14194	02361
	adzb	14 34 00	2.060	362.		15206	02362
	adzc	15 24 00	2.714	375.	sc	15271	06375
25	*****						
	adzc	6 38 00	2.029	386.	as	7203	06386
	adzc	7 26 00	1.689	386.	as	7169	06386
	adzc	7 47 00	1.586	381.	as	8159	06381
	adzc	8 27 00	1.443	389.	as	8144	06389
	adzc	8 48 00	1.390	390.	as	9139	06390
	adzc	9 28 00	1.319	398.	as	9132	06398

	adzc	9 58 00	1.289	383.	as	10129	06383
	adzc	10 26 00	1.277	377.	ac	10128	06377
	adzc	11 30 00	1.305	390.	ac	12130	06390
	adqp	12 00 00	1.346	387.		12135	00387
	adzc	12 26 00	1.399	385.	sc	12140	06385
	adzc	12 44 00	1.446	387.	ac	13145	06387
	adqp	13 08 00	1.525	391.		13153	00391
	adzc	13 30 00	1.617	390.	cu	14162	06390
26	*****						
	adzc	6 20 00	2.191	371.	sc	6219	06371
	adzc	6 44 00	1.960	380.	sc	7196	06380
	adzc	7 13 00	1.752	378.	sc	7175	06378
	adzc	7 32 00	1.646	375.	sc	8165	06375
	adzc	8 29 00	1.430	369.	sc	8143	06369
	adzc	8 44 00	1.391	365.	sc	9139	06365
	adzc	9 24 00	1.318	367.	sc	9132	06367
	adzc	9 48 00	1.291	365.	sc	10129	06365
	adzc	10 23 00	1.272	366.	sc	10127	06366
	adzc	10 49 00	1.273	369.	sc	11127	06369
	adzc	11 31 00	1.300	369.	sc	12130	06369
	adzc	11 56 00	1.333	368.	sc	12133	06368
	adzc	12 34 00	1.412	376.	sc	13141	06376
	adzc	13 16 00	1.548	377.	sc	13155	06377
27	*****						
	cdqp	5 31 00	2.912	361.		6291	20361
	adqp	5 31 00	2.912	359.		6291	00359
	cdqp	5 43 00	2.683	367.		6268	20367
	adqp	5 43 00	2.683	363.		6268	00363
	cdqp	6 02 00	2.390	366.		6239	20366
	adqp	6 02 00	2.390	365.		6239	00365
	cdqp	6 09 00	2.299	369.		6230	20369
	adqp	6 09 00	2.299	364.		6230	00364
	adzb	6 12 00	2.262	352.		6226	02352
	cdqp	6 59 00	1.830	366.		7183	20366
	adqp	6 59 00	1.830	363.		7183	00363
	cdqp	7 19 00	1.704	364.		7170	20364
	adqp	7 19 00	1.704	363.		7170	00363
	cdqp	8 05 00	1.497	357.		8150	20357
	adqp	8 05 00	1.497	361.		8150	00361
	cdqp	8 34 00	1.409	371.		9141	20371
	adqp	8 34 00	1.409	368.		9141	00368
	cdqp	8 41 00	1.391	365.		9139	20365
	adqp	8 41 00	1.391	365.		9139	00365
	cdqp	8 54 00	1.363	370.		9136	20370
	adqp	8 54 00	1.363	368.		9136	00368
	adzb	9 06 00	1.340	365.		9134	02365
	adqp	10 55 00	1.269	361.	ac	11127	04361
	adqp	11 12 00	1.278	368.		11128	00368
	adzc	12 38 00	1.416	362.	sc	13142	06362
28	*****						
	adzc	5 37 00	2.760	356.	ac	6276	04356
	adzc	5 48 00	2.570	356.	ac	6257	04356
	cdqp	6 13 00	2.230	350.		6223	20350
	adqp	6 13 00	2.230	353.		6223	00353
	cdqp	6 17 00	2.184	352.		6218	20352
	adqp	6 17 00	2.184	356.		6218	00356
	adzb	6 20 00	2.152	350.		6215	02350
	cdqp	6 25 00	2.100	352.		6210	20352
	adqp	6 25 00	2.100	354.		6210	00354
	adzc	7 18 00	1.699	353.	ac	7170	04353
	adqp	10 34 00	1.260	358.		11126	00358
	cdqp	11 16 00	1.275	351.		11128	20351
	adqp	11 16 00	1.275	358.		11128	00358
	cdqp	11 22 00	1.280	353.		11128	20353
	adqp	11 22 00	1.280	358.		11128	00358
	adzb	11 40 00	1.299	355.		12130	02355
	cdqp	11 43 00	1.303	353.		12130	20353
	adqp	11 43 00	1.303	359.		12130	00359
	adqp	13 15 00	1.528	354.		13153	00354
	adqp	13 45 00	1.665	366.		14166	00366
	cdqp	13 45 00	1.665	367.		14166	20367
	adqp	14 01 00	1.757	362.		14176	00362
	cdqp	14 01 00	1.757	364.		14176	20364
	adzb	14 45 00	2.108	355.		15211	02355
	adzc	15 19 00	2.534	361.	cu	15253	05361
	adqp	15 26 00	2.647	356.		15265	00356
	adzb	15 40 00	2.911	355.		16291	02355

29	*****						
	adqp	5 33 00	2.803	361.		6280	00361
	adzbc	5 49 00	2.528	361.	ac	6253	04361
	adqp	6 07 00	2.280	362.		6228	00362
	cdqp	6 15 00	2.187	363.		6219	20363
	adqp	6 15 00	2.187	365.		6219	00365
	adzb	6 18 00	2.154	355.		6215	02355
	cdqp	6 30 00	2.035	359.		7203	20359
	adqp	6 30 00	2.035	363.		7203	00363
	adzb	6 48 00	1.883	356.		7188	02356
	cdqp	6 52 00	1.853	362.		7185	20362
	adqp	6 52 00	1.853	363.		7185	00363
	cdqp	7 26 00	1.645	368.		7164	20368
	adqp	7 26 00	1.645	364.		7164	00364
	cdqp	8 36 00	1.390	367.		9139	20367
	adqp	8 36 00	1.390	367.		9139	00367
	adzb	8 43 00	1.373	371.		9137	02371
	cdqp	8 46 00	1.366	376.		9137	20376
	adqp	8 46 00	1.366	368.		9137	00368
	cdqp	10 44 00	1.256	388.		11126	20388
	adqp	10 44 00	1.256	370.		11126	00370
	cdqp	11 44 00	1.299	385.		12130	20385
	adqp	11 44 00	1.299	370.		12130	00370
	cdqp	11 54 00	1.313	387.		12131	20387
	adqp	11 54 00	1.313	374.		12131	00374
	cdqp	12 21 00	1.362	387.		12136	20387
	adqp	12 21 00	1.362	372.		12136	00372
	cdqp	12 38 00	1.403	385.		13140	20385
	adqp	12 38 00	1.403	372.		13140	00372
	adqp	13 30 00	1.583	379.		14158	00379
	adqp	13 49 00	1.677	379.		14168	00379
	cdqp	13 49 00	1.677	383.		14168	20383
	adzb	14 10 00	1.805	372.		14180	02372
	adqp	14 16 00	1.847	379.		14185	00379
	cdqp	14 16 00	1.847	383.		14185	20383
	adqp	14 36 00	2.008	376.		15201	00376
	cdqp	14 36 00	2.008	374.		15201	20374
	adqp	15 02 00	2.280	377.		15228	00377
	cdqp	15 02 00	2.280	377.		15228	20377
	adzb	15 07 00	2.343	367.		15234	02367
	adqp	15 29 00	2.675	372.		15267	00372
	cdqp	15 29 00	2.675	373.		15267	20373
30	*****						
	adqp	12 00 00	1.317	378.		12132	00378
	adqp	12 29 00	1.374	381.		12137	00381
	cdqp	12 29 00	1.374	381.		12137	20381
	adzbc	12 42 00	1.407	372.	as	13141	04372
	adqp	12 56 00	1.448	383.		13145	00383
	adqp	13 20 00	1.533	383.		13153	00383
	cdqp	13 20 00	1.533	387.		13153	20387
	adqp	13 52 00	1.685	381.		14168	00381
	cdqp	13 52 00	1.685	387.		14168	20387
	adqp	14 10 00	1.794	380.		14179	00380
	cdqp	14 10 00	1.794	387.		14179	20387

End of total ozone observations computation for April 2022

Total Ozone Observations on Inst. No. 84
at Belsk, Poland

May 2022

Date	Type	GMT	MU	XOZ	CLS	GGMMM	LSXXX
1	*****						
	adzb	10 38 00	1.245	380.		11124	02380
	adzb	11 15 00	1.259	380.		11126	02380
	adzb	12 02 00	1.315	384.		12131	02384
	cdqp	12 58 00	1.448	391.		13145	20391
	adqp	12 58 00	1.448	389.		13145	00389
	cdqp	13 47 00	1.649	385.		14165	20385
	adqp	13 47 00	1.649	386.		14165	00386
	adzb	14 24 00	1.883	379.		14188	02379
	cdqp	14 44 00	2.055	388.		15205	20388
	adqp	14 44 00	2.055	389.		15205	00389
	cdqp	15 26 00	2.578	385.		15258	20385
	adqp	15 26 00	2.578	384.		15258	00384
2	*****						
	cdqp	5 18 00	3.013	374.		5301	20374

adqp	5 18 00	3.013	368.		5301	00368
cdqp	5 32 00	2.730	366.		6273	20366
adqp	5 32 00	2.730	371.		6273	00371
adzb	5 39 00	2.608	367.		6261	02367
cdqp	5 46 00	2.498	368.		6250	20368
adqp	5 46 00	2.498	373.		6250	00373
cdqp	5 59 00	2.318	372.		6232	20372
adqp	5 59 00	2.318	377.		6232	00377
adzb	6 14 00	2.143	369.		6214	02369
adqp	6 17 00	2.112	378.		6211	00378
cdqp	6 26 00	2.024	368.		6202	20368
adqp	6 26 00	2.024	376.		6202	00376
cdqp	7 16 00	1.667	376.		7167	20376
adqp	7 16 00	1.667	380.		7167	00380
cdqp	8 42 00	1.356	375.		9136	20375
adqp	8 42 00	1.356	382.		9136	00382
adzb	8 45 00	1.350	377.		9135	02377
cdqp	9 07 00	1.308	375.		9131	20375
adqp	9 07 00	1.308	382.		9131	00382
cdqp	9 53 00	1.255	378.		10125	20378
adqp	9 53 00	1.255	383.		10125	00383
cdqp	10 27 00	1.240	382.		10124	20382
adqp	10 27 00	1.240	385.		10124	00385
adqp	10 37 00	1.240	382.		11124	00382
cdqp	10 51 00	1.242	375.		11124	20375
adqp	10 51 00	1.242	382.		11124	00382
cdqp	12 01 00	1.308	375.		12131	20375
adqp	12 01 00	1.308	382.		12131	00382
adz	13 49 00	1.651	374.	cu	14165	05374
adzb	14 05 00	1.742	377.		14174	02377
adqp	14 31 00	1.927	377.		15193	00377
cdqp	14 31 00	1.927	373.		15193	20373
adzb	14 42 00	2.022	372.		15202	02372
adqp	15 06 00	2.278	375.		15228	00375
cdqp	15 06 00	2.278	375.		15228	20375
adqp	15 27 00	2.572	375.		15257	00375
cdqp	15 27 00	2.572	372.		15257	20372
3 *****						
cdqp	8 07 00	1.444	363.		8144	20363
adqp	8 07 00	1.444	367.		8144	00367
adzb	8 11 00	1.432	362.		8143	02362
cdqp	8 15 00	1.419	360.		8142	20360
adqp	8 15 00	1.419	366.		8142	00366
adqp	8 54 00	1.326	369.		9133	00369
cdqp	9 08 00	1.301	357.		9130	20357
adqp	9 08 00	1.301	366.		9130	00366
cdqp	9 30 00	1.271	359.		10127	20359
adqp	9 30 00	1.271	364.		10127	00364
adzb	9 40 00	1.261	357.		10126	02357
cdqp	10 01 00	1.245	362.		10124	20362
adqp	10 01 00	1.245	368.		10124	00368
adqp	10 16 00	1.238	366.		10124	00366
4 *****						
adzb	5 56 00	2.316	348.		6232	02348
cdqp	6 03 00	2.230	345.		6223	20345
adqp	6 03 00	2.230	351.		6223	00351
cdqp	6 20 00	2.050	349.		6205	20349
adqp	6 20 00	2.050	353.		6205	00353
adzb	6 34 00	1.926	347.		7193	02347
cdqp	6 38 00	1.894	364.		7189	20364
adqp	6 38 00	1.894	362.		7189	00362
cdqp	6 42 00	1.863	348.		7186	20348
adqp	6 42 00	1.863	353.		7186	00353
cdqp	7 51 00	1.492	350.		8149	20350
adqp	7 51 00	1.492	355.		8149	00355
cdqp	8 10 00	1.428	349.		8143	20349
adqp	8 10 00	1.428	357.		8143	00357
adzb	8 13 00	1.419	349.		8142	02349
cdqp	8 50 00	1.328	350.		9133	20350
adqp	8 50 00	1.328	358.		9133	00358
adz	10 19 00	1.233	358.	sc	10123	05358
cdqp	11 06 00	1.240	353.		11124	20353
adqp	11 06 00	1.240	356.		11124	00356
cdqp	11 12 00	1.243	353.		11124	20353
adqp	11 12 00	1.243	358.		11124	00358
cdqp	12 28 00	1.350	357.		12135	20357
adqp	12 28 00	1.350	358.		12135	00358

	adqp	12 48 00	1.400	355.		13140	00355
	adzc	13 05 00	1.451	346.	cu	13145	05346
	adzc	13 20 00	1.505	347.	cu	13150	05347
	adqp	13 30 00	1.545	361.		14155	00361
	cdqp	13 30 00	1.545	347.		14155	20347
	adzb	15 00 00	2.176	350.		15218	02350
	adqp	15 15 00	2.357	363.		15236	00363
	adqp	15 33 00	2.625	362.		16263	00362
	adqp	15 38 00	2.712	356.		16271	00356
	cdqp	15 38 00	2.712	359.		16271	20359
5	*****						
	adzc	5 29 00	2.700	365.	cu	5270	06365
	adzc	5 47 00	2.416	367.	cu	6242	06367
	adzc	6 21 00	2.026	357.	cu	6203	06357
	adzc	6 30 00	1.946	360.	cu	7195	06360
	adzc	7 11 00	1.666	361.	cu	7167	05361
	adzc	7 30 00	1.571	359.	cu	8157	06359
	adqp	8 06 00	1.434	362.		8143	00362
	adqp	8 47 00	1.328	364.		9133	00364
	cdqp	8 47 00	1.328	365.		9133	20365
	cdqp	8 58 00	1.308	366.		9131	20366
	adqp	8 58 00	1.308	365.		9131	00365
	cdqp	10 27 00	1.227	360.		10123	20360
	adqp	10 27 00	1.227	362.		10123	00362
	cdqp	10 36 00	1.227	364.		11123	20364
	adqp	10 36 00	1.227	367.		11123	00367
	cdqp	11 00 00	1.232	371.		11123	20371
	adqp	11 00 00	1.232	369.		11123	00369
	cdqp	11 38 00	1.262	362.		12126	20362
	adqp	11 38 00	1.262	369.		12126	00369
	cdqp	13 00 00	1.429	364.		13143	20364
	adqp	13 00 00	1.429	369.		13143	00369
	cdqp	13 30 00	1.538	363.		14154	20363
	adqp	13 30 00	1.538	368.		14154	00368
	cdqp	14 00 00	1.685	377.		14169	20377
	adqp	14 00 00	1.685	370.		14169	00370
	adqp	14 15 00	1.777	367.		14178	00367
6	*****						
	adzc	5 34 00	2.590	385.	sc	6259	06385
	adzc	5 56 00	2.278	382.	sc	6228	06382
	adzc	6 14 00	2.079	377.	sc	6208	06377
	adzc	7 23 00	1.596	369.	ac	7160	05369
	adzc	8 05 00	1.431	366.	cc	8143	05366
	adqp	8 13 00	1.406	376.		8141	00376
	cdqp	9 15 00	1.276	365.		9128	20365
	adqp	9 15 00	1.276	376.		9128	00376
	cdqp	9 23 00	1.265	364.		9127	20364
	adqp	9 23 00	1.265	376.		9127	00376
	adqp	10 45 00	1.223	380.		11122	00380
	cdqp	12 07 00	1.298	368.		12130	20368
	adqp	12 07 00	1.298	379.		12130	00379
	adqp	14 25 00	1.837	379.		14184	00379
	cdqp	14 25 00	1.837	380.		14184	20380
	adzb	14 34 00	1.906	370.		15191	02370
	adqp	14 56 00	2.105	372.		15210	00372
	cdqp	14 56 00	2.105	365.		15210	20365
	adqp	15 19 00	2.375	376.		15238	00376
	cdqp	15 19 00	2.375	374.		15238	20374
	adqp	15 41 00	2.718	373.		16272	00373
	cdqp	15 41 00	2.718	371.		16272	20371
7	*****						
	adzb	9 55 00	1.231	350.		10123	02350
	adqp	10 58 00	1.223	360.		11122	00360
	cdqp	10 58 00	1.223	356.		11122	20356
	adqp	10 24 00	1.219	363.		10122	00363
	cdqp	10 24 00	1.219	359.		10122	20359
	adqp	10 42 00	1.219	357.		11122	00357
	cdqp	10 42 00	1.219	350.		11122	20350
	adqp	11 05 00	1.226	369.		11123	00369
	cdqp	11 05 00	1.226	359.		11123	20359
	adqp	11 35 00	1.250	362.		12125	00362
	cdqp	11 35 00	1.250	358.		12125	20358
	adqp	11 52 00	1.271	367.		12127	00367
	cdqp	11 52 00	1.271	371.		12127	20371
8	*****						
	adzc	10 16 00	1.217	362.	sc	10122	06362
	adzb	11 00 00	1.220	360.		11122	02360

	adzb	11 58 00	1.275	357.		12128	02357
	cdqp	12 52 00	1.389	365.		13139	20365
	adzb	14 10 00	1.719	354.		14172	02354
	adzb	14 52 00	2.039	354.	as	15204	02354
	adzc	15 37 00	2.605	354.	as	16260	06354
9	*****						
	adzb	5 23 00	2.706	350.		5271	02350
	adzb	5 44 00	2.378	352.		6238	02352
	cdqp	5 48 00	2.325	347.		6233	20347
	adqp	5 48 00	2.325	360.		6233	00360
	cdqp	5 59 00	2.192	348.		6219	20348
	adqp	5 59 00	2.192	361.		6219	00361
	cdqp	6 07 00	2.106	350.		6211	20350
	adqp	6 07 00	2.106	363.		6211	00363
	cdqp	6 41 00	1.815	347.		7181	20347
	adqp	6 41 00	1.815	363.		7181	00363
	cdqp	7 56 00	1.442	359.		8144	20359
	adqp	7 56 00	1.442	368.		8144	00368
	adzb	7 59 00	1.432	364.		8143	02364
	cdqp	8 15 00	1.383	357.		8138	20357
	adqp	8 15 00	1.383	370.		8138	00370
	cdqp	8 47 00	1.308	364.		9131	20364
	adqp	8 47 00	1.308	372.		9131	00372
	adzb	8 50 00	1.303	370.		9130	02370
	adqp	9 30 00	1.244	375.		10124	00375
	cdqp	9 30 00	1.244	373.		10124	20373
	cdqp	10 43 00	1.211	379.		11121	20379
	adqp	10 43 00	1.211	376.		11121	00376
	adzb	10 53 00	1.213	367.		11121	02367
	cdqp	11 08 00	1.220	382.		11122	20382
	adqp	11 08 00	1.220	376.		11122	00376
	cdqp	12 39 00	1.350	376.		13135	20376
	adqp	12 39 00	1.350	377.		13135	00377
	adzb	14 30 00	1.844	373.		15184	02373
	adqp	14 43 00	1.947	374.		15195	00374
	cdqp	14 43 00	1.947	371.		15195	20371
	adqp	15 12 00	2.238	369.		15224	00369
	cdqp	15 12 00	2.238	364.		15224	20364
	adqp	15 33 00	2.521	367.		16252	00367
	cdqp	15 33 00	2.521	366.		16252	20366
	adqp	16 00 00	3.023	362.		16302	00362
	cdqp	16 00 00	3.023	363.		16302	20363
10	*****						
	cdqp	5 26 00	2.630	362.		5263	20362
	adqp	5 26 00	2.630	364.		5263	00364
	adzb	5 29 00	2.581	354.		5258	02354
	cdqp	5 43 00	2.373	357.		6237	20357
	adqp	5 43 00	2.373	364.		6237	00364
	cdqp	5 57 00	2.200	358.		6220	20358
	adqp	5 57 00	2.200	366.		6220	00366
	cdqp	6 13 00	2.033	363.		6203	20363
	adqp	6 13 00	2.033	366.		6203	00366
	adzb	6 17 00	1.996	358.		6200	02358
	cdqp	6 48 00	1.758	367.		7176	20367
	adqp	6 48 00	1.758	367.		7176	00367
	cdqp	7 48 00	1.463	367.		8146	20367
	adqp	7 48 00	1.463	369.		8146	00369
	adzb	8 04 00	1.410	361.		8141	02361
	cdqp	8 12 00	1.387	372.		8139	20372
	adqp	8 12 00	1.387	370.		8139	00370
	cdqp	8 48 00	1.302	371.		9130	20371
	adqp	8 48 00	1.302	368.		9130	00368
	cdqp	9 11 00	1.263	375.		9126	20375
	adqp	9 11 00	1.263	369.		9126	00369
	cdqp	10 56 00	1.211	370.		11121	20370
	adqp	10 56 00	1.211	367.		11121	00367
	adzb	11 03 00	1.214	355.		11121	02355
	cdqp	11 29 00	1.232	362.		11123	20362
	adqp	11 29 00	1.232	367.		11123	00367
	cdqp	12 32 00	1.329	361.		13133	20361
	adqp	12 32 00	1.329	366.		13133	00366
	adqp	14 18 00	1.752	358.		14175	00358
	cdqp	14 18 00	1.752	351.		14175	20351
	adqp	14 42 00	1.927	359.		15193	00359
	cdqp	14 42 00	1.927	361.		15193	20361
	adzb	14 51 00	2.006	348.		15201	02348
	adqp	15 10 00	2.200	356.		15220	00356

	adqp	15 32 00	2.487	357.		16249	00357
	cdqp	15 32 00	2.487	356.		16249	20356
	adqp	15 44 00	2.681	353.		16268	00353
	cdqp	15 44 00	2.681	352.		16268	20352
	adqp	16 03 00	3.062	348.		16306	00348
	cdqp	16 03 00	3.062	353.		16306	20353
	adqp	16 21 00	3.540	342.		16354	00342
	cdqp	16 21 00	3.540	352.		16354	20352
11	*****						
	adqp	5 39 00	2.410	348.		6241	00348
	adqp	5 46 00	2.317	350.		6232	00350
	adzb	6 02 00	2.130	343.		6213	02343
	adqp	6 21 00	1.949	350.		6195	00350
	cdqp	6 29 00	1.884	349.		6188	20349
	adqp	6 29 00	1.884	350.		6188	00350
	adzb	6 32 00	1.861	344.		7186	02344
	cdqp	6 43 00	1.782	350.		7178	20350
	adqp	6 43 00	1.782	350.		7178	00350
	cdqp	7 00 00	1.676	347.		7168	20347
	adqp	7 00 00	1.676	350.		7168	00350
	cdqp	8 18 00	1.365	358.		8137	20358
	adqp	8 18 00	1.365	352.		8137	00352
	cdqp	8 28 00	1.340	342.		8134	20342
	adqp	8 28 00	1.340	349.		8134	00349
	cdqp	8 35 00	1.324	343.		9132	20343
	adqp	8 35 00	1.324	350.		9132	00350
	cdqp	10 50 00	1.205	351.		11121	20351
	adqp	10 50 00	1.205	353.		11121	00353
	cdqp	11 30 00	1.229	352.		12123	20352
	adqp	11 30 00	1.229	354.		12123	00354
	adz c	14 35 00	1.862	348.	sc	15186	05348
	adz c	14 57 00	2.050	341.	as	15205	05341
	adqp	15 16 00	2.256	344.		15226	00344
	cdqp	15 16 00	2.256	340.		15226	20340
	adzb	15 35 00	2.513	341.		16251	02341
	adzb	15 44 00	2.659	342.		16266	02342
12	*****						
	adzb	5 24 00	2.620	345.		5262	02345
	adqp	5 31 00	2.509	342.		6251	00342
	cdqp	5 49 00	2.263	337.		6226	20337
	adqp	5 49 00	2.263	339.		6226	00339
	cdqp	6 01 00	2.127	343.		6213	20343
	adqp	6 01 00	2.127	343.		6213	00343
	adzb	6 05 00	2.086	335.		6209	02335
	adqp	6 10 00	2.037	343.		6204	00343
	cdqp	6 55 00	1.697	347.		7170	20347
	adqp	6 55 00	1.697	344.		7170	00344
	adqp	7 42 00	1.474	345.		8147	00345
	adzb	7 45 00	1.463	340.		8146	02340
	adz c	8 00 00	1.412	339.	cc	8141	03339
	cdqp	8 22 00	1.350	344.		8135	20344
	adqp	8 22 00	1.350	349.		8135	00349
	adzb	8 29 00	1.333	341.		8133	02341
	adqp	8 32 00	1.326	347.		9133	00347
	cdqp	10 05 00	1.206	347.		10121	20347
	adqp	10 05 00	1.206	354.		10121	00354
	adqp	11 49 00	1.246	360.		12125	00360
	cdqp	11 49 00	1.246	353.		12125	20353
	adz c	14 05 00	1.658	362.		14166	05362
	adqp	14 20 00	1.748	352.		14175	00352
	cdqp	14 20 00	1.748	333.		14175	20333
	adqp	14 41 00	1.899	363.		15190	00363
	cdqp	14 41 00	1.899	371.		15190	20371
	adqp	15 08 00	2.150	357.		15215	00357
	adqp	15 38 00	2.541	355.		16254	00355
13	*****						
	cdqp	5 17 00	2.720	360.		5272	20360
	adqp	5 17 00	2.720	366.		5272	00366
	cdqp	5 30 00	2.505	360.		6251	20360
	adqp	5 30 00	2.505	369.		6251	00369
	cdqp	5 49 00	2.248	360.		6225	20360
	adqp	5 49 00	2.248	369.		6225	00369
	adzb	5 53 00	2.202	358.		6220	02358
	cdqp	6 12 00	2.007	368.		6201	20368
	adqp	6 12 00	2.007	370.		6201	00370
	cdqp	6 29 00	1.864	367.		6186	20367
	adqp	6 29 00	1.864	377.		6186	00377

cdqp	7 24 00	1.541	375.		7154	20375
adqp	7 24 00	1.541	377.		7154	00377
adzb	8 32 00	1.322	377.		9132	02377
adqp	8 39 00	1.307	379.		9131	00379
cdqp	9 01 00	1.267	388.		9127	20388
adqp	9 01 00	1.267	382.		9127	00382
adqp	9 26 00	1.233	378.		9123	00378
adqp	10 30 00	1.196	382.		11120	00382
cdqp	10 30 00	1.196	377.		11120	20377
adqp	11 35 00	1.227	380.		12123	00380
adqp	14 20 00	1.739	384.		14174	00384
cdqp	14 20 00	1.739	379.		14174	20379
adqp	14 38 00	1.865	395.		15187	00395
cdqp	14 38 00	1.865	394.		15187	20394
adqp	14 58 00	2.036	393.		15204	00393
cdqp	14 58 00	2.036	393.		15204	20393
adqp	15 26 00	2.351	392.		15235	00392
cdqp	15 26 00	2.351	389.		15235	20389
adzb	15 30 00	2.405	382.		16241	02382
adqp	15 46 00	2.652	376.		16265	00376
cdqp	15 46 00	2.652	385.		16265	20385
14	*****					
adzc	5 56 00	2.155	361.	sc	6215	06361
adzc	6 12 00	1.995	350.	sc	6200	06350
cdqp	7 03 00	1.637	351.		7164	20351
adqp	7 03 00	1.637	354.		7164	00354
adzb	7 08 00	1.611	347.		7161	02347
cdqp	7 12 00	1.590	356.		7159	20356
adqp	7 12 00	1.590	353.		7159	00353
cdqp	7 44 00	1.455	356.		8146	20356
adqp	7 44 00	1.455	353.		8146	00353
cdqp	7 50 00	1.434	358.		8143	20358
adqp	7 50 00	1.434	355.		8143	00355
adzc	8 13 00	1.364	345.	ac	8136	04345
adzc	9 02 00	1.261	351.	sc	9126	06351
15	*****					
adqp	13 20 00	1.441	348.		13144	00348
cdqp	13 20 00	1.441	343.		13144	20343
adzb	13 32 00	1.485	340.		14148	02340
adqp	13 36 00	1.501	346.		14150	00346
cdqp	13 36 00	1.501	348.		14150	20348
adqp	13 55 00	1.585	348.		14159	00348
cdqp	13 55 00	1.585	348.		14159	20348
adqp	14 13 00	1.681	347.		14168	00347
cdqp	14 13 00	1.681	349.		14168	20349
adqp	14 29 00	1.782	347.		14178	00347
cdqp	14 29 00	1.782	354.		14178	20354
adqp	14 52 00	1.960	345.		15196	00345
cdqp	14 52 00	1.960	341.		15196	20341
adqp	15 10 00	2.133	345.		15213	00345
cdqp	15 10 00	2.133	342.		15213	20342
adqp	15 29 00	2.360	345.		15236	00345
cdqp	15 29 00	2.360	341.		15236	20341
adqp	15 46 00	2.612	345.		16261	00345
cdqp	15 46 00	2.612	344.		16261	20344
16	*****					
cdqp	5 20 00	2.608	355.		5261	20355
adqp	5 20 00	2.608	357.		5261	00357
cdqp	5 29 00	2.468	355.		5247	20355
adqp	5 29 00	2.468	360.		5247	00360
adzb	5 32 00	2.425	353.		6242	02353
cdqp	5 44 00	2.267	354.		6227	20354
adqp	5 44 00	2.267	363.		6227	00363
cdqp	6 00 00	2.088	360.		6209	20360
adqp	6 00 00	2.088	365.		6209	00365
cdqp	6 27 00	1.852	363.		6185	20363
adqp	6 27 00	1.852	368.		6185	00368
adzb	6 30 00	1.829	359.		7183	02359
cdqp	6 50 00	1.696	365.		7170	20365
adqp	6 50 00	1.696	369.		7170	00369
cdqp	8 02 00	1.387	368.		8139	20368
adqp	8 02 00	1.387	367.		8139	00367
adqp	8 10 00	1.364	366.		8136	00366
adzb	8 13 00	1.356	359.		8136	02359
cdqp	8 43 00	1.287	372.		9129	20372
adqp	8 43 00	1.287	367.		9129	00367
cdqp	9 50 00	1.201	368.		10120	20368

adqp	9 50 00	1.201	371.		10120	00371
adzb	9 55 00	1.198	362.		10120	02362
cdqp	10 26 00	1.187	362.		10119	20362
adqp	10 26 00	1.187	368.		10119	00368
cdqp	10 43 00	1.187	365.		11119	20365
adqp	10 43 00	1.187	368.		11119	00368
cdqp	11 01 00	1.192	367.		11119	20367
adqp	11 01 00	1.192	368.		11119	00368
cdqp	11 45 00	1.227	365.		12123	20365
adqp	11 45 00	1.227	367.		12123	00367
adqp	12 20 00	1.280	368.		12128	00368
adqp	14 44 00	1.884	362.		15188	00362
cdqp	14 44 00	1.884	363.		15188	20363
adzb	14 54 00	1.967	353.		15197	02353
adqp	15 11 00	2.132	357.		15213	00357
cdqp	15 11 00	2.132	355.		15213	20355
adqp	15 23 00	2.268	360.		15227	00360
cdqp	15 23 00	2.268	363.		15227	20363
adqp	15 35 00	2.426	359.		16243	00359
adqp	15 46 00	2.593	361.		16259	00361
cdqp	15 46 00	2.593	361.		16259	20361
17	*****					
adzc	5 23 00	2.542	360.	cs	5254	03360
adqp	5 32 00	2.409	354.		6241	00354
adqp	5 42 00	2.278	357.		6228	00357
adqp	5 53 00	2.150	359.		6215	00359
adqp	6 03 00	2.048	358.		6205	00358
adqp	6 53 00	1.672	358.		7167	00358
cdqp	7 54 00	1.407	367.		8141	20367
adqp	7 54 00	1.407	366.		8141	00366
cdqp	8 00 00	1.388	372.		8139	20372
adqp	8 00 00	1.388	364.		8139	00364
adzb	8 06 00	1.371	356.		8137	02356
adqp	8 58 00	1.257	368.		9126	00368
adqp	10 59 00	1.189	371.		11119	00371
adzc	11 29 00	1.208	357.	as	11121	04357
adqp	12 15 00	1.267	370.		12127	00370
adqp	14 30 00	1.773	370.		15177	00370
adqp	15 00 00	2.011	361.		15201	00361
cdqp	15 00 00	2.011	367.		15201	20367
adqp	15 18 00	2.196	354.		15220	00354
cdqp	15 18 00	2.196	350.		15220	20350
adqp	15 43 00	2.528	353.		16253	00353
cdqp	15 43 00	2.528	353.		16253	20353
adzb	15 45 00	2.559	351.		16256	02351
adqp	15 53 00	2.693	352.		16269	00352
18	*****					
cdqp	5 23 00	2.526	377.		5253	20377
adqp	5 23 00	2.526	368.		5253	00368
cdqp	5 31 00	2.408	373.		6241	20373
adqp	5 31 00	2.408	370.		6241	00370
adzb	5 34 00	2.367	361.		6237	02361
cdqp	5 48 00	2.194	371.		6219	20371
adqp	5 48 00	2.194	369.		6219	00369
cdqp	6 03 00	2.038	375.		6204	20375
adqp	6 03 00	2.038	371.		6204	00371
adzb	6 22 00	1.873	360.		6187	02360
cdqp	6 25 00	1.850	372.		6185	20372
adqp	6 25 00	1.850	370.		6185	00370
cdqp	7 02 00	1.616	373.		7162	20373
adqp	7 02 00	1.616	371.		7162	00371
cdqp	8 19 00	1.332	378.		8133	20378
adqp	8 19 00	1.332	371.		8133	00371
adzb	8 23 00	1.323	364.		8132	02364
cdqp	8 39 00	1.288	373.		9129	20373
adqp	8 39 00	1.288	372.		9129	00372
cdqp	9 19 00	1.224	377.		9122	20377
adqp	9 19 00	1.224	375.		9122	00375
cdqp	9 52 00	1.194	363.		10119	20363
adqp	9 52 00	1.194	377.		10119	00377
adzb	10 04 00	1.187	368.		10119	02368
cdqp	10 19 00	1.182	361.		10118	20361
adqp	10 19 00	1.182	373.		10118	00373
cdqp	10 37 00	1.181	364.		11118	20364
adqp	10 37 00	1.181	372.		11118	00372
cdqp	11 22 00	1.199	369.		11120	20369
adqp	11 22 00	1.199	376.		11120	00376

cdqp	12 18 00	1.269	372.		12127	20372
adqp	12 18 00	1.269	376.		12127	00376
adzb	12 26 00	1.284	369.		12128	02369
adqp	12 52 00	1.343	370.		13134	00370
cdqp	12 52 00	1.343	357.		13134	20357
adqp	14 25 00	1.733	357.		14173	00357
cdqp	14 25 00	1.733	361.		14173	20361
adqp	14 42 00	1.851	352.		15185	00352
cdqp	14 42 00	1.851	357.		15185	20357
adzb	14 52 00	1.930	349.		15193	02349
adqp	15 04 00	2.038	359.		15204	00359
cdqp	15 04 00	2.038	366.		15204	20366
adqp	15 22 00	2.229	354.		15223	00354
cdqp	15 22 00	2.229	362.		15223	20362
adzb	15 34 00	2.381	347.		16238	02347
adqp	15 49 00	2.605	356.		16261	00356
cdqp	15 49 00	2.605	363.		16261	20363
adqp	16 11 00	3.028	353.		16303	00353
cdqp	16 11 00	3.028	360.		16303	20360
adqp	16 31 00	3.550	347.		17355	00347
cdqp	16 31 00	3.550	347.		17355	20347
19	*****					
cdqp	5 19 00	2.573	349.		5257	20349
adqp	5 19 00	2.573	345.		5257	00345
adzb	5 24 00	2.495	340.		5250	02340
adqp	5 34 00	2.354	349.		6235	00349
cdqp	5 46 00	2.205	351.		6221	20351
adqp	5 46 00	2.205	353.		6221	00353
adzb	5 55 00	2.107	338.		6211	02338
cdqp	6 01 00	2.047	350.		6205	20350
adqp	6 01 00	2.047	349.		6205	00349
cdqp	6 45 00	1.707	353.		7171	20353
adqp	6 45 00	1.707	351.		7171	00351
cdqp	7 04 00	1.600	354.		7160	20354
adqp	7 04 00	1.600	351.		7160	00351
adzb	7 07 00	1.585	344.		7159	02344
cdqp	8 21 00	1.324	358.		8132	20358
adqp	8 21 00	1.324	356.		8132	00356
adzb	8 27 00	1.310	346.		8131	02346
cdqp	8 37 00	1.288	353.		9129	20353
adqp	8 37 00	1.288	357.		9129	00357
cdqp	10 05 00	1.184	348.		10118	20348
adqp	10 05 00	1.184	352.		10118	00352
cdqp	10 27 00	1.178	342.		10118	20342
adqp	10 27 00	1.178	350.		10118	00350
cdqp	12 01 00	1.238	357.		12124	20357
adqp	12 01 00	1.238	354.		12124	00354
cdqp	12 32 00	1.293	363.		13129	20363
adqp	12 32 00	1.293	355.		13129	00355
adqp	14 37 00	1.806	351.		15181	00351
cdqp	14 37 00	1.806	361.		15181	20361
adqp	14 54 00	1.938	350.		15194	00350
cdqp	14 54 00	1.938	357.		15194	20357
adqp	15 11 00	2.097	347.		15210	00347
cdqp	15 11 00	2.097	354.		15210	20354
adqp	15 34 00	2.366	345.		16237	00345
cdqp	15 34 00	2.366	348.		16237	20348
adzc	15 51 00	2.620	335.	as	16262	05335
20	*****					
adqp	5 20 00	2.541	345.		5254	00345
adqp	5 30 00	2.395	346.		6239	00346
adqp	5 47 00	2.183	347.		6218	00347
adqp	5 57 00	2.077	349.		6208	00349
adzc	6 26 00	1.827	346.	ac	6183	04346
adzc	7 27 00	1.491	348.	ac	7149	04348
cdqp	9 18 00	1.220	366.		9122	20366
adqp	9 18 00	1.220	362.		9122	00362
cdqp	9 33 00	1.203	366.		10120	20366
adqp	9 33 00	1.203	363.		10120	00363
cdqp	10 01 00	1.183	370.		10118	20370
adqp	10 01 00	1.183	362.		10118	00362
adzb	10 05 00	1.181	353.		10118	02353
adqp	10 28 00	1.175	360.		10118	00360
cdqp	10 28 00	1.175	358.		10118	20358
adqp	10 48 00	1.177	364.		11118	00364
cdqp	10 48 00	1.177	363.		11118	20363
adqp	11 05 00	1.183	361.		11118	00361

	adqp	11 54 00	1.226	356.		12123	00356
	adzb	14 34 00	1.777	344.		15178	02344
	adqp	14 37 00	1.798	351.		15180	00351
	cdqp	14 37 00	1.798	360.		15180	20360
	adqp	14 59 00	1.972	353.		15197	00353
	cdqp	14 59 00	1.972	359.		15197	20359
	adqp	15 28 00	2.275	351.		15228	00351
	cdqp	15 28 00	2.275	359.		15228	20359
	adqp	15 50 00	2.586	350.		16259	00350
	cdqp	15 50 00	2.586	356.		16259	20356
	adzb	15 53 00	2.636	344.		16264	02344
21	*****						
	adzc	12 26 00	1.274	368.	cu	12127	05368
	adzc	12 45 00	1.314	367.	cu	13131	05367
	adzc	13 01 00	1.355	376.	cu	13136	05376
	adzb	13 16 00	1.400	388.		13140	02388
	adqp	13 30 00	1.448	384.		14145	00384
	cdqp	13 30 00	1.448	374.		14145	20374
	adzc	13 55 00	1.550	384.	ac	14155	05384
	adqp	14 04 00	1.594	378.		14159	00378
	cdqp	14 04 00	1.594	373.		14159	20373
	adzc	14 30 00	1.743	373.	cu	15174	05373
22	*****						
	adzc	9 45 00	1.188	371.	sc	10119	06371
	adzc	9 50 00	1.185	380.	sc	10118	06380
	adzc	10 03 00	1.177	372.	sc	10118	06372
23	*****						
	adzc	5 17 00	2.546	362.	cc	5255	04362
	cdqp	5 33 00	2.319	357.		6232	20357
	adqp	5 33 00	2.319	363.		6232	00363
	cdqp	5 46 00	2.164	357.		6216	20357
	adqp	5 46 00	2.164	362.		6216	00362
	adzb	5 49 00	2.131	353.		6213	02353
	cdqp	5 59 00	2.031	358.		6203	20358
	adqp	5 59 00	2.031	363.		6203	00363
	cdqp	6 15 00	1.891	358.		6189	20358
	adqp	6 15 00	1.891	362.		6189	00362
	cdqp	6 59 00	1.606	355.		7161	20355
	adqp	6 59 00	1.606	360.		7161	00360
	adzc	7 25 00	1.486	355.	cc	7149	04355
	cdqp	8 29 00	1.293	361.		8129	20361
	adqp	8 29 00	1.293	363.		8129	00363
	adqp	9 44 00	1.186	364.		10119	00364
	cdqp	9 57 00	1.178	357.		10118	20357
	adqp	9 57 00	1.178	362.		10118	00362
	adzc	10 27 00	1.168	354.	sc	10117	05354
	adzb	12 07 00	1.235	358.		12124	02358
	adzb	14 45 00	1.833	352.		15183	02352
	adqp	15 01 00	1.962	354.		15196	00354
	cdqp	15 01 00	1.962	352.		15196	20352
	adqp	15 21 00	2.158	355.		15216	00355
	cdqp	15 21 00	2.158	356.		15216	20356
	adqp	15 30 00	2.262	355.		16226	00355
	cdqp	15 30 00	2.262	352.		16226	20352
	adqp	15 52 00	2.568	355.		16257	00355
	cdqp	15 52 00	2.568	354.		16257	20354
	adqp	16 08 00	2.852	356.		16285	00356
	cdqp	16 08 00	2.852	356.		16285	20356
24	*****						
	cdqp	5 19 00	2.502	341.		5250	20341
	adqp	5 19 00	2.502	347.		5250	00347
	cdqp	5 33 00	2.308	339.		6231	20339
	adqp	5 33 00	2.308	348.		6231	00348
	cdqp	5 49 00	2.123	338.		6212	20338
	adqp	5 49 00	2.123	349.		6212	00349
	cdqp	5 59 00	2.023	340.		6202	20340
	adqp	5 59 00	2.023	348.		6202	00348
	adzb	6 03 00	1.986	341.		6199	02341
	cdqp	6 14 00	1.892	338.		6189	20338
	adqp	6 14 00	1.892	350.		6189	00350
	adqp	6 20 00	1.845	349.		6185	00349
	adzc	7 33 00	1.451	338.	cs	8145	03338
	adzc	8 00 00	1.363	339.	as	8136	05339
	adzc	10 45 00	1.166	346.	as	11117	05346
	adzc	14 39 00	1.782	353.	as	15178	06353
	adzc	15 22 00	2.158	348.	as	15216	06348
	adzc	15 50 00	2.521	361.	as	16252	06361

25	*****						
	adzc	5 21 00	2.461	362.	as	5246	05362
	adzc	5 29 00	2.350	364.	as	5235	05364
	adzc	5 47 00	2.136	361.	as	6214	05361
	adzc	6 00 00	2.006	363.	as	6201	05363
	adzc	6 27 00	1.788	362.	as	6179	05362
	adzc	7 01 00	1.586	366.	as	7159	05366
	adzc	7 13 00	1.530	363.	sc	7153	06363
26	*****						
	adqp	5 16 00	2.524	356.		5252	00356
	cdqp	5 19 00	2.479	353.		5248	20353
	adqp	5 19 00	2.479	356.		5248	00356
	adzb	5 23 00	2.421	350.		5242	02350
	cdqp	5 40 00	2.205	349.		6220	20349
	adqp	5 40 00	2.205	356.		6220	00356
	cdqp	6 03 00	1.972	354.		6197	20354
	adqp	6 03 00	1.972	357.		6197	00357
	adqp	6 30 00	1.763	358.		7176	00358
	adzc	7 10 00	1.539	346.	cc	7154	04346
	adqp	7 17 00	1.508	357.		7151	00357
	cdqp	8 09 00	1.332	367.		8133	20367
	adqp	8 09 00	1.332	360.		8133	00360
	adzb	8 13 00	1.322	352.		8132	02352
	cdqp	8 29 00	1.285	364.		8128	20364
	adqp	8 29 00	1.285	361.		8128	00361
	adzb	8 36 00	1.270	352.		9127	02352
	cdqp	8 39 00	1.265	373.		9126	20373
	adqp	8 39 00	1.265	362.		9126	00362
	adqp	10 17 00	1.163	362.		10116	00362
	adzc	10 33 00	1.161	344.	sc	11116	05344
	adzc	15 26 00	2.181	372.	sc	15218	06372
	adzc	16 04 00	2.721	354.	cu	16272	06354
27	*****						
	adzc	12 19 00	1.244	366.	sc	12124	06366
	adzc	12 24 00	1.253	372.	sc	12125	06372
	adzc	12 30 00	1.264	369.	sc	13126	06369
	adzc	12 39 00	1.282	376.	sc	13128	06376
28	*****						
	cdqp	6 13 00	1.876	398.		6188	20398
	adqp	6 13 00	1.876	405.		6188	00405
	cdqp	6 25 00	1.787	399.		6179	20399
	adqp	6 25 00	1.787	406.		6179	00406
	cdqp	6 29 00	1.760	401.		6176	20401
	adqp	6 29 00	1.760	408.		6176	00408
	adzb	6 47 00	1.649	402.		7165	02402
	cdqp	6 50 00	1.632	397.		7163	20397
	adqp	6 50 00	1.632	406.		7163	00406
	cdqp	7 27 00	1.461	395.		7146	20395
	adqp	7 27 00	1.461	407.		7146	00407
	adzb	7 30 00	1.450	409.		8145	02409
	cdqp	7 54 00	1.369	403.		8137	20403
	adqp	7 54 00	1.369	412.		8137	00412
	cdqp	8 18 00	1.305	396.		8130	20396
	adqp	8 18 00	1.305	412.		8130	00412
	cdqp	8 50 00	1.240	421.		9124	20421
	adqp	8 50 00	1.240	420.		9124	00420
	cdqp	9 06 00	1.216	421.		9122	20421
	adqp	9 06 00	1.216	424.		9122	00424
	cdqp	9 26 00	1.192	419.		9119	20419
	adqp	9 26 00	1.192	421.		9119	00421
	adzb	9 40 00	1.179	425.		10118	02425
	cdqp	9 43 00	1.177	424.		10118	20424
	adqp	9 43 00	1.177	423.		10118	00423
29	*****						
	adzc	10 46 00	1.156	383.	sc	11116	06383
	cdqp	11 15 00	1.168	405.		11117	20405
	adqp	11 15 00	1.168	400.		11117	00400
	cdqp	13 24 00	1.396	404.		13140	20404
	adqp	13 24 00	1.396	396.		13140	00396
	adzc	14 56 00	1.873	386.	sc	15187	06386
	adzc	15 15 00	2.039	400.	sc	15204	06400
	adzc	15 55 00	2.526	402.	sc	16253	06402
30	*****						
	adzc	12 57 00	1.315	408.	sc	13132	06408
	adzc	13 10 00	1.350	403.	sc	13135	06403
31	*****						
	cdqp	5 09 00	2.583	373.		5258	20373

adqp	5 09 00	2.583	372.		5258	00372
adzb	5 12 00	2.536	365.		5254	02365
cdqp	5 21 00	2.404	367.		5240	20367
adqp	5 21 00	2.404	373.		5240	00373
cdqp	5 46 00	2.105	371.		6210	20371
adqp	5 46 00	2.105	375.		6210	00375
cdqp	5 58 00	1.988	377.		6199	20377
adqp	5 58 00	1.988	376.		6199	00376
adzb	6 01 00	1.961	365.		6196	02365
cdqp	6 27 00	1.761	378.		6176	20378
adqp	6 27 00	1.761	376.		6176	00376
cdqp	7 02 00	1.561	378.		7156	20378
adqp	7 02 00	1.561	377.		7156	00377
cdqp	8 21 00	1.292	387.		8129	20387
adqp	8 21 00	1.292	382.		8129	00382
adzb	8 28 00	1.276	378.		8128	02378
adqp	8 33 00	1.266	384.		9127	00384
cdqp	9 46 00	1.169	373.		10117	20373
adqp	9 46 00	1.169	379.		10117	00379
adzb	9 52 00	1.165	371.		10117	02371
cdqp	10 15 00	1.155	366.		10115	20366
adqp	10 15 00	1.155	379.		10115	00379
cdqp	10 38 00	1.152	360.		11115	20360
adqp	10 38 00	1.152	377.		11115	00377
cdqp	11 28 00	1.173	377.		11117	20377
adqp	11 28 00	1.173	381.		11117	00381
cdqp	12 32 00	1.258	384.		13126	20384
adqp	12 32 00	1.258	379.		13126	00379
adqp	14 30 00	1.683	373.	cu	15168	00373
adz c	14 45 00	1.779	357.	cu	15178	05357
adqp	15 03 00	1.916	372.		15192	00372
cdqp	15 03 00	1.916	370.		15192	20370
adqp	15 20 00	2.071	375.		15207	00375
cdqp	15 20 00	2.071	377.		15207	20377
adqp	15 36 00	2.246	379.		16225	00379
cdqp	15 36 00	2.246	385.		16225	20385
adqp	15 55 00	2.500	373.		16250	00373
cdqp	15 55 00	2.500	370.		16250	20370
adqp	16 07 00	2.695	368.		16269	00368
cdqp	16 07 00	2.695	370.		16269	20370

End of total ozone observations computation for May 2022

Total Ozone Observations on Inst. No. 84
at Belsk, Poland

June 2022

Date	Type	GMT	MU	XOZ	CLS	GGMM	LSXXX
1	*****						
	adqp	9 33 00	1.178	388.		10118	00388
	adqp	9 39 00	1.173	395.		10117	00395
	cdqp	10 09 00	1.155	406.		10116	20406
	adqp	10 09 00	1.155	390.		10116	00390
	cdqp	10 12 00	1.154	400.		10115	20400
	adqp	10 12 00	1.154	388.		10115	00388
	adqp	10 47 00	1.152	383.		11115	00383
	adqp	11 55 00	1.198	375.		12120	00375
	cdqp	12 29 00	1.250	369.		12125	20369
	adqp	12 29 00	1.250	375.		12125	00375
	adzb	12 34 00	1.259	373.		13126	02373
	cdqp	12 47 00	1.287	363.		13129	20363
	adqp	12 47 00	1.287	372.		13129	00372
	adzb	12 52 00	1.298	369.		13130	02369
	cdqp	13 34 00	1.420	376.		14142	20376
	adqp	13 34 00	1.420	375.		14142	00375
	cdqp	14 02 00	1.532	373.		14153	20373
	adqp	14 02 00	1.532	369.		14153	00369
	cdqp	14 27 00	1.660	373.		14166	20373
	adqp	14 27 00	1.660	368.		14166	00368
	adz c	14 57 00	1.861	363.	sc	15186	06363
	adz c	15 15 00	2.015	375.	sc	15201	06375
	adqp	15 33 00	2.201	364.		16220	00364
	cdqp	15 33 00	2.201	361.		16220	20361
	adqp	15 44 00	2.335	363.		16234	00363
	cdqp	15 44 00	2.335	360.		16234	20360
	adqp	16 06 00	2.663	361.		16266	00361

	cdqp	16 06 00	2.663	360.		16266	20360
2	*****						
	cdqp	6 33 00	1.715	354.		7172	20354
	adqp	6 33 00	1.715	353.		7172	00353
	cdqp	7 07 00	1.532	360.		7153	20360
	adqp	7 07 00	1.532	354.		7153	00354
	cdqp	7 14 00	1.501	361.		7150	20361
	adqp	7 14 00	1.501	356.		7150	00356
	cdqp	7 32 00	1.430	365.		8143	20365
	adqp	7 32 00	1.430	357.		8143	00357
	cdqp	9 44 00	1.168	373.		10117	20373
	adqp	9 44 00	1.168	359.		10117	00359
	cdqp	9 55 00	1.160	363.		10116	20363
	adqp	9 55 00	1.160	358.		10116	00358
	cdqp	10 25 00	1.150	366.		10115	20366
	adqp	10 25 00	1.150	359.		10115	00359
	cdqp	10 37 00	1.149	366.		11115	20366
	adqp	10 37 00	1.149	362.		11115	00362
	adqp	13 58 00	1.510	386.		14151	00386
	cdqp	13 58 00	1.510	381.		14151	20381
	adzsb	14 04 00	1.537	387.		14154	02387
	adqp	14 32 00	1.685	386.		15169	00386
	cdqp	14 32 00	1.685	391.		15169	20391
	adqp	14 49 00	1.796	380.		15180	00380
	cdqp	14 49 00	1.796	381.		15180	20381
	adzsb	14 55 00	1.840	374.		15184	02374
	adqp	15 30 00	2.159	379.		16216	00379
	cdqp	15 30 00	2.159	382.		16216	20382
	adqp	15 50 00	2.405	375.		16241	00375
	cdqp	15 50 00	2.405	375.		16241	20375
	adqp	16 09 00	2.701	372.		16270	00372
	cdqp	16 09 00	2.701	374.		16270	20374
3	*****						
	cdqp	5 06 00	2.608	341.		5261	20341
	adqp	5 06 00	2.608	342.		5261	00342
	adzsb	5 09 00	2.560	336.		5256	02336
	cdqp	5 24 00	2.344	338.		5234	20338
	adqp	5 24 00	2.344	343.		5234	00343
	cdqp	5 43 00	2.121	338.		6212	20338
	adqp	5 43 00	2.121	343.		6212	00343
	cdqp	5 52 00	2.031	345.		6203	20345
	adqp	5 52 00	2.031	347.		6203	00347
	adzsb	6 00 00	1.958	337.		6196	02337
	cdqp	6 14 00	1.843	344.		6184	20344
	adqp	6 14 00	1.843	345.		6184	00345
	cdqp	7 20 00	1.474	341.		7147	20341
	adqp	7 20 00	1.474	347.		7147	00347
	adzsb	7 25 00	1.454	349.		7145	02349
	cdqp	7 30 00	1.436	349.		8144	20349
	adqp	7 30 00	1.436	348.		8144	00348
	cdqp	7 51 00	1.366	348.		8137	20348
	adqp	7 51 00	1.366	350.		8137	00350
	cdqp	8 28 00	1.272	344.		8127	20344
	adqp	8 28 00	1.272	349.		8127	00349
	cdqp	10 24 00	1.149	336.		10115	20336
	adqp	10 24 00	1.149	344.		10115	00344
	cdqp	11 00 00	1.152	345.		11115	20345
	adqp	11 00 00	1.152	345.		11115	00345
	cdqp	14 30 00	1.669	342.		15167	20342
	adqp	14 30 00	1.669	344.		15167	00344
	adqp	14 50 00	1.798	349.		15180	00349
	cdqp	14 50 00	1.798	339.		15180	20339
	adqp	15 10 00	1.956	347.		15196	00347
	cdqp	15 10 00	1.956	351.		15196	20351
	adzsb	15 14 00	1.991	341.		15199	02341
	adqp	15 31 00	2.162	351.		16216	00351
	adqp	15 49 00	2.381	348.		16238	00348
	cdqp	15 49 00	2.381	356.		16238	20356
	adqp	16 07 00	2.654	343.		16265	00343
	cdqp	16 07 00	2.654	344.		16265	20344
	adqp	16 25 00	2.998	345.		16300	00345
	cdqp	16 25 00	2.998	347.		16300	20347
	adqp	16 45 00	3.500	333.		17350	00333
	cdqp	16 45 00	3.500	349.		17350	20349
4	*****						
	adzsc	7 34 00	1.420	331.	as	8142	06331
	adzsc	8 03 00	1.330	356.	as	8133	06356

	adz	8 23 00	1.281	341.	as	8128	06341
	adz	8 42 00	1.243	337.	ac	9124	06337
5	*****						
	cdqp	10 17 00	1.147	376.		10115	20376
	adqp	10 17 00	1.147	359.		10115	00359
	cdqp	10 47 00	1.146	371.		11115	20371
	adqp	10 47 00	1.146	360.		11115	00360
	cdqp	11 30 00	1.166	364.		12117	20364
	adqp	11 30 00	1.166	357.		12117	00357
	cdqp	12 52 00	1.289	356.		13129	20356
	adqp	12 52 00	1.289	352.		13129	00352
	cdqp	13 45 00	1.448	359.		14145	20359
	adqp	13 45 00	1.448	347.		14145	00347
	cdqp	14 36 00	1.696	346.		15170	20346
	adqp	14 36 00	1.696	341.		15170	00341
	cdqp	15 13 00	1.969	343.		15197	20343
	adqp	15 13 00	1.969	338.		15197	00338
	cdqp	15 27 00	2.104	344.		15210	20344
	adqp	15 27 00	2.104	338.		15210	00338
	cdqp	16 06 00	2.613	337.		16261	20337
	adqp	16 06 00	2.613	332.		16261	00332
6	*****						
	adqp	5 17 00	2.424	317.		5242	00317
	adqp	5 30 00	2.255	320.		6225	00320
	adqp	5 48 00	2.059	321.		6206	00321
	adqp	6 09 00	1.873	323.		6187	00323
	adqp	6 34 00	1.699	322.		7170	00322
	cdqp	8 05 00	1.322	310.		8132	20310
	adqp	8 05 00	1.322	319.		8132	00319
	cdqp	8 22 00	1.281	309.		8128	20309
	adqp	8 22 00	1.281	319.		8128	00319
	cdqp	9 02 00	1.208	315.		9121	20315
	adqp	9 02 00	1.208	319.		9121	00319
	cdqp	10 51 00	1.146	324.		11115	20324
	adqp	10 51 00	1.146	331.		11115	00331
	cdqp	11 30 00	1.165	335.		12117	20335
	adqp	11 30 00	1.165	325.		12117	00325
	adzb	11 33 00	1.168	319.		12117	02319
	cdqp	12 18 00	1.222	323.		12122	20323
	adqp	12 18 00	1.222	326.		12122	00326
	adqp	14 30 00	1.656	331.		15166	00331
	cdqp	14 30 00	1.656	328.		15166	20328
	adqp	14 47 00	1.762	322.		15176	00322
	cdqp	14 47 00	1.762	327.		15176	20327
	adqp	15 03 00	1.880	330.		15188	00330
	cdqp	15 03 00	1.880	338.		15188	20338
	adqp	15 21 00	2.037	322.		15204	00322
	cdqp	15 21 00	2.037	330.		15204	20330
	adz	15 48 00	2.339	314.		16234	04314
	adqp	16 08 00	2.634	323.		16263	00323
7	*****						
	adzb	5 16 00	2.434	302.		5243	02302
	adqp	5 20 00	2.378	304.		5238	00304
	cdqp	5 42 00	2.117	304.		6212	20304
	adqp	5 42 00	2.117	307.		6212	00307
	cdqp	6 01 00	1.937	307.		6194	20307
	adqp	6 01 00	1.937	308.		6194	00308
	adqp	6 25 00	1.755	309.		6175	00309
	cdqp	7 58 00	1.340	317.		8134	20317
	adqp	7 58 00	1.340	319.		8134	00319
	cdqp	8 11 00	1.305	311.		8131	20311
	adqp	8 11 00	1.305	320.		8131	00320
	adzb	8 14 00	1.298	315.		8130	02315
	cdqp	8 41 00	1.241	319.		9124	20319
	adqp	8 41 00	1.241	318.		9124	00318
	cdqp	9 24 00	1.180	321.		9118	20321
	adqp	9 24 00	1.180	317.		9118	00317
	adz	11 26 00	1.161	337.	sc	11116	06337
	adz	12 01 00	1.196	321.	ac	12120	06321
	adqp	14 33 00	1.670	318.		15167	00318
	cdqp	14 33 00	1.670	322.		15167	20322
	adzb	14 52 00	1.792	313.		15179	02313
	adqp	15 15 00	1.975	317.		15198	00317
	cdqp	15 15 00	1.975	324.		15198	20324
	adzb	15 38 00	2.209	315.		16221	02315
	adz	16 02 00	2.528	311.	as	16253	05311
	adz	16 09 00	2.640	314.	as	16264	05314

8	*****						
	adzc	7 41 00	1.390	326.	ac	8139	05326
	adzc	7 47 00	1.371	318.	ac	8137	05318
	adzc	9 17 00	1.187	318.	sc	9119	05318
	adzc	9 30 00	1.173	319.	ac	10117	05319
	adzc	14 57 00	1.824	326.	sc	15182	06326
	adzc	15 16 00	1.979	319.	sc	15198	05319
	adqp	15 46 00	2.297	322.		16230	00322
	adqp	16 00 00	2.488	321.		16249	00321
	cdqp	16 00 00	2.488	320.		16249	20320
	adqp	16 11 00	2.663	324.		16266	00324
	cdqp	16 11 00	2.663	322.		16266	20322
9	*****						
	adzc	7 40 00	1.393	347.	ac	8139	05347
	adzc	7 45 00	1.377	345.	ac	8138	05345
	adqp	10 27 00	1.141	328.		10114	00328
	adqp	10 30 00	1.141	331.		11114	00331
	cdqp	10 48 00	1.142	336.		11114	20336
	adqp	10 48 00	1.142	332.		11114	00332
	cdqp	11 15 00	1.152	339.		11115	20339
	adqp	11 15 00	1.152	331.		11115	00331
	cdqp	11 35 00	1.166	342.		12117	20342
	adqp	11 35 00	1.166	333.		12117	00333
	adzb	11 38 00	1.168	326.		12117	02326
	adzc	14 30 00	1.645	323.	as	15165	06323
	adzc	14 45 00	1.736	336.	sc	15174	06336
	adzc	15 05 00	1.881	344.	sc	15188	06344
	adzc	15 25 00	2.058	373.	sc	15206	06373
10	*****						
	adzc	5 20 00	2.369	334.	as	5237	06334
	adzc	5 47 00	2.059	332.	as	6206	06332
	adzc	6 09 00	1.866	333.	sc	6187	06333
	adzc	8 07 00	1.313	326.	sc	8131	05326
	adzc	8 33 00	1.254	322.	ac	9125	05322
	adqp	8 48 00	1.226	327.		9123	00327
	adqp	8 55 00	1.215	329.		9122	00329
	adqp	8 57 00	1.212	330.		9121	00330
	adqp	9 43 00	1.160	331.		10116	00331
	adqp	10 59 00	1.144	331.		11114	00331
	cdqp	11 15 00	1.151	328.		11115	20328
	adqp	11 15 00	1.151	326.		11115	00326
	cdqp	11 29 00	1.160	322.		11116	20322
	adqp	11 29 00	1.160	325.		11116	00325
	adzb	12 17 00	1.214	327.		12121	02327
	adzc	14 31 00	1.648	339.	cu	15165	05339
	adqp	14 47 00	1.746	332.		15175	00332
	cdqp	14 47 00	1.746	326.		15175	20326
	adzc	15 11 00	1.925	326.	cu	15193	05326
	adzc	15 37 00	2.177	335.		16218	05335
	adzb	15 55 00	2.400	332.		16240	02332
	adzc	16 09 00	2.610	327.	cu	16261	04327
11	*****						
	adqp	6 16 00	1.812	344.		6181	00344
	adzb	6 19 00	1.790	335.		6179	02335
	cdqp	6 25 00	1.749	345.		6175	20345
	adqp	6 25 00	1.749	340.		6175	00340
	cdqp	6 52 00	1.591	349.		7159	20349
	adqp	6 52 00	1.591	339.		7159	00339
	cdqp	7 41 00	1.388	344.		8139	20344
	adqp	7 41 00	1.388	337.		8139	00337
	adzb	7 52 00	1.354	335.		8135	02335
	adqp	8 33 00	1.253	340.		9125	00340
	cdqp	9 07 00	1.197	349.		9120	20349
	adqp	9 07 00	1.197	337.		9120	00337
12	*****						
	adqp	13 31 00	1.383	332.		14138	00332
	adzc	14 00 00	1.490	340.	cu	14149	04340
	adqp	14 12 00	1.544	326.		14154	00326
	cdqp	14 12 00	1.544	331.		14154	20331
	adqp	14 26 00	1.614	329.		14161	00329
	cdqp	14 26 00	1.614	340.		14161	20340
	adzb	14 46 00	1.732	329.		15173	02329
	adqp	15 11 00	1.916	326.		15192	00326
	cdqp	15 11 00	1.916	331.		15192	20331
	adqp	15 37 00	2.166	324.		16217	00324
	cdqp	15 37 00	2.166	323.		16217	20323
	adqp	15 58 00	2.427	322.		16243	00322

	cdqp	15 58 00	2.427	326.		16243	20326
	adqp	16 10 00	2.609	325.		16261	00325
	cdqp	16 10 00	2.609	330.		16261	20330
13	*****						
	adzc	8 32 00	1.254	354.	sc	9125	06354
14	*****						
	cdqp	5 17 00	2.405	347.		5240	20347
	adqp	5 17 00	2.405	348.		5240	00348
	adzb	5 20 00	2.364	341.		5236	02341
	adqp	5 30 00	2.239	352.		6224	00352
	cdqp	5 40 00	2.127	344.		6213	20344
	adqp	5 40 00	2.127	352.		6213	00352
	cdqp	6 00 00	1.936	341.		6194	20341
	adqp	6 00 00	1.936	350.		6194	00350
	adqp	6 37 00	1.672	349.		7167	00349
	adqp	7 04 00	1.531	351.		7153	00351
	adqp	8 52 00	1.218	347.		9122	00347
	cdqp	9 01 00	1.204	336.		9120	20336
	adqp	9 01 00	1.204	348.		9120	00348
	adzb	9 03 00	1.201	350.		9120	02350
	cdqp	9 23 00	1.176	343.		9118	20343
	adqp	9 23 00	1.176	349.		9118	00349
	adzc	10 43 00	1.138	344.	sc	11114	06344
	cdqp	11 12 00	1.146	339.		11115	20339
	adqp	11 12 00	1.146	346.		11115	00346
	adzc	12 33 00	1.236	341.	sc	13124	06341
	adzc	14 43 00	1.707	340.	cu	15171	05340
	adzc	15 06 00	1.868	348.	ac	15187	05348
	adzc	15 29 00	2.072	352.	ac	15207	05352
	adzc	15 58 00	2.414	342.	ac	16241	05342
	adzc	16 13 00	2.643	345.	ac	16264	05345
15	*****						
	cdqp	7 26 00	1.439	340.		7144	20340
	adqp	7 26 00	1.439	336.		7144	00336
	cdqp	7 32 00	1.417	336.		8142	20336
	adqp	7 32 00	1.417	334.		8142	00334
	adqp	8 08 00	1.308	339.		8131	00339
	cdqp	8 46 00	1.228	349.		9123	20349
	adqp	8 46 00	1.228	343.		9123	00343
	cdqp	9 10 00	1.192	358.		9119	20358
	adqp	9 10 00	1.192	348.		9119	00348
	cdqp	9 30 00	1.169	358.		10117	20358
	adqp	9 30 00	1.169	348.		10117	00348
	adzc	10 45 00	1.137	334.	ac	11114	05334
	adqp	10 56 00	1.139	356.		11114	00356
	cdqp	11 12 00	1.145	371.		11115	20371
	adqp	11 12 00	1.145	352.		11115	00352
	cdqp	11 15 00	1.147	365.		11115	20365
	adqp	11 15 00	1.147	351.		11115	00351
	adzb	12 30 00	1.230	351.		13123	02351
	cdqp	13 04 00	1.302	357.		13130	20357
	adqp	13 04 00	1.302	358.		13130	00358
	adzb	13 09 00	1.314	353.		13131	02353
	adqp	13 16 00	1.333	353.		13133	00353
	cdqp	13 16 00	1.333	347.		13133	20347
	adzc	14 45 00	1.717	344.	as	15172	05344
	adzc	14 58 00	1.805	345.	as	15181	05345
	adzc	15 16 00	1.947	346.	ac	15195	05346
	adzc	15 38 00	2.162	350.	ac	16216	05350
	adqp	15 55 00	2.367	347.		16237	00347
	adqp	16 11 00	2.603	347.		16260	00347
16	*****						
	adzc	10 08 00	1.143	338.	cs	10114	06338
	adzc	11 10 00	1.144	332.	cs	11114	06332
	adzc	12 11 00	1.199	334.	cs	12120	06334
	adzc	13 16 00	1.332	339.	cc	13133	06339
	adzc	15 13 00	1.919	368.	cs	15192	06368
	adzc	15 22 00	1.997	357.	cs	15200	06357
17	*****						
	adqp	5 09 00	2.521	355.		5252	00355
	cdqp	5 19 00	2.378	354.		5238	20354
	adqp	5 19 00	2.378	357.		5238	00357
	adzb	5 22 00	2.339	345.		5234	02345
	cdqp	5 45 00	2.076	355.		6208	20355
	adqp	5 45 00	2.076	358.		6208	00358
	cdqp	6 02 00	1.920	360.		6192	20360
	adqp	6 02 00	1.920	357.		6192	00357

	adzb	6 05 00	1.895	346.		6190	02346
	cdqp	6 17 00	1.804	355.		6180	20355
	adqp	6 17 00	1.804	357.		6180	00357
	cdqp	6 49 00	1.606	351.		7161	20351
	adqp	6 49 00	1.606	354.		7161	00354
	cdqp	8 09 00	1.306	351.		8131	20351
	adqp	8 09 00	1.306	357.		8131	00357
	adqp	8 24 00	1.271	354.		8127	00354
	cdqp	8 45 00	1.229	352.		9123	20352
	adqp	8 45 00	1.229	356.		9123	00356
	adzb	9 03 00	1.201	351.		9120	02351
	cdqp	9 40 00	1.160	361.		10116	20361
	adqp	9 40 00	1.160	362.		10116	00362
	cdqp	10 39 00	1.136	357.		11114	20357
	adqp	10 39 00	1.136	362.		11114	00362
	adqp	14 30 00	1.624	355.		15162	00355
	cdqp	14 30 00	1.624	355.		15162	20355
	adqp	14 52 00	1.758	353.		15176	00353
	cdqp	14 52 00	1.758	355.		15176	20355
	adz c	15 40 00	2.176	347.	cu	16218	05347
	adqp	15 42 00	2.198	345.		16220	00345
	adzb	15 58 00	2.398	343.		16240	02343
	adqp	16 04 00	2.483	343.		16248	00343
	cdqp	16 04 00	2.483	341.		16248	20341
	adqp	16 16 00	2.674	343.		16267	00343
	cdqp	16 16 00	2.674	348.		16267	20348
18	*****						
	adzc	10 31 00	1.136	300.	cc	11114	04300
	adqp	10 36 00	1.136	322.		11114	00322
	adqp	10 41 00	1.136	321.		11114	00321
	adqp	10 47 00	1.137	320.		11114	00320
19	*****						
	adqp	13 55 00	1.458	315.		14146	00315
	cdqp	13 55 00	1.458	318.		14146	20318
	adqp	14 22 00	1.579	311.		14158	00311
	cdqp	14 22 00	1.579	315.		14158	20315
	adqp	14 40 00	1.678	311.		15168	00311
	cdqp	14 40 00	1.678	318.		15168	20318
	adqp	15 02 00	1.824	312.		15182	00312
	cdqp	15 02 00	1.824	311.		15182	20311
	adqp	15 22 00	1.988	312.		15199	00312
	cdqp	15 22 00	1.988	315.		15199	20315
	adqp	15 44 00	2.214	309.		16221	00309
	cdqp	15 44 00	2.214	313.		16221	20313
	adqp	16 01 00	2.431	311.		16243	00311
	cdqp	16 01 00	2.431	314.		16243	20314
	adqp	16 13 00	2.613	311.		16261	00311
	cdqp	16 13 00	2.613	304.		16261	20304
20	*****						
	adqp	5 22 00	2.344	297.		5234	00297
	adzb	5 51 00	2.021	297.		6202	02297
	adqp	5 53 00	2.003	304.		6200	00304
	adqp	5 55 00	1.984	299.		6198	00299
	adzb	5 58 00	1.958	297.		6196	02297
	cdqp	6 01 00	1.932	298.		6193	02298
	adqp	6 01 00	1.932	298.		6193	00298
	cdqp	6 08 00	1.874	297.		6187	20297
	adqp	6 08 00	1.874	299.		6187	00299
	adqp	6 30 00	1.718	300.		7172	00300
	cdqp	6 45 00	1.629	301.		7163	20301
	adqp	6 45 00	1.629	300.		7163	00300
	cdqp	7 33 00	1.415	301.		8142	20301
	adqp	7 33 00	1.415	300.		8142	00300
	cdqp	8 01 00	1.328	307.		8133	20307
	adqp	8 01 00	1.328	309.		8133	00309
	adzb	8 05 00	1.317	303.		8132	02303
	cdqp	9 07 00	1.196	306.		9120	20306
	adqp	9 07 00	1.196	309.		9120	00309
	adzb	9 12 00	1.189	303.		9119	02303
	cdqp	9 26 00	1.173	312.		9117	20312
	adqp	9 26 00	1.173	310.		9117	00310
	adqp	10 39 00	1.136	312.		11114	00312
	cdqp	10 39 00	1.136	309.		11114	20309
	adz c	15 15 00	1.925	304.	cs	15192	05304
	adz c	15 34 00	2.102	311.	as	16210	05311
21	*****						
	adzc	5 10 00	2.515	393.	sc	5251	06393

adqp	5 35 00	2.188	370.		6219	00370
adqp	5 38 00	2.155	373.		6216	00373
adqp	5 40 00	2.134	375.		6213	00375
adqp	5 53 00	2.005	375.		6200	00375
adz c	6 24 00	1.759	368.	ac	6176	06368
adqp	9 27 00	1.172	382.		9117	00382
cdqp	9 30 00	1.169	382.		10117	20382
adqp	9 30 00	1.169	384.		10117	00384
adqp	9 32 00	1.167	384.		10117	00384
adqp	10 11 00	1.141	388.		10114	00388
cdqp	11 06 00	1.141	375.		11114	20375
adqp	11 06 00	1.141	379.		11114	00379
cdqp	11 14 00	1.144	381.		11114	20381
adqp	11 14 00	1.144	380.		11114	00380
cdqp	11 27 00	1.152	388.		11115	20388
adqp	11 27 00	1.152	384.		11115	00384
adz c	15 18 00	1.949	363.	cu	15195	05363
adz b	15 43 00	2.197	356.		16220	02356
adqp	15 46 00	2.232	371.		16223	00371
adqp	16 04 00	2.467	368.		16247	00368
cdqp	16 04 00	2.467	368.		16247	20368
adqp	16 17 00	2.672	371.		16267	00371
cdqp	16 17 00	2.672	364.		16267	20364
22	*****					
cdqp	5 39 00	2.147	326.		6215	20326
adqp	5 39 00	2.147	324.		6215	00324
cdqp	5 50 00	2.035	326.		6204	20326
adqp	5 50 00	2.035	326.		6204	00326
adz b	5 55 00	1.988	319.		6199	02319
cdqp	6 03 00	1.919	327.		6192	20327
adqp	6 03 00	1.919	325.		6192	00325
cdqp	6 24 00	1.760	328.		6176	20328
adqp	6 24 00	1.760	325.		6176	00325
adz b	6 30 00	1.721	320.		7172	02320
cdqp	6 41 00	1.654	325.		7165	20325
adqp	6 41 00	1.654	325.		7165	00325
cdqp	7 20 00	1.466	328.		7147	20328
adqp	7 20 00	1.466	326.		7147	00326
adz b	7 24 00	1.450	320.		7145	02320
cdqp	7 44 00	1.380	329.		8138	20329
adqp	7 44 00	1.380	329.		8138	00329
cdqp	8 04 00	1.321	332.		8132	20332
adqp	8 04 00	1.321	330.		8132	00330
cdqp	9 33 00	1.166	331.		10117	20331
adqp	9 33 00	1.166	329.		10117	00329
cdqp	10 02 00	1.145	330.		10115	20330
adqp	10 02 00	1.145	328.		10115	00328
adz b	10 05 00	1.144	330.		10114	02330
cdqp	10 35 00	1.136	329.		11114	20329
adqp	10 35 00	1.136	332.		11114	00332
cdqp	12 34 00	1.233	323.		13123	20323
adqp	12 34 00	1.233	338.		13123	00338
adqp	14 30 00	1.617	339.		15162	00339
cdqp	14 30 00	1.617	337.		15162	20337
adqp	14 43 00	1.692	337.		15169	00337
cdqp	14 43 00	1.692	337.		15169	20337
adqp	15 13 00	1.905	339.		15190	00339
cdqp	15 13 00	1.905	341.		15190	20341
adqp	15 30 00	2.058	337.		16206	00337
cdqp	15 30 00	2.058	346.		16206	20346
adqp	15 52 00	2.302	341.		16230	00341
cdqp	15 52 00	2.302	340.		16230	20340
adqp	16 17 00	2.669	338.		16267	00338
cdqp	16 17 00	2.669	334.		16267	20334
23	*****					
adz b	5 17 00	2.420	338.		5242	02338
adqp	5 21 00	2.366	345.		5237	00345
adqp	5 31 00	2.240	346.		6224	00346
cdqp	5 45 00	2.087	343.		6209	20343
adqp	5 45 00	2.087	345.		6209	00345
adqp	7 09 00	1.514	346.		7151	00346
cdqp	7 25 00	1.447	343.		7145	20343
adqp	7 25 00	1.447	343.		7145	00343
adz b	7 29 00	1.432	339.		7143	02339
cdqp	7 54 00	1.350	352.		8135	20352
adqp	7 54 00	1.350	346.		8135	00346
cdqp	8 34 00	1.252	349.		9125	20349

adqp	8 34 00	1.252	344.	9125	00344
cdqp	8 59 00	1.208	355.	9121	20355
adqp	8 59 00	1.208	344.	9121	00344
adqp	10 35 00	1.136	343.	11114	00343
cdqp	11 02 00	1.139	350.	11114	20350
adqp	11 02 00	1.139	340.	11114	00340
adqp	14 31 00	1.622	339.	15162	00339
cdqp	14 31 00	1.622	337.	15162	20337
adzb	14 45 00	1.703	342.	15170	02342
adzb	14 52 00	1.748	342.	15175	02342
adqp	15 22 00	1.981	342.	15198	00342
cdqp	15 22 00	1.981	348.	15198	20348
adqp	15 47 00	2.239	345.	16224	00345
cdqp	15 47 00	2.239	350.	16224	20350
adqp	16 02 00	2.433	343.	16243	00343
cdqp	16 02 00	2.433	344.	16243	20344
adzc	16 20 00	2.718	348.	16272	05348
24	*****				
cdqp	5 14 00	2.467	335.	5247	20335
adqp	5 14 00	2.467	334.	5247	00334
cdqp	5 24 00	2.330	337.	5233	20337
adqp	5 24 00	2.330	338.	5233	00338
cdqp	5 39 00	2.153	335.	6215	20335
adqp	5 39 00	2.153	336.	6215	00336
adzb	5 42 00	2.121	329.	6212	02329
cdqp	5 54 00	2.003	334.	6200	20334
adqp	5 54 00	2.003	335.	6200	00335
cdqp	6 17 00	1.814	336.	6181	20336
adqp	6 17 00	1.814	336.	6181	00336
adzb	6 28 00	1.737	330.	6174	02330
cdqp	6 31 00	1.718	336.	7172	20336
adqp	6 31 00	1.718	337.	7172	00337
cdqp	7 34 00	1.415	337.	8142	20337
adqp	7 34 00	1.415	341.	8142	00341
cdqp	7 44 00	1.381	336.	8138	20336
adqp	7 44 00	1.381	340.	8138	00340
adzb	7 47 00	1.372	336.	8137	02336
cdqp	8 14 00	1.297	347.	8130	20347
adqp	8 14 00	1.297	347.	8130	00347
cdqp	8 42 00	1.237	350.	9124	20350
adqp	8 42 00	1.237	350.	9124	00350
cdqp	10 01 00	1.146	358.	10115	20358
adqp	10 01 00	1.146	354.	10115	00354
cdqp	10 31 00	1.136	359.	11114	20359
adqp	10 31 00	1.136	354.	11114	00354
cdqp	11 47 00	1.168	366.	12117	20366
adqp	11 47 00	1.168	355.	12117	00355
cdqp	12 28 00	1.222	358.	12122	20358
adqp	12 28 00	1.222	355.	12122	00355
adqp	14 30 00	1.616	355.	15162	00355
cdqp	14 30 00	1.616	354.	15162	20354
adqp	14 50 00	1.734	354.	15173	00354
cdqp	14 50 00	1.734	358.	15173	20358
adqp	15 12 00	1.894	353.	15189	00353
cdqp	15 12 00	1.894	357.	15189	20357
adqp	15 32 00	2.075	344.	16207	00344
cdqp	15 32 00	2.075	349.	16207	20349
adqp	16 02 00	2.432	346.	16243	00346
cdqp	16 02 00	2.432	346.	16243	20346
adqp	16 20 00	2.716	343.	16272	00343
cdqp	16 20 00	2.716	348.	16272	20348
25	*****				
adqp	6 28 00	1.740	335.	6174	00335
cdqp	6 32 00	1.714	332.	7171	20332
adqp	6 32 00	1.714	334.	7171	00334
adzb	6 38 00	1.677	328.	7168	02328
cdqp	6 49 00	1.615	336.	7161	20336
adqp	6 49 00	1.615	334.	7161	00334
cdqp	7 21 00	1.466	337.	7147	20337
adqp	7 21 00	1.466	336.	7147	00336
adzb	7 25 00	1.450	327.	7145	02327
cdqp	8 11 00	1.305	333.	8131	20333
adqp	8 11 00	1.305	334.	8131	00334
cdqp	8 39 00	1.243	339.	9124	20339
adqp	8 39 00	1.243	336.	9124	00336
cdqp	9 01 00	1.206	343.	9121	20343
adqp	9 01 00	1.206	337.	9121	00337

26	*****					
	cdqp	10 27 00	1.138	351.		10114 20351
	adqp	10 27 00	1.138	331.		10114 00331
	cdqp	11 28 00	1.153	354.		11115 20354
	adqp	11 28 00	1.153	339.		11115 00339
	cdqp	12 25 00	1.217	342.		12122 20342
	adqp	12 25 00	1.217	333.		12122 00333
	cdqp	13 34 00	1.380	338.		14138 20338
	adqp	13 34 00	1.380	333.		14138 00333
	cdqp	14 48 00	1.720	342.		15172 20342
	adqp	14 48 00	1.720	334.		15172 00334
	cdqp	15 29 00	2.044	331.		15204 20331
	adqp	15 29 00	2.044	330.		15204 00330
	cdqp	16 14 00	2.612	333.		16261 20333
	adqp	16 14 00	2.612	332.		16261 00332
27	*****					
	cdqp	5 04 00	2.640	328.		5264 20328
	adqp	5 04 00	2.640	329.		5264 00329
	cdqp	5 10 00	2.543	332.		5254 20332
	adqp	5 10 00	2.543	330.		5254 00330
	adz b	5 14 00	2.483	325.		5248 02325
	cdqp	5 34 00	2.221	334.		6222 20334
	adqp	5 34 00	2.221	332.		6222 00332
	cdqp	5 52 00	2.031	331.		6203 20331
	adqp	5 52 00	2.031	332.		6203 00332
	adz b	6 04 00	1.924	325.		6192 02325
	cdqp	6 18 00	1.814	337.		6181 20337
	adqp	6 18 00	1.814	333.		6181 00333
	cdqp	6 30 00	1.731	339.		7173 20339
	adqp	6 30 00	1.731	333.		7173 00333
	cdqp	7 15 00	1.494	332.		7149 20332
	adqp	7 15 00	1.494	335.		7149 00335
	adz b	7 22 00	1.465	330.		7146 02330
	cdqp	7 44 00	1.385	335.		8139 20335
	adqp	7 44 00	1.385	337.		8139 00337
	adz c	9 35 00	1.167	334.		10117 03334
	adqp	9 51 00	1.154	337.		10115 00337
	adz c	10 31 00	1.138	343.	cs	11114 03343
	adz c	11 45 00	1.167	327.	cs	12117 03327
	cdqp	13 06 00	1.300	332.		13130 20332
	adqp	13 06 00	1.300	333.		13130 00333
	cdqp	13 28 00	1.361	340.		13136 20340
	adqp	13 28 00	1.361	333.		13136 00333
	adz b	14 05 00	1.495	328.		14149 02328
	cdqp	14 09 00	1.512	330.		14151 20330
	adqp	14 09 00	1.512	329.		14151 00329
	adz b	14 50 00	1.733	324.		15173 02324
	adz b	15 11 00	1.885	322.		15188 02322
	adqp	15 46 00	2.224	325.		16222 00325
	cdqp	15 46 00	2.224	326.		16222 20326
	adqp	16 01 00	2.416	328.		16242 00328
	cdqp	16 01 00	2.416	334.		16242 20334
	adqp	16 21 00	2.731	323.		16273 00323
	cdqp	16 21 00	2.731	332.		16273 20332
28	*****					
	cdqp	5 22 00	2.376	318.		5238 20318
	adqp	5 22 00	2.376	317.		5238 00317
	cdqp	5 32 00	2.250	321.		6225 20321
	adqp	5 32 00	2.250	321.		6225 00321
	cdqp	5 46 00	2.095	319.		6209 20319
	adqp	5 46 00	2.095	320.		6209 00320
	adz b	5 49 00	2.065	319.		6206 02319
	cdqp	6 14 00	1.847	322.		6185 20322
	adqp	6 14 00	1.847	324.		6185 00324
	cdqp	7 18 00	1.483	333.		7148 20333
	adqp	7 18 00	1.483	329.		7148 00329
	cdqp	7 27 00	1.447	329.		7145 20329
	adqp	7 27 00	1.447	329.		7145 00329
	adz b	7 39 00	1.403	326.		8140 02326
	cdqp	7 54 00	1.355	335.		8136 20335
	adqp	7 54 00	1.355	329.		8136 00329
	cdqp	8 11 00	1.308	325.		8131 20325
	adqp	8 11 00	1.308	330.		8131 00330
	cdqp	9 39 00	1.164	324.		10116 20324
	adqp	9 39 00	1.164	327.		10116 00327
	cdqp	10 44 00	1.138	324.		11114 20324
	adqp	10 44 00	1.138	324.		11114 00324

	cdqp	10 51 00	1.138	322.		11114	20322
	adqp	10 51 00	1.138	322.		11114	00322
29	*****						
	adzc	5 09 00	2.573	312.	as	5257	06312
	adzc	5 26 00	2.330	312.	as	5233	06312
	adzc	5 45 00	2.110	314.	as	6211	06314
	adzc	6 00 00	1.966	319.	as	6197	06319
	adzc	7 20 00	1.477	315.	as	7148	06315
	adzc	8 25 00	1.276	313.	as	8128	06313
	adzc	8 43 00	1.240	313.	as	9124	06313
	adzc	9 39 00	1.165	307.	as	10116	05307
	adzc	9 51 00	1.155	307.	as	10116	05307
	adzc	10 22 00	1.140	309.	as	10114	05309
	adzc	10 43 00	1.138	307.	as	11114	05307
	adzc	11 30 00	1.155	300.	as	12116	05300
	adzb	14 54 00	1.760	305.		15176	02305
	adqp	15 07 00	1.854	308.		15185	00308
	cdqp	15 07 00	1.854	316.		15185	20316
	adqp	15 32 00	2.074	310.		16207	00310
	cdqp	15 32 00	2.074	315.		16207	20315
	adzb	15 39 00	2.147	305.		16215	02305
	adqp	15 56 00	2.349	308.		16235	00308
	cdqp	15 56 00	2.349	309.		16235	20309
	adqp	16 12 00	2.581	307.		16258	00307
	cdqp	16 12 00	2.581	310.		16258	20310
	adqp	16 24 00	2.787	309.		16279	00309
	cdqp	16 24 00	2.787	314.		16279	20314
30	*****						
	adzc	5 11 00	2.549	299.	cs	5255	05299
	adzc	5 24 00	2.362	305.	ac	5236	04305
	adzc	5 47 00	2.094	301.	cs	6209	04301
	adzc	6 07 00	1.910	302.	cs	6191	03302
	adqp	6 10 00	1.886	307.		6189	00307
	adqp	6 13 00	1.862	308.		6186	00308
	adqp	6 19 00	1.817	309.		6182	00309
	cdqp	7 01 00	1.564	314.		7156	20314
	adqp	7 01 00	1.564	311.		7156	00311
	cdqp	7 16 00	1.495	320.		7150	20320
	adqp	7 16 00	1.495	311.		7150	00311
	cdqp	8 07 00	1.322	330.		8132	20330
	adqp	8 07 00	1.322	319.		8132	00319
	cdqp	8 35 00	1.256	331.		9126	20331
	adqp	8 35 00	1.256	319.		9126	00319
	cdqp	9 43 00	1.162	336.		10116	20336
	adqp	9 43 00	1.162	322.		10116	00322
	adzb	9 46 00	1.160	314.		10116	02314
	cdqp	10 34 00	1.139	337.		11114	20337
	adqp	10 34 00	1.139	320.		11114	00320
	cdqp	11 00 00	1.141	331.		11114	20331
	adqp	11 00 00	1.141	317.		11114	00317
	adzc	14 43 00	1.690	335.	as	15169	05335
	adzc	15 05 00	1.840	343.	as	15184	06343
	adzc	15 30 00	2.055	413.	ns	16205	06413

End of total ozone observations computation for June 2022

Total Ozone Observations on Inst. No. 84
at Belsk, Poland

July 2022

Date	Type	GMT	MU	XOZ	CLS	GGMMM	LSXXX
1	*****						
	cdqp	5 14 00	2.511	304.		5251	20304
	adqp	5 14 00	2.511	303.		5251	00303
	cdqp	5 21 00	2.410	310.		5241	20310
	adqp	5 21 00	2.410	309.		5241	00309
	adzb	5 26 00	2.342	304.		5234	02304
	cdqp	5 40 00	2.174	314.		6217	20314
	adqp	5 40 00	2.174	309.		6217	00309
	cdqp	5 48 00	2.089	314.		6209	20314
	adqp	5 48 00	2.089	309.		6209	00309
	cdqp	6 06 00	1.922	318.		6192	20318
	adqp	6 06 00	1.922	311.		6192	00311
	adzb	6 09 00	1.898	303.		6190	02303
	adqp	6 22 00	1.799	309.		6180	00309
	cdqp	7 23 00	1.469	305.		7147	20305

adqp	7 23 00	1.469	309.		7147	00309
cdqp	7 35 00	1.423	314.		8142	20314
adqp	7 35 00	1.423	311.		8142	00311
adzb	7 39 00	1.409	307.		8141	02307
cdqp	8 03 00	1.334	307.		8133	20307
adqp	8 03 00	1.334	310.		8133	00310
cdqp	8 46 00	1.237	324.		9124	20324
adqp	8 46 00	1.237	314.		9124	00314
cdqp	9 22 00	1.184	318.		9118	20318
adqp	9 22 00	1.184	312.		9118	00312
cdqp	10 26 00	1.141	317.		10114	20317
adqp	10 26 00	1.141	311.		10114	00311
adzb	10 29 00	1.140	305.		10114	02305
cdqp	12 10 00	1.197	315.		12120	20315
adqp	12 10 00	1.197	311.		12120	00311
cdqp	14 31 00	1.622	317.		15162	20317
adqp	14 31 00	1.622	309.		15162	00309
adqp	14 45 00	1.703	313.		15170	00313
cdqp	14 45 00	1.703	314.		15170	20314
adqp	15 12 00	1.895	315.		15190	00315
cdqp	15 12 00	1.895	326.		15190	20326
adzb	15 38 00	2.138	307.		16214	02307
adqp	15 56 00	2.352	310.		16235	00310
cdqp	15 56 00	2.352	306.		16235	20306
adqp	16 18 00	2.684	314.		16268	00314
cdqp	16 18 00	2.684	317.		16268	20317
2 *****						
adzc	8 02 00	1.339	332.	as	8134	06332
adzc	8 17 00	1.299	336.	as	8130	06336
adzc	8 41 00	1.247	336.	as	9125	06336
adzc	8 59 00	1.216	330.	as	9122	06330
adzc	9 18 00	1.190	324.	as	9119	06324
3 *****						
cdqp	10 15 00	1.146	329.		10115	20329
adqp	10 15 00	1.146	318.		10115	00318
cdqp	11 22 00	1.153	329.		11115	20329
adqp	11 22 00	1.153	318.		11115	00318
cdqp	13 26 00	1.358	326.		13136	20326
adqp	13 26 00	1.358	320.		13136	00320
adzb	15 17 00	1.940	308.		15194	02308
adzb	15 33 00	2.090	308.		16209	02308
cdqp	15 52 00	2.305	312.		16231	20312
adqp	15 52 00	2.305	309.		16231	00309
adzc	16 14 00	2.623	321.	cu	16262	06321
4 *****						
cdqp	5 05 00	2.683	316.		5268	20316
adqp	5 05 00	2.683	315.		5268	00315
cdqp	5 11 00	2.584	314.		5258	20314
adqp	5 11 00	2.584	316.		5258	00316
adzb	5 14 00	2.537	314.		5254	02314
cdqp	5 43 00	2.159	316.		6216	20316
adqp	5 43 00	2.159	320.		6216	00320
cdqp	5 55 00	2.036	317.		6204	20317
adqp	5 55 00	2.036	321.		6204	00321
cdqp	6 15 00	1.863	322.		6186	20322
adqp	6 15 00	1.863	322.		6186	00322
cdqp	6 31 00	1.748	321.		7175	20321
adqp	6 31 00	1.748	323.		7175	00323
cdqp	7 32 00	1.441	313.		8144	20313
adqp	7 32 00	1.441	318.		8144	00318
cdqp	6 31 00	1.748	321.		7175	20321
adqp	6 31 00	1.748	323.		7175	00323
cdqp	7 32 00	1.441	313.		8144	20313
adqp	7 32 00	1.441	318.		8144	00318
cdqp	8 06 00	1.331	323.		8133	20323
adqp	8 06 00	1.331	318.		8133	00318
adzb	8 34 00	1.264	318.		9126	02318
cdqp	8 38 00	1.256	319.		9126	20319
adqp	8 38 00	1.256	314.		9126	00314
cdqp	10 03 00	1.152	326.		10115	20326
adqp	10 03 00	1.152	311.		10115	00311
adqp	10 32 00	1.143	313.		11114	00313
adzc	11 40 00	1.167	309.	cs	12117	04309
adzc	12 11 00	1.201	316.	as	12120	05316
adqp	14 29 00	1.614	314.		14161	00314
cdqp	14 29 00	1.614	329.		14161	20329
adzc	14 41 00	1.683	318.	as	15168	05318

	adz	c	15 05 00	1.845	318.	as	15185	05318
	adq	p	15 26 00	2.023	324.		15202	00324
	cdq	p	15 26 00	2.023	327.		15202	20327
	adz	c	15 48 00	2.259	312.	as	16226	05312
	adz	c	16 04 00	2.472	330.	as	16247	05330
	adz	c	16 15 00	2.644	337.	cu	16264	05337
5	*****							
	adq	p	5 25 00	2.386	311.		5239	00311
	adq	p	5 29 00	2.333	312.		5233	00312
	cdq	p	5 32 00	2.295	312.		6230	20312
	adq	p	5 32 00	2.295	313.		6230	00313
	adz	c	5 49 00	2.102	317.	ac	6210	04317
	cdq	p	6 11 00	1.900	310.		6190	20310
	adq	p	6 11 00	1.900	313.		6190	00313
	cdq	p	7 06 00	1.554	319.		7155	20319
	adq	p	7 06 00	1.554	314.		7155	00314
	cdq	p	7 19 00	1.495	317.		7150	20317
	adq	p	7 19 00	1.495	314.		7150	00314
	adz	c	8 39 00	1.256	318.		9126	04318
6	*****							
	adq	p	5 17 00	2.510	316.		5251	00316
	cdq	p	5 25 00	2.395	316.		5240	20316
	adq	p	5 25 00	2.395	320.		5240	00320
	adzb		5 29 00	2.342	317.		5234	02317
	cdq	p	5 55 00	2.048	313.		6205	20313
	adq	p	5 55 00	2.048	317.		6205	00317
	adq	p	7 42 00	1.410	322.		8141	00322
	cdq	p	7 47 00	1.393	316.		8139	20316
	adq	p	7 47 00	1.393	324.		8139	00324
	cdq	p	7 52 00	1.377	320.		8138	20320
	adq	p	7 52 00	1.377	324.		8138	00324
	adzb		7 55 00	1.367	325.		8137	02325
	adq	p	8 17 00	1.307	324.		8131	00324
	cdq	p	10 00 00	1.156	328.		10116	20328
	adq	p	10 00 00	1.156	332.		10116	00332
	cdq	p	10 33 00	1.145	326.		11114	20326
	adq	p	10 33 00	1.145	332.		11114	00332
	cdq	p	10 46 00	1.144	328.		11114	20328
	adq	p	10 46 00	1.144	331.		11114	00331
	adz	c	11 29 00	1.160	326.	cs	11116	03326
	adz	c	14 31 00	1.629	367.	as	15163	05367
	adz	c	14 42 00	1.692	366.	as	15169	05366
	adz	c	15 05 00	1.850	357.	cu	15185	05357
	adz	c	15 25 00	2.019	358.	cu	15202	05358
	adz	c	15 57 00	2.382	372.	sc	16238	06372
	adz	c	16 21 00	2.760	377.	sc	16276	06377
7	*****							
	adz	c	5 29 00	2.350	349.	sc	5235	06349
	adz	c	5 43 00	2.181	345.	sc	6218	06345
	adz	c	5 50 00	2.105	344.	sc	6211	06344
	adz	c	6 02 00	1.989	343.	sc	6199	06343
	adz	c	7 13 00	1.528	340.	ac	7153	04340
	adz	c	7 32 00	1.448	338.	ac	8145	04338
	adz	c	8 13 00	1.319	339.	ac	8132	04339
	adz	c	8 49 00	1.240	341.	ac	9124	04341
	adq	p	9 10 00	1.207	351.		9121	00351
	adq	p	9 18 00	1.196	351.		9120	00351
	adq	p	9 52 00	1.163	352.		10116	00352
	adz	c	10 36 00	1.145	345.	sc	11115	05345
	adq	p	10 46 00	1.145	355.		11115	00355
	adz	c	11 19 00	1.155	338.	sc	11116	05338
	adq	p	11 31 00	1.163	357.		12116	00357
	adq	p	11 34 00	1.165	355.		12116	00355
	adz	c	14 34 00	1.647	349.	cu	15165	05349
	adq	p	14 40 00	1.682	351.		15168	00351
	adq	p	15 02 00	1.830	352.		15183	00352
	cdq	p	15 02 00	1.830	351.		15183	20351
	adq	p	15 36 00	2.133	353.		16213	00353
	cdq	p	15 36 00	2.133	364.		16213	20364
	adq	p	16 00 00	2.428	350.		16243	00350
	adq	p	16 18 00	2.712	345.		16271	00345
	cdq	p	16 18 00	2.712	348.		16271	20348
8	*****							
	adz	c	5 14 00	2.578	359.	ac	5258	04359
	adz	c	5 25 00	2.414	354.	ac	5241	04354
	adz	c	5 49 00	2.123	354.	ac	6212	04354
	adz	c	5 58 00	2.033	355.	ac	6203	04355

	adzc	6 28 00	1.787	355.	ac	6179	04355
	adzc	6 38 00	1.720	357.	ac	7172	04357
	adzb	7 49 00	1.391	355.		8139	02355
	adqp	7 56 00	1.369	361.		8137	00361
	adqp	8 02 00	1.351	361.		8135	00361
	adzc	9 39 00	1.175	345.	ac	10117	05345
	adzc	10 15 00	1.152	341.	sc	10115	06341
	adzc	14 09 00	1.523	343.	as	14152	06343
9	*****						
	adzc	7 58 00	1.366	334.	cu	8137	05334
	adqp	8 24 00	1.296	342.		8130	00342
	adzc	8 44 00	1.253	331.		9125	05331
	adqp	8 57 00	1.230	341.		9123	00341
10	*****						
	adqp	11 21 00	1.160	372.		11116	00372
	adqp	11 24 00	1.162	372.		11116	00372
11	*****						
	adzc	6 06 00	1.979	379.	sc	6198	06379
	adzc	6 16 00	1.894	372.	sc	6189	06372
	adqp	8 12 00	1.331	378.		8133	00378
	cdqp	8 15 00	1.323	373.		8132	20373
	adqp	8 15 00	1.323	379.		8132	00379
	cdqp	8 19 00	1.313	381.		8131	20381
	adqp	8 19 00	1.313	378.		8131	00378
	cdqp	9 46 00	1.174	381.		10117	20381
	adqp	9 46 00	1.174	380.		10117	00380
	adqp	10 55 00	1.152	381.		11115	00381
	adqp	11 08 00	1.155	377.		11116	00377
	cdqp	11 29 00	1.166	379.		11117	20379
	adqp	11 29 00	1.166	383.		11117	00383
	cdqp	11 32 00	1.169	381.		12117	20381
	adqp	11 32 00	1.169	381.		12117	00381
	cdqp	11 55 00	1.189	383.		12119	20383
	adqp	11 55 00	1.189	380.		12119	00380
	adzb	12 00 00	1.195	382.		12120	02382
	adzc	13 34 00	1.395	379.	cs	14139	05379
	adzc	15 08 00	1.890	371.	as	15189	06371
	adzc	15 20 00	1.993	373.	as	15199	06373
	adzc	16 10 00	2.608	369.	as	16261	06369
12	*****						
	adzc	5 21 00	2.516	366.	sc	5252	06366
	adqp	6 08 00	1.968	356.		6197	00356
	adqp	6 19 00	1.876	357.		6188	00357
	cdqp	6 22 00	1.853	351.		6185	20351
	adqp	6 22 00	1.853	357.		6185	00357
	cdqp	6 29 00	1.801	353.		6180	20353
	adqp	6 29 00	1.801	357.		6180	00357
	adqp	7 14 00	1.541	358.		7154	00358
	adzc	9 28 00	1.193	356.	sc	9119	05356
	adzc	10 39 00	1.152	341.	as	11115	05341
	adzc	11 10 00	1.158	345.	as	11116	05345
	adzc	14 38 00	1.685	354.	as	15168	06354
	adzc	15 04 00	1.863	355.	as	15186	06355
	adzc	15 24 00	2.035	360.	as	15204	06360
	adzc	15 53 00	2.364	349.	as	16236	06349
	adzc	16 07 00	2.568	347.	as	16257	06347
	adzc	16 17 00	2.738	348.	as	16274	06348
13	*****						
	adzc	5 15 00	2.625	322.	ac	5262	05322
	adzc	5 24 00	2.484	326.	ac	5248	05326
	adzc	6 04 00	2.012	316.	ac	6201	04316
	adzb	6 16 00	1.907	320.		6191	02320
	cdqp	6 27 00	1.821	328.		6182	20328
	adqp	6 27 00	1.821	327.		6182	00327
	cdqp	6 30 00	1.800	324.		7180	20324
	adqp	6 30 00	1.800	327.		7180	00327
	cdqp	6 37 00	1.752	325.		7175	20325
	adqp	6 37 00	1.752	326.		7175	00326
	adzb	6 40 00	1.732	321.		7173	02321
	cdqp	7 00 00	1.615	341.		7161	20341
	adqp	7 00 00	1.615	331.		7161	00331
	cdqp	7 56 00	1.383	337.		8138	20337
	adqp	7 56 00	1.383	333.		8138	00333
	adzb	8 03 00	1.362	330.		8136	02330
	cdqp	8 20 00	1.315	333.		8132	20333
	adqp	8 20 00	1.315	335.		8132	00335
	cdqp	8 46 00	1.258	339.		9126	20339

adqp	8 46 00	1.258	337.		9126	00337
cdqp	9 06 00	1.224	331.		9122	20331
adqp	9 06 00	1.224	332.		9122	00332
cdqp	10 10 00	1.162	323.		10116	20323
adqp	10 10 00	1.162	330.		10116	00330
cdqp	10 37 00	1.154	327.		11115	20327
adqp	10 37 00	1.154	331.		11115	00331
adqp	12 03 00	1.202	328.		12120	00328
adqp	12 08 00	1.208	330.		12121	00330
adzsc	14 42 00	1.713	326.	sc	15171	06326
adzsc	15 09 00	1.907	319.	as	15191	06319
adzsc	15 27 00	2.070	322.	as	15207	06322
adzsc	15 47 00	2.294	316.	as	16229	06316
adzsc	16 05 00	2.546	318.	ac	16255	06318
adzsc	16 17 00	2.748	321.	ac	16275	06321
14	*****					
adzsc	5 14 00	2.656	318.	ac	5266	04318
adqp	5 21 00	2.542	315.		5254	00315
adqp	5 25 00	2.481	316.		5248	00316
adqp	6 08 00	1.983	316.		6198	00316
cdqp	6 25 00	1.843	314.		6184	20314
adqp	6 25 00	1.843	316.		6184	00316
adzsc	6 33 00	1.785	313.		7178	02313
cdqp	6 42 00	1.725	315.		7172	20315
adqp	6 42 00	1.725	317.		7172	00317
cdqp	7 21 00	1.517	314.		7152	20314
adqp	7 21 00	1.517	315.		7152	00315
cdqp	7 40 00	1.441	317.		8144	20317
adqp	7 40 00	1.441	316.		8144	00316
cdqp	8 08 00	1.350	325.		8135	20325
adqp	8 08 00	1.350	318.		8135	00318
cdqp	9 23 00	1.203	317.		9120	20317
adqp	9 23 00	1.203	316.		9120	00316
cdqp	10 01 00	1.168	328.		10117	20328
adqp	10 01 00	1.168	320.		10117	00320
adzsc	10 04 00	1.167	313.		10117	02313
cdqp	10 38 00	1.156	325.		11116	20325
adqp	10 38 00	1.156	319.		11116	00319
adqp	12 05 00	1.206	321.		12121	00321
adqp	12 24 00	1.234	320.		12123	00320
adzsc	14 38 00	1.692	315.		15169	02315
adqp	14 44 00	1.730	322.		15173	00322
adqp	15 06 00	1.888	317.		15189	00317
cdqp	15 06 00	1.888	319.		15189	20319
adqp	15 30 00	2.107	313.		16211	00313
adqp	15 57 00	2.436	312.		16244	00312
cdqp	15 57 00	2.436	311.		16244	20311
adqp	16 16 00	2.742	314.		16274	00314
cdqp	16 16 00	2.742	312.		16274	20312
15	*****					
cdqp	5 14 00	2.671	358.		5267	20358
adqp	5 14 00	2.671	361.		5267	00361
cdqp	5 19 00	2.587	360.		5259	20360
adqp	5 19 00	2.587	361.		5259	00361
adzsc	5 22 00	2.540	353.		5254	02353
cdqp	5 37 00	2.327	361.		6233	20361
adqp	5 37 00	2.327	363.		6233	00363
cdqp	5 51 00	2.161	361.		6216	20361
adqp	5 51 00	2.161	364.		6216	00364
cdqp	6 04 00	2.028	360.		6203	20360
adqp	6 04 00	2.028	364.		6203	00364
cdqp	6 31 00	1.805	357.		7180	20357
adqp	6 31 00	1.805	363.		7180	00363
cdqp	7 02 00	1.613	355.		7161	20355
adqp	7 02 00	1.613	361.		7161	00361
cdqp	7 28 00	1.491	362.		7149	20362
adqp	7 28 00	1.491	361.		7149	00361
cdqp	9 25 00	1.203	362.		9120	20362
adqp	9 25 00	1.203	373.		9120	00373
adqp	9 40 00	1.187	373.		10119	00373
cdqp	10 16 00	1.163	358.		10116	20358
adqp	10 16 00	1.163	374.		10116	00374
cdqp	10 30 00	1.159	365.		11116	20365
adqp	10 30 00	1.159	376.		11116	00376
adqp	11 42 00	1.183	379.		12118	00379
cdqp	11 42 00	1.183	374.		12118	20374
adzsc	14 37 00	1.690	353.	cu	15169	05353

	adzc	14 57 00	1.824	346.	cu	15182	05346
	adzc	15 31 00	2.125	343.	cu	16212	05343
	adqp	15 50 00	2.349	361.		16235	00361
	cdqp	15 50 00	2.349	361.		16235	20361
	adzc	16 15 00	2.736	356.	cu	16274	05356
16	*****						
	adzc	10 46 00	1.159	367.	sc	11116	06367
	adzc	11 02 00	1.162	362.	sc	11116	06362
	adzc	11 07 00	1.164	363.	sc	11116	06363
17	*****						
	adzb	10 30 00	1.163	362.		11116	02362
	cdqp	11 40 00	1.186	384.		12119	20384
	adqp	11 40 00	1.186	372.		12119	00372
	cdqp	12 27 00	1.245	386.		12125	20386
	adqp	12 27 00	1.245	371.		12125	00371
	cdqp	14 24 00	1.625	375.		14162	20375
	adqp	14 24 00	1.625	364.		14162	00364
	cdqp	14 58 00	1.842	365.		15184	20365
	adqp	14 58 00	1.842	358.		15184	00358
	adzb	15 19 00	2.019	352.		15202	02352
	cdqp	16 12 00	2.708	352.		16271	20352
	adqp	16 12 00	2.708	350.		16271	00350
18	*****						
	adzc	5 26 00	2.520	327.	cs	5252	03327
	adqp	5 29 00	2.475	333.		5247	00333
	adqp	5 34 00	2.404	334.		6240	00334
	adqp	6 05 00	2.044	336.		6204	00336
	adqp	6 19 00	1.919	337.		6192	00337
	cdqp	8 10 00	1.357	344.		8136	20344
	adqp	8 10 00	1.357	341.		8136	00341
	cdqp	8 32 00	1.301	346.		9130	20346
	adqp	8 32 00	1.301	341.		9130	00341
	adzc	9 05 00	1.238	327.	cs	9124	03327
	adqp	9 32 00	1.201	340.		10120	00340
	cdqp	9 38 00	1.195	341.		10120	20341
	adqp	9 38 00	1.195	342.		10120	00342
	adzb	9 41 00	1.192	335.		10119	02335
	adqp	10 47 00	1.164	340.		11116	00340
	cdqp	10 51 00	1.164	337.		11116	20337
	adqp	10 51 00	1.164	342.		11116	00342
	adqp	12 44 00	1.279	342.		13128	00342
	cdqp	12 44 00	1.279	350.		13128	20350
	adzb	14 40 00	1.723	333.		15172	02333
	adqp	14 54 00	1.818	337.		15182	00337
	adqp	15 14 00	1.980	338.		15198	00338
	cdqp	15 14 00	1.980	342.		15198	20342
	adqp	15 38 00	2.227	333.		16223	00333
	cdqp	15 38 00	2.227	332.		16223	20332
	adqp	15 57 00	2.478	334.		16248	00334
	cdqp	15 57 00	2.478	330.		16248	20330
	adqp	16 15 00	2.777	332.		16278	00332
	cdqp	16 15 00	2.777	332.		16278	20332
19	*****						
	adzc	5 23 00	2.582	328.	sc	5258	06328
	adzc	5 31 00	2.460	328.	sc	6246	06328
	adzc	9 20 00	1.218	314.	ac	9122	04314
	adzc	9 44 00	1.192	313.	ac	10119	04313
	cdqp	10 42 00	1.166	335.		11117	20335
	adqp	10 42 00	1.166	334.		11117	00334
	adzb	10 46 00	1.166	327.		11117	02327
	cdqp	10 52 00	1.166	338.		11117	20338
	adqp	10 52 00	1.166	335.		11117	00335
	cdqp	11 10 00	1.171	329.		11117	20329
	adqp	11 10 00	1.171	332.		11117	00332
	cdqp	12 25 00	1.247	339.		12125	20339
	adqp	12 25 00	1.247	334.		12125	00334
	adzb	14 46 00	1.768	326.		15177	02326
	adqp	14 59 00	1.862	328.		15186	00328
	adqp	15 23 00	2.073	325.		15207	00325
	cdqp	15 23 00	2.073	329.		15207	20329
	adqp	15 45 00	2.323	327.		16232	00327
	cdqp	15 45 00	2.323	330.		16232	20330
	adqp	16 02 00	2.567	330.		16257	00330
	cdqp	16 02 00	2.567	333.		16257	20333
	adqp	16 16 00	2.812	325.		16281	00325
	cdqp	16 16 00	2.812	331.		16281	20331
20	*****						

cdqp	5 20 00	2.648	312.	5265	20312
adqp	5 20 00	2.648	311.	5265	00311
cdqp	6 23 00	1.901	317.	6190	20317
adqp	6 23 00	1.901	313.	6190	00313
cdqp	7 26 00	1.522	324.	7152	20324
adqp	7 26 00	1.522	317.	7152	00317
cdqp	8 18 00	1.342	327.	8134	20327
adqp	8 18 00	1.342	319.	8134	00319
cdqp	9 08 00	1.238	332.	9124	20332
adqp	9 08 00	1.238	320.	9124	00320
cdqp	9 45 00	1.193	336.	10119	20336
adqp	9 45 00	1.193	317.	10119	00317
cdqp	10 22 00	1.171	331.	10117	20331
adqp	10 22 00	1.171	317.	10117	00317
cdqp	11 07 00	1.172	320.	11117	20320
adqp	11 07 00	1.172	317.	11117	00317
adzb	14 38 00	1.721	320.	15172	02320
adqp	14 52 00	1.816	324.	15182	00324
cdqp	14 52 00	1.816	332.	15182	20332
adqp	15 14 00	1.995	322.	15200	00322
cdqp	15 14 00	1.995	331.	15200	20331
adqp	15 32 00	2.177	318.	16218	00318
cdqp	15 32 00	2.177	325.	16218	20325
adqp	15 45 00	2.334	316.	16233	00316
cdqp	15 45 00	2.334	324.	16233	20324
adqp	16 08 00	2.681	317.	16268	00317
cdqp	16 08 00	2.681	325.	16268	20325
21	*****				
cdqp	5 30 00	2.503	303.	6250	20303
adqp	5 30 00	2.503	304.	6250	00304
cdqp	5 39 00	2.375	306.	6237	20306
adqp	5 39 00	2.375	309.	6237	00309
adzb	5 41 00	2.348	303.	6235	02303
cdqp	5 53 00	2.201	307.	6220	20307
adqp	5 53 00	2.201	307.	6220	00307
cdqp	6 05 00	2.073	310.	6207	20310
adqp	6 05 00	2.073	308.	6207	00308
cdqp	6 14 00	1.987	310.	6199	20310
adqp	6 14 00	1.987	309.	6199	00309
adzb	6 17 00	1.960	302.	6196	02302
cdqp	6 33 00	1.832	303.	7183	20303
adqp	6 33 00	1.832	309.	7183	00309
cdqp	7 46 00	1.446	313.	8145	20313
adqp	7 46 00	1.446	311.	8145	00311
adzb	7 52 00	1.425	309.	8142	02309
cdqp	8 04 00	1.386	310.	8139	20310
adqp	8 04 00	1.386	313.	8139	00313
cdqp	8 20 00	1.340	317.	8134	20317
adqp	8 20 00	1.340	315.	8134	00315
cdqp	8 42 00	1.288	322.	9129	20322
adqp	8 42 00	1.288	316.	9129	00316
cdqp	9 06 00	1.244	327.	9124	20327
adqp	9 06 00	1.244	317.	9124	00317
cdqp	10 00 00	1.184	322.	10118	20322
adqp	10 00 00	1.184	317.	10118	00317
adzb	10 03 00	1.182	307.	10118	02307
cdqp	10 20 00	1.174	306.	10117	20306
adqp	10 20 00	1.174	311.	10117	00311
cdqp	11 43 00	1.197	326.	12120	20326
adqp	11 43 00	1.197	320.	12120	00320
cdqp	11 54 00	1.209	326.	12121	20326
adqp	11 54 00	1.209	320.	12121	00320
adzb	11 57 00	1.212	311.	12121	02311
cdqp	12 29 00	1.259	320.	12126	20320
adqp	12 29 00	1.259	316.	12126	00316
adqp	14 30 00	1.678	317.	15168	00317
cdqp	14 30 00	1.678	321.	15168	20321
adqp	14 49 00	1.801	318.	15180	00318
cdqp	14 49 00	1.801	327.	15180	20327
adqp	15 23 00	2.091	315.	15209	00315
cdqp	15 23 00	2.091	323.	15209	20323
adqp	15 42 00	2.307	312.	16231	00312
cdqp	15 42 00	2.307	315.	16231	20315
adzb	16 00 00	2.563	308.	16256	02308
adqp	16 12 00	2.770	315.	16277	00315
cdqp	16 12 00	2.770	319.	16277	20319
22	*****				

cdqp	5 19 00	2.699	308.		5270	20308
adqp	5 19 00	2.699	310.		5270	00310
adzb	5 23 00	2.631	307.		5263	02307
cdqp	5 27 00	2.565	313.		5257	20313
adqp	5 27 00	2.565	313.		5257	00313
cdqp	5 46 00	2.297	312.		6230	20312
adqp	5 46 00	2.297	314.		6230	00314
cdqp	5 53 00	2.212	318.		6221	20318
adqp	5 53 00	2.212	315.		6221	00315
cdqp	6 06 00	2.073	319.		6207	20319
adqp	6 06 00	2.073	316.		6207	00316
adzb	6 12 00	2.015	309.		6201	02309
adqp	6 21 00	1.935	316.		6193	00316
cdqp	8 00 00	1.402	335.		8140	20335
adqp	8 00 00	1.402	323.		8140	00323
adzb	8 09 00	1.374	317.		8137	02317
cdqp	8 14 00	1.360	335.		8136	20335
adqp	8 14 00	1.360	324.		8136	00324
cdqp	10 43 00	1.173	349.		11117	20349
adqp	10 43 00	1.173	329.		11117	00329
cdqp	10 51 00	1.173	346.		11117	20346
adqp	10 51 00	1.173	327.		11117	00327
adzb	10 56 00	1.174	316.		11117	02316
cdqp	12 37 00	1.277	339.		13128	20339
adqp	12 37 00	1.277	329.		13128	00329
adqp	14 31 00	1.690	330.		15169	00330
cdqp	14 31 00	1.690	336.		15169	20336
adzb	14 51 00	1.822	325.		15182	02325
adqp	15 12 00	1.994	331.		15199	00331
cdqp	15 12 00	1.994	340.		15199	20340
adqp	15 39 00	2.281	326.		16228	00326
cdqp	15 39 00	2.281	333.		16228	20333
adqp	16 00 00	2.578	328.		16258	00328
cdqp	16 00 00	2.578	340.		16258	20340
adqp	16 12 00	2.787	326.		16279	00326
cdqp	16 12 00	2.787	336.		16279	20336
23	*****					
cdqp	5 54 00	2.212	317.		6221	20317
adqp	5 54 00	2.212	319.		6221	00319
cdqp	6 07 00	2.073	316.		6207	20316
adqp	6 07 00	2.073	318.		6207	00318
adzb	6 10 00	2.043	309.		6204	02309
cdqp	6 28 00	1.886	319.		6189	20319
adqp	6 28 00	1.886	317.		6189	00317
cdqp	7 00 00	1.669	321.		7167	20321
adqp	7 00 00	1.669	317.		7167	00317
cdqp	7 32 00	1.510	324.		8151	20324
adqp	7 32 00	1.510	318.		8151	00318
adzb	7 35 00	1.498	310.		8150	02310
cdqp	8 08 00	1.381	325.		8138	20325
adqp	8 08 00	1.381	321.		8138	00321
cdqp	9 02 00	1.257	317.		9126	20317
adqp	9 02 00	1.257	325.		9126	00325
24	*****					
adzc	10 22 00	1.181	347.	sc	10118	06347
adzc	12 07 00	1.233	337.	sc	12123	06337
adzc	13 02 00	1.339	331.	sc	13134	06331
cdqp	15 04 00	1.941	342.		15194	20342
adqp	15 04 00	1.941	333.		15194	00333
cdqp	15 22 00	2.110	335.		15211	20335
adqp	15 22 00	2.110	329.		15211	00329
cdqp	16 00 00	2.610	330.		16261	20330
adqp	16 00 00	2.610	328.		16261	00328
25	*****					
cdqp	5 19 00	2.756	317.		5276	20317
adqp	5 19 00	2.756	313.		5276	00313
adzb	5 22 00	2.702	310.		5270	02310
cdqp	5 27 00	2.616	316.		5262	20316
adqp	5 27 00	2.616	314.		5262	00314
cdqp	5 45 00	2.350	316.		6235	20316
adqp	5 45 00	2.350	315.		6235	00315
adzb	5 57 00	2.202	309.		6220	02309
adqp	6 13 00	2.035	314.		6203	00314
cdqp	7 24 00	1.556	314.		7156	20314
adqp	7 24 00	1.556	314.		7156	00314
cdqp	7 44 00	1.472	319.		8147	20319
adqp	7 44 00	1.472	317.		8147	00317

cdqp	8 54 00	1.278	325.		9128	20325
adqp	8 54 00	1.278	318.		9128	00318
cdqp	9 16 00	1.241	321.		9124	20321
adqp	9 16 00	1.241	321.		9124	00321
cdqp	10 43 00	1.181	325.		11118	20325
adqp	10 43 00	1.181	319.		11118	00319
cdqp	12 10 00	1.240	339.		12124	20339
adqp	12 10 00	1.240	326.		12124	00326
adz	12 13 00	1.245	321.		12124	02321
adqp	14 15 00	1.618	323.		14162	00323
adqp	14 35 00	1.734	317.		15173	00317
cdqp	14 35 00	1.734	318.		15173	20318
adqp	14 56 00	1.884	320.		15188	00320
cdqp	14 56 00	1.884	327.		15188	20327
adqp	15 25 00	2.153	314.		15215	00314
cdqp	15 25 00	2.153	316.		15215	20316
adqp	15 49 00	2.456	315.		16246	00315
cdqp	15 49 00	2.456	326.		16246	20326
adqp	16 11 00	2.827	310.		16283	00310
cdqp	16 11 00	2.827	314.		16283	20314
26	*****					
adz	5 27 00	2.634	299.	cs	5263	03299
adqp	5 30 00	2.585	308.		6258	00308
adqp	5 43 00	2.391	310.		6239	00310
adqp	5 54 00	2.250	311.		6225	00311
adqp	6 02 00	2.158	314.		6216	00314
cdqp	6 18 00	1.998	313.		6200	20313
adqp	6 18 00	1.998	311.		6200	00311
cdqp	6 22 00	1.962	313.		6196	20313
adqp	6 22 00	1.962	311.		6196	00311
cdqp	6 27 00	1.920	311.		6192	20311
adqp	6 27 00	1.920	312.		6192	00312
adz	6 30 00	1.895	307.		7190	02307
cdqp	6 33 00	1.872	311.		7187	20311
adqp	6 33 00	1.872	313.		7187	00313
cdqp	7 34 00	1.517	321.		8152	20321
adqp	7 34 00	1.517	315.		8152	00315
cdqp	7 51 00	1.450	327.		8145	20327
adqp	7 51 00	1.450	321.		8145	00321
cdqp	8 07 00	1.397	331.		8140	20331
adqp	8 07 00	1.397	322.		8140	00322
adz	9 10 00	1.253	316.	cc	9125	03316
adz	10 55 00	1.184	318.	sc	11118	05318
adz	11 25 00	1.197	352.	sc	11120	06352
adz	13 57 00	1.537	366.	sc	14154	06366
27	*****					
cdqp	5 26 00	2.670	323.		5267	20323
adqp	5 26 00	2.670	323.		5267	00323
cdqp	5 31 00	2.586	318.		6259	20318
adqp	5 31 00	2.586	321.		6259	00321
adz	5 34 00	2.538	317.		6254	02317
cdqp	5 50 00	2.313	322.		6231	20322
adqp	5 50 00	2.313	325.		6231	00325
cdqp	6 18 00	2.008	327.		6201	20327
adqp	6 18 00	2.008	326.		6201	00326
adz	6 21 00	1.981	319.		6198	02319
cdqp	7 30 00	1.540	334.		8154	20334
adqp	7 30 00	1.540	329.		8154	00329
adz	7 35 00	1.518	327.		8152	02327
cdqp	7 43 00	1.485	338.		8149	20338
adqp	7 43 00	1.485	330.		8149	00330
cdqp	8 47 00	1.299	341.		9130	20341
adqp	8 47 00	1.299	338.		9130	00338
adz	8 51 00	1.290	332.		9129	02332
adqp	9 35 00	1.223	336.		10122	00336
adqp	10 58 00	1.188	335.		11119	00335
adqp	11 01 00	1.189	333.		11119	00333
cdqp	12 17 00	1.258	320.		12126	20320
adqp	12 17 00	1.258	332.		12126	00332
adz	14 19 00	1.652	324.	cu	14165	05324
adz	14 52 00	1.870	327.		15187	02327
adz	15 03 00	1.960	338.	cu	15196	05338
adz	15 33 00	2.271	346.	sc	16227	05346
adqp	15 47 00	2.459	329.		16246	00329
adqp	16 07 00	2.792	330.		16279	00330
cdqp	16 07 00	2.792	331.		16279	20331
28	*****					

cdqp	5 27 00	2.672	329.		5267	20329
adqp	5 27 00	2.672	330.		5267	00330
cdqp	5 30 00	2.621	327.		6262	20327
adqp	5 30 00	2.621	330.		6262	00330
adz b	5 33 00	2.572	323.		6257	02323
cdqp	5 55 00	2.264	327.		6226	20327
adqp	5 55 00	2.264	332.		6226	00332
cdqp	6 22 00	1.982	336.		6198	20336
adqp	6 22 00	1.982	332.		6198	00332
adz b	6 39 00	1.843	327.		7184	02327
cdqp	6 47 00	1.786	334.		7179	20334
adqp	6 47 00	1.786	332.		7179	00332
cdqp	7 45 00	1.483	339.		8148	20339
adqp	7 45 00	1.483	336.		8148	00336
cdqp	8 12 00	1.390	334.		8139	20334
adqp	8 12 00	1.390	336.		8139	00336
adz b	8 19 00	1.370	331.		8137	02331
cdqp	8 28 00	1.346	339.		8135	20339
adqp	8 28 00	1.346	335.		8135	00335
cdqp	10 03 00	1.202	335.		10120	20335
adqp	10 03 00	1.202	329.		10120	00329
adz b	10 20 00	1.194	326.		10119	02326
cdqp	10 32 00	1.190	342.		11119	20342
adqp	10 32 00	1.190	332.		11119	00332
cdqp	12 15 00	1.258	341.		12126	20341
adqp	12 15 00	1.258	339.		12126	00339
adqp	13 33 00	1.451	329.		14145	00329
cdqp	13 33 00	1.451	333.		14145	20333
adz c	13 54 00	1.535	322.		14154	05322
adqp	14 30 00	1.725	332.		15172	00332
adqp	14 48 00	1.848	334.		15185	00334
cdqp	14 48 00	1.848	337.		15185	20337
adz c	15 28 00	2.225	319.		15223	05319
adqp	15 51 00	2.536	332.		16254	00332
cdqp	15 51 00	2.536	333.		16254	20333
adqp	16 11 00	2.894	330.		16289	00330
cdqp	16 11 00	2.894	329.		16289	20329
29	*****					
cdqp	5 18 00	2.860	324.		5286	20324
adqp	5 18 00	2.860	329.		5286	00329
cdqp	5 22 00	2.783	323.		5278	20323
adqp	5 22 00	2.783	329.		5278	00329
cdqp	5 42 00	2.452	320.		6245	20320
adqp	5 42 00	2.452	329.		6245	00329
cdqp	5 55 00	2.278	325.		6228	20325
adqp	5 55 00	2.278	331.		6228	00331
cdqp	6 13 00	2.078	326.		6208	20326
adqp	6 13 00	2.078	329.		6208	00329
adz b	6 19 00	2.020	322.		6202	02322
cdqp	6 34 00	1.891	322.		7189	20322
adqp	6 34 00	1.891	328.		7189	00328
cdqp	7 17 00	1.614	329.		7161	20329
adqp	7 17 00	1.614	329.		7161	00329
cdqp	8 21 00	1.369	334.		8137	20334
adqp	8 21 00	1.369	330.		8137	00330
adz b	8 26 00	1.356	326.		8136	02326
cdqp	8 37 00	1.328	332.		9133	20332
adqp	8 37 00	1.328	330.		9133	00330
adqp	9 32 00	1.233	335.		10123	00335
adqp	10 18 00	1.198	335.		10120	00335
adqp	10 26 00	1.195	335.		10119	00335
adqp	13 48 00	1.515	335.		14152	00335
adqp	14 14 00	1.639	332.		14164	00332
cdqp	14 14 00	1.639	335.		14164	20335
adqp	14 48 00	1.857	330.		15186	00330
cdqp	14 48 00	1.857	335.		15186	20335
adqp	15 07 00	2.018	330.		15202	00330
cdqp	15 07 00	2.018	333.		15202	20333
adqp	15 28 00	2.239	327.		15224	00327
cdqp	15 28 00	2.239	329.		15224	20329
adz b	15 44 00	2.449	320.		16245	02320
adqp	16 08 00	2.858	323.		16286	00323
cdqp	16 08 00	2.858	320.		16286	20320
30	*****					
adz c	14 12 00	1.635	324.	as	14164	06324
adz c	14 35 00	1.773	326.	as	15177	06326
adz c	14 55 00	1.923	333.	sc	15192	06333

adzc 15 13 00 2.088 333. sc 15209 06333

End of total ozone observations computation for July 2022

Total Ozone Observations on Inst. No. 84
at Belsk, Poland

August 2022

Date	Type	GMT	MU	XOZ	CLS	GGMM	LSXXX
1	*****						
	adzb	5 35 00	2.614	325.		6261	02325
	adzb	5 53 00	2.348	319.		6235	02319
	adzc	6 12 00	2.124	317.	sc	6212	06317
	cdqp	7 03 00	1.714	333.		7171	20333
	adqp	7 03 00	1.714	327.		7171	00327
	cdqp	7 26 00	1.589	330.		7159	20330
	adqp	7 26 00	1.589	326.		7159	00326
	cdqp	8 17 00	1.394	330.		8139	20330
	adqp	8 17 00	1.394	326.		8139	00326
	cdqp	8 52 00	1.308	332.		9131	20332
	adqp	8 52 00	1.308	326.		9131	00326
	cdqp	9 44 00	1.231	331.		10123	20331
	adqp	9 44 00	1.231	323.		10123	00323
	adzb	10 45 00	1.203	315.		11120	02315
	cdqp	12 10 00	1.266	338.		12127	20338
	adqp	12 10 00	1.266	328.		12127	00328
2	*****						
	adzb	5 35 00	2.634	337.		6263	02337
	adzc	6 02 00	2.250	326.	sc	6225	06326
	adzc	6 19 00	2.065	324.	sc	6207	06324
	adzc	7 25 00	1.600	328.	sc	7160	06328
	adzc	9 42 00	1.237	329.	sc	10124	06329
	adzc	10 37 00	1.207	340.	sc	11121	06340
	adzc	11 16 00	1.215	332.	sc	11122	06332
	adzc	13 50 00	1.549	328.	ac	14155	06328
	adzc	14 15 00	1.675	328.	ac	14168	06328
	adzc	14 44 00	1.867	337.	ac	15187	06337
	adzc	15 05 00	2.048	321.	ac	15205	05321
	adqp	15 28 00	2.302	325.		15230	00325
	cdqp	15 28 00	2.302	331.		15230	20331
	adqp	15 47 00	2.573	322.		16257	00322
	cdqp	15 47 00	2.573	329.		16257	20329
	adqp	16 06 00	2.922	323.		16292	00323
	cdqp	16 06 00	2.922	331.		16292	20331
3	*****						
	adzb	5 36 00	2.637	312.		6264	02312
	adzc	6 01 00	2.276	309.	as	6228	06309
	adzc	6 19 00	2.077	309.	ci	6208	06309
	adzc	7 23 00	1.617	316.	as	7162	06316
	adzc	9 30 00	1.254	322.	as	10125	06322
	cdqp	10 41 00	1.210	340.		11121	20340
	adqp	10 41 00	1.210	326.		11121	00326
	adqp	14 26 00	1.751	315.		14175	00315
	cdqp	14 26 00	1.751	320.		14175	20320
	adqp	14 44 00	1.878	313.		15188	00313
	cdqp	14 44 00	1.878	321.		15188	20321
	adqp	15 08 00	2.091	312.		15209	00312
	cdqp	15 08 00	2.091	317.		15209	20317
	adqp	15 22 00	2.245	312.		15225	00312
	cdqp	15 22 00	2.245	318.		15225	20318
	adzb	15 26 00	2.294	310.		15229	02310
	adqp	15 51 00	2.662	312.		16266	00312
	cdqp	15 51 00	2.662	316.		16266	20316
	adqp	15 57 00	2.770	309.		16277	00309
	cdqp	15 57 00	2.770	314.		16277	20314
4	*****						
	adqp	5 38 00	2.624	307.		6262	00307
	cdqp	5 38 00	2.624	307.		6262	20307
	adqp	5 43 00	2.543	305.		6254	00305
	cdqp	5 43 00	2.543	304.		6254	20304
	adqp	6 25 00	2.031	309.		6203	00309
	cdqp	6 25 00	2.031	309.		6203	20309
	adqp	6 43 00	1.878	312.		7188	00312
	cdqp	6 43 00	1.878	319.		7188	20319
	adqp	6 56 00	1.784	314.		7178	00314
	cdqp	6 56 00	1.784	336.		7178	20336

adqp	7 24 00	1.619	318.		7162	00318
cdqp	7 24 00	1.619	342.		7162	20342
adqp	7 52 00	1.495	310.		8149	00310
cdqp	7 52 00	1.495	314.		8149	20314
adqp	8 15 00	1.416	312.		8142	00312
cdqp	8 15 00	1.416	306.		8142	20306
adqp	8 32 00	1.368	314.		9137	00314
cdqp	8 32 00	1.368	316.		9137	20316
adzcb	8 43 00	1.341	311.		9134	02311
adqp	9 16 00	1.278	311.		9128	00311
cdqp	9 16 00	1.278	304.		9128	20304
adqp	9 30 00	1.258	314.		10126	00314
cdqp	9 30 00	1.258	308.		10126	20308
adqp	10 12 00	1.222	316.		10122	00316
cdqp	10 12 00	1.222	308.		10122	20308
adqp	10 35 00	1.214	312.		11121	00312
cdqp	10 35 00	1.214	301.		11121	20301
cdqp	12 48 00	1.354	330.		13135	20330
adqp	12 48 00	1.354	322.		13135	00322
cdqp	13 51 00	1.568	339.		14157	20339
adqp	13 51 00	1.568	326.		14157	00326
cdqp	14 40 00	1.859	327.		15186	20327
adqp	14 40 00	1.859	321.		15186	00321
cdqp	15 16 00	2.192	325.		15219	20325
adqp	15 16 00	2.192	320.		15219	00320
cdqp	15 50 00	2.669	320.		16267	20320
adqp	15 50 00	2.669	315.		16267	00315
5	*****					
cdqp	5 38 00	2.645	304.		6264	20304
adqp	5 38 00	2.645	306.		6264	00306
cdqp	6 17 00	2.123	311.		6212	20311
adqp	6 17 00	2.123	308.		6212	00308
cdqp	6 30 00	1.997	313.		7200	20313
adqp	6 30 00	1.997	309.		7200	00309
cdqp	8 11 00	1.434	322.		8143	20322
adqp	8 11 00	1.434	315.		8143	00315
cdqp	9 30 00	1.263	324.		10126	20324
adqp	9 30 00	1.263	314.		10126	00314
cdqp	10 35 00	1.218	325.		11122	20325
adqp	10 35 00	1.218	317.		11122	00317
cdqp	12 10 00	1.283	329.		12128	20329
adqp	12 10 00	1.283	318.		12128	00318
cdqp	14 04 00	1.641	308.		14164	00308
adqp	14 04 00	1.641	310.		14164	20310
cdqp	14 28 00	1.784	309.		14178	00309
cdqp	14 28 00	1.784	309.		14178	20309
adqp	14 50 00	1.951	308.		15195	00308
cdqp	14 50 00	1.951	313.		15195	20313
adqp	15 22 00	2.280	306.		15228	00306
cdqp	15 22 00	2.280	307.		15228	20307
adzcb	15 32 00	2.411	302.		16241	02302
adqp	15 52 00	2.730	306.		16273	00306
cdqp	15 52 00	2.730	307.		16273	20307
6	*****					
adzcb	7 03 00	1.755	336.	sc	7176	06336
adzcb	7 18 00	1.666	332.	sc	7167	06332
adzcb	7 43 00	1.544	345.	sc	8154	06345
7	*****					
cdqp	10 36 00	1.226	337.		11123	20337
adqp	10 36 00	1.226	327.		11123	00327
cdqp	11 35 00	1.249	339.		12125	20339
adqp	11 35 00	1.249	328.		12125	00328
cdqp	12 47 00	1.368	330.		13137	20330
adqp	12 47 00	1.368	325.		13137	00325
cdqp	13 36 00	1.526	332.		14153	20332
adqp	13 36 00	1.526	322.		14153	00322
cdqp	14 37 00	1.871	330.		15187	20330
adqp	14 37 00	1.871	323.		15187	00323
cdqp	14 58 00	2.051	326.		15205	20326
adqp	14 58 00	2.051	320.		15205	00320
cdqp	15 46 00	2.676	318.		16268	20318
adqp	15 46 00	2.676	318.		16268	00318
8	*****					
adzcb	5 41 00	2.658	300.	ci	6266	06300
adzcb	6 20 00	2.132	307.		6213	02307
adzcb	6 34 00	1.996	300.	ci	7200	06300
adzcb	7 14 00	1.705	304.	cs	7171	06304

	adzc	8 13 00	1.444	309.	ci	8144	06309
	cdqp	10 04 00	1.243	327.		10124	20327
	adqp	10 04 00	1.243	326.		10124	00326
	cdqp	10 49 00	1.231	327.		11123	20327
	adqp	10 49 00	1.231	326.		11123	00326
	cdqp	12 09 00	1.297	342.		12130	20342
	adqp	12 09 00	1.297	331.		12130	00331
	adqp	14 10 00	1.702	326.		14170	00326
	cdqp	14 10 00	1.702	327.		14170	20327
	adzc	14 34 00	1.861	314.	ci	15186	04314
	adzb	15 07 00	2.159	316.		15216	02316
	adqp	15 21 00	2.324	330.		15232	00330
	adqp	15 41 00	2.617	328.		16262	00328
	cdqp	15 41 00	2.617	332.		16262	20332
	adqp	15 48 00	2.740	330.		16274	00330
	cdqp	15 48 00	2.740	334.		16274	20334
9	*****						
	adzc	5 45 00	2.612	330.	as	6261	06330
	adzc	6 19 00	2.157	328.	as	6216	06328
	adzc	6 34 00	2.008	334.	as	7201	06334
	adzc	7 47 00	1.547	329.	as	8155	06329
	adzc	10 42 00	1.235	328.	as	11123	06328
	adqp	14 10 00	1.712	332.		14171	00332
	cdqp	14 10 00	1.712	334.		14171	20334
	adqp	14 22 00	1.788	334.		14179	00334
	cdqp	14 22 00	1.788	339.		14179	20339
	adqp	14 46 00	1.971	335.		15197	00335
	cdqp	14 46 00	1.971	338.		15197	20338
	adqp	15 16 00	2.281	333.		15228	00333
	cdqp	15 16 00	2.281	329.		15228	20329
	adzb	15 28 00	2.440	325.		15244	02325
	adqp	15 34 00	2.530	334.		16253	00334
	cdqp	15 34 00	2.530	334.		16253	20334
	adzb	15 46 00	2.732	328.		16273	02328
10	*****						
	cdqp	5 45 00	2.634	331.		6263	20331
	adqp	5 45 00	2.634	333.		6263	00333
	cdqp	6 11 00	2.263	335.		6226	20335
	adqp	6 11 00	2.263	333.		6226	00333
	cdqp	6 33 00	2.030	339.		7203	20339
	adqp	6 33 00	2.030	333.		7203	00333
	cdqp	8 02 00	1.495	343.		8149	20343
	adqp	8 02 00	1.495	334.		8149	00334
	cdqp	10 25 00	1.242	352.		10124	20352
	adqp	10 25 00	1.242	341.		10124	00341
	cdqp	11 15 00	1.249	348.		11125	20348
	adqp	11 15 00	1.249	339.		11125	00339
	adzb	14 20 00	1.786	327.		14179	02327
	adqp	14 25 00	1.820	329.		14182	00329
	cdqp	14 25 00	1.820	331.		14182	20331
	adqp	14 44 00	1.968	332.		15197	00332
	cdqp	14 44 00	1.968	340.		15197	20340
	adqp	14 58 00	2.098	330.		15210	00330
	cdqp	14 58 00	2.098	338.		15210	20338
	adzc	15 30 00	2.493	329.	ac	16249	05329
	adzb	15 47 00	2.780	324.		16278	02324
11	*****						
	cdqp	5 46 00	2.639	333.		6264	20333
	adqp	5 46 00	2.639	332.		6264	00332
	cdqp	6 25 00	2.122	340.		6212	20340
	adqp	6 25 00	2.122	337.		6212	00337
	cdqp	6 34 00	2.033	343.		7203	20343
	adqp	6 34 00	2.033	338.		7203	00338
	adzc	14 39 00	1.940	331.	cu	15194	04331
	adqp	15 02 00	2.158	339.		15216	00339
	adzb	15 18 00	2.348	333.		15235	02333
	adqp	15 38 00	2.647	338.		16265	00338
	cdqp	15 38 00	2.647	339.		16265	20339
	adqp	15 45 00	2.773	339.		16277	00339
	cdqp	15 45 00	2.773	343.		16277	20343
12	*****						
	adqp	5 40 00	2.770	310.		6277	00310
	cdqp	5 40 00	2.770	313.		6277	20313
	adqp	6 06 00	2.360	311.		6236	00311
	cdqp	6 06 00	2.360	311.		6236	20311
	adqp	6 39 00	2.000	314.		7200	00314
	cdqp	6 39 00	2.000	308.		7200	20308

	adqp	6 49 00	1.916	316.		7192	00316
	cdqp	6 49 00	1.916	318.		7192	20318
	adqp	7 16 00	1.729	318.		7173	00318
	cdqp	7 16 00	1.729	313.		7173	20313
	adqp	7 49 00	1.560	317.		8156	00317
	cdqp	7 49 00	1.560	309.		8156	20309
	adqp	8 15 00	1.462	322.		8146	00322
	cdqp	8 15 00	1.462	326.		8146	20326
	adqp	8 41 00	1.388	322.		9139	00322
	cdqp	8 41 00	1.388	317.		9139	20317
	adqp	9 20 00	1.310	324.		9131	00324
	cdqp	9 20 00	1.310	325.		9131	20325
	adzsc	10 28 00	1.250	327.	as	10125	06327
	adzsc	11 01 00	1.252	337.	as	11125	06337
	adzsc	11 43 00	1.282	322.	as	12128	05322
	adzsc	12 08 00	1.317	323.	as	12132	05323
	adzsc	12 38 00	1.377	327.	as	13138	06327
13	*****						
	adzsc	10 10 00	1.262	314.	ac	10126	05314
	adzsc	10 24 00	1.256	315.	ac	10126	05315
	adzsc	10 40 00	1.254	311.	ac	11125	05311
14	*****						
	adqp	10 34 00	1.259	341.		11126	00341
	adqp	10 39 00	1.259	343.		11126	00343
	adqp	10 41 00	1.259	343.		11126	00343
15	*****						
	adzsc	8 25 00	1.450	334.	ac	8145	05334
	adzsc	8 45 00	1.396	333.	ac	9140	05333
	adqp	8 56 00	1.370	331.		9137	00331
	adzsc	9 09 00	1.344	329.		9134	05329
	adqp	9 24 00	1.320	333.		9132	00333
	cdqp	9 24 00	1.320	329.		9132	20329
	adqp	9 30 00	1.311	334.		10131	00334
	adzsc	9 47 00	1.291	329.	ac	10129	04329
16	*****						
	adzsc	5 51 00	2.670	320.	ac	6267	05320
	adzsc	6 10 00	2.380	327.	sc	6238	05327
	adzsc	6 24 00	2.208	323.	sc	6221	04323
	adzsc	7 17 00	1.761	318.	ac	7176	04318
	adzsc	7 31 00	1.680	316.	cc	8168	04316
	adqp	8 57 00	1.374	326.		9137	00326
	adqp	9 12 00	1.345	325.		9134	00325
	adqp	9 40 00	1.304	328.		10130	00328
	adqp	10 43 00	1.269	329.		11127	00329
	adqp	11 20 00	1.283	325.		11128	00325
	adzsc	12 50 00	1.437	314.	ac	13144	04314
17	*****						
	cdqp	5 32 00	3.080	300.		6308	20300
	adqp	5 32 00	3.080	307.		6308	00307
	adzsc	5 37 00	2.967	308.		6297	02308
	cdqp	5 46 00	2.785	312.		6279	20312
	adqp	5 46 00	2.785	309.		6279	00309
	cdqp	6 21 00	2.259	314.		6226	20314
	adqp	6 21 00	2.259	310.		6226	00310
	cdqp	6 37 00	2.087	316.		7209	20316
	adqp	6 37 00	2.087	311.		7209	00311
	adzsc	6 40 00	2.058	309.		7206	02309
	cdqp	7 55 00	1.574	325.		8157	20325
	adqp	7 55 00	1.574	311.		8157	00311
	cdqp	8 29 00	1.452	318.		8145	20318
	adqp	8 29 00	1.452	310.		8145	00310
	adqp	9 31 00	1.321	313.		10132	00313
	cdqp	10 34 00	1.275	315.		11128	20315
	adqp	10 34 00	1.275	314.		11128	00314
	cdqp	10 38 00	1.275	312.		11127	20312
	adqp	10 38 00	1.275	315.		11127	00315
	adzsc	10 42 00	1.275	311.		11127	02311
	cdqp	12 24 00	1.379	310.		12138	20310
	adqp	12 24 00	1.379	315.		12138	00315
	cdqp	13 01 00	1.479	312.		13148	20312
	adqp	13 01 00	1.479	315.		13148	00315
	cdqp	13 34 00	1.607	314.		14161	20314
	adqp	13 34 00	1.607	311.		14161	00311
	adzsc	13 52 00	1.698	310.		14170	02310
	cdqp	14 03 00	1.763	314.		14176	20314
	adqp	14 03 00	1.763	310.		14176	00310
	cdqp	14 30 00	1.957	308.		15196	20308

	adqp	14 30 00	1.957	306.		15196	00306
	adzb	14 40 00	2.045	302.		15205	02302
	cdqp	14 44 00	2.084	310.		15208	20310
	adqp	14 44 00	2.084	303.		15208	00303
18	*****						
	cdqp	5 28 00	3.211	282.		5321	20282
	adqp	5 28 00	3.211	285.		5321	00285
	adzb	5 31 00	3.136	286.		6314	02286
	adqp	5 34 00	3.065	288.		6307	00288
	cdqp	6 13 00	2.378	291.		6238	20291
	adqp	6 13 00	2.378	290.		6238	00290
	cdqp	6 29 00	2.185	293.		6218	20293
	adqp	6 29 00	2.185	291.		6218	00291
	adzb	6 32 00	2.152	287.		7215	02287
	cdqp	6 42 00	2.053	295.		7205	20295
	adqp	6 42 00	2.053	292.		7205	00292
	cdqp	7 12 00	1.814	293.		7181	20293
	adqp	7 12 00	1.814	291.		7181	00291
	cdqp	8 07 00	1.533	293.		8153	20293
	adqp	8 07 00	1.533	297.		8153	00297
	adqp	8 26 00	1.468	298.		8147	00298
	cdqp	9 37 00	1.319	298.		10132	20298
	adqp	9 37 00	1.319	300.		10132	00300
	cdqp	10 18 00	1.285	308.		10129	20308
	adqp	10 18 00	1.285	302.		10129	00302
	adqp	14 05 00	1.789	299.		14179	00299
	cdqp	14 05 00	1.789	290.		14179	20290
	adqp	14 27 00	1.949	297.		14195	00297
	cdqp	14 27 00	1.949	298.		14195	20298
	adqp	14 45 00	2.113	291.		15211	00291
	cdqp	14 45 00	2.113	290.		15211	20290
	adqp	15 07 00	2.367	295.		15237	00295
	cdqp	15 07 00	2.367	298.		15237	20298
	adqp	15 25 00	2.636	294.		15264	00294
	cdqp	15 25 00	2.636	293.		15264	20293
	adzb	15 28 00	2.687	290.		15269	02290
19	*****						
	adzc	5 44 00	2.879	281.	cc	6288	03281
	adzb	6 03 00	2.542	284.		6254	02284
	cdqp	6 19 00	2.319	288.		6232	20288
	adqp	6 19 00	2.319	289.		6232	00289
	cdqp	6 28 00	2.212	293.		6221	20293
	adqp	6 28 00	2.212	291.		6221	00291
	cdqp	6 42 00	2.067	295.		7207	20295
	adqp	6 42 00	2.067	292.		7207	00292
	cdqp	8 15 00	1.512	309.		8151	20309
	adqp	8 15 00	1.512	298.		8151	00298
	cdqp	8 35 00	1.448	306.		9145	20306
	adqp	8 35 00	1.448	298.		9145	00298
	adzb	8 43 00	1.427	293.		9143	02293
	cdqp	9 01 00	1.385	310.		9138	20310
	adqp	9 01 00	1.385	299.		9138	00299
	cdqp	10 13 00	1.293	292.		10129	20292
	adqp	10 13 00	1.293	293.		10129	00293
	adzb	10 24 00	1.289	288.		10129	02288
	cdqp	11 01 00	1.290	293.		11129	20293
	adqp	11 01 00	1.290	292.		11129	00292
	cdqp	11 37 00	1.317	297.		12132	20297
	adqp	11 37 00	1.317	294.		12132	00294
	adqp	12 00 00	1.348	291.		12135	00291
	cdqp	12 00 00	1.348	296.		12135	20296
	adqp	14 04 00	1.796	283.		14180	00283
	cdqp	14 04 00	1.796	287.		14180	20287
	adqp	14 25 00	1.949	286.		14195	00286
	cdqp	14 25 00	1.949	284.		14195	20284
	adqp	14 41 00	2.092	284.		15209	00284
	cdqp	14 41 00	2.092	279.		15209	20279
	adqp	15 01 00	2.314	282.		15231	00282
	cdqp	15 01 00	2.314	286.		15231	20286
	adzb	15 05 00	2.366	280.		15237	02280
	adqp	15 20 00	2.584	285.		15258	00285
	cdqp	15 20 00	2.584	287.		15258	20287
	adqp	15 32 00	2.795	282.		16279	00282
	cdqp	15 32 00	2.795	283.		16279	20283
20	*****						
	adqp	9 03 00	1.387	280.		9139	00280
	cdqp	9 03 00	1.387	281.		9139	20281

	adqp	9 40 00	1.327	281.		10133	00281
	cdqp	9 40 00	1.327	280.		10133	00280
	adqp	10 16 00	1.298	282.		10130	00282
	cdqp	10 16 00	1.298	284.		10130	00284
	adqp	10 25 00	1.295	284.		10129	00284
	cdqp	10 25 00	1.295	297.		10129	00297
	adzb	10 40 00	1.292	279.		11129	00279
	adqp	11 00 00	1.296	283.		11130	00283
	cdqp	11 00 00	1.296	278.		11130	00278
21	*****						
	adqp	8 48 00	1.428	294.		9143	00294
	cdqp	8 59 00	1.402	287.		9140	00287
	adqp	8 59 00	1.402	293.		9140	00293
	adzb	9 02 00	1.396	286.		9140	00286
	cdqp	9 21 00	1.360	282.		9136	00282
	adqp	9 21 00	1.360	292.		9136	00292
22	*****						
	adzc	5 57 00	2.714	283.	cc	6271	04283
	adqp	6 00 00	2.662	281.		6266	00281
	adqp	6 04 00	2.595	283.		6260	00283
	cdqp	6 12 00	2.473	285.		6247	00285
	adqp	6 12 00	2.473	285.		6247	00285
	adzc	8 07 00	1.566	285.	ac	8157	04285
	adzc	8 43 00	1.448	286.	sc	9145	05286
	adzc	10 25 00	1.307	288.	sc	10131	05288
	adzc	11 00 00	1.309	293.	ac	11131	04293
	adzc	11 53 00	1.359	290.	ac	12136	04290
	adzc	12 33 00	1.440	292.	ac	13144	04292
	adqp	14 17 00	1.935	294.		14194	00294
	cdqp	14 17 00	1.935	294.		14194	00294
	adqp	14 34 00	2.084	292.		15208	00292
	cdqp	14 34 00	2.084	291.		15208	00291
	adzc	14 57 00	2.339	283.	ac	15234	05283
	adzb	15 16 00	2.614	287.		15261	00287
23	*****						
	adzc	6 04 00	2.620	290.	ac	6262	04290
	adzc	6 23 00	2.344	291.	ac	6234	04291
	adzc	6 44 00	2.108	293.	ac	7211	04293
	adzc	6 53 00	2.024	291.	ac	7202	04291
	adzc	8 04 00	1.587	299.	ac	8159	04299
	adzc	8 23 00	1.516	295.	ac	8152	04295
	adzc	8 50 00	1.437	295.	ac	9144	04295
	adzc	9 15 00	1.384	294.	ac	9138	04294
	adqp	10 47 00	1.312	305.		11131	00305
	adqp	10 52 00	1.313	305.		11131	00305
	adqp	10 54 00	1.313	305.		11131	00305
	cdqp	11 19 00	1.327	312.		11133	00312
	adqp	11 19 00	1.327	306.		11133	00306
	cdqp	12 21 00	1.420	317.		12142	00317
	adqp	12 21 00	1.420	309.		12142	00309
	adqp	13 31 00	1.661	307.		14166	00307
	cdqp	13 31 00	1.661	314.		14166	00314
	adqp	13 53 00	1.783	306.		14178	00306
	cdqp	13 53 00	1.783	312.		14178	00312
	adzb	14 11 00	1.906	297.		14191	00297
	adzc	14 32 00	2.085	287.	cs	15208	05287
	adzc	15 00 00	2.405	290.	sc	15241	06290
24	*****						
	adzc	6 03 00	2.661	291.	sc	6266	05291
	adzc	6 53 00	2.039	292.	cs	7204	03292
	adqp	7 10 00	1.900	303.		7190	00303
	adqp	8 02 00	1.604	306.		8160	00306
	cdqp	8 08 00	1.579	308.		8158	00308
	cdqp	8 19 00	1.538	315.		8154	00315
	adqp	8 19 00	1.538	305.		8154	00305
	adqp	8 51 00	1.442	307.		9144	00307
	cdqp	10 34 00	1.318	323.		11132	00323
	adqp	10 34 00	1.318	310.		11132	00310
	adqp	11 08 00	1.326	311.		11133	00311
	cdqp	12 30 00	1.450	336.		13145	00336
	adqp	12 30 00	1.450	315.		13145	00315
	adzb	12 34 00	1.460	307.		13146	00307
	adqp	13 20 00	1.622	304.		13162	00304
	adqp	13 30 00	1.669	307.		14167	00307
	cdqp	13 30 00	1.669	311.		14167	00311
	adqp	13 53 00	1.797	308.		14180	00308
	cdqp	13 53 00	1.797	310.		14180	00310

	adzb	13 57 00	1.823	304.		14182	02304
	adqp	14 20 00	1.996	306.		14200	00306
	adqp	14 42 00	2.210	307.		15221	00307
	cdqp	14 42 00	2.210	308.		15221	20308
	adqp	15 03 00	2.476	307.		15248	00307
	cdqp	15 03 00	2.476	313.		15248	20313
25	*****						
	cdqp	6 04 00	2.670	306.		6267	20306
	adqp	6 04 00	2.670	303.		6267	00303
	adzb	6 08 00	2.603	296.		6260	02296
	cdqp	6 12 00	2.540	307.		6254	20307
	adqp	6 12 00	2.540	304.		6254	00304
	cdqp	6 34 00	2.249	312.		7225	20312
	adqp	6 34 00	2.249	308.		7225	00308
	cdqp	6 56 00	2.027	313.		7203	20313
	adqp	6 56 00	2.027	306.		7203	00306
	adz c	8 06 00	1.597	300.	ac	8160	04300
	adqp	8 17 00	1.554	311.		8155	00311
	cdqp	9 46 00	1.353	326.		10135	20326
	adqp	9 46 00	1.353	314.		10135	00314
	adzb	9 56 00	1.343	305.		10134	02305
	cdqp	10 22 00	1.328	329.		10133	20329
	adqp	10 22 00	1.328	313.		10133	00313
	cdqp	10 35 00	1.325	328.		11132	20328
	adqp	10 35 00	1.325	313.		11132	00313
	adqp	13 28 00	1.672	311.		13167	00311
	cdqp	13 28 00	1.672	312.		13167	29312
	adqp	13 42 00	1.746	315.		14175	00315
	cdqp	13 42 00	1.746	315.		14175	20315
	adqp	14 07 00	1.910	310.		14191	00310
	cdqp	14 07 00	1.910	311.		14191	20311
	adqp	14 37 00	2.179	304.		15218	00304
	cdqp	14 37 00	2.179	304.		15218	20304
	adzb	14 45 00	2.268	301.		15227	02301
	adqp	15 05 00	2.537	303.		15254	00303
	cdqp	15 05 00	2.537	299.		15254	20299
	adqp	15 19 00	2.773	307.		15277	00307
	cdqp	15 19 00	2.773	309.		15277	20309
26	*****						
	cdqp	6 06 00	2.662	302.		6266	20302
	adqp	6 06 00	2.662	302.		6266	00302
	adzb	6 12 00	2.564	295.		6256	02295
	cdqp	6 20 00	2.446	306.		6245	20306
	adqp	6 20 00	2.446	303.		6245	00303
	cdqp	6 41 00	2.189	309.		7219	20309
	adqp	6 41 00	2.189	304.		7219	00304
	cdqp	7 00 00	2.007	313.		7201	20313
	adqp	7 00 00	2.007	308.		7201	00308
	adzb	7 03 00	1.981	299.		7198	02299
	cdqp	8 11 00	1.586	319.		8159	20319
	adqp	8 11 00	1.586	309.		8159	00309
	adqp	8 38 00	1.493	310.		9149	00310
	cdqp	9 00 00	1.436	333.		9144	20333
	adqp	9 00 00	1.436	311.		9144	00311
	adzb	9 03 00	1.430	306.		9143	02306
	adqp	10 03 00	1.345	311.		10134	00311
	adz c	10 17 00	1.336	298.	cc	10134	03298
	adz c	12 19 00	1.441	298.	ac	12144	04298
	adqp	13 30 00	1.695	310.		14169	00310
	cdqp	13 30 00	1.695	303.		14169	20303
	adzb	13 54 00	1.835	308.		14183	02308
	adqp	14 07 00	1.928	311.		14193	00311
	adqp	14 31 00	2.139	307.		15214	00307
	cdqp	14 31 00	2.139	310.		15214	20310
	adqp	14 47 00	2.318	307.		15232	00307
	cdqp	14 47 00	2.318	309.		15232	20309
	adqp	15 00 00	2.493	309.		15249	00309
	cdqp	15 00 00	2.493	309.		15249	20309
	adqp	15 17 00	2.774	306.		15277	00306
	cdqp	15 17 00	2.774	302.		15277	20302
27	*****						
	adzb	6 09 00	2.637	307.		6264	02307
	cdqp	6 41 00	2.206	294.		7221	20294
	adqp	6 41 00	2.206	300.		7221	00300
	cdqp	6 58 00	2.039	298.		7204	20298
	adqp	6 58 00	2.039	300.		7204	00300
	adzb	7 55 00	1.665	301.		8166	02301

	cdqp	9 06 00	1.431	313.		9143	20313
	adqp	9 06 00	1.431	307.		9143	00307
	cdqp	9 57 00	1.356	318.		10136	20318
	adqp	9 57 00	1.356	311.		10136	00311
28	*****						
	cdqp	13 50 00	1.841	296.		14184	20296
	adqp	13 50 00	1.841	299.		14184	00299
	cdqp	13 53 00	1.861	303.		14186	20303
	adqp	13 53 00	1.861	297.		14186	00297
	cdqp	14 00 00	1.911	306.		14191	20306
	adqp	14 00 00	1.911	295.		14191	00295
29	*****						
	cdqp	7 55 00	1.686	285.		8169	20285
	adqp	7 55 00	1.686	290.		8169	00290
	adqp	8 00 00	1.662	294.		8166	00294
	adqp	8 08 00	1.627	290.		8163	00290
	cdqp	8 20 00	1.579	286.		8158	20286
	adqp	8 20 00	1.579	290.		8158	00290
	cdqp	9 05 00	1.449	282.		9145	20282
	adqp	9 05 00	1.449	292.		9145	00292
	adzb	9 08 00	1.443	287.		9144	02287
	cdqp	9 23 00	1.414	283.		9141	20283
	adqp	9 23 00	1.414	291.		9141	00291
	cdqp	9 40 00	1.389	282.		10139	20282
	adqp	9 40 00	1.389	293.		10139	00293
	cdqp	10 12 00	1.361	287.		10136	20287
	adqp	10 12 00	1.361	294.		10136	00294
	cdqp	10 32 00	1.354	288.		11135	20288
	adqp	10 32 00	1.354	297.		11135	00297
	cdqp	11 46 00	1.405	291.		12140	20291
	adqp	11 46 00	1.405	297.		12140	00297
	adzb	11 51 00	1.413	289.		12141	02289
	adzb	13 37 00	1.776	297.		14178	02297
	adzb	13 56 00	1.900	294.		14190	02294
	adqp	14 09 00	2.000	297.		14200	00297
	cdqp	14 09 00	2.000	300.		14200	20300
	adqp	14 32 00	2.221	292.		15222	00292
	cdqp	14 32 00	2.221	294.		15222	20294
	adqp	14 47 00	2.403	290.		15240	00290
	cdqp	14 47 00	2.403	290.		15240	20290
	adqp	15 05 00	2.674	283.		15267	00283
	cdqp	15 05 00	2.674	277.		15267	20277
30	*****						
	adzc	6 00 00	2.886	290.	sc	6289	06290
	adzc	6 11 00	2.682	287.	sc	6268	06287
	adzc	6 53 00	2.134	285.	sc	7213	06285
	adzc	7 10 00	1.982	291.	sc	7198	06291
	adqp	8 30 00	1.553	289.		9155	00289
	adqp	8 33 00	1.543	290.		9154	00290
	adqp	8 45 00	1.507	290.		9151	00290
	adzc	10 34 00	1.362	295.	sc	11136	05295
	adzc	13 24 00	1.720	297.	ac	13172	06297
	adzc	13 42 00	1.822	294.	ac	14182	06294
	adzc	14 13 00	2.056	295.	ac	14206	06295
	adzc	14 39 00	2.329	297.	ac	15233	06297
	adzc	15 05 00	2.712	300.	ac	15271	06300
31	*****						
	adzc	6 10 00	2.727	293.	sc	6273	05293
	adzc	6 34 00	2.367	290.	sc	7237	05290
	adzc	6 55 00	2.132	289.	sc	7213	05289
	adqp	8 12 00	1.630	292.		8163	00292
	cdqp	8 18 00	1.606	302.		8161	20302
	adqp	8 18 00	1.606	295.		8161	00295
	adqp	8 24 00	1.584	293.		8158	00293
	adzc	9 39 00	1.406	289.	sc	10141	04289
	adzb	10 26 00	1.371	295.		10137	02295
	cdqp	10 30 00	1.370	302.		11137	20302
	adqp	10 30 00	1.370	296.		11137	00296
	cdqp	10 40 00	1.370	302.		11137	20302
	adqp	10 40 00	1.370	299.		11137	00299
	adqp	13 21 00	1.719	297.		13172	00297
	adzc	13 44 00	1.852	285.	cu	14185	05285
	adzb	14 12 00	2.069	291.		14207	02291
	adqp	14 15 00	2.096	294.		14210	00294
	cdqp	14 15 00	2.096	296.		14210	20296
	adqp	14 48 00	2.478	293.		15248	00293
	cdqp	14 48 00	2.478	295.		15248	20295

adqp	15 02 00	2.698	291.	15270	00291
cdqp	15 02 00	2.698	293.	15270	20293

End of total ozone observations computation for August 2022

Total Ozone Observations on Inst. No. 84
at Belsk, Poland

September 2022

Date	Type	GMT	MU	XOZ	CLS	GGMMM	LSXXX
1	*****						
	cdqp	5 42 00	3.388	287.		6339	20287
	adqp	5 42 00	3.388	288.		6339	00288
	cdqp	5 54 00	3.082	292.		6308	20292
	adqp	5 54 00	3.082	290.		6308	00290
	cdqp	6 14 00	2.686	292.		6269	20292
	adqp	6 14 00	2.686	293.		6269	00293
	adzb	6 17 00	2.636	280.		6264	02280
	cdqp	6 42 00	2.290	290.		7229	20290
	adqp	6 42 00	2.290	291.		7229	00291
	cdqp	6 53 00	2.170	291.		7217	20291
	adqp	6 53 00	2.170	292.		7217	00292
	adzb	6 56 00	2.140	284.		7214	02284
	cdqp	7 04 00	2.065	290.		7206	20290
	adqp	7 04 00	2.065	292.		7206	00292
	cdqp	7 59 00	1.699	299.		8170	20299
	adqp	7 59 00	1.699	297.		8170	00297
	adzb	8 02 00	1.685	291.		8168	02291
	cdqp	8 19 00	1.613	296.		8161	20296
	adqp	8 19 00	1.613	295.		8161	00295
	adqp	8 34 00	1.559	298.		9156	00298
	adzb	10 52 00	1.380	297.		11138	02297
	adqp	11 00 00	1.384	303.		11138	00303
	adqp	11 03 00	1.385	302.		11139	00302
	adqp	11 21 00	1.399	302.		11140	00302
	cdqp	11 25 00	1.404	303.		11140	20303
	adqp	11 25 00	1.404	301.		11140	00301
	adqp	13 31 00	1.788	297.		14179	00297
	adqp	13 58 00	1.971	294.		14197	00294
	cdqp	13 58 00	1.971	295.		14197	20295
	adqp	14 24 00	2.210	296.		14221	00296
	cdqp	14 24 00	2.210	299.		14221	20299
	adzb	14 27 00	2.243	289.		14224	02289
	adqp	14 47 00	2.497	293.		15250	00293
	cdqp	14 47 00	2.497	293.		15250	20293
	adqp	15 04 00	2.773	292.		15277	00292
	cdqp	15 04 00	2.773	291.		15277	20291
2	*****						
	cdqp	5 57 00	3.050	289.		6305	20289
	adqp	5 57 00	3.050	289.		6305	00289
	cdqp	6 12 00	2.749	287.		6275	20287
	adqp	6 12 00	2.749	291.		6275	00291
	adzb	6 15 00	2.696	283.		6270	02283
	adqp	6 54 00	2.178	284.		7218	00284
	adzb	6 58 00	2.138	287.		7214	02287
	cdqp	7 03 00	2.090	295.		7209	20295
	adqp	7 03 00	2.090	295.		7209	00295
	cdqp	7 50 00	1.757	299.		8176	20299
	adqp	7 50 00	1.757	297.		8176	00297
	adzb	7 54 00	1.736	290.		8174	02290
	cdqp	8 17 00	1.631	300.		8163	20300
	adqp	8 17 00	1.631	297.		8163	00297
	cdqp	8 32 00	1.576	299.		9158	20299
	adqp	8 32 00	1.576	297.		9158	00297
	cdqp	10 25 00	1.387	306.		10139	20306
	adqp	10 25 00	1.387	303.		10139	00303
	adqp	11 05 00	1.395	305.		11140	00305
	adqp	13 39 00	1.854	301.		14185	00301
	cdqp	13 39 00	1.854	310.		14185	20310
	adqp	14 06 00	2.059	297.		14206	00297
	cdqp	14 06 00	2.059	294.		14206	20294
	adqp	14 30 00	2.305	301.		15230	00301
	cdqp	14 30 00	2.305	308.		15230	20308
	adzb	14 48 00	2.545	291.		15255	02291
	adqp	15 01 00	2.760	296.		15276	00296
	cdqp	15 01 00	2.760	292.		15276	20292

```

3 *****
  adqp      7 44 00    1.803    296.      8180 00296
  cdqp      7 44 00    1.803    298.      8180 20298
  adqp      8 06 00    1.689    296.      8169 00296
  cdqp      8 06 00    1.689    293.      8169 20293
  adqp      8 24 00    1.614    295.      8161 00295
  cdqp      8 24 00    1.614    293.      8161 20293
  adzb      8 29 00    1.596    294.      8160 02294
  adqp      8 54 00    1.519    297.      9152 00297
  adqp      9 13 00    1.475    299.      9148 00299
4 *****
  cdqp     10 12 00    1.409    320.     10141 20320
  adqp     10 12 00    1.409    310.     10141 00310
  adzb     10 39 00    1.403    304.     11140 02304
  cdqp     11 39 00    1.450    309.     12145 20309
  adqp     11 39 00    1.450    307.     12145 00307
  adzc     13 39 00    1.891    295.      sc     14189 06295
  adzc     13 51 00    1.978    298.      sc     14198 06298
  adzc     14 01 00    2.060    296.      sc     14206 06296
  adzc     14 50 00    2.649    292.      sc     15265 06292
5 *****
  cdqp      6 01 00    3.068    286.     6307 20286
  adqp      6 01 00    3.068    287.     6307 00287
  cdqp      6 08 00    2.918    287.     6292 20287
  adqp      6 08 00    2.918    287.     6292 00287
  adzb      6 11 00    2.859    280.     6286 02280
  cdqp      6 22 00    2.662    283.     6266 20283
  adqp      6 22 00    2.662    287.     6266 00287
  cdqp      6 49 00    2.290    287.     7229 20287
  adqp      6 49 00    2.290    291.     7229 00291
  cdqp      7 09 00    2.087    289.     7209 20289
  adqp      7 09 00    2.087    291.     7209 00291
  cdqp      7 55 00    1.767    289.     8177 20289
  adqp      7 55 00    1.767    292.     8177 00292
  adzb      8 00 00    1.742    283.     8174 02283
  cdqp      8 23 00    1.640    291.     8164 20291
  adqp      8 23 00    1.640    292.     8164 00292
  cdqp      8 43 00    1.570    289.     9157 20289
  adqp      8 43 00    1.570    293.     9157 00293
  cdqp      9 19 00    1.482    293.     9148 20293
  adqp      9 19 00    1.482    292.     9148 00292
  adzb      9 26 00    1.469    284.     9147 02284
  cdqp     10 11 00    1.419    287.     10142 20287
  adqp     10 11 00    1.419    292.     10142 00292
  cdqp     10 36 00    1.412    293.     11141 20293
  adqp     10 36 00    1.412    291.     11141 00291
  adzb     10 39 00    1.412    283.     11141 02283
  adqp     11 04 00    1.422    291.     11142 00291
  adqp     13 25 00    1.820    289.     13182 00289
  adqp     13 47 00    1.968    286.     14197 00286
  cdqp     13 47 00    1.968    296.     14197 20296
  adzb     13 50 00    1.991    278.     14199 02278
  adqp     14 13 00    2.198    286.     14220 00286
  cdqp     14 13 00    2.198    290.     14220 20290
  adqp     14 32 00    2.420    284.     15242 00284
  cdqp     14 32 00    2.420    282.     15242 20282
  adqp     14 55 00    2.776    287.     15278 00287
  cdqp     14 55 00    2.776    279.     15278 20279
6 *****
  cdqp      6 35 00    2.491    286.     7249 20286
  adqp      6 35 00    2.491    291.     7249 00291
  adzb      6 39 00    2.436    287.     7244 02287
  cdqp      6 48 00    2.323    294.     7232 20294
  adqp      6 48 00    2.323    294.     7232 00294
  cdqp      7 11 00    2.087    298.     7209 20298
  adqp      7 11 00    2.087    300.     7209 00300
  cdqp      8 05 00    1.729    301.     8173 20301
  adqp      8 05 00    1.729    303.     8173 00303
  adzb      8 08 00    1.715    297.     8172 02297
  cdqp      8 22 00    1.655    308.     8165 20308
  adqp      8 22 00    1.655    306.     8165 00306
  cdqp      8 37 00    1.600    308.     9160 20308
  adqp      8 37 00    1.600    308.     9160 00308
  cdqp      9 35 00    1.464    315.     10146 20315
  adqp      9 35 00    1.464    310.     10146 00310
  adzb      9 44 00    1.452    300.     10145 20300
  cdqp     10 00 00    1.436    297.     10144 20297

```

adqp	10 00 00	1.436	305.	10144	00305
cdqp	10 27 00	1.422	303.	10142	20303
adqp	10 27 00	1.422	308.	10142	00308
cdqp	10 35 00	1.421	299.	11142	20299
adqp	10 35 00	1.421	306.	11142	00306
cdqp	11 54 00	1.497	306.	12150	20306
adqp	11 54 00	1.497	308.	12150	00308
adqp	12 46 00	1.647	305.	13165	00305
cdqp	13 16 00	1.786	309.	13179	20309
adqp	13 16 00	1.786	305.	13179	00305
cdqp	13 49 00	2.004	303.	14200	20303
adqp	13 49 00	2.004	302.	14200	00302
adzb	14 01 00	2.107	292.	14211	02292
cdqp	14 13 00	2.225	303.	14222	20303
adqp	14 13 00	2.225	301.	14222	00301
adqp	14 23 00	2.338	301.	14234	00301
cdqp	14 36 00	2.508	296.	15251	20296
adqp	14 36 00	2.508	298.	15251	00298
7	*****				
cdqp	5 48 00	3.488	299.	6349	20299
adqp	5 48 00	3.488	300.	6349	00300
cdqp	6 03 00	3.097	300.	6310	20300
adqp	6 03 00	3.097	303.	6310	00303
adzb	6 06 00	3.030	291.	6303	02291
cdqp	6 18 00	2.790	303.	6279	20303
adqp	6 18 00	2.790	306.	6279	00306
cdqp	6 28 00	2.621	305.	6262	20305
adqp	6 28 00	2.621	307.	6262	00307
cdqp	6 44 00	2.395	302.	7239	20302
adqp	6 44 00	2.395	307.	7239	00307
cdqp	7 14 00	2.078	306.	7208	20306
adqp	7 14 00	2.078	306.	7208	00306
adzb	7 18 00	2.044	295.	7204	02295
cdqp	8 19 00	1.679	313.	8168	20313
adqp	8 19 00	1.679	309.	8168	00309
cdqp	8 50 00	1.570	316.	9157	20316
adqp	8 50 00	1.570	309.	9157	00309
cdqp	9 21 00	1.497	316.	9150	20316
adqp	9 21 00	1.497	311.	9150	00311
adzb	9 24 00	1.492	299.	9149	02299
cdqp	9 53 00	1.451	316.	10145	20316
adqp	9 53 00	1.451	309.	10145	00309
cdqp	10 21 00	1.433	311.	10143	20311
adqp	10 21 00	1.433	310.	10143	00310
cdqp	10 39 00	1.431	309.	11143	20309
adqp	10 39 00	1.431	313.	11143	00313
adzb	10 42 00	1.431	305.	11143	02305
adqp	11 21 00	1.456	315.	11146	00315
adqp	13 00 00	1.722	313.	13172	00313
cdqp	13 12 00	1.782	311.	13178	20311
adqp	13 12 00	1.782	310.	13178	00310
cdqp	13 38 00	1.942	309.	14194	20309
adqp	13 38 00	1.942	309.	14194	00309
adzb	13 43 00	1.979	301.	14198	02301
cdqp	14 03 00	2.150	307.	14215	20307
adqp	14 03 00	2.150	307.	14215	00307
cdqp	14 17 00	2.297	312.	14230	20312
adqp	14 17 00	2.297	307.	14230	00307
adzb	14 36 00	2.543	301.	15254	02301
8	*****				
cdqp	5 45 00	3.630	290.	6363	20290
adqp	5 45 00	3.630	296.	6363	00296
cdqp	6 03 00	3.136	295.	6314	20295
adqp	6 03 00	3.136	302.	6314	00302
adzb	6 06 00	3.067	297.	6307	02297
cdqp	6 11 00	2.959	299.	6296	20299
adqp	6 11 00	2.959	303.	6296	00303
cdqp	6 52 00	2.320	305.	7232	20305
adqp	6 52 00	2.320	307.	7232	00307
cdqp	8 11 00	1.726	315.	8173	20315
adqp	8 11 00	1.726	309.	8173	00309
cdqp	9 46 00	1.469	315.	10147	20315
adqp	9 46 00	1.469	311.	10147	00311
cdqp	10 27 00	1.441	311.	10144	20311
adqp	10 27 00	1.441	311.	10144	00311
adzb	12 20 00	1.585	303.	12159	02303
adzb	13 36 00	1.949	302.	14195	02302

	cdqp	14 08 00	2.227	310.		14223	20310
	adqp	14 08 00	2.227	304.		14223	00304
	adzb	14 40 00	2.642	296.		15264	02296
9	*****						
	adzc	9 20 00	1.519	316.	as	9152	06316
	adzc	9 41 00	1.485	314.	as	10148	06314
	adzc	12 54 00	1.726	320.	as	13173	06320
	adzc	13 19 00	1.857	322.	sc	13186	06322
10	*****						
	adzc	11 05 00	1.472	370.	sc	11147	06370
	adzc	11 14 00	1.481	367.	sc	11148	06367
	adzc	11 24 00	1.492	363.	sc	11149	06363
11	*****						
	adzc	12 39 00	1.693	313.	sc	13169	06313
	adzc	13 04 00	1.814	318.	sc	13181	06318
	adzc	13 32 00	1.983	310.	as	14198	06310
	adzc	13 54 00	2.167	310.	as	14217	06310
	adzc	14 30 00	2.603	316.	as	15260	06316
12	*****						
	adzc	11 18 00	1.507	327.	sc	11151	06327
	adzc	11 39 00	1.538	324.	sc	12154	06324
	adzc	11 56 00	1.574	322.	sc	12157	06322
	adzc	13 03 00	1.821	315.	sc	13182	06315
	adzc	13 22 00	1.935	309.	sc	13193	06309
	adzc	14 00 00	2.255	318.	sc	14226	06318
	adzc	14 26 00	2.581	321.	sc	14258	06321
13	*****						
	cdqp	6 15 00	3.057	293.		6306	20293
	adqp	6 15 00	3.057	291.		6306	00291
	cdqp	6 20 00	2.952	289.		6295	20289
	adqp	6 20 00	2.952	291.		6295	00291
	adzb	6 25 00	2.855	285.		6286	02285
	cdqp	6 30 00	2.765	294.		7276	20294
	adqp	6 30 00	2.765	292.		7276	00292
	cdqp	6 46 00	2.516	295.		7252	20295
	adqp	6 46 00	2.516	294.		7252	00294
	cdqp	7 27 00	2.076	302.		7208	20302
	adqp	7 27 00	2.076	297.		7208	00297
	adzb	7 30 00	2.051	292.		8205	02292
	adqp	7 33 00	2.028	297.		8203	00297
	adqp	7 42 00	1.963	299.		8196	00299
	adzc	9 11 00	1.582	302.	ac	9158	04302
	adzc	9 45 00	1.522	298.	ac	10152	04298
	adzc	10 23 00	1.493	300.	sc	10149	05300
	adzc	11 28 00	1.533	306.	sc	11153	05306
	adqp	12 21 00	1.658	313.		12166	00313
	adzc	12 52 00	1.783	300.	as	13178	05300
	adzc	13 29 00	2.006	309.	sc	13201	05309
	adzc	13 54 00	2.222	312.	sc	14222	05312
14	*****						
	adqp	6 51 00	2.475	303.		7247	00303
	adqp	7 10 00	2.253	305.		7225	00305
	adqp	7 19 00	2.165	307.		7216	00307
	adqp	7 22 00	2.138	305.		7214	00305
	adqp	7 24 00	2.120	306.		7212	00306
	adzb	7 43 00	1.972	302.		8197	02302
	adqp	7 46 00	1.952	301.		8195	00301
	cdqp	7 50 00	1.926	315.		8193	20315
	adqp	7 50 00	1.926	303.		8193	00303
	cdqp	7 53 00	1.907	312.		8191	20312
	adqp	7 53 00	1.907	304.		8191	00304
	adzb	8 08 00	1.822	300.		8182	02300
	cdqp	8 11 00	1.807	311.		8181	20311
	adqp	8 11 00	1.807	302.		8181	00302
	cdqp	8 16 00	1.783	310.		8178	20310
	adqp	8 16 00	1.783	301.		8178	00301
	adzc	9 39 00	1.541	292.	cs	10154	05292
	adzc	10 12 00	1.508	293.	cs	10151	05293
	adqp	10 16 00	1.506	305.		10151	00305
	adqp	10 26 00	1.503	306.		10150	00306
	adqp	10 50 00	1.507	306.		11151	00306
	adzc	13 02 00	1.853	286.	cs	13185	06286
	adzc	13 32 00	2.052	287.	cs	14205	06287
15	*****						
	adzc	7 19 00	2.185	312.	sc	7219	05312
	adzc	7 31 00	2.080	314.	sc	8208	06314
	adzc	7 53 00	1.923	314.	sc	8192	06314

	adzb	9 13 00	1.601	309.		9160	02309
	cdqp	9 16 00	1.594	317.		9159	20317
	adqp	9 16 00	1.594	315.		9159	00315
	cdqp	9 20 00	1.586	320.		9159	20320
	adqp	9 20 00	1.586	315.		9159	00315
	adzb	9 24 00	1.578	308.		9158	02308
	cdqp	9 31 00	1.565	319.		10156	20319
	adqp	9 31 00	1.565	315.		10156	00315
	cdqp	9 41 00	1.549	322.		10155	20322
	adqp	9 41 00	1.549	316.		10155	00316
	adqp	9 49 00	1.539	314.		10154	00314
	cdqp	10 24 00	1.515	323.		10152	20323
	adqp	10 24 00	1.515	315.		10152	00315
	adzc	13 15 00	1.952	303.	cs	13195	06303
	adzc	13 31 00	2.068	305.	sc	14207	06305
	adzc	14 22 00	2.638	304.	as	14264	06304
16	*****						
	adzc	6 42 00	2.660	316.	sc	7266	06316
	adzc	6 57 00	2.449	312.	sc	7245	06312
	adzb	7 13 00	2.266	318.		7227	02318
	adzb	7 30 00	2.108	317.		8211	02317
	adzc	7 52 00	1.946	307.	sc	8195	06307
	adzb	8 50 00	1.676	323.		9168	02323
	adzc	10 18 00	1.528	318.	sc	10153	06318
	cdqp	12 14 00	1.680	321.		12168	20321
	adqp	12 14 00	1.680	317.		12168	00317
	adzb	13 10 00	1.941	309.		13194	02309
	cdqp	14 21 00	2.664	317.		14266	20317
	adqp	14 21 00	2.664	314.		14266	00314
17	*****						
	adzc	9 46 00	1.566	325.	sc	10157	06325
	adzc	9 58 00	1.553	331.	sc	10155	06331
	adzc	10 10 00	1.544	325.	sc	10154	06325
	adzc	10 31 00	1.538	317.	sc	11154	06317
	adzc	12 39 00	1.793	326.	ac	13179	06326
	adzc	12 50 00	1.846	319.	ac	13185	06319
18	*****						
	adzc	13 09 00	1.978	346.	sc	13198	05346
	adzc	13 15 00	2.019	337.	sc	13202	05337
	adzc	13 24 00	2.087	339.	sc	13209	05339
19	*****						
	adzc	7 03 00	2.452	352.	sc	7245	05352
	adqp	7 07 00	2.403	352.		7240	00352
	adqp	7 09 00	2.380	352.		7238	00352
	adqp	7 15 00	2.314	352.		7231	00352
	adqp	7 22 00	2.242	355.		7224	00355
	adqp	7 24 00	2.223	353.		7222	00353
	adqp	7 35 00	2.126	355.		8213	00355
	adqp	8 03 00	1.929	352.		8193	00352
	adqp	8 51 00	1.713	354.		9171	00354
	adqp	9 01 00	1.683	357.		9168	00357
	adqp	9 33 00	1.610	358.		10161	00358
	adzc	10 46 00	1.566	358.	sc	11157	06358
	adzc	11 13 00	1.589	362.	sc	11159	06362
20	*****						
	adzc	7 03 00	2.478	362.	as	7248	06362
	adzc	7 11 00	2.382	361.	as	7238	06361
	adzc	7 24 00	2.246	355.	as	7225	06355
	adzc	7 45 00	2.067	355.	sc	8207	06355
	adzc	8 06 00	1.929	350.	sc	8193	06350
	adzc	8 30 00	1.808	353.	sc	9181	05353
	adzc	9 34 00	1.621	356.	sc	10162	06356
	adqp	10 01 00	1.587	353.		10159	00353
	adzc	10 41 00	1.577	348.	sc	11158	06348
	adzc	11 54 00	1.683	335.	cu	12168	05335
	adzc	12 17 00	1.756	339.	cu	12176	05339
	adqp	12 23 00	1.779	352.		12178	00352
	adqp	12 40 00	1.854	350.		13185	00350
	adqp	12 53 00	1.923	352.		13192	00352
	cdqp	12 53 00	1.923	356.		13192	20356
	adzc	13 33 00	2.218	348.	sc	14222	06348
	adqp	13 58 00	2.492	347.		14249	00347
21	*****						
	adzc	7 06 00	2.468	354.	sc	7247	06354
	adqp	7 45 00	2.087	346.		8209	00346
	adqp	7 48 00	2.064	347.		8206	00347
	adqp	8 35 00	1.802	351.		9180	00351

	adqp	8 56 00	1.726	350.		9173	00350
	cdqp	9 01 00	1.711	366.		9171	20366
	adqp	9 01 00	1.711	352.		9171	00352
	adqp	9 16 00	1.671	351.		9167	00351
	cdqp	9 47 00	1.615	363.		10162	20363
	adqp	9 47 00	1.615	351.		10162	00351
	cdqp	9 50 00	1.611	358.		10161	20358
	adqp	9 50 00	1.611	350.		10161	00350
	adqp	10 12 00	1.593	350.		10159	00350
	adzc	13 20 00	2.132	344.	as	13213	05344
	adqp	13 39 00	2.307	341.		14231	00341
	cdqp	13 39 00	2.307	353.		14231	20353
	adqp	13 56 00	2.503	342.		14250	00342
	cdqp	13 56 00	2.503	344.		14250	20344
	adzc	14 00 00	2.557	341.	sc	14256	06341
22	*****						
	adzc	6 55 00	2.646	365.	as	7265	05365
	adzc	7 10 00	2.446	361.	as	7245	05361
	adzc	8 05 00	1.970	349.	as	8197	05349
	adzc	8 16 00	1.908	350.	sc	8191	05350
	adzc	9 01 00	1.725	343.	sc	9172	04343
	adqp	9 26 00	1.663	357.		9166	00357
	adqp	9 29 00	1.657	355.		9166	00355
	adqp	9 38 00	1.641	356.		10164	00356
	adqp	9 45 00	1.631	355.		10163	00355
	adqp	10 21 00	1.602	353.		10160	00353
	adqp	10 36 00	1.602	353.		11160	00353
	adqp	11 00 00	1.616	354.		11162	00354
	adzc	13 18 00	2.143	345.	sc	13214	05345
	adqp	13 39 00	2.339	348.		14234	00348
	cdqp	13 39 00	2.339	350.		14234	20350
	adzb	13 51 00	2.477	343.		14248	02343
	adqp	13 54 00	2.515	344.		14251	00344
	adzb	14 04 00	2.654	345.		14265	02345
23	*****						
	adqp	6 53 00	2.708	339.		7271	00339
	cdqp	6 56 00	2.662	338.		7266	20338
	adqp	6 56 00	2.662	339.		7266	00339
	cdqp	7 05 00	2.536	342.		7254	20342
	adqp	7 05 00	2.536	339.		7254	00339
	cdqp	7 15 00	2.414	344.		7241	20344
	adqp	7 15 00	2.414	341.		7241	00341
	cdqp	7 55 00	2.054	341.		8205	20341
	adqp	7 55 00	2.054	338.		8205	00338
	adzb	7 57 00	2.040	332.		8204	02332
	cdqp	8 00 00	2.020	346.		8202	20346
	adqp	8 00 00	2.020	339.		8202	00339
	cdqp	8 53 00	1.765	342.		9177	20342
	adqp	8 53 00	1.765	336.		9177	00336
	cdqp	9 12 00	1.709	342.		9171	20342
	adqp	9 12 00	1.709	335.		9171	00335
	cdqp	9 32 00	1.665	342.		10167	20342
	adqp	9 32 00	1.665	334.		10167	00334
	cdqp	10 45 00	1.619	343.		11162	20343
	adqp	10 45 00	1.619	333.		11162	00333
	adzb	10 48 00	1.621	326.		11162	02326
	cdqp	11 18 00	1.652	354.		11165	20354
	adqp	11 18 00	1.652	335.		11165	00335
	adzb	12 19 00	1.818	333.		12182	02333
	adqp	12 39 00	1.910	339.		13191	00339
	cdqp	12 39 00	1.910	341.		13191	20341
	adzb	12 54 00	1.996	332.		13200	02332
	adqp	13 10 00	2.106	334.		13211	00334
	cdqp	13 10 00	2.106	336.		13211	20336
	adqp	13 23 00	2.213	334.		13221	00334
	cdqp	13 23 00	2.213	334.		13221	20334
	adqp	13 38 00	2.360	334.		14236	00334
	cdqp	13 38 00	2.360	336.		14236	20336
	adqp	14 04 00	2.696	332.		14270	00332
	cdqp	14 04 00	2.696	336.		14270	20336
24	*****						
	adzc	7 01 00	2.621	335.	cs	7262	03335
	adzc	7 30 00	2.281	329.	cs	8228	03329
	adqp	7 53 00	2.088	334.		8209	00334
	adqp	8 00 00	2.039	335.		8204	00335
	adqp	8 25 00	1.896	338.		8190	00338
	adqp	8 33 00	1.859	338.		9186	00338

	adzc	9 01 00	1.755	329.	as	9175	05329
25	*****						
	adqp	8 05 00	2.026	339.		8203	00339
	adzc	8 26 00	1.909	332.	cu	8191	05332
	adqp	8 38 00	1.854	340.		9185	00340
	cdqp	8 38 00	1.854	343.		9185	20343
	adqp	8 52 00	1.800	338.		9180	00338
	cdqp	8 52 00	1.800	342.		9180	20342
	adqp	9 11 00	1.741	339.		9174	00339
	cdqp	9 11 00	1.741	338.		9174	20338
	adqp	9 28 00	1.702	339.		9170	00339
	cdqp	9 28 00	1.702	337.		9170	20337
26	*****						
	adzc	7 18 00	2.460	337.	cc	7246	04337
	adzc	7 23 00	2.403	337.	cc	7240	04337
	adqp	7 27 00	2.361	341.		7236	00341
	cdqp	7 35 00	2.281	341.		8228	20341
	adqp	7 35 00	2.281	342.		8228	00342
	cdqp	7 37 00	2.263	341.		8226	20341
	adqp	7 37 00	2.263	341.		8226	00341
	adqp	7 40 00	2.236	342.		8224	00342
	adzc	9 00 00	1.789	338.	sc	9179	05338
	adqp	9 57 00	1.673	344.		10167	00344
	cdqp	10 09 00	1.664	349.		10166	20349
	adqp	10 09 00	1.664	342.		10166	00342
	cdqp	10 20 00	1.659	346.		10166	20346
	adqp	10 20 00	1.659	341.		10166	00341
	adqp	10 37 00	1.659	343.		11166	00343
	adzb	12 22 00	1.890	344.		12189	02344
	adzc	12 40 00	1.981	333.	ac	13198	05333
	adzc	13 07 00	2.163	328.	ac	13216	05328
	adzc	13 35 00	2.429	334.	ac	14243	05334
	adzc	13 51 00	2.631	339.	ac	14263	05339
	adzc	14 03 00	2.816	343.	ac	14282	05343
27	*****						
	adzc	10 42 00	1.676	334.	sc	11168	06334
	adzc	11 09 00	1.701	337.	sc	11170	05337
	adqp	11 13 00	1.707	334.		11171	00334
	adzb	13 03 00	2.159	331.		13216	02331
	adqp	13 07 00	2.191	329.		13219	00329
	adzc	13 25 00	2.355	327.	cu	13236	05327
	adzc	13 44 00	2.576	324.	cu	14258	05324
	adzc	14 02 00	2.847	319.	as	14285	05319
28	*****						
	adzb	6 52 00	2.901	332.		7290	02332
	adqp	7 00 00	2.767	337.		7277	00337
	adqp	7 04 00	2.706	339.		7271	00339
	cdqp	7 10 00	2.621	334.		7262	20334
	adqp	7 10 00	2.621	339.		7262	00339
	adqp	7 14 00	2.568	341.		7257	00341
	adqp	8 37 00	1.911	341.		9191	00341
	adqp	8 45 00	1.877	342.		9188	00342
	adqp	9 07 00	1.800	341.		9180	00341
	adqp	9 31 00	1.742	342.		10174	00342
	cdqp	9 36 00	1.732	335.		10173	20335
	adqp	9 36 00	1.732	336.		10173	00336
	adqp	12 21 00	1.927	342.		12193	00342
	cdqp	12 21 00	1.927	341.		12193	20341
	adqp	12 41 00	2.034	334.		13203	00334
	cdqp	12 41 00	2.034	337.		13203	20337
	adzb	12 46 00	2.065	333.		13207	02333
	adqp	13 00 00	2.164	334.		13216	00334
	adqp	13 27 00	2.410	334.		13241	00334
	cdqp	13 27 00	2.410	340.		13241	20340
	adzc	13 50 00	2.702	335.	cu	14270	05335
29	*****						
	adzc	7 02 00	2.771	319.	sc	7277	06319
	adzc	8 32 00	1.953	326.	sc	9195	06326
	adzc	9 00 00	1.839	319.	sc	9184	06319
	adzc	10 09 00	1.709	317.	ac	10171	04317
	adzc	10 22 00	1.704	314.	ac	10170	04314
	adqp	10 52 00	1.714	326.		11171	00326
	adqp	11 09 00	1.734	328.		11173	00328
	cdqp	11 12 00	1.739	330.		11174	20330
	adqp	11 12 00	1.739	328.		11174	00328
	cdqp	11 19 00	1.750	333.		11175	20333
	adqp	11 19 00	1.750	328.		11175	00328

	cdqp	11 25 00	1.762	328.		11176	20328
	adqp	11 25 00	1.762	327.		11176	00327
	adzc	12 43 00	2.071	318.	cu	13207	05318
	adzc	13 03 00	2.216	321.	cu	13222	05321
	adzc	13 21 00	2.381	322.	cu	13238	05322
	adzc	13 41 00	2.617	325.	cu	14262	05325
30	*****						
	adzc	7 05 00	2.760	316.	ac	7276	06316
	adzc	7 42 00	2.316	313.	ac	8232	06313
	adzc	8 02 00	2.152	314.	ac	8215	06314
	adzc	8 29 00	1.987	317.	ac	8199	06317
	adzc	8 56 00	1.870	314.	as	9187	06314
	adzc	9 19 00	1.801	317.	as	9180	06317
	adzc	9 46 00	1.748	318.	as	10175	06318

End of total ozone observations computation for September 2022

Total Ozone Observations on Inst. No. 84
at Belsk, Poland

October 2022	Date	Type	GMT	MU	XOZ	CLS	GGMM	LSXX
1	*****							
		adzc	8 02 00	2.175	332.	as	8217	06332
		adzc	8 23 00	2.039	334.	as	8204	06334
		adzc	8 50 00	1.911	331.	as	9191	06331
		adzc	9 22 00	1.810	330.	as	9181	06330
		adzc	10 00 00	1.748	329.	sc	10175	06329
		adqp	10 14 00	1.739	328.		10174	00328
		adqp	10 18 00	1.737	325.		10174	00325
		cdqp	10 18 00	1.737	328.		10174	20328
2	*****							
		adzc	10 28 00	1.753	333.	sc	10175	06333
		adzb	11 26 00	1.819	336.		11182	02336
		adzc	12 14 00	1.983	330.	sc	12198	06330
		adzc	12 28 00	2.056	331.	sc	12206	06331
		adzc	13 35 00	2.660	328.	sc	14266	06328
3	*****							
		adzc	8 39 00	1.997	327.	sc	9200	06327
		adzc	8 45 00	1.970	325.	sc	9197	06325
		adqp	12 29 00	2.087	318.		12209	00318
		cdqp	12 29 00	2.087	323.		12209	20323
		adqp	12 45 00	2.192	315.		13219	00315
		cdqp	12 45 00	2.192	312.		13219	20312
		adqp	13 16 00	2.468	303.		13247	00303
		cdqp	13 16 00	2.468	324.		13247	20324
		adqp	13 27 00	2.596	312.		13260	00312
		adzb	13 40 00	2.775	305.		14278	02305
		adqp	13 47 00	2.886	314.		14289	00314
4	*****							
		adzc	7 31 00	2.543	313.	sc	8254	06313
		adzc	7 40 00	2.445	315.	sc	8244	06315
		adqp	9 16 00	1.879	314.		9188	00314
		adqp	9 18 00	1.874	315.		9187	00315
		adqp	9 23 00	1.861	315.		9186	00315
		adqp	9 41 00	1.824	319.		10182	00319
		cdqp	9 44 00	1.819	333.		10182	20333
		adqp	9 44 00	1.819	321.		10182	00321
		adzc	11 11 00	1.826	314.	sc	11183	06314
		adzb	11 25 00	1.855	309.		11186	02309
		adzc	11 49 00	1.925	303.	sc	12192	06303
		adzc	12 08 00	2.002	295.	cu	12200	06295
		adzc	12 28 00	2.107	300.	cu	12211	06300
		adzc	12 56 00	2.308	293.	sc	13231	06293
		adzc	13 18 00	2.527	301.	sc	13253	06301
		adzb	13 34 00	2.732	285.		14273	02285
5	*****							
		adzc	7 44 00	2.433	269.	ac	8243	05269
		adzc	8 00 00	2.288	267.	ac	8229	05267
		adzc	8 18 00	2.157	267.	ac	8216	05267
		adzc	8 46 00	2.006	267.	ac	9201	04267
		adzc	9 03 00	1.939	270.	ac	9194	04270
		adqp	9 40 00	1.844	280.		10184	00280
		adqp	9 44 00	1.837	280.		10184	00280
		adqp	10 26 00	1.805	279.		10180	00279
		adqp	10 42 00	1.810	278.		11181	00278
		adqp	11 02 00	1.831	278.		11183	00278
		adzc	12 17 00	2.070	266.	ac	12207	06266

	adzc	12 38 00	2.199	264.	ac	13220	06264
	adzc	12 59 00	2.367	264.	ac	13237	06264
	adzc	13 14 00	2.519	264.	ac	13252	06264
	adzc	13 28 00	2.692	260.	as	13269	05260
6	*****						
	adzc	7 42 00	2.483	275.	sc	8248	06275
	adzc	8 04 00	2.282	276.	ac	8228	04276
	adqp	8 50 00	2.009	276.		9201	00276
	adqp	8 56 00	1.985	278.		9198	00278
	adqp	10 20 00	1.823	284.		10182	00284
	adqp	11 54 00	1.988	278.		12199	00278
	adzc	12 13 00	2.074	280.	cu	12207	05280
	adzb	12 30 00	2.173	275.		13217	02275
	adqp	12 52 00	2.338	279.		13234	00279
	adqp	13 12 00	2.535	275.		13253	00275
	cdqp	13 12 00	2.535	286.		13253	20286
	adzc	13 19 00	2.617	279.	cu	13262	05279
7	*****						
	cdqp	7 29 00	2.666	282.		7267	20282
	adqp	7 29 00	2.666	277.		7267	00277
	cdqp	7 38 00	2.557	284.		8256	20284
	adqp	7 38 00	2.557	278.		8256	00278
	adzb	7 41 00	2.524	269.		8252	02269
	cdqp	7 52 00	2.412	286.		8241	20286
	adqp	7 52 00	2.412	279.		8241	00279
	cdqp	8 03 00	2.316	284.		8232	20284
	adqp	8 03 00	2.316	277.		8232	00277
	adzb	8 13 00	2.240	268.		8224	02268
	cdqp	8 33 00	2.114	281.		9211	20281
	adqp	8 33 00	2.114	276.		9211	00276
	cdqp	9 43 00	1.876	279.		10188	20279
	adqp	9 43 00	1.876	273.		10188	00273
	adzb	9 48 00	1.868	265.		10187	02265
	adqp	10 11 00	1.845	273.		10185	00273
	cdqp	10 11 00	1.845	276.		10185	20276
	adqp	10 36 00	1.844	274.		11184	00274
	cdqp	10 36 00	1.844	278.		11184	20278
	adqp	11 03 00	1.871	276.		11187	00276
	cdqp	11 03 00	1.871	281.		11187	20281
	adqp	12 07 00	2.069	273.		12207	00273
	adqp	12 20 00	2.139	277.		12214	00277
	cdqp	12 20 00	2.139	284.		12214	20284
	adzb	12 28 00	2.188	270.		12219	02270
	adzb	12 49 00	2.344	270.		13234	02270
	adqp	13 01 00	2.455	276.		13245	00276
	cdqp	13 01 00	2.455	278.		13245	20278
	adqp	13 11 00	2.561	277.		13256	00277
	cdqp	13 11 00	2.561	278.		13256	20278
	adzb	13 22 00	2.697	272.		13270	02272
8	*****						
	adzc	7 37 00	2.601	277.	sc	8260	05277
	adzc	8 10 00	2.288	273.	ac	8229	04273
	adzc	8 31 00	2.148	272.	ac	9215	04272
	adqp	8 50 00	2.052	277.		9205	00277
	adqp	8 55 00	2.031	276.		9203	00276
	adqp	9 00 00	2.011	277.		9201	00277
9	*****						
	adzc	10 25 00	1.880	306.	as	10188	06306
	adzc	11 04 00	1.913	302.	sc	11191	06302
	adzc	11 33 00	1.982	302.	sc	12198	06302
	adzc	12 00 00	2.086	300.	as	12209	06300
	adzc	12 37 00	2.310	300.	sc	13231	06300
	adzc	13 15 00	2.691	304.	sc	13269	06304
10	*****						
	adqp	7 43 00	2.598	293.		8260	00293
	cdqp	7 47 00	2.554	296.		8255	20296
	adqp	7 47 00	2.554	293.		8255	00293
	adzb	7 50 00	2.522	287.		8252	02287
	cdqp	8 09 00	2.349	293.		8235	20293
	adqp	8 09 00	2.349	293.		8235	00293
	cdqp	8 22 00	2.254	300.		8225	20300
	adqp	8 22 00	2.254	294.		8225	00294
	cdqp	9 07 00	2.028	298.		9203	20298
	adqp	9 07 00	2.028	295.		9203	00295
	adzb	9 15 00	2.001	288.		9200	02288
	cdqp	10 16 00	1.901	302.		10190	20302
	adqp	10 16 00	1.901	295.		10190	00295

cdqp	10 39 00	1.905	301.	11190	20301	
adqp	10 39 00	1.905	294.	11190	00294	
adzb	10 47 00	1.911	283.	11191	02283	
cdqp	11 09 00	1.943	303.	11194	20303	
adqp	11 09 00	1.943	292.	11194	00292	
cdqp	11 53 00	2.079	303.	12208	20303	
adqp	11 53 00	2.079	293.	12208	00293	
adqp	12 17 00	2.203	293.	12220	00293	
cdqp	12 17 00	2.203	299.	12220	20299	
adzb	12 31 00	2.296	285.	13230	02285	
adqp	12 40 00	2.366	291.	13237	00291	
cdqp	12 40 00	2.366	298.	13237	20298	
adqp	12 58 00	2.533	292.	13253	00292	
cdqp	12 58 00	2.533	298.	13253	20298	
adqp	13 12 00	2.695	292.	13269	00292	
cdqp	13 12 00	2.695	300.	13269	20300	
11	*****					
adqp	7 42 00	2.643	291.	8264	00291	
adqp	8 16 00	2.323	292.	8232	00292	
adzb	8 25 00	2.260	292.	8226	02292	
adqp	8 28 00	2.240	293.	8224	00293	
adqp	8 32 00	2.216	293.	9222	00293	
adqp	8 42 00	2.160	292.	9216	00292	
adqp	11 12 00	1.971	298.	11197	00298	
cdqp	11 12 00	1.971	307.	11197	20307	
adqp	11 15 00	1.978	301.	11198	00301	
adzb	12 04 00	2.157	293.	12216	02293	
adqp	12 20 00	2.250	301.	12225	00301	
cdqp	12 20 00	2.250	307.	12225	20307	
adqp	12 36 00	2.366	298.	13237	00298	
cdqp	12 36 00	2.366	302.	13237	20302	
adzb	13 01 00	2.604	290.	13260	02290	
adqp	13 16 00	2.791	296.	13279	00296	
cdqp	13 16 00	2.791	300.	13279	20300	
12	*****					
cdqp	7 42 00	2.678	305.	8268	20305	
adqp	7 42 00	2.678	303.	8268	00303	
adzb	7 46 00	2.631	296.	8263	02296	
cdqp	7 51 00	2.576	304.	8258	20304	
adqp	7 51 00	2.576	303.	8258	00303	
cdqp	8 00 00	2.486	307.	8249	20307	
adqp	8 00 00	2.486	303.	8249	00303	
cdqp	8 41 00	2.189	310.	9219	20310	
adqp	8 41 00	2.189	306.	9219	00306	
adzb	8 44 00	2.174	300.	9217	02300	
adqp	8 47 00	2.158	307.	9216	00307	
cdqp	9 35 00	1.991	313.	10199	20313	
adqp	9 35 00	1.991	309.	10199	00309	
adz	11 14 00	1.998	300.	11200	04300	
adz	12 07 00	2.201	293.	12220	05293	
adz	12 23 00	2.300	287.	12230	05287	
adqp	12 40 00	2.433	298.	13243	00298	
adzb	13 00 00	2.632	283.	13263	02283	
adz	13 13 00	2.795	287.	13279	06287	
13	*****					
cdqp	7 54 00	2.578	306.	8258	20306	
adqp	7 54 00	2.578	304.	8258	00304	
adzb	7 57 00	2.547	298.	8255	02298	
cdqp	8 11 00	2.419	309.	8242	20309	
adqp	8 11 00	2.419	305.	8242	00305	
cdqp	8 26 00	2.306	317.	8231	20317	
adqp	8 26 00	2.306	307.	8231	00307	
cdqp	8 45 00	2.193	314.	9219	20314	
adqp	8 45 00	2.193	307.	9219	00307	
cdqp	9 02 00	2.115	318.	9211	20318	
adqp	9 02 00	2.115	309.	9211	00309	
adzb	9 09 00	2.088	302.	9209	02302	
cdqp	9 30 00	2.025	322.	10202	20322	
adqp	9 30 00	2.025	311.	10202	00311	
cdqp	10 08 00	1.966	321.	10197	20321	
adqp	10 08 00	1.966	311.	10197	00311	
cdqp	10 26 00	1.962	325.	10196	20325	
adqp	10 26 00	1.962	312.	10196	00312	
adzb	10 43 00	1.971	305.	11197	02305	
adqp	11 18 00	2.031	310.	11203	00310	
cdqp	11 18 00	2.031	319.	11203	20319	
adqp	11 43 00	2.113	310.	12211	00310	

	cdqp	11 43 00	2.113	309.		12211	20309
	adqp	12 03 00	2.207	312.		12221	00312
	cdqp	12 03 00	2.207	318.		12221	20318
	adqp	12 21 00	2.317	309.		12232	00309
	cdqp	12 21 00	2.317	308.		12232	20308
	adqp	12 37 00	2.441	311.		13244	00311
	cdqp	12 37 00	2.441	315.		13244	20315
	adzb	12 42 00	2.485	302.		13249	02302
	adqp	13 03 00	2.709	307.		13271	00307
	cdqp	13 03 00	2.709	310.		13271	20310
14	*****						
	adzc	8 01 00	2.540	320.	ac	8254	04320
	adzc	8 14 00	2.424	318.	ac	8242	04318
	adzc	8 48 00	2.203	319.	sc	9220	05319
	adzc	9 44 00	2.017	315.	cc	10202	04315
	adqp	10 42 00	1.992	320.		11199	00320
	adqp	10 48 00	1.998	321.		11200	00321
	adqp	11 00 00	2.015	320.		11202	00320
	adqp	11 57 00	2.203	326.		12220	00326
	adzb	12 13 00	2.294	323.		12229	02323
	adqp	12 26 00	2.385	326.		12239	00326
	cdqp	12 26 00	2.385	329.		12239	20329
	adzc	12 41 00	2.512	320.	ac	13251	05320
	adzc	12 55 00	2.656	327.	ac	13266	05327
	adqp	13 02 00	2.739	323.		13274	00323
15	*****						
	adzb	10 38 00	2.011	308.		11201	02308
	adqp	10 46 00	2.018	320.		11202	00320
	cdqp	10 46 00	2.018	339.		11202	20339
	adzc	11 02 00	2.042	300.	ac	11204	05300
	adzc	11 20 00	2.084	305.	ac	11208	05305
	adzc	11 40 00	2.153	310.	ac	12215	05310
	adzc	11 49 00	2.192	307.	ac	12219	06307
	adzc	12 06 00	2.281	313.	ac	12228	06313
16	*****						
	adzc	12 08 00	2.323	270.	cs	12232	04270
	adqp	12 14 00	2.363	279.		12236	00279
	adqp	12 21 00	2.413	278.		12241	00278
	adqp	12 30 00	2.485	277.		13248	00277
17	*****						
	adqp	7 12 00	3.382	264.		7338	00264
	adqp	7 58 00	2.673	267.		8267	00267
	adqp	8 04 00	2.610	269.		8261	00269
	adqp	8 45 00	2.298	269.		9230	00269
	adqp	8 56 00	2.241	269.		9224	00269
	adqp	9 20 00	2.145	270.		9215	00270
	adqp	9 32 00	2.111	272.		10211	00272
	adzb	9 36 00	2.102	265.		10210	02265
	adqp	10 27 00	2.051	271.		10205	00271
	adqp	10 36 00	2.055	271.		11205	00271
	adqp	11 55 00	2.278	270.		12228	00270
	adqp	12 02 00	2.317	268.		12232	00268
	cdqp	12 02 00	2.317	269.		12232	20269
	adzb	12 12 00	2.381	261.		12238	02261
	adqp	12 28 00	2.503	264.		12250	00264
	cdqp	12 28 00	2.503	265.		12250	20265
	adqp	12 43 00	2.645	262.		13264	00262
	cdqp	12 43 00	2.645	263.		13264	20263
	adzb	12 48 00	2.699	261.		13270	02261
18	*****						
	adqp	7 03 00	3.651	251.		7365	00251
	adqp	7 09 00	3.505	253.		7350	00253
	adqp	7 52 00	2.778	255.		8278	00255
	adqp	8 07 00	2.615	255.		8261	00255
	adqp	8 28 00	2.436	256.		8244	00256
	adqp	9 03 00	2.235	256.		9223	00256
	adqp	9 11 00	2.202	257.		9220	00257
	adqp	10 23 00	2.073	261.		10207	00261
	adqp	10 41 00	2.083	262.		11208	00262
	adzb	10 44 00	2.086	258.		11209	02258
	adqp	11 05 00	2.120	263.		11212	00263
	adqp	11 18 00	2.154	263.		11215	00263
	adzc	11 33 00	2.205	256.	cs	12220	03256
19	*****						
	adqp	7 45 00	2.908	321.		8291	00321
	adqp	7 51 00	2.830	323.		8283	00323
	adzc	8 17 00	2.556	321.	cs	8256	05321

	adqp	10 23 00	2.097	323.		10210	00323
	adqp	11 57 00	2.349	324.		12235	00324
	adqp	12 09 00	2.425	321.		12242	00321
	adqp	12 12 00	2.446	321.		12245	00321
	adzb	12 16 00	2.476	315.		12248	02315
	cdqp	12 23 00	2.531	323.		12253	20323
	adqp	12 23 00	2.531	320.		12253	00320
20	*****						
	cdqp	7 32 00	3.152	285.		8315	20285
	adqp	7 32 00	3.152	291.		8315	00291
	cdqp	8 04 00	2.717	289.		8272	20289
	adqp	8 04 00	2.717	291.		8272	00291
	adqp	8 09 00	2.665	291.		8267	00291
	adzb	8 13 00	2.626	282.		8263	02282
	cdqp	8 35 00	2.447	293.		9245	20293
	adqp	8 35 00	2.447	293.		9245	00293
	adzb	8 40 00	2.414	284.		9241	02284
	cdqp	8 56 00	2.322	292.		9232	20292
	adqp	8 56 00	2.322	292.		9232	00292
	cdqp	9 48 00	2.150	292.		10215	20292
	adqp	9 48 00	2.150	293.		10215	00293
	adzsc	10 36 00	2.127	289.	sc	11213	06289
	adzsc	11 06 00	2.174	290.	sc	11217	06290
21	*****						
	adzsc	8 03 00	2.765	252.	ac	8277	04252
	adqp	8 17 00	2.624	255.		8262	00255
	adqp	8 32 00	2.500	257.		9250	00257
	adqp	8 57 00	2.345	258.		9235	00258
	adqp	9 23 00	2.237	258.		9224	00258
	adqp	10 21 00	2.146	259.		10215	00259
	adzsc	10 45 00	2.161	250.	ac	11216	04250
	adqp	11 06 00	2.200	257.		11220	00257
	adqp	11 16 00	2.227	257.		11223	00257
	adqp	11 30 00	2.276	253.		12228	00253
	adzsc	11 36 00	2.301	247.	as	12230	04247
22	*****						
	adzsc	9 18 00	2.281	268.	sc	9228	06268
	adzsc	9 28 00	2.248	269.	sc	9225	06269
	adzsc	10 16 00	2.172	271.	sc	10217	06271
	adzsc	10 26 00	2.172	272.	as	10217	06272
	adzsc	10 36 00	2.177	268.	as	11218	06268
23	*****						
	adzsc	10 22 00	2.197	299.	sc	10220	06299
	adzsc	10 41 00	2.208	302.	sc	11221	06302
	adzsc	11 18 00	2.289	294.	sc	11229	06294
	adzsc	11 40 00	2.380	298.	sc	12238	06298
	adzsc	12 23 00	2.680	307.	cs	12268	06307
24	*****						
	adzsc	8 20 00	2.703	286.	as	8270	05286
	adzsc	8 29 00	2.623	289.	as	8262	05289
	adqp	8 32 00	2.599	296.		9260	00296
	adqp	8 46 00	2.499	293.		9250	00293
	adqp	8 57 00	2.433	293.		9243	00293
	adqp	9 22 00	2.322	295.		9232	00295
	adzsc	10 27 00	2.224	290.	as	10222	05290
	adqp	11 05 00	2.279	296.		11228	00296
	adqp	11 51 00	2.472	292.		12247	00292
	adzb	11 54 99	2.501	287.		12250	02287
	adqp	12 11 00	2.613	290.		12261	00290
	cdqp	12 11 00	2.613	292.		12261	20292
	adqp	12 19 00	2.681	292.		12268	00292
	cdqp	12 19 00	2.681	293.		12268	20293
25	*****						
	adzsc	8 32 00	2.634	281.	cs	9263	05281
	adqp	8 39 00	2.580	292.		9258	00292
	adqp	9 12 00	2.390	287.		9239	00287
	adqp	9 22 00	2.350	287.		9235	00287
	adzb	9 26 00	2.337	285.		9234	02285
	adqp	9 32 00	2.318	287.		10232	00287
	adzb	9 37 00	2.304	285.		10230	02285
	cdqp	10 12 00	2.251	291.		10225	20291
	adqp	10 12 00	2.251	287.		10225	00287
	adqp	10 14 00	2.250	287.		10225	00287
	adqp	10 16 00	2.250	286.		10225	00286
	adqp	10 19 00	2.249	286.		10225	00286
	adqp	10 28 00	2.251	286.		10225	00286
	adqp	10 31 00	2.252	287.		11225	00287

	adzb	10 33 00	2.254	280.		11225	02280
	adqp	10 41 00	2.261	286.		11226	00286
	adzc	11 07 00	2.312	272.	cu	11231	05272
	adzc	11 32 00	2.403	275.	ac	12240	05275
	adzc	11 43 00	2.458	277.	ac	12246	05277
	adqp	12 10 00	2.641	287.		12264	00287
26	*****						
	adzc	8 29 00	2.694	273.	as	8269	05273
	adzc	8 36 00	2.637	271.	as	9264	05271
	adzc	8 53 00	2.519	273.	as	9252	05273
	adzc	9 10 00	2.429	263.	as	9243	05263
	adzc	10 05 00	2.283	267.	sc	10228	05267
	adzc	10 33 00	2.281	263.	sc	11228	05263
	adzc	11 06 00	2.338	266.	sc	11234	05266
	adqp	11 19 00	2.380	267.		11238	00267
	adqp	11 27 00	2.412	269.		11241	00269
	adzb	11 29 00	2.420	263.		11242	02263
	adzb	11 39 00	2.469	263.		12247	02263
	adqp	11 47 00	2.514	263.		12251	00263
	adqp	11 58 00	2.586	264.		12259	00264
	cdqp	11 58 00	2.586	266.		12259	20266
	adqp	12 14 00	2.713	263.		12271	00263
	cdqp	12 14 00	2.713	264.		12271	20264
27	*****						
	cdqp	7 22 00	3.751	252.		7375	20252
	adqp	7 22 00	3.751	254.		7375	00254
	cdqp	7 43 00	3.314	254.		8331	20254
	adqp	7 43 00	3.314	256.		8331	00256
	cdqp	7 50 00	3.198	253.		8320	20253
	adqp	7 50 00	3.198	256.		8320	00256
	adzb	7 53 00	3.152	243.		8315	02243
	cdqp	8 11 00	2.914	256.		8291	20256
	adqp	8 11 00	2.914	257.		8291	00257
	cdqp	8 59 00	2.516	259.		9252	20259
	adqp	8 59 00	2.516	256.		9252	00256
	adzb	9 02 00	2.499	248.		9250	02248
	cdqp	9 13 00	2.446	261.		9245	20261
	adqp	9 13 00	2.446	257.		9245	00257
	cdqp	9 33 00	2.372	261.		10237	20261
	adqp	9 33 00	2.372	257.		10237	00257
	cdqp	10 14 00	2.305	265.		10230	20265
	adqp	10 14 00	2.305	258.		10230	00258
	adzb	10 23 00	2.304	249.		10230	02249
	cdqp	10 35 00	2.310	267.		11231	20267
	adqp	10 35 00	2.310	259.		11231	00259
	cdqp	11 04 00	2.361	268.		11236	20268
	adqp	11 04 00	2.361	260.		11236	00260
	cdqp	11 21 00	2.418	267.		11242	20267
	adqp	11 21 00	2.418	260.		11242	00260
	cdqp	11 40 00	2.507	265.		12251	20265
	adqp	11 40 00	2.507	258.		12251	00258
28	*****						
	cdqp	8 05 00	3.030	255.		8303	20255
	adqp	8 05 00	3.030	254.		8303	00254
	adzb	8 08 00	2.992	244.		8299	02244
	adqp	8 20 00	2.856	252.		8286	00252
	cdqp	8 34 00	2.724	253.		9272	20253
	adqp	8 34 00	2.724	254.		9272	00254
	cdqp	8 39 00	2.684	258.		9268	20258
	adqp	8 39 00	2.684	255.		9268	00255
	cdqp	9 37 00	2.389	260.		10239	20260
	adqp	9 37 00	2.389	257.		10239	00257
	adqp	9 50 00	2.359	256.		10236	00256
	adzb	9 53 00	2.354	250.		10235	02250
	cdqp	10 20 00	2.331	262.		10233	20262
	adqp	10 20 00	2.331	258.		10233	00258
	cdqp	10 36 00	2.339	263.		11234	20263
	adqp	10 36 00	2.339	257.		11234	00257
	cdqp	11 09 00	2.406	263.		11241	20263
	adqp	11 09 00	2.406	256.		11241	00256
	cdqp	11 36 00	2.518	264.		12252	20264
	adqp	11 36 00	2.518	256.		12252	00256
29	*****						
	adqp	10 40 00	2.372	253.		11237	00253
	adzc	11 03 00	2.418	258.	ac	11242	06258
	adzc	11 16 00	2.460	248.	cu	11246	06248
	adqp	11 43 00	2.591	251.		12259	00251

	adqp	11 47 00	2.616	251.		12262	00251
	cdqp	11 47 00	2.616	253.		12262	20253
30	*****						
	adzc	11 48 00	2.658	247.	as	12266	05247
	adzc	11 55 00	2.708	239.	as	12271	05239
	adzc	12 00 00	2.747	233.	as	12275	05233
31	*****						
	adzc	10 14 00	2.419	258.	as	10242	05258
	adzc	10 24 00	2.418	257.	as	10242	05257
	adzc	10 34 00	2.424	257.	as	11242	05257
	adzc	11 24 00	2.557	257.	as	11256	06257
	adzc	11 38 00	2.630	258.	as	12263	06258
	adzc	12 00 00	2.785	258.	as	12279	06258

End of total ozone observations computation for October 2022

Total Ozone Observations on Inst. No. 84
at Belsk, Poland

November 2022

Date	Type	GMT	MU	XOZ	CLS	GGMM	LSXXX
1	*****						
	Obs. missing, or dates out of order or wrong						
2	*****						
	adzc	9 28 00	2.573	292.	sc	9257	06292
	adqp	9 35 00	2.548	287.		10255	00287
	adzbb	9 37 00	2.542	288.		10254	02288
	adqp	9 39 00	2.536	287.		10254	00287
	adqp	9 46 00	2.517	287.		10252	00287
	adqp	9 48 00	2.513	287.		10251	00287
	adqp	10 00 00	2.491	287.		10249	00287
	cdqp	10 12 00	2.480	289.		10248	20289
	adqp	10 12 00	2.480	287.		10248	00287
	cdqp	10 20 00	2.477	291.		10248	20291
	adqp	10 20 00	2.477	288.		10248	00288
	adzbb	10 26 00	2.479	286.		10248	02286
	adqp	11 16 00	2.588	288.		11259	00288
	adqp	11 18 00	2.597	287.		11260	00287
	adqp	11 43 00	2.732	289.		12273	00289
	cdqp	12 01 00	2.872	280.		12287	20280
	adqp	12 01 00	2.872	286.		12287	00286
	adzbb	12 07 00	2.928	281.		12293	02281
	cdqp	12 15 00	3.010	286.		12301	20286
	adqp	12 15 00	3.010	288.		12301	00288
3	*****						
	adqp	8 29 00	3.011	287.		8301	00287
	adqp	8 36 00	2.940	289.		9294	00289
	cdqp	8 36 00	2.940	288.		9294	20288
	adqp	8 57 00	2.769	287.		9277	00287
	cdqp	8 57 00	2.769	286.		9277	20286
	adqp	10 08 00	2.513	288.		10251	00288
	cdqp	10 08 00	2.513	280.		10251	20280
	adzbb	10 11 00	2.511	279.		10251	02279
	adqp	10 20 00	2.508	288.		10251	00288
	cdqp	10 20 00	2.508	286.		10251	20286
	adqp	10 37 00	2.518	288.		11252	00288
	cdqp	10 37 00	2.518	286.		11252	20286
	adqp	10 45 00	2.530	288.		11253	00288
	cdqp	10 45 00	2.530	284.		11253	20284
	adqp	10 54 00	2.549	289.		11255	00289
	cdqp	10 54 00	2.549	291.		11255	20291
	adqp	11 12 00	2.605	288.		11261	00288
	cdqp	11 12 00	2.605	283.		11261	20283
	adqp	11 30 00	2.689	290.		12269	00290
	cdqp	11 30 00	2.689	286.		12269	20286
	adqp	11 46 00	2.790	285.		12279	00285
	cdqp	11 46 00	2.790	280.		12279	20280
	adqp	12 00 00	2.903	292.		12290	00292
	cdqp	12 00 00	2.903	286.		12290	20286
4	*****						
	adqp	8 56 00	2.814	273.		9281	00273
	adzc	9 00 00	2.786	267.	ac	9279	04267
	adqp	9 13 00	2.708	274.		9271	00274
	adqp	9 15 00	2.697	274.		9270	00274
	adqp	9 21 00	2.668	274.		9267	00274

	adqp	9 29 00	2.635	273.		9263	00273
	adqp	9 33 00	2.620	273.		10262	00273
	cdqp	9 45 00	2.583	265.		10258	20265
	adqp	9 45 00	2.583	273.		10258	00273
	cdqp	10 09 00	2.543	265.		10254	20265
	adqp	10 09 00	2.543	273.		10254	00273
	adzb	10 17 00	2.539	265.		10254	02265
	cdqp	10 21 00	2.539	267.		10254	20267
	adqp	10 21 00	2.539	272.		10254	00272
	adzb	10 33 00	2.545	265.		11254	02265
	cdqp	10 42 00	2.556	267.		11256	20267
	adqp	10 42 00	2.556	272.		11256	00272
	cdqp	11 29 00	2.718	262.		11272	20262
	adqp	11 29 00	2.718	269.		11272	00269
	cdqp	11 39 00	2.779	263.		12278	20263
	adqp	11 39 00	2.779	269.		12278	00269
	cdqp	11 49 00	2.850	268.		12285	20268
	adqp	11 49 00	2.850	270.		12285	00270
	adzb	12 00 00	2.943	262.		12294	02262
5	*****						
	adzc	9 41 00	2.627	309.	as	10263	06309
	adzc	9 47 00	2.610	316.	as	10261	06316
	adzc	9 56 00	2.591	318.	as	10259	06318
6	*****						
	adzb	10 18 00	2.602	284.		10260	02284
	adzb	10 44 00	2.623	282.		11262	02282
	adzb	11 18 00	2.732	278.		11273	02278
	adzb	11 52 00	2.953	279.		12295	02279
	adzb	12 22 00	3.278	290.		12328	02290
7	*****						
	adzc	8 33 00	3.144	282.	cs	9314	05282
	cdzc	8 37 00	3.101	278.	cs	9310	25278
	adzc	9 06 00	2.858	277.	cs	9286	05277
	adqp	10 54 00	2.678	285.		11268	00285
	adqp	10 59 00	2.692	284.		11269	00284
	adqp	11 18 00	2.767	281.		11277	00281
	adzc	11 35 00	2.863	285.	as	12286	06285
	adzc	11 53 00	3.001	284.	as	12300	05284
	adqp	12 29 00	3.429	280.		12343	00280
	cdqp	12 29 00	3.429	279.		12343	20279
	adqp	12 52 00	3.860	280.		13386	00280
	cdqp	12 52 00	3.860	284.		13386	20284
8	*****						
	cdqp	7 50 00	3.887	281.		8389	20281
	adqp	7 50 00	3.887	282.		8389	00282
	cdzb	7 53 00	3.822	288.		8382	22288
	cdqp	8 28 00	3.248	284.		8325	20284
	adqp	8 28 00	3.248	289.		8325	00289
	adzb	8 31 00	3.212	286.		9321	02286
	cdqp	8 39 00	3.124	287.		9312	20287
	adqp	8 39 00	3.124	289.		9312	00289
	cdqp	8 55 00	2.977	287.		9298	20287
	adqp	8 55 00	2.977	289.		9298	00289
	cdqp	9 10 00	2.871	286.		9287	20286
	adqp	9 10 00	2.871	288.		9287	00288
	cdqp	9 53 00	2.695	287.		10270	20287
	adqp	9 53 00	2.695	288.		10270	00288
	cdqp	10 08 00	2.672	290.		10267	20290
	adqp	10 08 00	2.672	288.		10267	00288
	adzb	10 11 00	2.669	283.		10267	02283
	cdqp	10 22 00	2.666	288.		10267	20288
	adqp	10 22 00	2.666	288.		10267	00288
	cdqp	11 00 00	2.729	289.		11273	20289
	adqp	11 00 00	2.729	287.		11273	00287
	cdqp	11 53 00	3.042	284.		12304	20284
	adqp	11 53 00	3.042	285.		12304	00285
	adzb	12 04 00	3.151	278.		12315	02278
	cdqp	12 23 00	3.390	283.		12339	20283
	adqp	12 23 00	3.390	282.		12339	00282
	cdqp	12 47 00	3.812	282.		13381	20282
	adqp	12 47 00	3.812	278.		13381	00278
9	*****						
	adzc	8 14 00	3.494	281.	cs	8349	05281
	adqp	8 17 00	3.448	279.		8345	00279
	adqp	8 20 00	3.404	279.		8340	00279
	adqp	8 22 00	3.376	279.		8338	00279
	cdqp	8 25 00	3.335	278.		8334	20278

	adqp	8 25 00	3.335	279.		8334	00279
	cdqp	8 28 00	3.296	277.		8330	20277
	adqp	8 28 00	3.296	278.		8330	00278
	adzc	8 41 00	3.147	277.	as	9315	05277
	adqp	9 24 00	2.830	279.		9283	00279
	adqp	9 33 00	2.790	281.		10279	00281
	adqp	9 45 00	2.749	280.		10275	00280
	adqp	10 00 00	2.715	280.		10272	00280
	adqp	10 22 00	2.699	280.		10270	00280
	adzc	11 30 00	2.905	272.	cs	12290	03272
	adqp	11 40 00	2.974	279.		12297	00279
	adqp	11 47 00	3.030	280.		12303	00280
	adzc	12 40 00	3.729	269.	cs	13373	03269
10	*****						
	adzc	11 10 00	2.835	332.	sc	11284	06332
	adzc	12 05 00	3.250	355.	sc	12325	06355
	cdzc	12 31 00	3.619	318.	sc	13362	26318
11	*****						
	adzc	10 12 00	2.768	273.	as	10277	06273
	adzc	10 26 00	2.766	274.	as	10277	06274
	adzc	11 10 00	2.870	269.	as	11287	06269
	cdzc	11 36 00	3.021	262.	as	12302	26262
	cdzc	12 21 00	3.508	261.	as	12351	26261
12	*****						
	adzc	10 30 00	2.802	275.	as	11280	06275
	adzc	10 38 00	2.811	277.	as	11281	06277
	cdzc	10 50 00	2.835	265.	as	11284	26265
	cdzc	11 06 00	2.888	260.	as	11289	26260
	cdzc	11 21 00	2.961	264.	as	11296	26264
13	*****						
	adzc	10 11 00	2.836	276.	as	10284	06276
	adzc	10 16 00	2.833	279.	as	10283	06279
	adzc	11 30 00	3.054	278.	sc	12305	06278
14	*****						
	adzc	9 14 00	3.077	287.	as	9308	06287
	cdzc	9 17 00	3.058	273.	as	9306	26273
	adzc	10 26 00	2.867	284.	as	10287	06284
	cdzc	10 41 00	2.884	268.	as	11288	26268
	adzc	11 00 00	2.935	283.	as	11293	06283
	cdzc	11 07 00	2.963	267.	as	11296	26267
	cdzc	11 31 00	3.099	268.	as	12310	26268
	cdzc	11 53 00	3.290	266.	as	12329	26266
	cdzc	12 11 00	3.507	270.	as	12351	26270
15	*****						
	adzc	10 08 00	2.908	297.	as	10291	05297
	adzc	10 15 00	2.901	295.	as	10290	05295
	adzc	10 30 00	2.903	294.	as	11290	05294
	adzc	11 01 00	2.973	295.	as	11297	05295
	adzc	11 15 00	3.037	289.	as	11304	05289
	cdzc	11 32 00	3.144	278.	as	12314	25278
	cdqp	11 49 00	3.291	282.		12329	20282
	adqp	11 58 00	3.387	282.		12339	00282
	cdqp	11 58 00	3.387	272.		12339	20272
	adqp	12 00 00	3.411	284.		12341	00284
	cdqp	12 00 00	3.411	279.		12341	20279
	cdzb	12 02 00	3.435	286.		12343	22286
	adqp	12 09 00	3.526	282.		12353	00282
	cdqp	12 09 00	3.526	283.		12353	20283
	adqp	12 20 00	3.691	279.		12369	00279
	cdqp	12 20 00	3.691	282.		12369	20282
	adqp	12 37 00	4.012	276.		13401	00276
	cdqp	12 37 00	4.012	281.		13401	20281
16	*****						
	cdzc	8 44 00	3.437	298.	sc	9344	26298
	cdzc	8 51 00	3.359	294.	sc	9336	26294
	adzc	9 49 00	2.983	309.	sc	10298	06309
	adzc	10 06 00	2.945	308.	sc	10294	06308
	adzc	10 22 00	2.934	313.	sc	10293	06313
17	*****						
	cdzc	8 46 00	3.461	316.	sc	9346	26316
	cdzc	8 55 00	3.362	301.	sc	9336	26301
	cdzc	9 07 00	3.252	306.	sc	9325	26306
	cdzc	9 35 00	3.073	298.	sc	10307	26298
	cdzc	10 01 00	2.988	307.	sc	10299	26307
	adzc	10 08 00	2.977	326.	sc	10298	06326
	cdzc	10 55 00	3.022	318.	sc	11302	26318
	cdzc	11 20 00	3.138	317.	sc	11314	26317

	cdzc	11 35 00	3.244	305.	sc	12324	26305
	cdzc	11 57 00	3.461	294.	sc	12346	26294
	cdzc	12 19 00	3.773	293.	sc	12377	26293
	cdzc	12 42 00	4.244	291.	sc	13424	26291
18	*****						
	cdzc	10 14 00	3.005	266.	sc	10300	26266
	cdzc	10 25 00	3.003	264.	sc	10300	26264
	adzc	10 31 00	3.006	276.	sc	11301	06276
	adzc	10 37 00	3.013	276.	sc	11301	06276
	adzc	10 44 00	3.026	274.	sc	11303	06274
19	*****						
	adzc	9 44 00	3.109	300.	ac	10311	05300
	cdzc	9 46 00	3.101	287.	ac	10310	25287
	adzc	9 53 00	3.078	302.	ac	10308	05302
	adqp	10 06 00	3.049	315.		10305	00315
	adzb	10 11 00	3.042	298.		10304	02298
	adzb	10 15 00	3.039	299.		10304	02299
20	*****						
	adqp	11 16 00	3.222	293.		11322	00293
	cdqp	11 16 00	3.222	290.		11322	20290
	adqp	11 30 00	3.318	290.		12332	00290
	cdqp	11 30 00	3.318	279.		12332	20279
	cdzb	11 39 00	3.394	277.		12339	22277
	adqp	11 50 00	3.506	290.		12351	00290
	cdqp	11 50 00	3.506	281.		12351	20281
	cdzb	11 57 00	3.588	275.		12359	22275
	adqp	12 10 00	3.769	286.		12377	00286
	cdqp	12 10 00	3.769	280.		12377	20280
	adqp	12 22 00	3.975	280.		12397	00280
	cdqp	12 22 00	3.975	270.		12397	20270
21	*****						
	cdqp	8 27 00	3.947	295.		8395	20295
	adqp	8 27 00	3.947	294.		8395	00294
	cdqp	8 35 00	3.812	289.		9381	20289
	adqp	8 35 00	3.812	297.		9381	00297
	cdqp	8 41 00	3.722	292.		9372	20292
	adqp	8 41 00	3.722	298.		9372	00298
	cdqp	8 51 00	3.591	286.		9359	20286
	adqp	8 51 00	3.591	300.		9359	00300
	cdqp	9 00 00	3.490	289.		9349	20289
	adqp	9 00 00	3.490	302.		9349	00302
	cdqp	9 19 00	3.323	300.		9332	20300
	adqp	9 19 00	3.323	307.		9332	00307
	cdqp	10 15 00	3.107	300.		10311	20300
	adqp	10 15 00	3.107	308.		10311	00308
	cdzb	10 22 00	3.104	298.		10310	22298
	adzb	10 27 00	3.105	304.		10311	02304
	cdzc	11 06 00	3.204	293.	as	11320	25293
	cdzc	11 20 00	3.283	299.	ac	11328	26299
	cdzc	11 40 00	3.442	302.	ac	12344	26302
	cdzc	12 02 00	3.696	312.	ac	12370	26312
	cdzc	12 25 00	4.083	318.	ac	12408	26318
22	*****						
	adzc	8 22 00	4.099	274.	as	8410	04274
	cdzc	8 25 00	4.041	275.	as	8404	24275
	adqp	8 32 00	3.915	285.		9391	00285
	adqp	8 34 00	3.881	289.		9388	00289
	adqp	8 37 00	3.833	289.		9383	00289
	adqp	8 45 00	3.716	291.		9372	00291
	adzb	8 48 00	3.676	295.		9368	02295
	cdzb	8 50 00	3.650	287.		9365	22287
	adzc	9 52 00	3.188	312.	as	10319	06312
	adzc	10 20 00	3.138	307.	sc	10314	06307
	adzc	11 03 00	3.225	316.	sc	11322	06316
	adzc	11 20 00	3.318	345.	sc	11332	06345
23	*****						
	adzc	9 57 00	3.208	341.	as	10321	06341
	cdzc	10 00 00	3.200	303.	as	10320	26303
	adzc	10 15 00	3.175	338.	as	10317	06338
	cdzc	10 19 00	3.172	306.	as	10317	26306
	adzc	10 46 00	3.200	335.	as	11320	06335
	cdzc	10 51 00	3.214	310.	as	11321	26310
	adzc	11 09 00	3.288	369.	as	11329	06369
	cdzc	11 12 00	3.304	316.	as	11330	26316
	adzc	11 21 00	3.360	397.	as	11336	06397
	cdzc	11 23 00	3.374	321.	as	11337	26321
	adzc	11 33 00	3.453	409.	as	12345	06409

	cdzc	11 36 00	3.479	318.	as	12348	26318
	adzc	12 00 00	3.752	343.	as	12375	06343
	cdzc	12 02 00	3.781	320.	as	12378	26320
24	*****						
	Obs. missing, or dates out of order or wrong						
25	*****						
	adzc	10 06 00	3.254	388.	as	10325	06388
	adzc	10 10 00	3.248	386.	as	10325	06386
	cdzc	10 14 00	3.242	339.	as	10324	26339
	cdzc	10 17 00	3.240	341.	as	10324	26341
26	*****						
	adzc	9 25 00	3.476	417.	as	9348	06417
	cdzc	9 28 00	3.454	327.	as	9345	26327
	cdzc	9 43 00	3.366	321.	as	10337	26321
	cdzc	9 56 00	3.314	320.	as	10331	26320
	adzc	10 04 00	3.292	377.	as	10329	06377
	cdzc	10 06 00	3.288	322.	as	10329	26322
27	*****						
	adzc	10 28 00	3.302	382.	as	10330	06382
	adzc	10 49 00	3.337	394.	as	11334	06394
	adzc	11 46 00	3.728	341.	as	12373	06341
	cdzc	11 52 00	3.801	325.	as	12380	26325
	adzc	12 20 00	4.261	266.	as	12426	06266
	cdzc	12 26 00	4.391	336.	as	12439	26336
28	*****						
	cdzc	9 02 00	3.776	282.	as	9378	25282
	cdzc	9 12 00	3.667	276.	as	9367	25276
	cdzc	9 23 00	3.567	274.	as	9357	25274
	cdzc	9 33 00	3.495	267.	as	10349	25267
	adzc	9 41 00	3.447	339.	as	10345	05339
	cdzc	9 48 00	3.413	277.	as	10341	25277
	cdzc	10 23 00	3.333	278.	as	10333	25278
	cdzc	10 37 00	3.342	283.	as	11334	25283
	cdzc	11 02 00	3.416	286.	as	11342	25286
	cdzc	11 22 00	3.535	284.	as	11354	25284
	cdzc	11 49 00	3.799	281.	as	12380	25281
	cdzc	12 10 00	4.110	278.	as	12411	25278
29	*****						
	cdzc	9 11 00	3.717	259.	as	9372	26259
	cdzc	9 32 00	3.537	264.	as	10354	26264
	cdzc	9 52 00	3.429	267.	as	10343	26267
	cdzc	10 22 00	3.364	263.	as	10336	26263
	cdzc	10 53 00	3.411	272.	as	11341	26272
	cdzc	11 06 00	3.466	269.	as	11347	26269
	cdzc	11 16 00	3.525	273.	as	11352	26273
	cdzc	11 37 00	3.698	273.	as	12370	26273
	cdzc	11 52 00	3.871	269.	as	12387	26269
	cdzc	12 08 00	4.114	273.	as	12411	26273
	cdzc	12 18 00	4.302	276.	as	12430	26276
30	*****						
	cdzc	8 56 00	3.940	259.	sc	9394	26259
	cdzc	9 01 00	3.874	255.	sc	9387	26255
	cdzc	9 15 00	3.716	253.	sc	9372	26253
	cdzc	10 07 00	3.414	260.	sc	10341	26260
	cdzc	10 25 00	3.394	261.	sc	10339	26261
	cdzc	10 50 00	3.431	266.	sc	11343	26266
	cdzc	11 29 00	3.654	265.	sc	11365	26265
	cdzc	11 43 00	3.794	266.	sc	12379	26266
	cdzc	12 07 00	4.133	267.	sc	12413	26267

End of total ozone observations computation for November 2022

Total Ozone Observations on Inst. No. 84
at Belsk, Poland

December 2022		GMT	MU	XOZ	CLS	GGMMM	LSXXX
Date	Type						
1	*****						
	Obs. missing, or dates out of order or wrong						
2	*****						
	cdzc	9 06 00	3.893	285.	as	9389	26285
	cdzc	9 15 00	3.792	287.	as	9379	26287
	cdzc	9 39 00	3.594	294.	as	10359	26294
	cdzc	10 15 00	3.459	294.	as	10346	26294
	cdzc	10 44 00	3.472	302.	as	11347	26302
	cdzc	10 49 00	3.485	305.	as	11348	26305

```

3 *****
  cdzc      10 43 00    3.497    308.    as      11350  26308
  cdzc      10 57 00    3.539    298.    as      11354  26298
  cdzc      11 12 00    3.614    296.    as      11361  26296
  cdzc      11 20 00    3.668    295.    as      11367  26295
4 *****
  cdzc      9 51 00    3.590    298.    as      10359  26298
  cdzc      9 54 00    3.576    292.    as      10358  26292
  cdzc      10 00 00    3.553    290.    as      10355  26290
5 *****
  cdzc      9 32 00    3.739    320.    as      10374  26320
  cdzc      9 36 00    3.709    313.    as      10371  26313
  cdzc      9 42 00    3.669    307.    as      10367  26307
  cdzc      10 11 00    3.549    309.    as      10355  26309
  cdzc      10 20 00    3.535    306.    as      10354  26306
  cdzc      10 29 00    3.532    314.    as      10353  26314
  cdzc      11 01 00    3.607    323.    as      11361  26323
  cdzc      11 24 00    3.751    318.    as      11375  26318
  cdzc      11 36 00    3.861    318.    as      12386  26318
6 *****
  Obs. missing, or dates out of order or wrong
7 *****
  cdzc      10 27 00    3.580    290.    sc      10358  26290
  cdzc      10 31 00    3.580    286.    sc      11358  26286
  cdzc      10 41 00    3.591    290.    sc      11359  26290
8 *****
  cdzc      9 13 00    4.023    261.    ac      9402  24261
  cdqp      9 16 00    3.987    269.    ac      9399  20269
  cdqp      9 29 00    3.854    265.    ac      9385  20265
  cdqp      9 38 00    3.781    264.    ac      10378  20264
  cdqp      10 07 00    3.633    275.    ac      10363  20275
  cdzb      10 14 00    3.616    278.    ac      10362  22278
  cdzc      11 01 00    3.673    260.    ac      11367  24260
  cdzc      11 32 00    3.889    270.    ac      12389  24270
9 *****
  cdzc      9 42 00    3.778    295.    ac      10378  25295
  cdzc      10 04 00    3.666    276.    ac      10367  25276
  cdzc      10 12 00    3.643    265.    ac      10364  25265
  cdzc      10 19 00    3.630    265.    ac      10363  24265
  cdqp      10 39 00    3.630    278.    ac      11363  20278
  adqp      10 39 00    3.630    279.    ac      11363  00279
  cdqp      10 41 00    3.632    280.    ac      11363  20280
  adqp      10 50 00    3.653    283.    ac      11365  00283
  cdqp      10 54 00    3.665    281.    ac      11367  20281
  cdqp      11 13 00    3.758    285.    ac      11376  20285
  adqp      11 13 00    3.758    281.    ac      11376  00281
  cdqp      11 22 00    3.821    283.    ac      11382  20283
  cdzb      11 28 00    3.872    290.    ac      11387  22290
  cdqp      11 33 00    3.919    281.    ac      12392  20281
  cdqp      11 46 00    4.065    279.    ac      12407  20279
10 *****
  Obs. missing, or dates out of order or wrong
11 *****
  Obs. missing, or dates out of order or wrong
12 *****
  cdzc      9 37 00    3.885    359.    as      10389  25359
  cdzc      9 41 00    3.854    351.    as      10385  25351
  cdzc      9 54 00    3.771    356.    as      10377  25356
  cdzc      10 10 00    3.706    352.    as      10371  25352
  cdzc      10 26 00    3.678    354.    as      10368  25354
  cdzc      11 02 00    3.747    360.    as      11375  25360
  cdzc      11 11 00    3.794    355.    as      11379  25355
13 *****
  cdzc      9 44 00    3.852    376.    as      10385  26376
  cdzc      10 10 00    3.723    375.    as      10372  26375
  cdzc      10 23 00    3.697    365.    as      10370  26365
  cdzc      10 40 00    3.698    372.    as      11370  26372
  cdzc      11 03 00    3.765    383.    sc      11377  26383
14 *****
  adqp      9 25 00    4.040    299.    ac      9404  00299
  cdqp      9 25 00    4.040    297.    ac      9404  20297
  adqp      9 43 00    3.877    305.    ac      10388  00305
  cdqp      9 43 00    3.877    300.    ac      10388  20300
  adqp      10 15 00    3.725    310.    ac      10372  00310
  cdqp      10 15 00    3.725    308.    ac      10372  20308
  adqp      10 31 00    3.706    308.    ac      11371  00308
  cdqp      10 31 00    3.706    301.    ac      11371  20301

```

	cdzb	10 33 00	3.706	309.		11371	22309
	adqp	10 51 00	3.733	304.		11373	00304
	cdqp	10 51 00	3.733	297.		11373	20297
	adqp	11 11 00	3.819	303.		11382	00303
	cdqp	11 11 00	3.819	298.		11382	20298
	cdzb	11 22 00	3.894	309.		11389	22309
15	*****						
	cdzc	9 16 00	4.168	290.	as	9417	26290
	cdzc	9 26 00	4.049	289.	as	9405	26289
	cdzc	10 46 00	3.732	287.	as	11373	26287
	cdzc	11 14 00	3.847	283.	as	11385	26283
	cdzc	11 26 00	3.935	286.	as	11394	26286
16	*****						
	Obs. missing, or dates out of order or wrong						
17	*****						
	Obs. missing, or dates out of order or wrong						
18	*****						
	cdzc	10 56 00	3.781	283.	as	11378	25283
	cdzc	11 05 00	3.816	281.	as	11382	25281
	cdzc	11 09 00	3.836	279.	as	11384	25279
	cdzc	11 14 00	3.865	284.	as	11387	25284
19	*****						
	cdqp	9 51 00	3.885	274.		10388	20274
	cdqp	9 56 00	3.854	268.		10385	20268
	adqp	9 56 00	3.854	279.		10385	00279
	cdzb	9 59 00	3.838	271.		10384	22271
	cdqp	10 03 00	3.818	266.		10382	20266
	adqp	10 03 00	3.818	278.		10382	00278
	cdqp	10 12 00	3.783	267.		10378	20267
	adqp	10 12 00	3.783	278.		10378	00278
	cdqp	11 09 00	3.839	278.		11384	20278
	cdqp	11 14 00	3.868	278.		11387	20278
	cdzb	11 17 00	3.887	275.		11389	22275
20	*****						
	cdzc	9 42 00	3.959	262.	ac	10396	25262
	cdqp	10 03 00	3.824	266.		10382	20266
	cdqp	10 06 00	3.811	268.		10381	20268
	cdqp	10 14 00	3.782	272.		10378	20272
	adqp	10 14 00	3.782	275.		10378	00275
	cdzc	10 40 00	3.754	267.	ac	11375	25267
	cdqp	10 51 00	3.772	271.		11377	20271
	adqp	10 51 00	3.772	268.		11377	00268
	cdqp	10 54 00	3.780	274.		11378	20274
21	*****						
	cdqp	9 12 00	4.311	228.		9431	20228
	cdqp	10 02 00	3.833	227.		10383	20227
	cdzc	10 10 00	3.799	225.	ac	10380	24225
	adzc	10 16 00	3.780	236.	as	10378	05236
	adqp	10 36 00	3.754	232.		11375	00232
	cdqp	10 49 00	3.768	233.		11377	20233
	adqp	10 49 00	3.768	235.		11377	00235
	cdqp	10 56 00	3.786	232.		11379	20232
	adqp	10 56 00	3.786	230.		11379	00230
	adqp	11 04 00	3.816	233.		11382	00233
	cdzc	11 11 00	3.850	224.	as	11385	25224
22	*****						
	cdzc	9 48 00	3.922	265.	ac	10392	25265
	cdzc	10 05 00	3.821	274.	ac	10382	25274
	adqp	10 15 00	3.784	268.		10378	00268
	cdqp	10 15 00	3.784	267.		10378	20267
	adqp	10 20 00	3.771	268.		10377	00268
	cdqp	10 20 00	3.771	261.		10377	20261
	cdzc	10 43 00	3.758	274.	ac	11376	25274
	cdzb	10 55 00	3.782	275.		11378	22275
	adqp	10 58 00	3.791	269.		11379	00269
	cdqp	10 58 00	3.791	267.		11379	20267
	cdzc	11 11 00	3.847	267.	ac	11385	25267
23	*****						
	cdzc	9 26 00	4.134	276.	as	9413	25276
	cdzc	9 31 00	4.078	278.	as	10408	25278
	cdzc	9 40 00	3.989	277.	as	10399	25277
	cdzc	9 50 00	3.909	271.	as	10391	25271
	cdzc	9 58 00	3.858	271.	as	10386	25271
	cdzc	10 56 00	3.781	285.	sc	11378	25285
	cdzc	11 01 00	3.798	283.	sc	11380	26283
	cdzc	11 05 00	3.814	282.	sc	11381	26282
24	*****						

```

Obs. missing, or dates out of order or wrong
25 *****
    cdzc      10 42 00    3.745    318.    sc      11374  26318
    cdzc      11 24 00    3.908    310.    sc      11391  26310
26 *****
    cdzc      10 23 00    3.751    304.    sc      10375  26304
    cdzc      10 45 00    3.740    307.    sc      11374  26307
    cdzc      11 25 00    3.904    303.    sc      11390  26303
27 *****
    cdzc      9 40 00    3.979    373.    sc      10398  26373
    cdzc      10 04 00    3.810    362.    cu      10381  25362
    cdzc      10 20 00    3.750    368.    cu      10375  25368
    cdzc      10 42 00    3.728    382.    cu      11373  25382
    cdzc      10 54 00    3.745    370.    cu      11375  26370
    cdqp      11 12 00    3.811    359.    sc      11381  20359
    cdzb      11 22 00    3.870    367.    sc      11387  22367
28 *****
    cdqp      9 04 00    4.454    266.    sc      9445  20266
    adqp      9 07 00    4.400    262.    sc      9440  00262
    cdqp      9 11 00    4.334    263.    sc      9433  20263
    cdqp      9 16 00    4.257    260.    sc      9426  20260
    cdzc      9 25 00    4.134    254.    ac      9413  24254
    cdqp      9 37 00    4.001    263.    sc      10400  20263
    cdqp      9 45 00    3.928    270.    sc      10393  20270
    adqp      9 47 00    3.912    265.    sc      10391  00265
    cdzc      10 46 00    3.721    266.    as      11372  25266
    cdzc      11 01 00    3.753    258.    as      11375  25258
    cdzc      11 15 00    3.813    264.    as      11381  26264
29 *****
    cdzc      9 18 00    4.220    296.    sc      9422  26296
    cdzc      9 26 00    4.114    301.    sc      9411  26301
    cdzc      9 40 00    3.963    290.    sc      10396  26290
    cdqp      10 23 00    3.722    301.    sc      10372  20301
    cdqp      10 26 00    3.716    303.    sc      10372  20303
    adqp      10 26 00    3.716    299.    sc      10372  00299
    cdqp      10 34 00    3.706    302.    sc      11371  20302
    adqp      10 34 00    3.706    299.    sc      11371  00299
    cdqp      10 43 00    3.706    305.    sc      11371  20305
    adqp      10 43 00    3.706    300.    sc      11371  00300
    cdqp      10 59 00    3.733    302.    sc      11373  20302
    adqp      10 59 00    3.733    299.    sc      11373  00299
    cdzc      11 26 00    3.866    307.    ac      11387  26307
30 *****
    cdqp      9 13 00    4.284    330.    sc      9428  20330
    adqp      9 13 00    4.284    308.    sc      9428  00308
    cdqp      9 31 00    4.044    330.    sc      10404  20330
    adqp      9 31 00    4.044    319.    sc      10404  00319
    cdqp      9 39 00    3.962    330.    sc      10396  20330
    adqp      9 39 00    3.962    321.    sc      10396  00321
    cdqp      9 48 00    3.883    331.    sc      10388  20331
    adqp      9 48 00    3.883    324.    sc      10388  00324
    cdqp      9 56 00    3.826    333.    sc      10383  20333
    adqp      9 56 00    3.826    327.    sc      10383  00327
    cdzb      10 05 00    3.775    332.    sc      10377  22332
    cdqp      10 18 00    3.723    340.    sc      10372  20340
    adqp      10 18 00    3.723    330.    sc      10372  00330
    cdqp      10 34 00    3.693    344.    sc      11369  20344
    adqp      10 34 00    3.693    331.    sc      11369  00331
    cdzb      10 39 00    3.691    332.    sc      11369  22332
    cdqp      10 45 00    3.693    338.    sc      11369  20338
    adqp      10 45 00    3.693    328.    sc      11369  00328
    cdqp      11 04 00    3.733    335.    sc      11373  20335
    adqp      11 04 00    3.733    325.    sc      11373  00325
    cdqp      11 16 00    3.786    340.    sc      11379  20340
    adqp      11 16 00    3.786    325.    sc      11379  00325
    cdqp      11 39 00    3.954    340.    sc      12395  20340
31 *****
    cdzc      9 38 00    3.958    306.    ac      10396  24306
    cdzc      9 43 00    3.912    307.    ac      10391  24307
    cdzc      9 51 00    3.848    305.    ac      10385  24305
    cdqp      10 11 00    3.734    302.    sc      10373  20302
    cdqp      10 17 00    3.712    305.    sc      10371  20305
    cdqp      10 19 00    3.706    305.    sc      10371  20305
    adqp      10 19 00    3.706    305.    sc      10371  00305

```

End of total ozone observations computation for December 2022

Załącznik 2. Wyniki pomiarów stężeń gazowych zanieczyszczeń powietrza na stacji IGF PAN w Belsku 01.01.2022 - 31.12.2022

Belsk-IGFPAN
Adres: Belsk Duży, Osiedle PAN 1
Okres pomiarowy: 22.01.01-23.01.01
Czas uśredniania: 1 godz.
liczba mierzonych parametrów: 7
liczba terminów pomiarowych: 8760
oznaczenie braku wyników: -999
oznaczenie nieważnych wyników: -888

data i godzina	CO [µg/m3]	NO [µg/m3]	NO2 [µg/m3]	NOx [µg/m3]	O3 [µg/m3]	PM10 [µg/m3]	SO2 [µg/m3]
01.01.2022 01:00	193	0,3	4,4	4,7	39,3	12,7	0,4
01.01.2022 02:00	187	0,2	4,2	4,4	38	18,3	0,2
01.01.2022 03:00	188	0,2	4,2	4,4	35,9	13,9	0,2
01.01.2022 04:00	189	0,2	4,4	4,6	35	9,9	0,2
01.01.2022 05:00	178	0,3	4,2	4,5	39,5	7,6	1,5
01.01.2022 06:00	174	0,2	3,6	3,8	40,4	5,9	0,9
01.01.2022 07:00	173	0,3	3,6	3,9	39,8	4,7	0,7
01.01.2022 08:00	169	0,2	3,4	3,6	43,4	3,9	0,6
01.01.2022 09:00	165	0,2	3	3,2	51,4	3,8	0,6
01.01.2022 10:00	170	0,2	2,8	3	46,9	3,5	0,6
01.01.2022 11:00	181	0,3	3,8	4	39,6	3,6	0,5
01.01.2022 12:00	184	0,3	3,3	3,6	41	3,7	0,6
01.01.2022 13:00	177	0,2	3,1	3,3	49,4	4,2	0,6
01.01.2022 14:00	176	0,2	3	3,1	54,2	3,8	0,6
01.01.2022 15:00	183	0,1	3,5	3,5	53,3	3,4	1
01.01.2022 16:00	181	0,1	3,5	3,5	55,1	3,3	0,4
01.01.2022 17:00	177	0,2	3,3	3,4	65,5	3,3	0,6
01.01.2022 18:00	187	0,1	3,8	3,9	62,3	3,2	0,8
01.01.2022 19:00	195	0	3,8	3,7	59,6	3,2	0,3
01.01.2022 20:00	209	0,1	3,7	3,7	56,2	3,2	0,4
01.01.2022 21:00	214	0,1	4	4,1	57,2	3,1	0,5
01.01.2022 22:00	207	0,1	3,9	3,9	56,6		0,4
01.01.2022 23:00	198	0,1	3,3	3,4	40,9	2	0,1
02.01.2022	209	0,2	3,4	3,5	38,1	2	0
02.01.2022 01:00	236	0,1	4,1	4,1	30,5	2,5	0,2
02.01.2022 02:00	351	0,3	6,2	6,4	42,7	2,6	0,5
02.01.2022 03:00	260	0,1	4,8	4,8	48,2	5,1	0,5
02.01.2022 04:00	242	0,1	4,8	4,8	50,7	4,7	0,6
02.01.2022 05:00	243	0,1	4,9	5	51,6	4,4	0,4
02.01.2022 06:00	264	0,1	6,1	6,2	45,2	4,4	0,5
02.01.2022 07:00	265	0,3	5,8	6	41,9	4,5	0,4
02.01.2022 08:00	261	0,1	6,2	6,2	36,8	19,7	0,5
02.01.2022 09:00	274	0,3	5,2	5,6	33,8	16,9	0,4
02.01.2022 10:00	287	0,2	4,7	4,8	32,5	19,1	0,6
02.01.2022 11:00	293	0,4	5,1	5,5	32,1	16,5	0,3

02.01.2022 12:00	305	0,5	5,2	5,8	34,7	26,3	0,8
02.01.2022 13:00	355	0,6	7	7,8	36,9	23,2	1,3
02.01.2022 14:00	346	0,7	9,1	10	41,6	17,4	2,5
02.01.2022 15:00	308	0,3	9,5	9,9	41,5	12,4	2
02.01.2022 16:00	269	0,2	8,6	8,7	43,8	19	1,3
02.01.2022 17:00	252	0,2	7,2	7,4	44,5	18,6	0,8
02.01.2022 18:00	259	0,2	7,5	7,6	42	14,2	0,7
02.01.2022 19:00	265	0,2	7,6	7,8	39,6	15,6	0,5
02.01.2022 20:00	266	0,2	7,8	8	39,1	17,7	0,7
02.01.2022 21:00	267	0,2	7,2	7,4	38,8	14,1	0,7
02.01.2022 22:00	265	0,1	6,7	6,8	39,7	19,1	0,7
02.01.2022 23:00	245	0,2	8,7	8,9	39,8	13,6	1,7
03.01.2022	220	0,1	6,3	6,3	41,7	10,4	0,8
03.01.2022 01:00	211	0,1	6,1	6,1	44,6	8,2	0,7
03.01.2022 02:00	210	0,1	6,1	6,2	45,2	13,2	0,7
03.01.2022 03:00	208	0,1	5,8	5,9	47,6	9,5	0,5
03.01.2022 04:00	203	0,2	5,4	5,6	50,2	7,8	0,7
03.01.2022 05:00	200	0,3	5,1	5,4	52,6	6	0,7
03.01.2022 06:00	209	0	5,6	5,5	48,4	6,9	0,5
03.01.2022 07:00	213	0,2	5,6	5,7	46,9	5,4	0,3
03.01.2022 08:00	221	0,2	6,3	6,5	43,5	5,2	0,5
03.01.2022 09:00	235	0,1	7,5	7,6	37,6	11,3	0,4
03.01.2022 10:00	238	0,2	7	7,2	41,4	10,3	0,1
03.01.2022 11:00	219	0,3	5,8	6,2	56,8	13,3	0,1
03.01.2022 12:00	211	0,3	4,6	4,9	64,9	9,9	1
03.01.2022 13:00	225	0,3	6,4	6,7	60,2	8,2	0,9
03.01.2022 14:00	213	0,2	5,5	5,7	61	9,3	1
03.01.2022 15:00	202	0,2	4,6	4,8	67,4	9,7	1
03.01.2022 16:00	209	0,2	4,7	4,8	64,7	7,8	0,9
03.01.2022 17:00	211	0,1	4,9	4,8	65,4	5,9	0,8
03.01.2022 18:00	211	0	4,9	4,8	64	4,9	1
03.01.2022 19:00	226	0,2	5,7	5,9	58,8	4,4	0,8
03.01.2022 20:00	245	0,2	6,1	6,2	56,8	4,2	1,3
03.01.2022 21:00	265	0,1	7,8	7,9	52,5	3,4	1,1
03.01.2022 22:00	263	0,1	7,1	7,1	52,8	7	1,2
03.01.2022 23:00	240	0,1	6,1	6,2	56,7	5,9	1,2
04.01.2022	250	0,2	6,6	6,9	51,8	5,2	1,5
04.01.2022 01:00	254	0,2	7,2	7,3	48,8	7,5	1,6
04.01.2022 02:00	242	0,3	6,7	6,9	49,6	15,3	1,6
04.01.2022 03:00	238	0,2	6	6,2	50,8	15,7	1,8
04.01.2022 04:00	230	0,1	5,9	6	49,3	11,6	1,5
04.01.2022 05:00	238	0,2	6	6,1	45,3	8,7	1,4
04.01.2022 06:00	245	0,2	6,6	6,8	42,1	7,4	1,4
04.01.2022 07:00	252	0,2	7,4	7,7	37,3	8,5	1,2
04.01.2022 08:00	255	0,3	8	8,2	36,2	6,2	1,3
04.01.2022 09:00	260	0,5	9	9,6	37,9	15	1,5
04.01.2022 10:00	251	0,4	7,5	8,1	44,3	17,2	2,3
04.01.2022 11:00	250	0,6	6,8	7,5	47,9	13,8	3,5
04.01.2022 12:00	256	0,4	7,5	7,9	46,7	12,2	2,2
04.01.2022 13:00	267	0,6	9,3	10,1	43,5	9,9	2,1
04.01.2022 14:00	332	1,3	14,8	16,6	33,4	8,2	1,9

04.01.2022 15:00	365	1,2	18	19,6	30,2	15,7	2,2
04.01.2022 16:00	351	0,6	17,9	18,8	33,2	19,9	1,8
04.01.2022 17:00	295	0,2	12,3	12,4	39,9	18,6	1,5
04.01.2022 18:00	298	0,3	11,9	12,1	38,6	13,3	1,4
04.01.2022 19:00	337	0,3	11,8	12,1	38,2	17,9	1,7
04.01.2022 20:00	288	0,2	8,8	8,9	46,1	14,7	1,6
04.01.2022 21:00	293	0,3	8,5	8,8	45,7	28,6	1,9
04.01.2022 22:00	285	0,3	7,7	7,9	45,5	21,4	2,3
04.01.2022 23:00	256	0,2	7,6	7,8	46,3	18,7	2,2
05.01.2022	226	0,1	6	6	59	14,3	1,3
05.01.2022 01:00	208	0,2	4,9	5	63,3	10,2	1,9
05.01.2022 02:00	215	0,2	5,1	5,2	59,5	9,1	1,3
05.01.2022 03:00	227	0	5,6	5,5	54,5	6,5	0,9
05.01.2022 04:00	229	0,1	5,5	5,5	56	4,9	1
05.01.2022 05:00	230	0,2	5,4	5,5	56,3	10,1	1
05.01.2022 06:00	235	0,1	5,4	5,4	53,1	10,6	1
05.01.2022 07:00	230	0,1	4,9	5	51,6	11,8	0,9
05.01.2022 08:00	232	0,2	5,4	5,5	49,9	8,4	1
05.01.2022 09:00	273	0,4	7,1	7,6	47,2	8,8	1,2
05.01.2022 10:00	256	0,4	7,2	7,6	46,3	12,9	1,4
05.01.2022 11:00	257	0,6	7,1	7,9	46,6	10,2	1,5
05.01.2022 12:00	253	0,5	7,3	7,9	45,7	7,5	1,6
05.01.2022 13:00	252	0,5	7,1	7,8	44,5	15,5	1,5
05.01.2022 14:00	269	0,4	8,5	9,1	45,3	17,6	1,6
05.01.2022 15:00	268	0,3	10,1	10,4	47	13	1,3
05.01.2022 16:00	245	0,3	8,3	8,7	53,5	13,1	1,1
05.01.2022 17:00	208	0,2	5	5,1	67,8	10,1	0,8
05.01.2022 18:00	227	0,1	5,8	5,8	61,2	7,1	0,8
05.01.2022 19:00	229	0,2	5,5	5,6	58,8	6	1,1
05.01.2022 20:00	223	0,2	5,2	5,4	56	4,8	1,3
05.01.2022 21:00	249	0	6,3	6,2	52,8	4,1	1,3
05.01.2022 22:00	247	0,2	5,8	5,9	52,7	3,9	1,1
05.01.2022 23:00	249	0,2	5,8	5,9	50,1	4	1,2
06.01.2022	258	0,1	6,5	6,6	47,8	3,2	1,3
06.01.2022 01:00	265	0,2	6,5	6,6	45,7	2,6	1,5
06.01.2022 02:00	270	0,2	7,1	7,2	43,7	4,3	1,6
06.01.2022 03:00	255	0,1	6,1	6,2	44,5	4,7	1,3
06.01.2022 04:00	247	0,1	5,3	5,3	45	6,6	1,2
06.01.2022 05:00	247	0,1	5,4	5,4	43,8	5,9	1,1
06.01.2022 06:00	246	0	5,2	5,1	43,6	9,2	1,1
06.01.2022 07:00	233	0,2	4,4	4,6	49	7,8	1
06.01.2022 08:00	229	0	4	3,9	51,3	6,7	0,9
06.01.2022 09:00	234	0,1	4,2	4,1	49,6	4,9	1
06.01.2022 10:00	223	0	3,4	3,3	53,2	4,6	0,8
06.01.2022 11:00	222	0,1	3,3	3,3	54,7	4,1	0,8
06.01.2022 12:00	227	0,1	3,5	3,5	50,8	3,5	0,8
06.01.2022 13:00	234	0,2	3,9	4,1	46,3	3,8	0,8
06.01.2022 14:00	233	0,2	3,5	3,6	49,3	3,8	0,6
06.01.2022 15:00	224	0,1	3,3	3,2	54,7	3	0,9
06.01.2022 16:00	217	0,1	3	2,9	55,7		0,7
06.01.2022 17:00	220	0,1	3	2,9	55,1	1,1	0,6

06.01.2022 18:00	233	0	3,5	3,4	51,8	0,9	0,7
06.01.2022 19:00	243	0,1	3,2	3,2	48,7	1,2	0,6
06.01.2022 20:00	254	0,1	3,5	3,5	45,7	1,5	0,6
06.01.2022 21:00	252	0	3,3	3,1	46,3	1,4	0,7
06.01.2022 22:00	240	0	3	2,9	51,3	2,2	1
06.01.2022 23:00	238	0,1	3,3	3,3	53,5	2,6	1,4
07.01.2022	237	0,2	2,9	3,1	53,8	2,5	1,1
07.01.2022 01:00	261	0,2	3,5	3,7	48,7	2,4	1
07.01.2022 02:00	271	0,1	3,7	3,7	47,1	2,4	0,8
07.01.2022 03:00	272	0,1	4,8	4,7	46,5	2,3	1,1
07.01.2022 04:00	283	0,1	5,6	5,7	44,3	2,4	2
07.01.2022 05:00	285	0,2	5,7	5,9	42	2,3	1,6
07.01.2022 06:00	287	0,2	6,5	6,7	39,1	2,4	1,6
07.01.2022 07:00	299	0,2	6,9	7	36,1	2,7	1,6
07.01.2022 08:00	305	0,1	6,6	6,5	37,6	2,7	1
07.01.2022 09:00	317	0,7	7,5	8,5	37,2	5,7	1,3
07.01.2022 10:00	330	1,5	8,6	10,7	38,3	5,3	2,6
07.01.2022 11:00	324	1,8	9,1	11,7	40,8	8,7	3,2
07.01.2022 12:00	311	1,9	8,2	11	45,4	7,5	3,8
07.01.2022 13:00	294	1,5	8	10,2	50,8	11,6	6
07.01.2022 14:00	304	1,8	10,1	12,8	52,3	11,1	19,8
07.01.2022 15:00	327	0,7	9,9	10,8	52,9	8,3	13,6
07.01.2022 16:00	381	0,4	14,2	14,7	45,7	5,9	11,6
07.01.2022 17:00	458	0,4	19,3	19,7	40,2	9,6	11,7
07.01.2022 18:00	481	0,3	16,7	17	41,3	11	10,5
07.01.2022 19:00	473	0,2	15,1	15,2	42,9	17,5	9,5
07.01.2022 20:00	456	0,3	13	13,2	45	27	7,8
07.01.2022 21:00	401	0,3	12,4	12,7	44,2	20,2	4,6
07.01.2022 22:00	400	0,3	12,8	13,1	43,5	26,5	4,9
07.01.2022 23:00	387	0,3	11,1	11,3	45,3	22,1	4
08.01.2022	385	0,2	10,2	10,4	46,3	17,3	3,8
08.01.2022 01:00	391	0,3	10	10,2	46,2	18,7	5,3
08.01.2022 02:00	385	0,3	10,8	11,1	44,6	23,6	6
08.01.2022 03:00	370	0,3	9,5	9,8	47	17,9	4,1
08.01.2022 04:00	404	0,3	11,4	11,7	40,4	19,9	3,7
08.01.2022 05:00	393	0,2	11	11,2	40,6	15,5	3,8
08.01.2022 06:00	387	0,2	10,7	10,9	40,2	22,8	3,5
08.01.2022 07:00	397	0,2	11,3	11,5	37,1	21,3	3,7
08.01.2022 08:00	397	0,3	11,5	11,9	37,7	19,8	3,8
08.01.2022 09:00	412	1,4	14,1	16,1	36,1	24,2	3,7
08.01.2022 10:00	409	1,2	10	11,7	43,2	24,5	4,7
08.01.2022 11:00	457	1,5	10,8	12,9	43,9	26,5	5
08.01.2022 12:00	420	1,5	9,7	11,9	45,8	30,4	6,5
08.01.2022 13:00	410	1,2	10,1	11,8	45	23,3	6,5
08.01.2022 14:00	416	0,7	11,5	12,4	42,9	22,4	7,3
08.01.2022 15:00	418	0,6	12,3	13	40,1	23,6	7,2
08.01.2022 16:00	441	0,3	12,5	12,9	38,6	24	6,3
08.01.2022 17:00	449	0	13,1	13	36,8	26,2	6,4
08.01.2022 18:00	460	0,2	14	14,2	34,5	19,1	7
08.01.2022 19:00	509	0,3	15,3	15,7	31,7	33,5	6,5
08.01.2022 20:00	540	0,3	16,3	16,6	30,2	30,8	6,5

08.01.2022 21:00	551	0,3	16,1	16,4	28,6	33,8	7,7
08.01.2022 22:00	543	0,3	15,5	15,9	27,2	37,7	8,9
08.01.2022 23:00	560	0,2	16,5	16,6	25,6	32,4	10,2
09.01.2022	578	0,4	17,1	17,6	23,9	40	9
09.01.2022 01:00	618	0,4	16,7	17,1	23,6	45,9	7,7
09.01.2022 02:00	655	0,4	17	17,4	20,6	46,2	6,2
09.01.2022 03:00	677	0,4	21,2	21,8	15,6	50,4	6,8
09.01.2022 04:00	683	0,5	20	20,6	15,7	46,2	6,5
09.01.2022 05:00	663	0,5	20	20,6	15,4	44,2	5,7
09.01.2022 06:00	641	0,7	21,9	22,8	12,1	49,3	5,3
09.01.2022 07:00	802	1	23,8	25,2	10	47,9	4,5
09.01.2022 08:00	567	1,3	19,6	21,5	12,2	55	3
09.01.2022 09:00	586	2,8	14,2	18,4	20,7	50,3	3,9
09.01.2022 10:00	578	2,2	11,5	14,7	29,9	42,7	4,9
09.01.2022 11:00	505	2,2	11	14,3	41,8	49,6	5,3
09.01.2022 12:00	441	1,5	8,9	11	50,8	40,4	3,8
09.01.2022 13:00	414	1,6	9,7	12	53,1	33,6	4,1
09.01.2022 14:00	379	1,7	11,2	13,7	52,7	23,8	7,8
09.01.2022 15:00	394	0,5	8,2	8,9	53,3	24,3	3
09.01.2022 16:00	430	0,6	11,7	12,5	46,9	25,2	3,2
09.01.2022 17:00	518	0,7	20,8	21,8	33,9	26,2	3,5
09.01.2022 18:00	625	0,8	25,3	26,5	26,4	24,9	5
09.01.2022 19:00	543	1,1	19,9	21,5	30,8	35,1	3,1
09.01.2022 20:00	550	0,4	16,4	16,8	32,3	35,9	2,2
09.01.2022 21:00	539	0,5	15,7	16,3	30,4	60,3	1,8
09.01.2022 22:00	550	0,6	19,4	20,2	25,3	43	1,8
09.01.2022 23:00	536	0,6	20	20,7	24,7	43,3	1,1
10.01.2022	545	0,6	17	17,8	27,7	49,5	1
10.01.2022 01:00	459	0,4	15,7	16,1	29,1	46,2	0,8
10.01.2022 02:00	385	0,4	12,1	12,5	34,1	40,2	0,9
10.01.2022 03:00	337	0,5	14,2	14,8	33,4	41,9	5,4
10.01.2022 04:00	320	0,3	8,4	8,7	41,8	40,8	1,8
10.01.2022 05:00	305	0,3	6,2	6,5	46,7	33,4	1,9
10.01.2022 06:00	290	0,3	5,3	5,7	48,9	30,7	1,5
10.01.2022 07:00	297	0,6	7,4	8,2	43	24,5	1,8
10.01.2022 08:00	330	2,4	8,8	12,4	35,6	20,6	1,5
10.01.2022 09:00	322	1,1	8,9	10,5	33,7	21,3	1,2
10.01.2022 10:00	408	2,2	13,8	17,1	29,3	25,9	1,6
10.01.2022 11:00	434	2,7	17,4	21,4	21,7	22,5	2,1
10.01.2022 12:00	421	3	16,3	20,8	21,7	30,8	1,9
10.01.2022 13:00	321	1,3	10,6	12,5	40,4	30,5	1,7
10.01.2022 14:00	299	1,2	9,2	10,9	46,9	22,2	1,6
10.01.2022 15:00	301	2,2	10,5	13,8	47,6	16,5	2
10.01.2022 16:00	295	0,7	12	12,9	36,2	13,6	1,2
10.01.2022 17:00	334	0,8	17,4	18,5	33,3	8,6	1,3
10.01.2022 18:00	459	0,8	29,9	31	23,5	21,7	1,5
10.01.2022 19:00	522	1,2	38,4	40,1	11,8	21,8	1,2
10.01.2022 20:00	515	1,5	45,4	47,5	6,9	33,4	1,2
10.01.2022 21:00	643	4,9	54,6	62	4,2	37,3	1,5
10.01.2022 22:00	642	3,6	51,8	57,2	4,1	37,4	0,3
10.01.2022 23:00	628	2,1	47,2	50,2	4,8	34,2	0,8

11.01.2022	606	2	43,9	46,8	4,5	51,8	0,5
11.01.2022 01:00	574	1,4	40,4	42,5	3,8	45	0,2
11.01.2022 02:00	554	1,1	37,7	39,3	5,9	26,4	0
11.01.2022 03:00	530	0,8	31,4	32,5	9	36,3	0,5
11.01.2022 04:00	516	0,6	27,1	27,9	10,3	34,1	0,6
11.01.2022 05:00	497	0,6	24,1	24,9	10,7	38,3	0,4
11.01.2022 06:00	502	0,6	24,4	25,2	10,7	39,5	0,2
11.01.2022 07:00	511	0,9	24,9	26,2	8,3	40,3	0,2
11.01.2022 08:00	496	1,3	23,7	25,5	7,8	34,5	0,2
11.01.2022 09:00	511	5,2	22,6	30,5	12	43,3	0,1
11.01.2022 10:00	566	12,3	25,1	43,9	10,6	38,1	0,1
11.01.2022 11:00	558	20	31,9	62,6	11,7	56,6	0,3
11.01.2022 12:00	417	4,4	19	25,7	31,4	59,3	0,3
11.01.2022 13:00	399	3,4	19,4	24,5	33,8	49,4	0,2
11.01.2022 14:00	370	1,6	16,7	18,9	36,4	35,4	0,6
11.01.2022 15:00	389	1,5	20,9	23	33	38,4	1,7
11.01.2022 16:00	380	0,6	22,4	23,2	28,8	34,4	1,9
11.01.2022 17:00	411	0,6	30,4	31,1	23	33,3	1,7
11.01.2022 18:00	435	0,5	35,3	35,9	17,2	37,6	2,1
11.01.2022 19:00	442	0,6	31,4	32,2	19,2	33,3	2,1
11.01.2022 20:00	398	0,3	19,1	19,4	30,9	39,8	2,1
11.01.2022 21:00	344	0,7	15,3	16,2	40,4	31,8	1,8
11.01.2022 22:00	311	0,2	10,3	10,5	46,8	24,9	1,7
11.01.2022 23:00	307	0,3	8,5	8,7	47,9	18,1	1,7
12.01.2022	286	0,9	8,4	9,6	46	17,5	1,5
12.01.2022 01:00	287	0,3	9	9,3	44,2	13,2	1,9
12.01.2022 02:00	326	0,3	9,6	9,9	40,7	15,6	2,2
12.01.2022 03:00	367	0,1	10,6	10,6	34,8	13,5	2,1
12.01.2022 04:00	344	0,2	9,2	9,3	38,1	21,5	1,8
12.01.2022 05:00	336	0,2	8,7	8,8	39,8	23,9	2
12.01.2022 06:00	336	0,2	8,3	8,5	40,6	17,1	1,9
12.01.2022 07:00	353	0,3	9	9,4	38,9	23,7	2
12.01.2022 08:00	367	1	10,2	11,7	36,7	26,8	2
12.01.2022 09:00	320	0,4	8,9	9,4	45,4	19,3	1,8
12.01.2022 10:00	275	0,3	6,1	6,4	57,4	21	1,9
12.01.2022 11:00	267	0,3	5,3	5,6	61,8	20,8	2,4
12.01.2022 12:00	246	0,3	4	4,2	65,3	17,3	2,9
12.01.2022 13:00	257	0,2	4,2	4,4	62,9	12,7	4,3
12.01.2022 14:00	272	0,4	5,3	5,7	60,7	15,8	4,9
12.01.2022 15:00	312	0,5	10,7	11,4	51	16,9	3,5
12.01.2022 16:00	378	0,4	16,3	16,8	44,5	18,3	5
12.01.2022 17:00	404	0,2	16	16,1	42,2	19,3	4,1
12.01.2022 18:00	427	0,2	13,5	13,7	40,7	25,5	3,3
12.01.2022 19:00	449	0,3	14,2	14,5	37,2	33,2	2,8
12.01.2022 20:00	492	0,2	17	17,2	31,2	33,9	3,4
12.01.2022 21:00	523	0,3	19,1	19,5	28,1	39,6	4,5
12.01.2022 22:00	507	0,3	18,9	19,2	28,9	50,3	4,1
12.01.2022 23:00	462	0,2	15,5	15,7		60,4	3,6
13.01.2022	445	0,3	16,7	17	31,9	50,7	4,2
13.01.2022 01:00	445	0,2	17,2	17,4	26,2	62,2	3,3
13.01.2022 02:00	390	0,2	15,1	15,3	27,9	56,1	1,8

13.01.2022 03:00	375	0,2	14,2	14,3	29,3	46,4	1,1
13.01.2022 04:00	363	0,2	12,7	12,8	30,5	37,5	0,9
13.01.2022 05:00	346	0,2	12,3	12,4	29,1	32	0,9
13.01.2022 06:00	323	0,3	12,3	12,7	30,7	30,5	0,6
13.01.2022 07:00	314	0,2	11,9	12,1	31	33,3	1,1
13.01.2022 08:00	312	0,3	12,4	12,8	30	33,1	0,7
13.01.2022 09:00	307	0,4	12,2	12,6	31,3	35	0,9
13.01.2022 10:00	290	0,7	11	12	36,4	25,2	0,8
13.01.2022 11:00	285	0,7	11,4	12,4	36,7	22,5	0,9
13.01.2022 12:00	286	0,7	10,8	11,8	37,7	22,9	0,8
13.01.2022 13:00	293	0,6	10,8	11,6	37,9	20,4	0,9
13.01.2022 14:00	294	0,5	10,8	11,3	38,4	18,6	0,9
13.01.2022 15:00	297	0,4	11,3	11,8	37,2	16,8	0,9
13.01.2022 16:00	295	0,4	10,7	11,1	36,6	16,2	0,9
13.01.2022 17:00	299	0,2	11,5	11,6	35,4	11,7	0,8
13.01.2022 18:00	287	0,2	10,8	10,9	36,8	21,1	0,7
13.01.2022 19:00	277	0,2	9,9	10	38,8	15,7	0,7
13.01.2022 20:00	269	0,2	9,1	9,3	40,2	18,3	0,6
13.01.2022 21:00	270	0,1	9,3	9,3	39,5	17,2	0,6
13.01.2022 22:00	270	0,1	8,8	8,8	39,5	12,8	0,7
13.01.2022 23:00	264	0,3	8,6	8,9	40,1	11,6	0,7
14.01.2022	254	0,2	7,9	8	42,9	18,2	0,6
14.01.2022 01:00	248	0,2	7,6	7,8	43,2	16,6	0,6
14.01.2022 02:00	238	0,2	7,4	7,5	45,1	13,3	0,7
14.01.2022 03:00	231	0,2	6,6	6,7	47,1	11,5	0,6
14.01.2022 04:00	227	0,3	6,4	6,7	47,8	14,5	0,6
14.01.2022 05:00	222	0,2	6,4	6,5	48,9	16,7	0,6
14.01.2022 06:00	212	0,1	6,1	6,1	52,8	15,8	0,6
14.01.2022 07:00	212	0,2	5,4	5,6	54	11,6	0,5
14.01.2022 08:00	207	0,2	5	5,2	56,6	8,3	0,5
14.01.2022 09:00	202	0,2	5,3	5,4	58,6	14,6	0,6
14.01.2022 10:00	207	0,2	5,3	5,5	57,9	11,3	0,5
14.01.2022 11:00	207	0,3	5,9	6,3	58,8	8,3	0,6
14.01.2022 12:00	208	0,2	6,1	6,3	59	6,6	0,7
14.01.2022 13:00	212	0,4	6,3	6,7	57,6	7,7	0,6
14.01.2022 14:00	214	0,4	6,8	7,3	57,3	5,6	0,8
14.01.2022 15:00	210	0,2	6,2	6,4	60,8	5,1	0,5
14.01.2022 16:00	209	0,1	6,2	6,3	62,2	3,9	0,5
14.01.2022 17:00	211	0,2	6,3	6,5	62,7	3,4	0,6
14.01.2022 18:00	202	0	5,4	5,3	70,9	2,7	0,5
14.01.2022 19:00	184	0,2	3,9	4	77,6	2,1	0,3
14.01.2022 20:00	200	0,1	5,5	5,5	71	1,7	0,6
14.01.2022 21:00	210	0,2	5,5	5,7	67,2	1,4	0,6
14.01.2022 22:00	213	0,1	5,7	5,7	67,3	1,2	0,9
14.01.2022 23:00	210	0,1	5,3	5,4	67,1	1	0,8
15.01.2022	214	0,1	5,2	5,2	66,8	0,9	0,8
15.01.2022 01:00	220	0,1	5,2	5,1	66	1,4	1
15.01.2022 02:00	215	0	4,9	4,8	65,8	4,8	0,9
15.01.2022 03:00	217	0	4,5	4,5	65	4,6	1
15.01.2022 04:00	220	0,2	4,5	4,6	64,2	4	1,1
15.01.2022 05:00	218	0,3	4,3	4,6	63,4	4,5	1,1

15.01.2022 06:00	222	0,2	4,2	4,3	61,9	4,1	0,9
15.01.2022 07:00	225	0,1	4,6	4,6	60,9	10,3	0,8
15.01.2022 08:00	227	0,2	4,7	4,8	59,8	15,7	0,6
15.01.2022 09:00	230	0	5,2	5,1	58,5	11,2	0,5
15.01.2022 10:00	232	0,4	5,4	5,9	57,9	8,6	0,6
15.01.2022 11:00	234	0,5	5,3	5,9	58,3	7,2	0,7
15.01.2022 12:00	231	0,5	5,2	5,9	59,7	12,2	0,6
15.01.2022 13:00	234	0,6	5,1	5,9	60,5	9,7	0,3
15.01.2022 14:00	237	0,5	5,1	5,8	61	11,8	0,3
15.01.2022 15:00	234	0,4	5,1	5,6	61,8	8,4	0,4
15.01.2022 16:00	239	0,2	5,8	5,9	59,6	7,2	0,5
15.01.2022 17:00	246	0,1	5,9	5,9	57,9	7,7	0,4
15.01.2022 18:00	264	0,2	6,4	6,5	54,8	13,1	0,4
15.01.2022 19:00	283	0,1	6,9	6,9	52,7	26,5	0,6
15.01.2022 20:00	250	0,1	5,9	5,9	56	27,4	1,4
15.01.2022 21:00	265	0,1	6,2	6,1	51,7	20,5	1,3
15.01.2022 22:00	322	0,2	7,4	7,6	43,2	40,2	0,7
15.01.2022 23:00	446	0,2	9,9	10,1	35,7	33	0,6
16.01.2022	389	0,3	12,3	12,7	35,4	51,6	0,4
16.01.2022 01:00	352	0,3	10,8	11,1	36,7	79	0,1
16.01.2022 02:00	303	0,2	7,8	7,9	43,6	69	0,1
16.01.2022 03:00	316	0,2	8,8	8,9	43,6	50,7	0,6
16.01.2022 04:00	298	0,3	8,5	8,8	44,9	43,6	0,7
16.01.2022 05:00	296	0,2	7,3	7,5	47,3	42,2	0,3
16.01.2022 06:00	299	0,1	7,4	7,5	46,5	35,2	0,4
16.01.2022 07:00	273	0,1	5,9	5,9	49,3	37,1	0,3
16.01.2022 08:00	263	0,2	4,9	5	51,4	33,5	0,4
16.01.2022 09:00	272	0,2	5,3	5,5	49,2	32,5	0,9
16.01.2022 10:00	293	0,3	7,6	7,9	45,7	33	1,6
16.01.2022 11:00	292	0,7	11,2	12,1	43,1	34,5	10
16.01.2022 12:00	298	0,8	11,9	12,9	42,7	32,7	10,3
16.01.2022 13:00	307	0,4	8,2	8,6	47,8	28,7	3,6
16.01.2022 14:00	318	0,4	8,8	9,3	46,3	26,4	5,2
16.01.2022 15:00	345	0,5	10,7	11,4	43,7	22,4	6,7
16.01.2022 16:00	405	0,4	12,8	13,2	39,4	22,2	5,9
16.01.2022 17:00	485	0,2	14,2	14,4	32,9	26,1	4,4
16.01.2022 18:00	587	0,2	17,2	17,4	30,5	40	5,1
16.01.2022 19:00	487	0,3	15,9	16,2	36,9	47,7	5,2
16.01.2022 20:00	401	0,2	13,3	13,4	40,6	37,4	3,7
16.01.2022 21:00	388	0,2	12,6	12,8	38,1	38,7	3,7
16.01.2022 22:00	362	0,2	11,9	12	33,7	32,1	2,6
16.01.2022 23:00	304	0,1	10,4	10,3	31,5	38,5	1,1
17.01.2022	325	0,2	11,4	11,5	27,8	39,5	1,4
17.01.2022 01:00	337	0,3	12	12,3	26,3	67,2	1,3
17.01.2022 02:00	317	0,1	11	11	27,8	54,8	1,1
17.01.2022 03:00	303	0,3	10,2	10,5	31	37,1	1,1
17.01.2022 04:00	291	0,1	9,9	10	35,6	25,6	1
17.01.2022 05:00	281	0,2	9,3	9,3	39,7	29,4	1
17.01.2022 06:00	266	0,1	7,9	8	45,8	25,9	1,1
17.01.2022 07:00	254	0,2	7,5	7,6	50,3	18,6	1
17.01.2022 08:00	244	0,1	7	7	53,8	14,3	1,1

17.01.2022 09:00	226	0	6,2	6	61,4	13,7	1,1
17.01.2022 10:00	222	0,1	6,2	6,3	64,6	10,4	0,8
17.01.2022 11:00	210	0,1	5,3	5,3	55,6		0,8
17.01.2022 12:00	198	0,3	3,9	4,2	80,4	12,1	0,9
17.01.2022 13:00	198	0,3	4,1	4,4	77,6		1,3
17.01.2022 14:00	200	0,3	4,3	4,7	75,1		1,2
17.01.2022 15:00	203	0,4	5,3	5,8	73,9	5,3	1,7
17.01.2022 16:00	201	0,3	5,8	6,1	73	4,4	1,7
17.01.2022 17:00	203	0,1	5,8	5,7	72,3	3,3	1,1
17.01.2022 18:00	211	0,1	6,5	6,5	69,9	1,4	2,8
17.01.2022 19:00	219	0,1	6,3	6,3	68,9	1,6	2,6
17.01.2022 20:00	216	0,1	4,1	4,2	71	1,5	1,1
17.01.2022 21:00	216	0	3,5	3,3	71,8	1,7	0,9
17.01.2022 22:00	221	0,1	4	4,1	71	1,9	1,1
17.01.2022 23:00	225	0,2	4,2	4,4	70,5	1,7	1,5
18.01.2022	231	0,1	4,1	4,1	69	1,5	2,3
18.01.2022 01:00	226	0,2	3,8	3,9	69,1	1,7	1,7
18.01.2022 02:00	228	0,2	4	4,1	68,1	2,1	1,6
18.01.2022 03:00	236	0,1	4,2	4,1	63,7	2,1	1,7
18.01.2022 04:00	249	0,1	4,7	4,8	58,6	2,2	1,5
18.01.2022 05:00	249	0	4,4	4,2	58,1	2,5	1,4
18.01.2022 06:00	245	0,2	4,2	4,4	57,8	2,5	1,3
18.01.2022 07:00	246	0,1	4,8	4,8	56,1	5,5	1,2
18.01.2022 08:00	250	0,1	5,6	5,7	54,3	5	1,6
18.01.2022 09:00	245	0,4	5,5	5,9	54,7	4,3	2
18.01.2022 10:00	247	0,8	6,8	7,9	54,5	6,2	2,5
18.01.2022 11:00	251	1,4	7,5	9,6	54,5	8,3	3,7
18.01.2022 12:00	259	1,5	7,8	9,9	55,4	6,4	4,4
18.01.2022 13:00	264	1,3	8,6	10,5	56,8	5,4	5,5
18.01.2022 14:00	260	1,2	7,8	9,5	58,9	4	4,5
18.01.2022 15:00	256	0,7	8,3	9,2	59,6	3,8	4,2
18.01.2022 16:00	265	0,5	10,1	10,7	24,3		5,1
18.01.2022 17:00	278	0,2	10	10,2	26,7		3,9
18.01.2022 18:00	294	0	10,6	10,5	48,3	3,4	1,6
18.01.2022 19:00	290	0	9,5	9,5	48,8	14,8	1,4
18.01.2022 20:00	280	0,2	9,1	9,2	49,1	19,4	1
18.01.2022 21:00	261	0	7,5	7,4	52,8	20,9	1,1
18.01.2022 22:00	265	0,2	7,8	7,9	51,6	15,6	1,2
18.01.2022 23:00	288	0,1	9,3	9,3	48,4	12,5	2,1
19.01.2022	298	0,2	8,9	9,1	47,8	23	1,6
19.01.2022 01:00	297	0,2	9,3	9,5	47,6	26,2	1,6
19.01.2022 02:00	305	0,3	10,4	10,6	47,6	27,5	1,6
19.01.2022 03:00	266	0,2	7,3	7,5	53,1	35,1	1
19.01.2022 04:00	248	0,2	5,7	5,8	56,7	26,3	1
19.01.2022 05:00	251	0,1	6,1	6,1	57,1	23,2	1,3
19.01.2022 06:00	272	0,2	6,6	6,8	51,7	30,1	1,1
19.01.2022 07:00	270	0,2	6,9	7,1	53,7	30,8	1
19.01.2022 08:00	271	0,3	7,4	7,7	53,1	22,9	0,9
19.01.2022 09:00	273	0,3	8,5	8,8	51,8	31,2	1,1
19.01.2022 10:00	278	0,6	9	9,7	51,3	23	1,4
19.01.2022 11:00	275	0,8	10,3	11,3	51,5	16,9	1,7

19.01.2022 12:00	283	0,5	6,8	7,4	57,3	16,6	0,9
19.01.2022 13:00	285	0,6	8,4	9,3	54,9	15,3	1
19.01.2022 14:00	280	0,7	11,4	12,4	53,7	11,9	1,1
19.01.2022 15:00	277	0,7	10,4	11,2	55,5	17,7	1
19.01.2022 16:00	268	0,1	11	11	54,3	22,7	1,4
19.01.2022 17:00	291	0,3	11,3	11,6	54,9	20,9	1,4
19.01.2022 18:00	280	0,3	11,8	12,1	53,7	26,4	2,9
19.01.2022 19:00	303	0,2	19,2	19,4	43,1	27,5	9,2
19.01.2022 20:00	316	0,3	15,3	15,6	45	22,2	5,7
19.01.2022 21:00	357	0,2	16,5	16,6	42	29,8	6,3
19.01.2022 22:00	378	0,3	18,7	19,1	39,8	25,9	7,4
19.01.2022 23:00	385	0,2	17,9	18,1	41,7	22,7	8
20.01.2022	365	0,4	15,5	16	43,9	21,2	7,1
20.01.2022 01:00	345	0,4	14,3	14,7	45,1	28,1	5,8
20.01.2022 02:00	324	0,1	11,6	11,7	46,5	28,4	4,1
20.01.2022 03:00	311	0,2	10,5	10,5	46,6	25,8	3
20.01.2022 04:00	297	0,3	10,4	10,6	45,5	30,7	3,1
20.01.2022 05:00	292	0,1	10,3	10,3	44,1	24,7	3
20.01.2022 06:00	289	0,2	10,1	10,3	41,9	27,8	2,2
20.01.2022 07:00	287	0,3	9	9,3	39,3	21,8	1,3
20.01.2022 08:00	282	0,1	8,8	8,7	41,1	21,7	1,2
20.01.2022 09:00	230	0,1	5,7	5,8	63,8	20,4	0,9
20.01.2022 10:00	225	0,6	5,7	6,4	68,7	14,5	1,2
20.01.2022 11:00	196	0,2	3,7	3,8	81,7	2,1	0,7
20.01.2022 12:00	194	0,3	3,5	3,8	83,8	1,1	0,6
20.01.2022 13:00	196	0,2	4,1	4,2	81	0,9	1,1
20.01.2022 14:00	190	0,3	3,8	4,1	78,8	3,6	1,1
20.01.2022 15:00	194	0,2	3,7	3,8	78,4	3	0,9
20.01.2022 16:00	210	0,1	4,5	4,5	75,9	3,1	0,9
20.01.2022 17:00	214	0	4,1	3,9	73,1	3,3	0,8
20.01.2022 18:00	234	0,2	4,5	4,6	69,2	6,6	0,2
20.01.2022 19:00	239	0,2	3,9	4	67,9	8,8	0,2
20.01.2022 20:00	238	0,1	3,7	3,7	67,9	7,2	0,1
20.01.2022 21:00	247	0,1	4	4	65,2	7,1	0,6
20.01.2022 22:00	236	0,1	3,6	3,6	65,7	6	0,6
20.01.2022 23:00	235	0,2	3,6	3,7	65	4,9	0,6
21.01.2022	241	0,2	4	4,1	63,2	3,8	0,7
21.01.2022 01:00	241	0,1	4,2	4,1	62,7	5,1	0,7
21.01.2022 02:00	236	0,1	3,9	3,9	63,9	2,9	0,6
21.01.2022 03:00	238	0,1	3,9	3,8	63,2	3,8	0,6
21.01.2022 04:00	235	0	3,8	3,7	63,1	3,1	0,6
21.01.2022 05:00	227	0,1	3	3	64,4	4,8	0,5
21.01.2022 06:00	225	0	2,8	2,7	64,6	4	0,5
21.01.2022 07:00	229	0,1	3,3	3,2	63,1	4	0,5
21.01.2022 08:00	234	0,1	3,8	3,8	61,1	4,9	0,6
21.01.2022 09:00	239	0,3	3,9	4,2	59,8	4,8	0,7
21.01.2022 10:00	240	0,5	3,8	4,4	60,3	4,4	0,7
21.01.2022 11:00	238	0,4	3,6	4,1	60,7	5,3	0,9
21.01.2022 12:00	246	0,6	4,1	4,9	58,8	5	0,9
21.01.2022 13:00	238	0,6	4	4,7	61,2	4,9	0,6
21.01.2022 14:00	234	0,4	3,7	4,2	63,3	5,6	0,7

21.01.2022 15:00	233	0,3	3,9	4,2	64,1	5,3	0,7
21.01.2022 16:00	236	0,1	4,2	4,3	64,9	5,2	0,6
21.01.2022 17:00	243	0,1	4,6	4,7	64	5	0,9
21.01.2022 18:00	247	0,1	4,7	4,7	63,4	5,1	0,9
21.01.2022 19:00	246	0,1	4,5	4,5	63,6	5,3	0,9
21.01.2022 20:00	248	0,1	4,4	4,4	62,9	5,4	0,9
21.01.2022 21:00	241	0,1	4	4	64,1	5,9	0,7
21.01.2022 22:00	244	0,1	4	4	65,5	5,5	0,9
21.01.2022 23:00	249	0,1	4,1	4,2	65,1	4,6	1,1
22.01.2022	254	0,1	4,3	4,3	64,1	4,7	1,2
22.01.2022 01:00	261	0,1	4,6	4,6	62,7	4	1,2
22.01.2022 02:00	252	0,1	4	4	64,4	5,7	0,7
22.01.2022 03:00	256	0,1	4	4,1	63,5	5,9	0,5
22.01.2022 04:00	261	0	4,4	4,2	62	9,9	0,9
22.01.2022 05:00	261	0	4,5	4,4	60,5	8,7	1,6
22.01.2022 06:00	255	0,1	4,6	4,6	60	9,3	2,4
22.01.2022 07:00	245	0,1	4,6	4,6	61	7,3	2,4
22.01.2022 08:00	241	0,1	5	5,1	61,3	5,4	3
22.01.2022 09:00	241	0,2	5,8	5,9	62,4	11,4	3,4
22.01.2022 10:00	239	0,2	5,6	5,8	63,3	9,7	4,5
22.01.2022 11:00	244	0,4	4,2	4,7	64,6	9,4	1,9
22.01.2022 12:00	243	0,6	3,5	4,3	65,5	7,2	0,9
22.01.2022 13:00	231	0,4	3	3,5	66,8	5,7	0,8
22.01.2022 14:00	229	0,3	2,8	3,1	67,3	4,9	0,5
22.01.2022 15:00	227	0,3	3	3,3	68,2	4,3	0,6
22.01.2022 16:00	229	0	3	2,8	67,4	3,2	0,5
22.01.2022 17:00	236	0	3,2	3,1	65,9		0,5
22.01.2022 18:00	241	0,1	3,5	3,5	65,8	2,5	0,7
22.01.2022 19:00	268	0,1	4,6	4,6	62,6	2,5	1,1
22.01.2022 20:00	292	0,2	6,8	6,9	59,2	4,4	2,3
22.01.2022 21:00	290	0	6,4	6,2	59,9	4,2	3,9
22.01.2022 22:00	290	0,1	6	6,1	61	8,3	4,3
22.01.2022 23:00	292	0,1	6	5,9	61	8,7	4,5
23.01.2022	272	0,2	4,9	5	62,8	12,3	3,6
23.01.2022 01:00	260	0,1	4,5	4,5	62,5	12,5	5,4
23.01.2022 02:00	254	0,2	4,5	4,6	61,7	32,6	4
23.01.2022 03:00	255	0,2	4,8	4,9	60,3	22,8	5,5
23.01.2022 04:00	254	0,2	4,8	4,9	60,3	16,4	5,9
23.01.2022 05:00	251	0,1	4,6	4,6	60,3	14,9	5,1
23.01.2022 06:00	247	0	3,9	3,8	60,3	11,8	3,1
23.01.2022 07:00	245	0,2	3,2	3,3	60,3	8,8	1,8
23.01.2022 08:00	248	0,2	3,4	3,5	59,4	7,9	1,5
23.01.2022 09:00	252	0,2	3,4	3,5	58,8	12,6	1,5
23.01.2022 10:00	262	0,2	4,2	4,4	58,4	10,2	1,2
23.01.2022 11:00	272	0,4	4,5	5	59,5	10,6	1,3
23.01.2022 12:00	263	1,3	5,2	7,1	63,3	8,2	1,2
23.01.2022 13:00	250	1,4	6	8	65,4	7	1,6
23.01.2022 14:00	255	1,3	6,7	8,5	65,5	5,7	2,2
23.01.2022 15:00	272	0,9	7,1	8,3	65	7,1	2,6
23.01.2022 16:00	316	0,8	9,9	10,9	60,7	5,2	2,9
23.01.2022 17:00	321	0,3	11,6	11,9	50,1		2,4

23.01.2022 18:00	281	0,2	8,9	9,1	48,6		1,5
23.01.2022 19:00	332	0,2	7,4	7,5	47,8	7,5	1,1
23.01.2022 20:00	336	0,1	5,8	5,8	48,6	16,2	1,1
23.01.2022 21:00	322	0,2	5,4	5,5	51,3	11,6	1,3
23.01.2022 22:00	357	0,2	5	5,1	50,1	8,1	0,9
23.01.2022 23:00	385	0,2	4,8	4,9	45	5,7	0,4
24.01.2022	335	0,2	5,5	5,7	50,1	4,9	0,9
24.01.2022 01:00	338	0,2	5,5	5,7	51,8	9,7	1
24.01.2022 02:00	407	0,3	7,1	7,3	52	6,9	2,9
24.01.2022 03:00	523	0,3	7,6	7,8	49,2	4,9	1,8
24.01.2022 04:00	487	0,2	7,6	7,9	50,3	17,1	2,8
24.01.2022 05:00	476	0,2	8,4	8,6	47,9	22,1	4,7
24.01.2022 06:00	522	0,4	8,7	9,1	43,7	24,8	2,6
24.01.2022 07:00	456	0,3	10,2	10,6	43,8	32,7	4,2
24.01.2022 08:00	453	0,3	10,9	11,3	42	29,8	2,3
24.01.2022 09:00	444	0,8	10,9	12	41,3	24,5	2,5
24.01.2022 10:00	465	1,5	10,8	12,9	42,7	30,7	3,1
24.01.2022 11:00	443	1,4	9,3	11,3	47,7	29,4	2,6
24.01.2022 12:00	428	2,3	11	14,3	49,7	25,6	3,4
24.01.2022 13:00	403	1	8,3	9,6	55,1	29,8	3,6
24.01.2022 14:00	400	0,8	9,1	10,2	55,3	27,1	3,7
24.01.2022 15:00	381	0,7	8,8	9,7	56,5	30,8	2,7
24.01.2022 16:00	383	0,3	9,6	9,9	55,3	22,3	2,4
24.01.2022 17:00	408	0,2	12,4	12,5	50,8	22,1	3,1
24.01.2022 18:00	418	0,1	11,9	11,9	50,7	26,4	3,5
24.01.2022 19:00	433	0,3	10,6	10,9	51,2	28,4	3,2
24.01.2022 20:00	474	0,3	11,1	11,4	49	28,6	3,9
24.01.2022 21:00	497	0,3	13,3	13,7	45,2	29	5,3
24.01.2022 22:00	509	0,3	17	17,3	40,8	26,7	8
24.01.2022 23:00	544	0,3	21,7	22,1	35,1	36,9	10,2
25.01.2022	571	0,5	25,3	25,8	30,4	44,6	11,2
25.01.2022 01:00	581	0,4	28,1	28,6	26,3	46,6	12,2
25.01.2022 02:00	551	0,5	26,5	27,1	26,8	60,8	10,5
25.01.2022 03:00	500	0,2	20,4	20,5	31	51,6	6,9
25.01.2022 04:00	450	0,3	15,4	15,7	34,9	64,1	5
25.01.2022 05:00	430	0,3	14,3	14,6	34,6	55	4
25.01.2022 06:00	424	0,4	14,4	14,9	32	53,8	3,2
25.01.2022 07:00	395	0,3	13,2	13,5	31,5	56,6	2,4
25.01.2022 08:00	345	0,3	11	11,3	34	46,5	1,5
25.01.2022 09:00	308	0,4	9,1	9,5	39,2	34,4	1
25.01.2022 10:00	259	0,4	7,7	8,1	46,8	32,4	1
25.01.2022 11:00	244	0,6	7,8	8,6	46,8	24,2	1
25.01.2022 12:00	247	0,6	7,5	8,2	46,9	18	0,9
25.01.2022 13:00	252	0,7	8,4	9,3	45,4	14,9	0,8
25.01.2022 14:00	254	0,6	8,8	9,6	45	11,7	0,8
25.01.2022 15:00	245	0,4	7,8	8,2	48,6	15,8	0,9
25.01.2022 16:00	252	0,2	8,2	8,4	47,3	15,8	0,6
25.01.2022 17:00	254	0,3	8	8,3	47,4	14,1	0,7
25.01.2022 18:00	256	0,2	8,2	8,3	46,5	13,8	0,8
25.01.2022 19:00	255	0,2	8,3	8,4	45,7	10,9	0,8
25.01.2022 20:00	255	0,1	8	8,1	44,6	16,7	0,8

25.01.2022 21:00	264	0,2	8	8,2	42,8	13,1	0,8
25.01.2022 22:00	260	0,1	8,2	8,2	42,5	13,3	0,9
25.01.2022 23:00	258	0,1	7,8	7,8	44	13,8	1,1
26.01.2022	256	0,2	7,1	7,4	46,6	14,8	1,1
26.01.2022 01:00	247	0,2	6,7	6,9	49,1	19,6	1,5
26.01.2022 02:00	240	0,1	6	6,1	51,2	22,6	0,8
26.01.2022 03:00	247	0,2	6	6,1	50,6	19,3	0,7
26.01.2022 04:00	257	0,3	6,3	6,5	46,1	14,1	0,7
26.01.2022 05:00	253	0,2	6,4	6,5	47,3	12,3	1,1
26.01.2022 06:00	242	0,1	6	6,1	49,9	16,8	1,9
26.01.2022 07:00	233	0,2	5,5	5,7	54,6	15,4	1,2
26.01.2022 08:00	227	0,3	5,2	5,4	56,6	14,4	0,7
26.01.2022 09:00	233	0,3	6	6,3	54	12,3	0,7
26.01.2022 10:00	240	0,5	6,3	6,9	54,5	16,3	0,8
26.01.2022 11:00	241	0,6	5,8	6,6		11,9	0,3
26.01.2022 12:00		0,6	6,3	7		8,9	
26.01.2022 13:00		0,6	7,2	8		15,4	
26.01.2022 14:00	301	23,8	3	39,5	32,7	11,4	
26.01.2022 15:00	322	22,3	11,5	45,8	37,5	11,1	0,9
26.01.2022 16:00	310	0,3	12,1	12,4	32,3	11,1	0,6
26.01.2022 17:00	243	0,1	5,1	5,1	48,9	22,5	0,3
26.01.2022 18:00	251	0,1	6,7	6,6	44,6	16,3	0,3
26.01.2022 19:00	252	0,1	6,7	6,7	42,3	12,5	0,3
26.01.2022 20:00	248	0,1	7	7	41,8	13,5	0,4
26.01.2022 21:00	253	0,1	7	7	43	10	0,6
26.01.2022 22:00	229	0,2	5,4	5,5	47,2	7,8	0,3
26.01.2022 23:00	231	0,2	5,9	6,2	45,1	6,4	0,8
27.01.2022	239	0,2	6,6	6,8	43,9	5,4	0,8
27.01.2022 01:00	236	0,1	5,8	5,9	43	12,8	0,7
27.01.2022 02:00	243	0,2	5,8	6	40,6	13,1	0,7
27.01.2022 03:00	250	0,2	6,1	6,2	38	10,1	0,7
27.01.2022 04:00	258	0,2	6,9	7	35	16,5	0,9
27.01.2022 05:00	266	0,3	8,7	9	30,7	15,6	1
27.01.2022 06:00	273	0,1	10,2	10,1	28,1	19,1	1
27.01.2022 07:00	276	0,2	10,1	10,2	28,2	14,5	1
27.01.2022 08:00	291	0,4	11,5	11,9	24	12,9	0,7
27.01.2022 09:00	304	0,8	12,8	13,8	25,1	14,4	0,5
27.01.2022 10:00	300	0,6	11,9	12,7	28,4	22,7	0,5
27.01.2022 11:00	296	0,7	11,2	12,2	31,2	23,6	0,6
27.01.2022 12:00	287	0,7	11,1	12,1	34,9	21,6	0,7
27.01.2022 13:00	282	0,5	11,2	11,8	36,4	15,9	0,5
27.01.2022 14:00	280	0,9	11,4	12,6	37	12,8	1
27.01.2022 15:00	276	0,7	11,9	12,8	38	10,8	0,8
27.01.2022 16:00	284	0,6	13,2	14	36,8	13,3	0,8
27.01.2022 17:00	292	0,2	15	15,2	33,9	19,9	0,8
27.01.2022 18:00	296	0,3	15	15,3	31,7	26,5	0,6
27.01.2022 19:00	301	0,1	15,2	15,2	31,7	26,9	0,6
27.01.2022 20:00	295	0,3	13,7	14	34	20,6	0,7
27.01.2022 21:00	294	0,1	11,6	11,7	37	15,5	0,5
27.01.2022 22:00	280	0	9,6	9,6	41,9	11,7	0,7
27.01.2022 23:00	269	0,1	8,4	8,5	45,9	9,3	0,7

28.01.2022	281	0,1	9	9	41,3	6,8	0,6
28.01.2022 01:00	280	1,9	10,4	13,2	42,7	11,3	0,6
28.01.2022 02:00	254	0,2	6,8	6,9	48,9	10,7	0,5
28.01.2022 03:00	226	0,2	5,2	5,3	60,7	8	0,5
28.01.2022 04:00	221	0,2	4,6	4,7	63,2	7,5	0,3
28.01.2022 05:00	224	0,1	4,7	4,7	60,6	6,6	0,2
28.01.2022 06:00	207	0,1	3,9	3,9	68,5	9,5	0,2
28.01.2022 07:00	197	0,2	3,1	3,4	71	7,9	0,2
28.01.2022 08:00	197	0,1	3,2	3,3	71,2	7,5	0,4
28.01.2022 09:00	202	0,2	3,5	3,6	69,2	6,3	0,3
28.01.2022 10:00	205	0,1	3,4	3,5	65,4	5,3	0,2
28.01.2022 11:00	206	0,2	3,7	3,8	63,7	4,6	0,2
28.01.2022 12:00	206	0,2	4,6	4,8	63,2	4,2	0,7
28.01.2022 13:00	204	0,1	4,7	4,7	65,4	4,2	1
28.01.2022 14:00	198	0,3	4,6	4,9	67,9	3,5	1
28.01.2022 15:00	197	0,2	4,4	4,5	69	3,7	1,3
28.01.2022 16:00	206	0,1	4,9	4,9	67	3,2	1,3
28.01.2022 17:00	203	0	4,1	4	68,4	8,4	1,2
28.01.2022 18:00	209	0,1	3,7	3,8	68,2	3,3	0,4
28.01.2022 19:00	204	0,1	3,6	3,7	70,2		0,5
28.01.2022 20:00	212	0,2	4,2	4,3	67,3	1,9	2,4
28.01.2022 21:00	221	0,1	4,3	4,3	66,4	1,8	2,4
28.01.2022 22:00	219	0,1	3,6	3,5	68,4	2	1,4
28.01.2022 23:00	225	0,1	4,3	4,3	67,3	2,3	2,5
29.01.2022	224	0,1	4,3	4,3	66,9	3,5	2,8
29.01.2022 01:00	212	0,1	3,4	3,4	68,1	3,1	2,3
29.01.2022 02:00	216	0,1	3,4	3,4	65,6	3,1	0,8
29.01.2022 03:00	234	0	4,1	3,9	62,4	4,5	1
29.01.2022 04:00	238	0,1	3,8	3,9	60,8	4,4	0,9
29.01.2022 05:00	235	0,1	3,7	3,7	59,6	3,9	0,7
29.01.2022 06:00	239	0,2	4,4	4,6	56,9	3,6	0,7
29.01.2022 07:00	250	0,2	5,6	5,7	53,6	4,5	1,4
29.01.2022 08:00	270	0,3	7,7	8	50,2	5	1,8
29.01.2022 09:00	286	0,8	8,3	9,4	49,3	5,9	2,3
29.01.2022 10:00	288	1,3	7,2	9	50,1	8,3	2,2
29.01.2022 11:00	277	1,1	6,1	7,7	54,8	7,4	1,4
29.01.2022 12:00	274	0,9	6,7	8	59,2	6,5	1,4
29.01.2022 13:00	273	0,7	7,1	8	60,4	19,8	2,2
29.01.2022 14:00	271	0,5	8,2	8,9	60,4	14,8	2,9
29.01.2022 15:00	285	0,5	9,2	9,8	58,9	11,2	2,5
29.01.2022 16:00	287	0,1	9,4	9,4	59,5	22,4	1,8
29.01.2022 17:00	302	0,3	10,5	10,8	56,5	30,6	2
29.01.2022 18:00	310	0,1	9,7	9,7	53,4	25,4	1,1
29.01.2022 19:00	297	0,2	8,8	9	51,5	31	1,2
29.01.2022 20:00	290	0,3	8,6	8,9	49	34,5	1
29.01.2022 21:00	280	0,2	8,1	8,2	48,2	24,9	0,5
29.01.2022 22:00	274	0,1	6,7	6,7	49,1	25,7	0,2
29.01.2022 23:00	267	0,1	6,2	6,2	48,9	26,5	0,3
30.01.2022	257	0,2	5,5	5,7	50	19,5	0,5
30.01.2022 01:00	245	0,1	5,2	5,2	51,9	14	0,5
30.01.2022 02:00	227	0,3	3,9	4,1	61	11,2	0,5

30.01.2022 03:00	189	0	2	1,9	82,7	8,1	0,3
30.01.2022 04:00	185	0,1	1,8	1,8	80,3	5,8	0,2
30.01.2022 05:00	179	0	1,9	1,8	79,3	4,8	0,4
30.01.2022 06:00	187	0,1	1,9	2	77,2	3,9	0,3
30.01.2022 07:00	183	0,1	2	2	78,5	4,6	0,4
30.01.2022 08:00	179	0,1	2,1	2	80,5	4,8	0
30.01.2022 09:00	196	0,1	2,1	2,2	78,6	4	0,3
30.01.2022 10:00	207	0,1	2,3	2,3	76,6	3,4	0
30.01.2022 11:00	209	0,2	1,9	2,1	77,5	4,6	0
30.01.2022 12:00	211	0	2,3	2,2	77,4	10,3	0
30.01.2022 13:00	219	0,2	2,2	2,4	74,8	8,4	0
30.01.2022 14:00	215	0,2	2,5	2,6	76,3	5,9	0,4
30.01.2022 15:00	207	0,2	2,3	2,4	79,5	6,4	0,4
30.01.2022 16:00	210	0,1	2,2	2,2	81	5,5	0,3
30.01.2022 17:00	204	0,1	2,2	2,2	81,1	4,2	0,4
30.01.2022 18:00	195	0,1	2,1	2,2	83,3	3,4	0,7
30.01.2022 19:00	199	0,1	2,1	2,1	82,5	3,4	0,5
30.01.2022 20:00	191	0,1	1,9	2	82,4	3,2	0,4
30.01.2022 21:00	200	0,1	2,4	2,4	77,3	3,2	0,6
30.01.2022 22:00	209	0	3	2,7	74,9	3,4	0,4
30.01.2022 23:00	211	0	2,8	2,6	74,1	3,6	0,4
31.01.2022	205	0	2,6	2,4	74,4	3,7	0,6
31.01.2022 01:00	208	0	2,5	2,4	72,9	3,6	0,3
31.01.2022 02:00	205	0,1	2,1	2,2	73,4	5	0,5
31.01.2022 03:00	206	0,1	2,2	2,2	71,9	4,8	0,4
31.01.2022 04:00	208	0,1	2,5	2,6	70,5	4,6	0,3
31.01.2022 05:00	209	0,1	2,5	2,5	70,1	4,7	0,5
31.01.2022 06:00	212	0,2	2,9	3,1	68,4	6,5	0,3
31.01.2022 07:00	213	0,2	3	3,1	68,3	5,6	0,2
31.01.2022 08:00	215	0	3,4	3,2	67,8	10,1	0,2
31.01.2022 09:00	216	0,1	3,8	3,8	67	7,8	0,4
31.01.2022 10:00	225	0,3	4	4,3	66,9	9,5	0,4
31.01.2022 11:00	232	0,4	3,2	3,6	69,1	7,3	0,1
31.01.2022 12:00	217	0,2	3	3,1	72,3	8,9	0,3
31.01.2022 13:00	211	0,3	2,7	3	73,3	6,3	0,2
31.01.2022 14:00	212	0,6	3,1	3,9	73,8	9,6	0,1
31.01.2022 15:00	209	0,2	3,3	3,5	73,7	6,8	0,2
31.01.2022 16:00	218	0,2	3,8	4	71	8,4	0,3
31.01.2022 17:00	234	0	4,3	4,2	68,3	6,9	0,2
31.01.2022 18:00	242	0,7	4,9	5,9	60,7	9,7	0,2
31.01.2022 19:00	261	0,2	4,8	5	65,2	10,4	0,4
31.01.2022 20:00	283	0,2	6	6,2	61,3	10,9	0,4
31.01.2022 21:00	310	0,2	9,9	10	53,5	16,8	0,9
31.01.2022 22:00	348	0,2	12	12,1	48,3	26,2	1,4
31.01.2022 23:00	361	0,3	9,4	9,6	47,9	38,6	1,2
01.02.2022	362	0,2	8,8	9	44,3	36,6	0,6
01.02.2022 01:00	351	0,3	9,4	9,7	45,3	45,4	0,8
01.02.2022 02:00	367	0,1	10,6	10,8	40,2	33,5	0,7
01.02.2022 03:00	369	0,1	10,9	11,1	41,9	32	1,1
01.02.2022 04:00	399	0,1	12,9	13,1	37,1	32	1,5
01.02.2022 05:00	401	0,1	14	14,2	35,1	33,7	3,3

01.02.2022 06:00	381	0,3	12,7	13	37,9	36,1	3,6
01.02.2022 07:00	362	0,1	11,5	11,4	39,2	26,7	1,9
01.02.2022 08:00	359	0,4	10,7	11,1	41,8	28,6	1,2
01.02.2022 09:00	352	1	10,6	12	44,4	29,5	1,1
01.02.2022 10:00	389	2,4	12,3	15,8	43,6	26,1	1,6
01.02.2022 11:00	365	2,5	11,5	15,1	51	23,9	3,1
01.02.2022 12:00	310	1,2	9,7	11,4	57,6	19,8	1,5
01.02.2022 13:00	296	0,8	9,4	10,7	59,1	29,3	1,5
01.02.2022 14:00	277	0,8	7,4	8,6	62,6	20,9	1,1
01.02.2022 15:00	256	0,1	5,2	5,4	68	15,1	0,7
01.02.2022 16:00	281	0,1	7,4	7,5	61,1	23,5	0,9
01.02.2022 17:00	312	0,1	9,9	10	53	31,3	1,2
01.02.2022 18:00	313	0,1	10,2	10,3	50,9	34,8	0,9
01.02.2022 19:00	302	0,1	8,4	8,3	56,5	25,3	0,8
01.02.2022 20:00	290	0,1	7,7	7,8	58	18,5	1
01.02.2022 21:00	274	0,1	7	6,9	60,5	17,9	1,1
01.02.2022 22:00	280	0,1	7,6	7,7	60,2	20,3	1,5
01.02.2022 23:00	283	0,1	7,8	7,9	58,6	21,1	1,6
02.02.2022	325	0,1	11,6	11,7	51,8	19,4	3,1
02.02.2022 01:00	324	0,1	10,6	10,8	52,4	27,3	2,7
02.02.2022 02:00	302	0,3	8,7	8,9	53,6	25,9	2,1
02.02.2022 03:00	274	0,1	7,1	7,3	52,6	19,4	1,4
02.02.2022 04:00	261	0,1	7	7	51,5	13,8	1,3
02.02.2022 05:00	249	0,1	6,2	6,3	55,3	10,2	0,9
02.02.2022 06:00	240	0,1	5,2	5,3	60	7,5	0,8
02.02.2022 07:00	233	0,1	4,8	4,9	63,4	5,9	0,8
02.02.2022 08:00	226	0,1	4,5	4,6	65,9	5,4	0,7
02.02.2022 09:00	223	0,1	4,1	4,2	67,2	4,4	0,5
02.02.2022 10:00	217	0,4	3,8	4,2	68,5	5,5	0,3
02.02.2022 11:00	234	0,4	3,8	4,3	67,2	7,2	0,4
02.02.2022 12:00	229	0,3	3,8	4,1	64	6	0,3
02.02.2022 13:00	231	0,4	4,6	5,1	58,2	5	0,5
02.02.2022 14:00	246	0,8	5,5	6,8	53,1	4,5	0,9
02.02.2022 15:00	269	0,7	8,1	9	48,6	4,2	0,8
02.02.2022 16:00	274	0,6	8,9	9,7	49,5	3,6	0,8
02.02.2022 17:00	274	0,1	9,8	9,8	48,5	3,5	1,4
02.02.2022 18:00	265	0,1	8,6	8,7	53,9	3,2	1,1
02.02.2022 19:00	263	0,1	8,6	8,5	57,3	3,1	1,3
02.02.2022 20:00	252	0,1	6,3	6,4	63,5	3,5	2,4
02.02.2022 21:00	247	0,1	5,5	5,7	62,7	3,5	1,5
02.02.2022 22:00	242	0,1	4,5	4,5	63,5	3,5	0,6
02.02.2022 23:00	247	0,1	4,5	4,5	62,4	4	0,6
03.02.2022	242	0,1	4	4,1	63,4	4	0,4
03.02.2022 01:00	240	0,1	4,6	4,7	63,5	3,7	0,6
03.02.2022 02:00	239	0,1	4,4	4,3	64	5,7	0,8
03.02.2022 03:00	241	0,1	4	4,1	63	6,1	1,2
03.02.2022 04:00	241	0,1	4	4	61,2	5,4	3,4
03.02.2022 05:00	245	0,1	4,1	4,1	60,8	3,9	2,3
03.02.2022 06:00	257	0,1	4,9	4,9	57,6	11,6	2,4
03.02.2022 07:00	260	0,1	5	5,1	57,1	8,8	1,2
03.02.2022 08:00	255	0,1	4,2	4,4	60,1	6,7	0,6

03.02.2022 09:00	244	0,3	3,9	4,3	61,1	12,5	0,5
03.02.2022 10:00	228	0,5	3,1	3,7	65,7	9,1	0,4
03.02.2022 11:00	225	0,5	4,6	5,3	66,1	6,6	0,6
03.02.2022 12:00	222	0,5	4,5	5,1	69,6	5,5	1,2
03.02.2022 13:00	237	1	6,5	7,9	66,4	3,9	2
03.02.2022 14:00	259	0,8	6,8	7,9	63,1	3,5	1,4
03.02.2022 15:00	283	0,5	7,6	8,3	59,9	3,6	1,2
03.02.2022 16:00	295	0,3	8,3	8,6	58,3	6,1	1,4
03.02.2022 17:00	306	0,1	9,3	9,4	54,4	13,9	1
03.02.2022 18:00	311	0,1	10	9,9	52,3	15,8	1,7
03.02.2022 19:00	370	0,3	11,4	11,8	48,7	14,4	1,9
03.02.2022 20:00	440	0,1	13,3	13,5	44,7	19,3	2,9
03.02.2022 21:00	403	0,1	11,6	11,7	44,7	22,3	2,2
03.02.2022 22:00	381	0,1	10,7	10,7	47	22,8	2,6
03.02.2022 23:00	368	0,3	11,3	11,5	47,9	27,5	3,9
04.02.2022	373	0,1	12,7	12,9	43,7	25,5	4,1
04.02.2022 01:00	379	0,1	13,3	13,4	42,1	19,8	4,5
04.02.2022 02:00	373	0,1	13,6	13,6	40,7	28	4,1
04.02.2022 03:00	367	0,1	13,7	13,9	41,5	29,9	3,8
04.02.2022 04:00	363	0,3	12,4	12,7	42,9	26,8	3,3
04.02.2022 05:00	360	0,1	11,2	11,4	42,2	25,9	2,7
04.02.2022 06:00	329	0,1	9,6	9,7	43,3	24,8	1,8
04.02.2022 07:00	304	0,3	7,8	8,1	45,2	24,9	1,3
04.02.2022 08:00	286	0,1	7	7,1	47,6	23,8	1
04.02.2022 09:00	288	0,4	8,4	8,9	47,6	19,5	1,1
04.02.2022 10:00	314	0,8	8,3	9,3	48,6	21,8	1,6
04.02.2022 11:00	334	0,8	10	11,1	48,4	21,5	2,2
04.02.2022 12:00	354	1,3	10,7	12,6	48	18,3	2,7
04.02.2022 13:00	351	1	10	11,4	50,4	17,7	2,7
04.02.2022 14:00	348	0,8	10,4	11,7	50	16	2,3
04.02.2022 15:00	359	0,6	12,6	13,4	47,1	14,8	2,8
04.02.2022 16:00	380	0,3	14,4	14,7	42,7	15,1	2,8
04.02.2022 17:00	396	0,1	15,8	15,9	39,4	24,6	3,2
04.02.2022 18:00	395	0,4	15,4	15,8	35,5	24,2	2,6
04.02.2022 19:00	391	0,4	14,1	14,6	33,3	23,4	2
04.02.2022 20:00	375	0,3	13,4	13,6	34,8	36,4	2,5
04.02.2022 21:00	377	0,3	14,4	14,7	34,1	26,9	3,2
04.02.2022 22:00	372	0,1	13,7	13,9	34,7	20,8	3,3
04.02.2022 23:00	378	0,1	13,2	13,3	35	25,6	3,8
05.02.2022	393	0,3	15,4	15,8	32,5	20,6	4,9
05.02.2022 01:00	378	0,3	15,7	16	32,7	20,2	4,6
05.02.2022 02:00	371	0,3	15,9	16,2	32,9	21,5	4,7
05.02.2022 03:00	357	0,1	14,6	14,8	36,8	24,1	5,1
05.02.2022 04:00	348	0,3	12,1	12,4	40,1	25,9	4,6
05.02.2022 05:00	307	0,1	9,9	10	44,1	19	3,2
05.02.2022 06:00	277	0,1	8,1	8,1	46,7	15,7	2,3
05.02.2022 07:00	184	0,1	2,9	3	80,9	15,2	0,8
05.02.2022 08:00	177	0,1	2,4	2,5	82,4	10,7	0,5
05.02.2022 09:00	178	0,1	2,5	2,6	81	7,5	0,4
05.02.2022 10:00	181	0,3	2,5	2,7	80,4	6,2	0,5
05.02.2022 11:00	190	0,1	2,8	2,9	78,9	5,6	0,5

05.02.2022 12:00	205	0,1	3,3	3,5	76,8	4,3	0,9
05.02.2022 13:00	219	0,3	4,7	4,9	73,3	4,2	1,3
05.02.2022 14:00	225	0,1	4,8	5	71,7	3,8	1,2
05.02.2022 15:00	228	0,3	4,3	4,6	71,8	5,9	1,4
05.02.2022 16:00	233	0,1	4,5	4,6	71,1	4,8	0,9
05.02.2022 17:00	227	0,1	3,9	4	72,5	3,8	0,7
05.02.2022 18:00	227	0,1	3,6	3,8	72,5	5,4	0,7
05.02.2022 19:00	240	0,1	4,3	4,3	69,8	4,7	0,7
05.02.2022 20:00	261	0,1	5	5,2	66,4	11,3	1
05.02.2022 21:00	278	0,1	5,9	5,9	64,9	8,8	2
05.02.2022 22:00	288	0,3	6,4	6,7	63,2	6,8	1,9
05.02.2022 23:00	283	0,1	5,7	5,8	62,5	5,7	1,8
06.02.2022	278	0,1	5,5	5,6	60,2	4,1	1,5
06.02.2022 01:00	286	0,1	5,7	5,7	55,9	11,3	1,4
06.02.2022 02:00	280	0,1	5,6	5,7	55,5	15,9	1,6
06.02.2022 03:00	272	0,1	6,1	6,2	56,6	12	1,8
06.02.2022 04:00	268	0,1	6	6	55,2	10,4	1,9
06.02.2022 05:00	258	0,1	6,1	6,3	56,5	13,3	1,9
06.02.2022 06:00	244	0,1	5,8	5,8	58,7	10,2	1,8
06.02.2022 07:00	243	0,1	5,5	5,5	58,5	11	1,5
06.02.2022 08:00	245	0,1	5,7	5,8	58,3	8,8	2,1
06.02.2022 09:00	245	0,1	5,1	5,3	59,9	6,6	1,7
06.02.2022 10:00	247	0,1	4,9	5,1	61,3	7,3	1,5
06.02.2022 11:00	238	0,1	4,8	5	64,2	10	3,1
06.02.2022 12:00	240	0,3	4,9	5,2	64,7	12,6	5,6
06.02.2022 13:00	241	0,1	5	5,2	65	9,4	4,6
06.02.2022 14:00	238	0,1	4,8	5	66	6,9	1,6
06.02.2022 15:00	247	0,1	5,2	5,4	64,8	6	1,5
06.02.2022 16:00	248	0,1	5,5	5,5	64,4	6,4	1,5
06.02.2022 17:00	250	0,1	5,2	5,3	64,4	8,2	1,6
06.02.2022 18:00	251	0,1	5	5	64,6	6,7	1
06.02.2022 19:00	249	0,1	4,8	4,9	65,4	5,9	1,6
06.02.2022 20:00	249	0,1	5,1	5,1	65,8	4,5	2,1
06.02.2022 21:00	247	0,1	5,1	5,2	67,2	3,8	2,1
06.02.2022 22:00	241	0,1	4,9	5	68,8	6,7	1,5
06.02.2022 23:00	244	0,1	4,5	4,4	70,2	12	1,1
07.02.2022	246	0,1	4,3	4,5	70,3	8,5	1
07.02.2022 01:00	231	0,3	4,2	4,4	70	7,2	1
07.02.2022 02:00	224	0,1	4,3	4,3	68,1	5,1	1
07.02.2022 03:00	209	0,1	2,7	2,8	72,6	6,3	0,8
07.02.2022 04:00	196	0,1	2,2	2,1	76,7	4,9	0,6
07.02.2022 05:00	202	0,1	2,7	2,8	72,2	3,7	1,3
07.02.2022 06:00	213	0,1	3,5	3,6	68	3,7	1,3
07.02.2022 07:00	223	0,1	3,9	4	63	3,2	0,9
07.02.2022 08:00	227	0,1	4,7	4,8	63,6	3,2	0,9
07.02.2022 09:00	222	0,1	4,5	4,6	66	3,1	0,9
07.02.2022 10:00	217	0,1	4,8	5	67,6	2,6	0,7
07.02.2022 11:00	213	0,3	3,8	4,2	70,4	2,3	0,5
07.02.2022 12:00	215	0,3	4,6	4,9	68,8	2,4	0,6
07.02.2022 13:00	220	0,7	5,6	6,6	70,5	2,2	0,8
07.02.2022 14:00	211	0,4	4,1	4,6	75	2	0,5

07.02.2022 15:00	213	0,4	3,8	4,2	76,8	1,9	0,5
07.02.2022 16:00	218	0,1	3,9	4	76,2	1,9	0,6
07.02.2022 17:00	220	0,1	4,1	4,1	74,7	2,1	0,6
07.02.2022 18:00	223	0,1	4,2	4	73,2	2,1	0,8
07.02.2022 19:00	229	0,3	4,5	4,7	71	2,1	0,6
07.02.2022 20:00	232	0,1	4,4	4,3	69,7	2,1	0,8
07.02.2022 21:00	239	0,1	4,5	4,5	66,2	2,1	0,9
07.02.2022 22:00	244	0,1	4,2	4,3	65,7	2,4	1
07.02.2022 23:00	240	0,1	3,6	3,7	66,2	2,4	1
08.02.2022	241	0,1	3,6	3,5	65,6	2,5	0,9
08.02.2022 01:00	244	0,1	3,7	3,8	65	2,9	1,4
08.02.2022 02:00	250	0,1	4,4	4,4	62,3	3,2	1,1
08.02.2022 03:00	244	0,1	3,8	3,7	62,9	6,7	1,3
08.02.2022 04:00	236	0,1	2,9	2,9	64,5	7,2	1,1
08.02.2022 05:00	231	0,1	2,8	2,9	64	6,4	1
08.02.2022 06:00	231	0,1	3,2	3,3	62,7	6,2	0,9
08.02.2022 07:00	228	0,1	3,2	3,3	62,8	7,7	0,9
08.02.2022 08:00	227	0,1	3,4	3,5	63,5	9,6	1,1
08.02.2022 09:00	233	0,1	4,2	4,3	61,4	7,2	1,5
08.02.2022 10:00	233	0,3	4,1	4,4	63,4	13,7	1,1
08.02.2022 11:00	231	0,3	4,4	4,8	66	11,1	1,1
08.02.2022 12:00	227	0,5	3,3	3,9	70,3	12,7	1,3
08.02.2022 13:00	243	0,5	5,8	6,4	68,4	9,7	1,5
08.02.2022 14:00	239	0,3	5,1	5,5	68,6	8,8	1,2
08.02.2022 15:00	247	0,4	5,8	6,2	65,9	6,7	0,9
08.02.2022 16:00	268	0,1	7,9	8,1	60	18,5	0,8
08.02.2022 17:00	281	0,3	9,9	10,2	54,8	31,1	0,9
08.02.2022 18:00	290	0,1	10,7	10,8	51,2	43,8	1,1
08.02.2022 19:00	302	0,4	10,6	11,1	48,4	42,4	0,7
08.02.2022 20:00	284	0,1	9,1	9,2	47,6	38,1	0,9
08.02.2022 21:00	255	0,1	6,6	6,8	52	27,2	0,9
08.02.2022 22:00	248	0,1	5,5	5,6	55,8	28,7	0,8
08.02.2022 23:00	234	0,1	4,7	4,7	59	14,9	0,8
09.02.2022	218	0,1	3,8	3,9	65,2	9,6	1,1
09.02.2022 01:00	208	0,1	3	3,2	69	5,8	0,9
09.02.2022 02:00	204	0,1	3	3	70	4	1,1
09.02.2022 03:00	204	0,1	3	3,2	67,2	2,3	1,2
09.02.2022 04:00	210	0,1	3,7	3,7	62,9	1	1,1
09.02.2022 05:00	211	0,1	3,7	3,8	62,5	0,6	1,1
09.02.2022 06:00	211	0,1	3,3	3,4	62,2	2,7	1
09.02.2022 07:00	214	0,1	3,7	3,7	61,2	3,1	0,7
09.02.2022 08:00	216	0,3	4,1	4,3	59,9	3,6	0,9
09.02.2022 09:00	223	0,4	4,2	4,7	59,4	4,8	1
09.02.2022 10:00	227	0,5	4,7	5,2	60,4	6,8	1,1
09.02.2022 11:00	238	0,6	5,9	6,8	58,9	5,6	1,5
09.02.2022 12:00	252	0,5	7,7	8,4	60,1	7,2	1,8
09.02.2022 13:00	274	0,8	9,1	10,1	53,6	28,5	1,4
09.02.2022 14:00	262	0,5	8,8	9,5	52,4	19,9	1,3
09.02.2022 15:00	266	0,6	9,7	10,4	48,3	13,7	1,3
09.02.2022 16:00	248	0,5	8,4	9	53,2	12,8	1,4
09.02.2022 17:00	239	0,3	7,8	8	55,8	13,5	1,4

09.02.2022 18:00	240	0,3	7,7	7,9	53,7	15,7	1,4
09.02.2022 19:00	252	0,1	7,4	7,6	52,7	11,1	1,4
09.02.2022 20:00	248	0,1	6,6	6,8	52,8	8,3	1,4
09.02.2022 21:00	234	0,1	6,2	6,2	55,3	6,1	1,4
09.02.2022 22:00	241	0,1	6,8	6,8	54,8	4,8	1,6
09.02.2022 23:00	247	0,1	7,1	7,2	53,7	3,9	1,5
10.02.2022	254	0,1	7,2	7,4	50,8	3,5	1,6
10.02.2022 01:00	256	0,1	7,5	7,7	47,5	8,2	1,7
10.02.2022 02:00	250	0,1	7,2	7,3	48,2	6,5	1,6
10.02.2022 03:00	244	0,3	6,4	6,7	49,8	7,8	1,7
10.02.2022 04:00	242	0,1	6,2	6,3	48,9	16	1,5
10.02.2022 05:00	244	0,1	6	6,2	46,4	14,5	1,3
10.02.2022 06:00	235	0,1	5,7	5,8	46,5	13,5	1,1
10.02.2022 07:00	233	0,1	6	6,2	45,7	15,6	1,2
10.02.2022 08:00	241	0,3	7,3	7,6	42,7	16,6	1,5
10.02.2022 09:00	254	0,4	8,8	9,3	41,1	13,4	2,1
10.02.2022 10:00	263	1	9,1	10,5	41,3	9,5	2,4
10.02.2022 11:00	249	1,4	8,5	10,4	46,3	12,9	2,2
10.02.2022 12:00	243	1,2	7,7	9,4	50	22	1,9
10.02.2022 13:00	230	0,8	6,1	7,3	59	15,8	1,7
10.02.2022 14:00	215	0,6	6,1	6,8	62,4	11,6	1,6
10.02.2022 15:00	220	0,4	7,2	7,6	60,8	9,4	2,1
10.02.2022 16:00	248	0,4	8,1	8,5	56,9	7	2,4
10.02.2022 17:00	262	0,3	10,5	10,8	52,8	5,8	3
10.02.2022 18:00	343	0,3	15,7	15,9	43,6	12	4,5
10.02.2022 19:00	391	0,4	18,2	18,6	39,6	9,1	4
10.02.2022 20:00	359	0,4	13,5	13,9	45	12,1	4,2
10.02.2022 21:00	307	0,4	10,5	11	51,7	15,5	3,4
10.02.2022 22:00	293	0,1	10,1	10,3	52,2	16,8	3
10.02.2022 23:00	278	0,1	8,3	8,5	53,6	16	2,1
11.02.2022	241	0,1	5,7	5,7	56,5	19,9	1,6
11.02.2022 01:00	238	0,3	5	5,4	60,3	25	2
11.02.2022 02:00	207	0,1	4,2	4,3	75,3	17,9	5,7
11.02.2022 03:00	193	0,1	2,3	2,5	79,5	13,5	1,9
11.02.2022 04:00	200	0,1	2,9	2,9	77	9,8	0,8
11.02.2022 05:00	201	0,1	3	2,9	74,6	7,7	0,9
11.02.2022 06:00	208	0,1	3,2	3,3	71,7	8,3	1,3
11.02.2022 07:00	215	0,1	3,6	3,7	68,5	7,2	1
11.02.2022 08:00	237	0,3	6,3	6,6	60,3	6	1
11.02.2022 09:00	274	0,4	7,1	7,6	57,9	9,4	1,1
11.02.2022 10:00	247	0,6	6,1	7	61,5	15,4	1,8
11.02.2022 11:00	226	0,1	4,3	4,5	69,4	11,4	1,4
11.02.2022 12:00	224	0,3	4,7	5	68,4	8,8	1
11.02.2022 13:00	242	0,3	5	5,3	69,8	8,7	1
11.02.2022 14:00	236	0,1	5	5,2	67,3	6,5	0,8
11.02.2022 15:00	251	0,4	9,7	10,2	60,1	4,7	0,6
11.02.2022 16:00	245	0,3	8,8	9,2	65,5	7,3	0,6
11.02.2022 17:00	242	0,1	9,3	9,5	65,4	9,4	0,7
11.02.2022 18:00	253	0,1	8,1	8,3	64,1	7	0,7
11.02.2022 19:00	258	0,1	7,6	7,8	63,9	12,3	0,5
11.02.2022 20:00	258	0,1	6,7	6,9	64,8	9	0,7

11.02.2022 21:00	246	0,1	6	6,1	67,1	7,4	0,7
11.02.2022 22:00	250	0,1	5,9	6	66,4	8,4	0,7
11.02.2022 23:00	245	0,1	5,3	5,5	66,5	6	0,6
12.02.2022	248	0,1	5,6	5,7	63,8	7,6	0,7
12.02.2022 01:00	244	0,1	4,9	5	63,8	8,7	0,6
12.02.2022 02:00	231	0,1	3,9	3,9	66,8	10,8	0,9
12.02.2022 03:00	219	0,1	3,3	3,5	70,4	8,1	1,1
12.02.2022 04:00	212	0,1	2,8	2,8	72,6	7	0,9
12.02.2022 05:00	205	0,1	2,4	2,3	72,5	5,7	0,5
12.02.2022 06:00	217	0,1	3,7	3,9	65,9	4	2
12.02.2022 07:00	223	0,1	3,9	4	62,5	2,9	2,9
12.02.2022 08:00	227	0,1	3,8	4	61,4	3,5	2,9
12.02.2022 09:00	234	0,5	4,1	4,7	61	4,1	4
12.02.2022 10:00	236	0,8	4,1	5,1	64,1	3,9	4,5
12.02.2022 11:00	239	0,7	3,8	4,6	67,7	8,2	3
12.02.2022 12:00	244	0,7	3,7	4,7	70	7,1	2,2
12.02.2022 13:00	238	0,6	3,2	4	73,6	5,6	1,3
12.02.2022 14:00	233	0,5	3,1	3,8	76,5	5	1,2
12.02.2022 15:00	245	0,6	5	5,8	74,8	3,7	2,1
12.02.2022 16:00	246	0,4	4,4	4,9	74	3,8	1,4
12.02.2022 17:00	246	0,1	5	5	70	3	1,6
12.02.2022 18:00	282	0,1	5,5	5,7	58,7	2,3	1,4
12.02.2022 19:00	460	0,3	9,4	9,7	54,4	3,6	1,8
12.02.2022 20:00	539	0,4	12,3	12,8	55,5	10,7	2,9
12.02.2022 21:00	510	0,4	10,8	11,3	57	9,8	6,2
12.02.2022 22:00	414	0,3	8,4	8,7	55,8	19,8	4,6
12.02.2022 23:00	365	0,1	6,6	6,9	55,9	23	3,7
13.02.2022	324	0,1	5,7	5,8	59	16,8	2,8
13.02.2022 01:00	324	0,1	6,2	6,3	59,7	21,9	2,1
13.02.2022 02:00	334	0,1	6,5	6,7	59,6	19,4	2,5
13.02.2022 03:00	326	0,1	5,6	5,6	60,1	15,5	2,2
13.02.2022 04:00	315	0,1	5,2	5,3	60,2	12,9	2,1
13.02.2022 05:00	307	0,1	4,8	4,9	59,7	15,8	1,9
13.02.2022 06:00	309	0,3	5,2	5,6	58,3	20,9	2,1
13.02.2022 07:00	322	0,1	6,2	6,4	56,7	15,5	2,3
13.02.2022 08:00	329	0,3	6,4	6,8	56,7	16,7	2,6
13.02.2022 09:00	348	0,8	6,4	7,7	56,8	15,1	3,2
13.02.2022 10:00	339	1	5,6	7	60,9	24	2,9
13.02.2022 11:00	334	0,8	5,1	6,3	66,8	16,9	2,7
13.02.2022 12:00	316	0,7	4,7	5,7	72,2	19,9	2,4
13.02.2022 13:00	315	0,5	4,5	5,2	75,7	14,5	2,6
13.02.2022 14:00	323	0,6	4,4	5,2	77,1	10,8	3,1
13.02.2022 15:00	327	0,4	4,7	5,3	78,2	8,2	3,2
13.02.2022 16:00	339	0,4	5,4	5,8	77,2	9,8	3,5
13.02.2022 17:00	345	0,1	6	5,9	75,1	7,1	3,2
13.02.2022 18:00	361	0,1	6,1	6,2	72,2	13,3	3,3
13.02.2022 19:00	399	0,1	8,3	8,5	69	9,8	3,7
13.02.2022 20:00	439	0,4	8,1	8,5	68,4	17,8	3,4
13.02.2022 21:00	434	0,1	8,7	8,8	65,4	13,2	3,1
13.02.2022 22:00	434	0,1	8,2	8,4	64,4	24,1	3,3
13.02.2022 23:00	414	0,1	7,5	7,7	63,5	17,3	4

14.02.2022	380	0,1	7,4	7,5	62,6	21	5,3
14.02.2022 01:00	393	0,1	8,1	8,2	61	26,1	6,6
14.02.2022 02:00	421	0,1	8,1	8,3	59,2	20	7
14.02.2022 03:00	410	0,3	8,5	8,8	58,9	24,6	7
14.02.2022 04:00	419	0,1	7,9	8,1	56,8	19,1	6,6
14.02.2022 05:00	411	0,3	8	8,4	56,2	25,8	6,4
14.02.2022 06:00	416	0,1	8,7	8,9	54,7	26,6	7,2
14.02.2022 07:00	397	0,3	11,1	11,4	49,9	20,7	5,6
14.02.2022 08:00	395	1	17,1	18,5	48,3	15,1	5,6
14.02.2022 09:00	388	2,5	15,2	19	51,9	28,4	4,8
14.02.2022 10:00	378	2,6	13,7	17,7	58,2	20,8	4,7
14.02.2022 11:00	367	2,1	10,7	14,1	64,5	30,5	3,8
14.02.2022 12:00	350	1,3	7,6	9,5	72,2	28,4	3,4
14.02.2022 13:00	346	1,2	7,4	9,1	76,4	20,3	3,5
14.02.2022 14:00	354	1,3	9,3	11,1	75,8	19,9	3,1
14.02.2022 15:00	341	1,1	9,8	11,3	78,9	17,1	2,5
14.02.2022 16:00	344	0,8	12,2	13,4	76,2	25,6	2,4
14.02.2022 17:00	350	0,6	14,5	15,3	71,2	18,6	2,3
14.02.2022 18:00	360	0,1	15,2	15,3	69,6	17,4	2,4
14.02.2022 19:00	384	0,4	16,8	17,2	65,5	21,7	2,7
14.02.2022 20:00	417	0,4	16,6	17	65,2	24	2,8
14.02.2022 21:00	445	0,3	18,7	19	60,1	27,9	3,7
14.02.2022 22:00	417	0,3	11	11,2	62,9	28	4,2
14.02.2022 23:00	404	0,1	9,3	9,4	62,3	27,6	4
15.02.2022	417	0,3	10,7	11	58,4	33,3	3,7
15.02.2022 01:00	439	0,8	13,2	14,3	52,3	32,5	3,2
15.02.2022 02:00	441	0,3	12,1	12,4	53,2	28,8	3,7
15.02.2022 03:00	443	0,3	14,6	14,9	49,1	33,2	4
15.02.2022 04:00	445	0,3	14,8	15,1	47,2	35,7	3,6
15.02.2022 05:00	440	0,4	16	16,4	45	35,3	2,7
15.02.2022 06:00	423	0,4	15,9	16,3	44,7	42,3	2,2
15.02.2022 07:00	425	0,4	15,6	16,1	44,6	40,1	2
15.02.2022 08:00	434	1,4	17,1	19,2	42,2	31,1	2,2
15.02.2022 09:00	418	1,8	13,6	16,3	48,5	36	2,6
15.02.2022 10:00	403	1,4	10,2	12,3	54,7	31,4	3,6
15.02.2022 11:00	396	1,2	11,1	12,9	58,8	31,2	5
15.02.2022 12:00	409	1,1	10,8	12,4	62,1	28	6,3
15.02.2022 13:00	388	1,1	9,1	10,6	67,1	33	5,5
15.02.2022 14:00	388	0,4	10,9	11,4	63,8	28,4	5
15.02.2022 15:00	412	0,8	11,6	12,8	63,6	24,2	5,2
15.02.2022 16:00	409	0,7	12,4	13,3	63	21,7	4,6
15.02.2022 17:00	425	0,5	14,3	14,9	56,3	40,1	4,5
15.02.2022 18:00	495	0,5	17,6	18,2	49,6	35	5,2
15.02.2022 19:00	594	0,5	21,7	22,3	44	32	5,9
15.02.2022 20:00	585	0,1	20,9	21,1	44	47,4	6
15.02.2022 21:00	589	0,3	18,7	19	44	40,8	5,9
15.02.2022 22:00	511	0,4	14	14,5	47,3	52,3	4,7
15.02.2022 23:00	508	0,3	14,6	14,9	45	46,9	4,8
16.02.2022	500	0,3	12,4	12,7	48,1	41,9	4,4
16.02.2022 01:00	521	0,4	11,2	11,7	48,6	43,2	4,1
16.02.2022 02:00	514	0,3	12,8	13,1	44,3	37,2	4,6

16.02.2022 03:00	516	0,4	16,3	16,8	39,4	50	6,4
16.02.2022 04:00	502	0,3	14,6	15	38,7	42,6	4,7
16.02.2022 05:00	502	0,4	14,7	15	35,9	46,1	4,7
16.02.2022 06:00	508	0,4	17,1	17,5	31,4	43,1	4,6
16.02.2022 07:00	542	0,4	20	20,4	27,8	47,3	4,4
16.02.2022 08:00	553	1,7	21,2	23,7	28,6	43,2	5,4
16.02.2022 09:00	532	3,1	17,4	22	36,6	51,6	6,6
16.02.2022 10:00	445	2,5	12,9	16,5	48,9	56,2	5,7
16.02.2022 11:00	383	2	10,8	13,8	57,4	48	5,2
16.02.2022 12:00	294	1,2	7,4	9,2	70,5	42,8	3,4
16.02.2022 13:00	285	0,8	7,7	9	72,3	30	3
16.02.2022 14:00	313	1,2	9,4	11,2	69,9	24,3	3,7
16.02.2022 15:00	262	0,8	7,8	8,9	76,8	17,1	3,5
16.02.2022 16:00	248	0,5	8,4	8,9	78,4	15,2	2,8
16.02.2022 17:00	266	0,1	9,7	9,9	74,9	13	2,8
16.02.2022 18:00	309	0,1	10,1	10,2	72	10	3,4
16.02.2022 19:00	280	0,1	7,6	7,9	74,9	8,2	2,8
16.02.2022 20:00	269	0,1	7,3	7,3	73,4	18,8	2,6
16.02.2022 21:00	279	0,1	7,3	7,3	69,9	13,3	2,6
16.02.2022 22:00	269	0,1	6,6	6,8	69,2	16,6	2,1
16.02.2022 23:00	253	0,1	5,6	5,8	70,1	12	1,6
17.02.2022	249	0,1	5	5,2	69,3	9,3	1,4
17.02.2022 01:00	251	0,1	5	5,1	67,9	8,4	1,8
17.02.2022 02:00	246	0,1	5,3	5,4	68	6,8	2,3
17.02.2022 03:00	248	0,1	5	5,1	67,8	12,3	2,3
17.02.2022 04:00	244	0,1	4,8	4,9	66,3	8,9	2
17.02.2022 05:00	238	0,3	4,5	4,9	63,5	7,5	1,8
17.02.2022 06:00	235	0,3	4,5	4,9	59,8	20,4	1,5
17.02.2022 07:00	225	0,5	5	5,6			1,4
17.02.2022 08:00		1	4,4	5,7			1,2
17.02.2022 09:00							1
17.02.2022 10:00							
17.02.2022 11:00	216	0,5	3,7	4,3	79,4		0,6
17.02.2022 12:00	205	0,4	4,5	5	79,3		1,1
17.02.2022 13:00	197	0,3	4,1	4,3	81,5	9,5	1
17.02.2022 14:00	195	0,3	3,9	4,2	82,6	3,3	1,1
17.02.2022 15:00	191	0,3	3,6	3,9	81,9	3,8	1,1
17.02.2022 16:00	199	0,1	4,2	4,4	79,8	1	0,9
17.02.2022 17:00	205	0,1	4,2	4,3	77,5	0,9	0,9
17.02.2022 18:00	207	0,1	4,1	4,2	73,8	2,2	0,8
17.02.2022 19:00	204	0,1	3,9	4	69,9	0,9	0,9
17.02.2022 20:00	200	0,1	3,7	3,9	70,8		0,9
17.02.2022 21:00	203	0,1	3,8	3,8	69,7		1
17.02.2022 22:00	215	0,1	4,3	4,4	67,2	1,9	1
17.02.2022 23:00	210	0,1	3,3	3,5	73,5	3,4	0,9
18.02.2022	212	0,1	3	3,1	74,7	1,3	0,7
18.02.2022 01:00	204	0,1	2,8	2,6	78,6	7,2	0,8
18.02.2022 02:00	201	0,1	2,4	2,5	78,5	17,1	0,7
18.02.2022 03:00	199	0,1	2,6	2,7	77,9	8,4	0,9
18.02.2022 04:00	201	0,1	2,7	2,8	76,8	5,4	0,9
18.02.2022 05:00	194	0,1	2,6	2,6	79,4	2,2	0,8

18.02.2022 06:00	191	0,1	2,7	2,8	79,6	1,9	0,9
18.02.2022 07:00	190	0,1	2,8	2,8	79,2	2,4	0,8
18.02.2022 08:00	198	0,1	3,3	3,2	77,6	2,5	1,2
18.02.2022 09:00	198	0,1	3,4	3,5	77,5	1,9	1
18.02.2022 10:00	209	0,4	4	4,5	74,9	4,5	1
18.02.2022 11:00	210	0,4	3,9	4,3	76	3,4	1,1
18.02.2022 12:00	218	0,3	5	5,3	73,9	7,3	1,4
18.02.2022 13:00	209	0,4	3,3	3,7	79,8	4,9	1
18.02.2022 14:00	208	0,5	3,4	4,1	80,7	6,7	0,8
18.02.2022 15:00	209	0,5	3,9	4,6	83,4	5,8	1
18.02.2022 16:00	214	0,3	4	4,2	83,6	4,6	0,9
18.02.2022 17:00	242	0,3	5,8	6	79,2	11,5	0,9
18.02.2022 18:00	287	0,1	11	11,1	69,4	8,9	2,7
18.02.2022 19:00	268	0,1	7,2	7,4	72,4	10,8	1,8
18.02.2022 20:00	293	0,1	6,3	6,5	71	12,3	2,4
18.02.2022 21:00	288	0,1	7,4	7,5	68,3	17,7	2,1
18.02.2022 22:00	319	0,1	7,9	8	67,8	12,8	1,8
18.02.2022 23:00	297	0,1	4,8	4,7	72,6	31,4	1,2
19.02.2022	302	0,1	5,2	5,1	70	33,7	1,9
19.02.2022 01:00	304	0,1	5,9	5,9	66,4	23,6	2,5
19.02.2022 02:00	286	0,1	5,9	6	65,6	18,6	2,5
19.02.2022 03:00	205	0,3	3,4	3,7	61,2		1
19.02.2022 04:00		0,8	4,7	5,8			0,6
19.02.2022 05:00							
19.02.2022 06:00							
19.02.2022 07:00							
19.02.2022 08:00							
19.02.2022 09:00							
19.02.2022 10:00							
19.02.2022 11:00							
19.02.2022 12:00					59,2		
19.02.2022 13:00	193	0,4	1,6	2	81		
19.02.2022 14:00	189	0,1	1,8	2	80,6		
19.02.2022 15:00	189	0,1	2,3	2,5	79,7	10,8	
19.02.2022 16:00	190	0,1	2,7	2,9	79,3	3,2	
19.02.2022 17:00	197	0,1	2,9	3,1	77,8	19,6	0,5
19.02.2022 18:00	202	0,1	3,5	3,7	75,9	5,3	0,6
19.02.2022 19:00	206	0,1	3,2	3,4	74,6	3,7	0,8
19.02.2022 20:00	210	0,1	3	3,2	74,1	2,1	0,9
19.02.2022 21:00	213	0,1	3,4	3,6	73,6	3,5	1
19.02.2022 22:00	216	0,3	3,4	3,7	73,5	8,8	1,1
19.02.2022 23:00	216	0,3	3,4	3,7	72,7	12,9	0,9
20.02.2022	220	0,1	3,6	3,6	71,6	5	0,8
20.02.2022 01:00	219	0,3	3,7	4	70,7	4,2	0,9
20.02.2022 02:00	229	0,1	3,6	3,7	67,5	17,6	0,9
20.02.2022 03:00	240	0,3	3,8	4,1	62,9	8,5	0,9
20.02.2022 04:00	240	0,1	3,7	3,8	62,1	2,8	1,1
20.02.2022 05:00	249	0,1	4,7	4,9	60,3	20,2	2
20.02.2022 06:00	266	0,3	6	6,3	56,9	14,5	2,8
20.02.2022 07:00	267	0,3	5,9	6,1	56,3	16,8	2,7
20.02.2022 08:00	281	0,3	5,5	5,7	57,6	9,2	3,3

20.02.2022 09:00	297	0,6	6,5	7,3	57	8,5	5,2
20.02.2022 10:00	295	0,8	7,2	8,4	58,5	4,3	6
20.02.2022 11:00	257	0,7	5,3	6,2	63,8	19,5	3,2
20.02.2022 12:00	243	0,4	3,7	4,1	66,9	10,7	0,7
20.02.2022 13:00	261	0,5	4,7	5,3	61,8	6,5	1
20.02.2022 14:00	268	0,4	3,9	4,3	59,6	13,7	0,6
20.02.2022 15:00	269	0,1	4,2	4,2	58,2	9	0,5
20.02.2022 16:00	264	0,3	4,1	4,4	58,3	6,9	0,7
20.02.2022 17:00	262	0,1	4,3	4,5	59,3	5,2	1,1
20.02.2022 18:00	294	0,1	5,3	5,4	55,7	4,6	0,8
20.02.2022 19:00	329	0,1	5,6	5,7	52,5	11,8	0,7
20.02.2022 20:00	286	0,1	4,7	4,9	52,9	12,8	0,6
20.02.2022 21:00	303	0,3	6	6,4	49,3	17,1	1
20.02.2022 22:00	259	0,1	4,3	4,4	60,7	11,9	1
20.02.2022 23:00	247	0,1	3,7	3,9	62,7	11,4	0,6
21.02.2022	249	0,1	3,6	3,7	61	15,1	0,8
21.02.2022 01:00	243	0,1	3,4	3,5	60,7	12,3	0,8
21.02.2022 02:00	236	0,3	3,3	3,6	60,2	19,5	0,8
21.02.2022 03:00	231	0,1	3,1	3,2	61,5	15	0,9
21.02.2022 04:00	228	0,1	3,3	3,5	61,6	10,8	1
21.02.2022 05:00	224	0,3	3,1	3,4	62,6	8,5	0,8
21.02.2022 06:00	217	0,1	3,1	3,2	64,1	6,2	0,6
21.02.2022 07:00	214	0,1	3	3,2	65,3	9,1	0,5
21.02.2022 08:00	215	0,1	3,4	3,6	65,8	6,9	0,5
21.02.2022 09:00	216	0,3	3,6	3,9	67,3	4,9	0,5
21.02.2022 10:00	221	0,4	4,1	4,6	65,9	3,6	1,2
21.02.2022 11:00	208	0,4	4,7	5,2	67,2	3	2,2
21.02.2022 12:00	201	0,5	5	5,6	72,2	5,3	2,5
21.02.2022 13:00	190	0,1	4,4	4,5	80,2	4,9	1,5
21.02.2022 14:00	182	0,4	3,1	3,5	84,4	4,1	1,4
21.02.2022 15:00	184	0,5	4,4	5	82,5	4	1,7
21.02.2022 16:00	187	0,4	4,7	5,1	80	3,9	1,4
21.02.2022 17:00	192	0,3	4,7	5	77,9	3,8	1,5
21.02.2022 18:00	202	0,1	4,6	4,7	76,7	3,7	1,3
21.02.2022 19:00	230	0,1	5,5	5,7	72,2	3,3	1,6
21.02.2022 20:00	245	0,3	5,7	5,9	70	3,4	1,8
21.02.2022 21:00	248	0,3	4,6	4,8	72,4	3,1	1,5
21.02.2022 22:00	263	0,1	4,9	5,1	68,7	3,1	1,8
21.02.2022 23:00	266	0,1	6,2	6,3	65,4	3,1	2,3
22.02.2022	258	0,3	6,3	6,6	66,1	3,1	2,4
22.02.2022 01:00	250	0,1	5,4	5,4	67,9	3,2	2,1
22.02.2022 02:00	252	0,3	5,7	6	65,7	3,4	2,8
22.02.2022 03:00	252	0,1	6,5	6,6	63,8	3,6	2,6
22.02.2022 04:00	244	0,1	5,2	5,4	63,9	5,7	1,8
22.02.2022 05:00	236	0,1	4,1	4,3	65,6	5,4	1,4
22.02.2022 06:00	226	0,1	3,2	3,2	69,7	5	1
22.02.2022 07:00	223	0,1	3,5	3,6	70,6	4,8	1,2
22.02.2022 08:00	228	0,1	4,3	4,4	68,1	4,5	1,2
22.02.2022 09:00							1
22.02.2022 10:00							0,8
22.02.2022 11:00							0,2

22.02.2022 12:00							
22.02.2022 13:00	247	0,3	3,1	3,4	74,3		0,2
22.02.2022 14:00	239	0,5	3,5	4,1	72,5		0,5
22.02.2022 15:00	227	0,3	3,1	3,3	73,1		0,7
22.02.2022 16:00	236	0,4	4,2	4,7	69,6		0,7
22.02.2022 17:00	238	0,3	4,6	4,8	69,6		0,7
22.02.2022 18:00	235	0,1	4,4	4,5	70,5		0,9
22.02.2022 19:00	239	0,1	5	5,2	71	6	0,8
22.02.2022 20:00	302	0,1	6,2	6,3	63,3	4,9	1
22.02.2022 21:00	368	0,3	10,1	10,5	52,4	5,6	1
22.02.2022 22:00	405	0,1	11,3	11,5	43,1	9,9	1,2
22.02.2022 23:00	369	0,3	9,3	9,6	45,4	28,8	1
23.02.2022	313	0,3	7,3	7,5	49,3	21,8	1
23.02.2022 01:00	313	0,3	7,1	7,4	49,5	31,6	1,2
23.02.2022 02:00	304	0,3	6,5	6,8	49,3	25	1,4
23.02.2022 03:00	283	0,1	5,8	5,9	50,5	27,3	1,1
23.02.2022 04:00	283	0,1	6,3	6,4	50,6	25,5	1,7
23.02.2022 05:00	284	0,1	7,1	7,1	50	18,6	2,2
23.02.2022 06:00	280	0,1	7,4	7,5	52,1	15,3	2,2
23.02.2022 07:00	266	0,3	6,3	6,6	54,4	13,8	1,3
23.02.2022 08:00	259	0,3	6,7	6,9	55,3	17,7	1,1
23.02.2022 09:00	236	0,3	4,4	4,7	67,8	18,9	0,7
23.02.2022 10:00	214	0,1	2,8	3	79,9	14	0,9
23.02.2022 11:00	209	0,3	2,9	3,2	81,3	10,1	0,9
23.02.2022 12:00	207	0,4	3	3,4	82,2	7,3	0,7
23.02.2022 13:00	206	0,3	3	3,3	80,6	5,3	0,7
23.02.2022 14:00	201	0,1	2,6	2,8	80,6	3,9	0,7
23.02.2022 15:00	202	0,1	2,9	3,1	79,9	5,6	0,5
23.02.2022 16:00	207	0,3	2,8	3,1	79,8	5,5	0,7
23.02.2022 17:00	201	0,1	2,7	2,8	80,6	4,5	0,6
23.02.2022 18:00	209	0,1	2,9	2,9	79,9	6	0,6
23.02.2022 19:00	216	0,1	3	3,1	78,4	5,3	0,5
23.02.2022 20:00	214	0,1	3,1	3,3	78,7	4,7	0,7
23.02.2022 21:00	209	0,1	2,8	2,8	79,6	4,7	0,7
23.02.2022 22:00	212	0,1	2,7	2,8	78,7	6,9	0,7
23.02.2022 23:00	223	0,1	3,4	3,5	75,3	5,8	0,6
24.02.2022	243	0,1	4,7	4,7	69,6	6,2	1,6
24.02.2022 01:00	274	0,1	5,5	5,6	61	9,2	1,3
24.02.2022 02:00	295	0,3	6,8	7	56,5	16,8	1,2
24.02.2022 03:00	351	0,4	7,4	7,8	50,8	15,1	1,1
24.02.2022 04:00	374	0,1	8,5	8,7	45,7	24,5	1
24.02.2022 05:00	367	0,3	8,6	8,9	44,1	19,9	1,4
24.02.2022 06:00	381	0,1	10	10,2	39,7	25,2	2,1
24.02.2022 07:00	377	0,5	10,8	11,4	37,7	28,6	2,3
24.02.2022 08:00	373	1,7	13,3	15,9	36,8	31,3	2,1
24.02.2022 09:00	349	3	11,6	16,2	43,6	30,2	2,3
24.02.2022 10:00	311	1,8	7,2	9,7	59,2	25,1	2,4
24.02.2022 11:00	267	0,8	4,9	6,1	71,2	18,9	1,4
24.02.2022 12:00	265	1,2	5,4	7,2	74,7	13,9	2
24.02.2022 13:00	262	1,4	6,7	8,8	77,3	14,9	1,9
24.02.2022 14:00	247	1,1	6,2	7,7	80,9	11,8	1,5

24.02.2022 15:00	247	1,1	6,5	8	82,2	11	1,9
24.02.2022 16:00	259	0,8	8,6	9,7	79,4	12,2	2,5
24.02.2022 17:00	264	0,6	11,9	12,6	76,1	12,3	2,7
24.02.2022 18:00	268	0,1	11,7	11,9	75,7	13,5	1,8
24.02.2022 19:00	313	0,5	15	15,7	70,5	10,6	1,7
24.02.2022 20:00	299	0,3	10,8	11,1	71,2	11,9	2,4
24.02.2022 21:00	303	0,1	8,2	8,4	71,6	15,7	2,9
24.02.2022 22:00	325	0,1	8,1	8,3	69	12,6	2,8
24.02.2022 23:00	338	0,1	8,1	8,3	65,3	19,3	2,4
25.02.2022	357	0,3	9	9,3	63,7	20,7	3,8
25.02.2022 01:00	363	0,1	10,5	10,7	64,7	15,7	6
25.02.2022 02:00	344	0,1	9,1	9,2	67	24,9	5,1
25.02.2022 03:00	348	0,1	8,7	8,9	68,2	18,8	5,1
25.02.2022 04:00	344	0,1	8,4	8,5	67,6	20,6	5,3
25.02.2022 05:00	320	0,1	7,4	7,4	68,1	21,9	4,6
25.02.2022 06:00	311	0,1	7,1	7,2	66	21,3	4,2
25.02.2022 07:00	240	0,1	4,3	4,3	79,4	18,4	2
25.02.2022 08:00	213	0,1	2,8	2,9	81,7	13,9	0,8
25.02.2022 09:00	217	0,3	3,1	3,3	77,2	10,7	0,9
25.02.2022 10:00	210	0,4	2,6	3	76,5	8	0,8
25.02.2022 11:00	206	0,4	2,6	3,1	76,5	6,7	0,6
25.02.2022 12:00	207	0,4	2,9	3,3	76,3	5,2	0,7
25.02.2022 13:00	205	0,4	2,3	2,8	76	4,9	0,7
25.02.2022 14:00	215	0,6	3,1	3,8	74,5	4,2	1
25.02.2022 15:00	213	0,4	3,3	3,7	75,6	4	0,5
25.02.2022 16:00	217	0,4	3,3	3,8	75	3,9	0,4
25.02.2022 17:00	222	0,1	3,8	4	74,5	3,3	0,5
25.02.2022 18:00	236	0,1	4,6	4,8	72,9	3,1	0,5
25.02.2022 19:00	297	0,3	6,1	6,5	66,8	4,7	0,7
25.02.2022 20:00	343	0,3	8,6	8,9	64,4	4,3	1,3
25.02.2022 21:00	351	0,3	9,3	9,5	61,9	10	1,7
25.02.2022 22:00	354	0,3	8,8	9,1	58,5	8,6	1,6
25.02.2022 23:00	392	0,1	9	9,3	54,3	9,7	2
26.02.2022	394	0,1	9,3	9,5	50,9	18	2,5
26.02.2022 01:00	380	0,3	7,8	8	50,3	23,3	2,1
26.02.2022 02:00	373	0,4	7,1	7,6	50,5	29,2	1,5
26.02.2022 03:00	353	0,3	7,2	7,4	50,4	23,8	1,8
26.02.2022 04:00	337	0,1	8,6	8,8	49,1	30,3	2,7
26.02.2022 05:00	341	0,3	8,7	9,1	45,3	22,8	2,8
26.02.2022 06:00	362	0,4	9,5	9,9	41,2	19,7	3,1
26.02.2022 07:00	377	0,4	10,3	10,7	37,3	24,6	2,4
26.02.2022 08:00	360	1,1	9,7	11,3	39,3	22,3	2,7
26.02.2022 09:00	329	1,4	8	10	50,2	24,9	4,3
26.02.2022 10:00	284	1	6	7,5	57,3	25,2	2,6
26.02.2022 11:00	265	0,8	4,4	5,7	63,9	24,6	1,6
26.02.2022 12:00	264	0,5	5	5,6	66	17,9	2,1
26.02.2022 13:00	264	0,7	5,7	6,6	65,5	15,4	3,8
26.02.2022 14:00	255	0,6	5,5	6,3	69,3	11,5	3,5
26.02.2022 15:00	248	0,5	4,6	5,2	72,5	9,1	1,4
26.02.2022 16:00	247	0,1	4,5	4,7	73	12,1	0,9
26.02.2022 17:00	263	0,3	5,4	5,7	67,4	14,3	0,8

26.02.2022 18:00	295	0,3	7,2	7,5	62,2	11,3	0,8
26.02.2022 19:00	312	0,1	8	8,2	59	9,7	0,9
26.02.2022 20:00	320	0,3	8,2	8,5	55	16,3	1,2
26.02.2022 21:00	339	0,3	8,6	9	46,8	12,8	0,8
26.02.2022 22:00	318	0,3	7,6	7,9	46,7	26,7	0,9
26.02.2022 23:00	309	0,1	7,2	7,5	40,6	21,7	0,6
27.02.2022	385	0,1	9,3	9,4	45,3	31,1	1,1
27.02.2022 01:00	355	0,3	8,9	9,2	50,1	36,9	2
27.02.2022 02:00	374	0,3	11,4	11,7	45,4	39,9	2,1
27.02.2022 03:00	409	0,3	15,8	16,2	40,7	31,5	1,9
27.02.2022 04:00	441	0,3	17,7	18	35,2	31,1	1,2
27.02.2022 05:00	451	0,4	17,3	17,8	33,3	33,8	1,9
27.02.2022 06:00	413	0,4	13,1	13,5	35,4	31,5	1,5
27.02.2022 07:00	356	0,5	10,8	11,4	39,5	38,6	1,3
27.02.2022 08:00	300	0,6	8,3	9,1	49,1	31,7	0,6
27.02.2022 09:00	287	1,1	9,6	11,2	47,5	31,8	0,8
27.02.2022 10:00	278	1,3	10,1	12	48,5	23,2	0,9
27.02.2022 11:00	285	1,7	11,5	14	47,4	19	0,9
27.02.2022 12:00	273	1,7	9,5	12	54,8	14,6	0,9
27.02.2022 13:00	264	2,4	9,4	12,9	58,3	10,8	1,1
27.02.2022 14:00	267	1,9	7,9	10,8	59	8,7	1,5
27.02.2022 15:00	262	1,2	6,3	8	59,8	7,3	1
27.02.2022 16:00	260	1	6,5	7,9	63,2	9,3	1
27.02.2022 17:00	256	0,4	6,5	7	63,8	12,8	0,9
27.02.2022 18:00	272	0,4	6,6	7,1	59,9	14,3	0,7
27.02.2022 19:00	331	0,3	10	10,3	57,8	11,8	0,8
27.02.2022 20:00	367	0,4	10,9	11,4	52,7	9,5	0,7
27.02.2022 21:00	374	0,3	10,4	10,7	46	18,3	0,6
27.02.2022 22:00	375	0,3	11,3	11,6	45,3	20,6	1
27.02.2022 23:00	415	0,4	13,5	14	49,6	16,5	1,4
28.02.2022	396	0,3	10,7	11,1	50,9	20,4	1
28.02.2022 01:00	377	0,4	8,5	8,9	49,7	16,2	0,7
28.02.2022 02:00	354	0,3	8	8,3	50,8	21,4	0,7
28.02.2022 03:00	341	0,3	6,9	7,2	50,4	15,9	0,9
28.02.2022 04:00	327	0,3	7,1	7,4	46,7	11,6	0,8
28.02.2022 05:00	320	0,1	8,3	8,5	41,5	8,9	0,8
28.02.2022 06:00	326	0,3	9,2	9,5	41,7	12,5	0,5
28.02.2022 07:00	351	0,8	13,4	14,4	39,3	14,8	0,9
28.02.2022 08:00	353	3,8	17,5	23,1	36,5	11,1	1,4
28.02.2022 09:00	308	3	11,4	15,8	46,4	16,1	2,9
28.02.2022 10:00	306	4	11,1	17,2	50	20,7	3,2
28.02.2022 11:00	270	2	6,6	9,8	59,2	16,1	1,5
28.02.2022 12:00	246	1,3	4,1	5,9	69,4	12,5	0,9
28.02.2022 13:00	236	1	3,7	5	74,3	11,9	0,5
28.02.2022 14:00	294	0,8	3,2	4,4	76,6	9	0,4
28.02.2022 15:00	230	0,8	3,9	5,1	77,4	7	0,6
28.02.2022 16:00	231	0,8	4,3	5,5	77,4	5,8	0,6
28.02.2022 17:00	252	0,7	7,7	8,6	71,4	7	0,6
28.02.2022 18:00	299	0,3	12,7	13,1	58,5	7	0,8
28.02.2022 19:00	359	0,4	14,1	14,6	49	8,1	1,4
28.02.2022 20:00	458	0,5	29,1	29,8	35,4	12,6	2

28.02.2022 21:00	455	0,4	29,5	30	33,1	21,8	2,8
28.02.2022 22:00	460	0,3	22,9	23,2	42	23,8	4
28.02.2022 23:00	461	0,4	18,7	19,1	35	28	3,3
01.03.2022	459	0,4	13,8	14,2	36,7	35,5	3,1
01.03.2022 01:00	477	0,4	16,5	17	37,9	27,7	3,2
01.03.2022 02:00	504	0,2	19,5	19,9	33,5	23,3	2,8
01.03.2022 03:00	448	0,3	21,9	22,3	33,4	36	2,6
01.03.2022 04:00	390	0,3	19,2	19,7	34,7	36,5	2,4
01.03.2022 05:00	389	0,2	18,2	18,5	36,4	26,5	2,3
01.03.2022 06:00	393	0,3	22,9	23,3	31,2	23,8	2,4
01.03.2022 07:00	405	0,7	27,2	28,3	29,7	23,3	2
01.03.2022 08:00	421	3,7	26,4	32,1	34,9	32,4	2,5
01.03.2022 09:00	353	4,5	21,1	28	53,6	30,7	3
01.03.2022 10:00	335	5,3	18,7	26,8	59,4	35	2
01.03.2022 11:00	320	3,9	15,6	21,6	66,2	27,5	3,3
01.03.2022 12:00	345	7,8	26,3	38,4	59,2	23,5	5,9
01.03.2022 13:00	316	5	20	27,7	67,3	17,1	4,6
01.03.2022 14:00	319	3,4	16,5	21,8	71,1	23,9	4,6
01.03.2022 15:00	293	2,7	14,9	19,1	72,5	19,7	5,3
01.03.2022 16:00	281	1,7	15,8	18,4	72	21,4	4,8
01.03.2022 17:00	288	1,2	18,6	20,4	65,1	16,2	3,5
01.03.2022 18:00	274	0,3	16	16,4	59,1	13,5	2,6
01.03.2022 19:00	298	0,2	16,8	17	59	19,3	2,2
01.03.2022 20:00	376	0,3	17	17,5	55,2	20	1,9
01.03.2022 21:00	398	0,2	15,7	16	53,5	17	2,3
01.03.2022 22:00	407	0,2	14,8	15,1	54	26	2,4
01.03.2022 23:00	410	0,4	14,9	15,5	54,1	25,8	2,7
02.03.2022	390	0,2	17,9	18,2	40,9	26,8	2,2
02.03.2022 01:00	379	0,3	20,7	21,1	35	30,4	1,7
02.03.2022 02:00	368	0,3	21,1	21,5	39,2	40,1	1,8
02.03.2022 03:00	384	0,1	21,4	21,6	42,8	31,6	2,6
02.03.2022 04:00	394	0,3	20	20,4	44,6	30,3	3,2
02.03.2022 05:00	371	0,3	17,3	17,7	49,1	25,8	4,6
02.03.2022 06:00	382	0,2	16,9	17,3	47,1	26,8	5,8
02.03.2022 07:00	396	0,4	17,8	18,3	44,1	31,6	5,6
02.03.2022 08:00	430	2,2	19,9	23,2	43,1	32	4,6
02.03.2022 09:00	446	4,8	19,4	26,9	50	38,1	4,7
02.03.2022 10:00	398	4,1	16,9	23,3	61,1	39,8	3,5
02.03.2022 11:00	342	4	16,8	23,1	68	40	6,6
02.03.2022 12:00	303	3	14,3	19	72,3	31,8	5,6
02.03.2022 13:00	298	2,8	14,3	18,6	74,4	24,6	5,8
02.03.2022 14:00	309	3,8	18,7	24,6	71,2	25,6	3,8
02.03.2022 15:00	347	4,7	27,1	34,2	64,1	21,4	2,8
02.03.2022 16:00	323	1,8	18,1	20,8	73,6	22,8	2,4
02.03.2022 17:00	293	0,5	10,3	11	79,9	21,2	1,6
02.03.2022 18:00	300	0,1	9,3	9,4	71,4	15,8	1,6
02.03.2022 19:00	315	0,2	9,6	9,9	68,5	21,8	1,4
02.03.2022 20:00	346	0,2	11,9	12,3	69,3	18,1	1,7
02.03.2022 21:00	352	0,1	13,3	13,5	65,7	18	1,9
02.03.2022 22:00	387	0,1	18,9	19,1	58	25	2,5
02.03.2022 23:00	402	0,3	16,4	16,9	59,2	26,6	2,8

03.03.2022	375	0,2	13,3	13,6	63,9	33,5	2,8
03.03.2022 01:00	365	0,2	10,9	11,3	66,7	30,4	3,3
03.03.2022 02:00	397	0,3	12,8	13,3	61,5	33,7	4,1
03.03.2022 03:00	431	0,2	15,4	15,7	55,5	35,6	4,1
03.03.2022 04:00	462	0,2	16,1	16,4	52,8	39	4,6
03.03.2022 05:00	446	0,1	14,5	14,7	53,9	46,2	4,3
03.03.2022 06:00	420	0,2	12,9	13,2	51,5	50,6	3,3
03.03.2022 07:00	418	0,4	12,5	13,2	47,7	47,2	3,3
03.03.2022 08:00	410	0,9	13,2	14,6	53,9	45,9	4,4
03.03.2022 09:00	414	1,7	14,4	16,9	60,8	47,6	6,2
03.03.2022 10:00	387	1,4	13,6	15,8	68,8	52	6
03.03.2022 11:00	406	1,8	15,9	18,7	66,7	35,3	8,5
03.03.2022 12:00	389	2	14,7	17,8	73,6	53,7	9,4
03.03.2022 13:00	345	1,2	11,7	13,6	86,1	55,2	7,9
03.03.2022 14:00	362	1,1	12,6	14,4	86,6	37,2	3,8
03.03.2022 15:00	387	0,8	12,4	13,7	88,1	37,7	3,2
03.03.2022 16:00	323	0,5	11,1	11,9	81,5	37,9	1,7
03.03.2022 17:00	286	0,3	9,2	9,7	77,1	40,9	0,7
03.03.2022 18:00	275	0,2	8,8	9,1	75,3	33,2	0,8
03.03.2022 19:00	305	0,2	9,4	9,8	72,1	32,6	0,7
03.03.2022 20:00	289	0,1	8,6	8,8	72,5	33,8	0,8
03.03.2022 21:00	274	0,1	8,5	8,7	71,4	27	1,1
03.03.2022 22:00	291	0,1	9,1	9,3	66,3	24,5	1,4
03.03.2022 23:00	313	0,2	9,2	9,6	60,5	21	1,4
04.03.2022	330	0,2	10,1	10,4	54,6	29	1,3
04.03.2022 01:00	332	0,2	10,1	10,5	50,4	30,2	1,4
04.03.2022 02:00	359	0,2	13,7	14,1	45,1	31,7	1,7
04.03.2022 03:00	371	0,3	14,4	14,9	41,4	29,4	2,4
04.03.2022 04:00	355	0,3	11,5	12	41,7	31,1	2,2
04.03.2022 05:00	357	0,3	11,6	12	36	34,2	1,4
04.03.2022 06:00	345	0,1	11,3	11,6	33,8	32,9	1,2
04.03.2022 07:00	341	0,3	11,5	12	33,7	36,8	0,9
04.03.2022 08:00	345	0,8	12,9	14,2	35,9	37,4	1
04.03.2022 09:00	328	1,5	14,7	17	37,5	32,5	1
04.03.2022 10:00	303	1,2	14,5	16,4	41,7	33,7	0,9
04.03.2022 11:00	302	1,6	18,1	20,5	41,4	29,9	1
04.03.2022 12:00	313	3,5	19,6	25	39,2	22,2	1
04.03.2022 13:00	312	2,6	21,2	25,3	39,9	22,1	1,5
04.03.2022 14:00	301	3,6	19,6	25,2	41,2	16,1	1,5
04.03.2022 15:00	283	3,2	16	21	48	17,6	1,3
04.03.2022 16:00	269	0,8	14,7	16	54,5	13,7	1,1
04.03.2022 17:00	245	0,3	10	10,4	59,5	9,8	1
04.03.2022 18:00	264	0,2	12	12,4	52,6	7,5	1,2
04.03.2022 19:00	303	0,1	15,7	15,9	42,1	9,8	1,3
04.03.2022 20:00	312	0,4	12,4	13,1	49,9	19,3	0,8
04.03.2022 21:00	342	0,4	11,1	11,7	50,9	31,6	0,8
04.03.2022 22:00	382	0,3	13,2	13,7	42,1	27,3	1
04.03.2022 23:00	418	0,3	18,7	19,2	37,3	21,8	1,2
05.03.2022	346	0,3	14,8	15,3	34,3	27	1
05.03.2022 01:00	346	0,3	15	15,5	37,2	20,6	1,2
05.03.2022 02:00	343	0,3	14,5	15	40,8	16,1	1,5

05.03.2022 03:00	299	0,2	12,2	12,5	48,8	16,5	1,9
05.03.2022 04:00	236	0,1	7,1	7,1	58,4	15,6	1,5
05.03.2022 05:00	256	0,3	8	8,5	57	12	1,4
05.03.2022 06:00	279	0,3	8,6	9	53,3	9,9	1,1
05.03.2022 07:00	259	0,3	8,8	9,3	47,4	12,5	1,4
05.03.2022 08:00	296	0,7	12,9	14	48,4	13,1	2
05.03.2022 09:00	282	1,2	11,6	13,4	55,8	10,8	1,9
05.03.2022 10:00	263	1,3	7,3	9,3	63,4	7,9	1,4
05.03.2022 11:00	252	0,9	5,8	7,3	69,2	8,3	1,3
05.03.2022 12:00	238	0,7	5,1	6,2	72,4	8,4	1,2
05.03.2022 13:00	241	0,4	5,1	5,7	73	6,2	0,8
05.03.2022 14:00	239	0,5	4,8	5,6	75	5,3	0,5
05.03.2022 15:00	247	0,6	7,7	8,6	71,5	7	1,2
05.03.2022 16:00	268	0,9	11,4	12,7	68	9	1,6
05.03.2022 17:00	292	0,6	13,3	14,2	64,7	9,2	2,3
05.03.2022 18:00	316	0,1	13,5	13,8	56,3	7,8	2
05.03.2022 19:00	290	0,2	11,7	12	56,1	9,3	1,5
05.03.2022 20:00	367	0,3	16,3	16,8	53,5	16,9	1,6
05.03.2022 21:00	418	0,5	16,6	17,4	53,7	13	2,4
05.03.2022 22:00	484	0,3	16,4	16,9	49,7	15,7	3,2
05.03.2022 23:00	408	0,2	14,9	15,2	46,2	17,4	3,2
06.03.2022	385	0,3	11,9	12,4	54	19,5	3,6
06.03.2022 01:00	363	0,2	10,3	10,6	52,9	22,6	3,2
06.03.2022 02:00	359	0,3	9,4	9,9	53	15,4	2,3
06.03.2022 03:00	361	0,2	10,5	10,9	50,6	17,5	1,7
06.03.2022 04:00	333	0,1	9,6	9,8	53,1	22	1,4
06.03.2022 05:00	318	0,1	8,6	8,8	54,1	18,1	1,3
06.03.2022 06:00	294	0,1	6,9	7,1	51,7	19,9	1
06.03.2022 07:00	275	0,1	5,6	5,8	52,8	19,2	0,8
06.03.2022 08:00	270	0,2	5,2	5,4	58,5	14,4	0,8
06.03.2022 09:00	266	0,3	4,4	4,9	69,7	11,1	0,8
06.03.2022 10:00	245	0,2	3,2	3,5	76,2	19,2	0,6
06.03.2022 11:00	227	0,3	2,5	2,9	80,4	14,5	0,7
06.03.2022 12:00	224	0,2	2,3	2,6	81,1	12,2	0,6
06.03.2022 13:00	228	0,3	2,5	2,9	80	13,4	0,4
06.03.2022 14:00	233	0,2	3	3,3	80,4	10,6	0,3
06.03.2022 15:00	233	0,2	2,8	3,1	80,6	8	0,3
06.03.2022 16:00	237	0,2	2,8	3	80,4	9	0,2
06.03.2022 17:00	244	0,1	3,3	3,4	79,4	9,3	0,3
06.03.2022 18:00	252	0,1	3	3,2	77,8	14,2	0,7
06.03.2022 19:00	265	0,1	3,8	3,9	75	10,2	3,8
06.03.2022 20:00	288	0,1	4,3	4,4	71,8	18,3	2,6
06.03.2022 21:00	302	0,1	4,4	4,5	69	25,5	1
06.03.2022 22:00	311	0,1	4,6	4,8	67,2	25	1
06.03.2022 23:00	329	0,2	5,2	5,5	65,8	23,3	1,2
07.03.2022	320	0,1	4,7	4,8	65,5	21,7	0,8
07.03.2022 01:00	321	0,1	5,3	5,5	63,5	27,9	1,1
07.03.2022 02:00	338	0,2	6,6	6,9	60	31,9	1,8
07.03.2022 03:00	337	0,1	7,6	7,7	57,9	28,5	1,8
07.03.2022 04:00	311	0,1	6,6	6,7	61,8	37,9	1,2
07.03.2022 05:00	305	0,1	6,9	6,9	61,8	32,6	1,4

07.03.2022 06:00	288	0,1	7,2	7,2	63,3	27,3	1,5
07.03.2022 07:00	263	0,2	5,7	5,9	66,3	26,6	4,5
07.03.2022 08:00	285	0,4	6,3	6,9	61,6	30,3	4,5
07.03.2022 09:00	283	0,7	7,1	8,1	65,8	22,5	3
07.03.2022 10:00	269	0,9	7,7	9	70,3	18,9	2,9
07.03.2022 11:00	263	0,6	6,9	7,8	72,4	14,5	4,5
07.03.2022 12:00	249	0,6	5,5	6,4	76,2	13,7	1,3
07.03.2022 13:00	247	0,9	5,5	6,9	76,5	18,6	1,2
07.03.2022 14:00	258	0,9	6,4	7,8	73,3	14,7	1,1
07.03.2022 15:00	255	0,8	6,6	7,9	74,5	13	1,4
07.03.2022 16:00	250	0,4	5,9	6,5	76,5	13,7	1,4
07.03.2022 17:00	251	0,3	6,3	6,7	72,8	12,3	0,7
07.03.2022 18:00	263	0,2	9	9,4	67,7	10,1	1,2
07.03.2022 19:00	307	0,3	10,6	11,1	63,8	13,3	1,2
07.03.2022 20:00	288	0,1	12	12,2	61,8	19,6	1,4
07.03.2022 21:00	274	0,1	9,2	9,3	65	18,7	1,5
07.03.2022 22:00	265	0,1	7,6	7,7	63,7	21,3	1,1
07.03.2022 23:00	263	0,1	7,2	7,4	60,1	15,3	1,1
08.03.2022	273	0,2	8	8,3	60,2	13,9	1
08.03.2022 01:00	265	0,1	7,2	7,4	61,3	12,8	1,1
08.03.2022 02:00	263	0,2	7	7,2	57,6	13,3	1,1
08.03.2022 03:00	258	0,1	6,6	6,7	57,2	15,3	1,1
08.03.2022 04:00	253	0,1	5,9	6,1	54,8	11,8	1
08.03.2022 05:00	256	0,2	6,1	6,4	51,7	19,3	0,8
08.03.2022 06:00	255	0,2	6,1	6,4	54,4	14,9	0,6
08.03.2022 07:00	253	0,1	5,8	6	56,5	16,2	0,6
08.03.2022 08:00	251	0,5	5,9	6,6	57,1	14,2	0,8
08.03.2022 09:00	252	0,9	7,1	8,5	56,4	10,6	0,9
08.03.2022 10:00	261	0,8	8,5	9,8	54,9	12,5	1
08.03.2022 11:00	296	2,6	16	19,9	44,3	9,9	1,1
08.03.2022 12:00	261	1,9	11,4	14,3	51	7,4	1
08.03.2022 13:00	247	1	8,2	9,7	57,3	14,8	1
08.03.2022 14:00	234	1,4	7,2	9,3	63,3	19,8	1,1
08.03.2022 15:00	229	0,8	6,2	7,4	70,9	14,8	1,1
08.03.2022 16:00	223	0,3	5,9	6,3	75,4	11,6	1,1
08.03.2022 17:00	225	0,1	5,5	5,7	76,6	8,4	1,1
08.03.2022 18:00	246	0,1	7,7	7,8	69,1	9,4	1,4
08.03.2022 19:00	273	0,2	12,7	13	57,8	10,4	1,8
08.03.2022 20:00	322	0,2	17,1	17,4	53,4	10,8	2,2
08.03.2022 21:00	340	0,2	17,2	17,5	50,7	13,8	2,3
08.03.2022 22:00	324	0,2	12,5	12,9	57,4	18,7	2,3
08.03.2022 23:00	287	0,1	7,3	7,4	65,9	21,8	1,8
09.03.2022	297	0,1	8,6	8,8	60,5	18,6	1,9
09.03.2022 01:00	321	0,1	11,3	11,5	58,5	17,6	2,5
09.03.2022 02:00	319	0,1	9,7	10	56,6	16,4	2,4
09.03.2022 03:00	325	0,2	11,8	12,1	53,1	15,3	3,5
09.03.2022 04:00	299	0,2	10,4	10,7	59	17,6	3,2
09.03.2022 05:00	287	0,1	9,3	9,4	59,6	15,6	3,1
09.03.2022 06:00	303	0,1	11,7	11,9	54,2	20	3,5
09.03.2022 07:00	320	0,2	11	11,4	51,6	16,8	3,4
09.03.2022 08:00	338	0,9	14,6	16	47,7	17,3	3,6

09.03.2022 09:00	325	1,4	13,1	15,3	54,6	18,3	3,3
09.03.2022 10:00	301	1,3	11,4	13,4	64	18,4	2,7
09.03.2022 11:00	286	1,2	11,2	13,1	70,7	23	2,1
09.03.2022 12:00	260	1,1	9,9	11,6	75,3	23,6	1,9
09.03.2022 13:00	257	1,1	9	10,7	76,9	17,8	1,9
09.03.2022 14:00	226	0,6	6,1	7	85,8	14,2	1,3
09.03.2022 15:00	272	0,8	7,5	8,7	83,8	10,9	1,4
09.03.2022 16:00	252	0,4	6,8	7,4	75,6	12,5	1,5
09.03.2022 17:00	275	0,2	10,4	10,8	69,5	15,2	1,7
09.03.2022 18:00	304	0,5	12,9	13,7	48,5	11,3	1,5
09.03.2022 19:00	358	0,9	14,7	16	36,8	20,6	1,5
09.03.2022 20:00	338	0,5	12,4	13,1	37,6	19,4	2,1
09.03.2022 21:00	298	0,5	7,3	8	51,6	15,3	1,3
09.03.2022 22:00	282	0,5	6,1	6,9	55,8	12	1,3
09.03.2022 23:00	241	0,3	5,3	5,8	64,4	14,6	1,2
10.03.2022	241	0,1	6,8	7,1	64,5	10,6	2,5
10.03.2022 01:00	253	0,1	7,2	7,4	60,7	8,6	1,5
10.03.2022 02:00	270	0,2	7,6	7,9	58,7		1,9
10.03.2022 03:00	295	0,3	10,4	10,9	53,6		3,1
10.03.2022 04:00	321	0,2	11,4	11,7	47,6	11,3	2,4
10.03.2022 05:00	316	0,3	15,3	15,7	43,7	10,3	3,7
10.03.2022 06:00	334	0,5	15,4	16,2	47	9,2	4,5
10.03.2022 07:00	325	1,5	21,4	23,7	42,4	12,5	6,9
10.03.2022 08:00	331	5,5	14,7	23,2	51,4	16,7	4,9
10.03.2022 09:00	268	1,8	7,6	10,4	61,3	24,2	2,5
10.03.2022 10:00	258	2,9	8,1	12,6	69,3	18,8	1,7
10.03.2022 11:00	244	1,3	5	7,1	77,4	13,6	1,6
10.03.2022 12:00	309	1,6	6	8,5	81,6	12,5	2
10.03.2022 13:00	267	1,5	5,7	8	83,5	16,1	1,8
10.03.2022 14:00	233	0,8	4,4	5,6	84,3	12,4	1,3
10.03.2022 15:00	234	1	4,5	6,1	85,7	14,7	1,1
10.03.2022 16:00	232	0,8	4,9	6	85,7	11	0,9
10.03.2022 17:00	255	1	6,7	8,2	83,2	13,4	1,1
10.03.2022 18:00	297	0,6	11,6	12,4	77,9	6,7	1,9
10.03.2022 19:00	380	0,9	18,1	19,5	68,6	8,8	2,8
10.03.2022 20:00	394	0,6	12,7	13,7	71,9	9,5	1,6
10.03.2022 21:00	395	0,6	15,9	16,9	65,2	10,1	2,3
10.03.2022 22:00	360	0,3	10	10,5	67,1	21,2	1,7
10.03.2022 23:00	406	0,7	9,8	10,9	64,5	17,2	1,4
11.03.2022	419	0,3	10,4	10,8	59,5	17,4	1,3
11.03.2022 01:00	433	0,3	11,2	11,7	59,3	14,3	1,4
11.03.2022 02:00	412	0,4	12,7	13,3	54,5	8,7	1,4
11.03.2022 03:00	366	0,1	10,6	10,8	50,5	7,1	0,8
11.03.2022 04:00	424	0,4	12,9	13,5	40,6	15,1	1,1
11.03.2022 05:00	462	0,4	20,6	21,2	30,6	18,8	2
11.03.2022 06:00	451	0,3	19,9	20,4	34,8	16,9	4,5
11.03.2022 07:00	430	1,6	21,7	24,2	33,7	17,2	6,4
11.03.2022 08:00	402	4,8	21,5	28,8	43,7	26,6	6,6
11.03.2022 09:00	355	4,3	15	21,6	55,7	41,6	7,3
11.03.2022 10:00	283	3,3	11,4	16,5	68,3	30,6	5,2
11.03.2022 11:00	250	1,3	6,3	8,3	78,8	23,7	1,6

11.03.2022 12:00	249	1,2	5,5	7,3	80	25,1	1,1
11.03.2022 13:00	242	0,9	4,4	5,8	82,4	21,5	1,1
11.03.2022 14:00	233	0,7	3,9	4,9	85,2	26,3	0,8
11.03.2022 15:00	226	0,8	4,4	5,5	84,4	19,1	1,8
11.03.2022 16:00	232	0,7	5,2	6,4	84,3	14,6	2
11.03.2022 17:00	254	0,7	6,1	7,2	83,6	10,8	1
11.03.2022 18:00	320	0,7	12,7	13,8	72	7,6	1,1
11.03.2022 19:00	324	0,2	12,7	12,9	69,6	8,2	1,1
11.03.2022 20:00	440	0,4	27,1	27,7	56,5	6,1	2,5
11.03.2022 21:00	652	0,6	33,6	34,4	51,7	14,4	4,3
11.03.2022 22:00	555	0,4	25,6	26,3	57,8	36,3	5,1
11.03.2022 23:00	451	0,3	18,1	18,6	61,5	26,9	3,1
12.03.2022	402	0,2	13,3	13,6	62,4	25,9	2,3
12.03.2022 01:00	587	0,4	20	20,6	51,2	28,2	3,6
12.03.2022 02:00	450	0,3	14,8	15,3	51,3	18	3,2
12.03.2022 03:00	449	0,3	15,9	16,3	56,5	15,1	5,2
12.03.2022 04:00	440	0,3	12,2	12,7	56,3	33,3	3,1
12.03.2022 05:00	463	0,2	13,5	13,9	55,3	24	5,7
12.03.2022 06:00	511	0,4	15,3	15,8	54,7	36,5	5,5
12.03.2022 07:00	496	0,7	12,3	13,4	53,9	36,7	4,1
12.03.2022 08:00	463	1,9	14,2	17,1	54,7	42,8	3,9
12.03.2022 09:00	381	1,8	11,3	14	64,3	42,1	3,3
12.03.2022 10:00	325	0,9	6,8	8,2	77,2	40,3	3,6
12.03.2022 11:00	298	1,2	7	8,9	81,1	30	3,8
12.03.2022 12:00	287	0,8	6	7,3	87,7	30,6	3
12.03.2022 13:00	290	0,7	5,8	7	89,2	22,8	3
12.03.2022 14:00	267	0,5	4,8	5,5	92,5	21,2	2,2
12.03.2022 15:00	275	0,6	5,7	6,6	93,1	15,9	2,3
12.03.2022 16:00	283	0,5	6,1	6,9	93,3	18,7	2
12.03.2022 17:00	305	0,6	8,9	9,8	90,3	13,8	2,1
12.03.2022 18:00	307	0,1	8,1	8,2	81,1	14,8	1,8
12.03.2022 19:00	309	0,1	7,8	7,9	75,4	21,9	1,6
12.03.2022 20:00	340	0,1	7,8	8	77,1	17,2	1,8
12.03.2022 21:00	432	0,3	8,4	8,9	70,8	17,6	2,2
12.03.2022 22:00	421	0,2	8,7	9,1	65,3	38,2	2,2
12.03.2022 23:00	354	0,1	6,8	7	61,1	44,9	1,7
13.03.2022	313	0,1	6,2	6,3	62,2	39,7	1,3
13.03.2022 01:00	324	0,1	5,8	6	66,8	32,7	1,5
13.03.2022 02:00	346	0,2	7,1	7,4	73,2	36,3	2,4
13.03.2022 03:00	356	0,2	9	9,3	64,8	30,3	4,5
13.03.2022 04:00	327	0,1	10,2	10,4	55,7	32,2	8,9
13.03.2022 05:00	300	0,1	7,6	7,4	58,2	29,6	7,3
13.03.2022 06:00	311	0,1	6,5	6,7	57,7	26,7	3,6
13.03.2022 07:00	349	0,5	11,6	12,3	57,8	30	3,6
13.03.2022 08:00	452	2,4	22,9	26,7	60,6	30	5,5
13.03.2022 09:00	451	2,5	17,8	21,6	68,7	32,6	6,9
13.03.2022 10:00	494	4,3	22,3	28,9	70	39,8	8,2
13.03.2022 11:00	449	2,1	15,4	18,6	84,1	38,7	5,4
13.03.2022 12:00	395	1,2	11,4	13,3	92,8	44,2	4,6
13.03.2022 13:00	362	0,6	8,5	9,4	98,7	38,4	4,4
13.03.2022 14:00	337	0,4	6,8	7,4	101,2	36,9	2,8

13.03.2022 15:00	316	0,2	6	6,4	99,7	33	2,3
13.03.2022 16:00	311	0,2	5,9	6,3	96,7	33,1	2,4
13.03.2022 17:00	326	0,2	6,4	6,8	92,1	27,9	2,1
13.03.2022 18:00	336	0,3	9,1	9,7	82,2	19,8	2,2
13.03.2022 19:00	363	0,5	12,9	13,7	72,1	18,6	2,5
13.03.2022 20:00	405	0,2	13,1	13,5	65,6	25,7	2,5
13.03.2022 21:00	393	0,7	15,7	16,8	63,4	25,7	2,6
13.03.2022 22:00	358	0,3	8,7	9,1	68,6	36,7	1,9
13.03.2022 23:00	357	0,4	9,3	9,8	63,7	27,3	2,1
14.03.2022	317	0,2	7,6	7,9	61,7	21,2	1,6
14.03.2022 01:00	320	0,2	6,9	7,1	59,9	31,2	1,5
14.03.2022 02:00	322	0,3	7,1	7,6	55,7	30,7	1,6
14.03.2022 03:00	325	0,4	7,5	8,1	51,9	30,7	1,1
14.03.2022 04:00	335	0,3	9,7	10,2	45,5	26,8	1,3
14.03.2022 05:00	335	0,3	10,8	11,3	42	33	1
14.03.2022 06:00	333	0,7	15,7	16,8	37,8	27,2	1,1
14.03.2022 07:00	345	2	20	23	34	34	1,3
14.03.2022 08:00	346	4,8	15	22,4	44,5	30,4	2
14.03.2022 09:00	319	2,3	9,6	13,2	55,1	27	3,1
14.03.2022 10:00	317	1,6	8,4	10,9	62,9	28,9	3,5
14.03.2022 11:00	319	1,3	7,7	9,6	71,5	26,2	3,1
14.03.2022 12:00	310	0,8	7	8,3	79,7	19,1	2,9
14.03.2022 13:00	309	0,7	6,8	7,8	87,3	25,1	2,7
14.03.2022 14:00	302	0,6	6,6	7,5	94,2	21,6	2,6
14.03.2022 15:00	301	0,7	7,2	8,3	97,6	24,5	2,6
14.03.2022 16:00	298	0,5	8	8,8	98,2	24,9	2,2
14.03.2022 17:00	306	0,3	9,8	10,3	96,8	21,9	2,9
14.03.2022 18:00	355	1	19,5	21,1	77,6	16,2	5,2
14.03.2022 19:00	453	0,3	31,3	31,8	61,2	21,1	7,4
14.03.2022 20:00	597	0,5	30,2	31	66,4	26,9	7,2
14.03.2022 21:00	544	0,3	20,4	20,8	75,4	40,6	4,2
14.03.2022 22:00	538	0,3	18,8	19,2	75,8	40,6	3,7
14.03.2022 23:00	728	0,5	21,2	22	71,2	38,5	4
15.03.2022	561	0,4	19,3	19,9	68	38,4	3,9
15.03.2022 01:00	550	0,4	20,3	20,8	61,8	49,8	3,3
15.03.2022 02:00	534	0,3	14,1	14,6	64,1	48,4	5
15.03.2022 03:00	557	0,3	13,9	14,3	65,5	46,6	6,5
15.03.2022 04:00	519	0,3	12,1	12,6	61,3	54,1	6,6
15.03.2022 05:00	451	0,3	11,6	12	59,8	54,3	7,2
15.03.2022 06:00	443	0,2	12,4	12,7	59,4	55,1	7,9
15.03.2022 07:00	438	0,6	13,5	14,4	60,3	44,1	10,1
15.03.2022 08:00	436	1,3	14,6	16,7	59,3	49,1	10,1
15.03.2022 09:00	380	1,8	12,7	15,5	62,1	48,9	7,3
15.03.2022 10:00	365	1,4	11,2	13,4	63,6	39,2	5,1
15.03.2022 11:00	345	0,9	10,6	12	63,7	35,5	3,9
15.03.2022 12:00	345	0,9	9,4	10,9	68,3	35	3
15.03.2022 13:00	318	0,6	7,3	8,3	75,9	30,4	2,1
15.03.2022 14:00	300	0,6	8,1	9,1	75,7	32,6	1,6
15.03.2022 15:00	291	0,4	8,1	8,6	74,5	25,8	1,4
15.03.2022 16:00	288	0,6	8,4	9,3	74	30	1,7
15.03.2022 17:00	304	0,4	10,5	11,2	71,5	21,9	1,5

15.03.2022 18:00	375	0,5	17	17,7	57,8	24,7	1,8
15.03.2022 19:00	433	1,1	27,7	29,4	45,8	23,1	2,2
15.03.2022 20:00	697	2,9	66,1	70,6	18,2	26,6	3,6
15.03.2022 21:00	650	0,8	35,4	36,6	41,2	52,6	3,1
15.03.2022 22:00	600	0,7	24,8	25,9	46,9	55,9	2,7
15.03.2022 23:00	566	0,7	21,4	22,6	50,5	60,1	2,5
16.03.2022	481	0,6	17,8	18,7	51,9	58,1	3,2
16.03.2022 01:00	458	0,5	15,5	16,3	51,6	55,9	3,4
16.03.2022 02:00	484	0,4	18	18,6	43,7	60,6	4,4
16.03.2022 03:00	525	0,5	19,9	20,7	40,4	49,9	3,5
16.03.2022 04:00	583	0,4	25	25,6	32,1	52,6	3,4
16.03.2022 05:00	579	0,5	22,3	23,1	31,9	46,9	4,3
16.03.2022 06:00	549	1	20,5	22,1	36,1	55	4,3
16.03.2022 07:00	487	1	19,4	20,9	40,9	53,3	3,7
16.03.2022 08:00	440	2,8	21,3	25,7	42,8	48,4	3,6
16.03.2022 09:00	393	2,3	16,8	20,3	52,3	48,2	4,3
16.03.2022 10:00	373	2,5	15,8	19,7	60,5	44,2	5
16.03.2022 11:00	374	1,9	15	18	71,6	39,1	6,3
16.03.2022 12:00	369	1,4	12,9	15,2	84,4	35,2	6,7
16.03.2022 13:00	347	0,8	10,5	11,8	97,1	38,7	6,4
16.03.2022 14:00	341	1	10,3	11,9	98,3	31,7	5,6
16.03.2022 15:00	340	0,9	10,3	11,7	106,3	36	6,8
16.03.2022 16:00	347	0,6	10,2	11,1	108,5	32,2	7,3
16.03.2022 17:00	381	0,5	13,6	14,4	100,2	30,7	7
16.03.2022 18:00	448	0,7	19,4	20,5	90,5	27,2	5,5
16.03.2022 19:00	468	0,6	18,1	19,1	81,3	40,9	4
16.03.2022 20:00	437	0,5	14	14,7	75	47,4	3,3
16.03.2022 21:00	443	0,3	12,1	12,5	72	50,4	3
16.03.2022 22:00	489	0,4	16,7	17,3	66,2	49,6	4,5
16.03.2022 23:00	501	0,6	16,3	17,1	65,1	46,4	3
17.03.2022	542	0,4	15,1	15,7	65,9	48,2	2,6
17.03.2022 01:00	527	0,4	15,2	15,8	61,9	50	2,5
17.03.2022 02:00	522	0,3	14,3	14,8	60,3	50,1	2,8
17.03.2022 03:00	502	0,4	13,8	14,4	55,8	52,8	2,6
17.03.2022 04:00	515	0,4	16,5	17,2	49,7	56	2,4
17.03.2022 05:00	499	0,3	17,3	17,8	44,8	64,2	2,7
17.03.2022 06:00	507	0,9	21,8	23,2	37,8	62,4	2,7
17.03.2022 07:00	520	3,4	31,4	36,6	26	71	2,5
17.03.2022 08:00	493	5,9	21,6	30,8	32,6	65,2	2,8
17.03.2022 09:00	438	3,2	14,1	19,1	43	59,2	4,2
17.03.2022 10:00	403	2,1	10,3	13,6	54	59,6	3,8
17.03.2022 11:00	398	1,4	9,3	11,5	66,4	53,8	3
17.03.2022 12:00	365	1,1	8,2	9,9	78,4	51,9	3
17.03.2022 13:00	364	0,9	7,7	9,1	84	41,1	2,2
17.03.2022 14:00	309	0,8	6,6	7,8	87,1	36,3	2,9
17.03.2022 15:00	273	0,6	6,4	7,3	89,1	35,7	1,3
17.03.2022 16:00	273	0,8	6,7	7,9	90,4	36,4	1,3
17.03.2022 17:00	255	0,4	7,6	8,2	87,1	30,7	1,6
17.03.2022 18:00	266	0,8	13,7	14,8	74,1	21,7	2,3
17.03.2022 19:00	335	0,6	16,9	17,9	68,5	18,2	1,9
17.03.2022 20:00	361	0,3	18,7	19,1	64,3	22,7	1,2

17.03.2022 21:00	349	0,5	16,4	17,3	63,7	24,6	1,3
17.03.2022 22:00	399	0,3	11,3	11,8	69,8	22,4	1,3
17.03.2022 23:00	380	0,2	8,6	8,9	69,1	27,3	1,2
18.03.2022	335	0,3	7,7	8,1	69,4	20,5	1,5
18.03.2022 01:00	366	0,2	7	7,3	69,1	23,7	1,6
18.03.2022 02:00	420	0,2	7,9	8,2	67,5	27,7	1,4
18.03.2022 03:00	357	0,1	9,3	9,5	63,4	28,3	1
18.03.2022 04:00	369	0,1	12,9	13,1	60,8	21,8	1,4
18.03.2022 05:00	334	0,2	12,4	12,7	58,2	19,7	1,6
18.03.2022 06:00	321	0,6	14,4	15,3	52,5	24,3	1,1
18.03.2022 07:00	359	1,3	18,1	20,2	47,9	25,1	1,2
18.03.2022 08:00	354	2,8	15,6	19,8	54,5	23,8	3,3
18.03.2022 09:00	316	2	9	12,2	70,2	26,6	4
18.03.2022 10:00	335	1,3	7,2	9,1	82,2	27,5	2,2
18.03.2022 11:00	299	1	6,6	8,2	89,5	24	2,1
18.03.2022 12:00	288	1,1	6,9	8,6	89,7	23,6	2,8
18.03.2022 13:00	266	1,1	7,2	9	91,9	19,4	3,3
18.03.2022 14:00	260	0,9	6,5	7,9	95,2	24,3	3,2
18.03.2022 15:00	283	1	7,6	9,2	97	21,1	4,5
18.03.2022 16:00	373	1,5	10,2	12,4	98,3	24,6	4,9
18.03.2022 17:00	389	1,1	10,8	12,4	98,3	23,9	4
18.03.2022 18:00	295	0,8	16,1	17,3	83,6	30,4	4
18.03.2022 19:00	356	0,5	27	27,7	69,1	28	4,9
18.03.2022 20:00	555	0,5	28,3	29	71,1	27,1	5,8
18.03.2022 21:00	531	0,5	24,1	24,8	67,4	37,7	4,5
18.03.2022 22:00	446	0,3	16,5	17	69,3	37,1	3,3
18.03.2022 23:00	477	0,4	20,8	21,4	59,1	37,9	3,7
19.03.2022	572	0,4	22	22,7	61	44,3	6,1
19.03.2022 01:00	516	0,3	16,6	17,1	73,6	45,4	5,2
19.03.2022 02:00	472	0,4	15	15,5	73,5	44	4,5
19.03.2022 03:00	526	0,3	18,5	18,9	63,1	47,9	4,8
19.03.2022 04:00	581	0,4	21,9	22,4	60	55,1	5,3
19.03.2022 05:00	545	0,4	18,8	19,4	59,6	52,1	4,2
19.03.2022 06:00	522	0,5	18,4	19,1	52,6	55,7	3,4
19.03.2022 07:00	607	1,8	23,2	25,9	49	53	5,3
19.03.2022 08:00	611	3,2	23,5	28,4	59,7	58,9	4,9
19.03.2022 09:00	463	2,6	17,2	21,2	74,8	65,7	3,9
19.03.2022 10:00	447	1,8	13,2	15,9	90,7	58,8	3,2
19.03.2022 11:00	338	0,6	7,2	8,1	103,9	52,8	2,5
19.03.2022 12:00	294	0,6	5,4	6,3	106,7	39	2
19.03.2022 13:00	325	0,7	6,8	7,9	109,1	39	2,3
19.03.2022 14:00	308	0,8	6,5	7,7	109,5	32,9	2
19.03.2022 15:00	318	0,5	6,7	7,5	110,3	24,3	1,9
19.03.2022 16:00	372	0,5	7,2	8	111,9	27,6	1,8
19.03.2022 17:00	487	0,4	8,3	8,9	109,9	32	1,6
19.03.2022 18:00	362	0,6	12,1	13	95,5	29,1	1,5
19.03.2022 19:00	483	0,5	17,8	18,5	90	25,1	2
19.03.2022 20:00	582	0,7	21	22,1	83,5	33,3	1,9
19.03.2022 21:00	510	0,5	14,1	14,9	87,3	31,5	1,8
19.03.2022 22:00	499	0,3	13,4	13,8	75	35,3	1,7
19.03.2022 23:00	650	0,5	24,5	25,3	63,9	37,8	4

20.03.2022	654	0,4	22,2	22,8	63,6	41,7	7,4
20.03.2022 01:00	644	0,5	21,5	22,3	66,5	52,1	9,5
20.03.2022 02:00	612	0,5	18,5	19,2	69,6	55,5	8,5
20.03.2022 03:00	566	0,5	14,3	15,1	78,3	56,2	5,6
20.03.2022 04:00	581	0,4	12,7	13,2	79	58,1	5,2
20.03.2022 05:00	574	0,4	11,6	12,3	76	58,7	5,8
20.03.2022 06:00	636	0,4	18,5	19,2	60,1	53,8	5,6
20.03.2022 07:00	583	1	17,4	19	62,8	57,7	6,1
20.03.2022 08:00	501	1,8	15,8	18,5	68,4	56,4	5,9
20.03.2022 09:00	424	1,9	14,3	17,2	78,1	62,6	5,5
20.03.2022 10:00	356	0,8	8,1	9,2	94,5	52,7	5,4
20.03.2022 11:00	311	0,5	6	6,7	104,9	49,5	3,8
20.03.2022 12:00	290	0,4	5,6	6,2	110,4	38,9	2,7
20.03.2022 13:00	275	0,4	5,6	6,2	113,5	28,9	3
20.03.2022 14:00	269	0,4	5,2	5,8	114,3	24,2	2,8
20.03.2022 15:00	256	0,5	6,1	6,9	112,3	32,1	4
20.03.2022 16:00	264	0,4	4,7	5,2	112	23,8	2,4
20.03.2022 17:00	258	0,1	4,9	5	107,6	25	1,5
20.03.2022 18:00	299	0,2	8,5	8,8	95,2	19,1	1,3
20.03.2022 19:00	368	0,3	13,1	13,6	88,7	16	1,3
20.03.2022 20:00	515	0,5	15,3	16	93,1	14,3	2,2
20.03.2022 21:00	563	0,7	20,5	21,6	87,3	44,1	3
20.03.2022 22:00	474	0,4	15,1	15,7	87,6	53	2,1
20.03.2022 23:00	426	0,2	11,9	12,3	90,8	48,6	2,3
21.03.2022	431	0,3	9,9	10,4	93,5	41,6	2,2
21.03.2022 01:00	416	0,3	7,9	8,4	95,2	42,6	2
21.03.2022 02:00	341	0,3	6,1	6,5	96,8	47,7	2
21.03.2022 03:00	368	0,1	6,8	7	85	43,3	1,7
21.03.2022 04:00	449	0,4	8,8	9,5	77,7	43,9	3
21.03.2022 05:00	433	0,3	9	9,5	72,6	36,1	4
21.03.2022 06:00	311	0,1	7,3	7,5	85,5	31,5	4,3
21.03.2022 07:00	324	1,4	12	14,2	84	36,8	7,2
21.03.2022 08:00	460	2,3	18,9	22,4	87,4	35,6	17,2
21.03.2022 09:00	379	2,6	20	24,1	87,7	39,5	10,9
21.03.2022 10:00	331	2,9	19,2	23,6	93	34	5,2
21.03.2022 11:00	294	1,5	11,4	13,7	104,3	36,8	2,9
21.03.2022 12:00	315	0,8	8,7	9,9	109,5	28,4	2,7
21.03.2022 13:00	301	0,7	7,2	8,3	113,3	27	2,7
21.03.2022 14:00	273	0,4	6,2	6,8	115,1	31,1	2,2
21.03.2022 15:00	303	0,7	7,1	8,2	114,5	23,2	1,8
21.03.2022 16:00	314	0,8	8,5	9,7	114,7	21,7	1,8
21.03.2022 17:00	327	0,3	8,6	9	109,8	26,3	1,6
21.03.2022 18:00	330	0,3	9,8	10,2	101,7	27	1,6
21.03.2022 19:00	339	0,1	9,6	9,8	89,9	22,3	1,7
21.03.2022 20:00	329	0,1	11,3	11,5	95,1	17,3	1,8
21.03.2022 21:00	432	0,3	15,8	16,2	91,3	26,4	2,1
21.03.2022 22:00	504	0,4	19,6	20,2	85,6	33	2,7
21.03.2022 23:00	460	0,2	15,2	15,5	77,7	34,2	2,2
22.03.2022	375	0,2	11,2	11,5	69,9	38,4	1,8
22.03.2022 01:00	338	0,2	9,3	9,7	76,9	43,6	1,5
22.03.2022 02:00	296	0,3	6,8	7,3	78,2	43,3	1,5

22.03.2022 03:00	294	0,2	8,2	8,5	80,7	33,6	1,8
22.03.2022 04:00	339	0,2	9,3	9,6	94	34,8	2,4
22.03.2022 05:00	460	0,3	13,7	14,1	91,4	36	2,8
22.03.2022 06:00	508	0,3	15,3	15,8	83,6	39,1	4,9
22.03.2022 07:00	478	1,2	18,4	20,2	78,8	47,9	8,2
22.03.2022 08:00	809	5,5	36,2	44,7	61	49,6	9,7
22.03.2022 09:00	459	3,4	21,1	26,3	77,4	55,9	7,6
22.03.2022 10:00	385	2	13,4	16,4	85,2	67,3	9,6
22.03.2022 11:00	320	0,9	8,3	9,6	98,1	49,5	3,6
22.03.2022 12:00	313	0,6	6,7	7,6	105,6	48,7	2,1
22.03.2022 13:00	290	0,4	6	6,6	110,7	43,1	2
22.03.2022 14:00	303	0,6	7,9	8,8	114,5	40,3	2,3
22.03.2022 15:00	299	0,7	8,7	9,8	115,1	31	2,3
22.03.2022 16:00	267	0,5	7,2	7,9	113,1	31,3	1,4
22.03.2022 17:00	285	0,4	10,7	11,4	106,2	28,4	1,6
22.03.2022 18:00	289	0,2	10,2	10,5	94,1	31,1	1,7
22.03.2022 19:00	289	0,1	9,8	9,9	89,4	30,3	1,7
22.03.2022 20:00	487	0,3	22,9	23,4	78,7	22,4	4,6
22.03.2022 21:00	515	0,4	24	24,5	70,2	40,5	10,2
22.03.2022 22:00	408	0,4	20	20,6	67,1	47,4	8,5
22.03.2022 23:00	386	0,2	13,3	13,6	78,8	44,6	4,9
23.03.2022	380	0,2	12,9	13,2	76,9	41,1	3,8
23.03.2022 01:00	390	0,3	11,6	12,1	76,1	45	3,5
23.03.2022 02:00	437	0,2	12	12,4	74,2	55,1	7,5
23.03.2022 03:00	444	0,2	10,6	10,9	59,1	52,3	4
23.03.2022 04:00	495	0,3	9,6	10,1	56,3	45,6	2,3
23.03.2022 05:00	342	0,3	6,9	7,3	53,1	44,7	1,5
23.03.2022 06:00	449	0,4	7,7	8,3	64,5	43,4	2,5
23.03.2022 07:00	489	0,6	8,8	9,7	67,4	47,6	3,8
23.03.2022 08:00	498	1,1	12,3	13,9	77,6	52,8	6,3
23.03.2022 09:00	494	1,5	12,5	14,9	83,1	50,6	5,5
23.03.2022 10:00	393	1,3	13,2	15,3	93,8	43,7	6,7
23.03.2022 11:00	354	1,1	12,9	14,6	107,7	51,9	9
23.03.2022 12:00	324	0,9	12,1	13,4	119,1	44,5	9,2
23.03.2022 13:00	286	0,7	10,3	11,3	123,5	38	9
23.03.2022 14:00	281	0,6	9,7	10,6	126,5	35,4	6,6
23.03.2022 15:00	264	0,4	8,2	8,9	127	33	4,6
23.03.2022 16:00	244	0,4	8,9	9,5	123,2	26,6	3,4
23.03.2022 17:00	227	0,2	7	7,3	122,2	27,2	3,1
23.03.2022 18:00	256	0,2	8,3	8,5	110,8	22,7	2,5
23.03.2022 19:00	257	0,2	10,4	10,7	100,5	16,3	2,4
23.03.2022 20:00	309	0,2	12,4	12,7	101,3	22,9	3,9
23.03.2022 21:00	434	0,4	17,8	18,3	101,7	22,8	5,6
23.03.2022 22:00	455	0,3	16,8	17,3	97,7	36,4	4,4
23.03.2022 23:00	421	0,3	17,9	18,4	92,5	37,5	4,5
24.03.2022	518	0,4	18,3	18,9	88,2	42	3,8
24.03.2022 01:00	530	0,5	18,2	18,9	80	38,7	3,7
24.03.2022 02:00	389	0,3	14,5	15	80,8	45,1	2,6
24.03.2022 03:00	351	0,1	11,2	11,4	82,2	51,3	2,2
24.03.2022 04:00	339	0,2	11,9	12,2	80,3	45	2,4
24.03.2022 05:00	322	0,1	11,2	11,4	79,9	38,9	2,2

24.03.2022 06:00	317	0,3	10,5	10,9	78,4	45,7	2,5
24.03.2022 07:00	316	0,5	10,9	11,7	77	37,3	2,7
24.03.2022 08:00	329	1,1	12,3	14,1	79,8	34,8	2,9
24.03.2022 09:00	297	1,2	10,5	12,3	88,8	38,4	2,8
24.03.2022 10:00	253	0,6	8,1	9,1	96,4	34,3	3,1
24.03.2022 11:00	241	0,5	6,4	7,3	101,4	24,4	1,4
24.03.2022 12:00	246	0,7	7,5	8,7	101,8	27,4	1,1
24.03.2022 13:00	236	0,3	5,9	6,4	105,9	20,3	0,8
24.03.2022 14:00	239	0,3	5,8	6,2	109,7	18,2	3,1
24.03.2022 15:00	242	0,2	6,6	7	119,6	14,8	8,8
24.03.2022 16:00	237	0,2	5,6	6	109,9	15,3	2,5
24.03.2022 17:00	238	0,1	5,6	5,7	106,8	17,1	0,6
24.03.2022 18:00	247	0,2	6,4	6,7	104,9	26,1	1
24.03.2022 19:00	274	0,2	7,6	7,8	91,4	19,9	1
24.03.2022 20:00	310	0,1	10,3	10,6	84,2	20,6	1,3
24.03.2022 21:00	336	0,1	12,4	12,6	78,9	22,8	1,5
24.03.2022 22:00	361	0,2	13,5	13,9	75,1	31,1	1,9
24.03.2022 23:00	363	0,3	12,7	13,2	76,6	32,7	2,2
25.03.2022	343	0,1	12,2	12,3	75,6	32,5	2,3
25.03.2022 01:00	329	0,2	11,1	11,5	74,5	31,6	2,2
25.03.2022 02:00	320	0,2	10,1	10,4	70,8	38,1	2,2
25.03.2022 03:00	331	0,3	10,3	10,8	67,3	33	2
25.03.2022 04:00	324	0,3	11,1	11,5	70,6	31,9	2,2
25.03.2022 05:00	291	0,1	8,9	8,9	80,8	26,5	1,9
25.03.2022 06:00	293	0,2	9	9,3	77,4	28,6	1,7
25.03.2022 07:00	293	0,5	8,7	9,4	75,7	29,1	1,5
25.03.2022 08:00	286	0,7	7,8	8,8	85,7	35,6	1,6
25.03.2022 09:00	268	0,8	8,8	10	104,4	27,6	1,6
25.03.2022 10:00	271	0,9	9,6	11	106,1	24,4	2,4
25.03.2022 11:00	276	0,5	7,9	8,6	110,2	22,5	1,6
25.03.2022 12:00	275	0,7	8,6	9,7	109,1	23,9	1,4
25.03.2022 13:00	260	0,2	5,3	5,7	113,5	22,3	1,2
25.03.2022 14:00	251	0,3	5,5	6,1	115,8	18,9	1,7
25.03.2022 15:00	251	0,2	5,7	6,1	115,5	33	2,2
25.03.2022 16:00	266	0,2	6	6,3	118,1	24,4	2
25.03.2022 17:00	279	0,2	6,8	7	118,4	19,1	2,7
25.03.2022 18:00	279	0,3	7,2	7,7	109,9	26,4	1,3
25.03.2022 19:00	288	0,3	7,7	8,1	99,8	27,3	1,3
25.03.2022 20:00	283	0,2	8	8,3	87	22,2	1,4
25.03.2022 21:00	305	0,1	8,6	8,7	100,9	29,2	2,2
25.03.2022 22:00	343	0,2	10	10,3	97,5	32,1	2,7
25.03.2022 23:00	369	0,2	10,8	11	93,6	36,6	2,5
26.03.2022	396	0,2	13,4	13,8	86,5	41,3	5,2
26.03.2022 01:00	399	0,3	14,4	14,9	81,7	51,9	7,1
26.03.2022 02:00	417	0,3	15,2	15,6	73,9	62,8	4,6
26.03.2022 03:00	392	0,4	13,1	13,7	71,7	53,5	4,2
26.03.2022 04:00	380	0,3	11,7	12,2	69,3	57,9	3,9
26.03.2022 05:00	373	0,3	11,2	11,6	69,9	61,6	5,2
26.03.2022 06:00	360	0,4	10,2	10,9	70,9	59,8	5,2
26.03.2022 07:00	356	0,5	10,1	10,8	75,3	54,3	5
26.03.2022 08:00	339	0,8	9,5	10,7	78,4	47,4	4,9

26.03.2022 09:00	293	0,8	7	8,2	86,3	46,8	4,4
26.03.2022 10:00	259	0,4	5,2	5,8	91,6	50,2	2,2
26.03.2022 11:00	236	0,4	4,3	4,9	93,7	41,6	1,6
26.03.2022 12:00	238	0,2	5	5,3	92,6	39,2	1,7
26.03.2022 13:00	231	0,3	4,9	5,3	85,9	42	1,9
26.03.2022 14:00	244	0,6	4,8	5,7	68,8	62,4	2,2
26.03.2022 15:00	250	0,5	5,2	6	64,7	64,8	1,9
26.03.2022 16:00	238	0,2	5,2	5,5	68,7	44,6	1,6
26.03.2022 17:00	223	0,4	4,4	5,1	71,9	30,1	1,5
26.03.2022 18:00	222	0,3	5,1	5,6	71,6	22	1,6
26.03.2022 19:00	232	0,1	5,7	5,8	69,3	15,6	1,6
26.03.2022 20:00	237	0,1	6	6,2	68,9	11,9	1,5
26.03.2022 21:00	191	0,2	4,2	4,6	77,8	8,3	0,8
26.03.2022 22:00	182	0,2	4	4,3	76,1	7,1	0,7
26.03.2022 23:00	183	0,1	4	4,1	72,2	6,3	0,7
27.03.2022	197	0,2	4,5	4,7	69	4,5	0,8
27.03.2022 01:00	206	0,2	4,1	4,4	66,8	4,4	0,6
27.03.2022 02:00	215	0,2	3,9	4,2	63,9		0,5
27.03.2022 03:00						7,4	
27.03.2022 04:00	223	0,2	3,9	4,2	61,7	6,2	0,5
27.03.2022 05:00	242	0,2	4,5	4,8	58,8	5,6	1
27.03.2022 06:00	237	0,2	3,9	4,2	60,7	4,9	0,8
27.03.2022 07:00	242	0,2	3,8	4,2	57,9	6,9	0,6
27.03.2022 08:00	251	0,4	4,7	5,4	58,7	6,3	1
27.03.2022 09:00	237	0,5	3,4	4,2	66,8	7,5	0,9
27.03.2022 10:00	218	0,3	2,6	3,1	74,5	6,3	0,3
27.03.2022 11:00	197	0,3	2,6	3,1	76,6	5,1	0,3
27.03.2022 12:00	178	0,5	3	3,7	79,2	5,9	0,4
27.03.2022 13:00	169	0,3	3	3,5	80,1	5	0,5
27.03.2022 14:00	172	0,3	2,8	3,3	81,2	4,7	0,5
27.03.2022 15:00	183	0,2	3,1	3,3	82,1	4,5	0,5
27.03.2022 16:00	193	0,3	3	3,5	83,3	6,2	0,6
27.03.2022 17:00	202	0,1	3,2	3,4	84,8	5,3	0,5
27.03.2022 18:00	211	0,1	3,1	3,2	84,3	5,1	0,6
27.03.2022 19:00	221	0,2	3,6	3,9	82,9	4,7	1,2
27.03.2022 20:00	271	0,1	4,7	4,9	69,9	4,4	1,4
27.03.2022 21:00	364	0,2	6,4	6,7	66,5	4,9	1,7
27.03.2022 22:00	541	0,3	9,3	9,9	68,8	5,7	2,3
27.03.2022 23:00	527	0,2	9,5	9,9	64,4	12	2
28.03.2022	381	0,2	6,8	7,1	65,3	12,7	1,9
28.03.2022 01:00	371	0,2	6,9	7,2	63	17,6	3
28.03.2022 02:00	328	0,3	6,1	6,5	62,7	14,1	2,5
28.03.2022 03:00	288	0,1	5,8	5,9	65,5	19,9	3,2
28.03.2022 04:00	283	0,1	7,6	7,6	62,4	15,3	4,5
28.03.2022 05:00	297	0,2	8,6	8,9	59,1	22,5	4,7
28.03.2022 06:00	305	0,2	10	10,3	57,4	16,4	5
28.03.2022 07:00	300	0,4	10,8	11,4	59,3	18,4	5
28.03.2022 08:00	301	1	11,2	12,7	61,5	17,3	4,5
28.03.2022 09:00	297	1,6	10,9	13,3	65	27,2	3,8
28.03.2022 10:00	278	1,5	9,5	11,8	72,5	31,7	3,1
28.03.2022 11:00	265	1,1	8,6	10,2	81,6	23,9	2,3

28.03.2022 12:00	244	0,9	6,5	7,9	84,2	17	1,8
28.03.2022 13:00	227	0,5	4,8	5,5	87,9	16,1	1,8
28.03.2022 14:00	217	0,4	4,8	5,5	88,1	16,8	1,8
28.03.2022 15:00					96,5	17,5	1,9
28.03.2022 16:00					100,7	16,4	1,5
28.03.2022 17:00					100,8	30,3	1,5
28.03.2022 18:00					99	25,7	1
28.03.2022 19:00					89,7	18,4	0,9
28.03.2022 20:00					83,4	26,9	1
28.03.2022 21:00					78,9	30,7	1,3
28.03.2022 22:00					73,5	26,8	1,8
28.03.2022 23:00					69,1	20,1	1,8
29.03.2022					62,3	23,5	2,4
29.03.2022 01:00					65,9	22,7	1,3
29.03.2022 02:00					67,7	24,3	1,4
29.03.2022 03:00					60,8	29,3	0,7
29.03.2022 04:00					64	21,7	1,2
29.03.2022 05:00					63,8	16,8	1,1
29.03.2022 06:00					56,2	13,2	0,9
29.03.2022 07:00					59,7	17,1	0,7
29.03.2022 08:00					62,7	17,7	0,9
29.03.2022 09:00					65,8	19,7	1
29.03.2022 10:00	249	0,6	5,3	6,3	70,1	18,9	0,4
29.03.2022 11:00	247	0,7	5,5	6,5	70	23,8	0,5
29.03.2022 12:00	239	0,5	5,5	6,3	75,3	22,5	0,6
29.03.2022 13:00	231	0,5	4,8	5,5	82,9	19,2	0,4
29.03.2022 14:00	219	0,4	4,2	4,8	87,3	20,6	0,3
29.03.2022 15:00	213	0,3	4,3	4,8	89,8	23,7	0,5
29.03.2022 16:00	219	0,2	4,9	5,2	88,4	21,6	0,5
29.03.2022 17:00	216	0,2	5	5,2	93,5	20,1	0,4
29.03.2022 18:00	227	0,1	6	6,2	90,1	22,3	0,3
29.03.2022 19:00	238	0,1	6,9	7,1	83,1	23,5	0,4
29.03.2022 20:00	243	0,2	6,5	6,7	81,7	23,2	0,2
29.03.2022 21:00	254	0,2	6,5	6,9	81,2	29,9	0,4
29.03.2022 22:00	278	0,3	7,5	8	74,8	28,3	0,4
29.03.2022 23:00	320	0,3	7,8	8,2	65,1	35	0,7
30.03.2022	456	0,4	11,3	12	55,8	44,8	0,7
30.03.2022 01:00	414	0,4	11,6	12,3	48,8	52,9	0,6
30.03.2022 02:00	357	0,4	10,6	11,2	43,7	51,1	0,4
30.03.2022 03:00	324	0,4	9,8	10,5	42,3	51,5	0,5
30.03.2022 04:00	326	0,3	9,7	10,2	36	42,1	0,2
30.03.2022 05:00	316	0,4	8,8	9,4	38	52,7	0,2
30.03.2022 06:00	321	0,5	9,8	10,6	34,9	43,1	0,3
30.03.2022 07:00	327	0,6	10,3	11,2	34,6	48,9	0,4
30.03.2022 08:00	331	1,8	11,3	14,1	35,8	38,8	0,9
30.03.2022 09:00	316	2,2	9,4	12,7	45,7	42,1	1,8
30.03.2022 10:00	284	1,8	8,1	10,9	59,9	33,2	2
30.03.2022 11:00	224	1,5	6,2	8,5	78,1	24,3	1,3
30.03.2022 12:00	203	0,9	5,8	7,2	85,5	17,7	1,1
30.03.2022 13:00	194	0,7	4,6	5,7	90,6	21	0,6
30.03.2022 14:00	200	0,9	5	6,5	91,5	23,2	0,4

30.03.2022 15:00	203	0,5	4,6	5,4	92,3	16,7	0,5
30.03.2022 16:00	214	0,8	6	7,2	90,6	18,3	0,5
30.03.2022 17:00	219	1,3	7	9,1	89,8	17,1	0,5
30.03.2022 18:00	227	0,3	6,3	6,8	90,1	24,1	0,4
30.03.2022 19:00	278	0,2	8	8,3	85,8	19	0,5
30.03.2022 20:00	313	0,3	12,5	12,9	72,1	27,3	0,5
30.03.2022 21:00	315	0,3	12,2	12,7	76,4	29,2	0,9
30.03.2022 22:00	294	0,3	11,9	12,3	68,9	27,8	1,6
30.03.2022 23:00	291	0,2	9	9,3	62,4	31,6	1,2
31.03.2022	301	0,1	7	7,2	59,8	40,6	0,6
31.03.2022 01:00	309	0,2	7,2	7,4	53,6	68,6	0,4
31.03.2022 02:00	294	0,1	6,3	6,4	53,5	59	0,3
31.03.2022 03:00	275	0,2	5,4	5,8	53,7	44,3	0,2
31.03.2022 04:00	269	0,2	5,4	5,7	50,9	31,8	0,1
31.03.2022 05:00	266	0,3	5,4	5,8	48,9	34,2	0,2
31.03.2022 06:00	259	0,3	5,4	5,9	49,6	25,2	0,1
31.03.2022 07:00	249	0,4	6,3	6,9	51,8	19,1	0,1
31.03.2022 08:00	257	1,8	8,6	11,3	50,2	13,8	0
31.03.2022 09:00	264	1,3	8,7	10,7	51,2	12,2	0,1
31.03.2022 10:00	282	3	9,3	14	50,6	15,7	0,2
31.03.2022 11:00	269	2,9	8,7	13,1	52,6		0,1
31.03.2022 12:00	285						0,7
31.03.2022 13:00							0,3
31.03.2022 14:00						11,5	
31.03.2022 15:00	262	15,2	12,8	36,3	66,2	8,5	0,1
31.03.2022 16:00	235	7,2	11,5	22,6	65,4	11,1	1
31.03.2022 17:00	216	3	8,1	12,7	75,8	8,8	1,4
31.03.2022 18:00	209	0,5	7	7,8	75,2	11,2	1,4
31.03.2022 19:00	220	0,6	6,9	7,7	72,9	8,9	1,2
31.03.2022 20:00	242	0,7	8	9	70,9	6,6	1,2
31.03.2022 21:00	225	0,4	8,5	9,1	69,9	6	2,7
31.03.2022 22:00	233	0,3	7,1	7,6	68,2	8,2	1,3
31.03.2022 23:00	236	0,3	6,1	6,5	67,8	10,4	2
01.04.2022	224	0,2	5,5	5,8	69,7	15,4	1,9
01.04.2022 01:00	218	0,2	4,7	5	71	12,3	1,4
01.04.2022 02:00	213	0,2	4	4,3	72,4	12,5	1,1
01.04.2022 03:00	217	0,2	4,1	4,4	73,2	11,7	0,9
01.04.2022 04:00	225	0,2	4	4,3	71,6	14,9	0,7
01.04.2022 05:00	236	0,1	4,3	4,5	69,2	18,5	0,4
01.04.2022 06:00	239	0,2	4,2	4,5	69	15,3	0,3
01.04.2022 07:00	242	0,3	4,5	5	72,2	20,2	0,2
01.04.2022 08:00	253	1,2	6,6	8,4	70,1	15,2	0,2
01.04.2022 09:00	268	3,9	11	17	67,9	14	0,4
01.04.2022 10:00	273	46,8	21,4	93,6	63,6	10,2	1
01.04.2022 11:00	262	11,9	11,4	29,8	70,6	8,1	0,5
01.04.2022 12:00	262	2	7,8	10,9	72,8	9	0,4
01.04.2022 13:00	263	2,1	7	10,2	75,1	14,7	0,4
01.04.2022 14:00	260	1,8	7,5	10,3	75,6	11	0,2
01.04.2022 15:00	268	2,1	10,4	13,6	71,5	11,3	0,3
01.04.2022 16:00	272	2,7	13,2	17,4	68,5	13,8	0,5
01.04.2022 17:00	268	2	13,4	16,5	70,3	15,5	0,5

01.04.2022 18:00	278	1,5	14,7	17	67,2	18,5	0,7
01.04.2022 19:00	274	0,9	15,7	17	67,3	17,7	0,6
01.04.2022 20:00	283	0,3	15,5	16	67,8	14,4	0,7
01.04.2022 21:00	272	0,2	12	12,3	70,8	16,4	0,5
01.04.2022 22:00	276	0,5	11	11,8	71,4	13,6	0,4
01.04.2022 23:00	268	0,3	10,4	10,9	72,6	18,8	0,5
02.04.2022	260	0,2	10,6	10,9	71,9	14,6	1
02.04.2022 01:00	251	0,2	9,2	9,4	72,4	16,4	1,1
02.04.2022 02:00	254	0,2	8,5	8,7	69	12,8	1,2
02.04.2022 03:00	250	0,2	8,1	8,4	72,1	11	1,2
02.04.2022 04:00	249	0,2	7,1	7,4	73,9	8,4	1,1
02.04.2022 05:00	240	0,2	6,6	6,9	73,7	8,2	1
02.04.2022 06:00	233	0,2	6,1	6,4	74,5	13,9	1
02.04.2022 07:00	234	0,3	6,2	6,7	73,5	10	0,7
02.04.2022 08:00	243	0,5	6,4	7,2	71,5	8,4	0,7
02.04.2022 09:00	239	0,6	5,7	6,7	69,7	9,4	0,7
02.04.2022 10:00	244	1,1	6,3	8	69,3	7,8	0,8
02.04.2022 11:00	250	1,4	6,5	8,6	70,2	6,6	0,8
02.04.2022 12:00	255	1,5	6,1	8,4	72,9	6	0,9
02.04.2022 13:00	256	1,5	6,1	8,4	75,8	5,4	0,8
02.04.2022 14:00	267	1	5,6	7,1	81,4	6,8	0,9
02.04.2022 15:00	265	0,8	5,4	6,6	84,1	8,9	1,1
02.04.2022 16:00	279	0,8	6,5	7,8	85,4	15,4	1,5
02.04.2022 17:00	277	0,6	6,5	7,4	85,6	11,5	1,5
02.04.2022 18:00	268	0,4	6,5	7,1	85,1	9	0,9
02.04.2022 19:00	281	0,2	7,1	7,4	80,7	9,1	1
02.04.2022 20:00	292	0,2	7,5	7,9	74,7	12,9	0,8
02.04.2022 21:00	306	0,1	8,6	8,8	76,8	14,2	1,4
02.04.2022 22:00	319	0,2	9,8	10,1	79	13	2,4
02.04.2022 23:00	296	0,3	8,6	9	82	13,6	2,1
03.04.2022	264	0,1	6,2	6,3	85,4	16,3	1,3
03.04.2022 01:00	254	0,1	5,9	6	81,1	20,6	1,3
03.04.2022 02:00	251	0,2	6,1	6,4	77,2	16,2	1,2
03.04.2022 03:00	252	0,2	5,7	5,9	73,7	15,6	1,3
03.04.2022 04:00	248	0,2	5,4	5,7	72	12,7	1,1
03.04.2022 05:00	249	0,1	5,2	5,3	70,7	11	1,2
03.04.2022 06:00	247	0,2	5,1	5,5	68,9	11,7	1,1
03.04.2022 07:00	243	0,2	4,8	5,1	71	13,3	1,3
03.04.2022 08:00	251	0,5	5,5	6,2	66,4	13,7	1,4
03.04.2022 09:00	254	0,8	5,2	6,4	70,7	13,6	1,7
03.04.2022 10:00	244	0,8	4,5	5,8	76,1	11,6	1,6
03.04.2022 11:00	239	0,6	3,9	4,8	82,7	17,1	1,4
03.04.2022 12:00	235	0,5	3,4	4,1	89	12,7	1,3
03.04.2022 13:00	226	0,1	3,1	3,3	91,6	9,7	0,9
03.04.2022 14:00	224	0,1	2,8	3	93,8	7	0,7
03.04.2022 15:00	229	0,3	2,9	3,3	93,8	5,6	0,3
03.04.2022 16:00	234	0,2	2,9	3,1	92,2	5,8	0,5
03.04.2022 17:00	234	0,3	2,9	3,3	94,6	5	1,4
03.04.2022 18:00	244	0,2	3	3,2	94,6	4	1,8
03.04.2022 19:00	241	0,1	3,1	3,2	90,2	3,6	0,7
03.04.2022 20:00	247	0,1	3	3,1	88,2	3,3	0,5

03.04.2022 21:00	306	0,2	4,5	4,7	83,4	4,8	1
03.04.2022 22:00	347	0,3	6,4	6,9	78,8	6,8	1,2
03.04.2022 23:00	332	0,1	6,5	6,8	77,2	15,4	1,4
04.04.2022	302	0,1	6,4	6,6	77,4	12,7	1,9
04.04.2022 01:00	308	0,2	6,7	6,9	76,6	12,4	3,1
04.04.2022 02:00	312	0,1	7,1	7,3	73,7	10,6	2,6
04.04.2022 03:00	287	0,1	6,3	6,5	74,1	15,5	2,9
04.04.2022 04:00	267	0,1	5,5	5,7	73,8	12,8	1,8
04.04.2022 05:00	269	0,2	6	6,2	71,3	14,1	2,4
04.04.2022 06:00	270	0,2	6	6,3	70,4	11,2	2,1
04.04.2022 07:00	274	0,3	7,1	7,6	70,6	12,1	2
04.04.2022 08:00	278	0,6	7,5	8,5	69	10,5	2,2
04.04.2022 09:00	289	1,1	8	9,8	68	17,1	2,8
04.04.2022 10:00	290	1,6	8,5	11	67,5	16,3	2,7
04.04.2022 11:00	280	2,3	7	10,6	73	19,7	3,7
04.04.2022 12:00	265	1,7	6	8,5	80,7	18,4	2,5
04.04.2022 13:00	252	1	4,7	6,4	85,8	15,4	1,4
04.04.2022 14:00	249	1	5,5	7,2	86,2	20,5	1,9
04.04.2022 15:00	244	1	5,5	7	86,2	13,3	1,6
04.04.2022 16:00	235	0,7	5	6,1	90,3	24,8	1,7
04.04.2022 17:00	229	0,5	4,8	5,6	93	17,9	1
04.04.2022 18:00	227	0,2	4,8	5,1	92,4	13,8	0,9
04.04.2022 19:00	232	0,2	5,5	5,8	90,1	10,8	1,3
04.04.2022 20:00	243	0,1	6,1	6,1	87,6	8,1	1,3
04.04.2022 21:00	277	0,1	7,8	7,8	83,2	7,2	1,9
04.04.2022 22:00	278	0,1	8	8,1	84,4	10,2	2,2
04.04.2022 23:00	263	0,2	6,9	7,1	86,5	14	2,6
05.04.2022	237	0,2	8	8,4	87,4	14,9	4,4
05.04.2022 01:00	231	0,1	5,5	5,6	91,5	20,1	2,3
05.04.2022 02:00	238	0,1	6,2	6,3	87,1	21,8	2,4
05.04.2022 03:00	245	0,1	5,3	5,2	84,5	16	1
05.04.2022 04:00	246	0,1	4,9	5	82,8	11,8	0,9
05.04.2022 05:00	244	0,2	5,6	5,9	79	17,5	1
05.04.2022 06:00	245	0,1	5,7	5,8	75,5	17,5	0,8
05.04.2022 07:00	241	0,1	5,6	5,8	71,5	17,2	0,8
05.04.2022 08:00	244	0,2	6,2	6,6	68,5	13,2	0,8
05.04.2022 09:00	242	0,8	6,4	7,5	67,3	10,3	1
05.04.2022 10:00	225	0,6	5,7	6,5	75,1	8,2	0,9
05.04.2022 11:00	218	0,5	5,8	6,5	76,7	6,4	1
05.04.2022 12:00	224	0,3	6,5	6,9	73,5	4,5	0,8
05.04.2022 13:00	223	0,8	5,6	6,8	74,6	3,5	1,1
05.04.2022 14:00	220	0,5	4,9	5,7	77,3	3,3	1
05.04.2022 15:00	221	0,7	5,2	6,3	78,3	2,8	0,9
05.04.2022 16:00	218	0,5	4,3	5,2	81,2	7,2	1
05.04.2022 17:00	208	0,3	4,4	4,9	86,4	11,4	1,1
05.04.2022 18:00	193	0,3	3,9	4,4	89,8	13,2	0,8
05.04.2022 19:00	195	0,1	4,6	4,7	87,2	13	0,7
05.04.2022 20:00	210	0,1	5	5,1	84,4	13,2	1
05.04.2022 21:00	206	0,2	4,2	4,4	84,7	13,1	0,8
05.04.2022 22:00	251	0,1	5	5,2	76,1	13,5	0,7
05.04.2022 23:00	360	0,1	8	8,2	70,1	12,5	1,4

06.04.2022	290	0,1	6	6,2	68	20,2	1,3
06.04.2022 01:00	278	0,1	6,2	6,4	61,8	25,5	1,5
06.04.2022 02:00	269	0,1	5,5	5,7	58,5	28	1
06.04.2022 03:00	256	0,1	5,6	5,7	56,6	24,2	1
06.04.2022 04:00	260	0,2	5,6	5,9	52,9	17,3	1
06.04.2022 05:00	271	0,1	6,7	6,9	44,7	13,1	1,1
06.04.2022 06:00	263	0,1	6,6	6,7	44,2	15,2	0,8
06.04.2022 07:00	252	0,1	5,9	6,1	42,8	17,6	0,8
06.04.2022 08:00	231	0,2	4,9	5,2	49	13,4	1
06.04.2022 09:00	268	1,8	12,8	15,6	48	10,2	1,1
06.04.2022 10:00	289	2,3	20,7	24,2	37,2	7,7	1,3
06.04.2022 11:00	296	2,5	18,7	22,6	35,8	21,2	1,5
06.04.2022 12:00	239	0,8	6,1	7,3	47,3	17,6	1,1
06.04.2022 13:00	233	0,6	5,7	6,6	49,1	13,4	1,1
06.04.2022 14:00	228	0,7	5,2	6,3	53,9	10,2	1,1
06.04.2022 15:00	222	0,6	5,5	6,4	59,1	12,6	0,9
06.04.2022 16:00	218	0,6	4,8	5,7	66,8	10,2	1
06.04.2022 17:00	226	0,4	5,6	6,2	60,7	7,5	1,2
06.04.2022 18:00	229	0,4	6,5	7,2	52,4	10,7	1,2
06.04.2022 19:00	254	0,5	9,1	9,9	42,9	10,5	1,5
06.04.2022 20:00	296	0,3	10,2	10,7	36,2	11	1,1
06.04.2022 21:00	359	0,2	11,1	11,4	33	14,7	1,2
06.04.2022 22:00	391	0,3	11,7	12,1	32,6	19,1	1,9
06.04.2022 23:00	381	0,3	11,4	11,8	33,8	15,7	2,6
07.04.2022	381	0,3	10,6	11,2	34,6	19,1	2,5
07.04.2022 01:00	360	0,2	8,4	8,7	37,6	29,2	2,2
07.04.2022 02:00	336	0,2	7,4	7,7	36,8	21,6	2,1
07.04.2022 03:00	341	0,2	9,4	9,7	37,7	16,4	3
07.04.2022 04:00	329	0,3	9,2	9,6	35,4	22,1	2,8
07.04.2022 05:00	323	0,2	8,7	8,9	36,9	18,6	2,8
07.04.2022 06:00	312	0,1	8,7	8,9	34,7	23,7	2,7
07.04.2022 07:00	320	0,5	10,1	10,9	34,2	21,2	2,9
07.04.2022 08:00	345	1,8	10,8	13,6	36,5	24,6	4,1
07.04.2022 09:00	314	2,2	9,8	13,2	41,6	21,7	3,8
07.04.2022 10:00	260	1,6	7,3	9,8	52	15,5	3,2
07.04.2022 11:00	223	1,2	7,4	9,3	58,5	12	2,5
07.04.2022 12:00	204	1,1	5,3	7	67,9	9,6	2,7
07.04.2022 13:00	190	1	4,5	6	73,5	8,5	3,8
07.04.2022 14:00	177	0,2	2,9	3,3	80,8	6,3	1,1
07.04.2022 15:00	181	0,4	2,8	3,4	78,8	5,5	0,8
07.04.2022 16:00	179	0,3	3,2	3,6	75,8	5,1	0,9
07.04.2022 17:00	177	0,4	3	3,6	78,2	7,1	0,8
07.04.2022 18:00	182	0,3	3,5	3,9	85,8	5,8	0,7
07.04.2022 19:00	196	0,2	4,8	5,1	82,2	4,4	0,9
07.04.2022 20:00	237	0,2	8,2	8,5	75,6	4	1,4
07.04.2022 21:00	241	0,1	6,5	6,6	75,7	5,6	1,5
07.04.2022 22:00	216	0,2	5,1	5,4	76,6	5,2	1,5
07.04.2022 23:00	210	0,2	4,6	4,9	78	4,9	1,3
08.04.2022	200	0,1	4,4	4,5	77,8	12,4	1,2
08.04.2022 01:00	191	0,2	2,5	2,8	89,1	11,2	0,8
08.04.2022 02:00	187	0,1	2,4	2,4	91,9	9,7	0,7

08.04.2022 03:00	187	0,1	3	3,2	89,5	7,7	0,8
08.04.2022 04:00	190	0,2	3,4	3,6	82,8	5,7	0,8
08.04.2022 05:00	188	0,1	3,7	3,7	79,2	4,8	0,7
08.04.2022 06:00	184	0,1	3,8	3,9	79,6	3,7	0,5
08.04.2022 07:00	186	0,1	4,3	4,4	78,4	2,8	0,6
08.04.2022 08:00	189	0,2	4,5	4,8	77,8	2,7	0,6
08.04.2022 09:00	189	0,2	4,6	4,9	76,1	2,8	0,7
08.04.2022 10:00	195	0,4	4,6	5,3	76,4	2,4	0,6
08.04.2022 11:00	202	2,8	6,1	10,5	76,2	2,6	0,7
08.04.2022 12:00	203	1,3	5,3	7,2	75,2	2,3	0,5
08.04.2022 13:00	209	0,6	3,8	4,7	76,4	2,5	0,5
08.04.2022 14:00	210	0,6	3,6	4,5	75,5	2,2	0,4
08.04.2022 15:00	215	0,9	3,9	5,3	77,3	2,3	0,6
08.04.2022 16:00	212	0,8	4	5,3	79,7	2,2	0,5
08.04.2022 17:00	212	0,6	3,9	4,8	77,9		0,4
08.04.2022 18:00	210	0,4	4,1	4,7	66,1		0,4
08.04.2022 19:00		0,4	3,5	4,1	34,8	8,1	0,4
08.04.2022 20:00	218	0,2	5,1	5,4	81,2	2,7	0,6
08.04.2022 21:00	251	0,2	5,7	6	76,6	1,7	1
08.04.2022 22:00	359	0,3	7,7	8,2	68,1	0,9	1,5
08.04.2022 23:00	329	0,2	7,4	7,6	69,2	3,3	1,5
09.04.2022	270	0,2	6,7	7	69,1	4,8	1,1
09.04.2022 01:00	270	0,2	5,9	6,1	65,3	19	1,7
09.04.2022 02:00	280	0,2	6,2	6,4	64,7	14,6	1,2
09.04.2022 03:00	260	0,1	4,5	4,6	67,7	10,6	0,7
09.04.2022 04:00	255	0,2	5,8	6,1	65,8	8,6	0,6
09.04.2022 05:00	239	0,1	5,1	5,3	67,6	7,7	0,7
09.04.2022 06:00	234	0,2	5,3	5,6	62,1	9	0,6
09.04.2022 07:00	238	0,1	4,5	4,7	56,2	15,2	0,6
09.04.2022 08:00	241	0,2	4,3	4,6	57,1	11,7	0,6
09.04.2022 09:00	224	0,2	3,9	4,2	73,5	9,1	0,4
09.04.2022 10:00	220	0,3	3,5	4	78,1	7,5	0,5
09.04.2022 11:00	223	0,3	3,2	3,7	81	5,7	0,7
09.04.2022 12:00	233	0,5	4,7	5,4	76,2	4,6	0,8
09.04.2022 13:00	233	0,4	5,1	5,8	78,4	9,1	0,6
09.04.2022 14:00	224	0,3	4,3	4,8	83,5	7,1	0,5
09.04.2022 15:00	212	0,3	4,1	4,6	88,6	5,1	0,3
09.04.2022 16:00	200	0,1	3,7	3,8	93	4,5	0,2
09.04.2022 17:00	194	0,3	3,6	4,1	95,3	4,1	0,4
09.04.2022 18:00	201	0,2	3,7	4	95,2	3,8	0,2
09.04.2022 19:00	204	0,2	3,5	3,9	95,6	3,9	0,2
09.04.2022 20:00	234	0,2	4,4	4,7	88,7	2,8	0,5
09.04.2022 21:00	287	0,3	5,9	6,3	81,3	2,8	0,9
09.04.2022 22:00	310	0,3	6,4	6,9	80,9	8,4	1,1
09.04.2022 23:00	370	0,2	7	7,4	74,8	9,1	1,2
10.04.2022	312	0,2	6,5	6,8	73,4	12,5	1,5
10.04.2022 01:00	310	0,2	6,4	6,8	69,4	21	1,3
10.04.2022 02:00	289	0,1	5,6	5,8	74,9	20,2	1,3
10.04.2022 03:00	262	0,1	4,5	4,7	76,6	18,7	1,1
10.04.2022 04:00	244	0,2	3,7	4	75	18,2	0,8
10.04.2022 05:00	264	0,1	4,5	4,7	67,4	12,8	0,9

10.04.2022 06:00	268	0,1	6	6,3	61,8	17,8	1
10.04.2022 07:00	256	0,3	5,6	6	63,2	16,5	1,5
10.04.2022 08:00	241	0,4	4,9	5,6	69,4	17,1	2,2
10.04.2022 09:00	235	0,6	4,3	5,2	73,5	12,3	1,9
10.04.2022 10:00	225	0,4	3,6	4,1	78,5	9,1	0,8
10.04.2022 11:00	219	0,3	3,5	4	79,5	6,4	0,5
10.04.2022 12:00	216	0,2	3,1	3,5	81,5	5,4	0,4
10.04.2022 13:00	219	0,2	3,4	3,7	80	6,7	0,4
10.04.2022 14:00	217	0,3	3,2	3,6	82,3	5,9	0,5
10.04.2022 15:00	215	0,2	3	3,3	85,5	11,1	0,7
10.04.2022 16:00	214	0,2	2,9	3,2	85,6	8,2	0,6
10.04.2022 17:00	218	0,2	3,3	3,6	85,3	6	0,6
10.04.2022 18:00	223	0,1	3,4	3,5	84,1	12,1	0,8
10.04.2022 19:00	220	0,2	2,9	3,2	85,2	9	0,6
10.04.2022 20:00	228	0,1	3,2	3,4	76,2	7	0,5
10.04.2022 21:00	312	0,2	4,6	5	67,1	4,9	0,6
10.04.2022 22:00	385	0,2	6,7	7	65,6	3,8	1
10.04.2022 23:00	329	0,1	6,2	6,4	66,3	18,2	1,6
11.04.2022	304	0,1	6,8	6,9	64,5	21,4	1,4
11.04.2022 01:00	289	0,1	6,2	6,2	64,4	19,8	1,2
11.04.2022 02:00	278	0,2	5,7	6	65,1	15,2	1,4
11.04.2022 03:00	285	0,2	6,8	7,1	63,3	15,1	1,4
11.04.2022 04:00	286	0,1	7	7,2	61,3	17,1	1,3
11.04.2022 05:00	274	0,1	6,4	6,6	59,3	13,1	1,3
11.04.2022 06:00	262	0,1	5,8	6	57,8	20,3	1,5
11.04.2022 07:00	263	0,4	6,2	6,8	55,7	15,2	1,5
11.04.2022 08:00	254	0,8	6	7,2	58,8	11,7	1,6
11.04.2022 09:00	248	1,5	6,5	8,9	64,7	10,4	1,5
11.04.2022 10:00	236	1	5,3	6,8	73,4	11,6	1
11.04.2022 11:00	224	0,5	4,5	5,3	79,1	12,7	0,8
11.04.2022 12:00	219	0,6	4,8	5,7	78,3	9,3	0,8
11.04.2022 13:00	211	0,6	4	4,9	80,8	9,3	0,5
11.04.2022 14:00	206	0,4	3,6	4,2	84,6	6,9	0,5
11.04.2022 15:00	206	0,4	4,1	4,6	84,9	5,5	0,6
11.04.2022 16:00	211	1,6	5,2	7,7	83,2	4	0,7
11.04.2022 17:00	226	7,4	9,4	20,8	81,6	4	0,7
11.04.2022 18:00	213	1,7	5,1	7,8	83,9	3,4	0,5
11.04.2022 19:00	248	1	6,2	7,8	80,5	3,9	0,8
11.04.2022 20:00	260	0,1	5,8	6	77	13,8	0,7
11.04.2022 21:00	315	0,2	6,5	6,7	71,9	13,6	0,7
11.04.2022 22:00	345	0,1	6,6	6,8	70,1	23,1	0,8
11.04.2022 23:00	398	0,3	7,6	8	64,1	17,2	0,9
12.04.2022	338	0,2	6,6	6,9	60,1	19,2	0,8
12.04.2022 01:00	305	0,1	5,9	6,1	59,7	22,8	0,9
12.04.2022 02:00	311	0,1	7,4	7,5	57	19,6	1,2
12.04.2022 03:00	302	0,1	7,8	8	55,3	18,4	1,3
12.04.2022 04:00	285	0,2	7,1	7,4	54,4	21	1,2
12.04.2022 05:00	281	0,2	6,9	7,2	49,5	20,8	1,1
12.04.2022 06:00	269	0,3	6,8	7,2	51	15,6	1,2
12.04.2022 07:00	254	0,4	6,1	6,7	54,4	14,6	1,4
12.04.2022 08:00	243	0,6	5,6	6,5	63,5	17,3	2,1

12.04.2022 09:00	239	1,7	7	9,6	72,8	12,8	1,9
12.04.2022 10:00	211	0,9	5,4	6,8	84,7	9,5	1,1
12.04.2022 11:00	236	1,5	5,5	7,7	91	11,6	1,2
12.04.2022 12:00	216	5,4	9,6	17,9	88,3	9,1	0,9
12.04.2022 13:00	250	1,1	5,8	7,5	92,2	7,5	0,9
12.04.2022 14:00	237	1,5	5,9	8,3	94	6	0,8
12.04.2022 15:00	220	1	4,7	6,2	96,2	4,7	1,1
12.04.2022 16:00	230	0,8	4,9	6,1	98,2	10,7	0,8
12.04.2022 17:00	229	0,8	5	6,3	101,1	11	0,7
12.04.2022 18:00	237	0,5	5,3	6	102	8,3	1
12.04.2022 19:00	379	0,5	9,9	10,7	96,9	10,3	1,3
12.04.2022 20:00	248	3,9	10,1	16,2	90,6	7,1	1,2
12.04.2022 21:00	270	0,6	9,5	10,5	80,9	13,9	1,3
12.04.2022 22:00	288	0,1	8,7	8,9	73,5	12,3	1,1
12.04.2022 23:00	325	0,2	7,9	8,2	85,7	12,5	1,3
13.04.2022	427	0,4	13,1	13,7	72	19,2	2,5
13.04.2022 01:00	413	0,4	15,4	15,9	75,6	22,5	2,9
13.04.2022 02:00	390	0,4	16,8	17,4	75,4	24,1	3,2
13.04.2022 03:00	375	0,1	14,2	14,4	70,2	21,7	2,5
13.04.2022 04:00	360	0,3	9,9	10,3	68,9	25,6	2,2
13.04.2022 05:00	325	0,2	7,1	7,4	70,2	26,4	3
13.04.2022 06:00	328	0,3	9,8	10,3	69,3	30,8	3,9
13.04.2022 07:00	329	0,3	10,5	11	65,2	32,4	3,4
13.04.2022 08:00	503	6	30,5	39,7	54,4	33,4	5,1
13.04.2022 09:00	422	4,4	21,6	28,4	66,3	34,3	3,6
13.04.2022 10:00	340	2,5	13,9	17,7	84,5	34,4	2,1
13.04.2022 11:00	246	0,7	5,6	6,7	98,8	26,9	1,5
13.04.2022 12:00	252	0,5	5,1	5,9	100,4		2
13.04.2022 13:00	236	0,8	6,6	7,8	73,4		2,2
13.04.2022 14:00							1,3
13.04.2022 15:00						11,3	1,8
13.04.2022 16:00	222	0,4	5,8	6,3	103	10,8	1,6
13.04.2022 17:00	229	0,4	6	6,6	101,4	8,8	1,6
13.04.2022 18:00	270	1,3	13,8	15,8	89,5	19,9	3
13.04.2022 19:00	358	1	23,1	24,6	74,6	16,9	4,4
13.04.2022 20:00	456	1,3	31,9	33,9	62,3	25,7	4
13.04.2022 21:00	525	0,6	39,7	40,7	51,5	33,3	4,8
13.04.2022 22:00	437	0,4	22,1	22,7	67,2	36,6	3,4
13.04.2022 23:00	415	0,3	19,4	19,9	73,7	33,7	2,5
14.04.2022	375	0,2	14,8	15,1	77,2	28,7	2,2
14.04.2022 01:00	356	0,2	12,2	12,6	78,1	30,8	1,9
14.04.2022 02:00	369	0,3	13,1	13,5	74,2	25,3	1,9
14.04.2022 03:00	366	0,3	11,8	12,3	73,9	30,6	2,1
14.04.2022 04:00	347	0,2	18,1	18,4	68,3	26	2,8
14.04.2022 05:00	370	0,2	22,4	22,7	60,3	30,3	3,3
14.04.2022 06:00	378	0,5	18,9	19,8	59,9	28,7	3,5
14.04.2022 07:00	436	2,1	28,1	31,4	49,3	35,3	2,9
14.04.2022 08:00	443	4,9	28,3	35,9	49,9	42	2,7
14.04.2022 09:00	334	11	17,9	34,9	70,5	33,8	3,3
14.04.2022 10:00	311	45,6	31,6	101,9	72,6	33,1	8,7
14.04.2022 11:00	284	2,2	11,5	15	87,5	27,1	9

14.04.2022 12:00	269	1,5	8,4	10,8	97,6	19,1	5,4
14.04.2022 13:00	247	0,5	5,7	6,4	111,1	21,1	4,5
14.04.2022 14:00	263	0,9	8,5	10	116,3	15,6	11
14.04.2022 15:00	264	0,3	5,4	5,9	125,5	13,7	3,7
14.04.2022 16:00	260	0,4	5,9	6,5	130,9	15,9	3,2
14.04.2022 17:00	262	1,3	8,4	10,4	132,6	17,2	3
14.04.2022 18:00	262	4,5	13,1	20	128,3	13,2	2,8
14.04.2022 19:00	277	0,8	19,7	21	111,3	19,5	2,7
14.04.2022 20:00	376	0,3	24	24,5	99,5	24,3	3
14.04.2022 21:00	353	0,4	23,6	24,2	93,4	25,3	2,7
14.04.2022 22:00	335	0,3	13,6	14,1	87,7	26,7	2,5
14.04.2022 23:00	519	0,5	15	15,7	86,5	46,6	3,6
15.04.2022	630	0,5	16,1	16,9	79,7	45,3	4,1
15.04.2022 01:00	548	0,4	12,8	13,4	85,6	50,7	4,8
15.04.2022 02:00	421	0,3	10,6	11,1	90,5	43,5	4,9
15.04.2022 03:00	389	0,3	12,3	12,8	82,8	46,7	4,2
15.04.2022 04:00	347	0,3	11,9	12,3	78,2	48	3,3
15.04.2022 05:00	299	0,3	8,7	9,1	80,9	45,5	2,3
15.04.2022 06:00	277	0,4	6,9	7,4	71	53,9	1,5
15.04.2022 07:00	267	0,4	6,5	7	70,4	39,2	1,3
15.04.2022 08:00	264	0,4	8,9	9,5	63,4	45,9	1,4
15.04.2022 09:00	254	0,3	7,3	7,9	62,1	38,9	1,1
15.04.2022 10:00	259	0,8	7,2	8,5	59	34,9	1,1
15.04.2022 11:00	261	0,8	7,6	8,9	61,7	33,5	1,3
15.04.2022 12:00	236	0,9	7,8	9,2	67,4	28,7	1,5
15.04.2022 13:00	226	9,1	9	23	69,3	20,7	1,7
15.04.2022 14:00	225	6,4	10,2	20	67,9	24,2	2,1
15.04.2022 15:00	219	4,3	7,7	14,3	73	18,3	1,4
15.04.2022 16:00	211	0,8	5	6,3	78,2	14,2	1,7
15.04.2022 17:00	213	0,8	5,5	6,7	75,7	10,4	1,5
15.04.2022 18:00	218	1,8	6,5	9,4	78,2	7,4	1,2
15.04.2022 19:00	220	0,9	6	7,3	69	20,6	0,9
15.04.2022 20:00	218	0,1	4,5	4,7	72,6	15,7	0,9
15.04.2022 21:00	219	0,2	4,2	4,5	67,7	22	0,9
15.04.2022 22:00	250	0,1	6,1	6,3	58	16,7	0,7
15.04.2022 23:00	269	0,3	6,1	6,5	64,6	12,9	0,8
16.04.2022	260	0,2	5	5,3	71,9	11,4	0,7
16.04.2022 01:00	247	0,2	4,7	4,9	52,2	8	0,6
16.04.2022 02:00	223	0,1	3,7	3,9	55,5	6,2	0,8
16.04.2022 03:00	215	0,2	3,8	4,1	57,1	4,6	0,6
16.04.2022 04:00	209	0,1	3	3,2	59	4,4	0,6
16.04.2022 05:00	202	0,1	3,1	3,3	62,7	3,5	0,6
16.04.2022 06:00	199	0,2	3,1	3,4	67,8	3,5	0,6
16.04.2022 07:00	197	0,1	3,5	3,7	67,8	3	0,6
16.04.2022 08:00	187	0,6	3,8	4,7	74,4	2,7	0,9
16.04.2022 09:00	192	0,5	3,9	4,8	70,6	2,6	0,8
16.04.2022 10:00	184	0,8	4,3	5,5	73,8	2,7	0,9
16.04.2022 11:00	187	0,9	3,8	5,2	77,9	2,4	0,7
16.04.2022 12:00	186	0,5	3,5	4,3	82,8	3,1	0,7
16.04.2022 13:00	187	0,6	3,4	4,4	84		0,5
16.04.2022 14:00	188	0,4	4,7	5,3			0,5

16.04.2022 15:00							0,4
16.04.2022 16:00						2,8	
16.04.2022 17:00	198				69	1,1	
16.04.2022 18:00	208	0,4	4	4,7	66,9	1	
16.04.2022 19:00	203	0,4	5,7	6,3	62	1,1	
16.04.2022 20:00	217	0,2	6,6	7	60,7	1,2	
16.04.2022 21:00	264	0,5	8,3	9,1	57,8	1,6	
16.04.2022 22:00	259	0,7	7,2	8,3	59,2	1,7	
16.04.2022 23:00	242	0,5	5,5	6,3	60,6	1,7	
17.04.2022	247	0,6	6,6	7,4	57,5	1,7	
17.04.2022 01:00	265	0,5	6,7	7,4	58,8	1,6	
17.04.2022 02:00	257	0,4	6	6,7	59,1	1,6	
17.04.2022 03:00	246	0,6	5,1	6	59,6	2,5	
17.04.2022 04:00	239	0,4	4,6	5,3	52,2	2,7	
17.04.2022 05:00	240	0,5	5,8	6,5	53,1	3,4	
17.04.2022 06:00	241	0,6	5,7	6,6	53,3	7,1	
17.04.2022 07:00	244	0,6	5,8	6,7	52,3	6,3	
17.04.2022 08:00	249	0,7	6,4	7,4	53,5	10,4	
17.04.2022 09:00	254	0,7	6,7	7,8	54,1	10,1	
17.04.2022 10:00	257	0,9	8,1	9,4	51,4	10,5	
17.04.2022 11:00	246	0,8	7,8	9,2	55,8	8,4	
17.04.2022 12:00	225	0,6	6,7	7,6	62,1	6,5	
17.04.2022 13:00	211	0,7	6,3	7,4	65,8	6	
17.04.2022 14:00	196	0,6	6,8	7,7	68,6	6,1	
17.04.2022 15:00	190	0,6	7,7	8,6	67,6	10,8	
17.04.2022 16:00	185	0,4	8,1	8,7	68,3	8,7	
17.04.2022 17:00	184	0,4	7,3	7,9	71,5	6,2	
17.04.2022 18:00	190	0,6	7,8	8,8	72,8	5,4	
17.04.2022 19:00	194	0,4	6,4	7	75,8	4,5	
17.04.2022 20:00	203	0,4	6,1	6,7	75,1	6,6	
17.04.2022 21:00	214	0,4	4,4	5	64,8	6,5	
17.04.2022 22:00	250	0,4	4,9	5,5	60,5	5,3	
17.04.2022 23:00	266	0,5	6,1	6,8	60	4,8	
18.04.2022	280	0,7	7	8,1	47	6,7	
18.04.2022 01:00	298	0,6	7,4	8,3	43,2	7	
18.04.2022 02:00	297	0,6	8	9	44	8,8	
18.04.2022 03:00	296	0,7	8,5	9,6	43,1	6,6	
18.04.2022 04:00	288	0,6	8,3	9,3	41	14,8	
18.04.2022 05:00	291	0,7	8,9	10	38,7	11,4	
18.04.2022 06:00	300	0,5	9,3	10,1	37,4	12,2	
18.04.2022 07:00	302	0,8	8,4	9,6	40,7	16,8	
18.04.2022 08:00	307	0,9	10,2	11,6	45,1	19,6	
18.04.2022 09:00	285	0,6	7,9	8,8	51,8	14,1	
18.04.2022 10:00	243	0,3	5,5	6	61	10,9	
18.04.2022 11:00	197	0,3	4,8	5,3	69,2	19,1	
18.04.2022 12:00	180	0,4	4,5	5,2	71,7	13,7	
18.04.2022 13:00	169	0,4	4,8	5,4	75,2	9,7	
18.04.2022 14:00	171	0,3	6,3	6,8	73,1	7,8	
18.04.2022 15:00	171	0,5	6	6,8	75,3	6,5	
18.04.2022 16:00	176	0,5	7,7	8,4	74,4	4,9	
18.04.2022 17:00	183	0,3	7,8	8,2	74	6,9	

18.04.2022 18:00	193	0,5	7,8	8,6	75,5	5,7
18.04.2022 19:00	209	0,5	8,8	9,6	74,2	5,2
18.04.2022 20:00	228	0,5	8,1	8,9	75,3	4,3
18.04.2022 21:00	241	0,6	10,9	11,8	68,5	10,1
18.04.2022 22:00	238	0,5	7,6	8,4	75,1	7,7
18.04.2022 23:00	248	0,5	7,4	8,1	72,8	12,4
19.04.2022	256	0,4	5,2	5,8	72	9,3
19.04.2022 01:00	254	0,2	4,2	4,5	75,1	14,1
19.04.2022 02:00	241	0,4	4,3	5	77,6	11,1
19.04.2022 03:00	235	0,6	5	5,9	73,8	11,4
19.04.2022 04:00	240	0,5	5,4	6,2	69,3	9,2
19.04.2022 05:00	237	0,3	4,3	4,8	65,8	7,3
19.04.2022 06:00	238	0,4	5,7	6,2	62,3	6,9
19.04.2022 07:00	241	0,6	7,4	8,3	59,5	8,7
19.04.2022 08:00	242	1	8,2	9,7	60	13,6
19.04.2022 09:00	241	0,9	8,4	9,8	60	10,8
19.04.2022 10:00	222	0,7	5,7	6,8	66,5	8
19.04.2022 11:00	232	0,8	4,9	6,1	69,3	5,8
19.04.2022 12:00	265	1,9	7,8	10,8	67	
19.04.2022 13:00		1	6,8	8,4		13,3
19.04.2022 14:00	247	0,7	4,6	5,7	73,9	
19.04.2022 15:00	241	0,8	6,6	7,8	43,7	10,8
19.04.2022 16:00	222	0,7	4,2	5,2	78,5	7,9
19.04.2022 17:00	222	0,9	5,8	7,2	74,5	5,7
19.04.2022 18:00	226	0,6	8,4	9,3	74,4	13,1
19.04.2022 19:00	255	0,8	14,6	15,9	57,2	16
19.04.2022 20:00	250	0,3	13,8	14,2	56,1	12,3
19.04.2022 21:00	250	0,2	12,4	12,8	49	9,1
19.04.2022 22:00	270	0,3	11,2	11,6	42,6	9
19.04.2022 23:00	295	0,1	9,1	9,2	60,5	6,5
20.04.2022	308	0,2	8,3	8,7	58,9	25,4
20.04.2022 01:00	318	0,2	9,9	10,2	54,1	23,9
20.04.2022 02:00	317	0,2	9,5	9,8	51,1	20,6
20.04.2022 03:00	317	0,3	8	8,5	49,3	21,8
20.04.2022 04:00	307	0,3	8,1	8,6	50	22,7
20.04.2022 05:00	284	0,2	7,4	7,7	51,8	18
20.04.2022 06:00	254	0,2	5,3	5,7	57,6	27,8
20.04.2022 07:00	247	0,2	5,2	5,5	56,4	32,5
20.04.2022 08:00	253	0,3	5,1	5,6	55,2	23,4
20.04.2022 09:00	247	2,4	7,8	11,6	62,8	16,5
20.04.2022 10:00	235	1,7	7,1	9,6	73,6	12,6
20.04.2022 11:00	232	2,3	6,1	9,6	75,2	10,1
20.04.2022 12:00	232	0,5	5	5,8	70,7	7,5
20.04.2022 13:00	230	0,4	5,4	6	69,4	5,8
20.04.2022 14:00	230	2,3	7,4	11	68,3	9,4
20.04.2022 15:00	235	21	19,8	52,2	61,9	7,8
20.04.2022 16:00	221	0,5	5,3	6,1	68,1	6,2
20.04.2022 17:00	236	1,5	7,3	9,7	66,8	5,6
20.04.2022 18:00	261	2,6	9,8	13,9	61,8	15,2
20.04.2022 19:00	286	0,2	10,8	11,2	54,8	15,1
20.04.2022 20:00	293	7	13,3	24	52,8	24,7

20.04.2022 21:00	280	0,2	7,8	8,1	58,1	25,3
20.04.2022 22:00	296	0,3	8,9	9,3	55,3	26,5
20.04.2022 23:00	295	0,2	8,4	8,7	52,8	29,2
21.04.2022	314	0,2	8,7	9	48,5	29,4
21.04.2022 01:00	311	0,2	8,4	8,7	46,4	38
21.04.2022 02:00	304	0,2	7,7	8,1	44,3	38,8
21.04.2022 03:00	308	0,1	8	8,2	40,7	31,4
21.04.2022 04:00	315	0,2	8,4	8,7	36,7	33,4
21.04.2022 05:00	314	0,2	7,9	8,1	35,2	31,3
21.04.2022 06:00	303	0,2	7,6	8	34,3	33,4
21.04.2022 07:00	300	0,5	7	7,7	32	23,8
21.04.2022 08:00	297	0,4	9	9,7	28,4	28,5
21.04.2022 09:00	299				39,3	20,8
21.04.2022 10:00	278	4,1	20,3	26,7	50	22
21.04.2022 11:00	276	1,3	17,2	19,3	55,4	16,1
21.04.2022 12:00	244	1,2	9,6	11,4	64	22,3
21.04.2022 13:00	236	1	6,7	8,2	70,9	15,9
21.04.2022 14:00	234	1,7	6,1	8,7	72,8	11,8
21.04.2022 15:00	233	0,8	6	7,2	74,2	9,3
21.04.2022 16:00	233	1,7	6,9	9,4	76,5	7,7
21.04.2022 17:00	227	0,5	4,9	5,7	76,9	6,1
21.04.2022 18:00	239	0,4	5,7	6,4	72,1	8,6
21.04.2022 19:00	246	0,3	6,6	7	68,8	20,6
21.04.2022 20:00	291	0,3	9,9	10,4	61,6	27,8
21.04.2022 21:00	313	0,4	9,3	9,9	56,1	35,9
21.04.2022 22:00	430	0,4	16,1	16,7	43,9	41,5
21.04.2022 23:00	390	0,3	17	17,5	29,4	34,5
22.04.2022	340	0,4	11,6	12,1	24,9	27,1
22.04.2022 01:00	302	0,2	7,9	8,1	32,3	27,8
22.04.2022 02:00	301	0,2	6,8	7,1	32,7	31,7
22.04.2022 03:00	294	0,1	6,5	6,6	28,3	28,5
22.04.2022 04:00	295	0,3	7,5	8	19,1	22,7
22.04.2022 05:00	340	0,3	15,9	16,2	30,4	29,1
22.04.2022 06:00	285	0,3	9,2	9,6	39,5	24,8
22.04.2022 07:00	238	0,4	4,5	5,2	55,3	18,5
22.04.2022 08:00	244	1,1	5,5	7,2	53,6	13,3
22.04.2022 09:00	247	0,6	4,9	5,9	53,9	10,3
22.04.2022 10:00	246	2,9	5,5	9,9	60,3	7,9
22.04.2022 11:00	237	0,7	4	5,1	68,5	6,1
22.04.2022 12:00	234	0,7	4,2	5,3	72,7	5,4
22.04.2022 13:00	235	0,7	4,1	5,2	78,3	
22.04.2022 14:00	231	0,6	4,6	5,5	79,6	4,1
22.04.2022 15:00	233	0,8	4,8	6,1	81,6	3,3
22.04.2022 16:00	239	3,5	7,9	13,3	77,2	3,2
22.04.2022 17:00	253	3,2	8,6	13,5	74,9	2,7
22.04.2022 18:00	255	0,8	7,3	8,5	76,1	5
22.04.2022 19:00	251	2,5	7,6	11,5	82,3	4,7
22.04.2022 20:00	355	1,1	15	16,8	69,7	10,6
22.04.2022 21:00	320	0,7	17,2	18,2	56,8	12,3
22.04.2022 22:00	303	0,1	13	13,2	46,6	10,6
22.04.2022 23:00	317	0,2	10,2	10,6	42,3	16,6

23.04.2022	297	0,3	7,4	7,8	46,6	18,4	
23.04.2022 01:00	309	0,1	7,9	8,1	54	18,8	
23.04.2022 02:00	341	0,4	16,6	17,1	43,7	19,9	
23.04.2022 03:00	345	0,3	16,8	17,2	36,7	23,9	
23.04.2022 04:00	342	0,3	15,8	16,2	44,1	17,5	
23.04.2022 05:00	314	0,3	12,6	13	50,6	15,7	
23.04.2022 06:00	318	0,3	13,2	13,7	49,9	19,7	
23.04.2022 07:00	316	0,4	11,2	11,8	50,3	15,5	
23.04.2022 08:00	312	1	10,3	11,8	50,7	17,6	
23.04.2022 09:00	293	1,4	8,9	11,1	58,7	19,4	
23.04.2022 10:00	264	4	7,4	13,6	75,8	14,3	
23.04.2022 11:00	247	0,6	4,9	5,8	85,3	10,2	
23.04.2022 12:00	250	0,5	5,4	6,3	82,1	8,8	
23.04.2022 13:00	249	0,6	5,3	6,2	80,9	6,8	
23.04.2022 14:00	249	0,5	5,7	6,5	78,8	14,1	
23.04.2022 15:00	269	1,4	9,3	11,5	73,7	11,7	
23.04.2022 16:00	263	0,9	7,4	8,9	76	12,2	
23.04.2022 17:00	244	0,7	5,5	6,6	87,1	15,3	
23.04.2022 18:00	244	1,2	5,8	7,6	92,1	13,9	
23.04.2022 19:00	242	0,1	4,6	4,8	91,6	10,2	
23.04.2022 20:00	235	0,1	4	4,2	90,7	9,2	
23.04.2022 21:00	237	0,1	4	4,1	82,4	7,3	
23.04.2022 22:00	266	0,2	4,4	4,6	72,9	11,8	
23.04.2022 23:00	289	0,2	4,8	5	70	10,3	
24.04.2022	310	0,1	5,1	5,4	68,7	13,7	
24.04.2022 01:00	327	0,1	5,9	6,1	69,7	21,7	
24.04.2022 02:00	310	0,2	6,3	6,5	67,6	22	
24.04.2022 03:00	282	0,2	6,1	6,4	61,6	20,5	
24.04.2022 04:00	283	0,2	5,9	6,3	58,5	22,4	
24.04.2022 05:00	276	0,2	5,8	6,1	55,7	21,2	
24.04.2022 06:00	272	0,3	5,5	6	50,9	21,6	
24.04.2022 07:00	277	0,5	5,5	6,2	49,9	23,1	
24.04.2022 08:00	253	0,4	5	5,7	66	16,8	
24.04.2022 09:00	245	0,4	4,1	4,8	80,3	24,7	
24.04.2022 10:00	244	0,3	3,4	3,9	87,2	18,5	
24.04.2022 11:00	242	0,2	3,2	3,6	90	14,2	
24.04.2022 12:00	242	0,3	3,6	4,1	91,8	11,7	
24.04.2022 13:00	239	0,2	3,3	3,7	95,6	8,9	
24.04.2022 14:00	235	0,3	3,3	3,8	98,5	7,2	
24.04.2022 15:00	235	0,3	3,6	4,1	101,6	5,2	
24.04.2022 16:00	240	0,2	4,4	4,7	103,1	4,8	
24.04.2022 17:00	243	0,3	4,8	5,3	103,1	3,9	
24.04.2022 18:00	260	0,4	5,2	5,8	99,5	3,8	
24.04.2022 19:00	264	0,3	6,3	6,9	91,9	7,2	
24.04.2022 20:00	259	0,3	6,8	7,3	85,4	6,3	
24.04.2022 21:00	258	0,4	6	6,6	83,6	6,7	
24.04.2022 22:00	257	0,2	5	5,3	80	12,7	
24.04.2022 23:00	254	0,3	4,9	5,3	76,6	9,4	
25.04.2022	263	0,2	5,4	5,7	66,5	21,5	
25.04.2022 01:00	264	0,2	5,7	6	66,6	31,9	
25.04.2022 02:00	267	0,2	5,3	5,6	60,5	23,2	

25.04.2022 03:00	271	0,1	4,4	4,6	59,1	23,7
25.04.2022 04:00	267	0,2	4,5	4,7	55,3	17,3
25.04.2022 05:00	260	0,2	4,5	4,9	53,2	14,1
25.04.2022 06:00	256	0,3	5	5,5	51,3	15,2
25.04.2022 07:00	251	0,5	6	6,7	53	11,7
25.04.2022 08:00	250	0,9	8,8	10,2	52,1	13
25.04.2022 09:00	247	0,7	7,3	8,4	56,7	18,8
25.04.2022 10:00	244	0,7	6,2	7,3	61,6	14,3
25.04.2022 11:00	243	0,7	7,6	8,7	61,8	10,3
25.04.2022 12:00	251	1,5	11,7	14	56,3	11,1
25.04.2022 13:00	271	4,1	13,3	19,7	58,9	13,6
25.04.2022 14:00	278	4	16,7	22,9	54,1	10,5
25.04.2022 15:00	270	3,2	14,6	19,5	60,1	13,3
25.04.2022 16:00	261	2,3	12,5	16,2	66,5	9,6
25.04.2022 17:00	282	1,9	16,5	19,4	61,6	11,5
25.04.2022 18:00	368	1,7	21,8	24,5	58,4	17,1
25.04.2022 19:00	335	1	15,5	17,1	65,4	13,6
25.04.2022 20:00	284	0,5	9,6	10,4	62,8	14,3
25.04.2022 21:00	253	0,2	6,7	7	60,3	16,9
25.04.2022 22:00	249	0,2	6,2	6,4	57,2	14
25.04.2022 23:00	256	0,2	6,5	6,8	53,8	17,6
26.04.2022	260	0,2	7,3	7,6	50,1	15,8
26.04.2022 01:00	251	0,3	6,3	6,8	49,4	19,6
26.04.2022 02:00	249	0,3	6,9	7,4	47,1	14,2
26.04.2022 03:00	248	0,3	7,3	7,7	45	16,7
26.04.2022 04:00	242	0,2	6,5	6,8	46,4	23,1
26.04.2022 05:00	233	0,2	5,1	5,4	50,2	18,2
26.04.2022 06:00	228	0,1	4,4	4,4	51,3	13,6
26.04.2022 07:00	226	0,2	4,1	4,5	50,9	11,7
26.04.2022 08:00	223	0,3	4,3	4,7	52,7	9,3
26.04.2022 09:00	225	12,2	10,1	28,9	50,9	8,2
26.04.2022 10:00	227	10	11	26,4	52,9	6,4
26.04.2022 11:00	223	0,7	5,6	6,7	56,5	11,3
26.04.2022 12:00	221	0,7	4,9	6	63,2	11,3
26.04.2022 13:00	228	1	6,3	7,9	63,3	9,2
26.04.2022 14:00	227	1,6	7	9,5	63,9	14,5
26.04.2022 15:00	237	1,3	6,6	8,7	69,4	13,9
26.04.2022 16:00	243	0,9	7	8,5	71,7	10,9
26.04.2022 17:00	227	0,4	5,9	6,5	72,8	7,8
26.04.2022 18:00	224	0,2	5,1	5,5	76,9	6,4
26.04.2022 19:00	225	0,3	4,9	5,3	77,1	5,8
26.04.2022 20:00	224	0,2	4,9	5,2	69	6
26.04.2022 21:00	257	0,1	6	6,2	56,8	6,4
26.04.2022 22:00	321	0,1	9,3	9,5	52,9	8,5
26.04.2022 23:00	365	0,3	11,3	11,8	48	20,1
27.04.2022	357	0,2	9,9	10,2	46,3	30
27.04.2022 01:00	337	0,1	8,9	9,1	41,7	23,4
27.04.2022 02:00	304	0,2	7,9	8,1	49	28,9
27.04.2022 03:00	294	0,1	7,9	8	48,4	21,4
27.04.2022 04:00	289	0,1	7,6	7,8	45,8	21,9
27.04.2022 05:00	290	0,2	8,3	8,7	43	15,7

27.04.2022 06:00	290	0,2	8,4	8,8	38,2	19,9	
27.04.2022 07:00	292	1	8	9,5	33,9	22,2	
27.04.2022 08:00	282	1,3	8,4	10,4	57,8	20,2	
27.04.2022 09:00	268	24,4	17,1	54,7	65,8	18,8	
27.04.2022 10:00	286	3,1	11,8	16,6	71,5	16,3	
27.04.2022 11:00	241	13,1	15,3	35,5	82,7	12,6	
27.04.2022 12:00	251	7,4	12,7	24,1	87,8	9,9	
27.04.2022 13:00	183	6,3	10	19,7	96,7	7,3	
27.04.2022 14:00	181	2	7	10	98,9	7	
27.04.2022 15:00	186	1,2	7	8,8	96,6	5,4	
27.04.2022 16:00	213	0,6	7,2	8,1	95,8	9,7	
27.04.2022 17:00	208	0,6	8	8,9	95,1	8	
27.04.2022 18:00	225	0,7	10,9	11,9	93,3	6,8	
27.04.2022 19:00	236	3,7	15,7	21,5	88,8	13,6	
27.04.2022 20:00	226	0,4	11,9	12,4	74,2	12,7	
27.04.2022 21:00	221	0,2	9,2	9,5	68,8	12,2	
27.04.2022 22:00	230	0,2	7,9	8,2	57,5	17,3	
27.04.2022 23:00	243	0,2	7,2	7,6	59,6	15,8	
28.04.2022	226	0,1	7	7,1	60,5	14,4	
28.04.2022 01:00	262	0,2	10,5	10,8	52,4	14,8	
28.04.2022 02:00	332	0,3	15,6	16,1	50,8	23,9	
28.04.2022 03:00	322	0,2	14,3	14,6	40,6	18,9	
28.04.2022 04:00	304	0,3	11,8	12,3	47,6	25	
28.04.2022 05:00	348	0,3	16,1	16,6	42,4	22,6	
28.04.2022 06:00	355	0,5	17	17,9	41,5	25,7	
28.04.2022 07:00	336	1,3	13,5	15,5	47,2	25,9	
28.04.2022 08:00	285	1,3	11,2	13,1	61,4	31,1	
28.04.2022 09:00	258	1,4	8,5	10,7	71,9	22,6	
28.04.2022 10:00	244	0,8	9,5	10,8	79,2	15,9	
28.04.2022 11:00	261	1	13,3	14,9	69,6	16,6	
28.04.2022 12:00	217	0,8	6	7,3	94,2	19,3	
28.04.2022 13:00	198	0,2	3,5	3,8	107,3	17,3	
28.04.2022 14:00	199	0,2	4	4,3	108,7	12,8	
28.04.2022 15:00	200	0,5	5,3	6,1	110,7	15	
28.04.2022 16:00	203	0,6	6	7	109,8	16,2	
28.04.2022 17:00	227	1,2	9,8	11,6	104,7	12,3	
28.04.2022 18:00	211	1,8	11,4	14,2	102,1	16,1	
28.04.2022 19:00	220	1,6	13,3	15,7	95	12,5	
28.04.2022 20:00	242	0,7	16,2	17,3	81	21,6	
28.04.2022 21:00	343	0,3	17,5	18	68,5	16,9	
28.04.2022 22:00	341	0,3	16,4	16,9	58,4	30,8	
28.04.2022 23:00	360	0,2	15,1	15,4	52,2	28,9	
29.04.2022	352	0,4	16,3	17	53,7	30,9	
29.04.2022 01:00	315	0,3	12,6	13	57,5	23,6	
29.04.2022 02:00	289	0,3	10,9	11,4	62,9	30,2	
29.04.2022 03:00	266	0,3	8,5	9	57	24,3	
29.04.2022 04:00	245	0,2	8,1	8,5	52,8	27,9	
29.04.2022 05:00	229	0,3	8,2	8,7	46,6	23,7	
29.04.2022 06:00	228	0,4	7,8	8,3	54,4	18,9	
29.04.2022 07:00	253	1,8	14,3	17	46,8	21,6	
29.04.2022 08:00	258	1,7	11,8	14,5	55,1	24,8	

29.04.2022 09:00	260	1,7	9,1	11,7	61,3	20,5	
29.04.2022 10:00	247	0,9	6,4	7,9	78,3	14,8	
29.04.2022 11:00	219	0,3	5,3	5,8	97,4	17	
29.04.2022 12:00	204	0,4	4,2	4,8	100,2	14,3	
29.04.2022 13:00	202	0,8	6,2	7,3	96,6	18,6	
29.04.2022 14:00	198	1	6,9	8,5	102,6	17,8	
29.04.2022 15:00	172	0,5	3,5	4,3	107,6	15,5	
29.04.2022 16:00	172	0,2	3,1	3,5	109,8	11,1	
29.04.2022 17:00	177	0,3	3,1	3,5	111,2	8,8	
29.04.2022 18:00	179	0,2	2,9	3,2	110,7	9,1	
29.04.2022 19:00	180	0,2	3,5	3,9	108,4	6,9	
29.04.2022 20:00	187	0,2	5,3	5,6	101	17,3	
29.04.2022 21:00	213	0,3	7,8	8,3	89,3	18,5	
29.04.2022 22:00	245	0,1	7,6	7,8	81,9	20,1	
29.04.2022 23:00	277	0,2	9,4	9,7	80,9	15,9	
30.04.2022	271	0,3	9,9	10,3	65,3	20,1	
30.04.2022 01:00	277	0,2	11,3	11,5	52,5	25,3	
30.04.2022 02:00	298	0,2	12,1	12,4	48,1	24,1	
30.04.2022 03:00	334	0,3	12,8	13,3	48,2	34,7	
30.04.2022 04:00	309	0,3	10,4	10,8	44,4	33	
30.04.2022 05:00	292	0,3	8,4	8,8	41,2	31,1	
30.04.2022 06:00	277	0,4	8,5	9,1	51,4	42,4	
30.04.2022 07:00	311	1,2	15,5	17,3	57,8	30,9	
30.04.2022 08:00	320	2,5	16,6	20,5	59,1	34,2	
30.04.2022 09:00	284	2,8	14,8	19,1	73,9	25,6	
30.04.2022 10:00	215	1	7,4	8,9	94,5	18,2	
30.04.2022 11:00	193	0,7	5,9	7	101,7	22,6	
30.04.2022 12:00	204	0,9	7,6	9	102,3	16,8	
30.04.2022 13:00	198	0,6	6,6	7,6	105,7	14,4	
30.04.2022 14:00	185	0,6	4,5	5,4	108,7	14	
30.04.2022 15:00	180	0,3	4,2	4,6	108	11,8	
30.04.2022 16:00	175	0,2	3,3	3,7	108,6	10,8	
30.04.2022 17:00	181	0,4	4,3	4,9	107,1	8,9	
30.04.2022 18:00	183	0,3	3,2	3,7	105,9	6,9	
30.04.2022 19:00	200	0,2	5	5,3	103,7	5,4	
30.04.2022 20:00	238	0,1	7,2	7,4	92,9	11,3	
30.04.2022 21:00	230	0,2	6,4	6,6	85,4	14,9	
30.04.2022 22:00	247	0,2	6,5	6,8	82,8	17,6	
30.04.2022 23:00	274	0,1	7,8	8	79,1	16,5	
01.05.2022	309	0,3	9,5	10	65,3	19,8	
01.05.2022 01:00	256	0,2	8,6	8,9	54	22,5	1,5
01.05.2022 02:00	252	0,3	9,4	9,8	54,1	23	1,5
01.05.2022 03:00	243	0,1	9,3	9,5	53,2	24,1	1,3
01.05.2022 04:00	230	0,2	8,1	8,3	53	19,3	1,3
01.05.2022 05:00	228	0,2	7,6	7,9	55	20	1,2
01.05.2022 06:00	234	0,4	7,8	8,4	47,1	18,7	1,1
01.05.2022 07:00	313	1	8,7	10,2	45	26,9	1,7
01.05.2022 08:00	330	1,1	9,4	11,1	66,1	29,1	3,7
01.05.2022 09:00	280	0,9	8,4	9,7	83,6	30,9	4,6
01.05.2022 10:00	252	0,8	7,4	8,6	90,9	26,3	2,9
01.05.2022 11:00	224	0,3	4,9	5,4	100,2	25	1,9

01.05.2022 12:00	213	0,2	4,3	4,6	103,3	24,5	1,6
01.05.2022 13:00	204	0,3	4,3	4,7	106,7	17,7	2
01.05.2022 14:00	189	0,3	3,9	4,4	111,5	16,3	1,6
01.05.2022 15:00	189	0,4	4	4,7	114,9	12,5	1,7
01.05.2022 16:00	193	0,2	4,1	4,4	118,3	17	1,6
01.05.2022 17:00	190	0,2	4	4,4	117	12,2	1,7
01.05.2022 18:00	244	0,8	6,8	8	114,9	13,2	2,1
01.05.2022 19:00	441	1,6	11,7	14,2	112	22,9	2,4
01.05.2022 20:00	257	0,4	6,5	7	95,1	16,6	1,5
01.05.2022 21:00	208	1,5	11,1	13,4	77,3	14,4	1,2
01.05.2022 22:00	217	1	13,6	15,2	75,4	22,9	1,4
01.05.2022 23:00	284	0,3	10	10,5	64,7	16,5	1,4
02.05.2022	249	0,2	7,2	7,5	74,4	20,9	1,8
02.05.2022 01:00	247	0,3	7,5	7,9	80,4	26,6	4
02.05.2022 02:00	233	0,3	6,2	6,6	80,8	29,6	3,2
02.05.2022 03:00	227	0,3	5,7	6,1	67,6	25,3	2
02.05.2022 04:00	248	0,3	7,2	7,6	47,1	23,6	1,8
02.05.2022 05:00	240	0,1	7	7,2	47,1	21,4	1,7
02.05.2022 06:00	273	0,5	10,7	11,5	44,7	23,8	1,8
02.05.2022 07:00	338	1,4	14,8	17	50,5	31,6	2,4
02.05.2022 08:00	333	2,8	15,7	20	54,5	26,6	5
02.05.2022 09:00	313	4,1	18,1	24,4	62,2	28,5	6,4
02.05.2022 10:00	257	1,5	11	13,4	85,4	31,6	4,1
02.05.2022 11:00	227	0,7	6,6	7,6	100,8	22,6	3,2
02.05.2022 12:00	211	0,3	4,4	4,9	111,1	17,1	3,2
02.05.2022 13:00	199	0,2	4	4,4	115,2	18,6	2,6
02.05.2022 14:00	189	0,8	4,5	5,9	116,6	22,8	2,2
02.05.2022 15:00	206	0,3	4,8	5,3	115,4	16,3	1,9
02.05.2022 16:00	202	0,3	4,2	4,6	117,6	15,3	2
02.05.2022 17:00	200	0,7	5,7	6,8	118,3	20,1	2
02.05.2022 18:00	201	1,6	8,8	11,3	116,7	17	2,1
02.05.2022 19:00	205	0,2	5,4	5,8	117,8	22,9	2,2
02.05.2022 20:00	216	0,2	6,8	7,1	112,5	23,1	1,9
02.05.2022 21:00	230	0,6	14,7	15,7	83,2	23	1,6
02.05.2022 22:00	223	4,8	18,4	25,7	70	31,7	1,4
02.05.2022 23:00	233	0,2	7,1	7,3	76,1	27,5	1,5
03.05.2022	263	0,2	6,3	6,6	78,1	28,2	1,6
03.05.2022 01:00	248	0,3	7,1	7,5	67,5	36,4	1,6
03.05.2022 02:00	232	0,1	6,6	6,8	71,1	26,8	1,7
03.05.2022 03:00	234	0,2	6	6,3	78,9	33,9	1,7
03.05.2022 04:00	244	0,3	5,5	6	78,6	31,7	1,8
03.05.2022 05:00	227	0,2	5,6	5,9	85,5	26,7	1,9
03.05.2022 06:00	239	0,2	8,2	8,6	73,5	19,2	3,1
03.05.2022 07:00	220	0,2	6,6	7	75	19,8	2,2
03.05.2022 08:00	195	0,3	4,7	5,1	86	21,1	1,6
03.05.2022 09:00	184	0,5	3,4	4,2	93,6	18	1,3
03.05.2022 10:00	186	0,2	3,3	3,6	98	15,5	1,5
03.05.2022 11:00	184	0,1	3,5	3,7	103,9	12	2,6
03.05.2022 12:00	185	0,2	3,1	3,4	107,5	10,6	2,8
03.05.2022 13:00	186	0,1	3,1	3,3	107,7	9	1,4
03.05.2022 14:00	187	0,3	3,2	3,6	109,4	19,5	1,2

03.05.2022 15:00	185	0,1	3	3,2	108,4	15,1	1,2
03.05.2022 16:00	182	0,2	2,8	3,1	107,9	18,1	1,2
03.05.2022 17:00	179	0,1	2,5	2,7	107,8	12,8	1,1
03.05.2022 18:00	180	0,1	3,2	3,3	107,7	11,2	1,1
03.05.2022 19:00	182	0,2	3,5	3,8	104,1	10,2	1,8
03.05.2022 20:00	186	0,2	3,7	4	96,3	8	1,9
03.05.2022 21:00	184	0,2	3,9	4,1	84	7,1	1,7
03.05.2022 22:00	217	0,1	5,7	5,9	79,1	12,6	1,6
03.05.2022 23:00	224	0,2	7,6	7,9	67,1	11,9	1,5
04.05.2022	241	0,2	11,2	11,5	60,8	16,6	1,5
04.05.2022 01:00	252	0,3	10,9	11,4	50,8	24,6	1,3
04.05.2022 02:00	265	0,2	14,3	14,6	44	17,9	1,5
04.05.2022 03:00	263	0,2	14,5	14,8	42,7	22,8	1,5
04.05.2022 04:00	259	0,3	14	14,4	41,8	19,8	1,6
04.05.2022 05:00	260	0,3	13,2	13,7	42,3	20,1	1,7
04.05.2022 06:00	249	0,5	13,4	14,2	40,4	19,8	1,6
04.05.2022 07:00	246	1,3	15,2	17,2	43,5	26	1,6
04.05.2022 08:00	238	2,2	12,3	15,7	54,7	19,6	2,8
04.05.2022 09:00	235	25,7	17,3	56,9	56,7	18,9	3,1
04.05.2022 10:00	218	19,2	13,9	43,5	65,4	22,3	2,6
04.05.2022 11:00	211	5,5	8,1	16,6	79	27,1	2,4
04.05.2022 12:00	194	2,7	5,9	10	84,3	21,1	2,4
04.05.2022 13:00	192	0,5	4,8	5,5	88,1	18	1,9
04.05.2022 14:00	189	1,1	5	6,6	91,1	25,6	1,9
04.05.2022 15:00	184	0,6	4,4	5,3	96,3	18,2	1,9
04.05.2022 16:00	187	1,9	6,5	9,4	95,3	17,1	1,7
04.05.2022 17:00	185	1,8	5,6	8,4	98	14,8	1,7
04.05.2022 18:00	185	0,6	5,2	6,2	101,2	15,7	1,5
04.05.2022 19:00	190	0,5	6,7	7,5	95,4	20,2	1,6
04.05.2022 20:00	213	1,2	19,7	21,6	72,8	25,7	1,7
04.05.2022 21:00	219	0,3	16,7	17,2	63,6	22,6	1,5
04.05.2022 22:00	266	0,4	17,6	18,2	55,4	25,3	1,6
04.05.2022 23:00	257	0,5	14,4	15,1	62,6	18,7	1,3
05.05.2022	235	0,3	11,6	12,1	62,6	24,1	1,1
05.05.2022 01:00	232	0,3	10,2	10,7	60,5	21,8	1,4
05.05.2022 02:00	219	0,2	10	10,3	60,9	24,2	1,6
05.05.2022 03:00	205	0,2	8	8,4	63,8	23,6	1,7
05.05.2022 04:00	199	0,4	8,9	9,4	58,8	24,4	1,5
05.05.2022 05:00	196	0,3	9,3	9,8	57,1	18,3	1,6
05.05.2022 06:00	195	0,5	8,8	9,6	60,4	15,9	1,8
05.05.2022 07:00	197	0,9	9,5	10,9	59,8	14,2	2,3
05.05.2022 08:00	210	1,1	11	12,8	61,6	21,2	3,8
05.05.2022 09:00	214	1,8	11,2	14,1	61,1	19,5	4
05.05.2022 10:00	211	1,9	8,7	11,7	63,6	26,9	4,1
05.05.2022 11:00	215	1,4	6,4	8,5	69,9	24,1	3,2
05.05.2022 12:00	215	0,8	5,3	6,6	87,2	29,5	3,1
05.05.2022 13:00	207	0,6	4,8	5,6	102,8	23,2	3,3
05.05.2022 14:00	206	0,7	5,3	6,4	108,9	25,2	2,8
05.05.2022 15:00	201	0,2	4,1	4,5	114,7	24,5	1,9
05.05.2022 16:00	200	0,5	4,6	5,3	115,9	25,3	1,9
05.05.2022 17:00	206	1,9	11,2	14,1		21,2	1,7

05.05.2022 18:00							1,5
05.05.2022 19:00						28,2	1,9
05.05.2022 20:00						49,4	
05.05.2022 21:00						40,7	
05.05.2022 22:00						45,2	
05.05.2022 23:00						41	
06.05.2022						43,5	
06.05.2022 01:00						50,6	
06.05.2022 02:00						41	
06.05.2022 03:00						41,5	
06.05.2022 04:00						31	
06.05.2022 05:00						29,4	
06.05.2022 06:00						28,2	
06.05.2022 07:00						30,4	
06.05.2022 08:00						27,3	
06.05.2022 09:00						22,5	
06.05.2022 10:00						21,8	
06.05.2022 11:00		2,5	11,3	15,2	50,3	25,9	2,7
06.05.2022 12:00	259	1,5	13,9	16,2	43,8	19,9	2,6
06.05.2022 13:00	233	0,8	6,2	7,4	86,8	16,8	1,8
06.05.2022 14:00	212	0,4	4,4	5	98,7	13,7	1,3
06.05.2022 15:00	192	0,4	3,7	4,4	101,5	16,4	1,3
06.05.2022 16:00	189	0,9	4,7	6,1	106,5	12,7	1,2
06.05.2022 17:00	191	1,8	5,3	8,1	106,7	9,6	1,2
06.05.2022 18:00	180	0,3	3,1	3,5	109,8	10,5	1
06.05.2022 19:00	168	0,2	3,6	4	109,2	8,9	1
06.05.2022 20:00	164	0,1	4,1	4,3	96,3	6,5	0,8
06.05.2022 21:00	178	0,2	5,2	5,5	81,1	17	1
06.05.2022 22:00	188	0,2	5,6	5,9	78,3	20,1	1,3
06.05.2022 23:00	197	0,2	6,1	6,4	75,6	21,3	1,3
07.05.2022	200	0,1	5,8	6	70,6	20,4	1,1
07.05.2022 01:00	205	0,3	5,9	6,4	64,9	17,8	0,8
07.05.2022 02:00	216	0,2	6,2	6,6	68,9	25,6	1
07.05.2022 03:00	211	0,3	5,9	6,3	76,4	20,8	1,5
07.05.2022 04:00	204	0,3	5,5	5,9	73,9	17,3	1,5
07.05.2022 05:00	195	0,2	5,7	6	67,2	16,5	1,3
07.05.2022 06:00	199	0,4	6,1	6,7	51,8	20,8	1,1
07.05.2022 07:00	213	0,6	6,3	7,3	61,7	15,5	1,5
07.05.2022 08:00	207	0,7	6,1	7,3	66,8	18,1	4,2
07.05.2022 09:00	199	0,7	5	6,1	79,2	18,3	10
07.05.2022 10:00	191	0,6	4,4	5,4	85,5	13,3	13,2
07.05.2022 11:00	185	0,4	3	3,5	89,3	10,4	3,4
07.05.2022 12:00	178	0,3	2,3	2,8	88,5	15,7	7,5
07.05.2022 13:00	172	0,3	1,7	2,2	85,9	11,9	4,1
07.05.2022 14:00	168	0,3	1,9	2,3	88,8	8,9	1,1
07.05.2022 15:00	172	0,2	2,2	2,5	92,9	6,7	1,2
07.05.2022 16:00	174	0,3	2,3	2,8	92,9	5,1	1,2
07.05.2022 17:00	172	0,2	2	2,3	91,6	6,8	0,8
07.05.2022 18:00	172	0,3	2,1	2,5	91	10,3	0,8
07.05.2022 19:00	171	0,1	2,1	2,3	90	8,3	0,7
07.05.2022 20:00	173	0,2	2,9	3,2	75,7	15,9	0,7

07.05.2022 21:00	178	0,4	6,2	6,9	48,8	29	0,9
07.05.2022 22:00	192	0,7	10,7	11,8	43,2	60,2	0,7
07.05.2022 23:00	233	0,5	9,2	10	46,9	53,4	1
08.05.2022	223	0,6	8,9	9,8	45,9	45,5	1,1
08.05.2022 01:00	208	0,6	7,8	8,6	49,5	38,1	1,6
08.05.2022 02:00	220	0,4	6,8	7,5	55,6	35,9	1,4
08.05.2022 03:00	273	0,5	6	6,7	65,4	26,5	1,6
08.05.2022 04:00	272	0,3	6,1	6,5	58	33,3	0,9
08.05.2022 05:00	227	0,3	5,1	5,6	57,1	25,1	0,8
08.05.2022 06:00	217	0,5	5,4	6,1	59,7	23,9	1,2
08.05.2022 07:00	212	0,8	5,4	6,5	57,7	20,2	1,2
08.05.2022 08:00	215	0,5	5,2	6	69,2	15,3	1,6
08.05.2022 09:00	225	0,6	6,4	7,4	60,8	15,6	1,5
08.05.2022 10:00	215	0,8	5,3	6,5	68	15,6	1,7
08.05.2022 11:00	201	0,5	4,3	5	79,7	21,4	1,5
08.05.2022 12:00	188	0,3	2,9	3,4	84,7	15,7	0,8
08.05.2022 13:00	181	0,3	2,4	2,8	83,1		0,9
08.05.2022 14:00	179	0,6	5,6	6,6	45,8	9,3	0,8
08.05.2022 15:00	170	0,3	2,3	2,8	85,5	7,1	0,8
08.05.2022 16:00	174	0,3	2,3	2,8	88,1	10,5	0,7
08.05.2022 17:00	173	0,2	2,6	2,9	92,2	8,4	1,7
08.05.2022 18:00	172	0,3	2,6	3	84,8	14,3	1,8
08.05.2022 19:00	171	0,3	2,2	2,7	84,1	11,1	0,7
08.05.2022 20:00	175	0,1	2,7	2,9	81	14,5	1,1
08.05.2022 21:00	179	0,1	3,5	3,6	75,9	16,8	1
08.05.2022 22:00	179	0,4	5,2	5,7	58,3	21	0,8
08.05.2022 23:00	196	0,3	4,9	5,3	59,1	16,2	0,6
09.05.2022	212	0,3	9,9	10,3	63,5	11,8	0,9
09.05.2022 01:00	198	0,3	8	8,4	68,1	13,8	0,7
09.05.2022 02:00	195	0,1	8,9	9,1	66,8	14	0,8
09.05.2022 03:00	184	0,2	7,5	7,8	61,1	12,4	0,8
09.05.2022 04:00	204	0,3	8,5	9,1	55,7	9,5	0,7
09.05.2022 05:00	204	0,3	7,1	7,5	52	19,7	0,6
09.05.2022 06:00	184	0,5	7,2	8	50,7	17	0,8
09.05.2022 07:00	189	1,2	7,4	9,2	53,4	12,7	1
09.05.2022 08:00	194	2	8,5	11,6	56,3	9,5	2,1
09.05.2022 09:00	191	1,9	6,8	9,8	60,9	10	2,1
09.05.2022 10:00	184	8,7	7,8	21,1	66,8	30,1	1,5
09.05.2022 11:00	185	3,5	6,2	11,6	73,7	23,7	1,1
09.05.2022 12:00	191	0,6	3,1	4	79,8	22,8	1,1
09.05.2022 13:00	195	0,5	3,2	4	85,3	28,5	1,1
09.05.2022 14:00	206	0,5	3,1	3,8	92	34,9	0,9
09.05.2022 15:00	175	0,5	3	3,8	93,5	33,7	1,1
09.05.2022 16:00	177	1,6	4,1	6,5	94	31,3	1,1
09.05.2022 17:00	175	1	4,4	5,9	98,1	29,1	1
09.05.2022 18:00	173	0,5	4,1	4,8	97,6	28	1
09.05.2022 19:00	181	0,5	5,2	6	92,1	26,2	1
09.05.2022 20:00	199	0,5	11,3	12	76	20,7	1,3
09.05.2022 21:00	208	0,4	13,7	14,3	51,7	23,2	1,1
09.05.2022 22:00	232	0,3	16,4	16,8	48,4	27,2	1,2
09.05.2022 23:00	243	0,3	16,3	16,8	44,9	19,7	1,6

10.05.2022	265	0,3	18,2	18,8	47,8	17	2,9
10.05.2022 01:00	253	0,3	14,9	15,4	53,5	12,6	2,7
10.05.2022 02:00	231	0,3	10	10,5	57,8	20,1	2
10.05.2022 03:00	222	0,1	9,5	9,6	56,3	15,2	1,8
10.05.2022 04:00	213	0,3	8,3	8,8	65,8	10,8	1,6
10.05.2022 05:00	207	0,1	8,2	8,4	67,3	8	1,6
10.05.2022 06:00	208	0,4	8,4	9	69,7	11,2	1,8
10.05.2022 07:00	218	1,8	14,9	17,7	62,5	21,7	2,3
10.05.2022 08:00	224	2,8	13,4	17,6	63,5	19,2	2,2
10.05.2022 09:00	216	2,8	12,2	16,5	70,8	18,2	2,2
10.05.2022 10:00	196	0,9	5,3	6,7	91,5	20,4	2,2
10.05.2022 11:00	212	3,7	6,6	12,3	94,1	15,2	1,6
10.05.2022 12:00	221	1,2	5	7	99,2	17,5	2,5
10.05.2022 13:00	192	0,6	4,2	5,1	106,7	12,9	2,2
10.05.2022 14:00	192	0,5	4,3	5	111,6	14	1,9
10.05.2022 15:00	193	0,4	3,9	4,5	114,9	15,3	1,7
10.05.2022 16:00	190	0,4	3,4	4,1	118	18,1	1,5
10.05.2022 17:00	188	2,1	5,6	8,9	117,3	22,3	1,9
10.05.2022 18:00	193	0,3	3,1	3,6	117,5	16,7	1,8
10.05.2022 19:00	203	0,3	5	5,4	111,2	18,3	1,8
10.05.2022 20:00	222	0,3	8	8,4	84,8	37,5	1,5
10.05.2022 21:00	229	0,2	8,6	8,9	63,7	34,5	1,3
10.05.2022 22:00	253	0,3	15,3	15,7	75,4	36,5	2,2
10.05.2022 23:00	269	0,3	19,8	20,3	74,2	31,3	2,5
11.05.2022	246	0,2	14,5	14,8	81	28	2
11.05.2022 01:00	263	0,4	20,2	20,8	72,1	29,9	2,9
11.05.2022 02:00	249	0,2	12,7	13,1	73,5	31,4	2,6
11.05.2022 03:00	244	0,3	9,9	10,4	67,8	25	2,2
11.05.2022 04:00	237	0,3	9,4	9,9	62,1	25,5	2,1
11.05.2022 05:00	238	0,4	8,8	9,4	63,4	21,4	3,2
11.05.2022 06:00	232	0,5	9,5	10,4	68,1	23,5	3,4
11.05.2022 07:00	230	0,6	10,7	11,7	69,3	20,7	4,2
11.05.2022 08:00	236	1	10,3	11,9	71,2	20	4
11.05.2022 09:00	260	1,3	9,8	11,9	78,3	29,6	5,9
11.05.2022 10:00	266	1,4	8,6	10,8	84,8	24,7	5,4
11.05.2022 11:00	254	0,8	6,5	7,7	100,8	27,1	4,6
11.05.2022 12:00	239	0,8	5,9	7,2	109,4	28,7	4
11.05.2022 13:00	229	0,4	4,7	5,3	120,7	31,9	3,7
11.05.2022 14:00	258	0,5	5,4	6,2	131,7	26,6	3,6
11.05.2022 15:00	211	0,3	4,3	4,8	131,3	34,4	2
11.05.2022 16:00	205	0,2	4	4,3	132,7	28,9	1,8
11.05.2022 17:00	206	1,2	5,6	7,5	132,9	27,8	1,7
11.05.2022 18:00	205	0,8	5,1	6,3	133,2	32,4	1,9
11.05.2022 19:00	205	0,2	4,8	5,1	130	25,6	2,3
11.05.2022 20:00	205	0,5	7,4	8,1	118,4	31,2	2
11.05.2022 21:00	226	0,3	14,7	15,1	99,5	36,9	1,8
11.05.2022 22:00	234	0,4	16,4	17,1	92,3	32,5	2,1
11.05.2022 23:00	241	0,4	13,4	14,1	89,1	35	2,6
12.05.2022	224	0,4	9,3	9,9	88,9	36,9	2,1
12.05.2022 01:00	223	0,3	7	7,5	91,4	39,9	1,8
12.05.2022 02:00	224	0,3	6,1	6,6	93,4	33,1	2

12.05.2022 03:00	219	0,4	6,3	6,9	93,1	32,9	2,5
12.05.2022 04:00	223	0,4	6,9	7,5	90,8	28,6	3,4
12.05.2022 05:00	232	0,4	7,4	8	90	30,4	3,3
12.05.2022 06:00	225	0,5	7,2	8	90,7	27,3	3,3
12.05.2022 07:00	207	0,5	6,8	7,5	91,2	22,9	3,1
12.05.2022 08:00	204	0,5	6,2	7,1	91,7	26,4	2,8
12.05.2022 09:00	203	0,6	6,3	7,2	99,7	37,5	3,2
12.05.2022 10:00	197	0,7	5,1	6,1	106,9	45,3	2,5
12.05.2022 11:00	189	0,4	4,3	4,9	109,8	57,6	2
12.05.2022 12:00	188	0,3	4,1	4,6	102,7	59,5	1,4
12.05.2022 13:00	177	0,3	3,3	3,7	98	54,2	0,6
12.05.2022 14:00	166	0,2	2,7	3,1	98,4	63,2	0,5
12.05.2022 15:00	162	0,3	2,4	2,9	100,7	65,3	0,3
12.05.2022 16:00	154	0,3	2,8	3,2	105,2	60	0,2
12.05.2022 17:00	154	0,1	2,7	3	101,8	62,7	0,3
12.05.2022 18:00	157	0,1	2,8	3	98,5	53	0,3
12.05.2022 19:00	162	0,1	2,6	2,8	94,8	46,4	0,2
12.05.2022 20:00	171	0,1	3,1	3,3	91,5	33,7	0,3
12.05.2022 21:00	209	0,2	5,8	6,1	83,3	38,7	0,9
12.05.2022 22:00	195	0,3	6,4	6,8	72,1	36,4	0,5
12.05.2022 23:00	191	0,4	5,9	6,5	71,7	26,2	0,5
13.05.2022	190	0,4	5,4	6	70,7	23,4	0,5
13.05.2022 01:00	184	0,3	5,4	5,8	66,3	31,3	0,4
13.05.2022 02:00	189	0,9	7,5	8,9	47,4	22,8	0,2
13.05.2022 03:00	207	0,6	8,1	9,1	51,9	21,8	0,6
13.05.2022 04:00	194	0,7	7	8,1	51,8	18,4	0,6
13.05.2022 05:00	183	0,3	6,1	6,7	59	13,6	0,9
13.05.2022 06:00	180	0,8	6,5	7,7	48,3	10,5	0,6
13.05.2022 07:00	195	1,2	7,8	9,6	50,5	15,9	0,8
13.05.2022 08:00	190	1,6	7	9,5	59,4	16,6	1,1
13.05.2022 09:00	181	2,1	5	8,2	77,3	17,6	1,2
13.05.2022 10:00	175	0,5	2,9	3,7	88,9	13,4	1,1
13.05.2022 11:00	175	0,4	3,2	3,9	95	14,3	1,2
13.05.2022 12:00	173	0,4	3	3,5	102,5	16,4	0,8
13.05.2022 13:00	174	5,3	7,4	15,6	105,4	27,8	0,8
13.05.2022 14:00	170	0,4	2,8	3,4	107,6	24,9	0,9
13.05.2022 15:00	177	0,3	2,8	3,3	110,9	29,7	0,8
13.05.2022 16:00	179	0,3	3,1	3,5	112,7	22,2	0,9
13.05.2022 17:00	183	0,2	3,2	3,5	113,4	18,4	0,6
13.05.2022 18:00	187	0,3	3,2	3,7	114,1	21,2	0,7
13.05.2022 19:00	188	0,2	4,1	4,4	111,7	23,6	0,8
13.05.2022 20:00	208	0,3	4,2	4,7	92,4	33,1	0,5
13.05.2022 21:00	222	0,3	5,4	5,8	67,1	32,1	0,5
13.05.2022 22:00	224	0,3	4,9	5,3	60,9	31,4	0,3
13.05.2022 23:00	231	0,3	7,5	8	66,2	23	0,5
14.05.2022	218	0,4	7,7	8,3	59,7	16,3	0,5
14.05.2022 01:00	204	0,3	5,8	6,3	62,7	15,1	0,5
14.05.2022 02:00	190	0,3	5,2	5,7	61,8	11,7	0,6
14.05.2022 03:00	194	0,3	5,6	6,1	55,9	8,5	0,3
14.05.2022 04:00	183	0,4	5,9	6,5	51,5	6,4	0,3
14.05.2022 05:00	178	0,3	6,2	6,7	51,7	11,2	0,2

14.05.2022 06:00	179	0,3	6,4	7	52,4	14	0,4
14.05.2022 07:00	186	0,6	6,7	7,6	51,9	13,1	0,8
14.05.2022 08:00	192	0,5	7,3	8,1	51,8	13,4	1
14.05.2022 09:00	197	1,4	6,7	8,9	55,7	22,8	1,1
14.05.2022 10:00	191	1	4,8	6,4	70,8	17,1	1,1
14.05.2022 11:00	186	0,6	4,1	5,1	80,4	13	0,8
14.05.2022 12:00	192	0,6	4,8	5,7	81,4	9,3	0,9
14.05.2022 13:00	186	0,4	3,4	4,1	94,1	7,7	0,8
14.05.2022 14:00	186	0,2	3,7	3,9	92,9	5,7	0,5
14.05.2022 15:00	178	0,2	2,9	3,3	94,2	5	0,2
14.05.2022 16:00	175	0,2	3	3,4	93,3	11	0,2
14.05.2022 17:00	178	0,4	3,4	4	93,6	9,6	0,4
14.05.2022 18:00	186	0,2	3,6	4	93,1	8,2	0,4
14.05.2022 19:00	184	0,4	3,2	3,7	92,5	13,4	0,3
14.05.2022 20:00	189	0,3	4,1	4,6	88,7	13,4	0,3
14.05.2022 21:00	203	0,2	6,6	6,9	79,9	26,5	0,5
14.05.2022 22:00	210	0,1	7,5	7,7	78,2	19,8	0,4
14.05.2022 23:00	218	0,2	7,5	7,9	74,7	21,7	0,4
15.05.2022	224	0,1	7,3	7,5	71,6	20,7	0,5
15.05.2022 01:00	230	0,3	7,4	7,8	66,6	26,7	0,7
15.05.2022 02:00	227	0,3	6,8	7,2	62,1	19,5	0,3
15.05.2022 03:00	216	0,4	6	6,6	61	22,7	1,3
15.05.2022 04:00	201	0,4	5	5,6	64,9	23,9	1,2
15.05.2022 05:00	203	0,3	5,6	6	55,9	18,3	0,8
15.05.2022 06:00	209	0,5	5,7	6,4	55,7	16,8	0,6
15.05.2022 07:00	207	0,6	4,8	5,8	58,9	16,6	0,7
15.05.2022 08:00	186	0,3	3	3,4	75,6	12,8	0,7
15.05.2022 09:00	185	0,4	2,3	3	80	15,2	0,6
15.05.2022 10:00	176	0,4	1,8	2,4	84	11,3	0,5
15.05.2022 11:00	171	0,2	2	2,3	87,4	8,4	0,4
15.05.2022 12:00	170	0,2	2	2,3	90	6,2	0,4
15.05.2022 13:00	171	0,3	1,8	2,2	93,9	5,1	0,2
15.05.2022 14:00	169	0,3	1,7	2,2	95,9	4,5	0,5
15.05.2022 15:00	170	0,2	1,7	2	95,1	3,8	0,5
15.05.2022 16:00	172	0,2	1,9	2,1	95,4	12	0,6
15.05.2022 17:00	170	0,1	1,8	2	96,9	13,1	0,8
15.05.2022 18:00	169	0,1	2,1	2,3	97,9	10,1	1,7
15.05.2022 19:00	171	0,2	2,4	2,7	96,8	7,6	1,6
15.05.2022 20:00	175	0,2	2,9	3,2	83,7	5,6	1,4
15.05.2022 21:00	178	0,3	5,1	5,6	57,2	4	0,7
15.05.2022 22:00	187	0,3	5	5,5	56,4	8,9	0,7
15.05.2022 23:00	184	0,4	5,3	5,9	53,3	15,6	0,5
16.05.2022	187	0,4	4,9	5,5	58,2	12,4	0,5
16.05.2022 01:00	184	0,2	5	5,4	57,5	14,5	0,5
16.05.2022 02:00	200	0,2	7,8	8	64,8	12,9	0,7
16.05.2022 03:00	217	0,2	10,8	11,2	49,3	15,5	0,6
16.05.2022 04:00	226	0,3	12,3	12,8	47,6	14,6	0,6
16.05.2022 05:00	222	0,4	10	10,6	56,5	10,5	0,6
16.05.2022 06:00	214	0,6	9,2	10,2	55,8	11,4	0,5
16.05.2022 07:00	203	1,1	9,4	11,2	52,1	12,7	0,4
16.05.2022 08:00	201	2,5	10	13,8	59,3	11,6	0,6

16.05.2022 09:00	195	1,8	7,1	9,9	68,5	15	0,9
16.05.2022 10:00	192	1,7	6,8	9,4	72,9	11,7	0,7
16.05.2022 11:00	186	1,8	7,2	10	78,9	8,5	0,8
16.05.2022 12:00	187	1,5	7,1	9,3	84,6	6,9	0,9
16.05.2022 13:00	173	1,1	6,1	7,8	77,5	14,8	1
16.05.2022 14:00	175	1,1	6,2	8	80,5	10,9	0,6
16.05.2022 15:00	177	1,1	6,2	7,9	81,7	8,8	0,8
16.05.2022 16:00	177	0,9	5,7	7	88,3	11,1	0,7
16.05.2022 17:00	181	0,5	4,9	5,7	94,1	13,3	0,8
16.05.2022 18:00	185	0,5	4,5	5,3	96,5	10,5	0,6
16.05.2022 19:00	188	0,5	7,9	8,6	89,5	7,4	0,5
16.05.2022 20:00	194	0,4	8,3	8,9	69,4	11,3	0,5
16.05.2022 21:00	196	0,4	7,7	8,3	45,7	15,1	0,3
16.05.2022 22:00	198	0,4	8,9	9,5	42,5	11,7	0,3
16.05.2022 23:00	202	0,6	9,6	10,6	36,1	11,7	0,4
17.05.2022	214	0,7	10,3	11,3	37,2	17,3	0,6
17.05.2022 01:00	203	0,7	9,5	10,6	32,2	19	0,4
17.05.2022 02:00	191	0,6	7,8	8,7	35,9	14,3	0,5
17.05.2022 03:00	186	0,4	6,9	7,6	38,9	16,1	0,5
17.05.2022 04:00	208	0,3	10,6	11	43,6	12	0,6
17.05.2022 05:00	250	0,4	15,8	16,4	36,8	11,7	0,9
17.05.2022 06:00	241	0,7	11,9	13	43,1	12,5	1,1
17.05.2022 07:00	222	1,3	10,4	12,4	48,7	14,9	1
17.05.2022 08:00	200	1,9	8	11	58,7	14,3	1,5
17.05.2022 09:00	175	1,3	6	8	71	10,3	1,1
17.05.2022 10:00	162	2,5	7	10,9	76,6	14,4	1
17.05.2022 11:00	169	1,6	5,6	8,1	76,6	15,7	0,8
17.05.2022 12:00	174	1,3	4,6	6,6	77,3	14,3	0,9
17.05.2022 13:00	179	3,2	5,8	10,7	81	15,5	0,9
17.05.2022 14:00	204	1,5	6,1	8,4	81,3	19,5	0,9
17.05.2022 15:00	204	1,8	7,6	10,4	81,5	28,2	0,6
17.05.2022 16:00	187	2,6	6,5	10,4	86,7	25,9	0,8
17.05.2022 17:00	182	1,5	4,5	6,7	87,1	19,9	0,7
17.05.2022 18:00	182	0,4	3,2	3,8	85,5	22,4	0,5
17.05.2022 19:00	183	0,5	4,2	4,9	81,6	20,9	0,5
17.05.2022 20:00	192	0,3	6,8	7,3	79,9	21,4	0,6
17.05.2022 21:00	188	0,3	6,2	6,6	79,2	21,8	0,5
17.05.2022 22:00	202	0,3	7,6	8	71,5	15,2	0,4
17.05.2022 23:00	190	0,2	5,4	5,8	76,8	14,3	0,5
18.05.2022	179	0,2	4,3	4,6	75,8	10,7	0,5
18.05.2022 01:00	179	0,1	4	4,1	69,5	7,5	0,3
18.05.2022 02:00	183	0,1	5	5,3	63,3	5,3	0,4
18.05.2022 03:00	191	0,1	5,6	5,6	63,7	4	0,6
18.05.2022 04:00	186	0,2	4,8	5	65,7	5,5	0,9
18.05.2022 05:00	187	0,2	5	5,2	62,7	11,3	0,9
18.05.2022 06:00	190	0,2	5	5,3	61,6	8,3	0,9
18.05.2022 07:00	198	1,1	6,1	7,8	56,6	12,7	1,2
18.05.2022 08:00	208	2,5	9,3	13,2	54,4	10,1	1,6
18.05.2022 09:00	209	2,5	8,2	12,1	55,3	9,4	1,9
18.05.2022 10:00	201	1,7	6,1	8,7	61,5	11,3	1,1
18.05.2022 11:00	187	1,3	5,6	7,6	64,1	8,3	0,8

18.05.2022 12:00	188	1,3	5,1	7,2	73,2	9,4	1
18.05.2022 13:00	197	1,1	4,7	6,4	78,6	13,8	1
18.05.2022 14:00	180	0,4	3,1	3,7	85,1	14,1	1
18.05.2022 15:00	200	0,4	3,4	4,1	87,9	12,8	1,1
18.05.2022 16:00	184	0,4	3,6	4,2	91,1	11,8	1
18.05.2022 17:00	182	0,5	3,1	3,9	93,3	8,9	0,8
18.05.2022 18:00	179	0,4	3	3,6	95,3	6,5	1
18.05.2022 19:00	183	0,2	4	4,4	97,2	5,7	3,2
18.05.2022 20:00	188	0,2	4,6	5	90	5,3	5,8
18.05.2022 21:00	194	0,3	6	6,5	54,9	11,3	2,9
18.05.2022 22:00	200	0,2	6,3	6,7	59,2	13,5	3,5
18.05.2022 23:00	192	0,2	5,7	6,1	58,2	13,8	2,9
19.05.2022	188	0,2	4,1	4,5	71,6	15,9	2,7
19.05.2022 01:00	227	0,2	4,5	4,8	67,1	12,7	2,5
19.05.2022 02:00	193	0,1	4,3	4,4	73,4	12,4	3,5
19.05.2022 03:00	216	0,3	5,5	5,9	72,6	13,8	4,3
19.05.2022 04:00	224	0,3	5,7	6,3	70,4	15,3	1,8
19.05.2022 05:00	200	0,3	4,5	5	74	13,3	1,5
19.05.2022 06:00	202	0,3	4,8	5,3	75,9	16	1,6
19.05.2022 07:00	223	1,2	8,3	10,2	69,7	19,8	2,1
19.05.2022 08:00	231	1,4	8,8	11,1	69,1	26,1	2,2
19.05.2022 09:00	221	0,8	5,3	6,6	79,1	19,9	2,1
19.05.2022 10:00	214	0,7	4,6	5,6	86,5	17,4	2,8
19.05.2022 11:00	211	0,6	4,7	5,6	96,4	14,6	4,3
19.05.2022 12:00	208	0,8	5,9	7,2	103,3	18,3	8,5
19.05.2022 13:00	213	0,4	4,6	5,2	113,6	15,8	5,3
19.05.2022 14:00	222	0,3	3,9	4,4	121,1	16,7	4
19.05.2022 15:00	226	0,2	4,3	4,6	126,9	14,1	3,7
19.05.2022 16:00	226	0,3	4,1	4,5	129,9	14	3,5
19.05.2022 17:00	235	0,2	3,8	4,2	129,7	17,6	3,7
19.05.2022 18:00	235	0,3	4,2	4,7	128,7	14,7	3,1
19.05.2022 19:00	236	1,7	9,4	12,1	106,3	32	2,8
19.05.2022 20:00	253	0,5	9,1	9,9	62,9	24,4	2
19.05.2022 21:00	258	0,5	11,5	12,2	58,9	27,8	1,9
19.05.2022 22:00	261	0,3	10,9	11,4	78,6	22,9	2,3
19.05.2022 23:00	287	0,4	13,6	14,2	92,7	17,8	2,4
20.05.2022	290	0,3	15,8	16,2	94,9	26,3	2,7
20.05.2022 01:00	271	0,3	13,9	14,4	96,4	38	2,7
20.05.2022 02:00	246	0,2	9,8	10,1	96,3	35,3	2,7
20.05.2022 03:00	228	0,4	7,4	8	90	30,4	2,2
20.05.2022 04:00	222	0,3	7,1	7,5	83,6	23,7	1,8
20.05.2022 05:00	214	0,3	7,2	7,7	78,7	19,7	1,9
20.05.2022 06:00	206	0,4	7,2	7,8	77,1	27,9	1,9
20.05.2022 07:00	206	0,7	7,8	8,9	74,2	23,8	2,1
20.05.2022 08:00	207	1	8	9,5	77,8	23,4	2,5
20.05.2022 09:00	207	1	8,3	9,8	83,6	25,7	2,8
20.05.2022 10:00	210	1,2	9,3	11,3	83,8	28,4	2,9
20.05.2022 11:00	215	0,9	8,9	10,4	90,4	27,9	2,9
20.05.2022 12:00	217	0,9	8,3	9,7	97,9	30,7	3
20.05.2022 13:00	226	0,8	8,2	9,4	113,3	35	3,4
20.05.2022 14:00	209	0,4	5,1	5,7	119,4	34,7	2,5

20.05.2022 15:00	198	0,2	3,7	4,1	116	34	1,6
20.05.2022 16:00	191	0,2	3,3	3,6	117,2	25,5	1,2
20.05.2022 17:00	181	0,2	3,1	3,5	124,1	23,8	1,1
20.05.2022 18:00	174	0,2	2,9	3,2	132,8	21,6	0,8
20.05.2022 19:00	169	0,2	3,2	3,5	130,4	16,8	0,7
20.05.2022 20:00	171	0,2	3,7	4	120,5	23	0,7
20.05.2022 21:00	179	0,3	5,5	6,1	90,5	31,1	0,8
20.05.2022 22:00	182	0,6	8,2	9,1	60,2	35,8	0,7
20.05.2022 23:00	186	0,5	7,7	8,5	63,8	29	0,7
21.05.2022	209	0,6	8,4	9,4	69,1	33	0,8
21.05.2022 01:00	253	0,7	10	11,1	63,5	28,7	0,9
21.05.2022 02:00	254	0,6	9,1	10	80,2	33,5	1,3
21.05.2022 03:00	212	0,5	8,1	8,9	69,6	39,3	1,2
21.05.2022 04:00	216	0,5	6,7	7,5	38,5	28,8	0,6
21.05.2022 05:00	218	0,6	8,3	9,2	28,9	29,6	0,6
21.05.2022 06:00	214	0,6	6,5	7,4	33,6	26,2	0,5
21.05.2022 07:00	202	0,5	5,4	6,2	48,8	23,3	0,5
21.05.2022 08:00	193	0,3	5,2	5,7	51,5	19,6	0,5
21.05.2022 09:00	184	0,4	3,5	4,2	51	15,6	0,4
21.05.2022 10:00	175	0,2	2,3	2,6	72,2	11	0,4
21.05.2022 11:00	165	0,3	2	2,6	86,7	8,8	0,3
21.05.2022 12:00	160	0,3	2,1	2,6	87,9	7,2	0,3
21.05.2022 13:00	160	0,3	2,3	2,7	87,5	5,4	0,4
21.05.2022 14:00	157	0,3	2,1	2,5	93,7	4,6	0,4
21.05.2022 15:00	156	0,3	2	2,5	96,4	4,2	0,3
21.05.2022 16:00	150	0,2	2	2,3	94,8	4	0,2
21.05.2022 17:00	154	0,3	1,9	2,3	90,3	4	0,2
21.05.2022 18:00	161	0,2	2,4	2,8	89	3,5	0,4
21.05.2022 19:00	172	0,3	2,9	3,3	83,5	21,7	0,3
21.05.2022 20:00	175	0,3	2,8	3,3	80,4	16,3	0,4
21.05.2022 21:00	179	0,3	2,9	3,4	77	13,2	0,3
21.05.2022 22:00	182	0,3	2,8	3,3	79	11,1	0,3
21.05.2022 23:00	181	0,2	2,9	3,2	78,1	7,9	0,3
22.05.2022	182	0,3	3	3,5	74,6	15,3	0,3
22.05.2022 01:00	180	0,2	2,7	3	72,3	17,9	0,3
22.05.2022 02:00	177	0,1	2,3	2,4	73,5	13,9	0,3
22.05.2022 03:00	173	0,2	1,9	2,2	79,2	10,5	0,2
22.05.2022 04:00	166	0,2	1,7	2	84,5	7,9	0,2
22.05.2022 05:00	164	0,1	1,7	1,9	86	5,7	0,3
22.05.2022 06:00	164	0,1	1,7	1,9	86,3	4,6	0,3
22.05.2022 07:00	164	0,2	1,7	2,1	84	3,4	0,3
22.05.2022 08:00	168	0,2	2	2,2	83,6	2,9	0,3
22.05.2022 09:00	166	0,3	1,5	2	85,6	2,5	0,1
22.05.2022 10:00	168	0,3	1,5	1,9	86	2,1	0,3
22.05.2022 11:00	170	0,3	1,6	2,1	84,7	1,9	0,1
22.05.2022 12:00	171	0,2	1,9	2,2	85,1	1,6	0,3
22.05.2022 13:00	167	0,2	1,6	2	89,7	1,8	0,2
22.05.2022 14:00	166	0,3	1,9	2,3	91,3	2	0,2
22.05.2022 15:00	166	0,3	1,8	2,2	92	1,9	0,1
22.05.2022 16:00	165	0,3	1,9	2,3	91,8	1,9	0,2
22.05.2022 17:00	164	0,2	2,3	2,6	92	1,9	0,2

22.05.2022 18:00	174	0,2	3,2	3,5	83,5	2	0,3
22.05.2022 19:00	184	0,2	3,8	4,1	73,9	2	0,4
22.05.2022 20:00	189	0,2	3,7	4	70,9	2,1	0,4
22.05.2022 21:00	187	0,2	3,1	3,4	75,6	2,1	0,2
22.05.2022 22:00	189	0,3	3,5	3,9	74,9	2,4	0,2
22.05.2022 23:00	189	0,3	3,9	4,4	72,8	2,6	0,3
23.05.2022	189	0,2	4	4,4	73,6	5	0,3
23.05.2022 01:00	191	0,2	2,8	3,1	80,4	9,3	0,2
23.05.2022 02:00	192	0,2	2,6	2,9	80,2	8,3	0,2
23.05.2022 03:00	193	0,2	3	3,3	78,3	6,6	0,3
23.05.2022 04:00	192	0,2	3,3	3,6	75,8	8	0,2
23.05.2022 05:00	193	0,2	4,3	4,6	66,1	8	0,1
23.05.2022 06:00	190	0,4	4,4	5	61,2	9,4	0,3
23.05.2022 07:00	192	0,3	5	5,6	60	8,5	0,3
23.05.2022 08:00	194	1	5,5	7,1	62,9	8,3	0,3
23.05.2022 09:00	199	1,5	6	8,4	69,1	6,5	0,5
23.05.2022 10:00	198	1,2	5,7	7,5	74,1	10,1	0,5
23.05.2022 11:00	194	0,8	4,7	6	83,7	7,9	0,5
23.05.2022 12:00	195	0,6	4,1	5	89,3	13,1	0,4
23.05.2022 13:00	227	0,3	3,9	4,4	92,9	14,6	0,5
23.05.2022 14:00	331	1,2	5,5	7,3	94,7	18,4	0,7
23.05.2022 15:00	335	0,8	4,4	5,6	97,3	18,7	0,5
23.05.2022 16:00	187	0,7	4,1	5,1	98,7	14,2	0,4
23.05.2022 17:00	186	0,3	3,7	4,1	99	20,2	0,6
23.05.2022 18:00	200	0,5	3,6	4,3	102,8	17,8	0,5
23.05.2022 19:00	199	0,4	4,6	5,2	101,2	12,8	0,7
23.05.2022 20:00	224	0,6	14,9	16	81	14,1	0,6
23.05.2022 21:00	223	1,8	15	17,8	37,3	13	0,3
23.05.2022 22:00	195	1,1	16,3	17,9	41,8	24,7	0,2
23.05.2022 23:00	209	1	15,8	17,3	47,7	19,1	0,1
24.05.2022	240	0,5	17,5	18,2	65,4	13,6	0,7
24.05.2022 01:00	239	0,3	16,7	17,1	65	22,5	1,1
24.05.2022 02:00	260	0,5	19,1	20	52,7	18,8	0,8
24.05.2022 03:00	247	0,4	16,3	16,9	49,6	20,8	0,8
24.05.2022 04:00	234	0,5	19	19,7	37,9	21,5	0,4
24.05.2022 05:00	218	0,5	14,2	15	37,7	19,3	0,3
24.05.2022 06:00	214	1	10,7	12,3	36,2	21,1	0,5
24.05.2022 07:00	221	2	9,4	12,4	40,8	21,8	0,8
24.05.2022 08:00	213	2	7,5	10,6	52,2	16,6	2,5
24.05.2022 09:00	202	1	5	6,5	67,2	11,8	0,8
24.05.2022 10:00	197	1,7	5	7,7	76,9	9,2	0,9
24.05.2022 11:00	191	0,7	4,1	5,2	81,9	7,5	1,2
24.05.2022 12:00	196	0,7	3,8	4,8	83,2	5,5	0,9
24.05.2022 13:00	207	16,5	12,4	37,8	79,7	16,6	1,4
24.05.2022 14:00	196	0,7	4,4	5,4	83,4	13,4	2,4
24.05.2022 15:00	191	0,6	5,4	6,3	85	16	4,7
24.05.2022 16:00	190	0,6	6,6	7,6	83,3	11,9	4,1
24.05.2022 17:00	201	0,7	8,6	9,7	79,8	9,6	2,3
24.05.2022 18:00	207	0,6	9,6	10,5	79,7	20,6	1,3
24.05.2022 19:00	200	0,4	6,9	7,4	81,9	18,9	0,8
24.05.2022 20:00	201	0,4	7,8	8,5	81,4	24,7	0,5

24.05.2022 21:00	217	0,2	8,2	8,5	61,2	19,6	0,8
24.05.2022 22:00	217	0,4	8,5	9,1	59	25,6	0,8
24.05.2022 23:00	218	0,3	8,3	8,7	54,3	19,8	0,7
25.05.2022	212	0,4	7,4	8	56,7	16,4	0,8
25.05.2022 01:00	205	0,3	6,4	6,8	54,8	24,2	0,9
25.05.2022 02:00	205	0,3	7,9	8,4	52,3	22,5	0,6
25.05.2022 03:00	204	0,3	6,9	7,4	46,4	16,7	0,6
25.05.2022 04:00	210	0,3	8,4	8,8	36,2	17,3	0,5
25.05.2022 05:00	218	0,5	6,9	7,7	30,8	14,5	0,5
25.05.2022 06:00	223	0,5	6,7	7,5	25,9	22,2	0,4
25.05.2022 07:00	228	0,9	6,5	7,9	23,4	22,6	0,5
25.05.2022 08:00	222	1	5,9	7,4	27,3	22,6	0,6
25.05.2022 09:00	213	1	6,6	8,1	31,6	23,3	0,5
25.05.2022 10:00	205	0,9	6,6	8	39,1	25,9	0,5
25.05.2022 11:00	218	0,8	5,9	7,1	40,6	23,4	0,3
25.05.2022 12:00	214	0,6	8,3	9,2	32,8		0,2
25.05.2022 13:00	205	0,5	8,3	9,1	43,9		0,4
25.05.2022 14:00	173	0,4	5,8	6,4	60,3		0,3
25.05.2022 15:00	165	0,3	4,2	4,7	76,4		0,2
25.05.2022 16:00	163	0,4	4,1	4,7	82,2		0,4
25.05.2022 17:00	165	0,3	4,3	4,8	76,8		0,3
25.05.2022 18:00	166	0,3	4,3	4,8	69,4		0,2
25.05.2022 19:00	172	0,3	4,4	4,9	61,4		0,2
25.05.2022 20:00	188	0,5	6,2	6,9	55,1		0,4
25.05.2022 21:00	205	0,3	6,8	7,3	51,5		0,4
25.05.2022 22:00	222	0,3	8,2	8,6	45,3		0,3
25.05.2022 23:00	221	0,3	7,4	7,8	44,3		0,2
26.05.2022	209	0,2	6,9	7,2	44		0,3
26.05.2022 01:00	206	0,3	7	7,5	42,7		0,3
26.05.2022 02:00	183	0,2	4,8	5,1	61,7		0,1
26.05.2022 03:00	180	0,3	4,5	4,9	61,9		0,1
26.05.2022 04:00	173	0,2	4	4,3	65		0,1
26.05.2022 05:00	179	0,3	4,5	5	50,3		0,1
26.05.2022 06:00	183	0,3	5,1	5,6	45,3		0,1
26.05.2022 07:00	183	0,5	4,3	5,1	48,5		0,1
26.05.2022 08:00	189	1,1	4,6	6,3	47,2		0,6
26.05.2022 09:00	191	1,5	5,2	7,5	52,1	46,7	0,9
26.05.2022 10:00	182	1	4,4	5,9	65,9	33,3	0,9
26.05.2022 11:00	174	0,6	3,2	4,2	84,8	23,6	0,7
26.05.2022 12:00	168	0,6	2,9	3,7	92,8	17,5	0,6
26.05.2022 13:00	162	0,3	2,9	3,4	91,8	13,1	0,6
26.05.2022 14:00	163	0,2	3,1	3,4	90,8	9,7	0,6
26.05.2022 15:00	163	0,3	3	3,6	92	8	0,8
26.05.2022 16:00	162	0,4	2,7	3,4	95,4	6,6	0,5
26.05.2022 17:00	165	0,2	3,4	3,8	99,7	12,1	0,2
26.05.2022 18:00	170	0,3	3,4	3,9	89,3	10,3	0,4
26.05.2022 19:00	168	0,3	3,2	3,7	87,2	8,1	0,4
26.05.2022 20:00	173	0,3	3,9	4,4	86	6,5	0,3
26.05.2022 21:00	173	0,1	4	4,2	87,4	6,3	0,2
26.05.2022 22:00	176	0,2	4,8	5,1	83	5,5	0,3
26.05.2022 23:00	183	0,3	6	6,4	77,6	13,3	0,5

27.05.2022	175	0,2	4,2	4,6	77,5	17,9	0,1
27.05.2022 01:00	183	0,2	5,5	5,8	67,7	28,4	0,3
27.05.2022 02:00	182	0,3	5,8	6,3	64,9	26,7	0,2
27.05.2022 03:00	182	0,4	5,8	6,4	57,2	19,4	0,1
27.05.2022 04:00	185	0,3	6,1	6,6	54,6	17,8	0
27.05.2022 05:00	181	0,3	6,4	6,9	55,5	16,4	0,3
27.05.2022 06:00	180	0,3	6,6	7,1	58,3	15,2	0,7
27.05.2022 07:00	182	0,5	6,6	7,4	55	18,7	0,5
27.05.2022 08:00	179	0,4	6,2	6,9	54,5	23,5	0,4
27.05.2022 09:00	177	0,6	6,4	7,4	58,4	17,7	0,2
27.05.2022 10:00	178	0,8	6,1	7,3	58,1	12,6	0,3
27.05.2022 11:00	172	0,8	5,2	6,4	60,9	17,7	0,4
27.05.2022 12:00	174	0,4	3,5	4,1	61,9	13,4	1
27.05.2022 13:00	171	0,3	3	3,5	63	9,5	0,9
27.05.2022 14:00	167	0,2	2,4	2,7	77,3	7,3	0,9
27.05.2022 15:00	163	0,3	2,9	3,4	74,9	5,6	0,8
27.05.2022 16:00	170	0,6	3,2	4,1	72,2	4,8	0,6
27.05.2022 17:00	173	0,5	3,5	4,3	72,4	3,8	0,7
27.05.2022 18:00	176	0,3	4,1	4,6	72	3,4	0,5
27.05.2022 19:00	180	0,3	3,3	3,8	75,4	3,1	0,5
27.05.2022 20:00	182	0,2	3,7	4	71,4	3	0,4
27.05.2022 21:00	189	0,3	4,1	4,5	65,2	4,3	0,4
27.05.2022 22:00	184	0,2	5,5	5,8	63,1	3,7	0,5
27.05.2022 23:00	171	0,2	4,4	4,6	71,3	3,3	0,4
28.05.2022	164	0,2	3,5	3,9	72,8	3,4	0,8
28.05.2022 01:00	162	0,2	3,8	4,2	68,6	5,9	0,9
28.05.2022 02:00	156	0,1	3,4	3,5	68,1	5,7	0,9
28.05.2022 03:00	151	0,1	2,7	2,7	67,4	4,9	0,9
28.05.2022 04:00	155	0,3	3	3,5	61,5	4,5	1,1
28.05.2022 05:00	159	0,3	3,2	3,6	58,9	8,9	1,1
28.05.2022 06:00	162	0,2	3,7	4	59,2	7,2	1,6
28.05.2022 07:00	166	0,4	3	3,6	61,5	6,3	1,4
28.05.2022 08:00	164	0,3	2	2,5	64,5	5,3	1,2
28.05.2022 09:00	168	0,3	1,7	2,2	67,3	12,6	1,2
28.05.2022 10:00	169	0,4	2	2,6	69,7	10,5	1,1
28.05.2022 11:00	168	0,3	1,8	2,3	75	8	1
28.05.2022 12:00	160	0,3	1,7	2,1	78,8	5,8	1
28.05.2022 13:00	160	0,2	1,8	2,2	77,9	4,9	1,1
28.05.2022 14:00	166	0,3	1,4	1,9	81,5	4,2	0,9
28.05.2022 15:00	169	0,3	1,8	2,3	82	3,9	1,2
28.05.2022 16:00	170	0,3	1,9	2,3	79,3	2,8	1
28.05.2022 17:00	174	0,2	1,6	1,8	79,5	8,4	1
28.05.2022 18:00	191	0,1	1,8	2	75,4	7,1	1,2
28.05.2022 19:00	193	0,2	2,3	2,5	70	10,3	1,1
28.05.2022 20:00	185	0,1	2,6	2,7	73,7	16,8	1,1
28.05.2022 21:00	192	0,2	2,5	2,8	69,9	13,5	1
28.05.2022 22:00	210	0,2	3,8	4,1	60,8	11,9	1
28.05.2022 23:00	210	0,3	3,6	4	56,4	8,6	1
29.05.2022	216	0,2	3,9	4,1	51,4	8,3	0,8
29.05.2022 01:00	200	0,3	3,7	4,2	58,5	13,4	0,9
29.05.2022 02:00	193	0,1	4	4,1	60,4	10,1	1

29.05.2022 03:00	187	0,1	3,6	3,7	60,7	7,8	1
29.05.2022 04:00	185	0,2	3,6	3,8	56	8,4	0,9
29.05.2022 05:00	184	0,2	3,5	3,7	53,1	7	0,9
29.05.2022 06:00	184	0,3	3,3	3,8	51,9	6,1	1,1
29.05.2022 07:00	181	0,5	3	3,7	54,4	4,8	1,3
29.05.2022 08:00	176	0,6	2,4	3,2	59,2	4,1	1,6
29.05.2022 09:00	174	0,4	2,1	2,8	63	8	1,3
29.05.2022 10:00	175	0,4	2	2,5	67,6	9,8	1,1
29.05.2022 11:00	168	0,2	1,7	2	72,4	7,4	0,9
29.05.2022 12:00	168	0,3	1,7	2,2	73	6,5	1,1
29.05.2022 13:00	167	0,3	1,9	2,4	74,8	5	1
29.05.2022 14:00	165	0,3	1,7	2,1	78,1	4,7	1
29.05.2022 15:00	163	0,3	1,6	2	81,7	3,8	0,9
29.05.2022 16:00	164	0,3	1,8	2,3	82,9	4,9	1
29.05.2022 17:00	166	0,3	1,9	2,4	88,2	5,1	1,6
29.05.2022 18:00	167	0,2	2,2	2,5	88,5	4,6	1,8
29.05.2022 19:00	169	0,1	3	3,2	84	4,4	1,8
29.05.2022 20:00	183	0,3	4,4	4,9	68,8	12,9	1,6
29.05.2022 21:00	183	0,2	4,4	4,6	53,1	21,3	1,3
29.05.2022 22:00	191	0,3	6,3	6,8	39,5	17,7	0,9
29.05.2022 23:00	212	0,4	10,5	11,2	29	23,3	0,7
30.05.2022	218	0,4	12,1	12,7	29	18	0,9
30.05.2022 01:00	205	0,5	8,5	9,2	26,7	19,2	0,8
30.05.2022 02:00	212	0,5	10,1	10,9	28	17,3	0,9
30.05.2022 03:00	219	0,3	9,6	10,1	30	16,4	1,1
30.05.2022 04:00	212	0,2	7	7,3	38,8	11,9	1,3
30.05.2022 05:00	185	0,2	4	4,3	62,7	15,1	1,2
30.05.2022 06:00	171	0,2	2,6	2,9	73,6	13,6	1
30.05.2022 07:00	170	0,2	3,4	3,7	71	9,8	0,9
30.05.2022 08:00	186	0,7	8,2	9,3	58,7	16,7	0,7
30.05.2022 09:00	200	1,2	12,2	14,1	51,7	15,7	0,7
30.05.2022 10:00	204	1,8	11,7	14,6	55,1	11,7	0,8
30.05.2022 11:00	201	2,1	10,4	13,7	60,1	9,2	1
30.05.2022 12:00	189	1,1	8,7	10,5	65,1	7,3	0,8
30.05.2022 13:00	179	0,7	4,5	5,6	75,3	5,3	0,7
30.05.2022 14:00	178	0,4	3,5	4,2	71,8	3,9	0,7
30.05.2022 15:00	182	0,6	3,9	4,9	70,3	3,9	0,5
30.05.2022 16:00	174	0,4	2,8	3,4	77	3,7	0,6
30.05.2022 17:00	175	0,4	2,5	3,1	81,2	3,6	0,6
30.05.2022 18:00	175	0,4	2,4	2,9	81,6	3,3	0,8
30.05.2022 19:00	173	0,3	2,4	2,9	85,9	3	0,7
30.05.2022 20:00	177	0,2	3	3,3	76,1	3,1	0,7
30.05.2022 21:00	179	0,2	3,4	3,6	44,7	6,5	0,4
30.05.2022 22:00	193	0,1	5	5,2	61	6,2	0,6
30.05.2022 23:00	216	0,3	4,4	4,9	56,6	5,9	0,6
31.05.2022	252	0,2	5,7	6	55,3	9,5	0,6
31.05.2022 01:00	244	0,3	5,2	5,7	52,9	20,5	0,6
31.05.2022 02:00	207	0,2	5,1	5,4	55,7	16,3	0,7
31.05.2022 03:00	199	0,3	4,6	5	43,3	14,3	0,7
31.05.2022 04:00	209	0,3	4,8	5,2	43,9	17,9	0,7
31.05.2022 05:00	213	0,3	5,4	5,9	39,9	13,7	0,8

31.05.2022 06:00	219	0,5	4,8	5,6	36,8	13,5	0,9
31.05.2022 07:00	221	0,8	4,9	6,1	46,2	13,6	1,1
31.05.2022 08:00	198	0,6	4	5	70	10	1,2
31.05.2022 09:00	184	0,6	3,6	4,6	86	10,1	1,3
31.05.2022 10:00	184	0,8	5,2	6,5	92,8	7,7	4,3
31.05.2022 11:00	182	1,2	6,7	8,5	95,7	5,9	8
31.05.2022 12:00	181	0,6	3,5	4,4	100,2	4,6	4,1
31.05.2022 13:00	179	0,8	5,7	6,9	98,8	7,6	14,3
31.05.2022 14:00	179	0,5	4,2	5,1	103,4	6,2	12
31.05.2022 15:00	176	0,3	3	3,5	108,1	6,7	6,2
31.05.2022 16:00	173	0,3	2,8	3,2	107	5,5	2,3
31.05.2022 17:00	176	0,2	2,9	3,3	105,7	6,1	1,4
31.05.2022 18:00	180	0,3	3	3,5	106,8	5,6	1,1
31.05.2022 19:00	191	0,3	5,9	6,4	104,1	9,5	1,9
31.05.2022 20:00	205	0,7	12,6	13,7	86,5	11,2	4,5
31.05.2022 21:00	231	2,6	21,2	25,2	63,8	28,1	2,8
31.05.2022 22:00	230	0,4	20,4	21	50,4	24,4	1,4
31.05.2022 23:00	228	0,5	14,3	15,1	65,7	24,9	1,1
01.06.2022	207	0,2	9,4	9,8	76,9	22,6	2,4
01.06.2022 01:00	202	0,1	7,6	7,8	71,5	28,3	2
01.06.2022 02:00	202	0,2	6,2	6,6	61,5	31,5	1,4
01.06.2022 03:00	197	0,2	4,8	5,1	68,6	23,9	1,3
01.06.2022 04:00	195	0,3	7,6	8,1	51,9	17,1	1,3
01.06.2022 05:00	198	0,4	10,3	10,8	41,9	14	1,3
01.06.2022 06:00	201	0,7	12,8	13,8	41,9	23,4	2,2
01.06.2022 07:00	195	0,8	9	10,2	36	18,7	1,6
01.06.2022 08:00	200	1,1	11,5	13,3	48,8	16,3	2,4
01.06.2022 09:00	201	0,8	9,6	10,9	49,4	22,5	2,2
01.06.2022 10:00	183	0,5	5	5,7	69,8	16,9	1,9
01.06.2022 11:00	175	0,5	3,8	4,6	76,2	12	1,6
01.06.2022 12:00	177	0,6	3,9	4,8	78,8	8,5	2
01.06.2022 13:00	174	0,5	3,6	4,4	90	6,9	2,1
01.06.2022 14:00	169	0,3	3,2	3,7	101,4	6	1,6
01.06.2022 15:00	170	0,4	2,9	3,6	104,3	4,3	1,5
01.06.2022 16:00	168	0,3	2,8	3,3	113,5	3,6	1,4
01.06.2022 17:00	164	0,3	3,1	3,5	119,2	2,8	1,4
01.06.2022 18:00	162	0,4	4	4,6	115,3	2,7	1,3
01.06.2022 19:00	168	0,3	4,6	5,1	113,6	4,2	1,5
01.06.2022 20:00	167	0,3	4,8	5,2	102,9	3,9	1,4
01.06.2022 21:00	177	0,4	5,6	6,2	62,2	15,3	1
01.06.2022 22:00	207	0,3	8	8,4	65,2	14,5	1
01.06.2022 23:00	208	0,3	8	8,5	69,9	20,3	1,2
02.06.2022	202	0,4	7,1	7,7	65,7	16,8	1,6
02.06.2022 01:00	204	0,3	6,4	6,9	61	14,5	1,7
02.06.2022 02:00	207	0,3	5,5	5,9	68,3	18,6	2,1
02.06.2022 03:00	193	0,2	4,4	4,7	76,4	14,2	1,7
02.06.2022 04:00	192	0,3	4,4	4,8	60,5	17,1	1,1
02.06.2022 05:00	195	0,2	5,5	5,9	61,4	17,6	1
02.06.2022 06:00	191	0,3	4,4	4,8	50,2	19,5	0,9
02.06.2022 07:00	188	0,3	4,8	5,2	53	14,8	0,9
02.06.2022 08:00	198	1	8,9	10,5	44,6	13,4	0,9

02.06.2022 09:00	188	1,3	7,5	9,5	67,3	10,6	1,1
02.06.2022 10:00	174	0,5	3,6	4,3	92,8	7,7	1,2
02.06.2022 11:00	176	0,5	3,6	4,3	90,5	5,4	1
02.06.2022 12:00	176	0,5	3	3,7	91,3	4,2	1
02.06.2022 13:00	172	0,3	2,5	3	98,8	3,4	1
02.06.2022 14:00	178	0,3	2,4	2,8	103,4	3,4	0,9
02.06.2022 15:00	180	0,2	2,7	3	107,1	3,5	0,9
02.06.2022 16:00	161	0,2	2,4	2,8	104,1	2,8	0,9
02.06.2022 17:00	163	0,2	2,6	3	104,9	2,9	1
02.06.2022 18:00	162	0,3	2,7	3,1	106,4	2,7	0,9
02.06.2022 19:00	165	0,3	3	3,5	104,2	2,6	0,9
02.06.2022 20:00	171	0,1	3,9	4,1	95,4	3,4	0,9
02.06.2022 21:00	179	0,2	5,2	5,6	66,9	6,4	0,8
02.06.2022 22:00	182	0,3	5,6	6	65,3	7	0,8
02.06.2022 23:00	199	0,2	10,2	10,6	70,4	7,4	0,9
03.06.2022	197	0,3	9,5	10	55,3	10,1	0,9
03.06.2022 01:00	209	0,5	11,3	12,1	36,2	14,7	0,8
03.06.2022 02:00	196	0,4	7,9	8,4	39,7	11,2	0,9
03.06.2022 03:00	189	0,3	7,3	7,8	50,1	10	0,9
03.06.2022 04:00	183	0,4	5,7	6,3	50,4	7,6	0,8
03.06.2022 05:00	181	0,2	4,8	5,2	56,7	9,2	0,8
03.06.2022 06:00	187	0,5	5,9	6,7	61,6	13,4	1,3
03.06.2022 07:00	189	0,9	8,4	9,8	68,4	11,7	2,4
03.06.2022 08:00	185	1,1	7,7	9,4	85	8,7	2,2
03.06.2022 09:00	183	0,9	6,6	8	93,7	6,8	2,7
03.06.2022 10:00	185	1	5,7	7,3	102,3	8	2,5
03.06.2022 11:00	181	0,4	3,6	4,3	107,8	7,4	1,9
03.06.2022 12:00	175	0,3	3,5	3,9	110	6,4	1,4
03.06.2022 13:00	173	0,2	3,4	3,7	111,3	5,7	1,3
03.06.2022 14:00	180	0,3	3,5	4	112,5	8,3	1,3
03.06.2022 15:00	172	0,4	3,5	4,1	113,8	6,5	1,3
03.06.2022 16:00	184	0,4	3,2	3,8	115,5	6,5	1,1
03.06.2022 17:00	175	0,5	3,3	4	116,4	8,5	1,3
03.06.2022 18:00	176	0,3	3,7	4,2	116,9	9,5	1,6
03.06.2022 19:00	180	0,2	4	4,3	119,4	8,7	1,9
03.06.2022 20:00	190	0,3	6	6,4	89,9	14,7	1,7
03.06.2022 21:00	200	0,6	8	8,9	44,8	32,9	1
03.06.2022 22:00	207	0,7	11,2	12,2	40,5	24,4	1,2
03.06.2022 23:00	212	0,4	13,7	14,4	61	19,9	1,7
04.06.2022	203	0,4	12,7	13,4	55,8	15,6	1,6
04.06.2022 01:00	200	0,3	10,8	11,3	72,4	17,3	1,5
04.06.2022 02:00	194	0,2	10,4	10,7	70,4	17	1,3
04.06.2022 03:00	205	0,5	10,9	11,7	44,9	17,8	1
04.06.2022 04:00	200	0,3	10,2	10,6	44,8	16,7	1
04.06.2022 05:00	197	0,4	9,1	9,7	45,4	19,7	1,1
04.06.2022 06:00	188	0,7	10,1	11,1	59,5	17,9	1,8
04.06.2022 07:00	196	0,8	10,5	11,7	58,6	16,5	1,8
04.06.2022 08:00	189	1,4	9,9	12,1	61	15,9	2,2
04.06.2022 09:00	194	2,2	11,6	15	63	24,6	4,3
04.06.2022 10:00	201	2,3	14	17,5	64,7	19,7	5,8
04.06.2022 11:00	208	1,7	14,1	16,7	62	25	4,5

04.06.2022 12:00	204	1	11,2	12,8	62,4	37,5	3,6
04.06.2022 13:00	216	1,2	13,4	15,1	46,3	29,2	2,7
04.06.2022 14:00	208	0,9	9,1	10,5	60,4	31	2,1
04.06.2022 15:00	196	0,6	6,8	7,8	81,9	22,8	2,1
04.06.2022 16:00	168	0,6	3,4	4,3	96,6	8,7	1,8
04.06.2022 17:00	168	0,3	3,2	3,7	109,5	5,2	1,9
04.06.2022 18:00	178	0,4	4,6	5,2	109	3,4	2,1
04.06.2022 19:00	181	0,4	5,2	5,8	95,7	8,3	1,9
04.06.2022 20:00	192	0,5	6,1	6,8	69,1	21,8	1,6
04.06.2022 21:00	208	0,4	6,7	7,4	55,8	17,4	1,1
04.06.2022 22:00	210	0,4	6,7	7,3	47,9	18,4	0,9
04.06.2022 23:00	202	0,4	5,9	6,6	46,8	13,5	0,9
05.06.2022	204	0,5	5,4	6,1	63,8	14,7	0,9
05.06.2022 01:00	212	0,2	6,4	6,8	73,9	22,8	0,9
05.06.2022 02:00	205	0,2	6,7	6,9	69,8	18,2	0,9
05.06.2022 03:00	192	0,2	6,2	6,6	68,8	22,2	0,7
05.06.2022 04:00	187	0,3	6,3	6,7	62,7	16,8	0,6
05.06.2022 05:00	182	0,3	6,3	6,8	64,4	12,5	0,6
05.06.2022 06:00	177	0,3	6,3	6,7	58,9	9,4	0,6
05.06.2022 07:00	171	0,6	5,2	6,2	56,8	8,2	0,6
05.06.2022 08:00	168	1	5	6,5	61	9,1	1,1
05.06.2022 09:00	167	1	4,6	6,2	68,9	7,5	1
05.06.2022 10:00	160	0,7	3,4	4,5	79,6	5,7	1
05.06.2022 11:00	161	0,4	2,8	3,5	91	4,5	0,8
05.06.2022 12:00	156	0,3	2,5	3,1	96,6	4,2	0,8
05.06.2022 13:00	157	0,3	2,6	3,1	100	4	0,9
05.06.2022 14:00	156	0,3	2,4	2,9	100,3	3,7	0,8
05.06.2022 15:00	157	0,4	2,6	3,2	107,9	3,2	0,9
05.06.2022 16:00	163	0,4	3,1	3,7	112,5	2,6	1
05.06.2022 17:00	165	0,2	2,8	3,2	114,6	2,8	1
05.06.2022 18:00	166	0,3	2,8	3,2	114,1	2,7	1
05.06.2022 19:00	164	0,3	3,5	4	104,6	2,4	0,9
05.06.2022 20:00	180	0,3	5,2	5,7	66,3	2,4	0,6
05.06.2022 21:00	179	1	8,8	10,4	44,3	14,8	0,8
05.06.2022 22:00	179	0,6	9,3	10,2	47,3	13,4	0,8
05.06.2022 23:00	191	0,6	13,8	14,8	47,1	11	0,6
06.06.2022	189	0,7	11,7	12,9	43,3	16,6	0,7
06.06.2022 01:00	186	0,6	9,2	10,1	43,6	20,1	0,6
06.06.2022 02:00	180	0,3	8	8,5	42,5	19,7	0,6
06.06.2022 03:00	178	0,6	10,2	11,1	29,4	15,1	0,5
06.06.2022 04:00	187	0,5	14,2	15	36,9	15,5	0,5
06.06.2022 05:00	188	0,6	10,5	11,4	46,1	15,3	0,6
06.06.2022 06:00	191	0,6	7,9	8,9	62,3	21,9	0,7
06.06.2022 07:00	195	1	9,1	10,7	68,7	16,6	1,4
06.06.2022 08:00	197	1,6	9,6	12	68	12,2	1,2
06.06.2022 09:00	187	1,2	6,9	8,7	81,8	9,4	1,1
06.06.2022 10:00	178	0,6	4,1	5,1	94,2	10,3	0,9
06.06.2022 11:00	171	0,5	4,3	5,1	106	9,2	0,8
06.06.2022 12:00	176	0,6	4,6	5,4	109,7	8,3	0,8
06.06.2022 13:00	173	0,6	4	4,9	111,9	10,1	0,8
06.06.2022 14:00	175	0,6	4,6	5,6	111,5	9	1,1

06.06.2022 15:00	173	0,5	4,2	5	113	14	1
06.06.2022 16:00	182	0,4	4	4,6	112	19,4	1,2
06.06.2022 17:00	174	0,5	3,9	4,7	111,5	15,4	1,1
06.06.2022 18:00	175	0,5	4,7	5,5	110,2	11,8	0,9
06.06.2022 19:00	176	0,4	6,2	6,9	105,4	15,5	1
06.06.2022 20:00	185	0,6	13	13,9	94,7	12,6	0,9
06.06.2022 21:00	198	0,7	17,3	18,3	80,6	12,9	0,8
06.06.2022 22:00	206	0,6	19,2	20	77,5	16,9	0,8
06.06.2022 23:00	210	0,4	11,6	12,3	74,4	37,6	0,7
07.06.2022	210	0,3	9	9,5	73,1	39,9	0,7
07.06.2022 01:00	214	0,7	10,8	11,9	48,8	53,9	1,1
07.06.2022 02:00	210	0,7	14,3	15,5	39,1	37	1
07.06.2022 03:00	215	0,8	10,7	12	40,4	34,4	0,9
07.06.2022 04:00	217	0,5	7,2	7,9	37,1	27,7	0,8
07.06.2022 05:00	214	0,8	7,8	9,1	26	26,9	0,7
07.06.2022 06:00	211	1,1	6,9	8,6	22	29,1	0,7
07.06.2022 07:00	212	1	5,6	7,1	32,2	25,4	0,8
07.06.2022 08:00	210	0,8	7	8,2	62,1	27,6	1,1
07.06.2022 09:00	218	1,3	8,5	10,5	68,2	42,1	1,5
07.06.2022 10:00	215	1	7,5	9	84,2	54,3	1,8
07.06.2022 11:00	205	0,8	5,9	7,1	94,4	37,5	1,8
07.06.2022 12:00	194	0,5	5,1	5,8	110,8	25,2	1,8
07.06.2022 13:00	211	0,3	5,5	6	103	67,4	1,4
07.06.2022 14:00	225	0,7	7,6	8,6	77,8	59,9	1,5
07.06.2022 15:00	201	0,5	6,3	7,1	90,8	48,4	1,7
07.06.2022 16:00	201	0,4	5	5,6	90,4	42,6	1,5
07.06.2022 17:00	192	0,5	4,2	5	106,6	31,2	1,7
07.06.2022 18:00	189	0,3	5,1	5,6	108,8	32,7	1,7
07.06.2022 19:00	200	0,4	5,9	6,5	78,4	33,3	1,3
07.06.2022 20:00	194	0,2	7,9	8,3	86,6	27,2	1,2
07.06.2022 21:00	187	0,6	8,6	9,5	83,9	19,7	0,8
07.06.2022 22:00	187	0,8	10	11,3	60,8	22,8	0,6
07.06.2022 23:00	181	0,3	8	8,5	55,4	19,7	0,5
08.06.2022	179	0,3	7,7	8,3	48,5	16,6	0,4
08.06.2022 01:00	175	0,5	6,2	6,9	46,7	17,8	0,4
08.06.2022 02:00	178	0,3	7,1	7,5	47	13	0,4
08.06.2022 03:00	180	0,4	8,7	9,3	40,2	15,4	0,3
08.06.2022 04:00	176	0,2	8,5	8,8	43,5	17,6	0,4
08.06.2022 05:00	164	0,3	5,6	6,1	51,8	14,3	0,3
08.06.2022 06:00	158	0,3	4,3	4,8	58,6	10,8	0,2
08.06.2022 07:00	157	0,5	3,8	4,7	56,9	7,9	0,2
08.06.2022 08:00	156	0,6	5,1	6	52,9	13,1	0,4
08.06.2022 09:00	161	0,6	4,7	5,5	53,9	20,7	0,3
08.06.2022 10:00	163	0,7	6,2	7,3	59,1	15,9	1,4
08.06.2022 11:00	174	0,8	6,6	7,8	69,1	22,2	4,1
08.06.2022 12:00	174	0,7	5,2	6,3	77,6	19,9	3,6
08.06.2022 13:00	174	0,6	4,4	5,3	82,5	20,8	3,1
08.06.2022 14:00	172	0,4	4,2	4,9	77,6	20	1,8
08.06.2022 15:00	173	0,4	5,3	5,9	73,3	19,5	1,1
08.06.2022 16:00	174	0,5	7	7,8	53,6	14,2	0,6
08.06.2022 17:00	167	0,9	6,2	7,5	56,4	11,1	0,5

08.06.2022 18:00	161	0,6	3,8	4,8	61,4	12,7	0,3
08.06.2022 19:00	164	0,5	4,4	5,1	62	14	0,3
08.06.2022 20:00	172	0,5	5,4	6,2	51,7	10,5	0,4
08.06.2022 21:00	177	0,6	5,8	6,8	26,2	8	0,3
08.06.2022 22:00	184	0,8	6,5	7,7	13	11	0,2
08.06.2022 23:00	188	0,8	7,2	8,5	10,6	8,3	0,2
09.06.2022	195	1,7	8,1	10,8	10,5	10,9	0,2
09.06.2022 01:00	198	0,9	10,1	11,5	20,2	13,1	0,1
09.06.2022 02:00	205	0,6	12	13	22,2	14,8	0
09.06.2022 03:00	215	0,7	14,4	15,5	16,6	16,6	0
09.06.2022 04:00	210	0,7	11,5	12,6	17,4	20,6	0,2
09.06.2022 05:00	216	1,4	12,4	14,6	17,3	17,9	0
09.06.2022 06:00	225	2,3	17,3	20,8	20,5	19,5	0
09.06.2022 07:00	232	4	15,8	21,9	24,4	24,4	0,4
09.06.2022 08:00	210	1,8	10,7	13,4	28,6	18,9	0,4
09.06.2022 09:00	204	1,7	7,9	10,6	38,1	27,7	0,1
09.06.2022 10:00	210	1,5	8,6	10,9	45,8	26,2	0,3
09.06.2022 11:00	207	1	8,4	9,9	41,5	21,8	0,2
09.06.2022 12:00	206	1	5,7	7,2	43	25,9	0,1
09.06.2022 13:00	214	1,2	7,6	9,5	68,6	28,9	0,5
09.06.2022 14:00	197	0,4	4,1	4,8	91,2	21,3	2,2
09.06.2022 15:00	195	0,6	5	5,9	105,2	15	3,9
09.06.2022 16:00	192	0,6	5	5,9	112,8	11,6	2,8
09.06.2022 17:00	212	0,6	6,7	7,6	94,6	32,2	2,1
09.06.2022 18:00	198	0,3	5,5	6,1	57,9	30,2	1,3
09.06.2022 19:00	190	0,5	5,1	5,8	55,4	24,7	1,1
09.06.2022 20:00	197	0,4	6	6,7	61,7	17,8	1
09.06.2022 21:00	197	0,5	6,4	7,1	64,1	13,7	1,1
09.06.2022 22:00	198	0,4	6,1	6,6	60,7	18,9	1
09.06.2022 23:00	193	0,3	5,5	5,9	60,7	14,8	1
10.06.2022	180	0,3	4	4,5	71	12	1
10.06.2022 01:00	181	0,3	4,9	5,4	69,3	9,1	0,8
10.06.2022 02:00	175	0,3	4,5	5,1	67,4	10,2	0,8
10.06.2022 03:00	173	0,4	4,3	4,9	61,6	17,1	0,7
10.06.2022 04:00	174	0,3	5,1	5,6	54,9	13,1	0,9
10.06.2022 05:00	173	0,3	5,2	5,7	44,6	9,8	0,7
10.06.2022 06:00	172	0,4	5	5,6	43,6	12,2	0,7
10.06.2022 07:00	172	0,4	3,9	4,6	45,5	18,7	0,8
10.06.2022 08:00	171	0,3	4	4,5	50,9	15,1	0,8
10.06.2022 09:00	171	0,5	3,3	4,1	62,7	13,9	0,8
10.06.2022 10:00	174	0,3	3,6	4	62,9	10,3	0,9
10.06.2022 11:00	177	0,6	3,7	4,7	62,7	22,7	0,8
10.06.2022 12:00	172	0,5	4	4,7	90,2	17,8	1,7
10.06.2022 13:00	193	0,5	3,6	4,4	95	13,8	1,4
10.06.2022 14:00	233	0,5	3,5	4,3	97	12,7	1,1
10.06.2022 15:00	248	0,6	3,4	4,3	84,4	18,4	0,9
10.06.2022 16:00	178	0,3	3,5	4,1	82	14	0,9
10.06.2022 17:00	172	0,5	3,5	4,2	80,9	11	1
10.06.2022 18:00	163	0,4	2,7	3,4	81,5	8,6	1
10.06.2022 19:00	163	0,3	3	3,4	83,1	7,8	0,7
10.06.2022 20:00	169	0,3	4,2	4,6	77	6,9	0,6

10.06.2022 21:00	166	0,3	4,8	5,3	70,6	8,4	0,7
10.06.2022 22:00	164	0,2	5,1	5,4	64,4	6,8	0,5
10.06.2022 23:00	171	0,3	6	6,5	57,5	12,5	0,5
11.06.2022	173	0,3	6,7	7,2	52,7	12,6	0,5
11.06.2022 01:00	175	0,4	6,5	7,1	46,3	11	0,6
11.06.2022 02:00	179	0,4	7	7,5	41,9	18,5	0,5
11.06.2022 03:00	183	0,4	7,7	8,4	39,9	16	0,6
11.06.2022 04:00	188	0,4	8,5	9	35,5	14,1	0,7
11.06.2022 05:00	188	0,4	9,5	10,1	34,3	21,4	0,7
11.06.2022 06:00	189	1	9,1	10,6	31,7	20,9	0,6
11.06.2022 07:00	179	1,3	7,4	9,4	47,7	15,5	0,8
11.06.2022 08:00	165	0,9	4,7	6	61,2	11,7	0,8
11.06.2022 09:00	152	0,3	2,6	3,1	72,7	8,9	0,7
11.06.2022 10:00	157	0,4	2,7	3,2	74,4	7	0,7
11.06.2022 11:00	155	0,5	2,8	3,6	78,6	5,9	1,4
11.06.2022 12:00	158	0,5	3,1	3,8	85,8	4,4	4,3
11.06.2022 13:00	156	0,4	2,5	3,1	90,3	4,1	2,7
11.06.2022 14:00	153	0,3	2,5	3	91,1	3,2	2
11.06.2022 15:00	146	0,3	2,1	2,6	88,8	3,2	1
11.06.2022 16:00	144	0,2	2,2	2,5	89,5	2,7	0,8
11.06.2022 17:00	148	0,2	2	2,4	91,7	2,3	0,8
11.06.2022 18:00	150	0,3	2,1	2,6	93,7	5,1	0,9
11.06.2022 19:00	150	0,5	2,3	3	83,9	7,5	0,9
11.06.2022 20:00	156	0,3	3,2	3,6	73,7	8,3	0,9
11.06.2022 21:00	165	0,4	4,4	5	52,5	23,3	0,8
11.06.2022 22:00	166	0,4	4,9	5,5	50,2	18,9	0,8
11.06.2022 23:00	168	0,2	5,2	5,5	53,3	13,5	0,8
12.06.2022	173	0,2	5,4	5,7	55,3	17,5	0,9
12.06.2022 01:00	170	1,1	7,3	8,9	35,3	26,6	0,8
12.06.2022 02:00	164	1,2	7,6	9,4	28,4	20	0,9
12.06.2022 03:00	157	1	6,4	7,9	28,6	16,1	0,7
12.06.2022 04:00	151	0,5	5,5	6,3	33,4	15,9	1
12.06.2022 05:00	147	0,7	5,1	6,2	32,3	14,1	0,4
12.06.2022 06:00	149	0,8	4,6	5,8	33,6	14,8	0,7
12.06.2022 07:00	158	0,8	3,3	4,5	42,1	11,8	1,1
12.06.2022 08:00	166	0,7	4	5,1	65,9	9,3	1,2
12.06.2022 09:00	159	0,6	3	3,8	82,5	7,1	1,6
12.06.2022 10:00	158	0,7	3,6	4,6	88,1	8,7	2,6
12.06.2022 11:00	164	0,4	3,2	3,8	99,4	7	2,2
12.06.2022 12:00	160	0,3	2,6	3,1	105	6,5	1,6
12.06.2022 13:00	162	0,3	2,5	3	109,1	6,2	1,2
12.06.2022 14:00	179	0,4	3,5	4,1	103,5	8,1	1,5
12.06.2022 15:00	175	0,2	2,8	3,1	111,7	18,1	1,6
12.06.2022 16:00	169	0,2	2,4	2,8	109,7	14,3	1,4
12.06.2022 17:00	166	0,3	2	2,5	109,3	22,3	1,3
12.06.2022 18:00	166	0,2	2,5	2,8	110,5	17,4	1,3
12.06.2022 19:00	165	0,2	2,7	3	108,1	13,4	1,2
12.06.2022 20:00	176	0,2	4,7	5	81	34,8	1,1
12.06.2022 21:00	179	1,6	10,3	12,8	42,6	25,8	0,8
12.06.2022 22:00	171	2	11,6	14,7	42,9	29,8	0,8
12.06.2022 23:00	165	1,9	13,6	16,5	38,8	23,4	0,8

13.06.2022	168	0,8	9,2	10,5	53,3	22,5	0,8
13.06.2022 01:00	185	0,5	8,3	9,1	68,6	26,5	0,9
13.06.2022 02:00	180	0,5	10,5	11,2	69,2	25,5	1
13.06.2022 03:00	180	0,4	8,6	9,2	66,9	20	1,1
13.06.2022 04:00	201	0,4	5,9	6,5	59	14,9	1,2
13.06.2022 05:00	195	0,7	6,1	7,2	40,9	17,3	0,9
13.06.2022 06:00	193	1	7,9	9,4	35	24,4	1
13.06.2022 07:00	189	0,4	6	6,6	51,6	21,8	1,1
13.06.2022 08:00	172	0,3	4,5	5	64,9	29,3	0,8
13.06.2022 09:00	165	0,5	4,8	5,6	73,5	23,1	0,7
13.06.2022 10:00	167	0,5	4,9	5,8	79,6	16,7	0,9
13.06.2022 11:00	171	0,3	3,9	4,4	80,5	14,6	1
13.06.2022 12:00	171	0,4	3,9	4,6	74	12,4	0,9
13.06.2022 13:00	174	0,7	6,4	7,5	67,3	9,8	0,8
13.06.2022 14:00	171	0,5	5,3	6,1	70	15,5	1
13.06.2022 15:00	171	0,3	3,5	3,9	73,7	12,3	1,1
13.06.2022 16:00	156	0,2	3,1	3,4	88,1	15,2	0,6
13.06.2022 17:00	155	0,1	3,4	3,6	78,6	12	0,5
13.06.2022 18:00	159	0,5	6	6,7	71,5	8,6	0,5
13.06.2022 19:00	162	0,3	4,2	4,6	67,3	6,8	0,5
13.06.2022 20:00	165	0,2	4,1	4,4	64,6	5,2	0,4
13.06.2022 21:00	165	0,2	4,2	4,5	64,6	3,7	0,6
13.06.2022 22:00	159	0,2	3,8	4,1	62,8	3,2	0,6
13.06.2022 23:00	159	0,1	4,1	4,3	55,4	2,5	0,8
14.06.2022	155	0,2	3,9	4,2	50,6	2,3	0,7
14.06.2022 01:00	161	0,3	4,5	4,9	44,6	6,6	0,7
14.06.2022 02:00	155	0,3	4,3	4,7	44,8	10,2	0,3
14.06.2022 03:00	154	0,2	5,2	5,6	43,8	10,4	0,3
14.06.2022 04:00	152	0,2	4,8	5,2	41,9	11,5	0,2
14.06.2022 05:00	150	0,2	4,8	5,1	41	13,4	0,3
14.06.2022 06:00	155	0,6	4,9	5,9	36,9	12,1	0,4
14.06.2022 07:00	153	0,8	3,9	5,2	43	13	0,6
14.06.2022 08:00	153	0,9	3	4,4	54,6		0,8
14.06.2022 09:00	149	0,9	4,1	5,4	52,4	7,5	0,7
14.06.2022 10:00	147	0,4	1,7	2,3	72,5	5,4	0,6
14.06.2022 11:00	145	0,2	1,7	2,1	74,9	4,1	0,4
14.06.2022 12:00	143	0,3	1,7	2,1	77,5	3,5	0,6
14.06.2022 13:00	150	0,3	1,6	2,1	77,4	3,3	0,6
14.06.2022 14:00	149	0,3	1,9	2,3	78,2	2,6	0,6
14.06.2022 15:00	151	0,3	1,9	2,3	81,4	2,1	0,6
14.06.2022 16:00	137	0,3	1,7	2,2	87	1,8	0,5
14.06.2022 17:00	136	0,3	2	2,5	88,2	2	0,5
14.06.2022 18:00	136	0,2	2,1	2,5	84,9	1,9	0,6
14.06.2022 19:00	137	0,1	2,1	2,3	81,4	4,1	0,5
14.06.2022 20:00	146	0,3	2,4	2,9	78,4	4,3	0,7
14.06.2022 21:00	150	0,3	2,9	3,3	76,7	4,1	0,6
14.06.2022 22:00	150	0,2	3,4	3,8	69,3	6,1	0,6
14.06.2022 23:00	151	0,1	4,3	4,4	64	9,3	0,7
15.06.2022	154	0,2	4,9	5,2	60,3	16,5	0,8
15.06.2022 01:00	159	0,2	5,1	5,5	55,3	22,8	0,8
15.06.2022 02:00	162	0,3	5,9	6,4	49,9	21,9	1

15.06.2022 03:00	162	0,3	6,2	6,6	45,5	16,1	1,2
15.06.2022 04:00	161	0,2	5,8	6,2	42,5	13,4	1,1
15.06.2022 05:00	158	0,3	5,8	6,3	38,3	17,8	0,9
15.06.2022 06:00	157	0,6	5,3	6,2	37,8	16,2	1
15.06.2022 07:00	156	1	4,7	6,2	43,6	12,1	1,5
15.06.2022 08:00	152	0,8	3,4	4,7	55,6	9,3	1,6
15.06.2022 09:00	148	0,3	2,2	2,8	64,5	7,3	1,1
15.06.2022 10:00	171	0,4	1,8	2,4	68,6	5,4	1,2
15.06.2022 11:00	154	0,4	1,7	2,3	71,1	4,4	1,1
15.06.2022 12:00	159	0,3	1,6	2,1	73,2	3,5	1,2
15.06.2022 13:00	313	0,5	1,8	2,6	73,9	11,1	1,1
15.06.2022 14:00	678	0,8	2,5	3,8	73,7	9,8	1,2
15.06.2022 15:00	146	0,2	2	2,3	77,7	7,4	1,2
15.06.2022 16:00	149	0,3	1,7	2,1	81,2	6	1,1
15.06.2022 17:00	148	0,2	2	2,2	82,3	5,2	1,2
15.06.2022 18:00	148	0,3	2	2,4	84,2	6,5	1,1
15.06.2022 19:00	150	0,2	2,4	2,7	83,3	7,2	1,1
15.06.2022 20:00	153	0,3	3,5	4	78,1	10,8	1,1
15.06.2022 21:00	161	0,3	4,8	5,3	51,8	30	1
15.06.2022 22:00	161	0,5	5,2	5,9	38,3	23,2	0,8
15.06.2022 23:00	158	0,4	4,7	5,3	35,2	24,6	0,8
16.06.2022	152	0,3	4,2	4,7	40,2	19,7	0,8
16.06.2022 01:00	169	0,5	6	6,8	40	25,3	0,9
16.06.2022 02:00	200	0,3	9,6	10,2	42,5	23,6	0,9
16.06.2022 03:00	198	0,3	7,6	8,1	45	26,9	1
16.06.2022 04:00	178	0,2	5,6	6	49,3	20,9	0,9
16.06.2022 05:00	199	0,4	7,4	8	48,1	16,7	1,1
16.06.2022 06:00	193	0,4	5	5,7	46,5	14,8	1,1
16.06.2022 07:00	177	0,9	6,8	8,3	54,3	11	1,3
16.06.2022 08:00	168	0,9	4,9	6,4	58,8	7,9	1,3
16.06.2022 09:00	164	0,8	4	5,3	66,9	6,3	1,2
16.06.2022 10:00	153	0,3	2,2	2,8	81,3	4,6	1,2
16.06.2022 11:00	154	0,3	2,3	2,8	85,3	3,8	1,2
16.06.2022 12:00	152	0,4	2	2,6	89,7	4	1,3
16.06.2022 13:00	153	0,3	2	2,5	94,6	4,6	1,3
16.06.2022 14:00	155	0,3	2,4	2,8	97,7	4,9	1,4
16.06.2022 15:00	157	0,3	2,3	2,8	102,1	4,3	1,4
16.06.2022 16:00	164	0,3	2,3	2,8	106,5	8,9	1,6
16.06.2022 17:00	168	0,4	2,8	3,3	105,2	14,9	1,5
16.06.2022 18:00	169	0,5	3,9	4,6	89,8	22,7	1,4
16.06.2022 19:00	190	0,3	7	7,5	79,3	17,9	1,4
16.06.2022 20:00	168	0,2	2,8	3,1	100,7	27,4	1
16.06.2022 21:00	170	0,2	3,4	3,7	94,7	21	1,1
16.06.2022 22:00	164	0,1	3,6	3,8	97,8	15,3	0,9
16.06.2022 23:00	165	0,3	3,9	4,3	80,9	14,1	0,8
17.06.2022	165	0,3	4,4	4,8	67,2	15,4	0,9
17.06.2022 01:00	165	0,2	4,5	4,8	64,8	11,4	0,8
17.06.2022 02:00	167	0,3	5,4	5,9	70,5	9,6	0,9
17.06.2022 03:00	176	0,3	7,2	7,6	55,4	13	1
17.06.2022 04:00	169	0,3	6,1	6,7	46,2	10,7	0,9
17.06.2022 05:00	160	0,3	4,9	5,3	45,5	8,1	0,9

17.06.2022 06:00	150	0,4	3,5	4,1	47	10,6	0,8
17.06.2022 07:00	144	0,7	3,1	4,2	52,4	8,9	1
17.06.2022 08:00	140	0,5	2,4	3,2	65,1	6,8	1,1
17.06.2022 09:00	145	0,5	2,6	3,3	69,7	6	1,1
17.06.2022 10:00	144	0,4	2,3	3	72,4	5,4	1
17.06.2022 11:00	143	0,5	2,2	3	74,4	4,5	1
17.06.2022 12:00	143	0,3	2	2,5	79,7	4,1	1,6
17.06.2022 13:00	144	0,2	1,9	2,3	82,4	3,3	1,1
17.06.2022 14:00	143	0,3	1,9	2,4	86,7	3,9	1,2
17.06.2022 15:00	142	0,2	2	2,3	90	4	1,3
17.06.2022 16:00	144	0,2	2,3	2,6	91,5	8,1	1,5
17.06.2022 17:00	146	0,3	1,9	2,3	92,1	7,4	1,1
17.06.2022 18:00	147	0,2	2,3	2,6	92,9	5,7	1
17.06.2022 19:00	147	0,2	2,6	3	93,1	5,2	1,5
17.06.2022 20:00	148	0,3	3,3	3,7	93	4,7	2,2
17.06.2022 21:00	161	0,4	6,2	6,8	62,3	25,5	1,8
17.06.2022 22:00	161	0,4	8,1	8,8	54,5	20,7	1,3
17.06.2022 23:00	162	0,3	7	7,5	52,5	17,8	1,2
18.06.2022	161	0,5	6,9	7,6	49,1	14,9	1
18.06.2022 01:00	161	0,6	7,8	8,8	39,9	17,3	1,1
18.06.2022 02:00	156	0,5	6,3	7	48,4	17,1	1,1
18.06.2022 03:00	147	0,3	4,3	4,8	49,9	13,4	1,1
18.06.2022 04:00	184	0,5	9,4	10,1	35,3	17,6	1,1
18.06.2022 05:00	198	0,9	10,5	11,9	30	13,5	1,3
18.06.2022 06:00	172	0,8	6,3	7,6	47	17,1	1,7
18.06.2022 07:00	189	1,3	6,7	8,7	45,5	13,9	1,7
18.06.2022 08:00	177	0,9	5,2	6,6	54,1	13,4	1,9
18.06.2022 09:00	172	0,8	4,4	5,6	67,4	10,3	2,4
18.06.2022 10:00	164	0,7	3,8	4,9	77,6	7,8	2,4
18.06.2022 11:00	160	0,5	3	3,8	87,8	11,9	1,9
18.06.2022 12:00	166	0,4	3,2	3,7	85,6	9,3	1,7
18.06.2022 13:00	169	0,5	3,4	4,2	96,3	10,3	1,9
18.06.2022 14:00	167	0,5	3,7	4,4	108,5	10,3	3,6
18.06.2022 15:00	168	0,5	4,4	5,2	114,7	14,7	5,8
18.06.2022 16:00	167	0,4	3,7	4,3	112,1	18,6	3,9
18.06.2022 17:00	164	0,3	2,5	3	102,3	14,7	1,9
18.06.2022 18:00	171	0,3	2,4	2,9	101,5	12,9	1,6
18.06.2022 19:00	172	0,2	3	3,2	101	11,9	1,6
18.06.2022 20:00	174	0,4	4,9	5,6	96,5	17,1	2
18.06.2022 21:00	178	0,6	8,5	9,3	83,7	19,8	1,8
18.06.2022 22:00	188	0,6	10,2	11,1	77,8	33,7	1,6
18.06.2022 23:00	210	0,5	13,7	14,4	71,9	31,4	1,5
19.06.2022	204	0,4	10,7	11,2	72,8	24,4	1,3
19.06.2022 01:00	189	0,3	6,7	7,2	76,3	22,2	1,5
19.06.2022 02:00	184	0,2	4,7	5,1	80,4	28,4	2
19.06.2022 03:00	187	0,4	4,8	5,4	78,3	24,3	2,5
19.06.2022 04:00	190	0,3	5,2	5,7	75,7	22,7	2,6
19.06.2022 05:00	194	0,3	5,8	6,3	73	18,7	3
19.06.2022 06:00	197	0,6	6,3	7,2	68,6	18,6	3,3
19.06.2022 07:00	208	0,7	5,9	7	67,5	19,6	3,7
19.06.2022 08:00	219	0,6	5,6	6,6	71,2	25	3,9

19.06.2022 09:00	225	0,6	4,9	5,8	79,9	19,8	4,1
19.06.2022 10:00	213	0,5	4,3	5,1	88,4	14,7	3,8
19.06.2022 11:00	192	0,5	3,9	4,7	94,3	18,4	3,1
19.06.2022 12:00	180	0,5	3,3	4,1	104,4	13,8	3
19.06.2022 13:00	190	0,5	3,1	3,9	116,4	11,4	2,9
19.06.2022 14:00	185	0,4	3,1	3,7	119,5	8,7	2,6
19.06.2022 15:00	188	0,3	3,1	3,5	119,7	24,8	2,4
19.06.2022 16:00	189	0,5	2,9	3,6	121,4	21,7	2,7
19.06.2022 17:00	180	0,5	2,9	3,5	122,5	26,2	2,4
19.06.2022 18:00	166	0,3	3,1	3,6	114,5	22,9	2,1
19.06.2022 19:00	184	0,3	3,1	3,6	112,5	16,9	2,7
19.06.2022 20:00	183	0,4	4,8	5,4	101,3	18,6	2,8
19.06.2022 21:00	186	0,7	11	12	79,5	29,5	1,9
19.06.2022 22:00	187	0,6	10,9	11,9	75	30,2	1,5
19.06.2022 23:00	183	0,4	5,3	5,9	76,1	30	1,5
20.06.2022	179	0,4	4,7	5,4	81,6	26,7	1,4
20.06.2022 01:00	175	0,4	4,8	5,4	83,9	27,9	1,1
20.06.2022 02:00	174	0,3	4,8	5,2	82,1	24,9	1,1
20.06.2022 03:00	172	0,5	5,2	5,9	75	29,4	1
20.06.2022 04:00	172	0,4	4,9	5,6	76,2	22,6	1,2
20.06.2022 05:00	174	0,3	5	5,5	76,7	19,2	1,5
20.06.2022 06:00	173	0,4	6,4	7	69,8	28,7	1,8
20.06.2022 07:00	170	0,7	7,2	8,4	63,8	25	1,8
20.06.2022 08:00	167	1	7,5	9,1	54,1	26,8	1,1
20.06.2022 09:00	163	1,3	6,8	8,8	56,1	31,6	0,9
20.06.2022 10:00	167	1,3	6,1	8	60,3	24,2	0,8
20.06.2022 11:00	175	1,5	8	10,3	70,8	32,1	1
20.06.2022 12:00	179	1,2	8	9,9	93,5	31,1	1,3
20.06.2022 13:00	171	0,5	5,6	6,5	105,6	28,4	1,3
20.06.2022 14:00	168	0,5	4,8	5,5	99,7	29	1,2
20.06.2022 15:00	164	0,9	7,1	8,5	48,9	28,5	0,6
20.06.2022 16:00	168	0,4	6,8	7,4	49,9	26,5	0,4
20.06.2022 17:00	173	1,2	10,7	12,6	50,1	20,7	0,4
20.06.2022 18:00	172	1	7,6	9,1	62,6	15,9	0,4
20.06.2022 19:00	168	0,5	5,5	6,3	66,1	20,2	0,5
20.06.2022 20:00	174	0,5	5,3	6,1	52,3	15	0,5
20.06.2022 21:00	181	0,4	6,7	7,4	52,5	18,3	0,5
20.06.2022 22:00	163	0,2	4	4,3	61,4	13,6	0,3
20.06.2022 23:00	163	0,2	4,4	4,8	47,4	10,9	0,3
21.06.2022	159	0,1	4,2	4,4	43,2	7,9	0,3
21.06.2022 01:00	158	0,3	3,6	4	52,4	5,6	0,3
21.06.2022 02:00	151	0,2	3,1	3,4	57,9	5,2	0,2
21.06.2022 03:00	144	0,2	2,2	2,6	61	7,2	0,2
21.06.2022 04:00	143	0,1	2,5	2,6	58,4	5,8	0,1
21.06.2022 05:00	144	0,2	3,4	3,7	51,6	7,2	0,2
21.06.2022 06:00	144	0,3	3,2	3,7	53,2	6,2	0,6
21.06.2022 07:00	141	0,2	2,8	3,1	57,7	5,5	0,5
21.06.2022 08:00	139	0,3	2,8	3,3	58,5	5,9	0,5
21.06.2022 09:00	133	0,3	2,5	3	64,7	5,4	0,4
21.06.2022 10:00	131	0,3	2,3	2,8	63,4	4,1	0,5
21.06.2022 11:00	130	0,3	1,8	2,3	67,5	3,4	0,4

21.06.2022 12:00	130	0,3	1,9	2,4	67,7	3,5	0,5
21.06.2022 13:00	131	0,4	1,9	2,5	71,3	3,1	0,4
21.06.2022 14:00	134	0,4	1,6	2,2	73,8	2,8	0,5
21.06.2022 15:00	136	0,2	1,5	1,8	75	3,3	0,4
21.06.2022 16:00	133	0,3	1,5	1,9	75,7	3,1	0,5
21.06.2022 17:00	139	0,5	1,9	2,6	72,9	5,2	0,5
21.06.2022 18:00	144	0,5	2	2,7	68,9	5,3	0,6
21.06.2022 19:00	145	0,4	2,3	2,8	67,5	4,7	0,9
21.06.2022 20:00	148	0,2	2,7	3	65,5	4,9	0,6
21.06.2022 21:00	149	0,1	3	3,1	64,7	4,7	0,9
21.06.2022 22:00	150	0,2	3	3,3	61,2	5,2	1,1
21.06.2022 23:00	155	0,1	4,3	4,4	53,4	8,8	1,2
22.06.2022	155	0,1	4,3	4,5	47,8	8	1,1
22.06.2022 01:00	155	0,3	4,1	4,6	47,4	13,7	1,7
22.06.2022 02:00	155	0,1	4,7	4,9	47,9	12,8	1,7
22.06.2022 03:00	155	0,2	4,7	5,1	46,8	10	1,2
22.06.2022 04:00	154	0,3	4,4	4,8	42,9	7,2	1
22.06.2022 05:00	156	0,4	4,5	5,1	39,8	15,1	0,9
22.06.2022 06:00	155	0,5	3,2	4	39,3	12,6	1
22.06.2022 07:00	160	1	4	5,4	40,4	9	2,3
22.06.2022 08:00	159	1	3,9	5,4	49	6,6	2,4
22.06.2022 09:00	164	1,2	5	6,8	63,6	5,6	3,1
22.06.2022 10:00	160	0,8	3,8	5	69,1	5,4	2,9
22.06.2022 11:00	166	0,5	2,3	3,2	73,2	4,9	1,4
22.06.2022 12:00	146	0,4	1,9	2,5	74,3	6,1	1,2
22.06.2022 13:00	170	0,3	1,8	2,3	74,6	4,9	0,9
22.06.2022 14:00	155	0,4	1,7	2,3	75,2	6	0,9
22.06.2022 15:00	154	0,3	1,8	2,2	78,1	6,4	1,3
22.06.2022 16:00	146	0,3	2,2	2,7	80,9	5,7	1,1
22.06.2022 17:00	145	0,2	1,9	2,3	84,8	10,7	1,4
22.06.2022 18:00	148	0,3	2,6	3	87,4	8,7	2
22.06.2022 19:00	150	0,2	3,1	3,5	91,7	10	3,1
22.06.2022 20:00	156	0,2	4,5	4,9	88,8	8,5	3,3
22.06.2022 21:00	162	0,3	5,1	5,6	56,8	18	1,7
22.06.2022 22:00	162	0,3	5,6	6	58,2	24,5	1,5
22.06.2022 23:00	163	0,2	5,9	6,1	60,1	29,3	1,6
23.06.2022	163	0,2	5,9	6,2	54,6	22,3	1,1
23.06.2022 01:00	161	0,2	6,5	6,7	46,2	22,9	1
23.06.2022 02:00	154	0,2	4,5	4,8	62,2	17,7	1,1
23.06.2022 03:00	159	0,2	6,4	6,7	60,1	14,9	1,4
23.06.2022 04:00	166	0,4	7,4	8	39,9	19,1	1
23.06.2022 05:00	168	0,5	8,6	9,5	27	15,5	0,9
23.06.2022 06:00	172	1,1	8,5	10,1	26,7	14,6	1
23.06.2022 07:00	171	1,2	6,2	8,1	41,2	14,7	1,7
23.06.2022 08:00	165	1,2	5,2	7,1	55,1	23,1	2,2
23.06.2022 09:00	163	1,2	5,1	6,9	61,1	18,3	1,6
23.06.2022 10:00	179	1,1	4,9	6,5	65,9	13,7	1,2
23.06.2022 11:00	188	0,5	2,9	3,7	78,8	9,9	0,9
23.06.2022 12:00	190	0,4	2,6	3,1	84,6	7,6	1
23.06.2022 13:00	147	0,5	3,8	4,5	93,6	5,6	0,7
23.06.2022 14:00	163	0,5	5,2	5,9	99,4	8,3	0,9

23.06.2022 15:00	157	0,4	4,1	4,7	104,3	6,9	0,9
23.06.2022 16:00	163	0,6	4,8	5,7	106,4	5,7	1
23.06.2022 17:00	158	0,3	4,3	4,8	109,7	7,3	1
23.06.2022 18:00	163	0,4	5,3	5,8	112	13,5	0,8
23.06.2022 19:00	169	0,3	5,5	5,9	103,2	23,8	0,9
23.06.2022 20:00	175	0,3	5,3	5,7	57,8	30,4	0,9
23.06.2022 21:00	177	0,8	7,6	8,8	44,8	24,6	0,8
23.06.2022 22:00	171	1,7	12,8	15,4	29,5	21,9	0,8
23.06.2022 23:00	174	1	14,1	15,6	33,2	18,5	0,8
24.06.2022	175	1,1	12,5	14,2	25,9	19,5	0,7
24.06.2022 01:00	189	0,8	11,9	13,2	33,2	23,9	0,8
24.06.2022 02:00	174	0,6	9,9	10,8	34,5	18,5	0,8
24.06.2022 03:00	171	0,4	8,4	8,9	43,7	13,7	0,8
24.06.2022 04:00	163	0,5	6,9	7,7	48,6	13,6	0,8
24.06.2022 05:00	160	0,5	6,4	7,2	48,1	14,3	0,9
24.06.2022 06:00	160	0,8	6,9	8,2	46,1	14,8	0,9
24.06.2022 07:00	172	1,6	10,1	12,7	54,7	15,7	1,3
24.06.2022 08:00	199	2,6	11,4	15,4	57	11,9	1,7
24.06.2022 09:00	208	1,7	7,7	10,3	62,2	15,5	1,5
24.06.2022 10:00	160	0,9	4,3	5,7	74,2	12,3	1,3
24.06.2022 11:00	158	0,6	3,2	4,2	77,7	9,1	1,1
24.06.2022 12:00	163	0,9	3,7	5,1	80,5	7,4	0,8
24.06.2022 13:00	159	0,6	3	4	84,1	5,5	1
24.06.2022 14:00	161	0,5	2,8	3,6	86,5	4,2	1,1
24.06.2022 15:00	162	0,6	3,3	4,3	93,1	21,5	1
24.06.2022 16:00	163	0,5	3,2	4	99,3	17	1,1
24.06.2022 17:00	162	0,4	3,2	3,8	100,3	12,1	1
24.06.2022 18:00	153	0,4	3	3,6	98,3	11,4	1
24.06.2022 19:00	157	0,4	3,6	4,2	94,5	12,1	1,1
24.06.2022 20:00	162	0,4	4,8	5,4	82,7	10	1,1
24.06.2022 21:00	181	0,3	9,4	9,9	69,7	16,9	1
24.06.2022 22:00	200	1,3	22,3	24,3	47,2	37	1,3
24.06.2022 23:00	210	1,7	23,9	26,5	31,3	35,1	1,2
25.06.2022	203	0,8	18,3	19,6	46,9	29,1	2,3
25.06.2022 01:00	181	0,7	15	16	44,6	25,3	1,7
25.06.2022 02:00	176	0,3	11,5	12	56,1	22	1,5
25.06.2022 03:00	176	0,4	10,2	10,8	54,6	23,9	1,3
25.06.2022 04:00	165	0,5	9,8	10,6	34	18,1	1
25.06.2022 05:00	169	0,6	10,2	11,2	32,1	21,8	1
25.06.2022 06:00	181	1,2	11,5	13,4	40	19	1,3
25.06.2022 07:00	189	1,9	9,3	12,2	45,9	17,5	1,8
25.06.2022 08:00	185	1,5	6,9	9,2	58,4	14,3	2,1
25.06.2022 09:00	181	0,8	5,3	6,6	69,7	12	2,4
25.06.2022 10:00	171	0,6	3,3	4,2	79,4	12,5	1,2
25.06.2022 11:00	165	0,5	2,6	3,4	84,2	11,3	1
25.06.2022 12:00	167	0,4	2,5	3,1	86,6	8,7	0,8
25.06.2022 13:00	163	0,4	2,5	3,1	91,4	13	1
25.06.2022 14:00	162	0,3	2,7	3,1	98,4	13,4	2,1
25.06.2022 15:00	155	0,4	2,4	3,1	102	9,8	3,1
25.06.2022 16:00	158	0,3	2,6	3	109,9	10,4	3,6
25.06.2022 17:00	155	0,3	3,3	3,7	112,5	11	3

25.06.2022 18:00	159	0,4	3,7	4,3	111,9	10,8	2,4
25.06.2022 19:00	169	0,3	4,3	4,8	107,2	17	2,6
25.06.2022 20:00	188	0,4	8,7	9,4	89,5	17,3	3,3
25.06.2022 21:00	198	1,1	10,1	11,8	47,6	36,5	1,4
25.06.2022 22:00	197	3,6	17,8	23,3	35,3	32,9	1,1
25.06.2022 23:00	203	2,5	16,6	20,4	42,3	23,3	1,1
26.06.2022	199	0,9	12,8	14,2	51,1	34,1	0,9
26.06.2022 01:00	199	0,6	12	13	47,7	33,1	0,9
26.06.2022 02:00	205	0,4	10,5	11,1	52,2	24	0,7
26.06.2022 03:00	202	0,8	11,8	12,9	39,8	29,9	0,7
26.06.2022 04:00	194	0,6	10,5	11,4	39,6	24,1	0,8
26.06.2022 05:00	182	1	11,6	13,2	26,3	23,3	0,8
26.06.2022 06:00	190	1,3	10,8	12,7	37,7	25,2	1
26.06.2022 07:00	192	1,1	7,9	9,5	57,4	26,4	1,7
26.06.2022 08:00	187	0,8	5,9	7,1	68,3	19,4	1,9
26.06.2022 09:00	184	0,8	4,9	6	81,4	21,2	4,3
26.06.2022 10:00	177	0,6	3,5	4,4	91,8	16,4	3,6
26.06.2022 11:00	170	0,3	2,9	3,4	102,8	12,9	2,1
26.06.2022 12:00	167	0,4	2,5	3,2	106,3	20,6	1,9
26.06.2022 13:00	162	0,2	2,6	3	103	16,4	2
26.06.2022 14:00	156	0,2	2,3	2,7	106,6	12,2	2,1
26.06.2022 15:00	148	0,3	2,1	2,6	107,5	8,8	1,7
26.06.2022 16:00	153	0,2	2	2,4	110,3	8,9	1,2
26.06.2022 17:00	157	0,3	2	2,4	113,5	15,8	1,2
26.06.2022 18:00	159	0,3	2,4	2,8	116,2	12,5	1,4
26.06.2022 19:00	168	0,4	4,1	4,7	118,2	19,7	2,5
26.06.2022 20:00	178	0,4	7,6	8,2	105,5	19,9	3,4
26.06.2022 21:00	192	0,4	11,2	11,8	82,9	30,7	2,7
26.06.2022 22:00	193	1,9	16,3	19,3	49,3	29,5	1,4
26.06.2022 23:00	189	2,7	18,5	22,7	41,2	24,4	1,2
27.06.2022	186	1,9	17,9	20,9	38,5	24,4	0,9
27.06.2022 01:00	185	0,9	13,1	14,5	48,8	23,2	1
27.06.2022 02:00	180	0,7	12,1	13,2	50,8	28,5	1
27.06.2022 03:00	179	0,4	8	8,6	59,6	22,3	0,8
27.06.2022 04:00	173	0,5	9,3	10,1	47,9	19,2	0,7
27.06.2022 05:00	173	0,6	10,1	11	44,1	14,8	0,6
27.06.2022 06:00	181	1,4	11,8	14	41,6	21,8	0,8
27.06.2022 07:00	186	1,5	10,3	12,6	52,9	23,8	1,2
27.06.2022 08:00	185	1,9	9,9	12,8	57,9	27,3	2,6
27.06.2022 09:00	182	0,8	5,3	6,6	70,4	20,5	2
27.06.2022 10:00	174	0,4	3,4	4	80,1	17,7	2
27.06.2022 11:00	165	0,5	2,9	3,7	90,1	12,8	1,3
27.06.2022 12:00	161	0,5	3,4	4,2	86,7	15,7	1
27.06.2022 13:00	164	0,6	3,7	4,6	92,3	14	0,9
27.06.2022 14:00	166	0,6	4,5	5,5	89,7	20,7	0,9
27.06.2022 15:00	165	0,9	5,8	7,2	94	15,8	1
27.06.2022 16:00	158	0,4	2,9	3,5	102,8	12,2	1
27.06.2022 17:00	152	0,3	3,4	3,9	102,2	14	1
27.06.2022 18:00	173	0,9	6,5	8	82,5	12,1	1,2
27.06.2022 19:00	155	0,5	4,7	5,5	99,6	17,4	1,3
27.06.2022 20:00	184	0,6	9,8	10,7	83,1	24,2	1,3

27.06.2022 21:00	191	1,6	14,2	16,6	56,3	37,1	1
27.06.2022 22:00	223	2,9	17,1	21,6	39,8	31,1	0,9
27.06.2022 23:00	265	0,9	17,2	18,6	61,5	29,4	1,3
28.06.2022	193	0,6	13,4	14,3	66,7	27,5	1,5
28.06.2022 01:00	178	0,4	8,1	8,6	72,2	23,4	1,4
28.06.2022 02:00	177	0,4	7,6	8,2	67,2	17,7	1,2
28.06.2022 03:00	177	0,4	8,8	9,3	63,8	20,5	1
28.06.2022 04:00	177	0,4	8	8,7	60,2	20,5	0,9
28.06.2022 05:00	176	0,4	8,6	9,3	57,3	20,3	0,8
28.06.2022 06:00	184	1	11,5	13	50,2	29,2	0,9
28.06.2022 07:00	183	1,4	9,2	11,3	52	25,7	1,2
28.06.2022 08:00	180	1,1	7,2	9	66,2	24,3	1,8
28.06.2022 09:00	180	1,1	6,2	7,8	74,9	23,9	1,9
28.06.2022 10:00	180	0,9	5,6	7	86,5	18,5	1,6
28.06.2022 11:00	176	0,7	5,5	6,6	102,6	13,6	1,5
28.06.2022 12:00	178	0,7	4,9	6	113,7	15,5	1,6
28.06.2022 13:00	171	0,6	3,7	4,6	111,2	14,4	1,4
28.06.2022 14:00	168	0,5	3,1	3,9	112,1	13,2	1
28.06.2022 15:00	168	0,4	3,6	4,4	114,7		1
28.06.2022 16:00							1,3
28.06.2022 17:00					71,1		1,6
28.06.2022 18:00	171	0,3	3,9	4,4	104,2		0,6
28.06.2022 19:00	188	0,7	6,3	7,3	66,4		0,6
28.06.2022 20:00	180	0,3	4,3	4,9	79,8		0,6
28.06.2022 21:00	190	0,5	6,6	7,3	63,6		0,4
28.06.2022 22:00	194	0,4	6,1	6,8	59		0,5
28.06.2022 23:00	200	0,4	6,1	6,7	53,2		0,3
29.06.2022	192	0,4	6,1	6,7	39,1		0,3
29.06.2022 01:00	184	0,5	5,6	6,3	58,3		0,4
29.06.2022 02:00	181	0,2	5	5,3	51,7		0,3
29.06.2022 03:00	182	0,4	4,9	5,5	43,8		0,3
29.06.2022 04:00	182	0,3	5,7	6,3	38,5		0,2
29.06.2022 05:00	180	0,5	4,7	5,5	42,4		0,2
29.06.2022 06:00	179	0,4	4,4	5,1	45,8		0,3
29.06.2022 07:00	178	0,5	3,9	4,7	54,5	18,9	0,3
29.06.2022 08:00	181	0,5	4,6	5,4	55,5	16,6	0,2
29.06.2022 09:00	179	0,5	5,2	6,1	56,4	19,7	0,2
29.06.2022 10:00	183	0,5	5,8	6,6	52,7	40,9	0,1
29.06.2022 11:00	186	0,6	5,4	6,4	59,4	21,7	0,2
29.06.2022 12:00	186	0,6	5,3	6,2	65,9	19,2	0,2
29.06.2022 13:00	187	0,6	5,7	6,6	64,1	10,1	0,2
29.06.2022 14:00	182	0,5	4,2	5	77,8	25,6	0,2
29.06.2022 15:00	183	0,5	4	4,8	81	23,5	0,3
29.06.2022 16:00	184	0,5	3,7	4,4	92,9	16,9	0,3
29.06.2022 17:00	184	0,5	4,3	5,2	109,2	29,2	0,5
29.06.2022 18:00	180	0,5	3,9	4,6	107,4	21	0,5
29.06.2022 19:00	177	0,3	3,7	4,2	95,3	11,4	0,4
29.06.2022 20:00	184	0,5	4,5	5,3	65	15,4	0,4
29.06.2022 21:00	189	0,5	5,4	6,2	48,4	14,7	0,4
29.06.2022 22:00	189	0,5	8	8,8	44,3	20,9	0,1
29.06.2022 23:00	197	0,5	11,3	12,1	44,4	15,1	0,1

30.06.2022	207	0,9	13,3	14,8	27,3	10	0,1
30.06.2022 01:00	217	0,8	14,6	15,8	21,8	19,4	0,1
30.06.2022 02:00	223	0,9	16,6	17,9	24,5	24,6	0
30.06.2022 03:00	221	0,9	17,1	18,6	24,2	25,1	0
30.06.2022 04:00	213	0,9	16,2	17,6	25,5	19,6	0
30.06.2022 05:00	207	1	16,3	17,8	26,7	17,7	0
30.06.2022 06:00	207	1,7	15,6	18,3	25,9	19	0,2
30.06.2022 07:00	207	2,1	12,3	15,6	31,8	21,5	0,3
30.06.2022 08:00	210	1,9	10,4	13,3	34,5		0,4
30.06.2022 09:00	210	1,7	9	11,5	23,9	22,8	0,7
30.06.2022 10:00	203	1,5	7,2	9,5	57,7	21,3	0,4
30.06.2022 11:00	212	1,7	9,9	12,5	71,4	33,2	0,5
30.06.2022 12:00	225	1,1	9,3	11	91,6	35,6	0,4
30.06.2022 13:00	212	0,5	5,1	5,8	108,3	42,1	0,3
30.06.2022 14:00	202	0,5	4,1	5	105,6	32,1	0,3
30.06.2022 15:00	205	0,5	4,6	5,4	113,3	32,6	0,1
30.06.2022 16:00	212	2,3	6,9	10,4	119,2	43,1	0,3
30.06.2022 17:00	210	0,4	5,4	6	80	37,2	0,3
30.06.2022 18:00	210	0,3	6,9	7,4	78,5	27,7	0,2
30.06.2022 19:00	206	0,3	5,3	5,8	80,5	19,1	0,4
30.06.2022 20:00	198	0,4	6,3	6,8	69,1	14,3	0,4
30.06.2022 21:00	183	0,5	9,4	10,2	62,6	12,4	0,4
30.06.2022 22:00	191	0,6	13,9	14,8	48,9	11,3	0,4
30.06.2022 23:00	180	1	12,1	13,6	50	13,5	0,3
01.07.2022	168	0,9	10,3	11,7	52,8	14	0,3
01.07.2022 01:00	166	0,5	7,7	8,5	61,6	24	0,2
01.07.2022 02:00	167	0,3	8,5	9	56,7	23,9	0,2
01.07.2022 03:00	170	0,6	9,8	10,7	36,6	20,5	0,2
01.07.2022 04:00	170	0,7	10	11,1	30,9	23,2	0,2
01.07.2022 05:00	180	0,8	11,3	12,5	35,6	23,3	0,2
01.07.2022 06:00	189	1,2	12,6	14,5	31,3	28,2	0,2
01.07.2022 07:00	207	2,3	15,3	18,9	38,5	27,2	0,8
01.07.2022 08:00	220	1,6	9	11,5	56,1	31,9	1,3
01.07.2022 09:00	208	0,9	6	7,3	66,6	37,3	0,9
01.07.2022 10:00	199	0,6	4,9	6	73,5	37,8	0,2
01.07.2022 11:00	196	0,5	4,1	4,8	83,7	36,9	0,6
01.07.2022 12:00	179	0,4	3,5	4,2		33,8	1,1
01.07.2022 13:00	184	0,4	3,5	4,1	86,3	25,4	0,5
01.07.2022 14:00	171	0,3	3,1	3,6	68	18,3	0,6
01.07.2022 15:00	170	0,4	3	3,7		13,8	0,7
01.07.2022 16:00	246	1,2	5,1	6,9	54,7	20,3	2,4
01.07.2022 17:00	258	0,6	6,4	7,4	74,8	20,6	2,8
01.07.2022 18:00	258	0,4	6,8	7,4	82,3	25,3	2,7
01.07.2022 19:00	259	0,5	8,9	9,7	84,8	42,5	4,1
01.07.2022 20:00	252	0,5	9,9	10,6	83,7	32,4	3,3
01.07.2022 21:00	249	0,3	14,8	15,3	69,5	26,7	1,9
01.07.2022 22:00	236	0,4	9,8	10,4	76,1	21,3	1,6
01.07.2022 23:00	221	0,3	4,6	5,1	104	23,8	1,2
02.07.2022	208	0,3	5,2	5,7	88,2	21,3	1,2
02.07.2022 01:00	195	0,3	4,7	5,2	72,6	18,1	0,9
02.07.2022 02:00	179	0,2	4,8	5,2	73,8	14,1	0,8

02.07.2022 03:00	183	0,3	4,7	5,1	68,8	11,5	0,7
02.07.2022 04:00	195	0,4	4,4	4,9	63,9	19,5	0,7
02.07.2022 05:00	190	0,3	4,3	4,8	53,2	15,8	0,7
02.07.2022 06:00	183	0,2	3,6	4	58,9	20,1	0,7
02.07.2022 07:00	170	0,3	3,5	3,9	57,7	16,3	0,8
02.07.2022 08:00	164	0,5	4,1	4,9	36,4	11,8	0,7
02.07.2022 09:00	160	0,6	3,8	4,8	35,5	9,1	0,7
02.07.2022 10:00	157	0,8	3,6	4,8	32,9	7	0,7
02.07.2022 11:00	150	0,6	3,3	4,2	35,3	5,4	0,7
02.07.2022 12:00	147	0,5	2,9	3,6	40,6	4,4	0,7
02.07.2022 13:00	147	0,2	2,8	3,2	48,2	3,4	0,7
02.07.2022 14:00	149	0,3	3,1	3,6	58,8	4,2	1,1
02.07.2022 15:00	150	0,3	2,9	3,3	58,7	4,2	1
02.07.2022 16:00	147	0,3	2,7	3,2	60,1	5,6	1
02.07.2022 17:00	146	0,2	2,2	2,6	58,7	5,4	1
02.07.2022 18:00	148	0,4	2,2	2,8	57,9	7,7	0,9
02.07.2022 19:00	149	0,1	2,7	2,8	58,8	6,1	0,8
02.07.2022 20:00	146	0,1	2,8	3	59,7	5,3	0,7
02.07.2022 21:00	150	0,2	4	4,3	53	5	1
02.07.2022 22:00	156	0,3	4,5	4,9	45	5,2	0,9
02.07.2022 23:00	153	0,3	4,4	4,8	41,8	9,6	0,9
03.07.2022	156	0,3	5	5,4	42,7	7,7	0,8
03.07.2022 01:00	158	0,4	5,7	6,4	38,1	13,3	0,7
03.07.2022 02:00	157	0,3	5	5,4	42,6	10,8	0,8
03.07.2022 03:00	159	0,3	5,1	5,6	42,6	7,7	0,9
03.07.2022 04:00	163	0,3	5,7	6,2	36,5	7,8	0,9
03.07.2022 05:00	165	0,5	6,3	7	27,8	14,1	0,9
03.07.2022 06:00	169	0,8	6	7,2	30,2	11,3	1
03.07.2022 07:00	160	0,8	4,4	5,7	45,7	8,5	1
03.07.2022 08:00	150	0,6	3,8	4,8	60,6	7	0,5
03.07.2022 09:00	143	0,5	3,2	3,9	69,7	5,4	0,5
03.07.2022 10:00	143	0,4	2,7	3,3	75,5	4,6	0,7
03.07.2022 11:00	140	0,2	2,6	2,9	79	4,2	1
03.07.2022 12:00	141	0,1	2,7	2,9	80,1	3,7	0,8
03.07.2022 13:00	142	0,1	2,9	3,2	81,7	3,1	0,8
03.07.2022 14:00	145	0,2	3	3,2	82,6	2,8	0,8
03.07.2022 15:00	142	0,3	2,9	3,3	85	2,5	0,8
03.07.2022 16:00	139	0,2	3,1	3,4	86,1	2,5	0,9
03.07.2022 17:00	141	0,1	3	3,2	87,4	7,8	0,7
03.07.2022 18:00	145	0,2	3,3	3,6	82	7,7	0,7
03.07.2022 19:00	146	0,2	3,7	4	78,2	6,7	0,6
03.07.2022 20:00	147	0,2	4,3	4,6	71,5	12,2	0,8
03.07.2022 21:00	155	0,3	6,7	7,1	59,1	15,9	0,7
03.07.2022 22:00	154	0,8	7,3	8,5	24,8	15,6	0,6
03.07.2022 23:00	151	0,9	7,1	8,6	19,1	11,7	0,5
04.07.2022	152	0,8	7,6	8,8	18,6	9,2	0,5
04.07.2022 01:00	154	0,4	6,6	7,2	20,9	16,8	0,4
04.07.2022 02:00	155	0,5	6,5	7,4	21,3	13,5	0,4
04.07.2022 03:00	158	0,4	7,1	7,7	23	12,8	0,5
04.07.2022 04:00	164	0,4	6,6	7,3	20,3	14,3	0,3
04.07.2022 05:00	169	0,4	6,3	6,9	23,1	13,2	0,4

04.07.2022 06:00	179	0,7	7,5	8,7	38,8	20,3	0,4
04.07.2022 07:00	168	1	6,2	7,7	50,9	25,9	0,5
04.07.2022 08:00	164	0,7	4,7	5,8	59,9	20,3	0,6
04.07.2022 09:00	159	0,4	3,3	4	73	14,4	1
04.07.2022 10:00	155	0,3	2,7	3,2	83,6	14,3	0,9
04.07.2022 11:00	158	0,3	2,9	3,4	90	2	1,1
04.07.2022 12:00	160	0,3	2,7	3,1	95	0,8	1,2
04.07.2022 13:00	158	0,1	3,1	3,4	97,7	1,5	1,5
04.07.2022 14:00	227	0,1	3,8	4	104,9	5,6	2,6
04.07.2022 15:00	170	0,1	3,8	4	106,5	11,9	3
04.07.2022 16:00	161	0,1	3,9	4,1	107,7	11,5	3,1
04.07.2022 17:00	158	0,2	4,5	4,7	110,8	15,6	3
04.07.2022 18:00	162	0,2	5,3	5,5	100,1	27,1	2,8
04.07.2022 19:00	170	0,4	5,6	6,2	71,6	29,5	2,2
04.07.2022 20:00	187	1,3	11,8	13,8	60,3	29,3	1,9
04.07.2022 21:00	188	0,7	10,3	11,4	33,5	28,1	1,3
04.07.2022 22:00	179	1,4	11	13,2	19,9	27,2	1
04.07.2022 23:00	177	0,8	9,8	11	32,2	20,5	0,9
05.07.2022	163	0,4	7,8	8,4	39	15,6	0,9
05.07.2022 01:00	163	0,4	7,8	8,5	36,9	15,2	0,8
05.07.2022 02:00	162	0,5	8,5	9,3	32,7	11,3	0,8
05.07.2022 03:00	171	0,4	7,7	8,3	41,5	13,2	0,8
05.07.2022 04:00	187	0,3	9	9,5	55	23,6	0,9
05.07.2022 05:00	199	0,4	12,2	12,9	56,6	21,1	1,1
05.07.2022 06:00	207	0,5	13,9	14,7	41,8	20,5	0,9
05.07.2022 07:00	197	1	11,4	12,9	39,1	16,5	0,9
05.07.2022 08:00	190	1,7	11	13,6	50,5	12,1	1,2
05.07.2022 09:00	189	1,9	10	12,9	61,3	22,7	1,7
05.07.2022 10:00	186	1,1	7,1	8,8	71,5	21,2	1,9
05.07.2022 11:00	184	0,7	6,9	8,1	86,9	19,4	1,8
05.07.2022 12:00	186	0,9	10,1	11,5	98,8	22,9	5,3
05.07.2022 13:00	237	0,5	8,8	9,6	104,2	21,6	5
05.07.2022 14:00	274	0,5	9,9	10,7	106,3	28,6	4,7
05.07.2022 15:00	202	0,6	11,6	12,5	98,8	32,6	1,8
05.07.2022 16:00	177	0,3	5,3	5,7	98,5	24,5	1,1
05.07.2022 17:00	166	0,3	4,4	4,8	97,6	21,1	0,9
05.07.2022 18:00	161	0,3	5	5,5	75,3	15,7	1
05.07.2022 19:00	155	0,2	5,2	5,5	64	11	0,8
05.07.2022 20:00	152	0,3	5,5	6	64	8,1	0,7
05.07.2022 21:00	156	0,3	5,7	6,2	63,2	7,8	0,8
05.07.2022 22:00	159	0,2	6,2	6,4	63,3	6,9	0,7
05.07.2022 23:00	164	0,2	6,4	6,8	63,7	5,4	0,8
06.07.2022	171	0,3	7,1	7,5	58,9	4,4	0,7
06.07.2022 01:00	164	0,1	6,2	6,4	60,9	5,5	0,8
06.07.2022 02:00	165	0,1	5,8	6	63,9	5,7	0,8
06.07.2022 03:00	164	0,2	5,3	5,7	64,6	5	0,7
06.07.2022 04:00	165	0,2	4,9	5,2	63,6	5,3	0,7
06.07.2022 05:00	161	0,1	4,6	4,7	60,6	9,7	0,8
06.07.2022 06:00	160	0,3	5,6	6,1	54,5	7,4	0,9
06.07.2022 07:00	159	0,6	6,3	7,2	46,8	15,2	0,8
06.07.2022 08:00	161	1,1	6	7,8	54,6	13,1	0,9

06.07.2022 09:00	162	0,7	6	7,1	61,3	9,9	0,9
06.07.2022 10:00	158	0,7	4,7	5,8	63,5	9	1
06.07.2022 11:00	154	0,4	3,5	4,1	69,1	7,7	0,8
06.07.2022 12:00	152	0,2	2,9	3,2	78,1	6,2	0,9
06.07.2022 13:00	146	0,2	2,7	3,1	82,4	4,9	0,9
06.07.2022 14:00	143	0,2	3,1	3,5	83,6	4,1	0,8
06.07.2022 15:00	135	0,2	3,1	3,5	82,9	3,7	1,1
06.07.2022 16:00	134	0,2	3,2	3,5	85,9	3	1,2
06.07.2022 17:00	142	0,2	4	4,3	79,2	2,6	1,3
06.07.2022 18:00	148	0,1	4,4	4,6	77,1	7,3	1,3
06.07.2022 19:00	150	0,2	4,7	5	77,9	8,6	1,2
06.07.2022 20:00	154	0,1	5,9	6,1	73	6,9	1,2
06.07.2022 21:00	155	0,1	4,8	4,9	71,6	17,5	1
06.07.2022 22:00	167	0,2	7,1	7,3	61,4	15,9	1
06.07.2022 23:00	177	0,1	7,2	7,3	59,8	12,4	1,2
07.07.2022	181	0,1	7,5	7,6	58,2	9,4	1,1
07.07.2022 01:00	178	0,1	6,5	6,7	50,9	9,5	1,1
07.07.2022 02:00	167	0,2	5,2	5,4	46,8	13,1	1,4
07.07.2022 03:00	165	0,1	5,1	5,2	47	10,4	1,7
07.07.2022 04:00	166	0,1	5,8	6	42,9	8,5	1,4
07.07.2022 05:00	165	0,1	5,9	6,1	40,6	6,1	2
07.07.2022 06:00	159	0,2	5,5	5,9	39,9	8,1	1,5
07.07.2022 07:00	155	0,5	5,1	5,8	38,6	10,7	1,5
07.07.2022 08:00	158	1,1	6,9	8,6	35,5	12,1	1,5
07.07.2022 09:00	148	0,7	4,3	5,3	48,3	9,4	1,5
07.07.2022 10:00	142	0,5	3,4	4,2	58,3	7,4	1,6
07.07.2022 11:00	140	0,4	3,1	3,7	69	5,9	1,6
07.07.2022 12:00	142	0,2	3,3	3,6	72,8	5	1,9
07.07.2022 13:00	141	0,2	3,5	3,8	78,6	4,8	1,9
07.07.2022 14:00	143	0,3	3,4	3,9	80,6	4,5	1,7
07.07.2022 15:00	142	0,4	4,3	4,9	67,8	3,6	1,6
07.07.2022 16:00	144	0,3	2,6	3	89	2,9	1,3
07.07.2022 17:00	172	0,4	2,3	2,9	92,2	2,5	1,5
07.07.2022 18:00	176	0,3	2,3	2,8	91,2	2,5	1,4
07.07.2022 19:00	184	0,3	2,9	3,4	72,8		1,3
07.07.2022 20:00	192	0,3	3,7	4,2	39,1		1,4
07.07.2022 21:00					27,1	25,7	0,9
07.07.2022 22:00	185	0,3	6	6,4	32,9	26,1	0,9
07.07.2022 23:00	181	0,4	6,4	7	30,9	19,5	0,9
08.07.2022	176	1,1	8,4	10,1	21,5	14,9	0,9
08.07.2022 01:00	173	0,5	7,1	7,9	29	10,8	0,9
08.07.2022 02:00	180	0,3	8	8,5	48,5	15,7	1,3
08.07.2022 03:00	182	0,5	8	8,8	32,5	20,8	1
08.07.2022 04:00	180	0,4	7	7,7	41,6	21,8	1,2
08.07.2022 05:00	176	0,2	6,7	7,1	46,2	16,6	1,4
08.07.2022 06:00	168	0,3	6,1	6,5	48,2	22,2	1
08.07.2022 07:00	167	0,6	8,5	9,4	48,2	17,5	1,4
08.07.2022 08:00	166	1,2	8	9,8	45,5	15,7	1,5
08.07.2022 09:00	164	0,8	5,9	7,1	56,5	16,2	1,6
08.07.2022 10:00	166	0,7	5,2	6,3	65,6	12,2	4,1
08.07.2022 11:00	162	0,4	3,8	4,5	73,2	15	2

08.07.2022 12:00	156	0,3	2,7	3,2	72,4	12,3	1,2
08.07.2022 13:00	154	0,4	2,7	3,3	68,1	14,4	1
08.07.2022 14:00	157	0,3	2,1	2,6	60,6	15,1	0,7
08.07.2022 15:00	156	0,2	1,6	1,9	62,3	12,1	0,8
08.07.2022 16:00	156	0,3	1,9	2,4	58,8	8,8	0,7
08.07.2022 17:00	150	0,3	1,8	2,3	54,9	11	0,6
08.07.2022 18:00	146	0,3	2,3	2,8	50,6	13,6	0,4
08.07.2022 19:00	143	0,4	2,3	2,9	49,8	11,2	0,4
08.07.2022 20:00	143	0,3	2,6	3	43,4	8,9	0,5
08.07.2022 21:00	147	0,4	3,5	4,1	28,5	9,7	0,3
08.07.2022 22:00	151	0,5	3,7	4,5	15,6	7,5	0,5
08.07.2022 23:00	148	0,3	3,9	4,3	20,2	7,3	0,4
09.07.2022	149	0,4	4	4,6	22,1	5,5	0,4
09.07.2022 01:00	150	0,3	4,6	5	24,8	4,9	0,5
09.07.2022 02:00	153	0,3	5,4	5,8	27,5	7,7	0,4
09.07.2022 03:00	155	0,3	5,4	5,8	27	9,3	0,4
09.07.2022 04:00	149	0,3	4,9	5,4	29,6	7,3	0,6
09.07.2022 05:00	145	0,3	4,3	4,8	32,4	9,1	0,4
09.07.2022 06:00	142	0,5	3,6	4,3	33,8	10,7	0,4
09.07.2022 07:00	143	0,7	3	4,2	37,9	14,5	0,6
09.07.2022 08:00	139	0,4	2,4	3	41,5	11,6	0,5
09.07.2022 09:00	135	0,5	1,5	2,3	46,9	9	0,7
09.07.2022 10:00	135	0,3	1,2	1,6	51,8	7,5	0,5
09.07.2022 11:00	137	0,2	1,3	1,7	60,5	6,4	0,5
09.07.2022 12:00	138	0,3	1,1	1,6	67,2	5,1	0,6
09.07.2022 13:00	139	0,2	1,2	1,5	71,5	3,9	0,5
09.07.2022 14:00	138	0,3	1,1	1,5	74,6	3,3	0,4
09.07.2022 15:00	137	0,3	1,3	1,7	79,7	2,7	0,6
09.07.2022 16:00	137	0,2	1,5	1,9	79,6	2,8	0,5
09.07.2022 17:00	135	0,2	1,7	2,1	74,7	2,9	0,4
09.07.2022 18:00	141	0,2	1,5	1,9	68,8	3	0,6
09.07.2022 19:00	142	0,3	1,6	2	65,9	3,8	0,6
09.07.2022 20:00	142	0,3	1,7	2,2	65,5	5,2	0,4
09.07.2022 21:00	149	0,2	2,2	2,5	60,8	13,3	0,5
09.07.2022 22:00	158	0,2	3,2	3,5	57	11,8	0,9
09.07.2022 23:00	153	0,2	3,6	3,9	55,9	9	1,5
10.07.2022	158	0,3	4,2	4,6	50,7	19,4	1,1
10.07.2022 01:00	153	0,2	3,2	3,5	53,4	19,1	0,7
10.07.2022 02:00	145	0,2	2,2	2,6	57,8	18,7	0,6
10.07.2022 03:00	145	0,1	2,3	2,4	53	14,4	0,6
10.07.2022 04:00	145	0,3	2,4	2,8	46,7	10,8	0,6
10.07.2022 05:00	148	0,2	2,6	2,9	42,9	8,3	0,6
10.07.2022 06:00	147	0,3	2,7	3,2	39,8	6,7	0,6
10.07.2022 07:00	147	0,3	3	3,4	41,6	5	1,1
10.07.2022 08:00	143	0,3	2,3	2,8	42,1	11,3	1
10.07.2022 09:00	149	0,4	2,3	2,8	39,8	10	0,7
10.07.2022 10:00	150	0,5	1,8	2,5	40,7	9,9	0,8
10.07.2022 11:00	149	0,5	1,8	2,6	44,6	8,2	0,7
10.07.2022 12:00	141	0,3	1	1,4	50,2	6,5	0,7
10.07.2022 13:00	135	0,3	0,8	1,3	54,2	5	0,6
10.07.2022 14:00	134	0,2	0,5	0,9	56,5	4	0,7

10.07.2022 15:00	132	0,2	0,7	0,9	57,7	4	0,4
10.07.2022 16:00	133	0,2	0,8	1,1	59,1	3,5	0,6
10.07.2022 17:00	132	0,1	0,9	1,1	60,9	2,9	0,7
10.07.2022 18:00	135	0,2	1,1	1,5	56,4	2,9	0,5
10.07.2022 19:00	138	0,3	1,3	1,8	56,7	5,9	0,6
10.07.2022 20:00	140	0,3	1,5	1,9	52,9	6,8	0,6
10.07.2022 21:00	141	0,2	2,1	2,4	45,6	6,2	0,5
10.07.2022 22:00	142	0,2	2,1	2,4	42,9	5,5	0,5
10.07.2022 23:00	143	0,2	2,2	2,6	39,1	12,9	0,6
11.07.2022	145	0,3	2,6	3,1	38,4	10,8	0,5
11.07.2022 01:00	144	0,2	2,4	2,8	40,8	20	0,6
11.07.2022 02:00	141	0,2	2,3	2,6	41,8	15,9	0,6
11.07.2022 03:00	142	0,2	3	3,3	37,1	11,2	0,6
11.07.2022 04:00	143	0,3	3,2	3,6	32,5	8,7	0,6
11.07.2022 05:00	144	0,2	3,4	3,7	29,8	6,5	0,6
11.07.2022 06:00	145	0,3	3,1	3,6	28,9	10,9	0,5
11.07.2022 07:00	145	0,4	2,9	3,6	30,6	10,3	0,8
11.07.2022 08:00	148	0,6	3,7	4,6	28,3	7,8	0,6
11.07.2022 09:00	149	1	3,1	4,7	31,9	5,8	0,7
11.07.2022 10:00	150	0,8	3,2	4,5	36,3	6,6	0,7
11.07.2022 11:00	146	0,8	2,2	3,3	45,9	8,1	0,6
11.07.2022 12:00	140	0,5	1,7	2,5	51,3	6,3	0,7
11.07.2022 13:00	137	0,4	1,7	2,3	54,1	4,9	0,6
11.07.2022 14:00	140	1,5	2,6	4,9	56,8	3,8	0,9
11.07.2022 15:00	196				44,7	8,1	3
11.07.2022 16:00	176				46,8	6,5	2,4
11.07.2022 17:00	143	0,4	2,8	3,5	46,2	12,9	0,6
11.07.2022 18:00	144	0,4	1,9	2,6	51,4	10,9	0,7
11.07.2022 19:00	145	0,4	2,8	3,4	51,6	8,1	0,9
11.07.2022 20:00	144	0,3	2,9	3,4	47,9	5,8	0,7
11.07.2022 21:00	147	0,2	4,2	4,5	44,9	5,9	0,7
11.07.2022 22:00	150	0,2	3,9	4,2	40,5	14,4	0,7
11.07.2022 23:00	153	0,2	6	6,3	40,5	12,1	0,7
12.07.2022	153	0,2	4,1	4,5	43,6	9,2	0,7
12.07.2022 01:00	150	0,3	3,2	3,7	40,8	14	0,8
12.07.2022 02:00	154	0,2	3,9	4,3	37,5	11,2	0,8
12.07.2022 03:00	153	0,1	4,1	4,4	36,7	8,1	1,2
12.07.2022 04:00	153	0,3	4,7	5,1	35,6	6,3	1,8
12.07.2022 05:00	151	0,2	4	4,3	36	9,3	1,1
12.07.2022 06:00	151	0,4	3,1	3,7	39	10,8	1,2
12.07.2022 07:00	150	0,4	3,2	3,8	38,7	14,2	1,5
12.07.2022 08:00	146	0,6	2,8	3,8	44	15,5	1,6
12.07.2022 09:00	147	0,6	2,3	3,2	50,6	12,1	1,7
12.07.2022 10:00	145	0,4	1,9	2,6	57	9,3	1,2
12.07.2022 11:00	160	0,4	1,5	2,2	62,4	7	1,1
12.07.2022 12:00	141	0,4	1,3	1,9	66,4	5,6	0,9
12.07.2022 13:00	166	0,3	1,4	1,8	71,1	4,8	1,1
12.07.2022 14:00	139	0,1	1,1	1,3	71	4	0,8
12.07.2022 15:00	192	0,3	1,5	2	70,7	3,4	0,7
12.07.2022 16:00	140	0,2	1,6	1,9	68,6	4,3	0,5
12.07.2022 17:00	139	0,2	1,6	1,9	69,2	4,1	0,6

12.07.2022 18:00	139	0,2	1,6	1,9	71	6,2	0,5
12.07.2022 19:00	141	0,1	2,1	2,3	68,3	6,1	0,7
12.07.2022 20:00	140	0,2	1,6	2	65,3	5,7	0,7
12.07.2022 21:00	141	0,2	2	2,3	65,2	10	0,9
12.07.2022 22:00	139	0,2	3	3,2	63,2	9,1	2,4
12.07.2022 23:00	136	0,3	2,5	2,9	60,8	7,3	2,6
13.07.2022	137	0,1	1,9	1,9	59,3	6,2	0,6
13.07.2022 01:00	138	0,1	2,1	2,3	59,6	10,1	0,7
13.07.2022 02:00	141	0,2	2	2,3	64	11,5	0,8
13.07.2022 03:00	139	0,2	2,3	2,5	66,2	13	0,8
13.07.2022 04:00	136	0,1	2,2	2,4	63,6	21,2	0,9
13.07.2022 05:00	143	0,2	2,2	2,5	60,6	17	0,9
13.07.2022 06:00	141	0,3	2,5	2,9	56,6	12,8	0,8
13.07.2022 07:00	140	0,4	2,4	3	53,7	10,9	0,9
13.07.2022 08:00	140	0,5	2,7	3,4	50,9	13	0,9
13.07.2022 09:00	140	0,5	2,6	3,4	52,6	10,1	0,7
13.07.2022 10:00	144	0,4	2	2,5	59,9	8,2	0,9
13.07.2022 11:00	139	0,4	1,6	2,3	66,3	6,6	0,8
13.07.2022 12:00	141	0,3	1,7	2,2	71	5,7	1
13.07.2022 13:00	162	0,2	1,7	2,1	81,7	9,1	1,1
13.07.2022 14:00	338	0,3	2,2	2,7	94,4	8	1,3
13.07.2022 15:00	145	0,1	1,9	2,1	98,6	10,1	1,1
13.07.2022 16:00	148	0,2	1,8	2	104,1	8,5	1,1
13.07.2022 17:00	147	0,2	2,1	2,3	102,1	15,4	1,1
13.07.2022 18:00	146	0,2	2,5	2,8	97,8	13	0,8
13.07.2022 19:00	150	0,2	3	3,3	98	13,2	1,1
13.07.2022 20:00	151	0,2	3,6	3,9	97,8	16,8	1,2
13.07.2022 21:00	157	0,3	5,2	5,7	94,2	25,6	1,2
13.07.2022 22:00	164	0,3	6,4	6,9	96,1	23,8	1,1
13.07.2022 23:00	170	0,4	8,1	8,6	86,6	20	0,8
14.07.2022	179	0,3	10,2	10,7	79	19,9	0,8
14.07.2022 01:00	177	0,3	8,8	9,2	78,2	15,4	0,9
14.07.2022 02:00	175	0,3	7,9	8,3	74,4	19,2	0,8
14.07.2022 03:00	173	0,3	7,6	8,1	68,6	21,6	1
14.07.2022 04:00	168	0,2	7,6	8	68	16,4	1
14.07.2022 05:00	160	0,3	7	7,5	68,2	12,4	1,1
14.07.2022 06:00	157	0,4	6,6	7,2	65,4	19,7	0,9
14.07.2022 07:00	157	0,5	6	6,8	66,8	16,3	2,3
14.07.2022 08:00	162	0,5	5,8	6,5	78,5	14,4	5,2
14.07.2022 09:00	158	0,5	3,4	4,2	93,4	15,4	2,9
14.07.2022 10:00	153	0,3	2,8	3,2	91,7	12,3	0,8
14.07.2022 11:00	157	0,4	2,2	2,7	89,4	9,7	0,6
14.07.2022 12:00	152	0,3	1,8	2,2	90,3	9,8	0,6
14.07.2022 13:00	171	0,3	1,8	2,3	91,4	7,7	0,5
14.07.2022 14:00	152	0,2	1,8	2,1	92,8	6	0,4
14.07.2022 15:00	140	0,1	1,7	1,9	94	4,9	0,6
14.07.2022 16:00	139	0,2	1,7	2,1	97,3	8,9	0,4
14.07.2022 17:00	136	0,2	2	2,3	99,5	7,8	0,4
14.07.2022 18:00	131	0,2	1,9	2,2	102,3	6,5	0,4
14.07.2022 19:00	128	0,2	2,4	2,7	101,6	4,8	0,5
14.07.2022 20:00	139	0,2	3,8	4,1	80	4	0,6

14.07.2022 21:00	154	1,3	9,2	11,2	49,4	14,9	0,5
14.07.2022 22:00	154	0,3	5,5	5,9	56,3	23,9	0,5
14.07.2022 23:00	157	0,2	7,1	7,4	58,1	18,9	0,5
15.07.2022	163	0,3	8,6	9	58	14,5	0,9
15.07.2022 01:00	168	0,2	10,7	11,1	55,2	12,3	0,8
15.07.2022 02:00	160	0,2	7,8	8,1	58,6	17,2	0,7
15.07.2022 03:00	158	0,1	7,1	7,3	55	18	0,7
15.07.2022 04:00	150	0,2	5	5,3	55,6	13,7	0,7
15.07.2022 05:00	147	0,3	4,9	5,3	51,8	18,8	0,5
15.07.2022 06:00	144	0,4	4,8	5,5	47,6	15,4	0,5
15.07.2022 07:00	143	0,5	4,1	4,9	45,2	11,7	0,5
15.07.2022 08:00	140	0,7	2,7	3,8	54,1	9	0,5
15.07.2022 09:00	138	0,4	1,8	2,4	60,1	6,7	0,7
15.07.2022 10:00	145	0,4	2,5	3,2	61,4	5,1	1,5
15.07.2022 11:00	148	0,5	2,4	3,2	62,3	4,3	0,9
15.07.2022 12:00	135	0,3	1,6	2,1	67,2	5,3	0,7
15.07.2022 13:00	137	0,2	1,6	2	70,1	5	0,6
15.07.2022 14:00	137	0,3	1,5	2	72,8	4,4	0,6
15.07.2022 15:00	124	0,3	1,7	2,2	79	3,5	0,6
15.07.2022 16:00	121	0,3	1,5	2	81	3,3	0,6
15.07.2022 17:00	124	0,2	1,6	1,9	79,6	3	0,6
15.07.2022 18:00	126	0,3	1,7	2,1	78,3	3,4	0,6
15.07.2022 19:00	127	0,3	1,7	2,2	77,5	7,2	0,6
15.07.2022 20:00	133	0,3	2	2,4	77,2	7	0,7
15.07.2022 21:00	137	0,4	6,4	7,1	65,3	5,9	0,7
15.07.2022 22:00	138	1,3	10,3	12,4	42,9	12,1	0,5
15.07.2022 23:00	155	0,9	9,2	10,7	45	9,8	0,8
16.07.2022	170	0,9	11,3	12,7	44,9	11,8	0,5
16.07.2022 01:00	169	0,9	10,4	11,7	40,1	11,4	0,5
16.07.2022 02:00	157	0,6	8,4	9,3	42	14,6	0,7
16.07.2022 03:00	156	0,5	7,5	8,2	45,3	12,7	0,8
16.07.2022 04:00	154	0,4	7	7,6	47,1	11,4	1,2
16.07.2022 05:00	156	0,4	7,6	8,2	43,3	14,2	1
16.07.2022 06:00	157	0,6	7,4	8,4	39,2	14,4	0,9
16.07.2022 07:00	159	0,8	6,4	7,6	34,9	18,2	1,1
16.07.2022 08:00	165	1,1	6,2	7,8	36,2	15,4	1,2
16.07.2022 09:00	166	1,4	5,8	8	42,2	17,3	1,5
16.07.2022 10:00	159	1,1	4,1	5,7	56,4	13	1,4
16.07.2022 11:00	148	0,5	2,8	3,6	72,2	9,4	1,1
16.07.2022 12:00	152	0,4	2,4	3	78,5	8,1	1,2
16.07.2022 13:00	148	0,3	2	2,5	80,3	7,8	1
16.07.2022 14:00	145	0,4	2	2,6	76,9	7,1	0,8
16.07.2022 15:00	149	0,4	2,5	3	77,4	11,5	1,2
16.07.2022 16:00	158	0,4	3,1	3,7	69,4	19,1	1,6
16.07.2022 17:00	168	0,4	2,4	3,1	61,1	20,6	0,7
16.07.2022 18:00	172	0,3	2,3	2,8	62,2	16	0,7
16.07.2022 19:00	160	0,2	1,9	2,2	69,4	20,8	0,6
16.07.2022 20:00	161	0,2	2	2,3	63,4	16	0,5
16.07.2022 21:00	151	0,2	2,2	2,6	55,5	11,2	0,5
16.07.2022 22:00	144	0,2	2,3	2,5	51,9	8	0,5
16.07.2022 23:00	141	0,2	2,1	2,4	54,3	6,7	0,5

17.07.2022	141	0,2	2	2,3	53,2	5,2	0,5
17.07.2022 01:00	145	0,1	2,8	3	50,5	9,7	0,5
17.07.2022 02:00	145	0,2	2,1	2,4	51,4	10,3	0,4
17.07.2022 03:00	146	0,2	2,5	2,7	48,4	8,5	0,1
17.07.2022 04:00	146	0,3	2,2	2,6	44,9	7,7	0,2
17.07.2022 05:00	148	0,3	2,8	3,2	40,8	11,1	0,3
17.07.2022 06:00	148	0,3	2,3	2,8	39	9,1	0,2
17.07.2022 07:00	148	0,5	2,7	3,4	39,6	9,1	0,6
17.07.2022 08:00	148	0,5	2,4	3,2	42,4	7,1	1,1
17.07.2022 09:00	148	0,4	1,9	2,5	44,9	15,4	0,6
17.07.2022 10:00	147	0,5	1,6	2,4	49	13	0,5
17.07.2022 11:00	144	0,5	1,3	2	56,4	9,9	0,5
17.07.2022 12:00	140	0,3	0,9	1,4	61,2	7,2	0,5
17.07.2022 13:00	140	0,2	0,9	1,2	63	5,8	0,4
17.07.2022 14:00	144	0,2	1,1	1,4	63,9	4,8	0,4
17.07.2022 15:00	136	0,2	0,8	1,2	68,1	3,8	0,4
17.07.2022 16:00	130	0,3	0,9	1,3	71,3	3,7	0,5
17.07.2022 17:00	132	0,2	1,1	1,4	71,8	3,7	0,6
17.07.2022 18:00	133	0,1	1,3	1,5	70,5	3,7	0,5
17.07.2022 19:00	141	0,3	1,8	2,3	64,2	3,4	0,7
17.07.2022 20:00	145	0,2	2	2,4	56,2	3,2	0,6
17.07.2022 21:00	149	0,2	3,1	3,3	49,8	2,6	0,5
17.07.2022 22:00	144	0,1	3	3,1	55,9	5,8	0,5
17.07.2022 23:00	142	0,3	3,6	4	62,8	5,6	0,7
18.07.2022	147	0,2	3,9	4,2	62,1	5,2	0,6
18.07.2022 01:00	145	0,2	3,7	4	59,1	6,1	0,7
18.07.2022 02:00	144	0,1	4,2	4,4	57,6	10,4	0,7
18.07.2022 03:00	147	0,1	4,7	4,8	53,2	8,4	0,9
18.07.2022 04:00	148	0,1	5,1	5,2	52,4	13,5	0,9
18.07.2022 05:00	148	0,2	4,9	5,3	50,1	11,1	1
18.07.2022 06:00	147	0,4	5,1	5,7	50,1	14,2	0,8
18.07.2022 07:00	148	0,6	4,5	5,5	48,3	11,9	1,2
18.07.2022 08:00	150	0,7	3,4	4,5	55,1	9,1	4,5
18.07.2022 09:00	150	0,5	2,2	3	65,5	8,3	6,1
18.07.2022 10:00	143	0,4	1,5	2,1	71,8	6,9	1,2
18.07.2022 11:00	149	0,3	1,5	2	75,7	5,5	0,8
18.07.2022 12:00	158	0,2	1,6	1,9	77,1	4	0,9
18.07.2022 13:00	155	0,2	1,5	1,9	79,7	6,4	1
18.07.2022 14:00	149	0,1	1,2	1,4	79	6,9	0,8
18.07.2022 15:00	146	0,3	1,5	2	84,6	7,8	0,9
18.07.2022 16:00	148	0,2	1,7	2	87,5	6	0,9
18.07.2022 17:00	149	0,2	1,8	2,2	92,3	4,9	0,9
18.07.2022 18:00	151	0,6	2	2,9	92,8	9,1	0,8
18.07.2022 19:00	151	0,1	2,3	2,5	94,3	8,6	0,8
18.07.2022 20:00	159	0,5	5,3	6,1	58,1	17,2	0,8
18.07.2022 21:00	163	1,5	10,4	12,7	41,4	23,7	0,7
18.07.2022 22:00	166	1,6	11,5	14	41,6	26,3	0,7
18.07.2022 23:00	173	1	12,1	13,6	48,1	21,6	0,8
19.07.2022	212	0,6	16,4	17,4	48,7	20	0,9
19.07.2022 01:00	195	0,6	12,4	13,4	54,2	16,9	0,9
19.07.2022 02:00	171	0,4	8	8,6	58,2	14,8	1,1

19.07.2022 03:00	170	0,5	8,4	9,2	46,6	16,6	1
19.07.2022 04:00	172	0,5	7,1	8	52,6	13,4	1,3
19.07.2022 05:00	172	0,3	7,6	8	49,5	10,8	1,8
19.07.2022 06:00	183	0,5	7,8	8,6	39,8	16,5	1,7
19.07.2022 07:00	183	0,8	8,9	10,2	40	17,9	2,1
19.07.2022 08:00	184	1,1	10,1	11,7	38,9	19,2	2,4
19.07.2022 09:00	185	1,2	9,5	11,3	40,1	23	2,1
19.07.2022 10:00	178	1,1	7,6	9,3	50,6	23,2	2
19.07.2022 11:00	178	1,2	7,1	8,9	58	17,3	1,8
19.07.2022 12:00	173	0,7	4,7	5,8	78,4	13,2	1,7
19.07.2022 13:00	172	0,4	4,1	4,7	98,8	10,2	1,3
19.07.2022 14:00	172	0,4	3,9	4,4	113,1	7,9	1,4
19.07.2022 15:00	162	0,2	3,1	3,4	110,5	12,9	1,2
19.07.2022 16:00	160	0,3	2	2,5	108,7	11,3	0,9
19.07.2022 17:00	165	0,4	2	2,6	113,7	10,8	0,9
19.07.2022 18:00	168	0,3	2	2,5	117	10,5	1
19.07.2022 19:00	172	0,3	2,6	3,1	106,6	14,5	0,9
19.07.2022 20:00	184	0,3	5,2	5,7	63,5	32,3	0,6
19.07.2022 21:00	186	4,2	16,7	23,2	29,1	26,2	0,7
19.07.2022 22:00	179	2,5	14,5	18,4	35,9	20,9	0,2
19.07.2022 23:00	178	1	8,8	10,3	61,5	23	0,4
20.07.2022	185	0,6	9	10	60,1	24,2	0,5
20.07.2022 01:00	185	0,8	10,2	11,5	54,4	23,6	0,4
20.07.2022 02:00	185	0,4	8,2	8,8	58,9	18,4	0,3
20.07.2022 03:00	186	0,5	10,9	11,7	49,6	14,3	0,4
20.07.2022 04:00	199	0,3	8,7	9,1	56,4	14,8	0,5
20.07.2022 05:00	216	0,4	10,6	11,3	59,4	16,4	0,6
20.07.2022 06:00	223	0,6	11	11,9	55,8	22,1	0,4
20.07.2022 07:00	215	1,2	11,5	13,3	64,3	21,1	0,9
20.07.2022 08:00	233	2,1	15,4	18,6	73,6	23,2	1,2
20.07.2022 09:00	208	1,8	12,1	14,9	86,9	18,3	2,1
20.07.2022 10:00	189	0,8	6,4	7,7	95,5	14	1
20.07.2022 11:00	178	0,6	4	4,9	97,3	10,5	1,3
20.07.2022 12:00	198	0,5	3	3,8	98,1	9,7	1
20.07.2022 13:00	169	0,4	2,9	3,5	104,5	11,4	0,6
20.07.2022 14:00	171	0,3	3,4	3,9	115,1	16,2	0,5
20.07.2022 15:00	170	0,2	4,2	4,6	122,4	12,9	0,5
20.07.2022 16:00	159	0,3	2,4	2,9	113,8	13,4	0,5
20.07.2022 17:00	165	0,3	2,6	3	113,2	13,3	0,7
20.07.2022 18:00	157	0,3	2,6	3	108,3	11	0,5
20.07.2022 19:00	160	0,3	3,1	3,6	94,8	21,7	0,4
20.07.2022 20:00	176	0,4	5,3	5,9	52,8	28,6	0,2
20.07.2022 21:00	181	0,8	7,7	8,9	43,1	28,1	0,2
20.07.2022 22:00	180	0,3	6,9	7,4	58,9	20,7	0,2
20.07.2022 23:00	194	0,3	13,1	13,6	51,3	14,7	0,2
21.07.2022	201	0,6	18,2	19,1	41,9	20,7	0,3
21.07.2022 01:00	191	0,7	13,9	15	48,3	22,6	0,4
21.07.2022 02:00	178	0,6	9,5	10,4	54,2	24,4	0,1
21.07.2022 03:00	167	0,6	10,4	11,3	41,8	18,6	0
21.07.2022 04:00	164	0,9	9	10,4	47	15,4	0,1
21.07.2022 05:00	160	0,4	8	8,6	48,8	13,3	0,2

21.07.2022 06:00	159	0,8	9,2	10,3	45,7	16,4	0,6
21.07.2022 07:00	169	1,4	9,9	12	46,8	13,3	1,1
21.07.2022 08:00	164	1,4	6,9	9	52,1	9,7	0,5
21.07.2022 09:00	153	0,7	3,6	4,7	60,9	6,9	0,2
21.07.2022 10:00	149	0,4	2,6	3,2	64,5	5,1	0,1
21.07.2022 11:00	147	0,4	2,3	3	68,9	4,5	0,2
21.07.2022 12:00	148	0,4	2,7	3,4	74,9	3,9	0,2
21.07.2022 13:00	152	0,5	2,8	3,6	81,5	3,8	0,2
21.07.2022 14:00	153	0,5	2,6	3,4	85,3	8,1	0,3
21.07.2022 15:00	155	0,4	2,9	3,6	92,8	6,8	0,5
21.07.2022 16:00	157	0,4	3,4	4,1	97,7	11,4	0,5
21.07.2022 17:00	160	0,3	2,9	3,5	103,7	11,9	0,6
21.07.2022 18:00	162	0,3	3,1	3,5	106,6	20,6	0,6
21.07.2022 19:00	175	0,4	4,2	4,9	69	32,6	0,2
21.07.2022 20:00	178	0,7	6,3	7,4	43	25,6	0,1
21.07.2022 21:00	182	2,5	15,5	19,4	28,9	20,9	0
21.07.2022 22:00	177	2	15,7	18,7	33,2	16,8	0,1
21.07.2022 23:00	170	0,8	15,2	16,4	42,9	23,2	0,1
22.07.2022	169	0,5	13,9	14,7	53,3	20,2	0
22.07.2022 01:00	177	0,4	8,4	9	62,2	17,3	0
22.07.2022 02:00	174	0,5	9,5	10,3	57,1	20,9	0
22.07.2022 03:00	176	0,4	7,1	7,7	67,1	16,2	0
22.07.2022 04:00	176	0,5	8,5	9,2	63,8	16,4	0
22.07.2022 05:00	190	0,5	7,4	8,1	68,9	14,5	0,2
22.07.2022 06:00	190	0,4	6	6,5	64,2	18,2	0,5
22.07.2022 07:00	209	0,4	5,2	5,9	70,4	18,7	0,9
22.07.2022 08:00	198	0,7	6,3	7,4	67,7	18,5	0,9
22.07.2022 09:00	186	0,6	4,8	5,8	78,4	20,7	1,4
22.07.2022 10:00	210	0,5	5,3	6,1	98,5	18,4	5,4
22.07.2022 11:00	217	0,4	4,9	5,5	114,3	27,3	2,8
22.07.2022 12:00	216	0,4	4,4	5	134	25,6	1
22.07.2022 13:00	218	0,3	4,5	5,1	141,3	25,7	0,7
22.07.2022 14:00	220	0,2	3,9	4,3	144,1	33	0,8
22.07.2022 15:00	215	0,2	3,1	3,5	138,7	29	0,6
22.07.2022 16:00	210	0,2	2,7	3	140	29,4	1,4
22.07.2022 17:00	208	0,3	2,7	3,2	142,4	22,1	1,3
22.07.2022 18:00	205	0,2	2,9	3,3	143,4	28	1,3
22.07.2022 19:00	200	0,2	3,6	3,8	129,4	28,1	1,2
22.07.2022 20:00	211	0,3	5,5	6	91,6	35	1,1
22.07.2022 21:00	209	0,4	5,6	6,2	86,4	27,4	1
22.07.2022 22:00	207	0,3	6,7	7,3	81,7	29,8	0,9
22.07.2022 23:00	210	0,6	8,6	9,5	75	24,9	0,6
23.07.2022	211	0,4	6,7	7,3	85,1	19,6	0,7
23.07.2022 01:00	206	0,4	6,1	6,7	95,9	24	0,8
23.07.2022 02:00	206	0,1	7	7,2	91,4	30,2	0,9
23.07.2022 03:00	205	0,3	7	7,5	90,3	24,4	1
23.07.2022 04:00	206	0,4	8,3	9	63,4	21,9	0,5
23.07.2022 05:00	203	1,2	13,8	15,6	37,1	19,5	0,2
23.07.2022 06:00	202	1,2	11,1	12,9	49	21,5	0,2
23.07.2022 07:00	199	1	8	9,5	59,6	21,1	0,6
23.07.2022 08:00	203	0,5	4,7	5,4	84,7	18	0,8

23.07.2022 09:00	203	0,5	4,1	5	95,4	21,5	0,8
23.07.2022 10:00	196	0,4	3,1	3,7	104,9	16,8	0,7
23.07.2022 11:00	193	0,4	3,7	4,3	118,1	20,6	1,1
23.07.2022 12:00	193	0,2	2,5	2,8	127,6	19,4	1
23.07.2022 13:00	195	0,2	2,6	2,8	132,3	15,3	1
23.07.2022 14:00	196	0,3	2,6	3,2	132,5	19,5	1
23.07.2022 15:00	194	0,2	2,3	2,5	135	15,7	1
23.07.2022 16:00	197	0,2	2,5	2,9	136,6	11,7	0,9
23.07.2022 17:00	204	0,4	4,2	4,8	101,2	41,6	0,3
23.07.2022 18:00	203	0,3	3,3	3,8	113,1	37,7	0,2
23.07.2022 19:00	202	0,4	3,2	3,8	101,8	27,7	0,2
23.07.2022 20:00	199	0,4	4,7	5,3	91,9	19,9	0,2
23.07.2022 21:00	216	0,8	12,5	13,7	60,2	18,8	0,1
23.07.2022 22:00	208	0,5	10	10,8	56,2	18	0
23.07.2022 23:00	207	0,4	6,1	6,7	69,5	18,3	0,1
24.07.2022	209	0,3	5,1	5,5	70,4	14,6	0,1
24.07.2022 01:00	208	0,3	4,7	5,1	66,1	19,3	0,1
24.07.2022 02:00	215	0,4	4,8	5,4	61,4	17,8	0,1
24.07.2022 03:00	222	0,5	4,8	5,5	58,2	14,3	0,2
24.07.2022 04:00	212	0,4	4,6	5,3	53,7	17,9	0,3
24.07.2022 05:00	196	0,4	3,4	4	50,1	13,2	0,2
24.07.2022 06:00	156	0,2	2,5	2,8	57,1	16,9	0,2
24.07.2022 07:00	145	0,5	2,3	3	55,7	13,7	0,2
24.07.2022 08:00	144	0,4	1,8	2,4	59,6	10,1	0,2
24.07.2022 09:00	144	0,4	2,1	2,7	65,2	8	0,2
24.07.2022 10:00	141	0,2	2,1	2,5	69,6	6,2	0,9
24.07.2022 11:00	139	0,2	1,5	1,8	72,3	4,6	0,2
24.07.2022 12:00	141	0,2	1,4	1,8	76,4	3,6	0,1
24.07.2022 13:00	146	0,2	1,5	1,8	77,4	3	0,2
24.07.2022 14:00	150	0,2	1,5	1,8	80,1	3	0,2
24.07.2022 15:00	153	0,2	1,5	1,8	81,6	4	0,3
24.07.2022 16:00	153	0,2	1,3	1,7	84,5	4	0,2
24.07.2022 17:00	155	0,2	1,5	1,9	83,1	3,7	0,3
24.07.2022 18:00	153	0,3	1,5	1,9	87,2	4,8	0,3
24.07.2022 19:00	154	0,2	1,4	1,7	87,9	4,5	0,3
24.07.2022 20:00	157	0,3	3,2	3,6	71,2	9,4	0,2
24.07.2022 21:00	159	0,4	5,6	6,1	44,9	10,2	0,2
24.07.2022 22:00	154	0,1	4,8	5	48,5	12	0,1
24.07.2022 23:00	156	0,2	4,8	5,2	49,2	13,3	0,2
25.07.2022	159	0,3	4,8	5,2	58,1	15,6	0,1
25.07.2022 01:00	165	0,3	6,5	7	49,9	22,4	0,3
25.07.2022 02:00	169	0,4	6,7	7,3	42,5	18,1	0,2
25.07.2022 03:00	167	0,4	7	7,6	34,6	12,8	0,2
25.07.2022 04:00	159	0,8	8,3	9,6	25,4	9,1	0,1
25.07.2022 05:00	155	0,9	6,1	7,5	31	7,8	0,2
25.07.2022 06:00	155	1,1	5,3	6,9	24	17,1	0,1
25.07.2022 07:00	172	1,7	4	6,6	19,9	15,1	0,2
25.07.2022 08:00	175	2,1	8,2	11,4	47	11,6	0,7
25.07.2022 09:00	169	1,1	4,9	6,5	64,2	9,1	1,2
25.07.2022 10:00	160	0,4	2,5	3,1	78,5	6,6	0,9
25.07.2022 11:00	159	0,4	2,3	2,9	82,2	5,7	0,8

25.07.2022 12:00	158	0,4	2,3	2,9	85,7	4,5	0,9
25.07.2022 13:00	157	0,3	1,8	2,3	89,1	3,5	0,8
25.07.2022 14:00	159	0,1	1,8	2	91,8	3,4	0,6
25.07.2022 15:00	157	0,2	1,9	2,3	91,3	6	0,6
25.07.2022 16:00	159	0,3	1,9	2,4	93,1	5,8	0,7
25.07.2022 17:00	158	0,2	2,2	2,5	91,6	7,7	0,7
25.07.2022 18:00	158	0,3	2,4	2,9	94,8	8,1	0,7
25.07.2022 19:00	162	0,5	5,2	6	100,7	9,9	1
25.07.2022 20:00	175	0,4	8,5	9,1	81,5	20,3	1
25.07.2022 21:00	177	0,8	9,8	11,1	45,8	26,5	0,7
25.07.2022 22:00	185	1,2	17,2	19,2	39,3	21,9	0,5
25.07.2022 23:00	197	0,5	18,7	19,5	58,8	22,1	1,5
26.07.2022	177	0,4	9,6	10,1	73,8	16,7	1,2
26.07.2022 01:00	174	0,2	7,7	8	71,4	12,3	0,8
26.07.2022 02:00	173	0,4	8,6	9,2	65,5	15,6	0,6
26.07.2022 03:00	175	0,2	8,2	8,5	66	12,3	0,4
26.07.2022 04:00	175	0,3	8,8	9,3	64,6	12,2	0,5
26.07.2022 05:00	175	0,3	9,5	10,1	56,4	11,9	0,4
26.07.2022 06:00	179	0,6	11,7	12,7	52,9	11,8	0,5
26.07.2022 07:00	195	2	15,8	18,9	43	21,3	0,7
26.07.2022 08:00	191	1,9	10,7	13,6	57,7	17,7	1
26.07.2022 09:00	188	1,3	7,8	9,8	70,3	14,4	0,8
26.07.2022 10:00	190	1	7,7	9,3	80,9	12,4	0,9
26.07.2022 11:00	194	0,4	4,5	5,2	97	18,9	1,3
26.07.2022 12:00	202	0,4	4,2	4,8	106,4	23,7	1,7
26.07.2022 13:00	210	0,5	6	6,8	110,5	18,1	2,3
26.07.2022 14:00	214	0,4	6,9	7,5	100,8	22	2,2
26.07.2022 15:00	218	0,5	7,5	8,3	86,7	32,4	1
26.07.2022 16:00	201	0,4	6	6,7	73,6	25,7	0,4
26.07.2022 17:00	182	0,5	3,9	4,8	62,5	19,9	0
26.07.2022 18:00	172	0,4	3,6	4,3	53,3	22,1	0,1
26.07.2022 19:00	168	0,4	4,2	4,8	48	17,8	0
26.07.2022 20:00	174	0,4	4,9	5,6	37,3	12,8	0
26.07.2022 21:00	184	0,3	5,9	6,3	36,2	13,7	0,1
26.07.2022 22:00	184	0,4	7,9	8,6	33,6	15,6	0
26.07.2022 23:00	194	0,5	9,2	9,9	33,4	13,8	0
27.07.2022	187	0,4	7,6	8,3	35,5	10,1	0
27.07.2022 01:00	183	0,4	6,8	7,5	35,4	9,3	0,1
27.07.2022 02:00	182	0,5	7,1	7,8	31,3	8,1	0,1
27.07.2022 03:00	184	0,4	7,6	8,3	31,5	14	0,1
27.07.2022 04:00	174	0,4	5,9	6,5	37	13,3	0,1
27.07.2022 05:00	160	0,4	3,6	4,2	41,4	9,8	0,1
27.07.2022 06:00	153	0,4	3,2	3,9	42	12,6	0,1
27.07.2022 07:00	148	0,5	3	3,8	45,5	10,1	0,1
27.07.2022 08:00	144	0,5	2,7	3,5	54,2	8,3	0,1
27.07.2022 09:00	133	0,6	2,2	3,1	66,1	6,7	0,1
27.07.2022 10:00	131	0,5	2,1	2,9	73,8	5,2	0,1
27.07.2022 11:00	132	0,4	1,7	2,3	77,2	4,5	0
27.07.2022 12:00	135	0,3	1,9	2,3	79,5	3,9	0,1
27.07.2022 13:00	137	0,3	1,7	2,2	78,4	4	0,4
27.07.2022 14:00	139	0,2	1,7	2,1	79,6	3,8	0,6

27.07.2022 15:00	139	0,2	1,5	1,8	79,9	3,6	0,3
27.07.2022 16:00	142	0,2	1,7	2	82,4	3,6	0,2
27.07.2022 17:00	144	0,2	1,9	2,2	83,1	3,5	0,2
27.07.2022 18:00	147	0,3	2,1	2,6	80,4	3,6	0,3
27.07.2022 19:00	150	0,3	2,6	3,1	77,5	4,7	0,2
27.07.2022 20:00	155	0,2	3,9	4,3	71,4	9,5	0,2
27.07.2022 21:00	161	0,3	5,8	6,2	61	19,3	0,1
27.07.2022 22:00	159	0,2	6,8	7,2	46,5	18,2	0,2
27.07.2022 23:00	156	0,3	6,5	7	67,2	13,4	0,3
28.07.2022	155	0,3	6,8	7,2	61,4	9,5	0,2
28.07.2022 01:00	154	0,3	8	8,4	62,1	7	0,6
28.07.2022 02:00	145	0,1	6,7	6,9	63,5	5,4	0,6
28.07.2022 03:00	140	0,3	5,9	6,3	57,9	7,1	0,6
28.07.2022 04:00	137	0,2	5,5	5,8	55	14,9	0,5
28.07.2022 05:00	135	0,2	5,1	5,4	47,8	15,3	0,5
28.07.2022 06:00	133	0,5	5,2	5,9	36,8	12,3	0,5
28.07.2022 07:00	138	0,9	4,5	6	33,6	15,7	0,5
28.07.2022 08:00	142	1	3,1	4,6	42,3	12,3	0,7
28.07.2022 09:00	133	0,3	1,7	2,1	72	9,3	0,7
28.07.2022 10:00	130	0,3	1,4	1,9	77,1	6,9	0,8
28.07.2022 11:00	133	0,3	1,5	2	81,1	5,7	0,7
28.07.2022 12:00	133	0,3	1,2	1,7	80,2	4,5	0,7
28.07.2022 13:00	138	0,2	1,4	1,7	80,8	4	0,8
28.07.2022 14:00	140	0,2	1,6	1,9	84	3,9	0,9
28.07.2022 15:00	141	0,3	2,2	2,7	86,3	5,5	1
28.07.2022 16:00	144	0,3	2	2,4	84,1	5,7	0,9
28.07.2022 17:00	144	0,3	2	2,4	84,6	8,2	0,8
28.07.2022 18:00	147	0,2	2,1	2,5	87,9	6,7	0,8
28.07.2022 19:00	148	0,3	3,1	3,6	86,5	5,5	0,8
28.07.2022 20:00	156	0,4	5,8	6,4	49,8	23	0,9
28.07.2022 21:00	165	0,8	9	10,2	28,3	24,4	0,9
28.07.2022 22:00	162	1	10,5	12,1	29,2	21,2	0,7
28.07.2022 23:00	163	0,6	10,5	11,5	34,1	16,4	0,7
29.07.2022	158	0,9	12,2	13,6	25,9	13,8	0,8
29.07.2022 01:00	158	0,7	11,1	12,1	28,3	15,5	0,7
29.07.2022 02:00	157	0,5	8,1	8,9	29,9	12,8	0,7
29.07.2022 03:00	161	0,3	6,6	7	45	24,6	0,9
29.07.2022 04:00	152	1,1	8,8	10,4	40,3	19,6	0,9
29.07.2022 05:00	189	0,5	16	16,9	29,6	18,5	1
29.07.2022 06:00	204	2	17,4	20,4	15,5	21,7	1
29.07.2022 07:00	204	5,1	16,3	24,1	20	16,8	2
29.07.2022 08:00	177	2,8	8,7	13	41,3	12,7	1,8
29.07.2022 09:00	170	1,8	6,4	9,1	54,6	13,3	1,4
29.07.2022 10:00	156	0,9	4	5,4	62,3	10,3	1,3
29.07.2022 11:00	171	0,5	2,9	3,6	69	10,7	1,1
29.07.2022 12:00	175	0,3	2,1	2,6	73,2	13,3	1
29.07.2022 13:00	185	0,5	2,1	2,8	74,2	13	0,8
29.07.2022 14:00	197	0,6	2,5	3,4	76,1	10,4	0,9
29.07.2022 15:00	149	0,3	2,4	2,9	77,4	14,2	1
29.07.2022 16:00	148	0,3	2,2	2,7	80,3	12	0,9
29.07.2022 17:00	150	0,3	2,5	3	82,3	9,2	0,9

29.07.2022 18:00	152	0,4	2,8	3,4	82,7	11,5	0,9
29.07.2022 19:00	154	0,4	3,7	4,4	80,3	15,5	1,3
29.07.2022 20:00	170	0,4	9,3	9,9	69,4	12,5	1,5
29.07.2022 21:00	188	0,4	13,2	13,8	63,3	15,6	1,1
29.07.2022 22:00	179	0,3	10,8	11,2	62,2	20,3	1,9
29.07.2022 23:00	178	0,1	9	9,2	63,2	16,3	1,5
30.07.2022	171	0,3	7,8	8,2	62,9	20,1	1,1
30.07.2022 01:00	169	0,3	7,5	7,9	59,4	28,3	1,7
30.07.2022 02:00	165	0,2	6,6	6,9	55,2	21,8	1,3
30.07.2022 03:00	160	0,1	6,1	6,3	54,7	18,4	1,1
30.07.2022 04:00	156	0,2	6,5	6,9	50,4	21,5	1,4
30.07.2022 05:00	157	0,2	6,5	6,8	42,7	24,5	1,4
30.07.2022 06:00	163	0,6	6,4	7,4	38,6		1,2
30.07.2022 07:00	168	0,5	6,7	7,5	32,6		0,9
30.07.2022 08:00	167	0,8	6	7,2	33,3		1
30.07.2022 09:00	169	1,3	5,8	7,9	32		1,1
30.07.2022 10:00	178	1,7	5,8	8,4	34,1		1,2
30.07.2022 11:00	177	1	4,9	6,4	37,5		1
30.07.2022 12:00	183	1,1	5,2	7	36,4		1,1
30.07.2022 13:00	190	1,2	6,9	8,7	32,6		1
30.07.2022 14:00	189	0,6	5,8	6,7	37,7		0,8
30.07.2022 15:00	184	0,7	5,9	7	39,8		0,9
30.07.2022 16:00	182	0,9	4,4	5,9	47		0,7
30.07.2022 17:00	178	0,8	4,3	5,4	50,2		0,9
30.07.2022 18:00	176	0,6	4,5	5,5	47,1		0,9
30.07.2022 19:00	179	0,5	5	5,8	40,8		0,6
30.07.2022 20:00	173	0,5	4,1	4,8	41,3		0,4
30.07.2022 21:00	169	0,5	4,4	5,1	42,7		0,4
30.07.2022 22:00	174	0,4	5,2	5,9	45,8		0,3
30.07.2022 23:00	180	0,3	6,8	7,2	45,9	13,1	0,3
31.07.2022	175	0,4	5,3	5,9	47,1	14,6	0,3
31.07.2022 01:00	174	0,4	5,4	6	43,8	12,1	0,7
31.07.2022 02:00	176	0,4	8,6	9,3	39,6	10,2	0,5
31.07.2022 03:00	176	0,3	7,3	7,6	38,8	5,2	0,3
31.07.2022 04:00	171	0,4	5,9	6,5	38,7	6,1	0,3
31.07.2022 05:00	169	0,2	5,2	5,5	41,1	8,1	0,4
31.07.2022 06:00	161	0,4	4,3	4,9	40,9	4,7	0,4
31.07.2022 07:00	161	0,4	4,4	5	39,1	10	0,4
31.07.2022 08:00	162	0,5	4,2	5	39,1	10,9	0,3
31.07.2022 09:00	166	0,5	4,6	5,4	37,9	8,5	0,3
31.07.2022 10:00	168	0,7	4,8	6	35,8	11,2	0,3
31.07.2022 11:00	165	0,8	3,8	5	34,6	7,8	0,3
31.07.2022 12:00	163	0,6	3,5	4,5	34,1	11,1	0,2
31.07.2022 13:00	167	0,9	3,5	4,9	32,6	8,3	0,2
31.07.2022 14:00	177	1	4,4	5,9	30,4	4,3	0,2
31.07.2022 15:00	182	0,9	5,4	6,8	29,8	2,5	0,3
31.07.2022 16:00	181	0,6	4,9	5,9	33,9	1,4	0,2
31.07.2022 17:00	170	0,6	3,4	4,4	35,7	1,8	0,2
31.07.2022 18:00	165	0,4	2,8	3,3	36,7	1,8	0,2
31.07.2022 19:00	163	0,4	3,2	3,8	36,6	2,7	0,2
31.07.2022 20:00	158	0,3	2,9	3,4	37,3	2	0,2

31.07.2022 21:00	155	0,2	2,7	3	37,6	2,1	0,2
31.07.2022 22:00	150	0,3	2,5	2,9	37,9	2	0,2
31.07.2022 23:00	148	0,2	2,3	2,6	40,1	7,2	0,2
01.08.2022	150	0,3	2,3	2,9	38,7	6,7	0,2
01.08.2022 01:00	149	0,3	2,2	2,6	38,7	5,5	0,3
01.08.2022 02:00	148	0,2	2,3	2,6	40,3	4,4	0,3
01.08.2022 03:00	149	0,2	2,4	2,7	39,1	11,7	0,2
01.08.2022 04:00	148	0,3	3	3,5	34,4	10,8	0,3
01.08.2022 05:00	150	0,3	2,5	2,9	32,3	7,8	0,2
01.08.2022 06:00	152	0,3	3	3,5	30,2	11,6	0,3
01.08.2022 07:00	154	0,4	3,4	4,1	32		0,3
01.08.2022 08:00		1,9	4,9	7,8			0,5
01.08.2022 09:00							
01.08.2022 10:00							
01.08.2022 11:00							
01.08.2022 12:00						13,8	
01.08.2022 13:00	123	0,3	1,6	2	74,1	19,2	1,1
01.08.2022 14:00	151	0,3	1,8	2,2	80,6	2,3	0,6
01.08.2022 15:00	154	0,2	1,4	1,8	87,8		0,8
01.08.2022 16:00	161	0,7	4,8	5,9	44,7		0,9
01.08.2022 17:00							
01.08.2022 18:00						3,1	
01.08.2022 19:00					50,6	21,3	1,1
01.08.2022 20:00	175	0,4	4,8	5,4	36	19,6	0,7
01.08.2022 21:00	183	0,5	5,5	6,3	24,2	20,4	0,7
01.08.2022 22:00	174	0,4	4,7	5,3	33,3	16,5	0,6
01.08.2022 23:00	168	0,2	4,2	4,6	40,7	18,3	0,6
02.08.2022	171	0,5	4,4	5,1	32,9	20,1	0,6
02.08.2022 01:00	173	0,5	4,4	5,2	33,3	18,3	0,4
02.08.2022 02:00	202	0,4	5,2	5,9	34,1	19,4	0,5
02.08.2022 03:00	184	0,7	5,7	6,8	25,5	22,8	0,5
02.08.2022 04:00	173	0,6	5,2	6,2	28,2	19,1	0,5
02.08.2022 05:00	166	0,5	4,3	5	37,6	17,5	0,5
02.08.2022 06:00	178	1	7,1	8,6	21,1	21,1	0,5
02.08.2022 07:00	192	1,2	6,5	8,5	22,2	16,4	0,4
02.08.2022 08:00	188	1,9	10,7	13,6	45,6	19,6	1,1
02.08.2022 09:00	216	7,1	22,7	33,7	48,2	23,5	1,8
02.08.2022 10:00	234	7	22,6	33,3	54,9	18,9	2,1
02.08.2022 11:00	212	7,1	15,2	26,1	78	14,1	1,9
02.08.2022 12:00	195	1,7	8,9	11,6	96,3	14,9	1,6
02.08.2022 13:00	190	1,2	7	8,7	91,7	27,2	1,5
02.08.2022 14:00	181	1,1	5,8	7,4	92,7	22,2	1,2
02.08.2022 15:00	187	1,2	6,2	8	98,5	29,4	1,1
02.08.2022 16:00	184	0,4	5,2	5,8	89,6	23,2	1,1
02.08.2022 17:00	186	4	8,5	14,6	88,6	26	1
02.08.2022 18:00	194	16,1	21,6	46,4	86,5	21,8	1,7
02.08.2022 19:00	199	34,7	22,5	76	89,9	36,4	1,6
02.08.2022 20:00	197	0,4	5,1	5,8	69,7	35,1	1,2
02.08.2022 21:00	209	0,5	7,4	8,2	35,2	28,2	0,6
02.08.2022 22:00	204	0,4	6,5	7,2	42,7	30,2	0,5
02.08.2022 23:00	196	0,3	5,9	6,3	47,8	24	0,6

03.08.2022	185	0,4	5,1	5,7	47,7	26,3	0,6
03.08.2022 01:00	184	0,4	5,6	6,1	39,6	28,2	0,4
03.08.2022 02:00	182	0,3	5,4	5,8	50,6	25,4	0,6
03.08.2022 03:00	175	0,3	5,1	5,5	56,3	25,6	0,4
03.08.2022 04:00	175	0,4	4,7	5,3	51,6	20,2	0,5
03.08.2022 05:00	177	0,5	6,1	6,9	31	14,9	0,3
03.08.2022 06:00	176	0,9	6,4	7,8	24,9	18,5	0,3
03.08.2022 07:00	174	1,9	9,2	12,2	26,1	19,1	0,3
03.08.2022 08:00	186	1,4	7,9	10	31,9	18,9	0,9
03.08.2022 09:00	232	3,8	15,9	21,7	41,8	22,1	1,7
03.08.2022 10:00	243	2,7	13,9	18,2	67,4	22,5	2
03.08.2022 11:00	194	0,8	6,8	8	95,4	18,8	1,5
03.08.2022 12:00	181	0,2	3,6	3,9	104,1	22,4	0,9
03.08.2022 13:00	179	0,4	3,2	3,9	111,1	18	1,2
03.08.2022 14:00	169	0,4	2,9	3,6	113,5	18,1	2,7
03.08.2022 15:00	166	0,4	2,6	3,3	109,2	13,9	1,8
03.08.2022 16:00	163	0,3	2,4	2,9	109,8	10,3	1,5
03.08.2022 17:00	164	0,3	2,7	3,2	110,9	9,5	1,1
03.08.2022 18:00	165	0,2	2,5	2,9	107,2	21,2	0,9
03.08.2022 19:00	180	0,5	3,9	4,7	69,4	36	0,8
03.08.2022 20:00	193	0,7	6,1	7,2	38,4	32,4	0,5
03.08.2022 21:00	195	0,9	8	9,3	27,9	24,5	0,5
03.08.2022 22:00	188	1	8,8	10,3	25,7	26,1	0,4
03.08.2022 23:00	197	0,9	12,5	13,9	32,3	24	0,5
04.08.2022	201	0,7	14,6	15,6	39	18,6	0,6
04.08.2022 01:00	199	0,5	16,6	17,3	51,2	13,6	0,7
04.08.2022 02:00	175	0,4	7,9	8,6	61,6	12,4	0,6
04.08.2022 03:00	168	0,4	6,8	7,4	63,6	16,9	0,5
04.08.2022 04:00	167	0,3	10,1	10,6	55,8	15,2	0,6
04.08.2022 05:00	171	0,3	10,8	11,3	48,5	17,6	0,5
04.08.2022 06:00	172	1,1	11	12,7	30,8	15,1	0,4
04.08.2022 07:00	178	2,1	12,7	15,9	35,9	17,2	0,4
04.08.2022 08:00	180	2,6	13,1	17,1	48	20,4	0,7
04.08.2022 09:00	177	2	9,6	12,7	60,9	16,5	1,2
04.08.2022 10:00	172	1,2	6,3	8,1	80,9	13,7	1,2
04.08.2022 11:00	179	1,7	6,9	9,6	94	24	1,2
04.08.2022 12:00	159	0,5	3,4	4,1	96,7	20,2	0,9
04.08.2022 13:00	148	0,6	3	3,9	92,9	18,4	0,8
04.08.2022 14:00	155	0,3	2,7	3,2	104	28,5	0,9
04.08.2022 15:00	162	0,5	3	3,8	109,5	23,3	1
04.08.2022 16:00	184	4,6	11,2	18,3	119,2	19,8	2,5
04.08.2022 17:00	166	2,4	11	14,8	123,3	22	2,6
04.08.2022 18:00	154	0,4	3,9	4,5	126,5	23,4	2,6
04.08.2022 19:00	170	0,8	9	10,2	98,3	32,6	1,7
04.08.2022 20:00	188	0,7	8,3	9,5	43,2	46,6	0,8
04.08.2022 21:00	196	1,6	11,4	13,8	27,6	43,6	0,6
04.08.2022 22:00	177	1,2	12,4	14,3	30,9	39,4	0,5
04.08.2022 23:00	181	1	13,8	15,3	29,4	29,4	1
05.08.2022	178	0,7	15,3	16,3	43,5	27,5	1,5
05.08.2022 01:00	184	0,8	16,1	17,4	39,6	29,4	1
05.08.2022 02:00	195	0,5	15,5	16,4	57,3	23,1	0,8

05.08.2022 03:00	194	0,3	12,6	13,1	58,4	16,5	0,6
05.08.2022 04:00	196	0,5	12,9	13,6	51,2	20	0,6
05.08.2022 05:00	193	0,6	13,5	14,5	42,9	22,4	0,4
05.08.2022 06:00	196	0,8	12,3	13,5	44,3	22,6	0,3
05.08.2022 07:00	197	1,7	12,3	14,9	41,1	24,5	0,5
05.08.2022 08:00	195	2,4	11,3	14,9	48,7	29,4	0,6
05.08.2022 09:00	183	1,1	6,7	8,3	69,1	23,8	0,7
05.08.2022 10:00	184	0,8	5,3	6,5	81,5	23,4	0,8
05.08.2022 11:00	177	0,6	4,7	5,6	94,9	20,6	1,1
05.08.2022 12:00	174	0,6	3,3	4,2	94,9	18,5	0,6
05.08.2022 13:00	171	0,4	2,6	3,2	97,9	18,9	0,4
05.08.2022 14:00	172	0,4	2,5	3,2	100	23,7	0,4
05.08.2022 15:00	171	0,3	2,9	3,4	104,3	19,2	0,5
05.08.2022 16:00	173	0,3	3,1	3,5	108,9	21,6	0,4
05.08.2022 17:00	175	0,4	3,4	4,1	112	17,5	0,4
05.08.2022 18:00	172	0,3	2,9	3,4	110,4	12,5	0,6
05.08.2022 19:00	169	0,3	3,9	4,3	109,5	39,2	0,7
05.08.2022 20:00	190	0,7	7,5	8,6	50,4	32,3	0,4
05.08.2022 21:00	190	0,9	11	12,4	30,7	24,6	0,4
05.08.2022 22:00	191	1	10,6	12,2	36,9	19,1	0,2
05.08.2022 23:00	202	0,7	13,1	14,2	49	25,5	0,5
06.08.2022	214	0,6	13,6	14,5	51,5	20,8	0,5
06.08.2022 01:00	204	0,5	12	12,7	73,8	15,8	0,6
06.08.2022 02:00	208	0,4	12,2	12,8	67,3	25,3	0,6
06.08.2022 03:00	217	0,5	12,6	13,4	58,1	21,4	0,4
06.08.2022 04:00	223	0,5	12,9	13,6	46,8	22,2	0,3
06.08.2022 05:00	214	1,2	13,3	15,1	26	21,8	0,3
06.08.2022 06:00	223	0,8	9,6	10,9	55	31,7	0,6
06.08.2022 07:00	215	0,5	6,7	7,5	76,2	28,6	0,5
06.08.2022 08:00	198	0,4	5,1	5,7	86,2	23,8	0,3
06.08.2022 09:00	191	0,4	3,3	3,9	89,5	32,6	0,2
06.08.2022 10:00	167	0,3	2,7	3,2	77	25,9	0,2
06.08.2022 11:00	162	0,4	3,3	4	60,6	18,4	0,3
06.08.2022 12:00	168	0,5	3,4	4,2	44		0,3
06.08.2022 13:00	150	0,6	2,7	3,6	46,1	9,6	0,3
06.08.2022 14:00	145	0,4	3,1	3,7	50,7	7,4	0,3
06.08.2022 15:00	144	0,5	2,4	3,2	54,5	5,7	0,3
06.08.2022 16:00	143	0,6	2	3	54,1	4,8	0,3
06.08.2022 17:00	141	0,5	1,8	2,5	57,2	3,9	0,5
06.08.2022 18:00	142	0,3	2,3	2,8	58,8	3,6	0,3
06.08.2022 19:00	144	0,4	2,6	3,3	56,6	5,3	0,3
06.08.2022 20:00	151	0,8	3,4	4,6	22,6	5,3	0,3
06.08.2022 21:00	150	0,7	3,2	4,3	16,2	8,8	0,3
06.08.2022 22:00	154	0,8	3,6	4,7	15,2	8,3	0,3
06.08.2022 23:00	151	0,5	3,1	3,9	20,9	6	0,3
07.08.2022	155	0,8	3,9	5,1	23,7	9,4	0,3
07.08.2022 01:00	155	0,5	4,3	5,1	33,8	9,3	0,2
07.08.2022 02:00	190	0,6	11	11,9	25	14,8	0,3
07.08.2022 03:00	225	0,9	14,4	15,8	14,9	12,2	0,5
07.08.2022 04:00	220	0,9	9,6	11	11,4	8,9	0,3
07.08.2022 05:00	204	0,8	6,9	8,1	17,7	9,6	0,3

07.08.2022 06:00	167	1,1	5,6	7,4	18,3	10,6	0,3
07.08.2022 07:00	151	1,3	3,9	5,9	22,1	13,9	0,4
07.08.2022 08:00	141	0,8	2,8	4,1	46,5	11,5	0,5
07.08.2022 09:00	134	0,6	2,4	3,3	61,2	8,5	0,4
07.08.2022 10:00	131	0,4	1,5	2,1	67,8	6,3	0,5
07.08.2022 11:00	134	0,4	2	2,6	69,8	5,2	0,9
07.08.2022 12:00	128	0,4	1,8	2,4	72	4,7	1,1
07.08.2022 13:00	126	0,3	1,4	1,9	72,2	3,9	0,7
07.08.2022 14:00	126	0,3	1,4	1,9	74,2	3,8	0,5
07.08.2022 15:00	127	0,3	1,5	1,9	78,7	3,3	0,6
07.08.2022 16:00	132	0,3	1,8	2,3	83	2,9	0,7
07.08.2022 17:00	135	0,3	2,2	2,7	86,3	3,1	0,9
07.08.2022 18:00	143	0,3	2,7	3,2	90,3	3,3	1,2
07.08.2022 19:00	146	0,4	4,1	4,8	80,8	3,3	1,1
07.08.2022 20:00	159	0,5	5,1	5,9	41,4	6,9	0,8
07.08.2022 21:00	162	0,6	5,7	6,6	28,1	9,2	0,6
07.08.2022 22:00	160	0,6	6,2	7,2	29,5	8,5	0,7
07.08.2022 23:00	159	0,7	6,8	8	24,9	7	0,6
08.08.2022	156	0,7	6,1	7,2	23,9	15,6	0,5
08.08.2022 01:00	152	0,7	5,7	6,8	22,7	18,8	0,6
08.08.2022 02:00	146	0,5	5,1	5,9	27,1	15,2	0,8
08.08.2022 03:00	141	0,6	4,7	5,7	30,6	10,8	0,7
08.08.2022 04:00	145	0,5	5,2	6	30,7	15,8	0,8
08.08.2022 05:00	158	0,4	7,3	8	31	12,9	0,7
08.08.2022 06:00	174	0,8	10,4	11,7	28,6	13,1	0,8
08.08.2022 07:00	179	2,1	9,7	13	26,6	10,8	1
08.08.2022 08:00	175	3,3	12,7	17,7	39	8	1
08.08.2022 09:00	163	1,8	7,2	10,1	52,4	6,3	1,2
08.08.2022 10:00	165	0,9	3,5	4,8	57,3	4,6	1
08.08.2022 11:00	148	0,7	2,7	3,7	63,8	7	0,9
08.08.2022 12:00	145	0,6	2,1	3	68,9	7,2	1,1
08.08.2022 13:00	142	0,4	1,7	2,3	73,2	6,1	1,1
08.08.2022 14:00	144	0,5	2	2,8	76,3		1,1
08.08.2022 15:00	146	1,6	3,8	6,3	76,1		0,9
08.08.2022 16:00	149	2,4	5,6	9,3	79,2		1,1
08.08.2022 17:00	147	0,4	3,2	3,9	79,1	9	1
08.08.2022 18:00	156	0,2	3,4	3,8	84,3		1,1
08.08.2022 19:00	161	0,5	5,6	6,3	65,2	9,3	0,9
08.08.2022 20:00	171	0,6	5,9	6,9	37,5	17	1,1
08.08.2022 21:00	172	0,3	7,7	8,2	35,3	28,5	1
08.08.2022 22:00	180	0,3	10,1	10,6	39,3	32	1,1
08.08.2022 23:00	193	0,3	11,4	11,9	33	30,6	1,1
09.08.2022	194	0,5	11,5	12,3	26,1	27,5	1
09.08.2022 01:00	185	0,4	10,2	10,8	28,9	21,1	1,2
09.08.2022 02:00	175	1	9,4	10,9	22,6	23,4	1,1
09.08.2022 03:00	174	0,5	10,3	11	27,3	20,2	1,3
09.08.2022 04:00	172	0,4	10,1	10,7	27,9	15,6	1,8
09.08.2022 05:00	168	0,4	9,4	10,1	26,5	14,4	1,7
09.08.2022 06:00	166	0,7	8,7	9,7	25,1	15,3	1,3
09.08.2022 07:00	166	1,1	9,2	11	28,4	19,2	1,7
09.08.2022 08:00	173	2,6	13,8	17,8	30	18,6	2

09.08.2022 09:00	171	3,5	13,4	18,7	33,9	15,6	2,4
09.08.2022 10:00	167	1,9	9,3	12,3	42,6	16	2,9
09.08.2022 11:00	170	1,2	6,1	8	55,8	12,6	2,7
09.08.2022 12:00	154	0,6	3	4	68,2	9,6	1,2
09.08.2022 13:00	149	0,8	4,9	6,2	71,7	10,5	1,2
09.08.2022 14:00	151	1,3	6,3	8,3	72	10,1	1,4
09.08.2022 15:00	152	0,8	4,6	5,9	83,8	7,7	1,3
09.08.2022 16:00	149	0,5	3,4	4,2	90,3	5,7	1,3
09.08.2022 17:00	153	0,6	3,7	4,6	93,3	6,7	1,3
09.08.2022 18:00	165	0,8	6,2	7,3	91,9	12,1	1,3
09.08.2022 19:00	176	0,6	7	7,9	68,1	35,4	1,3
09.08.2022 20:00	179	0,5	6,2	7	36,9	29	1,2
09.08.2022 21:00	176	0,4	8,1	8,7	42,2	25,5	1,1
09.08.2022 22:00	184	0,3	12	12,5	33,7	22,8	0,8
09.08.2022 23:00	197	0,3	13,4	13,9	31,3	23,8	1
10.08.2022						18,4	
10.08.2022 01:00	187	1	13,8	15,4	26,4	23,9	0,8
10.08.2022 02:00	179	0,4	9,9	10,6	35,7	19,4	1
10.08.2022 03:00	198	0,9	16,5	17,9	20,8	20,4	0,9
10.08.2022 04:00	222	0,9	21,5	22,8	23,3	20,3	1
10.08.2022 05:00	198	0,7	14,2	15,2	24,3	17,8	1,1
10.08.2022 06:00	181	0,7	12,5	13,7	31,9	13,7	1,2
10.08.2022 07:00	182	1,9	11,6	14,5	28,3	19,8	1,3
10.08.2022 08:00	176	3,2	10,5	15,5	34,2	16,7	1,3
10.08.2022 09:00	167	2,8	8	12,3	43	12,5	1,4
10.08.2022 10:00	167	1,5	5,2	7,6	56,6	11,7	1,1
10.08.2022 11:00	159	1,6	6,5	9	61,6	9,6	1,1
10.08.2022 12:00	170	1,5	8	10,4	63,7	7,3	1,2
10.08.2022 13:00	183	1,3	6,2	8,3	73,7	7,9	1,8
10.08.2022 14:00	161	0,6	4,3	5,2	82,4	7,9	1,5
10.08.2022 15:00	246	0,7	3,8	4,8	82,1	9,7	1,2
10.08.2022 16:00	146	0,4	3,1	3,8	85,8	8,3	1,3
10.08.2022 17:00	148	0,5	3,3	4,1	82,4	7	1,2
10.08.2022 18:00	153	0,6	6,8	7,8	70,9	5,5	1,4
10.08.2022 19:00	168	0,6	7,1	8,1	63,1	17,2	1,2
10.08.2022 20:00	169	0,4	7,3	8	37,2	30,4	1,1
10.08.2022 21:00	182	0,4	10,8	11,3	34,8	24,4	1
10.08.2022 22:00	184	0,3	12,8	13,2	39,2	19,6	1,1
10.08.2022 23:00	186	0,3	13,3	13,8	28	18,4	1,2
11.08.2022	185	0,5	15	15,8	24	19,3	1,5
11.08.2022 01:00	189	0,5	15,5	16,2	24,8	20,2	1,4
11.08.2022 02:00	196	0,6	15,5	16,4	26,5	19,8	1,1
11.08.2022 03:00	186	0,5	13	13,8	26,3	20,2	1
11.08.2022 04:00	186	0,5	12,6	13,3	26,4	18,5	1,2
11.08.2022 05:00	193	0,4	15,5	16,1	29,5	15,9	1,3
11.08.2022 06:00	194	0,8	15,4	16,7	26,9	15,5	1,4
11.08.2022 07:00	195	2,5	14	18	25,4	13,1	1,5
11.08.2022 08:00	187	3,5	11,9	17,2	36,5	14,2	1,6
11.08.2022 09:00	172	2,4	7,2	10,9	46,2	13,1	1,9
11.08.2022 10:00	160	1,5	4,3	6,6	55	15,3	1,5
11.08.2022 11:00	156	1,3	3,6	5,6	61,5	16	1,6

11.08.2022 12:00	182	0,8	3,1	4,4	65,9	49,5	1,5
11.08.2022 13:00	170	0,7	3	4,1	67,3	51	1,3
11.08.2022 14:00	158	1	3,5	5	69,5	53,4	1,4
11.08.2022 15:00	153	0,8	4,4	5,6	62,4	61,8	1,2
11.08.2022 16:00	157	0,7	2,9	4	61	45,1	1,1
11.08.2022 17:00	157	0,4	2,7	3,3	58,8	30,5	1,2
11.08.2022 18:00	155	0,4	2,3	3	64	21,8	1,1
11.08.2022 19:00	159	0,7	5	6,2	57,3	16,3	1,2
11.08.2022 20:00	167	0,7	6,4	7,5	27,2	12,8	1
11.08.2022 21:00	174	0,6	7,7	8,7	23,3	11,3	1,1
11.08.2022 22:00	187	0,7	12,1	13,2	20,6	12	1,1
11.08.2022 23:00	187	0,4	10,5	11,1	30	12,6	1
12.08.2022	188	0,4	12,8	13,4	33	16,6	1,1
12.08.2022 01:00	184	0,6	10,3	11,3	30,1	13,6	0,9
12.08.2022 02:00	178	0,5	7,7	8,6	31,7	11,1	1
12.08.2022 03:00	172	0,3	6,7	7,2	36,2	12	1,1
12.08.2022 04:00	175	0,6	7,4	8,3	25,1	10,6	1
12.08.2022 05:00	177	1,1	9,4	11,1	16,8	15,1	1
12.08.2022 06:00	186	1,3	11,6	13,6	14,3	12,6	0,9
12.08.2022 07:00	197	2,7	15,1	19,2	14,5	10,7	1,1
12.08.2022 08:00	198	4,5	14,8	21,7	21,1	14,7	1,8
12.08.2022 09:00	180	2,3	7	10,6	40,6	13,7	1,6
12.08.2022 10:00	182	1	4,2	5,7	64,7	15,3	1,3
12.08.2022 11:00	176	0,6	3,2	4,1	81,6	16,8	1,1
12.08.2022 12:00	187	0,5	2,9	3,6	93,3	14,8	1,1
12.08.2022 13:00	184	0,3	2,9	3,4	95	10,8	1,1
12.08.2022 14:00	187	0,3	2,9	3,3	94,6	15	1
12.08.2022 15:00	188	0,4	3,2	3,9	95,2	15,8	1,1
12.08.2022 16:00	190	0,5	5,1	5,9	79,3	22	1
12.08.2022 17:00	201	0,8	5,7	6,9	70,1	22	1
12.08.2022 18:00	197	0,5	6,2	6,9	71,9	17,1	1,4
12.08.2022 19:00	199	0,7	13,7	14,7	72	12,3	3
12.08.2022 20:00	203	0,5	17	17,8	57,1	12	2,7
12.08.2022 21:00	214	0,5	14,5	15,3	48,6	12,5	1,6
12.08.2022 22:00	215	0,5	11,5	12,3	33,3	13,8	1,2
12.08.2022 23:00	224	0,7	11	12	31,7	16,6	1
13.08.2022	240	0,6	15	15,8	34,3	22,1	0,8
13.08.2022 01:00	262	0,6	18,9	19,9	30	27,5	0,8
13.08.2022 02:00	229	0,7	10,7	11,8	36,6	23,5	0,8
13.08.2022 03:00	200	0,4	5,4	6	47,2	19,6	0,8
13.08.2022 04:00	190	0,3	4,4	4,9	51,4	14,9	0,7
13.08.2022 05:00	191	0,4	5,3	5,9	49,8	11,5	0,7
13.08.2022 06:00	191	0,5	6,1	6,8	43,7	10,6	0,7
13.08.2022 07:00	193	0,7	6,5	7,5	38,2	8	0,8
13.08.2022 08:00	193	0,8	7,1	8,4	36,8	10	0,8
13.08.2022 09:00	194	0,9	7,3	8,6	37,5	13,8	0,9
13.08.2022 10:00	192	0,8	5,8	7	48,2	12,9	0,8
13.08.2022 11:00	196	0,9	4,3	5,7	60,7	19,7	0,6
13.08.2022 12:00	198	0,7	4,1	5,2	61,4	17,7	1
13.08.2022 13:00	198	0,7	3,2	4,3	62,4	15,2	1,1
13.08.2022 14:00	196	0,5	2,8	3,5	74,3	11,3	1

13.08.2022 15:00	196	0,4	2,4	3	80,6	8,5	0,8
13.08.2022 16:00	194	0,4	3,2	3,8	75,5	14,4	0,8
13.08.2022 17:00	193	0,4	2,8	3,4	80,6	11,8	0,8
13.08.2022 18:00	195	0,5	3,4	4,1	72,6	13,2	0,8
13.08.2022 19:00	205	0,6	3,6	4,5	39	10,3	0,6
13.08.2022 20:00	185	0,3	3,2	3,7	66,8	13,2	0,4
13.08.2022 21:00	185	0,3	3,2	3,6	51,9	11,2	0,3
13.08.2022 22:00	192	0,4	4,7	5,4	50,1	9	0,3
13.08.2022 23:00	196	0,2	4,6	4,9	52,5	6,8	0,4
14.08.2022	200	0,3	5,2	5,6	52,3	5	0,5
14.08.2022 01:00	209	0,4	5,9	6,6	39,8	10,3	0,4
14.08.2022 02:00	215	0,6	6,3	7,3	36,7	17,9	0,4
14.08.2022 03:00	205	0,3	4,7	5,2	53	14,6	0,3
14.08.2022 04:00	194	0,3	3,3	3,8	56,9	11,6	0,4
14.08.2022 05:00	194	0,4	3,7	4,3	47,1	9,4	0,3
14.08.2022 06:00	199	0,5	3,7	4,4	45,6	8,7	0,3
14.08.2022 07:00	204	0,6	4,7	5,6	41,7	11,8	0,5
14.08.2022 08:00	204	0,6	4,3	5,2	40,5	14	0,5
14.08.2022 09:00	195	0,6	2,5	3,4	43,3	15	0,3
14.08.2022 10:00	200	0,5	2,6	3,4	42,2	14,3	0,4
14.08.2022 11:00	203	0,6	1,8	2,8	49,4	20,4	0,4
14.08.2022 12:00	199	0,5	1,8	2,6	62	17,1	0,6
14.08.2022 13:00	200	0,5	2,1	2,9	70,2	18,8	2,6
14.08.2022 14:00	197	0,4	1,6	2,2	72,6	17,1	3,5
14.08.2022 15:00	195	0,3	1,4	1,8	69,6	22,1	1,2
14.08.2022 16:00	196	0,3	1,6	2,1	71,4	18	0,8
14.08.2022 17:00	192	0,3	2,7	3,2	79	21,8	1,3
14.08.2022 18:00	195	0,5	4	4,7	82	23,2	1,9
14.08.2022 19:00	202	0,4	3,5	4,1	74,5	26,8	1,3
14.08.2022 20:00	215	0,4	5	5,7	58	30,4	0,7
14.08.2022 21:00	204	0,4	4,7	5,3	57,9	23,1	0,5
14.08.2022 22:00	197	0,4	4,6	5,2	49,5	16,4	0,3
14.08.2022 23:00	198	0,6	4,7	5,6	32,9	14,5	0,3
15.08.2022	203	0,6	5,7	6,6	28,6	11,7	0,4
15.08.2022 01:00	219	0,7	7,4	8,5	24,1	14,5	0,4
15.08.2022 02:00	229	1,5	7,8	10,1	16,3	14,3	0,3
15.08.2022 03:00	226	1,2	7,8	9,6	12,9	20,2	0,3
15.08.2022 04:00	212	1	7,2	8,7	17,8	20,8	0,3
15.08.2022 05:00	209	1,1	7,1	8,8	16,6	16,7	0,2
15.08.2022 06:00	209	1,3	6,6	8,5	15,6	21,6	0,4
15.08.2022 07:00	215	1,2	6,2	8,1	21,3	25,9	0,3
15.08.2022 08:00	210	1,1	4,3	6	25,2	25,7	0,4
15.08.2022 09:00	206	1	4	5,5	34	20,3	0,4
15.08.2022 10:00	200	0,5	3,9	4,7	56,2	25,8	0,5
15.08.2022 11:00	205	0,7	4,3	5,3	59,3	25,3	0,3
15.08.2022 12:00	223	1,6	5,7	8,2	50,6	26,8	1,1
15.08.2022 13:00	213	0,9	4,1	5,6	63,9	24,7	1,6
15.08.2022 14:00	212	0,9	5,4	6,8	74	26,8	2,8
15.08.2022 15:00	208	0,5	3,8	4,5	80,8	29,1	2,1
15.08.2022 16:00	203	0,6	3,1	4	83,2	34,8	1,1
15.08.2022 17:00	204	0,6	4,2	5,1	82,9	31,3	2

15.08.2022 18:00	202	0,5	3,3	4,1	79,7	24,7	1,5
15.08.2022 19:00	196	0,5	4,3	5,1	71,7	23,3	1
15.08.2022 20:00	198	0,4	6,3	6,9	68,3	22,3	1,5
15.08.2022 21:00	211	0,5	7	7,7	51,4	25,3	0,8
15.08.2022 22:00	215	0,3	7,9	8,4	44	24,9	0,4
15.08.2022 23:00	209	0,7	7,3	8,4	26,8	21	0,4
16.08.2022	209	1,1	8,5	10,3	17,4	20,1	0,3
16.08.2022 01:00	213	1,2	9,5	11,4	14,3	19,9	0,2
16.08.2022 02:00	210	1	7,8	9,3	17	26	0,2
16.08.2022 03:00	207	2,9	8	12,4	9,5	20,6	0,4
16.08.2022 04:00	212	2,8	9,1	13,5	7,4	18,6	0,3
16.08.2022 05:00	213	3,8	7	12,8	4,8	23,2	0,3
16.08.2022 06:00	214	3,4	7,5	12,7	8	18,8	0,1
16.08.2022 07:00	230	5,2	7,3	15,4	7,5	23,9	0,2
16.08.2022 08:00	238	5,9	14,4	23,5	15,6	31,1	0,2
16.08.2022 09:00	219	5,1	17	24,9	18,8	32,3	9
16.08.2022 10:00	214	3,1	10,4	15,2	34,1	28,2	12,2
16.08.2022 11:00	216	2	7,8	10,9	51,4	26,8	8
16.08.2022 12:00	211	1,5	7,6	9,9	66,9	27,9	6
16.08.2022 13:00	202	0,7	5,5	6,5	83,6	29,3	3,6
16.08.2022 14:00	204	0,5	4,1	4,8	84,6	35,6	1,8
16.08.2022 15:00	221	0,9	5,1	6,4	66,2	29,9	1,1
16.08.2022 16:00	214	0,8	5,5	6,8	70,1	21,7	1,2
16.08.2022 17:00	206	0,6	4,9	5,8	82,1	25,5	1,1
16.08.2022 18:00	198	0,5	4,1	4,8	83,7	23,1	1
16.08.2022 19:00	208	0,7	5	6,1	64,1	24,1	0,7
16.08.2022 20:00	218	0,6	5,9	6,8	31,6	29,1	0,5
16.08.2022 21:00	224	0,6	8,4	9,3	25,4	24,9	0,5
16.08.2022 22:00	230	0,5	10,1	10,8	37,9	20,7	0,3
16.08.2022 23:00	233	0,6	10,7	11,6	31,1	18,5	0,1
17.08.2022	238	0,8	11	12,2	21,4	19,7	0,2
17.08.2022 01:00	237	1,1	10,4	12,1	18,4	16,5	0,1
17.08.2022 02:00	235	0,7	9,5	10,6	17,2	20,7	0,1
17.08.2022 03:00	232	0,7	8,2	9,3	21,6	20,6	0,1
17.08.2022 04:00	240	0,9	9,5	11	20,3	28,4	0,1
17.08.2022 05:00	240	1,4	10	12,2	13,4	26,3	0,1
17.08.2022 06:00	243	1,5	12,3	14,6	12,5	24,9	0,1
17.08.2022 07:00	246	3,3	10,7	15,7	14,9	28,9	0,1
17.08.2022 08:00	241	3,7	15	20,7	29,7	29,1	0,7
17.08.2022 09:00	232	3,3	14,1	19,2	44,8	32,7	2,7
17.08.2022 10:00	238	3,1	12,6	17,4	54,5	30,5	2,3
17.08.2022 11:00	229	1,2	6,7	8,5	71,1	31,3	1,6
17.08.2022 12:00	220	0,7	4,4	5,4	82,7	30,9	1,2
17.08.2022 13:00	214	0,4	2,8	3,4	94,8	23,8	0,7
17.08.2022 14:00	207	0,4	2,9	3,6	106,3	19,3	0,7
17.08.2022 15:00	207	0,4	3,3	3,9	109,8	20,2	0,6
17.08.2022 16:00	207	0,4	3,4	4	113,3	16,2	0,6
17.08.2022 17:00	204	0,1	3,2	3,5	117,9	26,7	0,5
17.08.2022 18:00	211	0,6	4,6	5,5	94,2	28,9	0,4
17.08.2022 19:00	227	0,8	5,9	7,1	48,5	39,5	0,3
17.08.2022 20:00	234	0,5	6,9	7,7	31,4	32,5	0,3

17.08.2022 21:00	243	1,2	14,3	16,2	29,4	27,5	0,2
17.08.2022 22:00	235	1,1	13,1	14,8	26,6	27,6	0,1
17.08.2022 23:00	228	1,3	13,3	15,3	22,6	21,5	0,2
18.08.2022	224	1,2	11,1	13	22,4	22,2	0,1
18.08.2022 01:00	217	1	11,1	12,6	28,4	30,2	0,1
18.08.2022 02:00	211	0,9	10,4	11,7	28,4	27,5	0,1
18.08.2022 03:00	210	1,3	11	13,1	17,2	25,5	0,1
18.08.2022 04:00	211	1,4	8,7	10,8	14,3	26,6	0
18.08.2022 05:00	213	1,3	8,1	10	16,6	27,4	0
18.08.2022 06:00	202	8,9	8,2	21,9	4,3	26,4	0,1
18.08.2022 07:00	223	12	19,9	38,4	12,3	36,7	0,1
18.08.2022 08:00	228	3,7	14,3	20	32,5	36,5	0,2
18.08.2022 09:00	217	2,1	9,1	12,3	53,6	35,5	0,6
18.08.2022 10:00	207	0,8	4,7	6	71,2	32,1	0,6
18.08.2022 11:00	199	0,3	3,1	3,6	86	30	0,9
18.08.2022 12:00	196	1,2	8	9,8	91,9	30,7	4,5
18.08.2022 13:00	191	0,5	4,2	5,1	97,7	23,3	2,9
18.08.2022 14:00	189	0,4	2,2	2,7	96,9	17,4	0,6
18.08.2022 15:00	189	0,5	2,2	3	99,4	13	0,4
18.08.2022 16:00	187	0,4	2,4	3,1	105,7	16,1	0,4
18.08.2022 17:00	184	0,3	2,6	3,1	104,3	16,7	0,5
18.08.2022 18:00	185	0,4	4	4,6	99,8	25,9	0,4
18.08.2022 19:00	201	0,7	6,3	7,4	74,4	33,9	0,4
18.08.2022 20:00	212	0,9	8,7	10,1	33,1	29,7	0,3
18.08.2022 21:00	213	1,4	13,3	15,4	25,9	24,7	0,3
18.08.2022 22:00	227	1,1	18,2	19,9	31,7	24,9	0,5
18.08.2022 23:00	222	1,3	15,9	17,9	30,2	23	0,5
19.08.2022	214	1,5	16	18,4	39,4	19,7	0,5
19.08.2022 01:00	205	0,8	13,1	14,4	40	19,7	0,3
19.08.2022 02:00	203	0,8	10	11,3	51,6	26,9	0,3
19.08.2022 03:00	207	0,5	9,8	10,6	54,1	22	0,3
19.08.2022 04:00	197	1,1	13,4	15,1	27,6	19,5	0
19.08.2022 05:00	204	0,7	12	13	36,7	25,5	0,1
19.08.2022 06:00	210	1,4	15,6	17,8	31,8	24,7	0,1
19.08.2022 07:00	212	1,4	12,8	14,9	33,4	33	0,1
19.08.2022 08:00	215	1,8	9,7	12,4	37,6	33,6	0,1
19.08.2022 09:00	219	1,5	8,1	10,4	53,9	34,4	0,3
19.08.2022 10:00	215	0,8	4,3	5,5	74,7	29,4	1,1
19.08.2022 11:00	205	0,5	2,9	3,8	86,6	29,2	0,9
19.08.2022 12:00	198	0,5	2,9	3,7	92,9	27	0,7
19.08.2022 13:00	196	0,6	2,6	3,5	97,9	22,6	0,7
19.08.2022 14:00	185	0,5	2,9	3,6	104,7	26	0,6
19.08.2022 15:00	187	0,4	2,4	3	105,4	21,1	1
19.08.2022 16:00	188	0,5	2,8	3,5	109,1	18,4	0,7
19.08.2022 17:00	190	0,5	3,4	4,2	108,7	24,4	0,8
19.08.2022 18:00	191	0,4	4,5	5,1	101,9	33	0,9
19.08.2022 19:00	198	0,5	6,9	7,7	91,6	30,1	1,4
19.08.2022 20:00	204	0,3	10,6	11,1	84,9	30	1,7
19.08.2022 21:00	222	0,7	20,8	21,8	67,6	27	5,6
19.08.2022 22:00	215	0,7	12,6	13,7	67	25,1	3,8
19.08.2022 23:00	194	0,4	8,9	9,5	64,7	23,1	1,2

20.08.2022	193	0,4	8,9	9,6	58,3	28,2	0,9
20.08.2022 01:00	194	0,4	8	8,6	55,6	27,6	0,7
20.08.2022 02:00	189	0,4	9,7	10,4	51,3	32,7	0,6
20.08.2022 03:00	185	0,5	9,8	10,6	39,5	28,9	0,5
20.08.2022 04:00	186	0,5	9	9,8	41,4	24,7	0,5
20.08.2022 05:00	185	0,6	11,5	12,4	27,9	29,4	0,4
20.08.2022 06:00	189	0,8	12,4	13,6	29	28,7	0,4
20.08.2022 07:00	191	1	12	13,6	32,3	26,9	0,4
20.08.2022 08:00	194	1,1	10,3	12	36,7	24,5	0,7
20.08.2022 09:00	202	1,2	9,9	11,7	40,9	25,6	0,7
20.08.2022 10:00	204	1	6,3	7,9	59	30,6	1
20.08.2022 11:00	207	1	5,3	6,8	67,6	31,7	0,9
20.08.2022 12:00	200	0,8	4,5	5,7	77,4	33,5	0,8
20.08.2022 13:00	189	0,3	2,5	3,1	87,6	32,6	0,8
20.08.2022 14:00	187	0,4	2,7	3,4	99,1	25,1	0,8
20.08.2022 15:00	184	0,4	2,2	2,9	99,8	21,6	1
20.08.2022 16:00	182	0,3	2,4	2,9	102,9	24,9	1,2
20.08.2022 17:00	191	0,4	3,8	4,4	104	26,6	1,5
20.08.2022 18:00	196	0,7	7,6	8,7	98,2	32,7	2,6
20.08.2022 19:00	216	0,6	12,4	13,4	83,7	35,5	3,6
20.08.2022 20:00	213	0,5	12,2	13	68,9	36,6	2
20.08.2022 21:00	226	0,6	14,6	15,5	55,4	36,2	0,9
20.08.2022 22:00	230	0,4	10,3	10,9	55,6	33	0,5
20.08.2022 23:00	220	0,4	10,2	10,8	48	29,6	0,3
21.08.2022	226	0,6	9,3	10,3	42,5	25,3	0,3
21.08.2022 01:00	210	0,9	11	12,4	21,5	21,6	0,4
21.08.2022 02:00	200	0,8	11	12,3	28,1	22,9	0,2
21.08.2022 03:00	203	1	11,2	12,8	22,2	18,9	0,2
21.08.2022 04:00	201	0,6	9,3	10,2	28,1	21,2	0,5
21.08.2022 05:00	193	1	9,5	11	19,2	18,5	0,2
21.08.2022 06:00	193	1	9,8	11,3	23,6	21,5	0,1
21.08.2022 07:00	188	1	7,8	9,4	30,9	22,1	0,3
21.08.2022 08:00	187	1,5	7,9	10,3	36,5	17,2	1,5
21.08.2022 09:00	189	2,2	8,3	11,7	38,4	21,7	3,1
21.08.2022 10:00	192	2,4	9,8	13,4	42,7	18,4	3,5
21.08.2022 11:00	188	2	6,6	9,8	55,3	13,9	3,3
21.08.2022 12:00	182	0,5	2,1	2,8	69,6	12	0,8
21.08.2022 13:00	180	0,4	1,8	2,4	77,3	12,5	0,6
21.08.2022 14:00	184	0,3	1,9	2,4	78	14,6	0,6
21.08.2022 15:00	182	0,3	1,7	2,3	81,3	12,2	0,4
21.08.2022 16:00	177	0,3	1,5	1,9	80,4	18,4	0,4
21.08.2022 17:00	179	0,4	1,8	2,4	76,9	16,7	0,4
21.08.2022 18:00	183	0,4	2,5	3,1	70,1	14,7	0,6
21.08.2022 19:00	187	0,5	4	4,7	64,3	13	0,5
21.08.2022 20:00	205	0,4	7,4	8	54,8	17,6	0,5
21.08.2022 21:00	199	0,4	9,7	10,4	40,1	17,1	0,2
21.08.2022 22:00	188	0,9	10,3	11,7	20,9	16,6	0,2
21.08.2022 23:00	189	0,7	10,7	11,8	19,9	13,5	0,1
22.08.2022	195	0,7	11,4	12,5	20,3	13,7	0,1
22.08.2022 01:00	196	0,6	10,7	11,6	21,4	17,5	0
22.08.2022 02:00	190	0,5	7,9	8,7	27	19,3	0,1

22.08.2022 03:00	187	0,6	8	8,9	26,9	15,2	0,2
22.08.2022 04:00	192	0,8	8,8	10	22,3	14,2	0
22.08.2022 05:00	201	0,7	10,1	11,2	20,9	12,1	0,1
22.08.2022 06:00	204	1,3	11,6	13,6	16,5	16,8	0,2
22.08.2022 07:00	207	2,3	11,7	15,1	16,5	14,8	0,1
22.08.2022 08:00	207	2,6	10,3	14,3	25,7	14,6	0,1
22.08.2022 09:00	202	1,9	6,6	9,6	35,5	20,7	0,2
22.08.2022 10:00	195	1,3	5,8	7,9	44,2	17,5	0,4
22.08.2022 11:00	223	1,1	5,2	7	50,6	20,3	0,4
22.08.2022 12:00	198	0,7	2,9	4	56,1	18,2	0,4
22.08.2022 13:00	189	0,6	2,7	3,7	58,6	22,7	0,2
22.08.2022 14:00	186	0,6	2,4	3,3	61,1	35,4	0,2
22.08.2022 15:00	185	0,5	3,3	4,1	64,9	35,3	0,4
22.08.2022 16:00	187	0,6	3,1	4,1	66,8	34,9	0,6
22.08.2022 17:00	180	0,5	2,3	3,1	70,8	35,1	0,4
22.08.2022 18:00	190	0,6	3,8	4,8	68,4	26,8	0,6
22.08.2022 19:00	209	0,8	7,3	8,5	60,8	30	0,5
22.08.2022 20:00	197	0,4	6,7	7,4	27,3	24,5	0,4
22.08.2022 21:00	206	0,3	10,2	10,7	44,6	27,3	0,5
22.08.2022 22:00	217	0,4	14,2	14,8	34,8	25,6	0,3
22.08.2022 23:00	228	0,7	17,7	18,8	23	22,7	0,3
23.08.2022	238	0,9	19,9	21,3	19,6	26,2	0,3
23.08.2022 01:00	243	0,9	19,8	21,1	20,7	27,6	0,3
23.08.2022 02:00	237	0,9	17,3	18,7	20,2	28,1	0,3
23.08.2022 03:00	224	0,6	13,5	14,4	29,9	33,1	0,4
23.08.2022 04:00	215	0,7	11,9	13,1	23,8	31,7	0,4
23.08.2022 05:00	209	0,8	11,2	12,4	23,4	26,2	0,4
23.08.2022 06:00	197	0,6	8,3	9,3	34,7	21,6	0,4
23.08.2022 07:00	203	1,5	10,6	13	30,7	26,5	0,2
23.08.2022 08:00	203	2,3	11	14,5	25,8	24,4	0,3
23.08.2022 09:00	210	2,8	14,9	19,3	34,2	23,8	0,4
23.08.2022 10:00	231	1,7	9,8	12,5	39,9	23,5	0,6
23.08.2022 11:00	218	1,8	8	10,8	46,2	25,7	0,9
23.08.2022 12:00	209	2	8,1	11,3	57,2	27,5	1
23.08.2022 13:00	212	1,5	7,1	9,4	62,7	32	1
23.08.2022 14:00	199	0,5	3,9	4,7	78,9	33,8	0,8
23.08.2022 15:00	190	0,5	3,6	4,4	89,5	40	1
23.08.2022 16:00	190	0,5	5,1	5,8	105,2	57,9	3,2
23.08.2022 17:00	194	0,8	8,5	9,7	79	111,1	2,3
23.08.2022 18:00	199	0,5	7,2	7,9	66,6	91,4	1
23.08.2022 19:00	186	0,3	4,3	4,8	83,6	58,3	0,5
23.08.2022 20:00	185	0,2	3,7	4,1	81,8	36,3	0,3
23.08.2022 21:00	188	0,3	4,7	5,2	77,3	38,2	0,2
23.08.2022 22:00	186	0,2	5,4	5,8	72,9	33,9	0,3
23.08.2022 23:00	181	0,3	5	5,5	69,2	22,9	0,3
24.08.2022	182	0,4	6	6,6	63,1	21,5	0,4
24.08.2022 01:00	183	0,3	7,6	8	56,3	15,2	0,4
24.08.2022 02:00	181	0,5	8,1	8,9	44,6	16,3	0,4
24.08.2022 03:00	182	0,6	8,2	9,2	30,7	16,2	0,2
24.08.2022 04:00	181	0,5	7,7	8,5	28,1	16,6	0
24.08.2022 05:00	184	0,8	7,4	8,6	29,7	13,5	0,2

24.08.2022 06:00	182	0,9	8,2	9,5	26	16,9	0,3
24.08.2022 07:00	182	0,7	7,7	8,8	26,1	16,3	0,3
24.08.2022 08:00	186	1,7	8,5	11,1	19,7	14,3	0,2
24.08.2022 09:00	189	1,7	6,8	9,5	24,4	26,5	0,2
24.08.2022 10:00	196	2,4	7,2	11	33,2	27,4	0,5
24.08.2022 11:00	201	1,3	6,3	8,2	56,2	38,7	1,4
24.08.2022 12:00	204	0,7	5,7	6,8	69,5	49,7	1,8
24.08.2022 13:00	192	0,7	5,6	6,7	89,9	58,3	2,5
24.08.2022 14:00	193	0,5	4,9	5,7	101,9	70,3	1,9
24.08.2022 15:00	196	0,5	4,5	5,2	103,8	117,6	1,5
24.08.2022 16:00	199	0,4	4,5	5,2	104,6	144,3	1,2
24.08.2022 17:00	209	0,6	5,8	6,7	118,9	170,3	0,9
24.08.2022 18:00	242	0,5	11,8	12,6	129,7	137,9	1,1
24.08.2022 19:00	255	0,4	13,4	14,1	108,3	131,2	0,8
24.08.2022 20:00	241	0,5	11,1	11,9	86,8	97,3	0,9
24.08.2022 21:00	177	0,3	4,4	4,9	98,1	76,3	0,4
24.08.2022 22:00	177	0,4	3,8	4,4	82,1	53,4	0,4
24.08.2022 23:00	170	0,5	3	3,7	85,5	33,9	0,2
25.08.2022	168	0,4	4,7	5,2	75	32,2	0,2
25.08.2022 01:00	168	0,4	4,9	5,5	70,2	40,8	0,4
25.08.2022 02:00	170	0,4	5,1	5,7	58,4	31,5	0,2
25.08.2022 03:00	174	0,4	5,8	6,5	59	21,9	0,3
25.08.2022 04:00	175	0,4	4,8	5,4	63,3	19,5	0,3
25.08.2022 05:00	176	0,6	5,3	6,2	55,3	29,7	0,3
25.08.2022 06:00	180	0,8	8,2	9,5	42,1	26,3	0,3
25.08.2022 07:00	188	1,1	11,5	13,2	40,9	23,9	0,4
25.08.2022 08:00	206	1,7	11,2	13,9	43,1	42,8	0,3
25.08.2022 09:00	216	4,3	17,1	23,7	44,6	42,7	4,5
25.08.2022 10:00	215	6,1	23,2	32,7	44,6	51,3	14,4
25.08.2022 11:00	214	8,4	24,1	37,1	50,6	50	21,1
25.08.2022 12:00	202	0,8	5,9	7,2	85,6	50,5	5,3
25.08.2022 13:00	195	0,6	5,1	6,1	95,6	38,4	3,3
25.08.2022 14:00	178	1	7,3	8,8	106,7	27,3	7
25.08.2022 15:00	172	0,7	5,6	6,7	109,6	24,8	4,9
25.08.2022 16:00	177	0,5	5,4	6,1	120,2	19,6	4,3
25.08.2022 17:00	174	0,4	4,9	5,5	119,4	15,9	4
25.08.2022 18:00	171	0,5	6,1	6,9	105,1	33,5	2,6
25.08.2022 19:00	190	0,7	10	11,1	63,4	43,6	1,4
25.08.2022 20:00	193	0,7	11,6	12,7	37,4	42,4	0,9
25.08.2022 21:00	191	0,7	14	15	34,9	32	0,6
25.08.2022 22:00	192	0,5	15,4	16,2	35,1	31,5	0,5
25.08.2022 23:00	187	0,8	13,5	14,7	36	26,5	0,4
26.08.2022	183	0,5	11,6	12,3	40,6	30,6	0,3
26.08.2022 01:00	180	0,5	10,3	11,2	42,5	32,6	0,5
26.08.2022 02:00	182	0,3	9,2	9,7	48,9	30,7	0,4
26.08.2022 03:00	183	0,3	10,1	10,6	44,7	27,9	0,6
26.08.2022 04:00	183	0,4	9,4	10	46	26,3	0,7
26.08.2022 05:00	177	1	11	12,5	35,7	20	0,5
26.08.2022 06:00	187	0,6	10,3	11,2	33,7	25,9	0,5
26.08.2022 07:00	178	1,3	7,7	9,7	30,4	25,9	0,8
26.08.2022 08:00	188	1,5	8,9	11,2	51,5	22,4	1,1

26.08.2022 09:00	188	1,5	8,4	10,6	65,4	18,5	1,6
26.08.2022 10:00	321	2,7	13,8	18	67,6	19,8	1,3
26.08.2022 11:00	250	3,7	17,6	23,2	71,9	18,5	4,8
26.08.2022 12:00	198	6,4	21,7	31,6	77,8	21,5	15,8
26.08.2022 13:00	210	0,7	6,8	7,9	103,3	26	3,6
26.08.2022 14:00	208	0,6	4,3	5,3	104,9	23	2
26.08.2022 15:00	208	0,4	4,3	4,9	106,5	29,5	1,2
26.08.2022 16:00	195	0,4	4,7	5,3	101,8	30,2	1,3
26.08.2022 17:00	200	0,4	4,2	4,9	103,4	25,2	1,2
26.08.2022 18:00	197	0,8	7,4	8,6	97,3	21,4	1
26.08.2022 19:00	214	1,2	15,4	17,2	78,4	52,6	0,6
26.08.2022 20:00	214	0,5	13,5	14,3	35,6	49,3	0,6
26.08.2022 21:00	210	0,5	13,5	14,2	35,9	36,2	0,4
26.08.2022 22:00	204	0,5	12,6	13,4	40	32,2	0,4
26.08.2022 23:00	211	0,4	13,4	14,1	47	27,9	0,4
27.08.2022	216	0,4	15,6	16,2	41,6	22,1	0,5
27.08.2022 01:00	215	0,4	14,5	15,2	41,2	23	0,6
27.08.2022 02:00	216	0,4	13,9	14,6	36,1	27,5	0,6
27.08.2022 03:00	210	0,5	12,4	13,3	34,4	25,5	0,6
27.08.2022 04:00	205	0,5	11,8	12,5	35,4	21,9	0,6
27.08.2022 05:00	202	0,7	12,8	13,8	29,9	20,5	0,5
27.08.2022 06:00	196	0,8	13,5	14,8	21,9	28,9	0,4
27.08.2022 07:00	200	1,1	8,9	10,7	33	29,6	0,6
27.08.2022 08:00	203	1,3	8,1	10,1	45,9	30	2,1
27.08.2022 09:00	217	1,4	8,5	10,6	56,7	32,3	1,8
27.08.2022 10:00	222	1,4	8,8	11	68,6	33,4	1,4
27.08.2022 11:00	214	1,6	10,2	12,7	76,8	25,9	3,6
27.08.2022 12:00	206	0,6	6,3	7,3	94,1	26,8	2,4
27.08.2022 13:00	199	0,7	5,9	7	104,5	26,3	3,4
27.08.2022 14:00	198	0,6	5,9	6,8	112,3	30,4	4,5
27.08.2022 15:00	193	0,4	3,7	4,3	114,2	27,9	3,3
27.08.2022 16:00	194	0,4	3	3,6	114,5	21,5	2,7
27.08.2022 17:00	215	0,4	2,9	3,5	112,4	29,7	2
27.08.2022 18:00	227	0,4	5,1	5,7	98,9	36,6	1,5
27.08.2022 19:00	237	0,6	8,1	9	51	43,6	1,1
27.08.2022 20:00	232	0,6	11,2	12,1	40,8	42,1	0,8
27.08.2022 21:00	231	0,4	12	12,6	47,5	32,4	0,7
27.08.2022 22:00	241	0,5	12,7	13,5	55,6	35	0,8
27.08.2022 23:00	230	0,3	12,5	12,9	55,1	27,5	1,7
28.08.2022	208	0,4	10,5	11,1	60,8	22,6	2,8
28.08.2022 01:00	205	0,3	6,9	7,4	76,7	26,5	2,1
28.08.2022 02:00	207	0,3	9,3	9,8	69	27,7	1,6
28.08.2022 03:00	205	0,4	8,2	8,9	61,5	28	1,2
28.08.2022 04:00	203	0,4	8,7	9,3	54,1	27,4	1,1
28.08.2022 05:00	200	0,5	10,4	11,2	38,2	26,9	0,9
28.08.2022 06:00	210	0,5	12	12,8	41,1	26,9	0,7
28.08.2022 07:00	210	1,1	10,6	12,4	35,3	29,2	0,7
28.08.2022 08:00	218	1,4	9,1	11,3	41,9	32,3	1,1
28.08.2022 09:00	219	0,9	6,7	8,1	65,6	26,4	1,4
28.08.2022 10:00	213	0,5	5,2	6	78,7	32,6	1,9
28.08.2022 11:00	200	0,4	3,8	4,5	91,7	26,4	1,3

28.08.2022 12:00	196	0,3	2,9	3,3	102,4	27,5	1,4
28.08.2022 13:00	183	0,2	2,5	2,8	109,9	22,1	1,6
28.08.2022 14:00	174	0,2	2,1	2,5	116,3	16,2	2
28.08.2022 15:00	178	0,3	4,1	4,6	126,8	11,9	6,6
28.08.2022 16:00	183	0,3	3,2	3,7	129,8	11,7	5,9
28.08.2022 17:00	180	0,3	2,8	3,3	120,8	22,2	3,7
28.08.2022 18:00	174	0,2	2,9	3,2	106,5	18,7	1,6
28.08.2022 19:00	171	0,1	3,2	3,4	103	20,2	1
28.08.2022 20:00	171	0,1	2,8	3	105,9	19,3	0,5
28.08.2022 21:00	168	0,4	3,3	3,9	94,3	14,4	0,2
28.08.2022 22:00	160	0,3	3,2	3,7	84	12,7	0,4
28.08.2022 23:00	156	0,3	3,1	3,6	83	10,4	0,4
29.08.2022	155	0,2	2,9	3,2	88,8	15,5	0,3
29.08.2022 01:00	163	0,3	4,2	4,7	62	15,3	0,4
29.08.2022 02:00	171	0,4	4,1	4,8	57,9	13,6	0,4
29.08.2022 03:00	178	0,4	4,6	5,3	46,3	22,3	0,2
29.08.2022 04:00	188	0,4	4,5	5,1	47,2	20,7	0,2
29.08.2022 05:00	194	0,4	3,5	4,1	60,2	15,8	0,2
29.08.2022 06:00	186	0,3	2,8	3,3	65,1	11,8	0,2
29.08.2022 07:00	185	0,4	2,6	3,2	69,4	12,6	0,3
29.08.2022 08:00	179	0,3	2,6	3,1	70,5	11,9	0,3
29.08.2022 09:00	169	0,4	2,8	3,4	62,9	12,5	0,2
29.08.2022 10:00	155	0,5	2,7	3,4	59,3	9,5	0,3
29.08.2022 11:00	156	0,6	2,3	3,2	66	7,5	0,5
29.08.2022 12:00	151	0,4	1,7	2,3	75,4	6,5	0,4
29.08.2022 13:00	153	0,3	1,4	1,9	79,5	5,7	0,4
29.08.2022 14:00	148	0,1	1,9	2,1	81,9	4,4	0,6
29.08.2022 15:00	147	0,2	1,8	2	84,8	3,7	0,4
29.08.2022 16:00	151	0,2	2	2,3	84	3,8	0,4
29.08.2022 17:00	147	0,3	1,7	2,2	85	3,2	0,5
29.08.2022 18:00	148	0,2	2,3	2,7	88,8	2,6	0,6
29.08.2022 19:00	153	0,3	2,6	3,1	86,8	6,5	0,5
29.08.2022 20:00	157	0,3	4,1	4,5	79,1	13	0,7
29.08.2022 21:00	171	0,1	7,4	7,5	69,2	19,4	0,7
29.08.2022 22:00	177	0,3	7,1	7,5	65,9	19,6	0,7
29.08.2022 23:00	179	0,2	8	8,2	57,4	17	0,7
30.08.2022	169	0,3	6,6	7,1	53,2	15,9	0,6
30.08.2022 01:00	166	0,3	6	6,4	52,3	13,7	0,7
30.08.2022 02:00	170	0,3	5,9	6,4	48,8	15,6	0,7
30.08.2022 03:00	174	0,4	6,2	6,9	46,9	19	0,9
30.08.2022 04:00	178	0,3	6,8	7,3	41,2	15,4	0,8
30.08.2022 05:00	174	0,3	6,8	7,3	36,6	13,7	0,6
30.08.2022 06:00	172	0,4	6,4	7,1	33,4	10,8	0,5
30.08.2022 07:00	167	0,6	5,6	6,5	32,7	11,5	0,6
30.08.2022 08:00	163	0,5	4,6	5,4	39,9	16,2	1
30.08.2022 09:00	158	0,6	3,5	4,4	47,1	14	0,8
30.08.2022 10:00	159	0,5	3,4	4,2	48,5	14,2	1,1
30.08.2022 11:00	156	0,7	1,9	2,9	57,7	10,9	0,7
30.08.2022 12:00	154	0,4	1,9	2,6	60,7	8,7	0,8
30.08.2022 13:00	152	0,3	2	2,6	59,9	6,4	0,6
30.08.2022 14:00	150	0,4	1,8	2,4	59,5	5	0,7

30.08.2022 15:00	152	0,3	2	2,5	61,3	4,5	0,8
30.08.2022 16:00	153	0,3	1,5	1,9	67,6	4,3	0,8
30.08.2022 17:00	151	0,2	2,1	2,5	66	4,2	0,8
30.08.2022 18:00	152	0,4	3,1	3,7	63,7	4,2	0,6
30.08.2022 19:00	151	0,3	3,1	3,6	59,1	3,9	0,8
30.08.2022 20:00	150	0,2	3,8	4,1	52,5	3,9	0,5
30.08.2022 21:00	159	0,2	5,1	5,5	48,9	7,2	0,7
30.08.2022 22:00	162	0,2	6,3	6,6	45,5	6,8	0,8
30.08.2022 23:00	156	0,2	4,6	4,9	52,3	6,1	1
31.08.2022	149	0,1	3,2	3,4	58,3	4,6	0,8
31.08.2022 01:00	146	0,2	2,9	3,2	55,4	3,3	0,8
31.08.2022 02:00	148	0,2	3,2	3,6	47,8	5,8	0,7
31.08.2022 03:00	148	0,3	4,5	5	38,4	10	0,8
31.08.2022 04:00	149	0,4	5,4	5,9	32,7	8,9	0,7
31.08.2022 05:00	149	0,3	6,1	6,6	28,9	7,5	0,7
31.08.2022 06:00	150	0,4	6,9	7,6	25,9	5,7	0,4
31.08.2022 07:00	154	0,7	7,3	8,4	26,3	7,6	0,7
31.08.2022 08:00	155	1,2	7,8	9,7	26,8	6,7	0,8
31.08.2022 09:00	155	1,5	7,1	9,4	31,9	8,8	0,9
31.08.2022 10:00	159	2,1	7,3	10,5	39,8	7,7	1
31.08.2022 11:00	175	3,3	8,3	13,4	46,6	6,5	1
31.08.2022 12:00	313	1,5	5,7	8,1	55,9	5,8	0,8
31.08.2022 13:00	835	1,3	3,7	5,7	61,2	5,1	1
31.08.2022 14:00	182	0,6	4,1	5,1	70,1	4,2	1
31.08.2022 15:00	147	0,4	4,2	4,8	71,1	3,7	0,7
31.08.2022 16:00	139	0,6	3,3	4,2	71,5	3,6	1
31.08.2022 17:00	135	0,5	2,7	3,5	74,2	3,8	0,9
31.08.2022 18:00	134	0,4	2,9	3,5	71,4	3,2	1,1
31.08.2022 19:00	140	0,4	4,8	5,3	62,5	3,1	0,9
31.08.2022 20:00	149	0,2	7,1	7,5	52,9	6,5	1
31.08.2022 21:00	152	0,2	7,9	8,2	40,3	7,6	1
31.08.2022 22:00	156	0,2	7,1	7,5	45,9	11,4	1,2
31.08.2022 23:00	159	0,2	8	8,4	42,4	10,6	1,2
01.09.2022	163	0,3	8,4	8,8	46,4	8,6	1,2
01.09.2022 01:00	162	0,3	7,9	8,3	47	8,7	0,7
01.09.2022 02:00	162	0,2	8,5	8,8	41,2	7,9	0,8
01.09.2022 03:00	161	0,2	8,6	9	38,4	6,3	0,8
01.09.2022 04:00	154	0,3	7,1	7,5	41,7	11,3	0,8
01.09.2022 05:00	149	0,2	5,7	6	43	11,2	1
01.09.2022 06:00	145	0,2	4,3	4,7	45,5	8,6	1
01.09.2022 07:00	145	0,5	5,3	6,1	42,1	6,8	1,1
01.09.2022 08:00	150	2	6,4	9,5	40,2	5,2	1,3
01.09.2022 09:00	155	3	6,8	11,4	48	3,9	1,2
01.09.2022 10:00	147	1,7	4,1	6,7	57,8	3,9	1,1
01.09.2022 11:00	143	1,5	3,3	5,6	62,3	3,2	1,1
01.09.2022 12:00	142	0,6	2,2	3,1	64,3	3,2	1
01.09.2022 13:00	146	0,5	3,1	3,9	59,6	2,9	1,1
01.09.2022 14:00	147	0,4	2	2,7	64,2	2,7	1,5
01.09.2022 15:00	145	0,3	1,9	2,4	66,6	2,9	1,3
01.09.2022 16:00	143	0,3	2,3	2,7	68,4	2,8	1
01.09.2022 17:00	139	0,3	1,7	2,1	71,6	2,8	1,3

01.09.2022 18:00	141	0,4	2,6	3,3	70,9	2,9	1,3
01.09.2022 19:00	145	0,4	3,9	4,4	66,9	2,7	1,3
01.09.2022 20:00	152	0,2	5,5	5,8	51,7	2,5	1,3
01.09.2022 21:00	159	0,1	7	7,1	50,5	2,5	1,5
01.09.2022 22:00	164	0,2	6,5	6,8	52,7	3	2,1
01.09.2022 23:00	173	0,2	8,2	8,5	47	3,6	2
02.09.2022	178	0,2	10,4	10,6	38,6	4,8	1,8
02.09.2022 01:00	179	0,2	11,4	11,8	31,8	5,3	0,7
02.09.2022 02:00	181	0,3	12,7	13,1	26,9	8,3	0,5
02.09.2022 03:00	183	0,3	13,5	14	23,8	10,1	0,6
02.09.2022 04:00	183	0,4	13,4	14,1	22,7	11,3	0,5
02.09.2022 05:00	176	0,3	12,6	13,1	24,5	9	0,7
02.09.2022 06:00	164	0,4	10,5	11,1	26,2	7,4	0,7
02.09.2022 07:00	165	0,9	10,1	11,5	28,7	8,1	1,1
02.09.2022 08:00	185	3,5	14,6	20	30,7	9,6	1,8
02.09.2022 09:00	191	6	13,9	23,1	34,4	8	3,5
02.09.2022 10:00	185	4,7	11,6	18,9	43,1	6,7	2,8
02.09.2022 11:00	164	1,7	5,5	8,1	59	5,2	1,3
02.09.2022 12:00	154	0,7	3	4,1	70,5	4,7	1,2
02.09.2022 13:00	155	0,5	2,5	3,2	74,2	4,3	1,3
02.09.2022 14:00	157	0,5	3,1	3,9	74,6	5,4	1,2
02.09.2022 15:00	156	0,3	2,9	3,3	77,6	5,2	1,2
02.09.2022 16:00	156	0,3	2,9	3,5	79	5,5	1,2
02.09.2022 17:00	153	0,5	3	3,8	79	5,5	1,1
02.09.2022 18:00	154	0,5	3,8	4,7	75,8	5,5	1,1
02.09.2022 19:00	158	0,5	6,4	7,1	50,2	5,3	1,1
02.09.2022 20:00	157	0,3	6,7	7,1	31,6	4,6	1
02.09.2022 21:00	161	0,3	9,1	9,5	34,3	9,1	1
02.09.2022 22:00	182	0,1	13,2	13,5	32	8,6	1
02.09.2022 23:00	192	0,2	10	10,3	38,1	11,2	1,1
03.09.2022	187	0,2	10,9	11,2	39,3	9,5	1,5
03.09.2022 01:00	193	0,2	11,3	11,7	34,9	19,1	1,8
03.09.2022 02:00	202	0,3	12,6	13,1	31,6	16,5	1,9
03.09.2022 03:00	196	0,3	12,6	13,1	27,5	14,8	1,8
03.09.2022 04:00	203	0,2	13,3	13,7	26,6	14,2	1,5
03.09.2022 05:00	190	0,3	11,5	11,9	31,4	16,6	1,5
03.09.2022 06:00	179	0,5	11	11,7	20,3	13	1,4
03.09.2022 07:00	192	1,2	11,1	13	22,1	16,8	1,8
03.09.2022 08:00	214	2,7	11,8	16	31,2	14,4	5,1
03.09.2022 09:00	222	5,6	13,7	22,3	35,7	10,7	4,7
03.09.2022 10:00	196	1,9	6,5	9,4	51,7	13,7	2
03.09.2022 11:00	173	0,8	3,5	4,6	66,4	14,2	1,4
03.09.2022 12:00	165	0,4	2,5	3,1	72,1	11,2	1,2
03.09.2022 13:00	163	0,4	2,6	3,2	75,4	14,1	1,2
03.09.2022 14:00	161	0,5	2,3	3	77,8	13,2	1
03.09.2022 15:00	156	0,3	2,3	2,8	79,6	9,7	1,2
03.09.2022 16:00	152	0,4	2,5	3,1	79,5	9,5	1,2
03.09.2022 17:00	154	0,5	2,9	3,7	78,7	9,6	1,4
03.09.2022 18:00	171	0,3	2,9	3,4	77,2	10,9	1,5
03.09.2022 19:00	183	0,5	6,8	7,6	56,5	12,7	1,3
03.09.2022 20:00	178	0,3	6,2	6,7	40,2	7,7	1,4

03.09.2022 21:00	191	0,2	8,2	8,4	42,5	18,4	1,4
03.09.2022 22:00	229	0,2	15,5	15,9	43,5	18,4	1,7
03.09.2022 23:00	215	0,3	11,9	12,4	43,3	14,9	1,6
04.09.2022	216	0,2	9,6	10	49	14,4	1,4
04.09.2022 01:00	219	0,2	8,7	9	45,5	16,2	1,5
04.09.2022 02:00	207	0,3	7,8	8,3	33,8	20	1,3
04.09.2022 03:00	215	0,2	6,9	7,3	38,6	15,8	1,4
04.09.2022 04:00	212	0,5	8,1	8,8	32,2	17,3	1,3
04.09.2022 05:00	209	0,5	7,5	8,3	26,4	17,3	1,4
04.09.2022 06:00	204	0,9	6,9	8,2	27,3	16	1,3
04.09.2022 07:00	199	0,9	8,4	9,9	21,5	27,3	1,4
04.09.2022 08:00	223	2,1	9,4	12,7	30,5	24,2	1,6
04.09.2022 09:00	211	1,6	5,5	8	41,1	18,2	1,9
04.09.2022 10:00	202	1,2	4,8	6,7	51,4	13,8	4,6
04.09.2022 11:00	199	1,2	4,4	6,3	61,7	10,3	5,8
04.09.2022 12:00	191	1	4,4	6	67,2	8	5,4
04.09.2022 13:00	184	1,3	6,4	8,4	68,4	7,3	9,9
04.09.2022 14:00	178	0,6	3,4	4,3	78,3	6,5	4,3
04.09.2022 15:00	174	0,4	2	2,7	79,7	5,4	2
04.09.2022 16:00	174	0,3	2,6	3,1	76,6	5	1,6
04.09.2022 17:00	172	0,3	2,7	3,1	76,6	7,9	1,5
04.09.2022 18:00	174	0,4	3,5	4,2	77,7	7,6	3,2
04.09.2022 19:00	173	0,4	5,4	6	49,4	15,5	2,6
04.09.2022 20:00	172	0,3	6,5	6,9	34,9	17,5	1,8
04.09.2022 21:00	170	0,3	5,9	6,4	37	15,5	1,7
04.09.2022 22:00	178	0,4	7,2	7,8	36,9	12,9	1,6
04.09.2022 23:00	194	0,3	9,1	9,6	35,4	13	1,4
05.09.2022	193	0,3	8,6	9,1	41,3	12,9	1,6
05.09.2022 01:00	178	0,4	7,2	7,8	40,2	10,4	0,9
05.09.2022 02:00	164	0,2	6	6,3	42,1	8,9	1,1
05.09.2022 03:00	153	0,1	5,9	6,1	41,2	7,5	1,1
05.09.2022 04:00	145	0,2	5,4	5,8	40,7	6,4	0,9
05.09.2022 05:00	141	0,2	5,6	5,9	40,4	5	0,9
05.09.2022 06:00	138	0,2	5,9	6,3	37,4	4,3	1
05.09.2022 07:00	144	0,7	9,6	10,7	35,6	4	1,2
05.09.2022 08:00	169	3,3	14	19	37,7	5,8	2,4
05.09.2022 09:00	159	2,6	8,1	12,1	48,7	5,6	2
05.09.2022 10:00	164	1,5	5,7	8,1	57,2	6,7	1,5
05.09.2022 11:00	158	1,1	3,7	5,5	64,1	7,8	1,2
05.09.2022 12:00	158	0,6	2,7	3,6	68,6	7	1,3
05.09.2022 13:00	154	0,7	2,8	3,9	72,3	7,8	1,3
05.09.2022 14:00	154	0,5	2,2	3	75,5	8	1,4
05.09.2022 15:00	152	0,3	2,4	3	78,2	6,7	1,3
05.09.2022 16:00	153	0,4	2,4	3,1	80,9	6,1	1,5
05.09.2022 17:00	156	0,8	3,7	5	84,4	5,5	1,5
05.09.2022 18:00	164	0,5	5,2	5,9	82,4	5,2	1,3
05.09.2022 19:00	168	0,3	5,5	6	52	8,3	1,4
05.09.2022 20:00	173	0,3	7,2	7,6	40,8	7,6	1,3
05.09.2022 21:00	178	0,1	9,3	9,5	48,4	8,5	1,3
05.09.2022 22:00	182	0,2	10,9	11,3	45,4	7,6	1,4
05.09.2022 23:00	188	0,2	12	12,3	39,6	12,7	1,3

06.09.2022	214	0,3	14	14,6	33,9	20,3	1,6
06.09.2022 01:00	208	0,4	15,7	16,3	28,2	26,3	1
06.09.2022 02:00	206	0,5	18,3	19,1	19,1	23,5	1,1
06.09.2022 03:00	204	0,4	15,7	16,3	21,8	21,2	1,1
06.09.2022 04:00	184	0,4	13	13,7	25,2	16,1	1,3
06.09.2022 05:00	172	0,4	11,4	12	26,2	14,3	1,1
06.09.2022 06:00	156	0,6	9,1	10	25	11,4	0,9
06.09.2022 07:00	161	1,7	14,1	16,7	19,7	9,2	1,1
06.09.2022 08:00	182	5,5	16,9	25,4	29	17,1	2,5
06.09.2022 09:00	175	5,7	13,6	22,4	36,8	42,8	5,9
06.09.2022 10:00	172	5	12	19,7	44,5	38,5	9,3
06.09.2022 11:00	191	1,2	4,8	6,7	59,4	29,2	4,9
06.09.2022 12:00	169	1	3,9	5,4	65,3	29,8	2
06.09.2022 13:00	198	0,4	2,3	3	71,1	23,9	0,7
06.09.2022 14:00	378	0,3	2,4	2,9	73,9	17,1	0,5
06.09.2022 15:00	184	0,4	2,5	3,1	74,8	33	0,3
06.09.2022 16:00	164	0,5	2,3	3,1	76,8	27,5	0,5
06.09.2022 17:00	162	0,3	2,7	3,1	78,4	19,1	0,5
06.09.2022 18:00	170	0,9	6,1	7,4	69,7	15,7	0,8
06.09.2022 19:00	179	0,4	6,5	7,1	44	17,5	0,8
06.09.2022 20:00	187	0,2	7,7	8,1	36,4	16,4	0,6
06.09.2022 21:00	191	0,2	12,5	12,7	41	15,1	0,6
06.09.2022 22:00	194	0,2	13,6	14	43,5	13,3	0,4
06.09.2022 23:00	212	0,3	14,2	14,6	45,5	10,3	0,5
07.09.2022	190	0,2	11,2	11,5	50,9	10,1	0,6
07.09.2022 01:00	180	0,2	9,2	9,6	53,2	13,9	0,8
07.09.2022 02:00	184	0,2	10,6	10,9	50,9	12,8	0,6
07.09.2022 03:00	182	0,3	7,8	8,3	51,5	14,2	0,8
07.09.2022 04:00	182	0,3	10,1	10,6	49,1	14,5	0,7
07.09.2022 05:00	177	0,1	7,3	7,4	51	11,8	0,7
07.09.2022 06:00	173	0,2	5,9	6,2	54,4	10,3	0,7
07.09.2022 07:00	179	0,4	7,9	8,5	52,3	8	0,8
07.09.2022 08:00	211	3	14,5	19,1	43	18,3	0,8
07.09.2022 09:00	201	2,7	9,7	13,8	48,1	15,9	0,7
07.09.2022 10:00	200	1,3	4,6	6,6	59,3	11,9	0,7
07.09.2022 11:00	185	0,6	3	3,9	67,2	8,9	0,8
07.09.2022 12:00	177	0,8	2,9	4,2	72,4	12	0,9
07.09.2022 13:00	178	0,6	3,3	4,2	78,1	18,7	1,3
07.09.2022 14:00	178	0,6	3,3	4,3	82	20,5	1,2
07.09.2022 15:00	181	0,6	3,7	4,6	85,7	24,2	1,3
07.09.2022 16:00	182	0,6	3,4	4,4	89,2	25,3	1,4
07.09.2022 17:00	179	0,5	5,4	6,3	87,5	24,1	2,8
07.09.2022 18:00	179	0,8	8,4	9,6	80,7	18,2	4,7
07.09.2022 19:00	190	0,7	13,5	14,5	57,6	24,7	3,4
07.09.2022 20:00	218	0,2	12,8	13,2	46,2	20,4	1,8
07.09.2022 21:00	259	0,3	17,1	17,4	50,4	16,9	1,8
07.09.2022 22:00	223	0,8	14,1	15,4	43,9	17,8	1,2
07.09.2022 23:00	222	0,4	12,8	13,4	40,7	25,6	0,9
08.09.2022	217	0,4	11,9	12,6	41	22,1	0,9
08.09.2022 01:00	209	0,3	10,7	11,2	42,3	17,7	0,9
08.09.2022 02:00	200	0,3	9,5	9,9	37,5	18,5	0,9

08.09.2022 03:00	194	0,6	11,2	12,1	26,6	14,7	0,9
08.09.2022 04:00	198	0,3	10	10,5	30,5	20,8	0,8
08.09.2022 05:00	198	0,4	9,7	10,3	31,4	22,6	1,1
08.09.2022 06:00	191	0,7	10,6	11,6	29,4	20,4	1,1
08.09.2022 07:00	195	1,2	12,5	14,2	29,3	17,3	1,2
08.09.2022 08:00	211	3,4	15,9	21,1	38,2	26,1	2,9
08.09.2022 09:00	199	3	12	16,6	47,2	29,6	4,5
08.09.2022 10:00	214	1,5	6,6	8,8	59,9	27,6	3,1
08.09.2022 11:00	203	3,3	12,5	17,6	60,2	31,2	10,8
08.09.2022 12:00	219	1,6	6,1	8,7	77,5	32,1	4,2
08.09.2022 13:00	187	0,7	4,4	5,5	85,4	37,3	1,8
08.09.2022 14:00	189	0,7	5,1	6,3	89,5	40,1	2,6
08.09.2022 15:00	194	0,6	5,5	6,4	93,4	37,8	3,8
08.09.2022 16:00	195	1,1	6,5	8,2	93	37,8	4,6
08.09.2022 17:00	197	0,7	7	8,1	94,3	35	4,1
08.09.2022 18:00	196	0,6	6,4	7,3	91,5	33	3
08.09.2022 19:00	194	0,4	6,3	7	82,8	33,4	1,8
08.09.2022 20:00	196	0,4	5,5	6,1	76,5	33,4	1,3
08.09.2022 21:00	188	0,2	4,2	4,6	75,6	30,9	1
08.09.2022 22:00	183	0,1	4,6	4,8	76,7	23,5	1,4
08.09.2022 23:00	188	0,3	7	7,5	69,6	34,3	2
09.09.2022	218	0,4	6,3	7	61,7	36,8	1,1
09.09.2022 01:00	228	0,4	4,9	5,6	66,1	28,6	0,9
09.09.2022 02:00	229	0,2	8,4	8,6	61,3	28,8	1,3
09.09.2022 03:00	230	0,3	8,7	9,2	57,1	28,8	1,6
09.09.2022 04:00	225	0,4	7,1	7,7	54,8	25,7	1,8
09.09.2022 05:00	220	0,2	8,1	8,4	50,6	19,7	1,6
09.09.2022 06:00	216	0,4	8,5	9,1	46,2	15,1	1,4
09.09.2022 07:00	216	0,5	11,8	12,6	39,6	15,5	1,2
09.09.2022 08:00	219	1,3	13,9	15,8	35,3	22,2	2,1
09.09.2022 09:00	215	1,3	10,9	13	37,7	18,1	2
09.09.2022 10:00	216	1,8	10,8	13,6	35,6	21,1	1,7
09.09.2022 11:00	228	1,3	7,5	9,5	38,1	17,3	1,3
09.09.2022 12:00	229	0,9	5,9	7,3	37,8	24,2	1,1
09.09.2022 13:00	227	1,9	9,6	12,5	35,2	28,4	1
09.09.2022 14:00	226	1,8	9	11,9	37,4	27	0,8
09.09.2022 15:00	225	2,1	10,4	13,6	40,9	25,8	0,8
09.09.2022 16:00	219	1,7	8,8	11,4	44,1	22,1	0,6
09.09.2022 17:00	213	1,6	8,5	11,1	45,1	22,1	0,7
09.09.2022 18:00	218	1,2	8,8	10,6	40,2	18,2	0,6
09.09.2022 19:00	214	1,4	10	12,2	42,6	23,8	0,5
09.09.2022 20:00	218	0,5	10,4	11,2	40,1	32,5	0,7
09.09.2022 21:00	214	0,5	8,5	9,3	45,6	28,2	0,5
09.09.2022 22:00	214	0,4	8,3	8,9	45,9	24,1	0,6
09.09.2022 23:00	213	0,4	15,9	16,4	36,4	24,6	2,1
10.09.2022	206	0,3	13,7	14,2	45,2	22,8	2,6
10.09.2022 01:00	207	0,4	6,5	7,1	46,4	21,5	1,3
10.09.2022 02:00	205	0,4	5,1	5,8	46,5	19,7	0,6
10.09.2022 03:00	200	0,5	4,3	5,1	50,3	22,3	0,4
10.09.2022 04:00	200	0,4	4,1	4,8	50,5	19,2	0,3
10.09.2022 05:00	200	0,2	4,6	4,9	34,6	20	0,3

10.09.2022 06:00	200	0,4	4,6	5,2	30	15,2	0,3
10.09.2022 07:00	199	0,7	6,7	7,8	30	16,7	0,4
10.09.2022 08:00	195	1,3	13,8	15,9	26,7	17,5	2,4
10.09.2022 09:00	192	1,6	14	16,5	27,2	14,3	3,1
10.09.2022 10:00	197	1,6	11,1	13,6	29,3	17,9	2,2
10.09.2022 11:00	200	3,3	12,9	18	26,1	14,3	2,6
10.09.2022 12:00	200	1,9	9,4	12,4	33,6	14,3	2,3
10.09.2022 13:00	200	1,8	12,3	15,1	37,5	10,9	3,3
10.09.2022 14:00	190	1,8	11	13,8	45,3	15,6	3,8
10.09.2022 15:00	194	0,7	5,4	6,5	49,4	12,9	1,8
10.09.2022 16:00	197	0,6	5,7	6,7	46,6	12,5	1,2
10.09.2022 17:00	211	0,9	6,9	8,3	40,9	11,1	1,1
10.09.2022 18:00	210	0,8	7,1	8,3	38,9	16,2	1
10.09.2022 19:00	220	1	8,8	10,3	36	13,8	0,7
10.09.2022 20:00	232	0,4	7,5	8,2	30,4	11,9	0,7
10.09.2022 21:00	242	0,3	7,6	8,1	28,6	17,7	0,7
10.09.2022 22:00	230	0,4	6,5	7,1	28,9	14,9	0,6
10.09.2022 23:00	234	0,3	6,7	7,2	24	21,5	1
11.09.2022	233	0,4	5,7	6,3	23,3	23,5	0,6
11.09.2022 01:00	223	0,3	5,7	6,2	23,2	24,2	0,5
11.09.2022 02:00	223	0,4	6,9	7,5	22,8	18,8	0,5
11.09.2022 03:00	215	0,3	5,6	6,1	27,9	18,1	0,4
11.09.2022 04:00	210	0,2	4,8	5,1	26,4	14,5	0,4
11.09.2022 05:00	205	0,2	4,2	4,5	29,5	10,7	0,2
11.09.2022 06:00	201	0,2	3,2	3,4	31,4	9,5	0,3
11.09.2022 07:00	202	0,1	3,6	3,8	28,2	7,4	0,1
11.09.2022 08:00	218	0,4	3,7	4,3	24,6	13	0,1
11.09.2022 09:00	233	0,5	3,5	4,3	22,8	11,9	0,1
11.09.2022 10:00	235	0,5	3,1	3,9	24,7	8,9	0,3
11.09.2022 11:00	232	0,5	2,6	3,4	26,7	11,5	0,1
11.09.2022 12:00	216	0,4	2,8	3,3	32,9	12	0,3
11.09.2022 13:00	196	0,5	2,4	3,2	43,1	9,2	0,4
11.09.2022 14:00	195	0,3	2,7	3,1	43,6	12,9	0,3
11.09.2022 15:00	195	0,4	2,4	3	47,2	10,6	0,2
11.09.2022 16:00	190	0,3	2,2	2,7	53,3	13,1	0,5
11.09.2022 17:00	184	0,3	2,6	3	60,2	10,8	1
11.09.2022 18:00	179	0,2	2,7	3	60,9	8,1	0,7
11.09.2022 19:00	157	0,2	2,4	2,7	68,4	6,4	0,5
11.09.2022 20:00	151	0,2	2,6	3	68,3	5,2	0,4
11.09.2022 21:00	153	0,1	3,1	3,2	68,7	4,5	0,6
11.09.2022 22:00	152	0,2	2,7	3	68,7	4,4	0,6
11.09.2022 23:00	156	0,2	2,9	3,1	68,3	3,6	0,5
12.09.2022	160	0,2	2,5	2,8	66,2	6,6	0,5
12.09.2022 01:00	164	0,2	3,1	3,3	63,2	19,3	0,5
12.09.2022 02:00	166	0,2	3	3,2	61,3	18,3	0,7
12.09.2022 03:00	169	0,1	3,2	3,4	57,4	14,8	0,6
12.09.2022 04:00	172	0,2	3,7	4	52,3	10,9	0,5
12.09.2022 05:00	174	0,2	4,3	4,6	48,3	14,6	0,6
12.09.2022 06:00	176	0,2	4,8	5	46,6	11,9	0,7
12.09.2022 07:00	178	0,4	5,3	5,9	44	13,5	0,8
12.09.2022 08:00	177	0,3	5,4	5,9	44,8	11,5	0,5

12.09.2022 09:00	176	0,5	5,7	6,5	43,6	10,2	0,4
12.09.2022 10:00	178	0,7	6,3	7,4	42,5	12,2	0,6
12.09.2022 11:00	180	0,9	7	8,4	42,7	10,5	0,6
12.09.2022 12:00	182	1	7,1	8,6	44	9,7	0,9
12.09.2022 13:00	178	0,5	5,1	5,9	48,3	10,7	0,8
12.09.2022 14:00	178	0,4	4,3	4,9	50,9	10,4	0,7
12.09.2022 15:00	181	0,4	4,2	4,8	52,4	9,7	0,7
12.09.2022 16:00	181	0,6	4,9	5,9	52,1	9,1	0,6
12.09.2022 17:00	183	0,3	4,6	5,1	54,9	11,3	0,6
12.09.2022 18:00	197	0,6	7,6	8,5	45,3	14,4	0,6
12.09.2022 19:00	217	0,6	11	11,9	29,8	16,3	0,6
12.09.2022 20:00	218	0,5	11,6	12,4	18,3	13,4	0,5
12.09.2022 21:00	234	1,1	12,3	14	20,8	9,7	0,3
12.09.2022 22:00	248	0,5	8,8	9,6	19,3	11	0,2
12.09.2022 23:00	272	0,5	9,8	10,6	23,3	13,8	0,2
13.09.2022	247	0,5	8,7	9,4	23,6	20,6	0,3
13.09.2022 01:00	252	0,7	7,3	8,5	17,3	20,3	0,2
13.09.2022 02:00	242	0,5	7,6	8,4	19,3	15	0,4
13.09.2022 03:00	233	0,6	7,1	7,9	10,2	11,1	0,5
13.09.2022 04:00	207	0,7	9,2	10,2	16,7	11	0,6
13.09.2022 05:00	189	0,6	7,4	8,3	12,1	17,9	0,6
13.09.2022 06:00	178	0,4	5,6	6,3	12,7	15,1	0,7
13.09.2022 07:00	165	0,8	4,1	5,4	10,8	11,3	0,5
13.09.2022 08:00	196	2,2	4	7,4	15,1	15,4	0,6
13.09.2022 09:00	219	3,2	6,8	11,8	31,3	12,1	1,1
13.09.2022 10:00	196	1,7	5,2	7,8	50	9	1,1
13.09.2022 11:00	179	0,8	3,5	4,7	64,2	7,1	1,1
13.09.2022 12:00	182	0,5	3,6	4,3	72,3	6	1,6
13.09.2022 13:00	194	0,4	3,1	3,7	76,3	7,8	1,3
13.09.2022 14:00	194	0,4	3,1	3,7	81,3	6,5	1,1
13.09.2022 15:00	190	0,3	3,8	4,3	81,6	5	1,4
13.09.2022 16:00	195	1,1	10	11,6	72,4	16,3	18,1
13.09.2022 17:00	190	0,2	5,6	5,9	76,4	16,8	4,4
13.09.2022 18:00	192	0,4	6,4	7	70,8	18	2,5
13.09.2022 19:00	215	0,3	9	9,5	62,3	22,2	1,7
13.09.2022 20:00	218	0,2	8,1	8,4	60	17,5	1,5
13.09.2022 21:00	237	0,4	12	12,5	49	16	1,8
13.09.2022 22:00	262	0,3	12,7	13,2	41,9	13,7	1,9
13.09.2022 23:00	249	0,3	7,5	7,9	43,8	17,8	1,2
14.09.2022	212	0,2	6,1	6,5	53,7	23,6	0,9
14.09.2022 01:00	206	0,3	6,2	6,6	50,7	25,1	0,6
14.09.2022 02:00	197	0,2	5,1	5,4	55	19,3	0,7
14.09.2022 03:00	192	0,4	4,4	5	51,9	22,7	0,6
14.09.2022 04:00	190	0,4	4,1	4,7	45,6	18,3	0,4
14.09.2022 05:00	190	0,4	4	4,6	43,2	14,5	0,5
14.09.2022 06:00	187	0,2	4,4	4,7	40,1	17,3	0,4
14.09.2022 07:00	187	0,2	3,9	4,3	45,8	18,9	0,2
14.09.2022 08:00	191	0,3	5	5,5	44,2	26,3	0,2
14.09.2022 09:00	200	0,8	4,8	6	45,6	22,7	0,3
14.09.2022 10:00	193	0,8	4,5	5,8	53,7	16,5	0,5
14.09.2022 11:00	176	0,6	3	4	65,9	12,3	0,1

14.09.2022 12:00	158	0,4	2,5	3,2	76,4	8,9	0,2
14.09.2022 13:00	152	0,4	2,3	3	77,9	6,6	0,2
14.09.2022 14:00	149	0,4	1,8	2,4	79,9	4,8	0,1
14.09.2022 15:00	149	0,2	2	2,4	82,8	3,7	0,2
14.09.2022 16:00	150	0,4	2,2	2,9	82,2	3,5	0,2
14.09.2022 17:00	154	0,3	2,5	3	79,5	3,3	0,4
14.09.2022 18:00	158	0,3	4	4,4	75,7	5,5	0,2
14.09.2022 19:00	164	0,3	5,9	6,3	69,6	16,2	0,1
14.09.2022 20:00	203	0,3	9,3	9,8	50,9	17,3	0,1
14.09.2022 21:00	239	0,4	10,8	11,4	35,4	17,8	0,1
14.09.2022 22:00	253	0,5	11,5	12,2	34,3	13,8	0,1
14.09.2022 23:00	291	0,5	11,4	12,1	27,3	15,1	0,1
15.09.2022	268	0,4	10,4	11	29	22,2	0,1
15.09.2022 01:00	247	0,5	10,7	11,4	23,9	18,4	0,1
15.09.2022 02:00	228	0,4	8,9	9,6	30,2	25,9	0,5
15.09.2022 03:00	229	0,5	8,9	9,7	24,9	24,2	0,6
15.09.2022 04:00	228	0,6	8,4	9,3	25,5	21,8	0,2
15.09.2022 05:00	222	0,4	8,6	9,3	24,3	17,1	0,2
15.09.2022 06:00	225	0,5	8,4	9,1	14,8	22	0,1
15.09.2022 07:00	200	0,5	6,4	7,2	33,8	25,9	0,1
15.09.2022 08:00	184	0,5	5,3	6,1	38,4	20	0,1
15.09.2022 09:00	183	0,6	5,1	6,1	36,2	19,2	0,1
15.09.2022 10:00	187	0,9	5,2	6,5	40	14,5	0,1
15.09.2022 11:00	176	0,9	4,7	6,1	45,6	13,9	0,2
15.09.2022 12:00	166	0,7	3,2	4,3	61,3	11,3	0,2
15.09.2022 13:00	162	0,5	2,8	3,6	70,3	9,2	0,2
15.09.2022 14:00	156	0,4	2,3	2,9	76,5	7,8	0,2
15.09.2022 15:00	156	0,4	2,5	3,2	79,8	6,6	0,4
15.09.2022 16:00	158	0,5	2,9	3,7	78,5	5,9	0,4
15.09.2022 17:00	156	0,2	3,3	3,7	73,4	4,7	0,5
15.09.2022 18:00	166	0,2	4,1	4,5	71,5	3,6	0,3
15.09.2022 19:00	186	0,3	5,9	6,3	64,4	13,6	0,3
15.09.2022 20:00	248	0,3	7,4	7,9	55,3	18,5	0,2
15.09.2022 21:00	211	0,3	6,7	7,2	53,4	22,3	0,3
15.09.2022 22:00	213	0,2	7,2	7,5	48,3	18,2	0,3
15.09.2022 23:00	195	0,2	6,4	6,8	50,3	14,9	0,3
16.09.2022	192	0,3	6,4	6,8	48,5	13,9	0,4
16.09.2022 01:00	192	0,3	6,8	7,3	46,8	11,5	0,2
16.09.2022 02:00	188	0,2	6,4	6,7	44,6	13,5	0,3
16.09.2022 03:00	186	0,3	6	6,5	41,7	11,5	0,5
16.09.2022 04:00	173	0,2	5	5,2	43,2	12,6	0,2
16.09.2022 05:00	172	0,3	4,7	5,2	40,6	13	0,2
16.09.2022 06:00	170	0,4	4,6	5,2	40,1	11,4	0,4
16.09.2022 07:00	169	0,4	4,4	5	38,9	17,5	0,3
16.09.2022 08:00	167	0,7	4,9	6	41,3	14,7	0,4
16.09.2022 09:00	166	0,6	4,4	5,3	49	10,7	0,4
16.09.2022 10:00	158	0,7	3,4	4,5	58	8,7	0,4
16.09.2022 11:00	153	0,6	2,9	3,9	62,4	7,3	0,4
16.09.2022 12:00	149	0,5	2,7	3,5	65,7	6,5	0,4
16.09.2022 13:00	150	0,5	2,6	3,3	70	5,8	0,3
16.09.2022 14:00	147	0,3	2,3	2,8	75,9	12,7	0,4

16.09.2022 15:00	146	0,3	2,1	2,4	77,2	4,7	0,3
16.09.2022 16:00	152	0,4	2,2	2,8	74,4	1,6	0,3
16.09.2022 17:00	150	0,4	2,7	3,3	75,6	0,5	0,4
16.09.2022 18:00	150	0,2	2,7	3	75,8	0,6	0,3
16.09.2022 19:00	181	0,3	6,1	6,6	60,1	6,5	0,4
16.09.2022 20:00	222	0,3	9,6	10,1	44,8	21,3	0,5
16.09.2022 21:00	260	0,4	10,2	10,8	37,4	18	0,4
16.09.2022 22:00	228	0,2	7	7,4	41,3	13,5	0,4
16.09.2022 23:00	200	0,3	6,6	7,1	39,1	14,3	0,5
17.09.2022	195	0,3	6	6,5	37	11,8	0,4
17.09.2022 01:00	188	0,3	5,9	6,4	37,5	10,5	0,3
17.09.2022 02:00	183	0,2	5,7	6,1	37,9	7,9	0,4
17.09.2022 03:00	175	0,1	4,9	5,1	37,4	5,6	0,2
17.09.2022 04:00	168	0,2	4,5	4,8	39,3	13,7	0,5
17.09.2022 05:00	168	0,3	4,8	5,3	37,1	12,2	0,7
17.09.2022 06:00	169	0,5	4,4	5,1	34	9	0,8
17.09.2022 07:00	174	0,4	4,8	5,4	31,2	7,2	0,5
17.09.2022 08:00	180	0,9	5,1	6,5	33,5	5,4	0,8
17.09.2022 09:00	177	1,2	4,3	6	44,6	4,3	1,2
17.09.2022 10:00	176	0,9	4,4	5,8	47,5	5,1	1,2
17.09.2022 11:00	176	0,7	3,8	4,9	47,3	4,1	0,7
17.09.2022 12:00	174	0,6	3,5	4,3	48	4,9	0,7
17.09.2022 13:00	175	0,7	3,3	4,4	48,4	4,4	0,6
17.09.2022 14:00	171	0,4	3,3	3,9	50,1	3,7	0,5
17.09.2022 15:00	175	0,6	3,4	4,3	48,9	3,4	0,6
17.09.2022 16:00	171	0,5	3,1	3,8	51,1	3,1	0,6
17.09.2022 17:00	179	0,5	3,7	4,4	48,2	4,3	0,5
17.09.2022 18:00	183	0,3	3,5	4	47,2	4,9	0,6
17.09.2022 19:00	222	0,4	6,2	6,7	36	10,4	0,8
17.09.2022 20:00	283	0,4	7,6	8,3	26,8	10,5	0,6
17.09.2022 21:00	296	0,5	8	8,8	21,2	16,2	0,6
17.09.2022 22:00	293	0,4	7,4	8,1	20,6	13,1	0,5
17.09.2022 23:00	264	0,2	6,3	6,6	24,2	14,2	0,4
18.09.2022	242	0,4	5,7	6,3	25,3	11,1	0,5
18.09.2022 01:00	214	0,3	4,7	5,2	31,5	8,8	0,6
18.09.2022 02:00	203	0,2	4,4	4,8	31,6	10,4	0,8
18.09.2022 03:00	197	0,2	4,1	4,3	29,1	8,3	0,6
18.09.2022 04:00	186	0,1	3,7	3,9	33,7	8,2	0,6
18.09.2022 05:00	177	0,4	3,3	3,9	37,3	7,2	0,7
18.09.2022 06:00	175	0,1	3,3	3,6	38,5	7,2	0,6
18.09.2022 07:00	173	0,3	3,1	3,5	39,4	6,3	0,7
18.09.2022 08:00	164	0,4	3	3,7	44,1	5,3	0,8
18.09.2022 09:00	157	0,4	2,5	3,1	48,3	4,2	0,7
18.09.2022 10:00	158	0,5	2,3	3	50,6	3,7	0,9
18.09.2022 11:00	155	0,4	2	2,6	55	3,2	0,8
18.09.2022 12:00	153	0,3	1,8	2,3	60,7	2,9	0,8
18.09.2022 13:00	155	0,3	1,6	2,2	64,3	3,1	0,9
18.09.2022 14:00	156	0,3	1,7	2,2	64,4	2,8	0,9
18.09.2022 15:00	156	0,2	1,6	2	65,6	2,7	0,8
18.09.2022 16:00	158	0,3	1,6	2	66,9	2,4	0,6
18.09.2022 17:00	160	0,2	1,7	2	63,4	2,5	0,7

18.09.2022 18:00	165	0,3	1,9	2,4	58,1	2,4	0,7
18.09.2022 19:00	173	0,3	2,6	3	51,6	2,8	0,7
18.09.2022 20:00	183	0,1	3,2	3,3	47,3	3	0,8
18.09.2022 21:00	180	0,1	3,2	3,4	46,1	6,4	0,8
18.09.2022 22:00	186	0,2	3,4	3,7	43,3	6,3	1
18.09.2022 23:00	194	0,2	4,1	4,4	39	9,7	0,9
19.09.2022	190	0,3	3,7	4,1	41,2	8,5	0,8
19.09.2022 01:00	181	0,1	3,6	3,8	45	6	0,8
19.09.2022 02:00	175	0,2	3,5	3,7	43	4,4	0,9
19.09.2022 03:00	169	0,2	3,6	3,9	40	4,4	0,8
19.09.2022 04:00	167	0,2	3,8	4,1	38,6	4,3	0,7
19.09.2022 05:00	167	0,2	3,6	4	36,5	4,9	0,7
19.09.2022 06:00	169	0,1	3,8	3,9	34,5	6	0,8
19.09.2022 07:00	172	0,2	4,1	4,5	34,1	4,9	1
19.09.2022 08:00	174	0,4	3,6	4,3	39,9	4,5	0,9
19.09.2022 09:00	172	0,6	3,5	4,5	44,5	5,5	0,9
19.09.2022 10:00	186	1	3,5	5,1	48,1	5,4	0,8
19.09.2022 11:00	175	0,9	3,8	5,1	51,3	7,2	0,8
19.09.2022 12:00	172	1	3,9	5,4	55,4	6,5	0,9
19.09.2022 13:00	165	0,6	3,1	4	57,9	5,3	0,8
19.09.2022 14:00	164	0,3	3	3,5	55,7	5,9	0,7
19.09.2022 15:00	166	0,4	3,4	4,1	53,4	4,7	0,9
19.09.2022 16:00	168	0,4	2,9	3,5	55,1	5,1	0,8
19.09.2022 17:00	167	0,3	3	3,5	53,8	9	0,9
19.09.2022 18:00	179	0,3	4,2	4,7	47,5	12,4	0,9
19.09.2022 19:00	221	0,3	7,1	7,5	36,6	15,6	0,8
19.09.2022 20:00	233	0,3	7,3	7,8	39,8	19,5	0,8
19.09.2022 21:00	230	0,2	6,4	6,8	39,2	20,7	0,7
19.09.2022 22:00	232	0,2	6,4	6,8	34,4	16,2	0,7
19.09.2022 23:00	220	0,2	7,4	7,7	30,2	13,8	0,9
20.09.2022	215	0,2	6,7	7	29	12,6	0,7
20.09.2022 01:00	210	0,3	6	6,4	27,6	16,6	0,7
20.09.2022 02:00	205	0,3	5,5	5,9	27,1	13,4	0,7
20.09.2022 03:00	199	0,2	5,2	5,5	28,3	10,1	0,7
20.09.2022 04:00	200	0,2	5,3	5,6	28,5	10,5	0,8
20.09.2022 05:00	200	0,4	4,9	5,5	27,2	8,1	0,9
20.09.2022 06:00	197	0,2	4,6	4,9	25,7	9,3	0,8
20.09.2022 07:00	194	0,3	4,5	4,9	27,8	8	0,8
20.09.2022 08:00	192	0,4	5,1	5,7	28,5	10,9	0,9
20.09.2022 09:00	196	0,8	5,3	6,4	29,5	8,7	0,9
20.09.2022 10:00	193	1	5,1	6,7	30	7,9	1,1
20.09.2022 11:00	191	1,5	4,4	6,7	31,4	6,8	1,1
20.09.2022 12:00	187	1,2	3,7	5,5	36,8	7,9	0,9
20.09.2022 13:00	181	0,8	3,1	4,4	43,6	6,9	0,9
20.09.2022 14:00	174	0,6	3	4	46,7	5,9	0,9
20.09.2022 15:00	171	0,6	2,4	3,3	53,1	5,4	0,9
20.09.2022 16:00	170	0,5	2,4	3,2	54,6	4,6	0,9
20.09.2022 17:00	169	0,4	2,5	3,1	56,4	4	0,7
20.09.2022 18:00	169	0,3	3	3,4	55,6	3,3	0,9
20.09.2022 19:00	170	0,2	2,3	2,6	55,3	2,7	0,7
20.09.2022 20:00	187	0,2	3,2	3,5	54,4	9	0,8

20.09.2022 21:00	195	0,2	4,4	4,8	41,7	9,8	0,9
20.09.2022 22:00	208	0,2	5,5	5,8	36,9	9	1,1
20.09.2022 23:00	213	0,2	5,7	6,1	33,7	12,5	0,9
21.09.2022	210	0,2	6	6,3	32,7	12,7	0,8
21.09.2022 01:00	209	0,3	6,5	6,9	31,9	13,9	0,7
21.09.2022 02:00	203	0,1	6,5	6,7	33,3	12	0,8
21.09.2022 03:00	199	0,2	5,7	6,1	32,1	9,5	0,7
21.09.2022 04:00	195	0,2	5,3	5,7	32	8,7	1,1
21.09.2022 05:00	193	0,2	5,4	5,7	31,2	11	0,9
21.09.2022 06:00	192	0,3	4,9	5,3	29	12,8	0,6
21.09.2022 07:00	188	0,3	3,9	4,3	30,4	10,7	0,6
21.09.2022 08:00	188	0,4	4,1	4,7	30,5	13,6	0,7
21.09.2022 09:00	184	0,6	4,1	5	32,4	11	0,7
21.09.2022 10:00	179	0,7	3	4,1	38,3	9,2	0,8
21.09.2022 11:00	176	0,7	2,7	3,8	41,9	7,9	0,7
21.09.2022 12:00	172	0,8	2,6	3,8	43,8	6,7	0,7
21.09.2022 13:00	167	0,6	2,8	3,8	46,2	5,7	0,7
21.09.2022 14:00	163	0,5	2,9	3,7	47,6	4,8	0,7
21.09.2022 15:00	165	0,6	3,2	4	49,6	4,2	0,7
21.09.2022 16:00	168	0,5	2,8	3,5	47,9	3,4	0,6
21.09.2022 17:00	172	0,4	3,1	3,8	49,7	3,6	0,7
21.09.2022 18:00	175	0,4	3,4	4,1	43,3	3,5	0,6
21.09.2022 19:00	183	0,3	5,3	5,8	39,9	3,8	0,8
21.09.2022 20:00	201	0,3	8,7	9,1	35,7	3,5	0,7
21.09.2022 21:00	196	0,2	6,1	6,4	41,9	3	0,8
21.09.2022 22:00	179	0,2	3,8	4,1	46,9	5,1	0,7
21.09.2022 23:00	194	0,2	5,6	5,8	40	5,3	0,9
22.09.2022	198	0,2	6	6,4	36,8	5,7	0,7
22.09.2022 01:00	195	0,3	5,4	5,8	35,1	8,9	0,5
22.09.2022 02:00	195	0,2	6,2	6,6	30,4	12,3	0,6
22.09.2022 03:00	190	0,3	4,7	5,1	30,1	11,4	0,5
22.09.2022 04:00	181	0,1	3,6	3,8	33,4	8,7	0,5
22.09.2022 05:00	178	0,3	3,5	3,9	33,4	7,9	0,5
22.09.2022 06:00	176	0,3	3,2	3,6	31,3	6,6	0,5
22.09.2022 07:00	179	0,2	3,9	4,2	27,7	7,8	0,6
22.09.2022 08:00	182	0,5	4,9	5,7	25	6,5	0,5
22.09.2022 09:00	186	1	5,1	6,6	23,4	5,1	0,5
22.09.2022 10:00	187	1,2	4,7	6,6	23,8	8,9	0,4
22.09.2022 11:00	185	1,8	4,5	7,3	26,2	12,5	0,6
22.09.2022 12:00	183	1,7	3,5	6,1	33,8	10,2	0,6
22.09.2022 13:00	178	1,3	3,5	5,6	41,5	7,9	0,5
22.09.2022 14:00	174	0,7	3,8	4,9	45,1	5,7	0,5
22.09.2022 15:00	168	0,6	2,7	3,6	46,2	5	0,5
22.09.2022 16:00	176	0,8	3,7	4,9	41,5	3,8	0,7
22.09.2022 17:00	177	0,5	3,9	4,7	44,8	3,4	0,5
22.09.2022 18:00	177	0,4	4,1	4,7	42,5	3,3	0,6
22.09.2022 19:00	182	0,3	4,9	5,4	34,6	3,4	0,6
22.09.2022 20:00	197	0,3	6,4	6,8	32,3	3,3	0,5
22.09.2022 21:00	206	0,3	6,4	6,9	34,7	3,2	0,5
22.09.2022 22:00	211	0,1	6,4	6,6	34,4	3,8	0,7
22.09.2022 23:00	213	0,3	6,2	6,6	33,6	4,7	0,8

23.09.2022	213	0,3	6,6	7	29,7	5,8	0,6
23.09.2022 01:00	208	0,3	6,3	6,8	31,1	6,9	0,7
23.09.2022 02:00	202	0,2	6,1	6,4	30,6	7,4	0,8
23.09.2022 03:00	208	0,4	6,6	7,1	26,8	9,4	0,7
23.09.2022 04:00	203	0,3	6	6,5	25,6	8,4	0,6
23.09.2022 05:00	203	0,3	6,9	7,4	22,9	8,7	0,7
23.09.2022 06:00	195	0,4	6,1	6,7	22,5	9,5	0,8
23.09.2022 07:00	191	0,4	6,3	6,9	23,4	10,3	0,6
23.09.2022 08:00	196	1,7	7,3	9,9	24,1	12	0,7
23.09.2022 09:00	196	2,5	6,7	10,5	30,3	9,7	1,1
23.09.2022 10:00	183	1,8	5,3	8	46,2	7,3	0,9
23.09.2022 11:00	166	0,6	2,9	3,8	64,6	6,1	0,7
23.09.2022 12:00	160	0,6	2,2	3,1	69	12,4	0,8
23.09.2022 13:00	162	0,5	2,6	3,4	68,6	3,8	0,7
23.09.2022 14:00	160	0,4	2,3	2,9	71,8	1,5	0,8
23.09.2022 15:00	161	0,5	2,7	3,4	72,7	0,6	0,8
23.09.2022 16:00	162	0,3	2,1	2,6	76,5	0,6	0,7
23.09.2022 17:00	160	0,1	2,5	2,7	78,3	1,4	0,8
23.09.2022 18:00	162	0,3	2,8	3,2	69,3	1,8	0,7
23.09.2022 19:00	164	0,3	3,6	4,1	41,5	1,5	0,7
23.09.2022 20:00	172	0,2	4	4,3	35	5,4	0,5
23.09.2022 21:00	184	0,2	4,1	4,4	50,3	5,4	0,7
23.09.2022 22:00	205	0,1	4,9	5,1	40,7	7,3	1
23.09.2022 23:00	210	0,2	4,6	5	41,7	9,7	0,7
24.09.2022	210	0,3	5,1	5,6	37	10,6	0,8
24.09.2022 01:00	200	0,4	5,3	5,9	28,8	17,4	0,6
24.09.2022 02:00	207	0,3	5,7	6,2	29,5	17,8	0,6
24.09.2022 03:00	209	0,1	6,1	6,3	31,3	16,1	0,6
24.09.2022 04:00	202	0,3	5,9	6,3	31	16,4	0,7
24.09.2022 05:00	228	0,2	7,1	7,5	26,7	12,8	0,8
24.09.2022 06:00	287	0,3	7,6	8,1	25,1	15,9	0,6
24.09.2022 07:00	229	0,5	5,2	6	26,5	17,3	0,6
24.09.2022 08:00	221	0,9	5,5	7	25,5	18,9	0,6
24.09.2022 09:00	213	1	4,8	6,4	43,9	14,5	1,9
24.09.2022 10:00	241	1,5	8,3	10,7	46,7	11,3	3
24.09.2022 11:00	204	1	4,5	6	63,8	9,4	1,5
24.09.2022 12:00	187	0,7	3,9	4,9	73,7	7,6	1,5
24.09.2022 13:00	177	0,4	2,9	3,5	78,6	8,9	1
24.09.2022 14:00	174	0,5	3,5	4,3	78,8	7,4	0,9
24.09.2022 15:00	171	0,3	3	3,6	80,1	5,9	0,8
24.09.2022 16:00	170	0,2	2,7	3	81	4,8	0,8
24.09.2022 17:00	174	0,6	4,3	5,2	73	10,9	0,9
24.09.2022 18:00	184	0,4	4,3	4,9	41,6	12,2	1
24.09.2022 19:00	192	0,3	4,8	5,2	29,6	9,4	0,7
24.09.2022 20:00	226	0,3	9,6	10,1	31,2	15	0,7
24.09.2022 21:00	268	0,4	10,7	11,3	31,6	20,3	0,7
24.09.2022 22:00	390	0,4	11,5	12,1	38,9	20,2	0,9
24.09.2022 23:00	396	0,4	10,7	11,3	32,7	22,5	0,8
25.09.2022	330	0,5	8,5	9,3	18,1	21,9	0,9
25.09.2022 01:00	347	0,3	10,2	10,6	32,1	26,5	0,7
25.09.2022 02:00	347	0,3	9,7	10,1	36,7	28,1	0,8

25.09.2022 03:00	331	0,4	8,1	8,6	27,9	26,7	0,8
25.09.2022 04:00	308	0,4	7	7,7	29,8	21,9	0,8
25.09.2022 05:00	298	0,2	6,8	7,1	28,1	26,5	0,7
25.09.2022 06:00	311	0,4	7,1	7,7	25,4	23	0,7
25.09.2022 07:00	325	0,3	7,5	8	21	24,1	0,7
25.09.2022 08:00	335	0,9	7,7	9,1	25,5	31,1	0,9
25.09.2022 09:00	354	1,9	8,8	11,7	28,7	34,6	1,3
25.09.2022 10:00	347	2,4	7,8	11,4	31,4	26	1,7
25.09.2022 11:00	334	2,4	8,3	12	41,2	25,7	1,9
25.09.2022 12:00	282	1,2	5,5	7,4	60,5	19,5	2,2
25.09.2022 13:00	263	0,6	4,2	5,2	69,5	14,6	1,8
25.09.2022 14:00	262	0,4	4,3	5	76,3	20,3	2,1
25.09.2022 15:00	250	0,6	4,8	5,7	78	16,9	1,9
25.09.2022 16:00	238	0,4	4,5	5,1	82,6	12,6	2,1
25.09.2022 17:00	236	0,3	4,2	4,6	86,8	19,8	3,1
25.09.2022 18:00	236	0,3	4,9	5,4	62,3	21,9	1,8
25.09.2022 19:00	247	0,3	6	6,4	43,7	24,4	1,1
25.09.2022 20:00	290	0,3	6,1	6,5	38,3	29,1	0,9
25.09.2022 21:00	328	0,3	6,6	7	51,6	26,8	1,1
25.09.2022 22:00	406	0,4	8,6	9,3	48,8	30,3	1,6
25.09.2022 23:00	416	0,4	8	8,7	39,4	27,6	1,4
26.09.2022	347	0,3	6,2	6,7	35,1	31,9	1
26.09.2022 01:00	307	0,4	6,2	6,9	35,6	28,8	1,1
26.09.2022 02:00	323	0,3	6,4	6,9	29,6	24,2	1
26.09.2022 03:00	319	0,4	6,5	7,1	28,6	25,2	1,1
26.09.2022 04:00	310	0,3	5,8	6,3	28,7	20,9	1
26.09.2022 05:00	304	0,3	5,4	5,8	27,9	29,1	0,7
26.09.2022 06:00	304	0,3	5,2	5,6	27,4	23,5	0,9
26.09.2022 07:00	310	0,4	5,4	6,1	25,8	24,8	0,9
26.09.2022 08:00	318	1	5,4	6,9	21,2	19,1	0,8
26.09.2022 09:00	334	3,1	7,5	12,3	21	26,6	1,3
26.09.2022 10:00	338	3,7	9,7	15,4	27,9	21,6	2,3
26.09.2022 11:00	319	1,9	9	11,8	35,2	21,9	2,4
26.09.2022 12:00	328	4,3	11,9	18,4	34,8	32,9	2,3
26.09.2022 13:00	289	2,7	9,8	13,9	65,5	25,9	1,5
26.09.2022 14:00	214	0,5	3,6	4,4	85,6	8,1	0,6
26.09.2022 15:00	221	0,4	3,4	4	83,2	5,4	0,7
26.09.2022 16:00	236	0,3	4,3	4,8	78,2	4,9	1,2
26.09.2022 17:00	261	0,3	5,2	5,8	71	12,9	1,5
26.09.2022 18:00	217	0,4	6,5	7,1	81	18,9	1,1
26.09.2022 19:00	216	0,5	11	11,7	59,6	16,1	0,7
26.09.2022 20:00	231	0,2	5,7	6,1	70,9	19,3	0,8
26.09.2022 21:00	237	0,2	5,9	6,2	52,9	16,2	0,5
26.09.2022 22:00	249	0,2	6,9	7,3	44,6	18	0,4
26.09.2022 23:00	306	0,3	10,1	10,6	47,3	15,3	0,5
27.09.2022	302	0,3	8,3	8,7	44,5	18,9	0,5
27.09.2022 01:00	327	0,3	6,3	6,8	35,9	18,1	0,5
27.09.2022 02:00	315	0,2	5	5,3	35,6	17,8	0,1
27.09.2022 03:00	295	0,2	5	5,3	31,1	16,1	0,3
27.09.2022 04:00	300	0,2	6	6,3	29,4	14,2	0,6
27.09.2022 05:00	294	0,2	5	5,4	27,1	16,6	0,4

27.09.2022 06:00	267	0,1	5,6	5,8	35	13,7	0,2
27.09.2022 07:00	260	0,1	5,9	6,1	37,3	18,4	0,1
27.09.2022 08:00	261	0,3	6,4	6,9	39,1	17	0
27.09.2022 09:00	273	1,2	10,1	12	33,7	12,5	0,2
27.09.2022 10:00	277	1,4	8,5	10,6	33,6		0,2
27.09.2022 11:00							
27.09.2022 12:00							
27.09.2022 13:00							
27.09.2022 14:00						21,8	
27.09.2022 15:00	253	0,8	5,8	7,1	66,2	19,9	0,3
27.09.2022 16:00	250	0,9	5,5	6,8	69,7	14	0,9
27.09.2022 17:00	228	0,8	7	8,3	60,9	16,4	0,4
27.09.2022 18:00	222	0,7	6,8	7,9	55,5	22,4	0,5
27.09.2022 19:00	223	0,8	6,9	8,1	55,3	18,8	0,2
27.09.2022 20:00	250	0,6	10	10,9	38,1	19	0,1
27.09.2022 21:00	307	0,4	11,7	12,3	34,7	18,2	0,1
27.09.2022 22:00	288	0,4	9,8	10,4	31,7	22,1	0,1
27.09.2022 23:00	293	0,4	7,2	7,7	33,6	20,9	0,2
28.09.2022	287	0,3	5,4	5,9	27,9	17,1	0,1
28.09.2022 01:00	279	0,3	4,8	5,3	34,4	22,1	0,2
28.09.2022 02:00	235	0,2	4,5	4,8	47,2	18,8	0,2
28.09.2022 03:00	210	0,3	5,4	5,8	48,8	14	0,2
28.09.2022 04:00	211	0,2	4,9	5,2	42,5	10,9	0,2
28.09.2022 05:00	209	0,1	4,1	4,3	42,2	8,8	0,2
28.09.2022 06:00	191	0,3	3,7	4,1	40,6	7	0,3
28.09.2022 07:00	179	0,3	3,8	4,2	36,1	5,9	0,3
28.09.2022 08:00	171	0,5	3,9	4,6	37,8	6	0,2
28.09.2022 09:00	172	1,1	4,2	5,8	37,9	5,3	0,4
28.09.2022 10:00	175	1,4	4	6,1	40,2	4,4	0,4
28.09.2022 11:00	185	1,7	5,3	7,9	40,5	3,6	0,6
28.09.2022 12:00	175	1,5	4,1	6,4	52,7	3	0,9
28.09.2022 13:00	172	1,3	5,6	7,6	53,8	3	2,8
28.09.2022 14:00	172	0,9	4,2	5,6	56,3	3	2
28.09.2022 15:00	176	0,9	3,5	4,8	55,4	2,6	0,8
28.09.2022 16:00	177	0,6	3,3	4,2	57,7	2,6	0,4
28.09.2022 17:00	177	0,5	4,5	5,2	60	2,8	0,3
28.09.2022 18:00	188	0,3	7	7,5	53,4	2,7	0,4
28.09.2022 19:00	248	0,6	13,6	14,5	30,9	4,5	0,4
28.09.2022 20:00	306	0,9	26,1	27,5	14,9	7,6	0,2
28.09.2022 21:00	280	0,3	11,6	12,1	36,2	11	0,2
28.09.2022 22:00	269	0,3	6,4	6,9	36,9	10,2	0,2
28.09.2022 23:00	310	0,2	10,2	10,6	24,3	7,8	0,2
29.09.2022	279	0,2	10	10,3	20,4	11,2	0,2
29.09.2022 01:00	310	0,3	9	9,4	26,4	13,4	0,2
29.09.2022 02:00	252	0,3	5,1	5,5	31,6	10,9	0,4
29.09.2022 03:00	225	0,2	4,5	4,8	31,5	9,1	0,2
29.09.2022 04:00	208	0,1	3,9	4,1	33,5	6,8	0,2
29.09.2022 05:00	201	0,1	4,6	4,6	34,5	9	0,2
29.09.2022 06:00	201	0,3	5,2	5,6	32,4	8,7	0,2
29.09.2022 07:00	195	0,3	5	5,4	31	8,3	0,2
29.09.2022 08:00	196	0,5	6,8	7,7	29,1	7,4	0,2

29.09.2022 09:00	194	0,9	5,6	7	32,3	8	0,2
29.09.2022 10:00	191	1	4,9	6,5	37,6	7,1	0,3
29.09.2022 11:00	188	1,1	4,7	6,4	39,3	6,2	0,3
29.09.2022 12:00	184	1,2	4	5,8	45,5	5,6	0,3
29.09.2022 13:00	184	0,8	3,5	4,8	51,7	4,5	0,4
29.09.2022 14:00	182	0,8	3,1	4,3	56,7	4,2	0,3
29.09.2022 15:00	180	0,5	3,1	3,9	61,6	3,6	0,3
29.09.2022 16:00	183	0,6	3,9	4,8	58,3	3,1	0,4
29.09.2022 17:00	203	1,3	8,2	10,2	46,3	3,1	0,4
29.09.2022 18:00	222	0,7	9,4	10,6	34,4	5,4	0,2
29.09.2022 19:00	253	0,4	11,4	12	25,3	11,3	0,2
29.09.2022 20:00	315	2	17	20,2	14,5	17,6	0,4
29.09.2022 21:00	335	0,6	15,8	16,8	11,2	22,5	0,2
29.09.2022 22:00	328	0,7	16,2	17,2	10,5	18,2	0,2
29.09.2022 23:00	357	0,9	19,2	20,6	6,4	16,6	0,2
30.09.2022	323	0,8	15,6	17	6,5	13,7	0,2
30.09.2022 01:00	317	0,8	12,7	14	6,6	15,3	0,2
30.09.2022 02:00	331	0,7	11,6	12,8	6	21,6	0,2
30.09.2022 03:00	310	0,7	8,2	9,3	5,4	18,1	0,3
30.09.2022 04:00	338	1,2	10,8	12,6	5	20,3	0,3
30.09.2022 05:00	376	1,6	12,7	15,1	3,8	21,4	0,2
30.09.2022 06:00	330	1	6,4	7,9	4,6	16,8	0,2
30.09.2022 07:00	296	1,1	3,6	5,3	4,5	25,4	0,3
30.09.2022 08:00	363	14,4	6,1	28,3	4,7	33	0,4
30.09.2022 09:00	392	19,4	21,3	51,3	10,3	34,5	0,8
30.09.2022 10:00	308	9,3	18,6	33	17,2	27,7	0,8
30.09.2022 11:00	262	5,6	13,3	22	25,4	28,6	4
30.09.2022 12:00	245	5,9	17,3	26,4	30	22,9	14,2
30.09.2022 13:00	225	1,5	8,2	10,5	44,9	16,5	3,2
30.09.2022 14:00	227	1,8	8,7	11,4	45,3	11,9	1,6
30.09.2022 15:00	229	1,7	10,9	13,5	43	10,6	1,6
30.09.2022 16:00	244	1,4	10,3	12,4	45,8	15,5	1,1
30.09.2022 17:00	239	1,4	10	12,1	44	13,1	0,9
30.09.2022 18:00	252	1	12,6	14,1	39,3	19	1
30.09.2022 19:00	262	1,1	12,5	14,2	33,2	16,7	0,6
30.09.2022 20:00	303	0,6	12,3	13,3	29	24,9	0,4
30.09.2022 21:00	355	0,8	14,1	15,3	21,5	30,4	0,2
30.09.2022 22:00	312	0,4	9,1	9,7	14,8	24,6	0,2
30.09.2022 23:00	310	0,4	7,2	7,9	14,8	19,8	0,3
01.10.2022	322	0,5	7	7,7	14,9	29,5	0,5
01.10.2022 01:00	293	0,3	6,5	7	17,6	34	0,8
01.10.2022 02:00	257	0,3	4,7	5,2	24,5	27,9	0,6
01.10.2022 03:00	237	0,3	3,5	4	28,1	29,7	0,7
01.10.2022 04:00	222	0,2	3,1	3,4	37	23,8	0,8
01.10.2022 05:00	211	0,3	2,7	3,1	33	23	0,7
01.10.2022 06:00	210	0,2	2,9	3,2	34	24,7	0,5
01.10.2022 07:00	202	0,4	2,5	3,1	29,6	23,7	0,7
01.10.2022 08:00	206	0,4	3,4	4	28,3	19,7	0,6
01.10.2022 09:00	207	0,5	4,5	5,3	43,2	20,9	0,7
01.10.2022 10:00	209	0,8	6,4	7,7	47	18,2	0,8
01.10.2022 11:00	220	0,6	5,4	6,4	46,9	18,7	0,8

01.10.2022 12:00	233	0,9	5,9	7,3	40,8	14,9	0,9
01.10.2022 13:00	211	0,7	3,3	4,5	51,2	10,6	0,9
01.10.2022 14:00	209	0,7	3	4	52,1	7,9	1
01.10.2022 15:00	211	1	4,6	6,2	53	5,9	3
01.10.2022 16:00	217	1	6,5	8	46,4	5,2	4,3
01.10.2022 17:00	231	0,6	7,7	8,6	40,9	9,5	4,6
01.10.2022 18:00	267	0,5	11,5	12,3	34,3	21,6	3,5
01.10.2022 19:00	347	1,2	16,7	18,6	22,6	24,3	2,2
01.10.2022 20:00	346	0,5	13	13,9	25,1	24,4	1,8
01.10.2022 21:00	338	0,4	11,8	12,4	23,5	29,2	1,1
01.10.2022 22:00	354	0,4	9,3	9,9	21,6	24,5	0,7
01.10.2022 23:00	395	0,5	11,8	12,6	20,4	26,9	1,1
02.10.2022	287	0,3	5,7	6,2	45,7	23,7	0,7
02.10.2022 01:00	215	0,3	3	3,6	51,4	23	0,3
02.10.2022 02:00	218	0,3	3,5	4	46,2	18,4	0,2
02.10.2022 03:00	213	0,2	3,7	4	42,5	13,8	0,3
02.10.2022 04:00	210	0,3	3,6	4,1	38,2	10,3	0,2
02.10.2022 05:00	207	0,3	3,7	4	36	12,1	0,2
02.10.2022 06:00	207	0,3	3,8	4,2	34,5	15,1	0,5
02.10.2022 07:00	204	0,3	3,6	4	33,1	12,5	0,5
02.10.2022 08:00	194	0,4	3,2	3,8	37,3	10,6	0,4
02.10.2022 09:00	186	0,4	2,6	3,2	42,2	8,9	0,4
02.10.2022 10:00	176	0,3	2	2,4	47,8	7,3	0,4
02.10.2022 11:00	170	0,2	1,8	2,1	49,9	6,1	0,4
02.10.2022 12:00	165	0,4	1,5	2	52,9	4,8	0,2
02.10.2022 13:00	171	0,4	1,6	2,2	49,1	7	0,4
02.10.2022 14:00	170	0,3	1,5	1,8	52,1	9,1	0,3
02.10.2022 15:00	166	0,3	1,6	2	54,9	7,8	0,2
02.10.2022 16:00	168	0,2	1,6	1,9	54,1	6,6	0,3
02.10.2022 17:00	176	0,4	1,9	2,5	48,3	11,4	0,2
02.10.2022 18:00	186	0,3	2,4	2,8	43,3	14	0,2
02.10.2022 19:00	188	0,4	2,5	3	23,5	13,9	0,1
02.10.2022 20:00	196	0,1	3,1	3,4	35,5	11,5	0,1
02.10.2022 21:00	250	0,3	4,8	5,3	37,8	13,6	0,2
02.10.2022 22:00	240	0,2	5	5,4	38,8	12,5	0,2
02.10.2022 23:00	197	0,1	3,4	3,6	49,5	9,2	0,3
03.10.2022	174	0,3	2,2	2,6	50,1	11,7	0,3
03.10.2022 01:00	176	0,3	2,4	2,8	45,6	18,1	0,4
03.10.2022 02:00	173	0,3	2,6	3,1	44,7	16,2	0,3
03.10.2022 03:00	176	0,3	2,7	3,2	41,8	14,8	0,4
03.10.2022 04:00	172	0,2	2,7	3	45,7	12	0,4
03.10.2022 05:00	167	0,2	2,3	2,6	47,6	12,6	0,3
03.10.2022 06:00	162	0,2	2,4	2,7	47,3	11,7	0,3
03.10.2022 07:00	164	0,2	2,5	2,7	46,8	9,2	0,5
03.10.2022 08:00	167	0,2	2,9	3,2	47,3	6,8	0,4
03.10.2022 09:00	168	0,3	2,8	3,2	49,1	5,4	0,4
03.10.2022 10:00	169	0,3	3	3,5	49,7	6	0,3
03.10.2022 11:00	175	0,3	2,8	3,3	53,1	5,7	0,4
03.10.2022 12:00	177	0,4	2,6	3,2	53,9	8,7	0,2
03.10.2022 13:00	184	0,3	3,1	3,6	53,6	8,1	0,4
03.10.2022 14:00	181	0,4	2,9	3,5	57,7	6,1	0,4

03.10.2022 15:00	167	0,3	1,8	2,3	66	5,3	0,3
03.10.2022 16:00	163	0,4	2,4	3	68,3	4,2	0,6
03.10.2022 17:00	164	0,2	2,4	2,7	66,8	3,5	0,5
03.10.2022 18:00	171	0,2	4,2	4,5	62,5	2,9	0,5
03.10.2022 19:00	182	0,1	5,6	5,7	58,1	2,6	0,5
03.10.2022 20:00	189	0,2	5,1	5,4	58	2,4	0,7
03.10.2022 21:00	190	0,2	4,3	4,6	58,5	2,5	0,7
03.10.2022 22:00	202	0,1	4,8	5	53,9	6,4	0,6
03.10.2022 23:00	206	0,2	5	5,3	53,3	7	0,7
04.10.2022	207	0,1	4,3	4,5	52,7	9,1	0,8
04.10.2022 01:00	199	0,2	3,7	4	51,5	14,6	0,6
04.10.2022 02:00	187	0,2	3,1	3,3	51,9	12,5	0,5
04.10.2022 03:00	178	0,2	2,6	2,9	50,2	12,6	0,6
04.10.2022 04:00	173	0,2	2,5	2,8	50,5	10,1	0,5
04.10.2022 05:00	170	0,2	2,2	2,5	50	7,4	0,6
04.10.2022 06:00	166	0,2	2,3	2,7	47	7,2	0,4
04.10.2022 07:00	168	0,3	2,7	3,1	44,6	7	0,4
04.10.2022 08:00	168	0,2	2,7	3	46,6	7,8	0,4
04.10.2022 09:00	169	0,3	2,7	3,2	48,1	6,7	0,4
04.10.2022 10:00	169	0,4	2,6	3,2	49,2	6,4	0,5
04.10.2022 11:00	167	0,4	2,6	3,1	51	5,4	0,4
04.10.2022 12:00	166	0,5	2,2	2,9	52,2	4,3	0,6
04.10.2022 13:00	165	0,4	2,2	2,9	53,7	3,5	0,4
04.10.2022 14:00	165	0,4	2,7	3,3	54,5	3,4	0,5
04.10.2022 15:00	170	0,4	2,9	3,5	54,4	5,2	0,7
04.10.2022 16:00	170	0,4	2,9	3,6	54,3	4,9	0,6
04.10.2022 17:00	172	0,4	3,3	4	52,5	4,3	0,6
04.10.2022 18:00	173	0,2	3,8	4,1	50,2	6,1	0,7
04.10.2022 19:00	185	0,1	4,6	4,8	44,4	9,8	0,6
04.10.2022 20:00	224	0,4	6,5	7,1	39,9	13,8	0,6
04.10.2022 21:00	269	0,3	8,4	8,9	35	13,5	0,7
04.10.2022 22:00	278	0,3	8,6	9	33,5	13,4	1,1
04.10.2022 23:00	269	0,3	9,6	10,1	31,8	17,7	1
05.10.2022	273	0,3	10,2	10,7	30	17,9	1
05.10.2022 01:00	287	0,3	9,3	9,8	25,8	21,3	1
05.10.2022 02:00	256	0,3	8,5	9	27,2	17,4	1,2
05.10.2022 03:00	248	0,3	8,1	8,6	23	15,7	0,9
05.10.2022 04:00	239	0,3	7,1	7,6	20,3	22,4	0,9
05.10.2022 05:00	256	0,2	7,2	7,5	17,5	23,9	1
05.10.2022 06:00	247	0,3	6	6,5	19,3	18,7	0,9
05.10.2022 07:00	241	0,4	6	6,6	19,3	20,7	1
05.10.2022 08:00	246	1,3	8,6	10,6	16,8	25,8	0,9
05.10.2022 09:00	248	1,8	8,2	10,9	21,7	21,7	1,1
05.10.2022 10:00	240	2	7,8	10,9	26,4	19,7	1,4
05.10.2022 11:00	256	2,5	7,6	11,5	28,8	17,6	2,1
05.10.2022 12:00	275	2,6	8	12	32,5	16,1	2,4
05.10.2022 13:00	288	2,5	7,2	11	38,4	12,6	2,5
05.10.2022 14:00	656	2,1	6,7	10	46,9	9,9	2,7
05.10.2022 15:00	243	1,2	8,1	9,9	46,1	7,7	3,1
05.10.2022 16:00	233	1,4	8,7	10,8	43,3	10,1	2,9
05.10.2022 17:00	221	0,6	8,3	9,2	43,5	18,6	1,9

05.10.2022 18:00	224	0,5	9	9,7	41,6	18,9	1,5
05.10.2022 19:00	239	0,3	9,3	9,8	40,7	21,7	1,4
05.10.2022 20:00	262	0,3	8,8	9,2	41,2	23,1	1,6
05.10.2022 21:00	303	0,3	10,7	11,3	36,7	20	1,6
05.10.2022 22:00	297	0,2	10,5	10,7	35,4	16	1,9
05.10.2022 23:00	279	0,3	8,5	8,9	37,7	21,6	2,1
06.10.2022	260	0,3	7,7	8,1	37,9	22,7	1,5
06.10.2022 01:00	251	0,3	6,5	6,9	35,2	26,1	1,2
06.10.2022 02:00	234	0,3	5,9	6,4	33	26,2	0,9
06.10.2022 03:00	222	0,3	5	5,5	32,6	23	0,7
06.10.2022 04:00	200	0,3	4,9	5,3	35,5	18,8	0,7
06.10.2022 05:00	194	0,3	4,4	4,9	38	13,9	0,8
06.10.2022 06:00	192	0,1	4,3	4,4	36,1	14,7	0,6
06.10.2022 07:00	194	0,3	4,9	5,4	36,1	17,1	0,7
06.10.2022 08:00	199	0,7	7,3	8,3	35,2	23,9	0,9
06.10.2022 09:00	204	1,4	7,7	9,8	39	20,1	1,4
06.10.2022 10:00	211	1	9,3	10,9	38,2	19,2	1,4
06.10.2022 11:00	218	1,7	7,7	10,3	41,3	15,9	1,1
06.10.2022 12:00	216	1,4	6,7	8,8	50,5	16,5	1,3
06.10.2022 13:00	266	1,1	5,2	6,9	61,7	12,6	1,1
06.10.2022 14:00	260	0,4	4,4	5,1	62,4	9,9	0,8
06.10.2022 15:00	241	0,7	4,2	5,2	64,5	10	0,9
06.10.2022 16:00	230	0,5	5	5,7	61,7	10,8	0,7
06.10.2022 17:00	209	0,5	4,3	5,1	68,2	8,7	0,8
06.10.2022 18:00	206	0,3	5,1	5,5	65,3	6,1	0,6
06.10.2022 19:00	209	0,2	5,7	6	55	10,5	0,6
06.10.2022 20:00	228	0,2	6,7	7	46	13,6	0,5
06.10.2022 21:00	251	0,2	7,1	7,4	48,2	11,8	0,8
06.10.2022 22:00	268	0,3	6,5	6,9	45,6	23,6	0,8
06.10.2022 23:00	258	0,2	7	7,3	37,4	26,3	0,6
07.10.2022	260	0,3	7,3	7,8	32,8	21,2	0,6
07.10.2022 01:00	274	0,3	9,1	9,5	35,3	16,7	0,9
07.10.2022 02:00	261	0,3	7,5	8	33,8	20,6	0,8
07.10.2022 03:00	274	0,3	7,7	8,3	25,6	26,8	0,6
07.10.2022 04:00	280	0,3	7,7	8,1	27,7	21,8	0,5
07.10.2022 05:00	291	0,3	8,4	8,9	26	17,3	0,5
07.10.2022 06:00	280	0,3	8,4	8,9	25,8	18,5	0,5
07.10.2022 07:00	292	0,4	8,3	9	21,4	16,3	0,5
07.10.2022 08:00	293	1,1	7	8,7	17,9	29,9	0,5
07.10.2022 09:00	306	2,3	7,8	11,3	27,7	26,4	1,5
07.10.2022 10:00	277	3,2	9,2	14,2	39,6	18,6	2,2
07.10.2022 11:00	232	1,8	7,2	10	56,5	14,2	1,8
07.10.2022 12:00	217	1	4,6	6,1	64,5	10,6	2,3
07.10.2022 13:00	206	0,7	3,9	5,1	74,6	8,7	1,7
07.10.2022 14:00	206	0,6	4,4	5,3	79,6	13,1	2,5
07.10.2022 15:00	209	0,5	4	4,7	81,2	12,8	2,3
07.10.2022 16:00	208	0,3	3,4	3,9	83,1	9,5	1,6
07.10.2022 17:00	215	0,5	5,3	6,1	79,6	9,8	1,6
07.10.2022 18:00	233	0,2	10,3	10,7	68,9	13,9	1,7
07.10.2022 19:00	261	0,4	19,4	20,1	55,1	25,1	1,7
07.10.2022 20:00	316	0,5	21,6	22,3	45,2	26,3	1,5

07.10.2022 21:00	315	0,3	19,4	20	47,4	29,9	1,2
07.10.2022 22:00	331	0,4	19	19,6	43,5	35,2	1
07.10.2022 23:00	307	0,3	14,1	14,6	47,4	24,7	1
08.10.2022	315	0,3	14,6	15,1	43,6	27,3	1,2
08.10.2022 01:00	314	0,4	13,6	14,2	40,6	35,2	1,1
08.10.2022 02:00	282	0,3	8,7	9,3	44,6	34,2	1,5
08.10.2022 03:00	274	0,3	6,9	7,3	42,8	24,5	1,5
08.10.2022 04:00	276	0,3	8,2	8,7	36,1	21,8	1,6
08.10.2022 05:00	283	0,4	10,8	11,5	32,6	22,7	2
08.10.2022 06:00	284	0,4	8,2	8,9	29	32,8	1,6
08.10.2022 07:00	287	0,4	9,7	10,3	27,6	23,2	1,4
08.10.2022 08:00	295	0,7	9	10,1	28,7	23,8	1,3
08.10.2022 09:00	292	1,1	8,2	9,9	34,7	23,9	1,5
08.10.2022 10:00	288	0,8	6,6	7,8	43,7	30,9	1,3
08.10.2022 11:00	288	1,1	6,4	8	47,5	25,7	1,7
08.10.2022 12:00	286	1	5,8	7,3	56,7	19,2	2,9
08.10.2022 13:00	274	0,9	5,1	6,5	68,2	14,2	6,2
08.10.2022 14:00	274	0,6	5,4	6,3	71,5	32,8	6,6
08.10.2022 15:00	266	0,5	5,6	6,4	70,9	34,6	5,9
08.10.2022 16:00	268	0,7	7,2	8,3	71,6	34,8	13,6
08.10.2022 17:00	272	0,5	7,9	8,7	67,4	33,4	14,7
08.10.2022 18:00	286	0,5	8,4	9,1	59,8	30,6	6,3
08.10.2022 19:00	334	0,3	10,7	11,2	53,8	23,6	3,3
08.10.2022 20:00	266	0,4	5,3	5,9	61,2	29,9	1,4
08.10.2022 21:00	265	0,4	4,9	5,6	49,3	30,9	1
08.10.2022 22:00	284	0,3	5,8	6,3	39,1	22,1	0,9
08.10.2022 23:00	305	0,4	6,5	7,2	33,1	25,6	0,9
09.10.2022	270	0,4	6	6,6	43	25,4	0,9
09.10.2022 01:00	236	0,2	4,8	5,1	50,5	26,4	0,8
09.10.2022 02:00	207	0,4	3,2	3,7	53	19,1	0,5
09.10.2022 03:00	195	0,2	3,1	3,4	51,1	13,6	0,5
09.10.2022 04:00	197	0,2	3,8	4,1	42,6	14,7	0,5
09.10.2022 05:00	202	0,2	4	4,3	38,6	19	0,4
09.10.2022 06:00	200	0,4	3,6	4,2	37,8	14	0,4
09.10.2022 07:00	196	0,3	3,4	3,9	39,7	10,6	0,4
09.10.2022 08:00	193	0,3	3,5	4	40,7	11,5	0,4
09.10.2022 09:00	191	0,4	3,3	4	39,9	9,2	0,3
09.10.2022 10:00	187	0,2	2,9	3,3	40,6	7,2	0,3
09.10.2022 11:00	186	0,4	2,3	3	41,8	5,3	0,3
09.10.2022 12:00	188	0,6	2,4	3,3	43,3	4,7	0,3
09.10.2022 13:00	189	0,5	2,4	3,2	42,7	4,3	0,4
09.10.2022 14:00	191	0,3	2,6	3,1	44,1	4,2	0,4
09.10.2022 15:00	193	0,3	2,5	3	46	3,5	0,2
09.10.2022 16:00	187	0,3	2,1	2,6	51,9	3,9	0,2
09.10.2022 17:00	193	0,2	3	3,3	49,1	7,4	0,2
09.10.2022 18:00	201	0,4	2,9	3,5	36,2	10,2	0,4
09.10.2022 19:00	201	0,4	3,5	4,1	20,2	19,1	0,5
09.10.2022 20:00	200	0,3	3,3	3,8	21,2	14,6	0,5
09.10.2022 21:00	200	0,3	3,3	3,7	21,4	13	0,4
09.10.2022 22:00	221	0,2	3,5	3,7	20,2	22,9	0,4
09.10.2022 23:00	217	0,1	2,9	3,1	19,7	17,7	0,5

10.10.2022	196	0,3	2,4	2,8	18,6	12,7	0,4
10.10.2022 01:00	303	0,2	3,5	3,7	19,6	19,3	0,5
10.10.2022 02:00	314	0,4	3,3	3,9	18,9	14,2	0,6
10.10.2022 03:00	230	0,2	4,1	4,4	22,1	11,1	0,5
10.10.2022 04:00	233	0,4	5,6	6,2	22,3	9	0,7
10.10.2022 05:00	307	0,2	9,2	9,5	20,9	6,9	0,6
10.10.2022 06:00	284	0,4	11,5	12,2	19,6	13,4	1
10.10.2022 07:00	322	1	18,5	20,1	19,3	18,2	0,9
10.10.2022 08:00	305	3	18,2	22,8	17	15,4	0,7
10.10.2022 09:00	267	3,5	10,6	16	30,9	38,5	1,3
10.10.2022 10:00	264	5,4	12,3	20,7	33,3	27,4	2,6
10.10.2022 11:00	232	3,2	8	12,9	43,3	20,1	1,3
10.10.2022 12:00	207	1,1	3,7	5,4	53,1	14,2	1
10.10.2022 13:00	201	1	3,5	5,1	56,4	11,2	1
10.10.2022 14:00	206	1,2	4,3	6,2	57,6	8	0,9
10.10.2022 15:00	201	0,9	4	5,4	61,1	6,4	1
10.10.2022 16:00	199	0,9	3,9	5,3	61,4	4,8	0,6
10.10.2022 17:00	199	0,6	4,4	5,3	60,4	4	0,6
10.10.2022 18:00	214	0,3	7,9	8,3	53,4	3,2	0,9
10.10.2022 19:00	270	0,6	17,7	18,6	38,3	3,1	1,2
10.10.2022 20:00	288	0,4	14,5	15,2	40,4	6,7	1,4
10.10.2022 21:00	312	0,3	10,9	11,4	41,4	7,2	1,7
10.10.2022 22:00	328	0,4	12,1	12,8	32	12,6	1,7
10.10.2022 23:00	309	0,2	12,8	13,2	31,6	15,5	3,4
11.10.2022	279	0,3	11,4	11,9	33,6	20,6	4,6
11.10.2022 01:00	286	0,4	13,8	14,4	30,2	28,6	4,2
11.10.2022 02:00	273	0,3	10	10,5	32,2	25,1	3
11.10.2022 03:00	260	0,3	7,4	7,9	28,9	23,6	2
11.10.2022 04:00	271	0,2	8,5	8,8	28,3	26,4	2,3
11.10.2022 05:00	285	0,3	7	7,4	27,5	31,9	1,7
11.10.2022 06:00	282	0,2	8,5	8,8	28	25,8	1,7
11.10.2022 07:00	289	0,2	9,5	9,9	26	29,6	1,6
11.10.2022 08:00	294	0,9	10,7	12,1	23,8	21,2	1,6
11.10.2022 09:00	297	2,6	10,3	14,3	25,2	29,7	1,6
11.10.2022 10:00	284	1,9	8,1	11	33,8	21,6	1,9
11.10.2022 11:00	263	1,4	5,8	7,9	40,7	23,2	1,3
11.10.2022 12:00	245	0,7	5	6	47,2	17,3	1
11.10.2022 13:00	223				53,3	13,3	0,7
11.10.2022 14:00	197				63,5	10,5	0,7
11.10.2022 15:00	187	0,4	2,8	3,5	68,4	7,7	0,5
11.10.2022 16:00	183	0,4	2,9	3,6	66,9	6,6	0,3
11.10.2022 17:00	182	0,4	3	3,5	66,8	4,9	0,5
11.10.2022 18:00	186	0,1	3,8	3,9	62,7	8,2	0,6
11.10.2022 19:00	192	0,1	4,4	4,6	50,7	7,6	0,5
11.10.2022 20:00	212	0,3	5,3	5,6	43,1	16,6	0,6
11.10.2022 21:00	220	0,3	5,6	6	41,9	27,4	0,8
11.10.2022 22:00	240	0,2	6,2	6,5	44,2	20,1	0,8
11.10.2022 23:00	276	0,2	7,3	7,6	44,7	14,9	1,4
12.10.2022	304	0,3	7,9	8,3	38,7	18,6	1,1
12.10.2022 01:00	291	0,3	8	8,5	38,2	18,6	1,1
12.10.2022 02:00	284	0,3	8,3	8,7	37,8	16,2	1,1

12.10.2022 03:00	276	0,2	7,2	7,5	35,2	25,8	1
12.10.2022 04:00	293	0,3	6,8	7,2	23,9	19,3	0,9
12.10.2022 05:00	274	0,3	6	6,5	21	17,3	0,7
12.10.2022 06:00	286	0,3	6,8	7,3	21,2	26,3	0,6
12.10.2022 07:00	322	0,4	8,5	9,1	16,5	19,1	0,6
12.10.2022 08:00	347	2,2	10,9	14,3	12,5	24,3	0,8
12.10.2022 09:00	362	5,1	10,2	18,1	15,9	26	1
12.10.2022 10:00	318	3,5	7,6	12,9	30,3	20	1,4
12.10.2022 11:00	257	1,4	5,6	7,8	50,7	16,3	1,3
12.10.2022 12:00	214	0,6	2,9	3,9	63,3	12,6	1
12.10.2022 13:00	312	0,5	2,7	3,4	66,5	9,9	0,9
12.10.2022 14:00	195	0,4	2,2	2,9	71,3	13,4	0,8
12.10.2022 15:00	189	0,4	2,9	3,5	67,7	10,4	0,8
12.10.2022 16:00	195	0,2	3,3	3,6	69,4	9,8	0,8
12.10.2022 17:00	204	0,3	4,3	4,7	53,3	15	0,8
12.10.2022 18:00	213	0,3	5,2	5,6	41,9	18,2	0,8
12.10.2022 19:00	224	0,2	6,6	6,8	41,3	23,8	0,7
12.10.2022 20:00	229	0,2	7,1	7,5	36,8	30,8	0,7
12.10.2022 21:00	228	0,3	6,7	7,1	28,7	21,7	0,9
12.10.2022 22:00	217	0,4	6,8	7,3	26,6	25,7	0,7
12.10.2022 23:00	209	0,3	5,5	6	24,1	27,9	0,7
13.10.2022	229	0,2	4,9	5,2	33,4	24,1	0,7
13.10.2022 01:00	247	0,3	6,6	7,1	26,8	21,5	0,7
13.10.2022 02:00	318	0,3	12,6	13,1	25,9	24	0,8
13.10.2022 03:00	353	0,4	12,3	12,9	19,9	27,5	0,7
13.10.2022 04:00	282	0,3	9,3	9,8	23,2	33,7	0,6
13.10.2022 05:00	235	0,3	12,7	13,1	30,9	23,9	0,7
13.10.2022 06:00	215	0,5	7,7	8,4	34,4	17,5	0,8
13.10.2022 07:00	330	0,4	16,2	16,8	21,7	22,8	0,8
13.10.2022 08:00	436	7,9	25,5	37,6	11,5	29,1	1,1
13.10.2022 09:00	417	9,1	23,9	37,9	22,9	40	1,4
13.10.2022 10:00	329	4,6	15,2	22,2	38	32,2	2,1
13.10.2022 11:00	258	2,4	9,6	13,4	54	23,6	2,8
13.10.2022 12:00	224	1	5,1	6,7	66,1	16,8	2,2
13.10.2022 13:00	211	0,7	3,6	4,7	71,3	13,1	1,4
13.10.2022 14:00	215	0,7	4,3	5,3	74,9	12,1	1
13.10.2022 15:00	218	1	5	6,6	76,4	11,1	2
13.10.2022 16:00	220	0,9	6,9	8,3	74	9,4	5,2
13.10.2022 17:00	221	0,6	7,4	8,4	71,6	12	2,5
13.10.2022 18:00	259	0,9	16,9	18,2	49,8	25,2	1,9
13.10.2022 19:00	313	0,6	23,9	24,9	41,4	25,3	1,7
13.10.2022 20:00	492	0,6	33	33,9	35,9	32,2	1,9
13.10.2022 21:00	404	0,5	19,2	19,9	44,2	31,6	1,9
13.10.2022 22:00	361	0,3	14,6	15	47	25,2	1,8
13.10.2022 23:00	331	0,4	12,3	12,9	48,3	39,1	2,4
14.10.2022	341	0,4	14,3	14,9	42,7	33,4	3,5
14.10.2022 01:00	348	0,4	11,6	12,2	39,5	38,5	3,7
14.10.2022 02:00	356	0,5	17,3	18,1	32,5	39,1	3,4
14.10.2022 03:00	346	0,3	13,9	14,4	32,5	33	2,8
14.10.2022 04:00	352	0,3	12,4	12,9	26,9	26,6	1,9
14.10.2022 05:00	346	0,3	12,3	12,7	22,6	32,6	1,4

14.10.2022 06:00	336	0,4	12,1	12,7	23,1	34,5	1,4
14.10.2022 07:00	341	1,4	16,4	18,6	15,3	31,7	1,4
14.10.2022 08:00	357	3,6	19,7	25,2	12,4	33,5	1,7
14.10.2022 09:00	365	4,8	17	24,4	16,1	33,7	2,5
14.10.2022 10:00	374	6,7	16,1	26,3	21	33,6	2,4
14.10.2022 11:00	354	4	14,6	20,8	29,2	32,5	2,5
14.10.2022 12:00	357	4,9	14,5	22,1	31,3	41,4	2,3
14.10.2022 13:00	351	3,8	14,9	20,7	37,2	39,4	2,6
14.10.2022 14:00	352	3,8	14,4	20,2	44,2	27,9	3,1
14.10.2022 15:00	339	2,5	13,4	17,2	52	28,1	2,7
14.10.2022 16:00	338	1,5	14,5	16,8	51,7	39,5	2,7
14.10.2022 17:00	347	1,4	21,1	23,3	36,2	51,6	2,2
14.10.2022 18:00	376	1,1	22	23,8	32,8	49,3	2
14.10.2022 19:00	392	0,7	21	22	26,4	43,1	1,5
14.10.2022 20:00	405	1	22,4	23,9	20,4	45,3	1,5
14.10.2022 21:00	435	0,6	19	19,9	23,4	51,7	2
14.10.2022 22:00	438	0,8	20,7	22	20,1	43	2,1
14.10.2022 23:00	465	0,9	24,1	25,4	15,9	61,2	1,7
15.10.2022	460	0,7	19,6	20,8	15,9	58,5	1,4
15.10.2022 01:00	415	0,6	14	14,9	17,4	51,1	1,5
15.10.2022 02:00	435	0,7	13,6	14,6	19,9	46,5	1,3
15.10.2022 03:00	414	0,4	15,8	16,4	19,4	64,9	1,9
15.10.2022 04:00	390	0,3	15,8	16,3	19	44,4	2
15.10.2022 05:00	375	0,5	12,2	12,9	16,7	41,4	1,3
15.10.2022 06:00	363	0,4	11,8	12,4	21,8	33,6	1,4
15.10.2022 07:00	378	0,7	14,3	15,3	19,3	49,3	1,4
15.10.2022 08:00	373	1,9	16,7	19,6	18	44,5	1,3
15.10.2022 09:00	358	2,8	11,5	15,8	22,3	32,1	1,3
15.10.2022 10:00	345	2,6	10,1	14	27	34,6	1,6
15.10.2022 11:00	340	3,1	10,2	15	30,7	38,1	1,5
15.10.2022 12:00	308	1,7	8,5	11,1	41,2	27,6	1,4
15.10.2022 13:00	283	1,4	6,6	8,8	52,1	20,7	1,3
15.10.2022 14:00	247	0,5	4	4,9	63,9	16,9	1,4
15.10.2022 15:00	243	0,4	4,5	5,1	69	15,4	2,8
15.10.2022 16:00	247	0,3	4,8	5,2	71	18,8	2,9
15.10.2022 17:00	245	0,2	5,8	6,2	67,6	17,6	2,4
15.10.2022 18:00	266	0,3	8	8,5	62	23,6	1,7
15.10.2022 19:00	283	0,3	7,6	7,9	58,8	33	1,3
15.10.2022 20:00	307	0,3	7,5	7,9	55,3	39,6	1,9
15.10.2022 21:00	303	0,2	7,1	7,4	54	30,1	1,4
15.10.2022 22:00	291	0,2	6,7	7,1	54,2	23,4	1,5
15.10.2022 23:00	291	0,3	5,8	6,3	52,9	30,9	1,4
16.10.2022	291	0,3	8,8	9,3	49,5	22,5	2,1
16.10.2022 01:00	275	0,2	4,9	5,3	52,2	28,6	2
16.10.2022 02:00	251	0,3	4,6	5,2	57	28,7	2,5
16.10.2022 03:00	273	0,2	5,6	5,8	49,6	22,4	2,6
16.10.2022 04:00	283	0,2	7,8	8,2	48	32,9	4
16.10.2022 05:00	276	0,3	8,5	9	46,5	23,8	4,3
16.10.2022 06:00	270	0,3	5,8	6,2	47,3	21,9	3,4
16.10.2022 07:00	281	0,5	9,2	10	37,9	29,5	2,5
16.10.2022 08:00	282	0,5	6,7	7,5	39,7	27,5	3,1

16.10.2022 09:00	295	1,1	8,8	10,5	39,5	20,1	4
16.10.2022 10:00	308	1,4	8,2	10,4	42	28,2	4,8
16.10.2022 11:00	287	1,2	5,6	7,4	51,7	20,7	4,8
16.10.2022 12:00	269	0,7	3,9	5	58	23,4	4
16.10.2022 13:00	269	0,6	4	4,9	60,8	21,7	3,9
16.10.2022 14:00	254	0,5	3,4	4,1	63,5	20,7	3,4
16.10.2022 15:00	247	0,5	3,2	4	64,9	17,6	3,4
16.10.2022 16:00	250	0,3	3,4	3,9	64,2	19,3	3,1
16.10.2022 17:00	250	0,4	4,1	4,7	57,7	29,4	2,6
16.10.2022 18:00	273	0,3	8,8	9,2	50,5	24,8	3,5
16.10.2022 19:00	292	0,3	5,5	5,9	48,4	25,4	2,1
16.10.2022 20:00	303	0,3	5,5	5,9	46,9	23,8	2,1
16.10.2022 21:00	337	0,4	6	6,7	43,6	17,5	2,4
16.10.2022 22:00	351	0,3	6,6	7,1	38,3	27,6	2,2
16.10.2022 23:00	334	0,3	5,8	6,3	37,9	22,9	2
17.10.2022	313	0,4	5,4	6,1	37,9	20,8	1,9
17.10.2022 01:00	308	0,3	5,7	6,2	36,4	25,6	1,6
17.10.2022 02:00	295	0,4	5,6	6,2	35	21,9	1,6
17.10.2022 03:00	298	0,3	6,4	6,8	32,9	24,9	1,6
17.10.2022 04:00	296	0,4	5,8	6,5	30	26,5	1,3
17.10.2022 05:00	291	0,3	5,8	6,2	31,1	29,9	1
17.10.2022 06:00	286	0,4	5,5	6,2	30,2	25,4	0,9
17.10.2022 07:00	283	0,3	6,1	6,6	29,5	27,6	0,8
17.10.2022 08:00	285	0,6	7,5	8,5	28,8	25,9	0,9
17.10.2022 09:00	293	1,8	9,8	12,6	29,9	35,2	1,5
17.10.2022 10:00	285	2,1	8,7	11,9	37,6	26,6	2,4
17.10.2022 11:00	297	1,5	7,3	9,7	49,5	20,5	3,7
17.10.2022 12:00	326	1,6	7,8	10,3	56	17,8	5,9
17.10.2022 13:00	325	1,5	7,4	9,7	60,3	27,2	6
17.10.2022 14:00	294	1	6,5	8,1	68,6	22,9	5,4
17.10.2022 15:00	275	0,6	5,5	6,5	77	24,8	3,3
17.10.2022 16:00	270	0,4	5,2	5,8	78,9	28,3	2,7
17.10.2022 17:00	268	0,4	7,3	8	72,3	31,6	2,3
17.10.2022 18:00	270	0,3	9,8	10,2	61,9	33,9	2,1
17.10.2022 19:00	281	0,3	13	13,4	61,3	39,9	2,3
17.10.2022 20:00	279	0,3	8	8,5	63,2	29,1	1,6
17.10.2022 21:00	331	0,4	15,5	16,1	48,1	34,6	2,6
17.10.2022 22:00	335	0,5	16,1	16,9	45,8	30,1	3
17.10.2022 23:00	319	0,4	17,7	18,4	42,4	29,2	3,7
18.10.2022	323	0,5	17,3	18	39,6	36,3	3,6
18.10.2022 01:00	323	0,4	8,8	9,4	42,6	35,6	1,7
18.10.2022 02:00	300	0,4	8,4	9	41,8	34,6	2
18.10.2022 03:00	283	0,3	9,2	9,6	40,4	28,2	3
18.10.2022 04:00	271	0,3	9,1	9,5	39,3	31,3	3,1
18.10.2022 05:00	262	0,4	7,9	8,5	40,8	28,9	3,4
18.10.2022 06:00	258	0,3	7,8	8,3	38,2	20,7	2,8
18.10.2022 07:00	252	0,3	7,8	8,4	38,7	17,6	2,3
18.10.2022 08:00	242	0,4	10,4	11	41,5	20,2	2,2
18.10.2022 09:00	236	1	9,5	11	45,1	18,1	2,3
18.10.2022 10:00	233	1,5	10	12,3	50,8	15,6	3
18.10.2022 11:00	234	1,8	9,3	12	54,7	16,8	3,7

18.10.2022 12:00	239	1,6	7,8	10,2	59,1	13,8	3,5
18.10.2022 13:00	251	1,6	8,9	11,3	61,6	20,8	3,9
18.10.2022 14:00	270	1,7	10,6	13,2	62,6	25,5	3,9
18.10.2022 15:00	267	1,3	9,9	11,9	65,7	25,5	3,3
18.10.2022 16:00	249	0,6	7,4	8,4	72,2	21,8	2,8
18.10.2022 17:00	252	0,5	9,9	10,7	67,3	31,1	3,5
18.10.2022 18:00	267	0,4	16,7	17,2	52,8	53,7	4,8
18.10.2022 19:00	282	0,4	18,1	18,7	43,5	48,4	4,1
18.10.2022 20:00	212	0,4	4,8	5,5	59	33,7	0,8
18.10.2022 21:00	203	0,3	3,8	4,3	63,6	25	0,3
18.10.2022 22:00	192	0,3	3,1	3,6	63,3	18,5	0,2
18.10.2022 23:00	193	0,3	3,6	4	59,4	18,2	0,3
19.10.2022	203	0,1	3,6	3,9	53,9	12,8	0,3
19.10.2022 01:00	205	0,3	3,7	4,2	49,9	10,1	0,3
19.10.2022 02:00	206	0,4	3,2	3,8	47,8	9,2	0,3
19.10.2022 03:00	202	0,3	3,3	3,7	44,7	7,2	0,1
19.10.2022 04:00	194	0,3	3,2	3,7	44	10	0,2
19.10.2022 05:00	197	0,3	3,4	3,9	40,7	11,4	0,2
19.10.2022 06:00	195	0,3	4,1	4,5	36	9,9	0,1
19.10.2022 07:00	191	0,3	4,6	5,1	36,1	18,5	0,1
19.10.2022 08:00	192	0,4	5	5,6	35,9	13,8	0,2
19.10.2022 09:00	196	0,5	5,2	5,9	37,8	10,7	0,4
19.10.2022 10:00	193	0,5	4,4	5,2	45,7	9	0,2
19.10.2022 11:00	189	0,6	3,8	4,7	50,7	7,6	0,3
19.10.2022 12:00	191	0,4	4,1	4,8	48,1	14,8	0,2
19.10.2022 13:00	189	0,7	3,2	4,2	49,6	10,7	0,1
19.10.2022 14:00	188	0,5	3	3,8	53,9	8,8	0,2
19.10.2022 15:00	190	0,7	2,5	3,6	54,9	6,8	0,2
19.10.2022 16:00	189	0,5	3	3,8	55,6	5,1	0,2
19.10.2022 17:00	177	0,2	2,8	3,2	58,5	5	0,3
19.10.2022 18:00	172	0,2	3,5	3,8	58	3,6	0,2
19.10.2022 19:00	181	0,1	4	4,2	56	3,8	0,3
19.10.2022 20:00	193	0,1	4,8	5	54,7	3,3	0,4
19.10.2022 21:00	187	0,2	3,8	4,1	59,1	3,5	0,6
19.10.2022 22:00	190	0,1	3,8	4	48,8	3,6	0,4
19.10.2022 23:00	197	0,3	3,9	4,4	53,8	3,4	0,4
20.10.2022	213	0,2	4,9	5,2	44,9	9,5	0,6
20.10.2022 01:00	229	0,3	6,5	7	41,2	4,7	0,8
20.10.2022 02:00	227	0,3	5,3	5,8	40,8	4,5	0,4
20.10.2022 03:00	232	0,3	5,6	6,1	37,5	3,2	1
20.10.2022 04:00	229	0,3	4,8	5,3	37,3	3,5	0,7
20.10.2022 05:00	227	0,1	5,3	5,5	36,6	2,9	0,6
20.10.2022 06:00	228	0,2	5,4	5,8	33,2	6	0,6
20.10.2022 07:00	225	0,3	4,4	4,8	34,1	4,7	0,7
20.10.2022 08:00	229	0,4	4,6	5,1	27,4	6,6	0,7
20.10.2022 09:00	238	1,1	4,2	5,9	30,4	20,3	1,2
20.10.2022 10:00	265	1,8	5,5	8,2	37,8	14,4	1,5
20.10.2022 11:00	219	1,9	5,8	8,7	51,5	10,8	1,2
20.10.2022 12:00	201	0,9	3,8	5,2	63,8	8,3	0,8
20.10.2022 13:00	194	0,5	3,6	4,4	65,2	6,9	0,6
20.10.2022 14:00	203	1	7,6	9,1	60,2	5	1,1

20.10.2022 15:00	208	1,2	7,7	9,5	59,2	4,3	1,1
20.10.2022 16:00	214	1,3	9,3	11,2	56,3	3,5	0,9
20.10.2022 17:00	223	0,8	10,7	11,9	50,7	3,2	0,9
20.10.2022 18:00	253	1,1	19,1	20,9	32,4	3,1	0,7
20.10.2022 19:00	243	0,4	13,6	14,2	27,1	3,1	0,6
20.10.2022 20:00	309	0,5	20,2	21	24,8	2,7	0,6
20.10.2022 21:00	423	0,5	25,5	26,4	31,8	9,4	0,9
20.10.2022 22:00	398	0,3	16,1	16,6	38,9	10,4	0,9
20.10.2022 23:00	462	1,2	19,3	21,2	32,6	9	1,4
21.10.2022	473	0,5	20,8	21,6	26,7	16,2	1,1
21.10.2022 01:00	380	0,5	15,1	15,9	28	25	1
21.10.2022 02:00	307	0,5	11,6	12,4	33,9	19,4	1
21.10.2022 03:00	308	0,4	10,7	11,3	31,9	25,9	3
21.10.2022 04:00	317	0,3	10,2	10,7	27,7	18,5	1,9
21.10.2022 05:00	291	0,2	10,9	11,3	25,8	18,1	1,7
21.10.2022 06:00	281	0,2	8,5	8,9	30,4	19,2	1,7
21.10.2022 07:00	283	0,6	11,4	12,4	27,3	19,2	1,8
21.10.2022 08:00	317	3,5	19	24,3	18,5	13,9	1,9
21.10.2022 09:00	308	3,4	13,2	18,4	23,2	18,9	1,7
21.10.2022 10:00	308	4,4	12,2	19	26	20,7	2,4
21.10.2022 11:00	312	5,3	13,7	21,8	27,8	15,5	2,8
21.10.2022 12:00	309	5,5	13,5	22	28,9	19,9	2,4
21.10.2022 13:00	308	5,8	14,1	23	29,3	15,2	2,3
21.10.2022 14:00	301	4,3	12,1	18,8	34,8	18,7	2,6
21.10.2022 15:00	288	2,2	12,6	16	37,9	23,4	2,3
21.10.2022 16:00	289	2	13,1	16,2	38,9	16,7	2,2
21.10.2022 17:00	299	1,2	13,2	15	37,7	18,1	1,9
21.10.2022 18:00	350	1,2	18	19,8	30,2	22,4	1,9
21.10.2022 19:00	351	1,3	22,3	24,3	24,9	19,1	2
21.10.2022 20:00	432	0,9	29,1	30,4	19,3	25,4	2,7
21.10.2022 21:00	502	2,6	34,1	38,1	14,5	36	2,9
21.10.2022 22:00	481	1,1	27,6	29,3	19,1	35,5	3
21.10.2022 23:00	401	0,4	14,8	15,4	29,2	30,8	2,3
22.10.2022	416	0,4	14,4	15	25,4	37,8	2,3
22.10.2022 01:00	421	0,3	16,9	17,4	23,1	34,6	3,3
22.10.2022 02:00	401	0,4	13,3	13,9	23,5	37,6	3,1
22.10.2022 03:00	371	0,4	10,9	11,5	24,2	31,7	3
22.10.2022 04:00	339	0,3	8,6	9	28,4	32,7	3,2
22.10.2022 05:00	315	0,3	7,6	8,1	33,4	32,2	3,1
22.10.2022 06:00	320	0,4	8	8,6	29,8	26	3,4
22.10.2022 07:00	315	0,3	7,6	8,1	27,7	23,5	3,1
22.10.2022 08:00	307	0,4	8,4	9	27,4	24	3,1
22.10.2022 09:00	285	0,5	8,1	8,9	29,6	28,1	3,3
22.10.2022 10:00	268	0,7	7,4	8,5	32,6	22,7	3,7
22.10.2022 11:00	264	0,9	7,5	8,9	33	24,8	3,6
22.10.2022 12:00	267	1,2	8,1	10	32,5	22,5	3,5
22.10.2022 13:00	271	1,4	8,5	10,6	33,1	24,8	3,5
22.10.2022 14:00	278	1,3	9,4	11,5	30,4	24,8	3,2
22.10.2022 15:00	279	1,2	9,9	11,6	28,8	31,9	3,1
22.10.2022 16:00	291	1	10,2	11,8	27,6	33,2	2,7
22.10.2022 17:00	311	0,7	10,1	11,2	25,5	29,9	2,4

22.10.2022 18:00	330	0,3	11,6	12,1	22,2	31,9	2,2
22.10.2022 19:00	375	0,5	12,3	13	19	34,7	1,9
22.10.2022 20:00	370	0,6	12	12,9	17,9	32,3	1,8
22.10.2022 21:00	365	0,4	10,5	11,1	17,8	29,7	1,5
22.10.2022 22:00	372	0,5	10,9	11,7	15,6	33,4	0,9
22.10.2022 23:00	358	0,3	11,1	11,7	16,3	31	0,6
23.10.2022	315	0,3	9,6	10	19,8	22,3	1
23.10.2022 01:00	268	0,3	6	6,5	33,3	27,9	1
23.10.2022 02:00	253	0,3	4,4	4,9	36	20,6	0,8
23.10.2022 03:00	258	0,3	4,2	4,7	30,7	15,5	0,7
23.10.2022 04:00	263	0,4	4,6	5,3	28,4	15	0,6
23.10.2022 05:00	258	0,4	4,7	5,2	29,3	17,6	0,8
23.10.2022 06:00	249	0,4	3,9	4,6	30,3	14,8	0,5
23.10.2022 07:00	247	0,4	3,8	4,5	32,6	22,4	0,5
23.10.2022 08:00	240	0,3	3,5	4	36,7	26,5	0,4
23.10.2022 09:00	222	0,3	2,7	3,2	45,8	27,8	0,4
23.10.2022 10:00	239	0,6	3,3	4,2	38,7	27,6	0,5
23.10.2022 11:00	245	0,5	3,7	4,5	36,6	22,9	0,4
23.10.2022 12:00	231	0,5	3,1	3,8	44,3	27,2	0,3
23.10.2022 13:00	226	0,4	2,7	3,3	49,1	24,7	0,5
23.10.2022 14:00	227	0,5	3,3	4,1	48,2	22,4	0,8
23.10.2022 15:00	238	0,8	4,1	5,3	47,2	23,5	0,9
23.10.2022 16:00	233	0,4	3,9	4,6	50	16,6	0,7
23.10.2022 17:00	236	0,3	4	4,5	49,5	13,3	0,5
23.10.2022 18:00	235	0,2	4,5	4,8	39,1	14,6	0,5
23.10.2022 19:00	239	0,3	4,3	4,8	23,5	18,6	0,3
23.10.2022 20:00	248	0,5	4,1	4,9	13,9	16,1	0,4
23.10.2022 21:00	249	0,4	3,9	4,6	14	16,7	0,2
23.10.2022 22:00	247	0,3	3,6	4,1	15,4	14,5	0,1
23.10.2022 23:00	419	1,3	8,4	10,3	12	21,5	0,2
24.10.2022	462	0,9	9,8	11,1	18,3	16,1	0,2
24.10.2022 01:00	338	0,4	9,1	9,7	24,6	28,9	0,6
24.10.2022 02:00	374	0,4	10,2	10,8	16	20,4	1
24.10.2022 03:00	385	0,5	9,4	10,2	11	21,7	0,6
24.10.2022 04:00	327	0,3	7,2	7,6	14,6	16,1	0,5
24.10.2022 05:00	334	0,3	10,7	11,2	13,9	19,5	0,7
24.10.2022 06:00	350	0,4	13,3	13,9	16,7	24,9	0,9
24.10.2022 07:00	411	1,4	19	21,1	12,2	23,9	1,1
24.10.2022 08:00	394	1,3	16,3	18,3	15,8	23,8	1,1
24.10.2022 09:00	355	1,1	12,4	14,2	17,7	21,5	1
24.10.2022 10:00	331	1,8	11,9	14,7	19	22,2	1,1
24.10.2022 11:00	313	2,4	8,7	12,4	25,4	24,7	1,5
24.10.2022 12:00	310	2,2	7,5	10,9	29,6	18,7	1,8
24.10.2022 13:00	299	1,6	6,7	9,2	32,3	24,7	1,8
24.10.2022 14:00	286	1,7	5,8	8,5	34,1	25,9	1,7
24.10.2022 15:00	266	1,8	6,3	9	40,2	18,7	1,8
24.10.2022 16:00	253	1,1	7	8,7	44,2	14,9	1,7
24.10.2022 17:00	272	0,8	10	11,4	38,8	18,4	1,4
24.10.2022 18:00	301	0,5	11,7	12,4	28	15,9	1,1
24.10.2022 19:00	349	0,6	15,8	16,8	23	24	0,9
24.10.2022 20:00	448	0,6	16,4	17,3	23,5	25,7	1,2

24.10.2022 21:00	421	0,5	14,7	15,4	22,9	21,7	1,3
24.10.2022 22:00	395	0,4	12	12,6	26,2	25,3	1,1
24.10.2022 23:00	355	0,4	10	10,6	25,8	29,6	1,5
25.10.2022	325	0,3	9,3	9,8	23,6	30,4	1,7
25.10.2022 01:00	294	0,3	9,4	9,8	25	29,8	1,5
25.10.2022 02:00	302	0,4	9,8	10,4	21,9	27,9	1,2
25.10.2022 03:00	308	0,4	10,1	10,7	18,7	31,4	1
25.10.2022 04:00	295	0,5	9,4	10,1	19,8	31,1	0,7
25.10.2022 05:00	268	0,5	7,3	8,1	21,9	27,4	0,5
25.10.2022 06:00	279	0,4	8,3	9	18,3	20,6	0,5
25.10.2022 07:00	267	0,3	9,1	9,6	18,7	20,6	0,5
25.10.2022 08:00	254	0,4	8,6	9,2	19,6	20,4	0,4
25.10.2022 09:00	235	1	7,6	9,1	21,8	15,4	0,5
25.10.2022 10:00	232	1,4	7,2	9,3	25,5	19,3	0,5
25.10.2022 11:00	236	1,9	7,9	10,9	26,9	21,9	0,6
25.10.2022 12:00	232	2,1	7,3	10,5	31,6	18,4	0,8
25.10.2022 13:00	214	1,6	6,2	8,6	34,5	19,9	0,9
25.10.2022 14:00	208	1,2	6,3	8,2	34,5	24,9	0,7
25.10.2022 15:00	219	1,4	7,8	9,9	38,3	18,7	0,7
25.10.2022 16:00	210	0,8	7,1	8,3	43,1	14,2	0,7
25.10.2022 17:00	200	0,3	5,5	6	49,3	14,3	0,5
25.10.2022 18:00	209	0,3	6,6	7	43	13,3	0,5
25.10.2022 19:00	255	0,3	8,3	8,8	33,1	17,4	0,4
25.10.2022 20:00	299	0,3	10,1	10,5	32,8	21,4	0,4
25.10.2022 21:00	291	0,4	10,8	11,4	33,8	20,6	0,5
25.10.2022 22:00	261	0,3	8,6	9,1	36,9	19,4	0,7
25.10.2022 23:00	256	0,2	7,5	7,8	35	20,1	0,6
26.10.2022	272	0,3	8,9	9,3	31,1	14,7	0,7
26.10.2022 01:00	274	0,5	8,4	9,2	28,9	17,3	0,6
26.10.2022 02:00	265	0,3	8,1	8,6	30,5	17,9	0,5
26.10.2022 03:00	249	0,3	6,9	7,4	32,5	13,7	0,5
26.10.2022 04:00	230	0,3	5,3	5,7	33,1	11,1	0,4
26.10.2022 05:00	227	0,3	5,2	5,7	31	17,7	0,4
26.10.2022 06:00	232	0,3	5,5	6	29,8	15,7	0,3
26.10.2022 07:00	233	0,2	5,4	5,7	30,3	22,4	0,3
26.10.2022 08:00	225	0,3	4,8	5,3	34,3	15,8	0,1
26.10.2022 09:00	218	0,4	4,3	5	41,2	17,3	0,2
26.10.2022 10:00	218	0,6	5	5,9	39,4	12,4	0,3
26.10.2022 11:00	212	0,6	5,1	6,1	43	17,3	0,3
26.10.2022 12:00	214	0,8	4,5	5,8	46,8	12,7	0,3
26.10.2022 13:00	210	0,7	4,4	5,6	52,8	12,8	0,3
26.10.2022 14:00	211	0,8	4,8	6	52	13,8	0,3
26.10.2022 15:00	204	0,6	3,7	4,6	60,7	13,9	0,3
26.10.2022 16:00	204	0,4	3,9	4,5	60,6	10,3	0,3
26.10.2022 17:00	206	0,4	4,6	5,3	49,1	12,6	0,3
26.10.2022 18:00	212	0,3	4,7	5,3	30,4	9,6	0,2
26.10.2022 19:00	217	0,2	5,9	6,2	28,1	15,1	0,2
26.10.2022 20:00	219	0,3	5,3	5,8	26,8	21,6	0,2
26.10.2022 21:00	308	2,6	11,4	15,5	9,9	22,2	0,1
26.10.2022 22:00	246	0,6	6,3	7,2	13,4	22,8	0,2
26.10.2022 23:00	291	0,4	7,2	7,7	16,5	17,3	0,1

27.10.2022	333	0,4	10,1	10,8	19,8	13,6	0,3
27.10.2022 01:00	335	0,3	9	9,4	27,1	31,3	1,3
27.10.2022 02:00	309	0,2	15,4	15,8	24,6	27,9	2
27.10.2022 03:00	279	0,6	17,8	18,7	23,3	19,6	2,6
27.10.2022 04:00	294	0,5	12,9	13,7	26,3	25,6	2,4
27.10.2022 05:00	328	0,3	6,6	7	30,2	19,7	2,2
27.10.2022 06:00	397	0,2	8,9	9,2	21,3	21,7	1,9
27.10.2022 07:00	421	0,4	10,1	10,7	16,3	16,3	1,8
27.10.2022 08:00	407	0,7	10,5	11,7	15	20,3	1,9
27.10.2022 09:00	391	2,5	10,3	14,1	15,7	25,6	1,9
27.10.2022 10:00	393	5,6	10,8	19,5	19,2	25,1	2,1
27.10.2022 11:00	356	4,8	10,4	17,8	27,9	23,6	2,9
27.10.2022 12:00	324	3,5	9,2	14,6	36,1	18,9	4
27.10.2022 13:00	300	2,1	7,5	10,8	46,4	22,7	3,7
27.10.2022 14:00	291	1,8	7,5	10,3	50,6	19,2	3,3
27.10.2022 15:00	303	2,6	11,9	16	48,7	18,5	4,4
27.10.2022 16:00	293	2	13,2	16,3	46,4	30,1	3,5
27.10.2022 17:00	274	0,7	11,4	12,5	42,9	32,9	2,8
27.10.2022 18:00	274	0,3	12,3	12,8	36,3	24,8	2,3
27.10.2022 19:00	314	0,4	14,5	15,1	32,4	36,5	2,2
27.10.2022 20:00	346	0,5	12,8	13,6	30,7	28,9	2,1
27.10.2022 21:00	382	0,4	12,5	13,2	23,8	37,1	1,7
27.10.2022 22:00	524	0,5	17	17,9	17,9	42,1	1,7
27.10.2022 23:00	526	0,8	14,9	16,2	16,6	37,9	1,6
28.10.2022	407	0,4	13	13,5	21,1	37,1	1,2
28.10.2022 01:00	419	0,5	13,3	14,1	16,4	29,4	0,6
28.10.2022 02:00	462	0,5	14,3	15,1	11,9	29,3	0,4
28.10.2022 03:00	403	0,4	11,5	12,1	13,3	28,2	0,2
28.10.2022 04:00	405	0,3	11,3	11,8	12,3	21,2	0,3
28.10.2022 05:00	391	0,3	11,5	12	12,7	23,9	0,3
28.10.2022 06:00	368	0,4	10,2	10,7	13,1	23,4	0,2
28.10.2022 07:00	354	0,3	10,7	11,2	14,2	27,3	0,1
28.10.2022 08:00	355	0,5	12,2	13	15,7	26,3	0,3
28.10.2022 09:00	373	3,1	13,8	18,5	14,9	26,8	0,2
28.10.2022 10:00	392	5,5	13,1	21,6	19,8	41,2	0,5
28.10.2022 11:00	395	4,2	10,8	17,3	30,4	29,4	2,1
28.10.2022 12:00	387	3,6	10,2	15,8	34,7	28,9	2,2
28.10.2022 13:00	367	3	9,3	13,9	39,6	27,9	1,8
28.10.2022 14:00	345	2,3	8,1	11,6	45,3	20,8	1,7
28.10.2022 15:00	324	1,6	7,6	10,1	50,2	27,4	1,3
28.10.2022 16:00	312	0,9	7,8	9,2	52,4	22,8	1,5
28.10.2022 17:00	315	0,5	8,5	9,2	47,7	28,9	1,7
28.10.2022 18:00	337	3,5	17,1	22,5	27	30,9	1,5
28.10.2022 19:00	386	0,4	21,3	22	31,9	26	2,9
28.10.2022 20:00	442	0,5	20,2	20,9	30,4	29	3,2
28.10.2022 21:00	400	0,3	13,1	13,6	30,5	21,4	2,4
28.10.2022 22:00	399	0,5	13	13,8	27,8	26,8	2,1
28.10.2022 23:00	380	0,5	13,8	14,6	24,6	30,2	2,2
29.10.2022	370	0,3	14,1	14,7	25,6	24,1	2,9
29.10.2022 01:00	358	0,4	12,4	13,1	25,4	33,3	2,9
29.10.2022 02:00	343	0,3	11,7	12,2	25,3	28,5	3

29.10.2022 03:00	316	0,4	10,6	11,2	25,9	21,6	3,2
29.10.2022 04:00	294	0,4	9,8	10,4	25,9	15,7	3,2
29.10.2022 05:00	284	0,4	9,7	10,3	25,4	23,1	3,5
29.10.2022 06:00	283	0,3	9,9	10,4	23,9	23,2	3,5
29.10.2022 07:00	279	0,2	10,3	10,7	22,9	17	3,2
29.10.2022 08:00	271	0,3	10,6	11,1	22,7	20,1	2,8
29.10.2022 09:00	260	1	9,7	11,3	23,9	24,8	2,7
29.10.2022 10:00	255	2	7,9	11,1	26	18	2,6
29.10.2022 11:00	256	2,3	7	10,5	30,5	22	2,9
29.10.2022 12:00	259	2,2	7,8	11,2	34,2	17,9	2,9
29.10.2022 13:00	267	2,3	8	11,5	35,7	23,9	2,9
29.10.2022 14:00	250	1,4	7,1	9,2	38,8	32	2,2
29.10.2022 15:00	235	0,9	5,8	7,1	47	27,2	1,7
29.10.2022 16:00	230	0,6	6	7	50,3	27,4	1,5
29.10.2022 17:00	229	0,4	6,5	7,2	49,5	23,6	1,5
29.10.2022 18:00	235	0,2	7,2	7,5	47,9	28	1,5
29.10.2022 19:00	246	0,3	7,7	8,2	45,4	24,6	1,6
29.10.2022 20:00	268	0,3	7,5	8	44,9	23,5	1,5
29.10.2022 21:00	278	0,3	6,8	7,2	44,6	22,8	1,6
29.10.2022 22:00	274	0,4	6,6	7,3	42,5	23,5	1,6
29.10.2022 23:00	261	0,3	6,5	7	42	25,2	1,5
30.10.2022	267	0,3	6,5	7	38,2	23,2	1,6
30.10.2022 01:00	281	0,4	6,9	7,5	34,7	31,4	1,2
30.10.2022 02:00	268	0,3	6,5	7,1	34,4	24,3	1,1
30.10.2022 03:00	258	0,4	6,3	6,9	33,1	19,9	1,2
30.10.2022 04:00	258	0,5	5,5	6,3	30,7	24	1
30.10.2022 05:00	269	0,3	6,3	6,8	25,6	26,4	0,9
30.10.2022 06:00	257	0,4	5,7	6,4	27	28,2	1,1
30.10.2022 07:00	257	0,5	5,4	6,2	21,6	25,1	0,9
30.10.2022 08:00	259	0,6	5,6	6,5	23,1	23,5	1
30.10.2022 09:00	244	0,5	4,6	5,4	34,4	25,4	1
30.10.2022 10:00	226	0,4	3,5	4,1	44,5	25,9	1
30.10.2022 11:00	214	0,4	3	3,7	52,9	25,2	0,9
30.10.2022 12:00	198	0,3	2,6	3,1	61,4	18,7	0,8
30.10.2022 13:00	192	0,2	2,4	2,7	64,9	13,7	0,9
30.10.2022 14:00	193	0,3	2,5	2,9	65,5	11	1
30.10.2022 15:00	205	0,4	3,6	4,2	57,5	7,8	1,1
30.10.2022 16:00	234	0,3	4,3	4,7	49,2	6,1	0,8
30.10.2022 17:00	244	0,3	4,9	5,4	38,4	6	0,6
30.10.2022 18:00	354	0,4	8,2	8,7	33,7	13,8	0,5
30.10.2022 19:00	371	0,5	9,3	10,2	28,7	17,1	0,6
30.10.2022 20:00	348	0,4	7,7	8,3	25,4	24,8	0,4
30.10.2022 21:00	429	0,5	7,8	8,6	19,9	21,1	0,5
30.10.2022 22:00	438	0,9	7,4	8,8	10,6	19,9	0,5
30.10.2022 23:00	407	5	8,1	15,9	4,7	27,6	0,5
31.10.2022	578	2,8	10,8	15,1	5,9	30,6	0,5
31.10.2022 01:00	614	5,7	18,3	27,1	4,3	26,7	0,5
31.10.2022 02:00	543	3,7	16,5	22,2	10,3	25,6	0,6
31.10.2022 03:00	403	0,6	11	11,9	19,8	25,8	0,7
31.10.2022 04:00	372	0,4	10,5	11,1	21,7	34,3	1
31.10.2022 05:00	378	0,4	9,5	10,1	20	24,2	0,7

31.10.2022 06:00	373	0,5	12,1	12,9	15,7	18,4	0,6
31.10.2022 07:00	391	1,6	15,5	17,9	11,3	18,8	1
31.10.2022 08:00	388	3,2	15,5	20,5	14	14,5	0,9
31.10.2022 09:00	379	3,5	13,8	19,2	20	15,3	2,4
31.10.2022 10:00	378	3	11,8	16,4	26,4	13,6	3,2
31.10.2022 11:00	413	3,7	12,8	18,6	22,8	14,9	3,9
31.10.2022 12:00	409	3,2	12,1	17	22,9	22,2	3,3
31.10.2022 13:00	387	1,9	10,3	13,3	31,4	21,1	2,7
31.10.2022 14:00	383	1,3	11	13,1	35,1	35,1	2,4
31.10.2022 15:00	376	1,1	11,2	12,9	31,6	30,2	1,5
31.10.2022 16:00	378	0,8	12,5	13,7	32,1	34,5	1
31.10.2022 17:00	374	0,4	10,7	11,3	34,7	31,3	0,5
31.10.2022 18:00	384	0,4	10	10,7	33,9	29,4	0,6
31.10.2022 19:00	390	0,3	9	9,4	36,1	24,5	0,6
31.10.2022 20:00	404	0,4	8,2	8,8	35,5	28,4	0,6
31.10.2022 21:00	416	0,2	9,7	10,1	32,7	28,7	0,7
31.10.2022 22:00	423	0,3	9,4	9,9	30,6	26,7	0,7
31.10.2022 23:00	411	0,4	8,2	8,9	30,6	28	0,6
01.11.2022	419	0,3	7,8	8,4	29	22,9	0,4
01.11.2022 01:00	492	0,4	10,8	11,5	15,4	31,7	0,3
01.11.2022 02:00	514	0,2	13	13,3	13,4	22,2	0,2
01.11.2022 03:00	559	0,5	21,1	21,8	7,2	15,9	0,3
01.11.2022 04:00	521	0,3	20,8	21,4	7,2	14,2	0,2
01.11.2022 05:00	484	0,3	14,4	14,9	9,9	10,4	0,1
01.11.2022 06:00	488	0,4	13,6	14,2	9,8	16,6	0,3
01.11.2022 07:00	484	1	11,9	13,4	10	12,8	0,2
01.11.2022 08:00	459	2,1	9,3	12,5	11,8	10	0,3
01.11.2022 09:00	433	2,8	7,5	11,9	12,6	12,1	0,2
01.11.2022 10:00	418	2,7	7,1	11,3	14,7	9,4	0,3
01.11.2022 11:00	425	3,1	7,3	12,2	15,3	13,8	0,7
01.11.2022 12:00	412	2,6	7,6	11,6	18	11,6	0,4
01.11.2022 13:00	386	2	7,9	11	20,1	12,6	0,5
01.11.2022 14:00	393	1,4	7,2	9,3	22,7	21,7	0,6
01.11.2022 15:00	406	0,8	7,2	8,4	23,6	18,7	0,5
01.11.2022 16:00	424	0,4	7,8	8,3	23,7	20,6	0,5
01.11.2022 17:00	464	0,2	10,6	11	21,5	19,4	0,5
01.11.2022 18:00	493	0,3	13,2	13,7	19,2	24,9	0,5
01.11.2022 19:00	520	0,4	15,9	16,6	15,3	44,4	0,6
01.11.2022 20:00	529	0,4	15,5	16,2	12,9	30,8	0,5
01.11.2022 21:00	510	0,5	16	16,8	11	38,9	0,6
01.11.2022 22:00	462	0,4	14,7	15,3	9,9	40,7	0,5
01.11.2022 23:00	421	0,4	12,4	13	11,1	41,9	0,6
02.11.2022	400	0,4	11,1	11,7	12,7	31,4	0,5
02.11.2022 01:00	400	0,4	11	11,5	12,5	33,6	1,3
02.11.2022 02:00	386	0,4	9,6	10,2	16,8	33,2	1,5
02.11.2022 03:00	387	0,3	8,9	9,4	15	31,2	0,7
02.11.2022 04:00	390	0,3	9,2	9,7	13,5	40,7	0,5
02.11.2022 05:00	391	0,3	8,7	9,1	13,5	37,9	0,4
02.11.2022 06:00	388	0,1	8,7	8,8	13,3	45	0,6
02.11.2022 07:00	353	0,4	7,6	8,2	17,5	41,9	0,6
02.11.2022 08:00	312	0,4	6,5	7,1	25,3	41,1	0,6

02.11.2022 09:00	299	0,7	6	7,2	26,4	35,6	0,7
02.11.2022 10:00	288	1	5,1	6,6	29,3	36,5	0,4
02.11.2022 11:00	270	1	4,9	6,4	35	34	0,4
02.11.2022 12:00	243	1	4,7	6,3	43,7	28,9	0,6
02.11.2022 13:00	245	1,2	6,1	8	47,1	22,9	0,5
02.11.2022 14:00	242	1,2	7,1	8,9	49,9	17,5	0,8
02.11.2022 15:00	249	1	8,8	10,4	47,9	19,5	1,4
02.11.2022 16:00	259	0,6	10,6	11,5	38,4	16,3	1,4
02.11.2022 17:00	300	0,5	14,4	15,1	26	30,7	1,5
02.11.2022 18:00	302	0,3	14,8	15,2	28,7	33,6	0,4
02.11.2022 19:00	313	0,4	12,9	13,5	37,5	38	0,5
02.11.2022 20:00	367	0,4	14,1	14,7	31,3	27,4	0,4
02.11.2022 21:00	371	0,4	16,7	17,4	30,2	26,7	0,6
02.11.2022 22:00	299	0,3	12	12,5	34,4	19,7	0,7
02.11.2022 23:00	340	0,3	12,1	12,5	26,9	18	0,3
03.11.2022	280	0,3	9,6	10,1	34	46,8	0,5
03.11.2022 01:00	241	0,3	7	7,5	37,8	47,9	0,4
03.11.2022 02:00	226	0,3	6,3	6,7	37,5	34,3	0,3
03.11.2022 03:00	244	0,2	6,8	7,1	32,6	24,2	0,5
03.11.2022 04:00	231	0,2	6,2	6,5	34,6	18,2	0,5
03.11.2022 05:00	224	0,2	5,9	6,3	36	20,4	0,4
03.11.2022 06:00	224	0,2	5,8	6,1	34,6	21,4	0,4
03.11.2022 07:00	225	0,4	6,3	7,1	30,7	21,2	0,5
03.11.2022 08:00	237	0,8	7,5	8,8	28,7	17,5	0,9
03.11.2022 09:00	249	1,9	7,2	10,1	33,2	12,8	1,2
03.11.2022 10:00	247	1,7	6,8	9,4	41,3	9,6	1,4
03.11.2022 11:00	230	1,2	5,2	7,1	53,7	12,8	1
03.11.2022 12:00	220	0,9	4,8	6,2	60,1	9,7	0,9
03.11.2022 13:00	213	0,8	4,3	5,5	63,4	7,4	0,8
03.11.2022 14:00	207	0,5	4,3	5,1	64,2	5,6	0,9
03.11.2022 15:00	202	0,4	4	4,5	67,9	9,5	0,8
03.11.2022 16:00	204	0,3	4,4	4,8	48,3	7,5	0,7
03.11.2022 17:00	216	0,2	7,8	8,1	41,1	8,1	0,8
03.11.2022 18:00	412	1,7	34,6	37,3	20,5	26,9	0,9
03.11.2022 19:00	431	0,8	38,8	40,1	21,9	19,5	0,6
03.11.2022 20:00	367	0,6	22,1	23	31,5	27,5	0,7
03.11.2022 21:00	324	0,8	14,7	16	36	22,6	0,9
03.11.2022 22:00	310	0,4	10,7	11,3	36,6	33,2	0,7
03.11.2022 23:00	303	0,4	9,4	10,1	36,9	32	0,9
04.11.2022	295	0,2	8,5	8,8	36,3	30	0,9
04.11.2022 01:00	291	0,2	8	8,4	34,7	24,2	0,7
04.11.2022 02:00	282	0,3	6,1	6,5	37,8	29,5	0,5
04.11.2022 03:00	272	0,3	5,7	6,1	39,6	22,3	0,8
04.11.2022 04:00	260	0,2	5,2	5,5	39,3	25,6	0,8
04.11.2022 05:00	251	0,3	5	5,5	39	22,1	0,9
04.11.2022 06:00	252	0,3	6,1	6,6	36,3	18,1	0,8
04.11.2022 07:00	259	0,5	7,7	8,5	35,9	18,5	1
04.11.2022 08:00	258	1,3	8,7	10,7	35,7	23,1	0,8
04.11.2022 09:00	260	1,2	8,7	10,7	35,7	17,5	0,9
04.11.2022 10:00	258	1,2	7,8	9,7	35,8	15,2	0,9
04.11.2022 11:00	258	1,5	5,3	7,7	41,6	20,3	0,9

04.11.2022 12:00	260	1,7	5	7,5	46,6	16,3	1,1
04.11.2022 13:00	255	0,9	4,8	6,2	54,4	11,7	1,1
04.11.2022 14:00	261	1	7,3	8,8	53,2	15	1
04.11.2022 15:00	261	1	9,6	11,2	49,9	11,6	1
04.11.2022 16:00	276	0,8	16,4	17,7	39,7	9,1	2,4
04.11.2022 17:00	304	1,2	30,8	32,6	26,1	12,7	6
04.11.2022 18:00	295	1,3	24	25,9	30,8	17,2	5,8
04.11.2022 19:00	312	0,8	18,1	19,4	32,9	22,9	4,2
04.11.2022 20:00	316	0,7	16,1	17,3	30,3	23,8	4,5
04.11.2022 21:00	324	0,6	14	14,9	30,8	28,4	3,4
04.11.2022 22:00	328	0,3	13,4	13,8	30,1	31,6	2,7
04.11.2022 23:00	333	0,3	12,6	13,1	30,9	31,5	2,9
05.11.2022	339	0,4	11,2	11,7	31	34,2	3,2
05.11.2022 01:00	328	0,3	9,8	10,2	29,6	35,4	2,8
05.11.2022 02:00	319	0,4	8,8	9,4	28,2	35,5	2,3
05.11.2022 03:00	325	0,4	8,8	9,3	27,1	34,9	2
05.11.2022 04:00	321	0,2	7,9	8,3	27	31,4	2
05.11.2022 05:00	320	0,2	8	8,4	26,5	30,8	2,3
05.11.2022 06:00	320	0,3	8,2	8,7	24,6	35,5	2,5
05.11.2022 07:00	330	0,8	11,2	12,3	19,4	36,7	2,2
05.11.2022 08:00	351	1,8	13,2	16	15,1	37	2
05.11.2022 09:00	340	2	11,3	14,3	17,4	37,6	1,9
05.11.2022 10:00	334	2,1	10,4	13,7	18,8	33	2,2
05.11.2022 11:00	346	2,4	11,6	15,3	18,5	29,8	2,3
05.11.2022 12:00	356	1,7	12,4	15	16,2	35,6	1,9
05.11.2022 13:00	358	2,2	12,2	15,6	13,7	37,7	1,6
05.11.2022 14:00	387	2,2	13,2	16,6	11,6	41,2	1,2
05.11.2022 15:00	399	2,2	13,2	16,6	9,6	34,7	1
05.11.2022 16:00	390	0,6	13,5	14,4	13,4	38,1	0,7
05.11.2022 17:00	380	0,3	11,6	12,1	15,3	32,7	0,7
05.11.2022 18:00	351	0,3	10,4	10,9	16,5	32,2	0,7
05.11.2022 19:00	328	0,3	9,4	9,8	24,2	31	0,6
05.11.2022 20:00	274	0,2	6,3	6,7	40,1	25,5	0,6
05.11.2022 21:00	232	0,2	4,1	4,4	52	28,5	0,8
05.11.2022 22:00	232	0,3	4,5	5	48,1	20,5	0,9
05.11.2022 23:00	246	0,3	6,2	6,7	38,8	19,5	1
06.11.2022	250	0,3	6,1	6,5	36,1	27,9	0,9
06.11.2022 01:00	250	0,2	5,7	6,1	34,7	28,4	0,8
06.11.2022 02:00	246	0,1	5,3	5,5	34,1	22,8	0,6
06.11.2022 03:00	250	0,2	5,1	5,5	32,2	23,2	0,7
06.11.2022 04:00	252	0,2	5,1	5,5	30,6	22,9	0,6
06.11.2022 05:00	254	0,3	5,6	6	28,6	23,8	0,7
06.11.2022 06:00	251	0,2	5,8	6,1	27,3	17,9	0,9
06.11.2022 07:00	244	0,3	5,7	6,1	28,5	18,2	0,8
06.11.2022 08:00	246	0,7	5	6,1	28,2	18,9	1
06.11.2022 09:00	260	1,2	4,1	6	25,1	26,2	0,9
06.11.2022 10:00	287	1,7	3,8	6,5	24,2	3,3	0,8
06.11.2022 11:00	278	1,6	3,8	6,3	33,7	5,9	0,9
06.11.2022 12:00	242	0,9	3,4	4,7	52,3	5,2	0,7
06.11.2022 13:00	218	0,4	2,5	3,1	59,5	4,5	0,9
06.11.2022 14:00	207	0,2	2,7	3,1	64,3	4,1	1,4

06.11.2022 15:00	217	0,4	3,5	4,1	61,6	3,9	1,1
06.11.2022 16:00	230	0,4	5,4	6	46,2	3,7	1
06.11.2022 17:00	264	0,4	6,6	7,3	35,5	6,9	0,9
06.11.2022 18:00	263	0,4	8,2	8,7	33,2	15,2	0,7
06.11.2022 19:00	371	0,7	20,9	22	24,9	19	1
06.11.2022 20:00	423	0,4	18,9	19,6	23,1	27,3	0,9
06.11.2022 21:00	532	0,7	20,6	21,6	22,2	26,1	0,9
06.11.2022 22:00	470	0,9	18,3	19,7	22,3	28,7	1
06.11.2022 23:00	439	0,7	21,6	22,6	20,6	33,6	1
07.11.2022	449	0,6	20,7	21,7	18,2	30,7	1
07.11.2022 01:00	410	0,4	14,9	15,5	22,8	36,9	1
07.11.2022 02:00	379	0,3	9,7	10,2	22,6	32,8	1,1
07.11.2022 03:00	370	0,4	11,3	11,9	15,6	36	1
07.11.2022 04:00	344	0,3	8,4	8,8	15,2	28,6	0,7
07.11.2022 05:00	350	0,4	8,6	9,1	13,7	20,8	1
07.11.2022 06:00	351	0,3	7,4	7,8	15,4	33	1
07.11.2022 07:00	352	1,3	11,3	13,2	12,7	30,7	1
07.11.2022 08:00	357	1,9	12,6	15,6	12,8	34,3	1
07.11.2022 09:00	338	1,2	6,9	8,7	18,8	32	1
07.11.2022 10:00	324	1,5	5,8	8,1	23,6	24,1	1,1
07.11.2022 11:00	323	1,6	6,4	8,9	28,8	17,2	1,4
07.11.2022 12:00	308	1,3	7,3	9,3	33	12,4	2,8
07.11.2022 13:00	290	1,4	8,9	11	39,2	17,4	3,6
07.11.2022 14:00	280	1,4	8,8	10,9	41,2	13,1	2,6
07.11.2022 15:00	264	0,6	8,1	9,1	43,3	9,7	1,5
07.11.2022 16:00	262	0,3	7,7	8,1	46,5	7,7	1,3
07.11.2022 17:00	259	0,3	7,1	7,6	47,7	5,7	1,1
07.11.2022 18:00	263	0,2	7	7,3	44,9	13,8	1,1
07.11.2022 19:00	271	0,3	6,4	6,9	45,9	10,6	1,1
07.11.2022 20:00	294	0,4	7,3	7,9	44,2	12,9	1,2
07.11.2022 21:00	342	0,3	8,4	8,8	38,3	11,6	1,1
07.11.2022 22:00	326	0,3	7,7	8,1	35,1	16,2	1
07.11.2022 23:00	347	0,2	8,9	9,3	29,9	18,3	1,2
08.11.2022	333	0,2	9,2	9,5	25,9	23	1,3
08.11.2022 01:00	328	0,3	9,4	9,9	24,8	28,4	1,3
08.11.2022 02:00	332	0,3	10,3	10,8	23,1	32,8	1,4
08.11.2022 03:00	334	0,3	10,9	11,5	23,4	23,8	1,5
08.11.2022 04:00	326	0,3	10,9	11,3	21,3	17,3	1,4
08.11.2022 05:00	313	0,2	10,2	10,5	20,5	21,1	1,3
08.11.2022 06:00	314	0,3	10	10,5	20,5	24,6	1,3
08.11.2022 07:00	315	0,4	11,5	12	18,3	25,4	1,5
08.11.2022 08:00	328	1,7	11,8	14,5	19,3	20,8	1,8
08.11.2022 09:00	322	3,1	10,8	15,6	24,1	18	2,3
08.11.2022 10:00	314	3,1	9,2	14,1	32,1	20,7	2,6
08.11.2022 11:00	298	2,5	7,9	11,7	39,5	18,4	2,5
08.11.2022 12:00	295	2	8,1	11,1	45,5	14,9	3,5
08.11.2022 13:00	279	1,7	7,3	9,9	51,1	12,3	4,1
08.11.2022 14:00	267	1	6	7,5	58	10	2,1
08.11.2022 15:00	257	0,6	6	6,9	61,4	10,3	2,1
08.11.2022 16:00	292	0,4	8,5	9,1	56	7,4	1,7
08.11.2022 17:00	299	0,3	9,4	9,9	44	8	1,6

08.11.2022 18:00	334	0,2	13,7	14,1	39,5	20,2	1,7
08.11.2022 19:00	349	0,3	14,8	15,4	36,4	30,8	2,5
08.11.2022 20:00	419	0,5	20,7	21,4	27,7	27,8	3
08.11.2022 21:00	388	0,3	14,9	15,4	30,1	21,2	2,1
08.11.2022 22:00	365	0,4	13,8	14,4	27,8	18,1	1,5
08.11.2022 23:00	323	0,4	11,1	11,7	25,9	31,4	1,2
09.11.2022	343	0,4	13	13,7	25,1	22,9	1,5
09.11.2022 01:00	357	0,3	14,8	15,3	22,7	30,5	2,4
09.11.2022 02:00	365	0,4	13,6	14,1	22,3	22,7	2,1
09.11.2022 03:00	358	0,3	13	13,4	24,9	16,4	2,3
09.11.2022 04:00	352	0,3	13	13,5	25,2	24,1	2,9
09.11.2022 05:00	346	0,4	11,7	12,4	25,6	21,7	2,8
09.11.2022 06:00	342	0,4	10,2	10,8	26	29,7	2,4
09.11.2022 07:00	340	0,4	10,1	10,6	26,2	24,5	2,5
09.11.2022 08:00	340	0,9	10,4	11,8	26,7	27,3	2,7
09.11.2022 09:00	345	1,6	10,2	12,7	28,2	32	2,8
09.11.2022 10:00	356	2,4	10,4	14,1	29,6	29,9	3,7
09.11.2022 11:00	369	3,2	11,8	16,6	32,2	24,1	4,1
09.11.2022 12:00	341	1,5	8,5	10,8	41,4	25,3	4,3
09.11.2022 13:00	326	1,5	8,2	10,6	44,8	20,9	4,7
09.11.2022 14:00	317	1,2	8,8	10,6	46	16,3	4,4
09.11.2022 15:00	322	1	9,9	11,4	43,6	20	3,7
09.11.2022 16:00	329	0,7	15,8	16,9	36,1	23,4	4
09.11.2022 17:00	396	0,4	19,9	20,5	28,8	35,1	3,9
09.11.2022 18:00						40,6	
09.11.2022 19:00	463	0,4	22,3	22,9	24,3	41,3	4,2
09.11.2022 20:00	464	0,6	23	23,9	22,4	37,5	3,6
09.11.2022 21:00	524	0,5	16,5	17,2	24,3	41,4	2,5
09.11.2022 22:00	511	0,5	15,2	16	24	42,1	2,5
09.11.2022 23:00	475	0,4	12,9	13,5	23,5	45,3	2
10.11.2022	443	0,4	11,7	12,3	24,5	50,6	2,1
10.11.2022 01:00	406	0,3	11	11,4	26	32,5	2,3
10.11.2022 02:00	375	0,3	10,3	10,7	26	47,5	2,5
10.11.2022 03:00	353	0,4	8,7	9,3	26	40,5	2,1
10.11.2022 04:00	334	0,3	8,2	8,6	27,1	35,3	1,9
10.11.2022 05:00	326	0,2	8,6	8,9	25,3	36	1,9
10.11.2022 06:00	320	0,3	9,6	10	23,9	34,2	1,9
10.11.2022 07:00	315	0,1	10,2	10,4	22,6	41,5	2
10.11.2022 08:00	314	0,5	9,4	10,2	22,2	34,2	1,3
10.11.2022 09:00	318	0,6	9,4	10,3	22,5	39,3	1,1
10.11.2022 10:00	315	1,1	10,6	12,2	24,7	50,7	1,1
10.11.2022 11:00	307	1,3	10,2	12,2	27,4	36,3	1,1
10.11.2022 12:00	300	1,8	9,8	12,6	29,2	33,6	1
10.11.2022 13:00	276	1,3	8,9	10,9	36	26,4	1,1
10.11.2022 14:00	251	0,7	6,9	8	40,9	19,6	1
10.11.2022 15:00	251	0,5	7,5	8,3	39,8	18,3	1,1
10.11.2022 16:00	266	0,4	9,9	10,5	35,7	20,9	1
10.11.2022 17:00	319	0,3	13,6	14	28,2	17,1	0,9
10.11.2022 18:00	329	0,4	14,5	15,1	25,8	28,7	1
10.11.2022 19:00	336	0,4	13,9	14,4	27,6	20,8	1
10.11.2022 20:00	356	0,4	13,1	13,7	27,7	22	1,1

10.11.2022 21:00	385	0,5	14,3	15	24,2	22,6	0,8
10.11.2022 22:00	383	0,4	12,8	13,3	25,2	37	0,8
10.11.2022 23:00	352	0,3	14,5	14,9	26,8	41,5	1,3
11.11.2022	350	0,3	13,5	13,9	25,7	55	1,1
11.11.2022 01:00	317	0,3	11,4	11,9	27,6	53,1	0,9
11.11.2022 02:00	298	0,4	9,4	10	29,7	49	0,8
11.11.2022 03:00	301	0,4	8,7	9,2	28,2	34,9	0,8
11.11.2022 04:00	298	0,2	8,3	8,7	24,6	34,9	0,7
11.11.2022 05:00	297	0,4	9,4	10	24,5	34,3	1
11.11.2022 06:00	298	0,3	10,8	11,3	23,4	28,8	1
11.11.2022 07:00	297	0,4	11,3	12	21,5	27,7	1,1
11.11.2022 08:00	299	0,7	10,7	11,7	21,6	32,5	1,1
11.11.2022 09:00	299	1,3	9,8	11,8	23,6	23,7	1,3
11.11.2022 10:00	289	1,9	8,5	11,4	28,1	24,7	1,5
11.11.2022 11:00	282	1,6	7,7	10,2	32,6	20,9	1,4
11.11.2022 12:00	271	1,2	9,1	11	35,1	15,2	1,8
11.11.2022 13:00	259	1	7,8	9,4	39,3	16,4	1,7
11.11.2022 14:00	250	0,6	7	8	43	12,8	1,7
11.11.2022 15:00	252	0,6	7,7	8,6	42,1	18	1,8
11.11.2022 16:00	258	0,4	7,6	8,2	41,6	18,8	1,8
11.11.2022 17:00	277	0,3	8,7	9,2	38,6	16,3	1,6
11.11.2022 18:00	284	0,3	8,6	9	38,4	14,3	1,8
11.11.2022 19:00	254	0,2	7,1	7,4	42,3	25,8	1,4
11.11.2022 20:00	254	0,2	6,6	7	41,5	23,4	0,8
11.11.2022 21:00	273	0,1	7,1	7,3	37,8	18,6	1
11.11.2022 22:00	267	0,2	6,7	7	37,7	20,3	1
11.11.2022 23:00	261	0,3	6,1	6,5	38	29,6	0,5
12.11.2022	256	0,2	5,3	5,6	38,6	36,4	0,9
12.11.2022 01:00	260	0,3	5,4	5,8	37	34,2	0,8
12.11.2022 02:00	259	0,3	4,9	5,3	35,6	26	0,9
12.11.2022 03:00	250	0,3	4,7	5,1	37,8	20,3	0,8
12.11.2022 04:00	246	0,2	4,8	5,1	38	20,5	0,8
12.11.2022 05:00	272	0,4	6,3	6,9	29,5	19,3	0,9
12.11.2022 06:00	305	0,2	8,4	8,8	25,3	15,3	1,6
12.11.2022 07:00	290	0,3	8	8,5	29,5	12	1,3
12.11.2022 08:00	257	0,3	6,1	6,6	36,3	20,9	1
12.11.2022 09:00	268	0,4	6,8	7,4	33,8	19,7	0,9
12.11.2022 10:00	274	0,4	6,6	7,2	33,7	23,6	0,8
12.11.2022 11:00	254	0,4	5,6	6,2	35,9	23,6	0,6
12.11.2022 12:00	253	0,4	5,9	6,5	34,6	19	0,8
12.11.2022 13:00	253	0,4	5,9	6,4	34,9	22,8	0,7
12.11.2022 14:00	236	0,3	5,3	5,7	37,7	27,9	0,6
12.11.2022 15:00	235	0,3	5,4	5,9	37,7	22,3	0,7
12.11.2022 16:00	230	0,3	5,3	5,8	41,5	20,6	0,6
12.11.2022 17:00	243	0,2	5,5	5,9	41,4	22,4	0,8
12.11.2022 18:00	251	0,3	5,5	5,9	39,1	28,3	0,6
12.11.2022 19:00	258	0,3	5,3	5,7	39,4	24,9	0,7
12.11.2022 20:00	268	0,2	5,2	5,4	34,9	30,1	0,6
12.11.2022 21:00	387	0,3	7,3	7,7	29,9	31,2	0,8
12.11.2022 22:00	438	0,2	8,9	9,2	26,9	36,6	0,9
12.11.2022 23:00	454	0,4	7,8	8,4	24,6	38,2	1

13.11.2022	450	0,3	7,6	8,1	21,9	44,6	0,9
13.11.2022 01:00	417	0,3	6,6	7	21,6	38,7	0,8
13.11.2022 02:00	345	0,3	5,3	5,7	24,3	37,5	0,7
13.11.2022 03:00	302	0,4	4,5	5	27	35,9	0,6
13.11.2022 04:00	289	0,3	4,6	5,1	28,1	36	0,8
13.11.2022 05:00	281	0,3	4,6	5,1	27,1	31	0,9
13.11.2022 06:00	273	0,3	4,5	5	27,6	35,2	0,9
13.11.2022 07:00	261	0,3	3,9	4,3	27,3	34,5	0,8
13.11.2022 08:00	260	0,4	4,4	5	25,4	31,7	0,8
13.11.2022 09:00	252	0,6	4,2	5	30,3	36,8	0,6
13.11.2022 10:00	245	0,5	4,1	4,8	35,4	26,3	0,8
13.11.2022 11:00	237	0,5	4,2	5,1	39,6	21,2	0,8
13.11.2022 12:00	232	0,6	4,5	5,5	39	15,7	0,9
13.11.2022 13:00	224	0,7	6,5	7,5	39,5	11,7	2,1
13.11.2022 14:00	228	0,3	3,8	4,4	41,7	8,7	0,9
13.11.2022 15:00	246	0,3	5	5,5	37,6	8,8	0,9
13.11.2022 16:00	254	0,2	5,3	5,6	35,4	8,8	0,9
13.11.2022 17:00	256	0,4	5,4	6	35,8	9,1	0,7
13.11.2022 18:00	274	0,3	7,5	8	33,6	14	0,7
13.11.2022 19:00	304	0,4	9	9,6	30,9	12,1	1
13.11.2022 20:00	324	0,4	12	12,6	27,3	16,9	1
13.11.2022 21:00	290	0,3	7,9	8,4	35,3	16	0,9
13.11.2022 22:00	272	0,3	6,1	6,5	37,5	12,5	0,8
13.11.2022 23:00	300	0,3	6,3	6,8	34,7	10,2	0,8
14.11.2022	285	0,3	7,4	7,8	32,9	9,9	0,8
14.11.2022 01:00	269	0,4	5,6	6,2	32,8	7,6	0,8
14.11.2022 02:00	251	0,3	4	4,5	34,9	8,9	0,6
14.11.2022 03:00	253	0,2	4,9	5,2	32	10,1	0,6
14.11.2022 04:00	258	0,3	5	5,4	30,6	12,7	0,6
14.11.2022 05:00	262	0,4	6,2	6,9	28,5	9,7	0,7
14.11.2022 06:00	261	0,2	6,5	6,8	28,3	7,5	0,7
14.11.2022 07:00	257	0,5	6,5	7,3	29,3	5,7	0,8
14.11.2022 08:00	252	1,1	7,7	9,4	32,2	4,2	0,7
14.11.2022 09:00	257	0,9	7,8	9,3	34,4	6,8	0,8
14.11.2022 10:00	259	0,7	7,4	8,5	35,8	5,7	0,8
14.11.2022 11:00	281	1,1	10,5	12,2	39	6,3	0,9
14.11.2022 12:00	283	0,9	8,8	10,2	44,6	9,3	1
14.11.2022 13:00	271	1,1	7,2	8,9	40,7	10,1	1,8
14.11.2022 14:00	276	0,9	7,9	9,3	44,3	8	0,8
14.11.2022 15:00	290	0,7	9,3	10,4	45	11,4	0,3
14.11.2022 16:00	303	0,7	11,6	12,6	42,4	19	0,3
14.11.2022 17:00	316	0,5	10,2	11	42,9	14,1	0,3
14.11.2022 18:00	330	0,4	8,4	9	43,5	18,2	0,1
14.11.2022 19:00	316	1,2	8,9	10,7	42,1	18,9	0,2
14.11.2022 20:00	311	0,4	9,1	9,8	39,6	16,5	0,3
14.11.2022 21:00	326	0,5	12,8	13,6	35,6	18,4	0,4
14.11.2022 22:00	347	0,9	14	15,4	32,3	19,7	0,3
14.11.2022 23:00	346	0,3	11,5	11,9	33,9	18,5	0,3
15.11.2022	331	0,4	9	9,7	34,2	26,5	0,5
15.11.2022 01:00	332	0,3	7,3	7,7	35,7	25,9	0,3
15.11.2022 02:00	327	0,3	6,2	6,6	36,3	20,8	0,2

15.11.2022 03:00	322	0,3	5,7	6,2	36,5	22,4	0,2
15.11.2022 04:00	328	0,3	6,1	6,5	32,9	24,7	0,2
15.11.2022 05:00	323	0,2	4,9	5,2	33,3	26	0,3
15.11.2022 06:00	325	0,2	5,6	5,8	29,4	21,4	0,3
15.11.2022 07:00	328	0,2	7,8	8,2	25,2	23,5	0,1
15.11.2022 08:00	317	0,4	6	6,5	25,9	17,1	0,1
15.11.2022 09:00	335	0,9	6,9	8,3	26,6	12,6	0
15.11.2022 10:00	353	1,3	7,5	9,5	26,7	16,9	0,3
15.11.2022 11:00	372	1,6	8,5	10,8	27,3	19,3	0,4
15.11.2022 12:00	375	1,4	8,8	11	31,5	23,4	0,6
15.11.2022 13:00	372	1,5	8,9	11,2	36,1	18,2	0,8
15.11.2022 14:00	363	1,6	8,8	11,3	39,4	26,4	1
15.11.2022 15:00	370	1,8	10,8	13,6	36,1	20,1	1
15.11.2022 16:00	418	3,6	18,2	23,7	20,7	21,1	0,4
15.11.2022 17:00	494	4,3	25,3	31,9	13,7	32,5	0,3
15.11.2022 18:00	426	1,8	18,4	21,1	25,2	58,5	0,4
15.11.2022 19:00	416	0,9	19,8	21,2	24	61,6	0,3
15.11.2022 20:00	397	1	16,6	18,2	27	57,2	0,2
15.11.2022 21:00	397	0,8	24,4	25,7	20,8	55,5	0,2
15.11.2022 22:00	417	1,3	39,7	41,7	10,3	51	0,5
15.11.2022 23:00	449	4	46,8	52,9	4,5	50,8	1,2
16.11.2022	384	0,5	17,1	17,8	20,4	40,9	0,3
16.11.2022 01:00	369	0,8	13,9	15,2	21,9	30,9	0,4
16.11.2022 02:00	353	0,4	11,9	12,5	23,9	36,1	0,4
16.11.2022 03:00	329	0,3	8,7	9,2	27	26,4	0,4
16.11.2022 04:00	306	0,4	7,8	8,3	28	28,3	0,3
16.11.2022 05:00	292	0,4	8,2	8,8	27,3	20,7	1
16.11.2022 06:00	284	0,5	8,5	9,3	27,7	15,2	1,3
16.11.2022 07:00	279	0,6	8,9	9,8	27	10,7	1,1
16.11.2022 08:00	293	2,6	12	16	22,3	8,7	0,8
16.11.2022 09:00	295	2	11,7	14,8	20,7	12	0,9
16.11.2022 10:00	282	1,4	9,6	11,7	23,8	13,8	0,8
16.11.2022 11:00	265	1,5	7,1	9,4	26,5	10,5	0,6
16.11.2022 12:00	262	1,3	5,9	7,8	27,6	8,6	0,4
16.11.2022 13:00	262	1,2	7,1	8,9	27	6,4	0,3
16.11.2022 14:00	262	2	8,3	11,4	29,3	4,9	0,3
16.11.2022 15:00	279	1,8	11,7	14,5	27,6	7,4	0,4
16.11.2022 16:00	261	1,5	11,1	13,4	26,5	12,8	0,5
16.11.2022 17:00	257	1,1	9,8	11,4	14,9	10,1	0,4
16.11.2022 18:00	261	1	9,6	11,1	12,6	7,9	0,3
16.11.2022 19:00	269	1,5	9,7	12,1	11,2	9,2	0,5
16.11.2022 20:00	274	0,9	8,5	9,9	11	7	0,4
16.11.2022 21:00	270	1	8,2	9,8	10,5	5,9	0,4
16.11.2022 22:00	263	0,9	8,1	9,4	10,9	5,5	1
16.11.2022 23:00	251	0,9	8,6	9,9	11,8	5	1,4
17.11.2022	239	0,5	6,5	7,2	17,2	5,1	1
17.11.2022 01:00	236	0,4	5,4	6	17,5	14,1	0,6
17.11.2022 02:00	227	0,4	4,7	5,3	19,3	11	0,5
17.11.2022 03:00	215	0,3	3,5	3,9	24	7,8	0,4
17.11.2022 04:00	212	0,3	3,3	3,7	24,9	6,2	0,3
17.11.2022 05:00	206	0,4	3,3	3,9	27,8	4,8	0,4

17.11.2022 06:00	202	0,4	3,5	4,1	31,4	3,9	0,4
17.11.2022 07:00	209	0,7	6,4	7,4	26,5	5,2	1
17.11.2022 08:00	217	1,1	6,8	8,5	28,6	4,2	1,3
17.11.2022 09:00	201	0,7	4,9	6	33,2	3,8	0,4
17.11.2022 10:00	198	0,9	3,8	5,1	38,1	3,5	0,6
17.11.2022 11:00	205	0,8	4,7	6	38,4	3,6	0,4
17.11.2022 12:00	203	0,8	4,9	6,2	39,2	3,6	0,3
17.11.2022 13:00	213	1,2	5	6,9	38,8	3,3	0,3
17.11.2022 14:00	215	1	6	7,5	38,9	3,1	0,3
17.11.2022 15:00	228	1,5	7,2	9,6	38,4	3,1	0,3
17.11.2022 16:00	238	1,1	6,6	8,3	40,5	3	0,1
17.11.2022 17:00	240	2,6	9	13	41,8	3,7	0,8
17.11.2022 18:00	233	0,6	6,8	7,7	45,8	3,9	0,3
17.11.2022 19:00	236	0,9	7,8	9,3	43,9	3,9	0,1
17.11.2022 20:00	257	0,6	7,4	8,2	43,9	4,2	0,3
17.11.2022 21:00	237	0,3	5,2	5,8	46,6	4,5	0,1
17.11.2022 22:00	234	0,8	5,7	6,9	46,2	7,9	0,5
17.11.2022 23:00	240	0,5	5,2	6	46,2	7,4	0,5
18.11.2022	252	0,3	5,1	5,6	42,7	12,7	0,4
18.11.2022 01:00	250	0,3	4,6	5	34,4	11,2	0,2
18.11.2022 02:00	267	0,2	6,2	6,5	30,9	10,1	0,2
18.11.2022 03:00	300	0,4	8,5	9,1	34,8	12,4	0,2
18.11.2022 04:00	279	0,3	6,7	7,1	39	13,3	0,3
18.11.2022 05:00	298	0,4	8,5	9,2	33	10,9	0,4
18.11.2022 06:00	345	0,3	18,6	19,1	21,6	14,3	1,3
18.11.2022 07:00	290	0,5	11,2	12	28,9	10,6	0,6
18.11.2022 08:00	273	1,3	11,3	13,3	28,7	19,6	0,3
18.11.2022 09:00	304	1,3	12,6	14,5	29,2	16,1	0,4
18.11.2022 10:00	279	1,7	13,6	16,2	27,4	15,2	0,5
18.11.2022 11:00	284	2	12,3	15,4	28,3	19,7	0,3
18.11.2022 12:00	264	2,1	10,4	13,7	29,5	23,1	0,3
18.11.2022 13:00	270	2,9	15,5	20	24,5	16,3	1
18.11.2022 14:00	255	2,4	12,6	16,3	26,6	12	1
18.11.2022 15:00	254	2	9,5	12,6	30,9	11,3	0,6
18.11.2022 16:00	289	2	13,3	16,4	26,7	9,5	0,7
18.11.2022 17:00	301	1,4	19,6	21,8	18,9	12	1,3
18.11.2022 18:00	295	0,9	13,4	14,9	22,4	13,9	0,6
18.11.2022 19:00	285	0,5	9,7	10,6	25,9	17,9	0,4
18.11.2022 20:00	277	0,6	8	8,9	30,4	13	0,3
18.11.2022 21:00	296	0,6	9,7	10,6	30,9	10,3	0,2
18.11.2022 22:00	259	0,5	5,5	6,3	37,3	18,5	0,2
18.11.2022 23:00	261	0,3	5,8	6,2	37	13,6	0,4
19.11.2022	263	0,5	5,2	5,9	37,6	10,7	0,2
19.11.2022 01:00	266	0,3	6,2	6,7	36	21,2	0,2
19.11.2022 02:00	267	0,4	8,6	9,3	34	16	0,9
19.11.2022 03:00	251	0,3	9,6	10,1	32,9	12,1	1,2
19.11.2022 04:00	243	0,3	8,4	8,9	33,2	13,4	1,4
19.11.2022 05:00	247	0,3	7,9	8,3	33,5	15,1	1,3
19.11.2022 06:00	247	0,3	6,4	6,9	34,5	12,2	0,7
19.11.2022 07:00	251	0,3	6,2	6,6	33,5	19,1	0,6
19.11.2022 08:00	255	0,3	6,2	6,7	33,8	14	0,7

19.11.2022 09:00	259	0,6	5,4	6,4	34,6	14,6	0,8
19.11.2022 10:00	267	1,1	4,7	6,4	36,6	10,9	0,8
19.11.2022 11:00	246	0,8	3,5	4,8	40,9	15,9	0,7
19.11.2022 12:00	234	0,7	3	4,1	43,6	13,5	0,5
19.11.2022 13:00	248	0,9	3,7	5,1	44,8	18,6	0,5
19.11.2022 14:00	243	0,8	3,9	5,1	44,4	14,2	0,6
19.11.2022 15:00	228	0,5	3,8	4,6	44,4	10,4	0,5
19.11.2022 16:00	248	0,4	6,7	7,4	41,2	5,4	0,5
19.11.2022 17:00	292	0,3	9,6	10,1	33,9	6,7	0,5
19.11.2022 18:00	361	0,8	11,3	12,6	34,3	14,1	0,7
19.11.2022 19:00	495	1,1	16,4	18,1	27,2	22,4	1
19.11.2022 20:00	478	0,9	17,9	19,2	23,8	21,3	1,7
19.11.2022 21:00	554	1,1	20,7	22,4	20	26,1	1,8
19.11.2022 22:00	648	0,9	22,8	24,2	16,3	31,4	1,7
19.11.2022 23:00	640	1,5	23,4	25,8	16,5	37,2	2,5
20.11.2022	572	0,6	16,7	17,7	18,8	40,6	1,8
20.11.2022 01:00	610	0,6	15,6	16,5	17,8	29,9	1,5
20.11.2022 02:00	578	1,1	15	16,7	17,1	42,2	1,5
20.11.2022 03:00	663	0,7	14,8	15,9	14,7	46,4	1,7
20.11.2022 04:00	668	1,3	20	22	11,7	45,3	1,7
20.11.2022 05:00	647	1,1	17,8	19,4	11,5	48,8	1,7
20.11.2022 06:00	557	1,4	17,2	19,4	11,9	50,9	1,9
20.11.2022 07:00	533	0,7	13,6	14,8	12,7	51,4	1,5
20.11.2022 08:00	549	2,3	11,9	15,5	10,2	49,4	0,9
20.11.2022 09:00	578	4,6	10,5	17,6	15,4	52,4	1,9
20.11.2022 10:00	576	5	8,7	16,4	20,3	51,5	2,4
20.11.2022 11:00	535	4,6	8,6	15,7	25,2	59,1	3
20.11.2022 12:00	511	4,3	9,6	16,3	30,7	39,3	2,9
20.11.2022 13:00	423	2,5	8,3	12,2	38,1	35,9	2,1
20.11.2022 14:00	385	1,3	7,2	9,2	42	39,1	1,9
20.11.2022 15:00	361	0,8	7,7	8,9	44,5	30,1	1,7
20.11.2022 16:00	424	0,8	12,5	13,7	36	38,2	1,5
20.11.2022 17:00	532	1	19,9	21,3	25	32,2	1,5
20.11.2022 18:00	495	1,5	15,8	18,1	20,3	43,2	0,6
20.11.2022 19:00	519	1,4	16,7	18,9	18,5	50	0,8
20.11.2022 20:00	516	0,7	17,2	18,3	17,3	72,8	1,1
20.11.2022 21:00	601	1,3	22,6	24,6	12,4	73,1	1,2
20.11.2022 22:00	631	0,8	20	21,2	13,6	63,4	1,6
20.11.2022 23:00	692	1,7	21,2	23,8	11,1	42,8	1,4
21.11.2022	675	1	17,9	19,5	11,5	45,2	1,1
21.11.2022 01:00	638	0,6	14,8	15,7	12,5	51,3	1,2
21.11.2022 02:00	702	0,5	14,5	15,3	12,3	51,5	1,7
21.11.2022 03:00	682	0,4	12,6	13,2	11,7	64,8	1,4
21.11.2022 04:00	662	0,5	13	13,7	12,1	56,6	1,5
21.11.2022 05:00	634	0,6	12,9	13,8	11,8	58,9	1,6
21.11.2022 06:00	549	0,8	14,6	15,9	13,1	48,9	1,6
21.11.2022 07:00	491	0,7	16,5	17,6	14,4	54	2,3
21.11.2022 08:00	455	1,4	14,2	16,4	17,4	52,8	2
21.11.2022 09:00	453	5	14,1	21,9	19,9	53	1,7
21.11.2022 10:00	464	5,5	11,7	20,1	26	59,2	2,4
21.11.2022 11:00	412	5,6	14,3	23	30,1	34,4	3,9

21.11.2022 12:00	431	5,8	17,7	26,6	29,6	24,7	4
21.11.2022 13:00	451	3,8	17,9	23,7	28,9	33,2	3,6
21.11.2022 14:00	450	2,5	17,9	21,7	26,1	31,7	3,9
21.11.2022 15:00	444	3,5	18,5	23,8	26,8	29,9	3,7
21.11.2022 16:00	480	2,3	21,3	24,9	20	29,8	2,6
21.11.2022 17:00	505	1,8	22,7	25,4	15,8	36,3	2,2
21.11.2022 18:00	534	1,5	21,1	23,4	16,2	43,2	1,7
21.11.2022 19:00	495	0,9	19,4	20,8	18,6	41	1,8
21.11.2022 20:00	472	0,8	20,4	21,7	16,5	39,9	1,9
21.11.2022 21:00	478	1,1	22,1	23,8	14,1	43,2	2,3
21.11.2022 22:00	511	1,1	22,8	24,5	12,5	44,1	2
21.11.2022 23:00	492	0,7	20,2	21,2	13,8	37,3	1,9
22.11.2022	470	0,6	16,9	17,8	14,2	30,2	1,6
22.11.2022 01:00	483	0,5	16,1	16,9	12,9	30,6	1,3
22.11.2022 02:00	471	2	14,9	18	11,5	27,4	1,4
22.11.2022 03:00	465	0,4	12,6	13,3	12,4	27,3	1
22.11.2022 04:00	453	0,5	12,5	13,2	11,3	31,5	1,2
22.11.2022 05:00	472	0,6	13,6	14,5	9,4	30,4	1,4
22.11.2022 06:00	472	0,8	13,7	15	7,5	29,5	1,2
22.11.2022 07:00	468	2,9	18,3	22,7	4	32,2	1,2
22.11.2022 08:00	525	11,2	18,2	35,5	4,1	36,2	1,3
22.11.2022 09:00	545	15,8	17,6	42	6,4	33,8	1,7
22.11.2022 10:00	500	10,7	16,4	32,9	12,3	42,2	1,7
22.11.2022 11:00	398	3,5	14,1	19,5	27,9	35,1	1,8
22.11.2022 12:00	388	1,9	14,4	17,3	28,3	33	1,8
22.11.2022 13:00	377	2,3	13,1	16,6	28,2	32,5	1,6
22.11.2022 14:00	383	1,7	12,7	15,4	25,9	30,6	1,3
22.11.2022 15:00	387	1,8	14,2	17	23,8	32,5	1,5
22.11.2022 16:00	392	1,5	16,5	18,9	22,9	28,9	1,4
22.11.2022 17:00	423	2,1	20,3	23,5	16,6	34,2	1,1
22.11.2022 18:00	402	1	17,6	19	20,5	43,3	1,1
22.11.2022 19:00	417	0,9	17,7	19,1	21,1	55,7	1
22.11.2022 20:00	451	0,6	18,3	19,3	22,1	53,6	1,2
22.11.2022 21:00	408	0,8	13,3	14,5	28,3	48	1,3
22.11.2022 22:00	378	0,3	11,1	11,6	30	47,1	1,2
22.11.2022 23:00	421	0,9	20,6	22	18,7	37,3	2,4
23.11.2022	439	0,6	23,8	24,8	11,9	45,3	1,3
23.11.2022 01:00	416	0,4	19,7	20,4	15	50,2	1,2
23.11.2022 02:00	387	0,4	17	17,7	18,7	41,8	1,3
23.11.2022 03:00	359	0,4	14,1	14,8	21,4	41,3	0,9
23.11.2022 04:00	342	0,2	13,8	14,2	22,3	41,2	0,8
23.11.2022 05:00	338	0,3	14,2	14,7	22,9	46,9	1,5
23.11.2022 06:00	327	0,3	12,1	12,6	26,9	33,5	1,3
23.11.2022 07:00	325	0,7	16,9	18	22,2	27,7	2,3
23.11.2022 08:00	331	2,3	16,7	20,3	23,9	21,6	2,6
23.11.2022 09:00	320	2	12,4	15,6	26,2	24,6	1,7
23.11.2022 10:00	321	3,2	16,2	21,2	20,1	24,1	2,1
23.11.2022 11:00	321	4,5	17,4	24,3	19,2	22,9	3,2
23.11.2022 12:00	315	3,6	15,2	20,7	21,3	17,1	3
23.11.2022 13:00	331	3,7	17,5	23,2	19,9	13	4,7
23.11.2022 14:00	337	2,8	16,3	20,6	24,5	12,4	5,8

23.11.2022 15:00	343	1,4	12,9	15,2	27,4	14,8	4
23.11.2022 16:00	371	1,9	14	17	25,3	16,6	3,3
23.11.2022 17:00	384	1,6	13	15,5	25,5	23,3	2,1
23.11.2022 18:00	372	0,8	11,7	12,9	25,8	36,8	1,9
23.11.2022 19:00	358	1,1	11,1	12,8	26,9	31,5	1,7
23.11.2022 20:00	365	0,7	9,8	11	29	35,5	1,4
23.11.2022 21:00	372	0,4	10,6	11,3	27,3	34,1	1,5
23.11.2022 22:00	376	0,7	11	12	25,3	39,9	1
23.11.2022 23:00	371	0,6	13	13,9	23,4	34	1,8
24.11.2022	361	0,5	13,8	14,5	22,1	27,7	2
24.11.2022 01:00	337	0,5	13,2	14	23	28,7	3,1
24.11.2022 02:00	332	0,4	10,7	11,3	24,2	33,3	1,7
24.11.2022 03:00	331	0,3	10,6	11,1	24,6	27,1	2,1
24.11.2022 04:00	314	0,3	9,7	10,1	26,8	28,5	1,5
24.11.2022 05:00	305	0,3	8,5	8,9	28,6	21,2	1,3
24.11.2022 06:00	292	0,3	8,4	8,9	29,8	24	1,1
24.11.2022 07:00	298	0,5	9,2	10	28,9	21	1,1
24.11.2022 08:00	316	1,4	12,2	14,4	26,5	17,1	1,1
24.11.2022 09:00	307	2,5	13,8	17,7	26,2	21,9	1,3
24.11.2022 10:00	307	2,6	13,2	17,1	27,1	21,8	1,4
24.11.2022 11:00	329	5,3	16,2	24,4	25,5	16,1	1,2
24.11.2022 12:00	346	6,1	19,7	29,2	22,6	11,7	1,3
24.11.2022 13:00	354	6,1	20,6	30	22,4	10,2	1,3
24.11.2022 14:00	348	4,1	17,2	23,5	24,2	12,4	1,2
24.11.2022 15:00	371	3	17,9	22,6	22,5	9,6	1,1
24.11.2022 16:00	380	1,6	21,5	23,9	17,9	16,7	1,2
24.11.2022 17:00	371	0,4	27,4	28	11,3	12,7	1,1
24.11.2022 18:00	386	0,5	28,9	29,6	8,3	16,8	1,1
24.11.2022 19:00	418	1,8	34,3	37,1	5,6	14,2	1,4
24.11.2022 20:00	433	3,5	36,5	42	4,2	23,3	1,8
24.11.2022 21:00	379	0,8	28,8	30,1	8,8	22,9	1,8
24.11.2022 22:00	396	0,5	27,2	27,9	9	23,3	1,8
24.11.2022 23:00	392	0,6	24,4	25,3	9,8	46	1,9
25.11.2022	370	0,5	18,3	19,1	13,6	40,1	1,4
25.11.2022 01:00	373	0,4	15	15,7	16,1	45,4	1,3
25.11.2022 02:00	358	0,3	13,9	14,4	17,2	42,1	1,5
25.11.2022 03:00	357	0,3	15,3	15,7	16,1	31,6	1,6
25.11.2022 04:00	369	0,3	16,3	16,7	17,3	38,5	2,2
25.11.2022 05:00	349	0,3	14	14,5	22,6	29,5	1,9
25.11.2022 06:00	365	0,3	15,1	15,6	18,8	25,9	1,8
25.11.2022 07:00	391	0,4	16	16,6	15,9	31,4	2,2
25.11.2022 08:00	417	0,9	16,1	17,4	12,1	31,8	2,4
25.11.2022 09:00	457	3,8	14,8	20,7	12,4	37,3	2,5
25.11.2022 10:00	489	7,1	15,6	26,6	13,6	33,4	3
25.11.2022 11:00	521	7,3	15,6	26,9	15	33,4	2,3
25.11.2022 12:00	568	7,8	19,7	31,7	15	33	2,8
25.11.2022 13:00	597	7,9	21,6	33,8	14,5	28,1	2,9
25.11.2022 14:00	609	8,1	22	34,4	13,6	36,9	2,4
25.11.2022 15:00	642	9,6	25,2	39,9	9,8	41,1	2,7
25.11.2022 16:00	661	8	27,6	40	5,6	33,8	2,3
25.11.2022 17:00	712	4,2	29,4	35,8	4,4	58,2	1,9

25.11.2022 18:00	809	5,7	29,1	37,9	4,9	64,4	2
25.11.2022 19:00	865	10,4	27,7	43,7	4,9	64,5	2,4
25.11.2022 20:00	854	10,7	26,3	42,8	4,6	64,8	2,4
25.11.2022 21:00	807	8	26,5	38,8	4,4	57,2	2,7
25.11.2022 22:00	851	6,8	25,6	36	4,6	54,7	2,5
25.11.2022 23:00	951	6,7	23,9	34,3	4,9	42,1	2,1
26.11.2022	944	7,2	22,8	33,9	4,6	30,8	2
26.11.2022 01:00	956	7,5	21,9	33,6	4,7	31	2,1
26.11.2022 02:00	980	7,1	22,3	33,3	4,8	43,1	2
26.11.2022 03:00	933	6,1	22,2	31,6	4,5	41,7	1,9
26.11.2022 04:00	793	5,3	28,4	36,6	3,8	43,1	1,9
26.11.2022 05:00	798	6,8	26,1	36,6	3,9	41,1	2,1
26.11.2022 06:00	787	8,1	23,9	36,5	3,9	34,3	1,8
26.11.2022 07:00	780	8,7	20,3	33,8	3,8	39,6	1,3
26.11.2022 08:00	819	14,8	22,9	45,7	4,4	41,1	1,6
26.11.2022 09:00	848	20,9	22,5	54,8	5,6	36,6	1,6
26.11.2022 10:00	708	14,7	22,5	45,2	6,9	39,2	1,9
26.11.2022 11:00	567	8,4	18,6	31,5	9,9	38,7	1,8
26.11.2022 12:00	456	4,7	14,9	22,1	15,7	35,7	1,9
26.11.2022 13:00	387	2,6	14,2	18,1	19,1	29,7	1,8
26.11.2022 14:00	365	1,6	12,5	15	19,5	30,7	1,5
26.11.2022 15:00	366	0,8	12,3	13,5	18,9	32	1,4
26.11.2022 16:00	373	0,5	12,3	13,2	17,3	28,3	1,1
26.11.2022 17:00	374	0,1	11,5	11,7	18,6	31,5	1,1
26.11.2022 18:00	384	0,3	11,7	12,2	17,2	39,4	1,1
26.11.2022 19:00	381	0,4	11,3	12	16,7	34,7	1,2
26.11.2022 20:00	391	0,2	11,2	11,5	17	31,1	1,3
26.11.2022 21:00	375	0,2	9,9	10,3	18,5	26,5	1,4
26.11.2022 22:00	379	0,2	10,9	11,2	17,3	26	1,4
26.11.2022 23:00	387	0,4	12,3	12,9	15,2	33	1,4
27.11.2022	391	0,2	10,8	11	14,9	42,9	1,3
27.11.2022 01:00	399	0,3	12,2	12,6	12,6	49	1,9
27.11.2022 02:00	402	0,3	11,9	12,4	12,5	37,3	2,2
27.11.2022 03:00	407	0,2	12,4	12,7	11,2	31,6	2,9
27.11.2022 04:00	419	0,3	12,6	13,1	10,9	26,7	2,9
27.11.2022 05:00	412	0,3	11,5	12	11	36,2	2,1
27.11.2022 06:00	417	0,3	12,5	13	9,3	35,1	2,1
27.11.2022 07:00	447	0,5	13	13,8	7,6	37,2	2,1
27.11.2022 08:00	482	1,1	13,9	15,6	6,2	41,5	2,3
27.11.2022 09:00	481	3,2	12,7	17,7	7,5	34,8	2,2
27.11.2022 10:00	497	3,9	11,9	17,9	8,9	40,6	2,4
27.11.2022 11:00	491	4,3	11	17,6	10,5	32,5	2,7
27.11.2022 12:00	493	4	11,2	17,3	12,8	43,4	2,9
27.11.2022 13:00	483	2,6	12	15,9	16,3	45,8	3,1
27.11.2022 14:00	498	2,2	12,8	16,2	16,7	46,3	3,3
27.11.2022 15:00	505	1,7	13,4	15,9	15,8	41,5	3,2
27.11.2022 16:00	547	1	14,1	15,7	11,5	45	2,6
27.11.2022 17:00	627	0,4	15,7	16,4	9,5	44,9	2,7
27.11.2022 18:00	622	0,5	15,6	16,3	8,7	58,1	2,6
27.11.2022 19:00	702	1	15,1	16,6	6,2	55,2	2,3
27.11.2022 20:00	884	2,3	17,4	20,9	6,8	56,1	2,5

27.11.2022 21:00	840	1,6	14,4	16,8	7,1	53,4	2,1
27.11.2022 22:00	845	1,1	12,8	14,5	6,9	57,9	2,1
27.11.2022 23:00	838	0,9	13,1	14,5	6,9	56,1	1,4
28.11.2022	857	2,3	12,1	15,6	5,2	39,4	1,1
28.11.2022 01:00	789	4,2	14,1	20,6	4,9	54,2	1,4
28.11.2022 02:00	666	3,2	14,4	19,4	4,3	45,9	1,9
28.11.2022 03:00	631	5,9	16,1	25,3	3,8	34,9	2,3
28.11.2022 04:00	621	6	14,6	23,9	3,6	43,4	2,2
28.11.2022 05:00	640	6,1	12	21,5	3,7	37,8	1,9
28.11.2022 06:00	673	6,2	13,3	22,9	3,8	35,3	1,9
28.11.2022 07:00	750	14,6	16,3	38,8	4	49,3	2
28.11.2022 08:00	804	18,1	18,4	46,3	4,3	46,4	2
28.11.2022 09:00	746	15,4	14,9	38,7	5,2	47,7	2,2
28.11.2022 10:00	605	6,8	11,8	22,2	8	44,3	2
28.11.2022 11:00	516	4,7	11,5	18,7	10,2	40,1	2,5
28.11.2022 12:00	466	4,3	12,9	19,5	11,1	47,1	2,8
28.11.2022 13:00	444	4,4	15,2	22	11	34,8	3,5
28.11.2022 14:00	422	3,8	14	19,9	12,5	39,9	3,1
28.11.2022 15:00	394	1,7	13,3	16	15,1	31,2	3,2
28.11.2022 16:00	407	1,8	14,5	17,2	15,7	22,9	3,1
28.11.2022 17:00	416	1,6	16,8	19,2	14,2	26,7	2,8
28.11.2022 18:00	465	1,9	21,4	24,4	10,7	27,9	3
28.11.2022 19:00	427	1,6	22,1	24,5	10,2	25,5	4
28.11.2022 20:00	421	0,8	15,7	17	15,5	28,5	2,8
28.11.2022 21:00	436	0,8	14,5	15,7	16,6	27,3	3,1
28.11.2022 22:00	433	0,9	12,7	14	18,9	20,4	2,6
28.11.2022 23:00	397	0,6	9,7	10,6	24,2	15,3	2,3
29.11.2022	383	0,2	11,9	12,2	23,2	26,2	2,8
29.11.2022 01:00	382	0,4	15,2	15,9	19,4	29,3	4,5
29.11.2022 02:00	368	0,4	14,9	15,6	20,5	24,8	4,8
29.11.2022 03:00	357	0,3	13,3	13,7	22,9	26,2	4,9
29.11.2022 04:00	352	0,2	13,5	13,8	22,7	22,7	5,8
29.11.2022 05:00	356	0,3	11,1	11,6	23,4	24,1	5,1
29.11.2022 06:00	365	0,4	9,1	9,7	25,5	28	4,2
29.11.2022 07:00	359	0,6	8,5	9,5	28,3	23,5	3,5
29.11.2022 08:00	374	1,3	10,3	12,4	31,7	24,2	3,4
29.11.2022 09:00	362	1,1	10,3	12	32,2	27,6	3,8
29.11.2022 10:00	349	0,9	9,9	11,3	32,8	24,3	5,4
29.11.2022 11:00	345	1,5	10	12,2	33	23,7	7,5
29.11.2022 12:00	348	1,5	10,6	12,8	33,4	18,6	7,3
29.11.2022 13:00	343	1,3	11	13	34,8	25,4	7,9
29.11.2022 14:00	349	1,3	11,4	13,4	35,4	21,6	7
29.11.2022 15:00	354	0,9	11,5	12,8	36,1	19,5	5,3
29.11.2022 16:00	347	1,1	10,8	12,5	36	26,7	3,3
29.11.2022 17:00	349	0,8	10,4	11,6	38,4	19,6	2,9
29.11.2022 18:00	356	0,6	9,2	10,1	40,9	22,2	2,6
29.11.2022 19:00	369	0,4	9,2	9,8	40,4	22,4	2,6
29.11.2022 20:00	367	0,5	8,6	9,3	40,5	23,9	2,4
29.11.2022 21:00	356	0,3	7,7	8,1	41,2	17,6	2,5
29.11.2022 22:00	351	0,4	7,7	8,4	42,1	16,8	3,9
29.11.2022 23:00	350	0,3	7,4	7,8	42,3	21,4	4,3

30.11.2022	346	0,2	6,7	7	43	22,5	3,9
30.11.2022 01:00	331	0,3	6,2	6,6	43,7	24,6	3,3
30.11.2022 02:00	320	0,2	5,3	5,7	45,9	21,5	2,8
30.11.2022 03:00	309	0,2	4,9	5,3	47,4	20,2	2,7
30.11.2022 04:00	303	0,1	5,2	5,4	47,1	15	2,5
30.11.2022 05:00	298	0,2	6,2	6,5	45,1	17,8	1,7
30.11.2022 06:00	306	0,2	7,2	7,6	42,7	17,7	2,1
30.11.2022 07:00	315	0,9	9,5	11	37,4	19,3	2,7
30.11.2022 08:00	385	4,5	16,8	23,7	28,7	16,4	2,8
30.11.2022 09:00	377	1,6	15,4	17,8	23	12,4	3,4
30.11.2022 10:00	359	1,8	12,4	15,2	24,5	17,3	2,8
30.11.2022 11:00	331	2	13	16,1	28,7	24,1	1,9
30.11.2022 12:00	326	3	15,7	20,4	25,7	27,8	2,2
30.11.2022 13:00	332	1,4	12,2	14,3	30	23,6	
30.11.2022 14:00	328	1,8	10,7	13,5	34,2	26,6	
30.11.2022 15:00	332	1,2	12,1	13,9	33,2	23,1	
30.11.2022 16:00	347	1,2	13,9	15,7	31,5	24,9	1,5
30.11.2022 17:00	340	1,4	12,6	14,8	35,9	18,4	0,6
30.11.2022 18:00	336	0,7	15,1	16,2	29	27,7	3,1
30.11.2022 19:00	359	0,8	20,7	22	21,5	20,5	2,6
30.11.2022 20:00	374	1,8	17	19,7	22,3	22,1	2,1
30.11.2022 21:00	415	0,7	14,6	15,7	21,9	22,4	0,6
30.11.2022 22:00	413	0,5	12,5	13,3	21	26	0,4
30.11.2022 23:00	426	1,1	12,1	13,8	16	21,4	0,2
01.12.2022	414	0,9	11,4	12,8	13,8	18,1	0,6
01.12.2022 01:00	397	0,5	10,3	11	13,3	18,3	0,7
01.12.2022 02:00	361	0,5	9,3	10	13,8	22,4	0,5
01.12.2022 03:00	331	0,3	7,9	8,4	14,7	17,7	0,3
01.12.2022 04:00	299	0,2	7,1	7,5	14,6	17,7	0,1
01.12.2022 05:00	288	0,3	7,2	7,7	14,4	18,6	0,2
01.12.2022 06:00	292	0,6	8,3	9,2	12,3	16,7	0,1
01.12.2022 07:00	292	1,8	10	12,8	9	12,9	0,2
01.12.2022 08:00	334	4,2	12,7	19,2	7,1	15,2	0,3
01.12.2022 09:00	307	4	11,9	18,1	7,9	19,1	0,3
01.12.2022 10:00	294	3,7	10,2	16	9,4	15,1	0,1
01.12.2022 11:00	318	4,8	11,1	18,5	9,1	16,3	0,4
01.12.2022 12:00	309	2,8	10,3	14,7	12,1	12,7	0,8
01.12.2022 13:00	311	3,3	10,6	15,7	13,1	16,3	0,8
01.12.2022 14:00	322	2,6	12,9	17	19	18,9	1
01.12.2022 15:00	282	1,4	11,2	13,3	33,6	16,5	0,7
01.12.2022 16:00	273	1,3	10,5	12,5	41,8	14,9	0,7
01.12.2022 17:00	247	1,5	9,6	11,9	42,6	21,2	0,4
01.12.2022 18:00	247	0,7	8,4	9,5	42,2	16,3	0,2
01.12.2022 19:00	289	1,2	12,3	14,1	36,3	15,1	0,8
01.12.2022 20:00	293	0,5	10,9	11,8	32,1	12	1,2
01.12.2022 21:00	285	0,5	7,1	7,9	36,2	14,6	0,5
01.12.2022 22:00	278	0,6	6,3	7,3	34,3	15,3	0,4
01.12.2022 23:00	270	0,6	5,7	6,6	38	22,7	0,4
02.12.2022	267	0,5	5,5	6,3	36,6	19,3	0,4
02.12.2022 01:00	270	0,2	6,5	6,9	34,6	20,1	0,9
02.12.2022 02:00	257	0,4	6,3	6,9	38,1	18,6	0,7

02.12.2022 03:00	262	0,3	4,8	5,3	32,5	14,2	0,3
02.12.2022 04:00	256	0,2	4,5	4,9	33	17,9	0,2
02.12.2022 05:00	253	0,3	4,4	4,9	32,4	15,6	0,2
02.12.2022 06:00	245	0,4	4,3	4,8	35,2	20,7	0,2
02.12.2022 07:00	251	0,4	4,5	5,1	35	18,5	0,3
02.12.2022 08:00	270	1,9	6,9	9,9	30,9	19,4	0,2
02.12.2022 09:00	269	1	6,9	8,4	29,9	18,9	0,2
02.12.2022 10:00	261	0,7	5,8	6,9	32,8	20,9	0,3
02.12.2022 11:00	262	1,5	8	10,2	30,4	21,3	0,8
02.12.2022 12:00	274	1,8	8,8	11,7	27,7	25,6	0,9
02.12.2022 13:00	283	1,1	8,7	10,4	28,5	18,8	1,1
02.12.2022 14:00	303	1,7	9,7	12,3	28,1	21,5	1,4
02.12.2022 15:00	296	1,3	14	16	24,9	22,4	2,3
02.12.2022 16:00	315	1	9,1	10,8	28,1	33	0,7
02.12.2022 17:00	328	1,5	10,2	12,5	27,3	34,1	0,7
02.12.2022 18:00	341	0,7	9,6	10,7	26,7	35,1	0,2
02.12.2022 19:00	353	1,1	9,6	11,4	26,6	28,4	0,3
02.12.2022 20:00	359	0,7	9,6	10,6	25,5	42,3	0,5
02.12.2022 21:00	362	0,5	9,5	10,3	24	38,5	0,3
02.12.2022 22:00	351	0,6	9,1	10,1	23	38,4	0,5
02.12.2022 23:00	356	0,6	9,3	10,2	22,7	34,7	0,6
03.12.2022	363	0,4	11,4	12	21,1	36	1,5
03.12.2022 01:00	353	0,5	11,1	11,8	21,1	32,8	1,6
03.12.2022 02:00	348	0,5	12,5	13,2	19	31,6	3,6
03.12.2022 03:00	341	0,8	11,5	12,7	19	31,2	1,4
03.12.2022 04:00	338	0,8	11,6	12,8	18,3	36,5	1,3
03.12.2022 05:00	334	0,4	11	11,5	17,8	41,6	1,2
03.12.2022 06:00	331	0,4	10,5	11,2	16,9	34,3	1,1
03.12.2022 07:00	324	0,6	9,8	10,8	16,8	33,4	0,8
03.12.2022 08:00	326	0,8	9,3	10,5	16,2	32,1	0,7
03.12.2022 09:00	342	1,2	9,8	11,6	15,1	33,2	0,9
03.12.2022 10:00	349	2,9	10,2	14,7	14,2	38	0,8
03.12.2022 11:00	379	3,2	10	14,9	14,2	35,1	1,3
03.12.2022 12:00	401	3,8	11,3	17,1	12,6	35,5	2
03.12.2022 13:00	430	4,8	12,4	19,9	11,3	31	2,7
03.12.2022 14:00	422	4,8	13,9	21,2	9,6	38,2	2,4
03.12.2022 15:00	451	5	15,8	23,5	8	38,9	2,2
03.12.2022 16:00	474	3,1	17,2	22	6,4	51,2	1,7
03.12.2022 17:00	468	3,2	17,2	22,1	5,4	64,7	1,3
03.12.2022 18:00	475	2	16,9	19,9	5,1	77,1	1,2
03.12.2022 19:00	533	3,1	18,3	23,1	5,1	76,1	1,4
03.12.2022 20:00	481	1,2	16,5	18,4	7,5	86,4	1,8
03.12.2022 21:00	463	1	16	17,5	8	81,7	2,2
03.12.2022 22:00	448	0,7	14	15,1	10,6	58	2,6
03.12.2022 23:00	412	0,5	11,3	12	14,9	49,3	2,6
04.12.2022	381	0,4	10,2	10,9	16,8	42,9	2,4
04.12.2022 01:00	366	0,4	8,9	9,5	18,7	37,2	2,2
04.12.2022 02:00	352	0,3	7,1	7,6	20,7	27,6	1,5
04.12.2022 03:00	343	0,2	6,5	6,8	21,4	33,4	1,2
04.12.2022 04:00	336	0,3	6,4	6,8	21,2	29	1,3
04.12.2022 05:00	331	0,3	5,9	6,4	21,1	29,8	1,2

04.12.2022 06:00	312	0,2	5,1	5,4	22	24,9	1
04.12.2022 07:00	302	0,3	5,4	5,9	21,7	25	0,9
04.12.2022 08:00	297	0,4	5,7	6,3	21	24,8	1
04.12.2022 09:00	288	0,5	5,1	5,9	23,7	25,1	0,8
04.12.2022 10:00	281	0,5	4,3	5,2	26,3	19,9	0,8
04.12.2022 11:00	283	0,5	4,7	5,5	26,3	18,1	0,8
04.12.2022 12:00	282	0,8	4,6	5,7	27,5	17	0,9
04.12.2022 13:00	305	0,6	4,5	5,4	29,9	23,4	0,8
04.12.2022 14:00	268	0,8	4,7	6	32,6	16,6	0,8
04.12.2022 15:00	281	0,5	5	5,8	30,9	12,9	0,7
04.12.2022 16:00	295	0,5	5,7	6,4	27	11,5	0,6
04.12.2022 17:00	298	0,5	6	6,7	26	9,6	0,6
04.12.2022 18:00	309	0,6	6,7	7,6	24,7	13,4	0,6
04.12.2022 19:00	302	0,5	5,9	6,8	26,1	14,9	0,6
04.12.2022 20:00	284	0,5	5,7	6,5	28,7	17	0,7
04.12.2022 21:00	278	0,4	5,2	5,7	30,2	15,8	0,6
04.12.2022 22:00	280	0,3	5	5,4	31,6	13,1	0,7
04.12.2022 23:00	276	0,4	4,8	5,4	30,7	17,6	0,5
05.12.2022	274	0,3	4,7	5,2	31,3	13,7	0,6
05.12.2022 01:00	274	0,2	4,5	4,8	32,3	14,7	0,7
05.12.2022 02:00	272	0,4	4,5	5,1	31,7	12,6	0,5
05.12.2022 03:00	273	0,2	4,5	4,8	30,5	12,5	0,4
05.12.2022 04:00	270	0,2	4,3	4,6	31	14,3	0,3
05.12.2022 05:00	269	0,3	4,2	4,7	31,2	12,1	0,4
05.12.2022 06:00	272	0,2	5	5,3	30	14,5	0,4
05.12.2022 07:00	278	0,6	5,9	6,9	28	17,7	0,5
05.12.2022 08:00	297	1,2	6,7	8,6	26	13,6	0,5
05.12.2022 09:00	293	3,6	8,3	13,9	24	10,4	0,8
05.12.2022 10:00	298	9,6	9,8	24,7	21,8	9,1	1,4
05.12.2022 11:00	313	8,4	9,9	22,9	21	10,3	2
05.12.2022 12:00	319	2,3	8,4	11,9	21	17,8	2,6
05.12.2022 13:00	344	2,5	9,8	13,7	19,5	18,2	3,2
05.12.2022 14:00	348	2,7	10,6	14,8	17,9	19,3	3,3
05.12.2022 15:00	350	1,6	11,1	13,6	16,1	21,8	3,3
05.12.2022 16:00	363	2,1	13,1	16,4	13,6	26,6	2,9
05.12.2022 17:00	370	2	16	19,1	9,9	31,1	2,7
05.12.2022 18:00	376	1,3	17,3	19,4	8,9	32,6	2,8
05.12.2022 19:00	498	2,6	19,4	23,4	7,8	32,7	2,8
05.12.2022 20:00	469	1,6	16,1	18,6	9,7	43,1	2,7
05.12.2022 21:00	450	1,1	14,4	16,1	10,8	31,4	2,6
05.12.2022 22:00	456	1	15	16,6	10,6	29,8	2,4
05.12.2022 23:00	443	0,6	13,1	14,1	11,6	34,4	1,9
06.12.2022	421	0,4	12,2	12,8	12,3	33,9	1,5
06.12.2022 01:00	394	0,4	11,8	12,4	12,5	32,8	1,4
06.12.2022 02:00	389	0,5	12,9	13,8	10,6	31,2	1,2
06.12.2022 03:00	393	0,9	14,1	15,5	9,1	30,5	1,3
06.12.2022 04:00	384	0,7	14,3	15,3	8,2	29	1,1
06.12.2022 05:00	368	0,8	12,4	13,5	9,4	24,5	1,1
06.12.2022 06:00	375	1	13,3	14,8	7,7	23,8	1,3
06.12.2022 07:00	389	2,5	15,4	19,2	5,5	20,4	1,2
06.12.2022 08:00	396	4,4	15,1	21,8	6,3	17,3	1

06.12.2022 09:00	363	3,9	13,2	19,3	7,4	15,5	1,1
06.12.2022 10:00	376	3,5	12,4	17,8	8,9	21	1,1
06.12.2022 11:00	382	4,7	13	20,2	9,2	18,4	1,3
06.12.2022 12:00	389	4,9	13,3	20,9	10	28,8	1,2
06.12.2022 13:00	387	4	13,5	19,7	9,4	21,4	1,3
06.12.2022 14:00	397	3,9	14,2	20,3	9	16,6	1,4
06.12.2022 15:00	418	4,8	16,4	23,8	6,5	25,9	1,2
06.12.2022 16:00	461	5,4	18,8	27,2	4,4	25,4	1,1
06.12.2022 17:00	437	2,9	15,7	20,2	3,2	20,6	1,1
06.12.2022 18:00	413	2,3	14,5	18,1	3,1	18,7	1
06.12.2022 19:00	446	3,9	16,5	22,5	3,3	17,4	0,7
06.12.2022 20:00	503	4,9	17,8	25,3	3,7	15,8	0,7
06.12.2022 21:00	558	3,3	17,5	22,5	4	14,1	0,6
06.12.2022 22:00	607	5	17,2	24,9	4,2	15,9	0,8
06.12.2022 23:00	770	8,5	17,4	30,6	4,7	19,7	1
07.12.2022	633	3	20,5	25,1	3,8	31,2	1
07.12.2022 01:00	630	5,4	19,9	28,2	3,5	29,8	1,1
07.12.2022 02:00	620	6,8	17,7	28,2	3,4	21,8	1,2
07.12.2022 03:00	654	9	16,7	30,6	3,5	22,1	1,4
07.12.2022 04:00	644	7,7	17,3	29,1	3,4	22,3	1,4
07.12.2022 05:00	625	7,8	16,4	28,4	3,4	15,9	0,8
07.12.2022 06:00	606	7,7	15,8	27,6	3,4	11,4	0,6
07.12.2022 07:00	550	6,9	15,3	26	3,4	10,6	1
07.12.2022 08:00	531	9,1	14,4	28,5	3,4	9,9	0,8
07.12.2022 09:00	534	10,7	13,4	29,9	4,1	7,5	0,9
07.12.2022 10:00	491	8,4	15,1	28	5,3	8,1	0,8
07.12.2022 11:00	368	3,1	12	16,7	18,9	10,6	0,9
07.12.2022 12:00	357	1,7	13	15,7	22,6	9,6	1
07.12.2022 13:00	377	1,9	14,8	17,8	20,2	13,9	0,9
07.12.2022 14:00	415	3	16,5	21,1	10,2	10,8	1
07.12.2022 15:00	319	0,5	12,3	13,1	30,7	8,6	1
07.12.2022 16:00	272	0,2	7,9	8,2	46,9	7,4	0,8
07.12.2022 17:00	294	0,4	9,1	9,7	42,4	9,6	1
07.12.2022 18:00	301	0,1	10,4	10,6	39,4	9	1
07.12.2022 19:00	297	0,1	10,1	10,3	40	16,1	1
07.12.2022 20:00	289	0,2	9,7	10	41,6	16,4	1,1
07.12.2022 21:00	268	0,1	7,7	7,9	46,6	12,2	0,9
07.12.2022 22:00	254	0,3	6,7	7,1	49,9	8,9	1
07.12.2022 23:00	256	0,2	6,3	6,6	49,8	7,1	0,8
08.12.2022	279	0,1	7,4	7,6	43,2	10	0,6
08.12.2022 01:00	281	0,3	7,8	8,2	40,4	12,4	0,7
08.12.2022 02:00	292	0,3	8,6	9	39,1	20,8	0,9
08.12.2022 03:00	271	0,3	7,8	8,2	42,5	15,6	1,2
08.12.2022 04:00	243	0,3	6,5	7	49,4	12	0,8
08.12.2022 05:00	248	0,1	6,4	6,5	47,3	10,2	0,7
08.12.2022 06:00	250	0,2	6,2	6,5	46	16,5	0,7
08.12.2022 07:00	265	0,2	7	7,4	42,2	12,8	0,7
08.12.2022 08:00	300	0,3	8,9	9,3	38,3	9,9	0,8
08.12.2022 09:00	318	0,9	9,4	10,7	37,6	14,4	0,9
08.12.2022 10:00	321	1,4	11,9	14	32,7	19,2	1,2
08.12.2022 11:00	340	2,4	10,5	14,1	29,4	17,8	1,4

08.12.2022 12:00	368	3	11,3	15,9	27,7	18,1	1,5
08.12.2022 13:00	378	2,4	11,5	15,2	29,1	13,4	1,4
08.12.2022 14:00	380	1,8	13	15,7	32,8	13,1	1,8
08.12.2022 15:00	379	1,2	14,9	16,7	35,9	17,9	2,2
08.12.2022 16:00	410	0,6	19,3	20,2	25,8	13,8	2,5
08.12.2022 17:00	422	0,6	19,2	20,1	25,7	10,6	2,3
08.12.2022 18:00	412	0,4	22	22,6	22,5	14,5	2,3
08.12.2022 19:00	462	0,5	24,3	25,1	18,8	20,7	2,3
08.12.2022 20:00	514	1,1	30	31,7	15,2	24,5	2,9
08.12.2022 21:00	456	0,4	18,1	18,7	26,8	25,4	2,5
08.12.2022 22:00	456	0,4	15,6	16,2	28,8	26,1	2,8
08.12.2022 23:00	391	0,3	11,4	11,8	33,1	35,4	1,5
09.12.2022	443	0,3	13,9	14,4	28,9	37,4	2,7
09.12.2022 01:00	432	0,6	21,4	22,4	20,1	40	2,5
09.12.2022 02:00	446	0,4	19,2	19,8	18,2	30,1	2,1
09.12.2022 03:00	442	0,5	19,2	20	16,4	27,5	1,7
09.12.2022 04:00	457	0,4	16,9	17,6	17,9	31,5	2,1
09.12.2022 05:00	457	0,4	20,1	20,8	14,6	26,7	2,5
09.12.2022 06:00	454	0,5	19,2	19,9	14,6	36	2,6
09.12.2022 07:00	485	0,3	14,7	15,2	16	30,1	1,6
09.12.2022 08:00	504	0,7	16,1	17,2	17,2	28,6	2,2
09.12.2022 09:00	620	3,7	18,8	24,5	14,5	39,8	2,6
09.12.2022 10:00	592	7	20	30,9	13,7	43,5	2,4
09.12.2022 11:00	643	5,4	17,5	25,8	21,9	46,6	2,1
09.12.2022 12:00	590	5,1	15,6	23,4	21,4	43,6	2,4
09.12.2022 13:00	519	4,2	13,8	20,2	26,5	52,1	2,2
09.12.2022 14:00	500	5	17,3	24,9	25,6	38,4	2,8
09.12.2022 15:00	478	2,4	12,8	16,4	13,5	36,6	0,7
09.12.2022 16:00	469	1	15	16,5	11	27,2	0,4
09.12.2022 17:00	672	14,6	25,5	48,1	7,4	36	0,5
09.12.2022 18:00	975	46,1	36	107,1	5,9	54,1	1,4
09.12.2022 19:00	968	25,2	33,9	72,8	6,2	65,3	1,1
09.12.2022 20:00	950	17,3	33,3	59,9	5,9	78,9	3
09.12.2022 21:00	847	11,7	33,1	51,1	5,1	80,7	2,7
09.12.2022 22:00	865	17	32,5	58,7	4,9	73,7	2,6
09.12.2022 23:00	938	21,9	31,9	65,7	5,3	72,9	2,8
10.12.2022	800	9,3	38,9	53,2	6,3	71,2	2,6
10.12.2022 01:00	672	1,9	33,9	36,9	14,2	72,2	2,6
10.12.2022 02:00	530	0,6	20,2	21,2	26,2	69,2	1,4
10.12.2022 03:00	566	0,5	21,4	22,1	19,2	63,6	1,1
10.12.2022 04:00	553	0,6	19,4	20,3	16,8	54,6	1,2
10.12.2022 05:00	508	0,4	17,1	17,8	19,8	57,7	1
10.12.2022 06:00	476	0,6	15,8	16,7	19,4	50,5	1,2
10.12.2022 07:00	468	0,7	14,8	15,8	18,1	47,5	0,7
10.12.2022 08:00	443	1,2	15,6	17,5	16,1	39,3	1,2
10.12.2022 09:00	418	1,3	16,9	19	17,9	36	2
10.12.2022 10:00	414	2,4	16,9	20,6	20,9	35	1,9
10.12.2022 11:00	405	2,5	18,5	22,3	22,5	38,3	2,1
10.12.2022 12:00	382	2,9	16,6	21	24,2	31,6	1,4
10.12.2022 13:00	382	2,7	14,7	18,9	26,8	23,7	1,4
10.12.2022 14:00	376	2	11,8	14,9	29,7	19,5	0,5

10.12.2022 15:00	386	1,1	12,2	14	29,1	18,3	0,6
10.12.2022 16:00	406	1,2	13,5	15,3	26,9	30,9	0,7
10.12.2022 17:00	409	1,1	12,9	14,6	26,2	28,9	0,3
10.12.2022 18:00	397	1,2	12,6	14,5	27,1	25,6	0,4
10.12.2022 19:00	403	0,8	11,8	13	28,5	31,9	0,7
10.12.2022 20:00	377	0,4	10,2	11	32,8	41,5	0,6
10.12.2022 21:00	380	0,4	12,3	12,9	29,5	35,4	0,6
10.12.2022 22:00	406	0,4	15,2	15,8	25,8	38,5	0,6
10.12.2022 23:00	388	0,4	10,5	11,2	28,1	41,5	0,5
11.12.2022	377	0,5	8,8	9,5	28,3	47,9	0,4
11.12.2022 01:00	363	0,3	7,6	8,1	29,7	43,9	0,2
11.12.2022 02:00	362	0,4	7,5	8,2	28,4	36,4	0,3
11.12.2022 03:00	371	0,4	11,7	12,3	23,1	34,7	0,8
11.12.2022 04:00	367	0,4	11,9	12,5	24,5	29,9	0,8
11.12.2022 05:00	358	0,3	10,2	10,7	26,3	31,4	0,5
11.12.2022 06:00	347	0,2	8,7	9,1	26,1	32,2	0,3
11.12.2022 07:00	330	0,3	10	10,5	29,8	24	0,5
11.12.2022 08:00	334	0,3	8,2	8,8	32,3	21,3	0,4
11.12.2022 09:00	340	0,8	9,5	10,7	29,6	18	0,9
11.12.2022 10:00	339	0,9	8,7	10,1	31,2	19	1
11.12.2022 11:00	328	0,9	6,9	8,3	33,7	20,1	0,7
11.12.2022 12:00	326	0,9	5,8	7,2	33,7	14,5	0,3
11.12.2022 13:00	327	0,8	6,3	7,5	34,3	11,1	0,4
11.12.2022 14:00	324	0,5	5,9	6,7	35,9	9,3	0,2
11.12.2022 15:00	326	0,4	6,3	7	38,2	12,9	0,3
11.12.2022 16:00	327	0,3	6,5	7	38,4	11,4	0,2
11.12.2022 17:00	338	0,2	6,6	6,9	36,9	15,2	0,2
11.12.2022 18:00	341	0,2	7,5	7,9	35,2	13,9	0,4
11.12.2022 19:00	352	0,2	8,3	8,5	33	11	0,5
11.12.2022 20:00	363	0,3	8,9	9,3	33,1	10,8	0,4
11.12.2022 21:00	359	0,1	7,1	7,3	33,8	16,7	0,2
11.12.2022 22:00	355	0,3	6,8	7,3	34,9	18,2	0,3
11.12.2022 23:00	352	0,2	6,6	7	35	13,4	0,4
12.12.2022	365	0,2	7,3	7,6	35,1	13,2	0,6
12.12.2022 01:00	371	0,2	8,5	8,8	34,1	21	1
12.12.2022 02:00	367	0,2	8,7	9,1	34	22,4	1,5
12.12.2022 03:00	348	0,2	7,7	8,1	38,6	15,9	1,2
12.12.2022 04:00	333	0,3	7	7,4	41,7	13,5	1,3
12.12.2022 05:00	320	0,3	7	7,5	42,8	24,9	1,4
12.12.2022 06:00	308	0,3	6,3	6,7	43,3	18,3	1
12.12.2022 07:00	301	0,2	6	6,2	47,3	13,7	0,8
12.12.2022 08:00	321	0,2	6,9	7,2	40,5	15,5	0,7
12.12.2022 09:00	332	0,5	7,6	8,4	40,2	11,9	0,7
12.12.2022 10:00	322	1	7,6	9,1	41,5	13,3	1
12.12.2022 11:00	287	0,8	6,9	8,2	49,8	15,2	1,1
12.12.2022 12:00	277	0,7	6,9	8,1	50,2	12,7	0,9
12.12.2022 13:00	288	1,1	7,7	9,4	51,8	9,5	1,3
12.12.2022 14:00	297	1	8,3	9,9	41,1	7	1,7
12.12.2022 15:00	296	0,4	8,7	9,4	47,6	8,8	1,3
12.12.2022 16:00	306	0,3	8,9	9,4	41,9	10,3	0,9
12.12.2022 17:00	295	0,2	8,5	8,9	46,2	16,7	0,9

12.12.2022 18:00	293	0,2	8,6	8,9	46,9	11,8	1,2
12.12.2022 19:00	288	0,3	8	8,5	39,3	9,5	1,3
12.12.2022 20:00	277	0,2	6,8	7,1	44,7	7,6	0,9
12.12.2022 21:00	284	0,3	6,5	7	52,3	8,6	1
12.12.2022 22:00	279	0,2	6,1	6,3	44,6	12,2	0,5
12.12.2022 23:00	276	0,2	5,9	6,2	42	12,8	0,7
13.12.2022	266	0,1	5,2	5,4	50,2	11,7	0,6
13.12.2022 01:00	260	0,2	4,8	5,1	50,2	12,6	0,4
13.12.2022 02:00	267	0,2	5,4	5,7	46	12,3	0,5
13.12.2022 03:00	256	0,2	5,3	5,6	46	9,8	0,7
13.12.2022 04:00	260	0,2	6,3	6,5	35,3	8,2	0,6
13.12.2022 05:00	264	0,3	6,2	6,7	35,4	9,3	0,7
13.12.2022 06:00	265	0,2	6,2	6,5	41,1	11,2	0,9
13.12.2022 07:00	254	0,2	5,8	6,2	41,3	9,1	0,6
13.12.2022 08:00	253	0,3	6,3	6,7	38,2	7,3	0,6
13.12.2022 09:00	255	0,4	5,8	6,4	45,8	9,1	0,3
13.12.2022 10:00	257	0,6	6,1	7,1	45,8	6,9	0,9
13.12.2022 11:00	265	1,1	8,2	9,9	42,5	6,1	1,3
13.12.2022 12:00	274	1,2	8,2	10,1	47,2	12,6	1,2
13.12.2022 13:00	265	0,8	7,5	8,7	49,9	11,4	1,2
13.12.2022 14:00	271	0,6	7,5	8,4	52,4	9,5	1,3
13.12.2022 15:00	276	0,4	7,9	8,6	50,3	12,9	1,1
13.12.2022 16:00	299	0,3	10,4	10,9	45,4	9,7	1,2
13.12.2022 17:00	349	0,3	12,7	13,1	46,9	7,8	1,3
13.12.2022 18:00	372	0,2	13,6	14	39,5	17,3	1,7
13.12.2022 19:00	446	0,5	16,8	17,5	36,3	13,1	1,5
13.12.2022 20:00	473	0,4	17,7	18,3	34,5	17,1	1,5
13.12.2022 21:00	560	0,5	17,9	18,6	33,1	27,4	1,4
13.12.2022 22:00	519	0,5	17,9	18,6	31,6	30,5	1,7
13.12.2022 23:00	490	0,5	17,9	18,7	30,2	27,1	1,5
14.12.2022	481	0,4	17,8	18,4	30	38,9	1,8
14.12.2022 01:00	561	0,5	18,8	19,6	27	27,7	2,1
14.12.2022 02:00	572	0,5	18,3	19	26,7	35,6	2,3
14.12.2022 03:00	523	0,4	15,9	16,5	28,8	33,1	1,9
14.12.2022 04:00	510	0,4	14,6	15,2	28	35,7	1,6
14.12.2022 05:00	489	0,5	17,1	17,9	25,7	37,6	2,1
14.12.2022 06:00	470	0,5	18,7	19,4	25,5	42,6	2,5
14.12.2022 07:00	459	0,4	17,8	18,5	28,8	34,9	2,6
14.12.2022 08:00	447	0,7	21	22,2	25,3	25,1	3,4
14.12.2022 09:00	494	7,5	24,7	36,3	21,9	27,7	4,5
14.12.2022 10:00	486	6,8	18,7	29,1	30,8	33,4	4,5
14.12.2022 11:00	582	13	26,2	46,3	30,7	37,4	7,8
14.12.2022 12:00	596	11,5	24,7	42,5	35,6	49,7	5,5
14.12.2022 13:00	519	5	16,4	24,1	41,2	43,2	4,9
14.12.2022 14:00	476	3,5	15,7	21,1	44,6	39	3,2
14.12.2022 15:00	494	2,8	18	22,3	41,5	37,5	2,3
14.12.2022 16:00	530	3	27,9	32,4	31,6	43,3	1,6
14.12.2022 17:00	527	1,6	25,3	27,7	35,6	42	1,5
14.12.2022 18:00	533	0,7	20,4	21,5	39,2	60,6	1,8
14.12.2022 19:00	538	0,8	20,5	21,8	39,9	55,9	1,7
14.12.2022 20:00	484	0,6	16,9	17,9	41,8	54,2	1,6

14.12.2022 21:00	494	1,3	16,3	18,4	39,1	50,8	1,4
14.12.2022 22:00	527	0,7	17,9	19	36,6	45,5	1,7
14.12.2022 23:00	538	0,7	22,1	23,1	30,9	45	2,3
15.12.2022	529	0,8	32,8	34,1	21,2	43,5	5,8
15.12.2022 01:00	512	2,2	26,3	29,7	26,1	39,5	4,9
15.12.2022 02:00	528	0,7	28,4	29,4	22,1	38,5	6,1
15.12.2022 03:00	545	1	29,7	31,3	20,1	39	8,4
15.12.2022 04:00	519	0,5	23,5	24,4	24,2	35,8	6
15.12.2022 05:00	485	0,3	18,7	19,2	24,7	35,1	5,3
15.12.2022 06:00	510	0,3	20,2	20,7	25,7	36,1	5,7
15.12.2022 07:00	522	0,4	19,2	19,8	24,2	34,2	4,3
15.12.2022 08:00	520	0,4	16,5	17,1	29,5	35,4	3,3
15.12.2022 09:00	559	1,2	18,5	20,4	26,6	27,4	3,7
15.12.2022 10:00	591	2,4	20	23,7	27	21,3	4,1
15.12.2022 11:00	610	3,4	20,6	25,7	26,1		4,4
15.12.2022 12:00	628	3,6	19,1	24,7	28,3		5
15.12.2022 13:00	639	4,1	21,6	27,9	29,3		7,5
15.12.2022 14:00	575	2,6	21,2	25,3	34		7,9
15.12.2022 15:00	535	1,3	21	23	36,9		6,6
15.12.2022 16:00	482	0,5	19,1	19,9	42,7	24,6	5,7
15.12.2022 17:00	424	0,1	15,9	16	49,6	26,9	5,2
15.12.2022 18:00	406	0,3	13,6	14	49,1	28,7	4,4
15.12.2022 19:00	502	0,3	17	17,5	41,9	28,8	3,7
15.12.2022 20:00	570	0,4	19,7	20,3	33,7	30	2,4
15.12.2022 21:00	562	0,6	19,5	20,4	31,8	28,8	1,3
15.12.2022 22:00	480	0,4	17	17,6	31,6	24,9	1,3
15.12.2022 23:00	657	0,6	24,1	25	30,3	31,3	2
16.12.2022	903	1,4	40,8	43	20,7	35,7	3,4
16.12.2022 01:00	885	1,2	39,5	41,4	16,9	30,3	2,9
16.12.2022 02:00	759	0,8	28,2	29,5	22,7	53	2,5
16.12.2022 03:00	673	0,6	23,4	24,3	27,3	65,4	3,9
16.12.2022 04:00	544	0,4	16,2	16,8	35,8	54,5	3
16.12.2022 05:00	486	0,5	14,5	15,3	39,5	53,7	3,4
16.12.2022 06:00	486	0,6	20	20,9	33,3	57,9	8,1
16.12.2022 07:00	484	0,9	20,6	22,1	31,2	50,2	8,3
16.12.2022 08:00	523	1,7	21,7	24,4	30,1	41,8	7,6
16.12.2022 09:00	520	2	19,4	22,4	31,1	53	4,8
16.12.2022 10:00	517	2	17,9	21	32,5	56,4	4,1
16.12.2022 11:00	521	2,7	18,3	22,5	33	53,2	3,6
16.12.2022 12:00	507	3,4	17,1	22,3	33,2	55,4	2,9
16.12.2022 13:00	497	3,3	16	21	29,8	63,8	2,7
16.12.2022 14:00	481	2,4	14,3	18,1	33,9	62,5	2,7
16.12.2022 15:00	448	2,3	16,5	20	36	56,5	2,2
16.12.2022 16:00	447	0,8	17,6	18,8	36	38,6	2
16.12.2022 17:00	461	0,8	18,9	20,1	34,6	30,9	1,9
16.12.2022 18:00	462	1,2	22	23,8	32,3	24,3	2,5
16.12.2022 19:00	483	1	28,7	30,3	26,1	21,4	2,8
16.12.2022 20:00	479	1,2	29,6	31,4	25,7	20	3,2
16.12.2022 21:00	468	1	26,1	27,6	28,7	25,8	3,2
16.12.2022 22:00	464	0,6	24,8	25,7	30,1	24,2	3,2
16.12.2022 23:00	448	0,6	23,4	24,3	31,2	28,4	3,1

17.12.2022	447	0,5	23,9	24,6	30,4	45,7	3,2
17.12.2022 01:00	440	0,5	22,2	22,9	31,1	41,2	3
17.12.2022 02:00	408	0,5	19,6	20,4	32,2	36,3	2,8
17.12.2022 03:00	399	0,3	16,3	16,7	35,1	35,9	2,5
17.12.2022 04:00	397	0,2	15,2	15,6	35,2	40,5	2,7
17.12.2022 05:00	389	0,4	13,2	13,9	36,3	39,1	2,9
17.12.2022 06:00	374	0,3	10,8	11,2	38,4	39,1	2,1
17.12.2022 07:00	370	0,4	10	10,6	38,8	31	2
17.12.2022 08:00	369	0,4	10,4	11	39,3	27,4	2,1
17.12.2022 09:00	367	0,5	9,4	10,2	40,8	31,3	1,6
17.12.2022 10:00	367	0,9	9,2	10,5	41,4	29,8	1,6
17.12.2022 11:00	370	1,1	9,5	11,1	42,5	28,3	0,9
17.12.2022 12:00	357	1,1	7,4	9,1	46,1	22,9	0,6
17.12.2022 13:00	351	0,7	7,3	8,4	47,8	25,1	0,3
17.12.2022 14:00	369	0,8	9	10,2	47,7	27,5	0,6
17.12.2022 15:00	408	0,9	12,5	13,9	44,3	21,7	2,2
17.12.2022 16:00	425	0,5	14,3	15	40,8	30,7	1,5
17.12.2022 17:00	396	0,3	11,2	11,6	42,2	33,8	0,6
17.12.2022 18:00	388	0,2	10,3	10,7	41,8	42	0,4
17.12.2022 19:00	405	0,4	10,7	11,2	41	47,1	0,6
17.12.2022 20:00	385	0,3	9,5	10	43,3	46,6	0,2
17.12.2022 21:00	378	0,3	9,4	9,8	44	40,6	0,2
17.12.2022 22:00	344	0,2	7,3	7,6	48,6	51,5	0,2
17.12.2022 23:00	337	0,3	7,1	7,5	51,1	52,4	1,1
18.12.2022	335	0,2	6,7	7,1	51,5	49,9	1,2
18.12.2022 01:00	336	0,2	7,5	7,9	48,9	38,4	1,4
18.12.2022 02:00	346	0,3	8	8,4	47,1	34,3	1,3
18.12.2022 03:00	355	0,3	8,2	8,6	44,7	32,6	1,5
18.12.2022 04:00	336	0,3	7,5	7,9	46,1	26,1	0,9
18.12.2022 05:00	342	0,2	7,7	8	45,1	25,9	1,1
18.12.2022 06:00	332	0,2	7,7	8,1	46,3	25,5	1,5
18.12.2022 07:00	336	0,2	7,8	8,2	45,5	21,4	1,7
18.12.2022 08:00	337	0,3	7,8	8,2	44,4	21,8	1,4
18.12.2022 09:00	344	0,5	7,2	7,9	43,9	27,8	1,1
18.12.2022 10:00	341	0,9	6,2	7,6	45,4	27,4	0,9
18.12.2022 11:00	327	0,8	5,6	6,9	47,9	30,8	0,9
18.12.2022 12:00	332	1	6	7,5	48,5	23,2	1,6
18.12.2022 13:00	342	0,9	5,9	7,3	50,3	28,6	1,4
18.12.2022 14:00	342	0,6	6,3	7,3	51,1	25,8	0,8
18.12.2022 15:00	346	0,4	6,7	7,3	52,6	19,3	1,2
18.12.2022 16:00	352	0,3	7,4	7,8	52,4	28,7	1,3
18.12.2022 17:00	360	0,2	7,6	8	52,7	32,7	0,9
18.12.2022 18:00	360	0,3	7,9	8,4	51,8	26,2	0,7
18.12.2022 19:00	351	0,2	6,8	7,1	53,2	33,2	0,7
18.12.2022 20:00	326	0,2	5,4	5,8	56,6	38,8	0,4
18.12.2022 21:00	318	0,2	5,4	5,7	58,4	36,7	0,7
18.12.2022 22:00	324	0,2	6,1	6,4	58,1	27,2	0,7
18.12.2022 23:00	318	0,2	6,1	6,5	59,2	25,8	0,7
19.12.2022	321	0,2	7	7,3	59	19,4	0,6
19.12.2022 01:00	312	0,3	6,4	6,9	59,7	13,6	0,7
19.12.2022 02:00	338	0,2	7,3	7,7	58,2	10,2	1,8

19.12.2022 03:00	330	0,3	5,1	5,5	59,8	13	1,3
19.12.2022 04:00	341	0,2	8,1	8,4	56,1	9,9	1,9
19.12.2022 05:00	352	0,4	13,4	14	50,3	7,9	1,3
19.12.2022 06:00	379	0,5	13,8	14,6	47,9	8,7	1,6
19.12.2022 07:00	373	0,4	17,6	18,3	43,4	11,3	3
19.12.2022 08:00	413	1,5	22,9	25,2	36,9	23,3	4,5
19.12.2022 09:00	450	3,9	24	30	35,4	19,8	5,7
19.12.2022 10:00	480	6,6	22,3	32,5	39,6	31,6	7,8
19.12.2022 11:00	442	5,5	16,9	25,3	47,2	40,2	6,5
19.12.2022 12:00	429	5	15,8	23,6	51,9	51	6,9
19.12.2022 13:00	444	5,4	19	27,3	53,8	39,2	8
19.12.2022 14:00	449	3,6	19,2	24,7	56	35,1	7,9
19.12.2022 15:00	465	2,4	22,4	26,1	54,8	33,9	6,4
19.12.2022 16:00	515	1,5	33	35,4	45,1	27,8	5,5
19.12.2022 17:00	553	0,6	28,8	29,6	48,5	28,8	5,1
19.12.2022 18:00	539	0,5	25,2	26	51	35,9	4,3
19.12.2022 19:00	512	0,3	17,7	18,2	56,2	40,9	3,7
19.12.2022 20:00	535	0,5	18,5	19,3	54,4	43,3	3,6
19.12.2022 21:00	513	0,3	14,5	15	56,6	46,5	3,5
19.12.2022 22:00	489	0,3	12,1	12,5	57,7	49,8	3,5
19.12.2022 23:00	493	0,3	12,7	13,1	56,4	44,2	4,3
20.12.2022	517	0,4	15,9	16,4	52,7	39,7	6,1
20.12.2022 01:00	502	0,3	16,4	16,8	51,7	33,9	6,3
20.12.2022 02:00	481	0,4	14,5	15	52,9	39	6,6
20.12.2022 03:00	468	0,2	12,9	13,2	53,4	36,8	5,9
20.12.2022 04:00	436	0,2	11,1	11,4	54,4	39,7	5,3
20.12.2022 05:00	420	0,3	10,4	10,9	54,2	35	4,8
20.12.2022 06:00	395	0,3	8,2	8,7	56,1	38,1	3,6
20.12.2022 07:00	373	0,2	7,3	7,6	57,6	28,7	3,6
20.12.2022 08:00	372	0,5	6,8	7,6	56,7	21,5	4,3
20.12.2022 09:00	382	0,5	7,9	8,7	54,8	16,3	5,5
20.12.2022 10:00	393	0,6	8,3	9,2	53,6	11,8	6,5
20.12.2022 11:00	393	0,9	9,2	10,5	53,2	8,5	7,4
20.12.2022 12:00	397	1,5	9,3	11,6	53,9	6,5	8
20.12.2022 13:00	403	1,3	10,2	12,3	54,3	6,4	8,9
20.12.2022 14:00	412	1,4	10,7	12,8	54,4	6,6	8,5
20.12.2022 15:00	416	0,8	12,4	13,6	53,3	4,9	7,6
20.12.2022 16:00	442	0,4	14	14,6	51	15,8	7,6
20.12.2022 17:00	455	0,2	14,1	14,4	49,9	16,8	7
20.12.2022 18:00	466	0,2	14,3	14,7	48,8	16,2	7,1
20.12.2022 19:00	470	0,3	14	14,5	47,9	21,6	7
20.12.2022 20:00	457	0,3	12,5	13	49,3	24,7	7,1
20.12.2022 21:00	450	0,4	11,9	12,5	48,6	23,8	7,7
20.12.2022 22:00	451	0,2	13,1	13,4	46,1	23,5	8,7
20.12.2022 23:00	446	0,2	12,9	13,2	45,5	24,4	9,7
21.12.2022	438	0,3	12,2	12,7	45,8	21,8	9,9
21.12.2022 01:00	441	0,2	12,1	12,3	44,7	28,8	10
21.12.2022 02:00	464	0,4	14	14,6	41,2	28,1	10,6
21.12.2022 03:00	468	0,3	14,7	15,2	40,1	25	10,8
21.12.2022 04:00	490	0,3	16,7	17,2	37,4	27,2	11,5
21.12.2022 05:00	498	0,3	16,7	17,1	36,9	26,2	11

21.12.2022 06:00	455	0,3	14,2	14,8	39,4	24,3	10
21.12.2022 07:00	423	0,3	12,3	12,8	41,9	27,2	9,4
21.12.2022 08:00	440	0,3	13,4	13,9	40,1	35,8	10,1
21.12.2022 09:00	435	0,9	13,1	14,5	41,1	34,3	9,3
21.12.2022 10:00	443	2,4	13,9	17,6	41,6	25,2	8,4
21.12.2022 11:00	432	1,6	11,3	13,7	45,4	24,6	7,4
21.12.2022 12:00	439	1,6	11,1	13,6	47,6	27,1	7,5
21.12.2022 13:00	416	1,4	10,2	12,3	50,8	23,3	6,8
21.12.2022 14:00	427	1,1	11,9	13,5	49,3	20,8	7,5
21.12.2022 15:00	436	0,9	14,2	15,6	47,8	16,4	7,5
21.12.2022 16:00	451	0,4	15,8	16,5	44,8	29,6	6,1
21.12.2022 17:00	459	0,3	16,1	16,6	42,1	25,3	4,8
21.12.2022 18:00	449	0,4	15,4	16,1	39,7	29,3	4,3
21.12.2022 19:00	458	0,4	14,8	15,4	38	33,5	3,5
21.12.2022 20:00	452	0,4	14,3	14,9	36,8	38,2	2,8
21.12.2022 21:00	479	0,5	13,8	14,6	35,3	40,5	2,3
21.12.2022 22:00	462	0,3	13,8	14,3	34,7	38,7	2,2
21.12.2022 23:00	468	0,4	13,8	14,4	32,8	38,9	1,9
22.12.2022	471	0,5	13,7	14,4	31,1	41,9	1,7
22.12.2022 01:00	460	0,2	13,1	13,5	30,6	46,3	1,7
22.12.2022 02:00	457	0,4	13,2	13,7	29,3	40,6	1,7
22.12.2022 03:00	450	0,1	12,8	13,1	29,2	36,1	1,7
22.12.2022 04:00	439	0,3	12,4	12,8	28,9	37,4	1,8
22.12.2022 05:00	438	0,3	12,2	12,6	28	34,3	1,8
22.12.2022 06:00	440	0,3	12,8	13,2	25,8	33,3	1,5
22.12.2022 07:00	434	0,3	13,3	13,7	24,8	29,4	1,8
22.12.2022 08:00	450	0,4	13,5	14,1	24,3	29,4	1,8
22.12.2022 09:00	456	1,5	13	15,4	24,8	28,6	2,2
22.12.2022 10:00	465	2,6	14	17,9	25,1	31,9	2,7
22.12.2022 11:00	479	3,3	13	18,1	26,5	23,9	2,7
22.12.2022 12:00	534	4,7	14,5	21,8	30,9	20,1	3,4
22.12.2022 13:00	550	3,3	16,3	21,4	32,9	25,4	3,5
22.12.2022 14:00	468	2,3	16,7	20,2	34,4	19,9	2,8
22.12.2022 15:00	469	1,8	20,9	23,6	31,2	20,8	3,3
22.12.2022 16:00	433	0,9	21,6	22,9	32,3	24	2,8
22.12.2022 17:00	463	0,3	20,9	21,4	35,2	19,1	3,3
22.12.2022 18:00	493	0,4	23,5	24,2	34	25,3	3,9
22.12.2022 19:00	464	0,4	20,6	21,2	36,9	26,6	4,2
22.12.2022 20:00	459	0,4	19,9	20,4	35,5	22,6	4
22.12.2022 21:00	457	0,4	18,3	18,9	34,5	22,3	3,6
22.12.2022 22:00	435	0,3	16	16,4	34,9	24,2	3,6
22.12.2022 23:00	411	0,3	14,4	14,8	35,9	25,7	4,2
23.12.2022	394	0,4	12,6	13,2	36	30,5	3,3
23.12.2022 01:00	388	0,5	11,8	12,6	34,4	29,9	2,1
23.12.2022 02:00	393	0,3	12	12,4	32,5	27,5	1,9
23.12.2022 03:00	389	0,4	11,9	12,6	29,6	31	1,4
23.12.2022 04:00	383	0,4	11,8	12,4	26,7	26	1
23.12.2022 05:00	377	0,3	11,3	11,7	24,7	21,1	0,9
23.12.2022 06:00	367	0,3	10,7	11,3	24,7	16,9	0,9
23.12.2022 07:00	331	0,3	9,5	10	27,9	19	0,7
23.12.2022 08:00	323	0,3	9,2	9,8	29,8	14,1	0,9

23.12.2022 09:00	306	0,4	7,7	8,4	35,6	18,3	1,1
23.12.2022 10:00	314	0,7	8,7	9,8	34,6	16,2	1,4
23.12.2022 11:00	342	1,6	11	13,4	30,6	18,4	1,5
23.12.2022 12:00	359	1,5	11,1	13,4	30,8	19,9	1,4
23.12.2022 13:00	369	1,3	12,2	14,1	32,4	15,3	1,8
23.12.2022 14:00	391	1,4	13,1	15,2	33,5	15	1,9
23.12.2022 15:00	382	0,7	14,1	15,1	32,8	20,9	1,8
23.12.2022 16:00	379	0,5	15	15,8	33	22,7	1,2
23.12.2022 17:00	366	0,4	14	14,6	33,2	24,1	1,3
23.12.2022 18:00	356	0,4	12,7	13,3	31,6	29,6	0,8
23.12.2022 19:00	370	0,4	12,1	12,7	29,5	30,5	0,7
23.12.2022 20:00	379	0,4	11,9	12,5	27,4	30,4	0,7
23.12.2022 21:00	384	0,4	11,8	12,4	25,7	25,6	0,8
23.12.2022 22:00	361	0,4	10,4	11,1	19,9	21,8	0,5
23.12.2022 23:00	329	0,5	9,7	10,4	18,6	21,2	0,8
24.12.2022	320	0,4	9,1	9,8	15,2	15,8	0,5
24.12.2022 01:00	321	0,4	8,2	8,8	13,2	11,1	0,3
24.12.2022 02:00	374	0,4	10,7	11,4	12,4	8,5	0,5
24.12.2022 03:00	380	0,5	9,9	10,6	9,9	11,6	0,3
24.12.2022 04:00	425	0,8	10,9	12,1	7,8	13,6	0,3
24.12.2022 05:00	488	1,5	15,8	18,1	4,4	14,1	0,5
24.12.2022 06:00	467	1,1	14,3	16,1	7,6	17,8	0,4
24.12.2022 07:00	423	1,1	11,2	12,9	12,6	13,4	0,5
24.12.2022 08:00	458	0,9	12	13,5	13,1	11,9	0,7
24.12.2022 09:00	483	1,8	13,7	16,6	11,6	13,3	0,8
24.12.2022 10:00	518	3,6	15,8	21,4	11,3	11,8	2,6
24.12.2022 11:00	500	3,3	15,4	20,5	13,2	14,1	2,1
24.12.2022 12:00	508	3,8	15	20,8	14	14,2	1,9
24.12.2022 13:00	451	2,6	12,8	16,7	18,5	10,6	1,4
24.12.2022 14:00	420	1,3	12,3	14,4	24	10,9	1,2
24.12.2022 15:00	390	0,8	10,9	12,2	32,4	10,6	0,9
24.12.2022 16:00	384	0,7	10,9	12	35,2	12,6	0,9
24.12.2022 17:00	378	0,4	11,2	11,9	33,2	11,4	0,6
24.12.2022 18:00	386	0,6	10,9	11,9	31,9	16,3	0,6
24.12.2022 19:00	394	0,8	11,3	12,6	30,7	19,1	0,7
24.12.2022 20:00	413	0,4	10,8	11,4	29,5	17,7	0,9
24.12.2022 21:00	395	0,3	9,1	9,6	29,3	19,4	0,5
24.12.2022 22:00	419	0,5	9,6	10,3	27,4	19,4	0,7
24.12.2022 23:00	400	0,6	9,5	10,4	25,7	20,9	0,6
25.12.2022	391	0,6	8,7	9,6	24,8	18	0,5
25.12.2022 01:00	400	0,3	7,9	8,3	25	20,4	0,4
25.12.2022 02:00	390	0,2	7,2	7,5	28,1	23,7	0,5
25.12.2022 03:00	389	0,3	6,8	7,2	26,6	18,8	0,4
25.12.2022 04:00	405	0,2	7,4	7,6	23	18	0,5
25.12.2022 05:00	421	0,1	7,6	7,7	19,6	18,6	0,6
25.12.2022 06:00	408	0,2	7,9	8,3	23	15,6	0,8
25.12.2022 07:00	328	0,3	5,7	6,2	32,8	13	0,6
25.12.2022 08:00	292	0,3	4,7	5,1	36,1	19,4	0,6
25.12.2022 09:00	306	0,3	4,9	5,3	32,7	15,4	0,6
25.12.2022 10:00	313	0,2	4,9	5,2	31,9	18,1	0,3
25.12.2022 11:00	316	0,4	4,8	5,4	34,3	19,1	0,4

25.12.2022 12:00	293	0,3	4,2	4,6	42	18	0,5
25.12.2022 13:00	276	0,3	3,9	4,3	46,2	16,1	0,9
25.12.2022 14:00	284	0,3	4,4	4,9	43,7	19,5	1
25.12.2022 15:00	293	0,3	5	5,4	37,8	19,2	0,7
25.12.2022 16:00	325	0,4	5,7	6,3	38,2	24,6	0,7
25.12.2022 17:00	387	0,2	6,3	6,7	30,6	22	0,6
25.12.2022 18:00	409	0,3	6,2	6,7	27,1	20,1	0,4
25.12.2022 19:00	429	0,8	8,8	10,1	24,1	19	0,4
25.12.2022 20:00	403	0,3	8,1	8,6	33,2	14,6	0,6
25.12.2022 21:00	432	0,4	8,7	9,3	33,8	13,4	0,9
25.12.2022 22:00	514	0,4	12,3	12,9	27,9	22,9	0,8
25.12.2022 23:00	460	0,3	13,3	13,7	28,1	23,9	1,1
26.12.2022	480	0,3	13,4	13,9	30	25,2	0,9
26.12.2022 01:00	367	0,3	8,5	9	39,4	18,5	1,1
26.12.2022 02:00	315	0,2	6,6	7	42,6	26,3	1,1
26.12.2022 03:00	309	0,2	6	6,4	41,1	24,7	1,1
26.12.2022 04:00	328	0,2	5,5	5,8	38,2	22,1	0,7
26.12.2022 05:00	332	0,2	5,8	6,1	37,4	22,6	0,5
26.12.2022 06:00	340	0,2	6	6,4	35,8	18,3	0,5
26.12.2022 07:00	367	0,3	6,7	7,2	34,8	19,9	0,6
26.12.2022 08:00	386	0,1	7,3	7,5	33,3	19,4	0,7
26.12.2022 09:00	389	0,4	7,3	7,9	32,4	14,3	0,7
26.12.2022 10:00	380	0,4	6,2	6,9	32,9	21,2	0,6
26.12.2022 11:00	399	0,8	6,2	7,4	32,2	22,5	1
26.12.2022 12:00	376	0,6	6,3	7,2	35,5	22,6	1,2
26.12.2022 13:00	330	0,6	5,4	6,3	38,6	22,4	1,5
26.12.2022 14:00	323	0,7	5,4	6,5	39,1	21,3	1,7
26.12.2022 15:00	318	0,4	5,8	6,5	37,6	15,9	1,7
26.12.2022 16:00	326	0,2	6,9	7,3	34,7	19,3	1,4
26.12.2022 17:00	320	0,2	7,4	7,7	34	14,5	1,7
26.12.2022 18:00	316	0,2	7,6	7,9	34,7	16,5	2
26.12.2022 19:00	336	0,3	7,7	8,2	32	12,6	1,8
26.12.2022 20:00	328	0,3	7,9	8,4	32,9	19,8	1,6
26.12.2022 21:00	312	0,3	7,4	7,9	36,1	24,2	1,2
26.12.2022 22:00	282	0,2	6	6,3	42,7	29,3	1
26.12.2022 23:00	275	0,3	5,6	6,1	48,6	22,3	0,8
27.12.2022	265	0,4	5,2	5,8	47,8	16,3	0,8
27.12.2022 01:00	263	0,4	5,4	6	47,1	21,6	0,8
27.12.2022 02:00	255	0,3	5,3	5,7	48,3	21,1	0,8
27.12.2022 03:00	259	0,3	5,4	5,9	45,3	16	1
27.12.2022 04:00	248	0,3	5,2	5,7	48	12,3	0,8
27.12.2022 05:00	221	0,3	3,8	4,3	57,7	12,3	0,5
27.12.2022 06:00	195	0,2	3,6	3,9	69,4	9,2	0,5
27.12.2022 07:00	178	0,2	3,2	3,4	74,2	6,5	0,3
27.12.2022 08:00	184	0,2	4,1	4,4	68,6	4,5	0,5
27.12.2022 09:00	189	0,3	4,2	4,7	65,5	3,3	0,5
27.12.2022 10:00	193	0,2	4,5	4,7	65,4	2,4	0,6
27.12.2022 11:00	198	0,2	4,3	4,7	64,8	2,3	0,5
27.12.2022 12:00	205	0,2	4,4	4,8	65,1	2,6	0,3
27.12.2022 13:00	198	0,3	4	4,6	69,2	2,2	0,3
27.12.2022 14:00	205	0,2	4,5	4,9	67,5	1,9	0,5

27.12.2022 15:00	216	0,3	5,2	5,7	65,6	2,2	0,6
27.12.2022 16:00	231	0,2	6,1	6,3	63,3	2,4	0,5
27.12.2022 17:00	248	0,2	7	7,3	60	3,5	0,6
27.12.2022 18:00	243	0,3	6,1	6,5	61,9	3,5	0,6
27.12.2022 19:00	241	0,2	5,5	5,8	62,1	3,4	0,9
27.12.2022 20:00	237	0,1	5,4	5,5	62,7	3,3	0,8
27.12.2022 21:00	241	0,2	5,2	5,5	61,5	3,6	1
27.12.2022 22:00	244	0,3	5,1	5,5	60,5	3,7	1,1
27.12.2022 23:00	254	0,3	5,6	6	59,4	3,7	1,3
28.12.2022	257	0,2	5,7	5,9	57,7	4,9	1,1
28.12.2022 01:00	266	0,2	6,1	6,4	54,7	7	0,9
28.12.2022 02:00	257	0,1	6,2	6,3	53,5	6,5	1,2
28.12.2022 03:00	251	0,2	5,5	5,9	52,7	7	0,8
28.12.2022 04:00	255	0,1	6,6	6,8	49,4	5,7	1
28.12.2022 05:00	265	0,1	6,9	7,1	45,5	6,6	1
28.12.2022 06:00	272	0,3	7,1	7,6	38,5	18,6	0,8
28.12.2022 07:00	274	0,3	6,9	7,4	37,9	14,6	0,7
28.12.2022 08:00	281	0,3	8,2	8,6	37,8	11,2	0,9
28.12.2022 09:00	297	0,6	9,2	10,2	37,8	12,9	1,3
28.12.2022 10:00	299	1,2	9	10,7	41,7	15,7	1,8
28.12.2022 11:00	304	1,3	8,7	10,7	45,8	12,1	2,5
28.12.2022 12:00	307	1,1	9,6	11,2	48,4	11,1	3,2
28.12.2022 13:00	318	0,8	11,4	12,7	49,7	15	3,2
28.12.2022 14:00	301	1	11,2	12,7	54	14,3	2,8
28.12.2022 15:00	280	0,4	10,5	11,1	56,8	11,4	2,1
28.12.2022 16:00	283	0,3	10,7	11,1	55,8	8,2	2,2
28.12.2022 17:00	322	0,2	12,9	13,2	52,2	10,4	3
28.12.2022 18:00	340	0,3	13,6	14,1	48,9	11,5	3,1
28.12.2022 19:00	365	0,2	14,2	14,5	47,6	9,1	3,7
28.12.2022 20:00	360	0,1	12,3	12,4	47,9	16,2	3,6
28.12.2022 21:00	344	0,2	10,2	10,4	48,7	14,6	3,2
28.12.2022 22:00	322	0,3	8,6	9	49,4	15,4	2,5
28.12.2022 23:00	314	0,2	8,3	8,6	48,9	11,7	2,2
29.12.2022	311	0,2	7,4	7,7	48,6	8,2	1,8
29.12.2022 01:00	301	0,2	6,4	6,7	50,1	21,9	1,5
29.12.2022 02:00	275	0,3	5,9	6,3	52,5	16,8	1,5
29.12.2022 03:00	267	0,2	5,6	5,9	54,1	11,9	1,6
29.12.2022 04:00	280	0,3	6,5	7	54	8,9	2,7
29.12.2022 05:00	316	0,1	7,8	8	50,2	7,5	3,1
29.12.2022 06:00	334	0,2	7,6	7,9	49,2	10,4	2,9
29.12.2022 07:00	307	0,2	7,3	7,6	51	7,8	3,2
29.12.2022 08:00	309	0,1	7,8	8	52,3	7,9	3,6
29.12.2022 09:00	308	0,3	8,1	8,6	52,5	9	3,7
29.12.2022 10:00	303	0,5	8,2	9	53,5	11,7	3,7
29.12.2022 11:00	311	0,6	8,7	9,7	53,5	9	3,8
29.12.2022 12:00	320	1,2	8,9	10,8	53,6	11,1	4,3
29.12.2022 13:00	319	0,8	9,7	10,9	55	12,5	4
29.12.2022 14:00	313	0,7	9,9	10,9	55,3	10,9	3,6
29.12.2022 15:00	300	0,3	10,3	10,8	55,1	16,1	3,6
29.12.2022 16:00	302	0,2	9,3	9,6	55,8	12,1	3,2
29.12.2022 17:00	308	0,2	8,5	8,8	55,5	9,8	2,9

29.12.2022 18:00	305	0,2	8,3	8,7	54,2	10,3	2,7
29.12.2022 19:00	329	0,2	9,8	10,1	50,4	14,2	3,2
29.12.2022 20:00	338	0,3	10,1	10,4	49,4	15,4	3,7
29.12.2022 21:00	339	0,3	9,1	9,6	49,3	14,6	3,4
29.12.2022 22:00	333	0,2	7,9	8,2	50,9	11,8	2,8
29.12.2022 23:00	325	0,2	7,7	8	49,7	14,2	2,8
30.12.2022	323	0,3	7,1	7,5	49,2	11,6	2,4
30.12.2022 01:00	313	0,2	6,7	7	48,7	16,6	2,4
30.12.2022 02:00	310	0,2	6,8	7,1	47	20,1	2,2
30.12.2022 03:00	311	0,3	6,5	6,9	44,9	14,9	2,8
30.12.2022 04:00	313	0,2	6,6	6,8	43,6	11,7	2,7
30.12.2022 05:00	324	0,3	7,1	7,6	42,1	15,2	2,4
30.12.2022 06:00	326	0,2	7,4	7,7	40,8	11,5	2,6
30.12.2022 07:00	333	0,3	8	8,4	40	11,5	2,8
30.12.2022 08:00	331	0,2	8,3	8,7	38,8	18	2,9
30.12.2022 09:00	335	0,4	9,7	10,4	37,7	14,6	2,9
30.12.2022 10:00	325	0,9	10,3	11,7	38,4	19,1	2,8
30.12.2022 11:00	310	1,4	9,2	11,4	42,5	14,5	2,6
30.12.2022 12:00	284	1,3	7,7	9,6	49,6	13,4	2,3
30.12.2022 13:00	248	0,8	6,1	7,4	59,6	14,1	2
30.12.2022 14:00	222	0,3	5,3	5,9	64,3	15,4	1,8
30.12.2022 15:00	223	0,3	5,6	6,1	63,9	11,5	1,8
30.12.2022 16:00	239	0,3	7	7,4	58,2	11,3	1,5
30.12.2022 17:00	376	0,4	11,8	12,3	52,1	9	1,5
30.12.2022 18:00	524	0,6	15,3	16,3	47	12,8	1,7
30.12.2022 19:00	497	0,5	11,3	12,1	46,3	21,9	1,4
30.12.2022 20:00	453	0,4	9,8	10,4	43,3	26,2	1,3
30.12.2022 21:00	465	0,4	11,6	12,2	39,6	24,9	2,7
30.12.2022 22:00	419	0,4	11,9	12,6	37	30,4	3,6
30.12.2022 23:00	461	0,5	14,3	15,1	29	26,7	3,1
31.12.2022	509	0,5	17,7	18,5	23,8	31,3	2,5
31.12.2022 01:00	470	0,4	17	17,5	28,4	31	2,8
31.12.2022 02:00	425	0,3	12,2	12,6	34,3	27,2	1,8
31.12.2022 03:00	390	0,3	8,9	9,4	37,4	32,3	1,2
31.12.2022 04:00	376	0,2	7,3	7,5	38,1	30,3	1,1
31.12.2022 05:00	370	0,2	6,9	7,2	37,4	26	2,2
31.12.2022 06:00	369	0,2	7,6	7,9	40,6	24,2	2,1
31.12.2022 07:00	383	0,2	8,6	8,9	39,7	17,9	2,4
31.12.2022 08:00	377	0,2	8,2	8,5	38,7	15,6	2,4
31.12.2022 09:00	360	0,3	7,6	8	39,7	20,6	2,2
31.12.2022 10:00	345	0,5	6,4	7,3	41,5	23,1	2
31.12.2022 11:00	324	0,7	5,7	6,8	43	24,1	2,2
31.12.2022 12:00	315	0,9	5,7	7,2	44,8	18,1	2,4
31.12.2022 13:00	306	0,8	6	7,2	47,4	12,8	2,7
31.12.2022 14:00	293	0,6	6,2	7,1	47,5	15,5	2,6
31.12.2022 15:00	293	0,3	6,3	6,7	46,2	17,1	2,3
31.12.2022 16:00	280	0,2	6,1	6,4	47,2	15,3	2,3
31.12.2022 17:00	287	0,2	6,3	6,6	46,5	14,6	2,8
31.12.2022 18:00	287	0,3	6,4	6,9	45,1	12,4	5,4
31.12.2022 19:00	284	0,2	7,3	7,6	44,4	17,7	8,8
31.12.2022 20:00	271	0,3	7,3	7,7	44	14,4	4

31.12.2022 21:00	277	0,2	7,3	7,6	42,9	10,3	4,1
31.12.2022 22:00	288	0,2	7	7,2	40,5	11,3	3,1
31.12.2022 23:00	287	0,3	6,5	7	39,3	12	2,7
01.01.2023	274	0,3	6,3	6,7	41,6	12	2,5

Załącznik 3. Dane za rok 2022 całkowitej zawartości ozonu, rozkładu pionowego ozonu metodą Umkehr i promieniowania UV-B w Belsku

Rozkład pionowy ozonu metodą Umkehr

DATA	AM/PM	L-10	L-9	L-8	L-7	L-6	L-5	L-4	L-3	L-2	L-1	Observed 03
07 01 2022	PM	1,35	2,52	6,48	17,2 2	34,5 3	58,3 3	75,9 5	58,3 3	30,4 5	25	309
09 01 2022	AM	1,64	3,78	9,54	18,6 8	34,9 1	67,1 1	96,4 2	78,8 4	41,0 3	30,7	382,9
15 01 2022	AM	1,35	2,5	6,19	17,2 1	39,1 9	59,3	64,7 4	58,7 8	38,6	32,2 1	320,8
17 01 2022	PM	1,59	3,7	9,97	20,0 1	31,8 4	54,8 5	90,3 1	81,4 9	44,5 7	32,1 5	370,7
18 01 2022	AM	1,6	3,59	8,7	18	38,2 9	59,7 8	58,9 8	55,6 8	40,6 1	35,3	322,5
23 01 2022	PM	1,67	3,98	10,35	19,4 5	32,3	60,7 9	87,0 6	66,8 9	35,7 1	27,7	345,6
29 01 2022	AM	1,98	5,13	12,55	19,3 6	27,8 1	62,9 7	100	65,2 8	28,0 9	21,2 7	343
12 02 2022	AM	1,68	4,01	10,5	19,4 4	31,9 8	60,0 7	79,9 6	58,2 8	37,3 2	35,0 5	341
12 02 2022	PM	1,39	2,99	9,37	24,5 3	41,7 1	59,9 1	79,5 8	63,5 5	35,2 6	25,3 3	341,9
13 02 2022	AM	1,55	3,49	9,27	19,1 1	34,0 7	60,4 7	77,2	56,4	36,9 6	35,4 7	336,7
13 02 2022	PM	1,56	3,61	10,1	21,3 1	35,7 7	60,0 9	81,7 3	63,9 2	37,1 3	28,6 2	343,3
14 02 2022	AM	1,54	3,45	9,06	19,0 1	35,5 3	58,5 5	65,9 9	53	40,2 2	38,4 9	328
14 02 2022	PM	1,43	3,22	10,28	24,2 7	36,5 7	56,4 1	85,0 9	64,7 9	32,1	21,8	333,3
15 02 2022	AM	1,48	3,13	7,85	16,9 1	33,6 1	52,9 1	65,6 4	67,0 4	48,1 3	35,1 5	331,6
16 02 2022	AM	1,79	4,51	12,01	21,4 5	30,6 4	54,4 8	95,4 8	81,3 5	42,6 8	27,2	369,9
18 02 2022	PM	1,51	3,28	8,46	19,3 2	40,7	65,9 3	74,9 4	54,6 3	34,5 3	30,6 9	334,7
24 02 2022	AM	1,51	3,28	8,46	19,3 2	40,7	65,9 3	74,9 4	54,6 3	34,5 3	30,6 9	334,7
28 02 2022	AM	1,52	3,38	9,05	19,5 9	36,5 7	58,6 7	80,3 6	78,6 5	55,8 3	42,5	388,1
01 03 2022	AM	1,39	3,11	10,4	25,3 2	35,4 9	50,6 4	88,1 1	80,9	47,2 1	31,0 3	372,4
01 03 2022	PM	1,57	3,59	9,59	20,6 6	40,1 2	66,7 7	88,8 9	76,9 3	48,5 5	35,1 9	392,1
02 03 2022	AM	1,94	5,02	13,2	23,0 6	36,1 9	64,5	90,2 4	73,7 2	46,2 6	36,5 5	392,6
02 03 2022	PM	1,59	3,64	9,44	20,3 3	42,9 9	67,5 3	75,4	68,4 8	52,1 8	44,1 7	389
10 03 2022	AM	1,51	3,48	10,57	24,9 7	44,4 1	72,3 9	91,3 5	63,8 7	35,8 5	27,7 3	375,1
10 03 2022	PM	1,51	3,37	9,29	21,2 5	43,3 6	77,4 2	101, 5	71,7 3	38,2 3	26,9 1	392,9

11 03 2022	AM	1,39	2,99	9,4	24,7 6	42,6 2	58,6 5	80,9 1	75,2 4	49,5 9	35,3 5	380,6
11 03 2022	PM	1,61	3,74	9,9	19,2 1	36,2 5	76,3 7	108, 8	73,1 5	36,6 3	26,1 1	390,3
12 03 2022	AM	1,32	2,56	6,97	18,2 4	38,9 1	66,3 5	77,5 5	62,4 5	51,8 9	51,5 8	383,3
12 03 2022	PM	1,56	3,65	10,39	20,3 9	32,2 1	68,9 1	108, 2	72,9 5	34,7 9	23,6 1	374,4
13 03 2022	AM	1,42	3,11	9,38	22,1 6	35,7 6	54,2 7	77,8 8	65,4 9	42,1 2	33,3 6	345
13 03 2022	PM	1,59	3,78	10,81	20,9 9	33,2 5	69,4 103		67,7 6	33,2 6	24,5 8	366,8
14 03 2022	AM	1,36	2,82	8,37	22,2 4	42,0 9	62,8 4	80,4	66,7 2	43,8 8	34,3 8	365,2
14 03 2022	PM	1,88	4,71	12,13	19,8 5	33,1 2	79,7 6	116, 7	71,0 1	29,6 3	19,7 3	386,1
17 03 2022	AM	1,49	3,38	9,99	23,5	41,4 7	58,6 7	66,6 9	54,4 8	41,0 3	37,9 2	340,3
17 03 2022	PM	1,32	2,68	8,49	25,5 9	47,5 6	59,7 7	73,9 8	64,2 3	41,7 1	31,0 9	355,4
18 03 2022	AM	1,36	2,92	9,72	26,9 9	45,4 5	53,9	59,2 7	52,8 1	38,6 5	31,9 9	322,6
18 03 2022	PM	1,58	3,73	11,07	25,2 9	45,6 5	67,1 3	73,1 6	49,7 4	30,3 9	27,0 4	334
19 03 2022	AM	1,48	3,42	11,02	25,7 6	39,6 8	54,9 5	67,3 6	51,3 4	32,8 1	28,1 5	315,2
19 03 2022	PM	1,52	3,46	10	22,3 8	40,0 2	65,2 8	80,9 9	53,7 5	28,8 4	23,8 1	328,3
20 03 2022	AM	1,35	2,83	9,05	23,7 6	39,6 5	55,7 3	71,9	56,7 6	34,9 9	27,6 9	322,3
20 03 2022	PM	1,32	2,67	8,21	22,0 5	37,9 2	56,7 9	83,2 1	66,0 7	36,7 3	25,1 6	337,6
21 03 2022	AM	1,35	2,77	8,33	22,1 7	40,0 1	52,6 3	63,3 8	58,8	44,0 8	36,8 4	330,8
21 03 2022	PM	1,3	2,59	7,85	22,2 7	43,2 8	63,9 6	76,1 2	56,7 6	37,3 5	32,7	344,3
22 03 2022	AM	1,43	3,12	9,32	22,7 1	40,2 8	56,6 8	70,0 3	57,7 5	37,7 4	30,1 8	328,4
22 03 2022	PM	1,22	2,34	8,35	25,5 4	41,9 7	61,3 2	83,7 6	62,7 4	35,9 1	26,6 4	347,9
23 03 2022	AM	1,41	3,05	9,09	22,4 1	40,6 6	57,3 2	65,7 3	53,8	39	34,4 9	327,3
23 03 2022	PM	1,47	3,3	9,79	22,2 2	40,4 3	70,5 1	87,4	55,5 6	28,9 1	23,5 6	341,2
24 03 2022	AM	1,36	2,88	9	23,9 3	43,1 7	56,8	63,8 8	56,3	42,2 9	35,9 6	335,9
24 03 2022	PM	1,25	2,48	8,54	25,1 1	42,6 2	63,0 8	80,4 3	57,5 9	34,5 5	28,8 1	343,5
25 03 2022	AM	1,59	3,71	10,47	22,8 1	43,5 6	62,5 5	61,2 8	45,2	34	33,0 7	318,8
25 03 2022	PM	1,11	1,82	6,77	26,1 6	46,4	54,2 9	59,6 1	52,0 4	38,7 2	32,6 7	319
26 03 2022	AM	1,43	3,21	10,26	24,7 8	37,9 7	46,4 1	60,5 2	60,5 2	43,5 2	31,9 5	319,2
27 03 2022	AM	1,28	2,54	8,32	23,6 8	41,4 3	60,3 4	71,9 7	51,5 4	35,9 5	36,4 6	335,2

28 03 2022	AM	1,49	3,34	9,49	20,3 3	37,3 6	61,7	66,7 8	43,9 1	32,0 8	35,0 2	313
28 03 2022	PM	1,4	2,99	9,01	22,2 9	40,4 9	65,2 3	84,3	57,6 7	32,3 3	27,1 2	335,5
30 03 2022	AM	1,3	2,64	8,42	22,3 8	36,8 9	52,3 6	70,6 5	60,0 8	42,3 7	37,0 1	334,8
03 04 2022	AM	sty.0 0	sty.0 0	sty.0 0	23.3 0	35.7 4	56.6 9	84.0 0	70.0 7	45.5 9	36.3 5	367,1
07 04 2022	AM	1,35	2,69	7,04	15,7 3	36,5 4	61,3 6	64,5	52,4 4	42,6 8	40,2 1	325,6
10 04 2022	AM	1,36	3,39	9,9	21,0 7	37,2 9	61,9 4	80,9 2	66,2 4	46,5 3	40,5 8	370,6
12 04 2022	AM	1,37	2,8	9,66	26,4 8	44,1 1	61,9 5	78,0 8	59,2 7	37,4 7	31	351,1
12 04 2022	PM	1,38	2,78	9,25	25,5 1	45,0 7	64,3 6	75,1 5	52,7 6	34,3 1	32,4 4	342,7
13 04 2022	AM	1,39	3,55	10,6	23,1 1	43,3 8	71,8 9	79,9 5	51,2 6	31,6 5	30,9 2	347,9
14 04 2022	AM	1,4	3,41	11,23	26,2 9	41,3 3	64,3 4	85,4 5	56,9 9	28,4 7	20,8 9	336,9
14 04 2022	PM	1,41	2,92	8,78	22,3 9	48,0 2	73,4 1	73,4 2	49,5 6	35,8 4	37,2 5	354,2
24 04 2022	AM	1,42	3	9,9	24,0 4	39,2 4	61,7 8	81,3 8	62,4 1	43,0 9	40,7 3	368,2
27 04 2022	AM	1,43	2,64	8,99	23,9 2	37,6 5	54,8 3	80,9 2	67,8 9	44,2 9	35,7 1	357,3
28 04 2022	AM	1,44	1,61	4,31	17,2 9	40	50,7 3	53,0 1	56,4 4	57,9 6	61,9 2	348,9
29 04 2022	PM	1,45	2,31	7,47	22,2 9	41,1 4	57,7 4	78,7 7	69,0 5	49,1	42,1 8	374,3
30 04 2022	AM	1,46	2,73	8,69	22,7 4	41,5 7	59,4 8	78,2 8	66,5	45,8 7	38,8 7	366
30 04 2022	PM	1,47	3,26	10,81	24,7	36,8 9	55,9 6	80,0 2	66,5 5	47,1 9	44,3 5	372,9
01 05 2022	AM	1,48	3,4	9,93	20,1 9	40,2 1	71,6	79,6 8	56,3 7	40,5	42,2 4	367,6
01 05 2022	PM	1,49	3,01	9,58	23,1	41,0 6	65,1 5	88,1	70,4 9	45,5 2	37,2	384,3
02 05 2022	AM	1,5	3,23	9,95	22,7 6	41,9 1	65	80,9 8	64,1	43,8 4	39,5 4	373,4
03 05 2022	AM	1,51	2,98	10,06	25,2 4	43,0 3	64,9 5	81,4 5	61,2 8	39,7 4	35,0 3	364,7
03 05 2022	PM	1,52	3,85	12,57	25,1 3	36,0 6	64,6 3	88,1 2	60,8 1	36,0 6	33	361,9
04 05 2022	PM	1,53	3,13	10,5	26,4 1	44,8	64,6 7	83,0 7	60,9 8	35,3 8	27,8 4	356,3
05 05 2022	PM	1,54	2,58	8,73	25,7 9	48,6 3	63,6 2	74,6 1	60,3 2	42,4 1	38,4 9	366,5
06 05 2022	PM	1,55	3,06	9,46	21,1 3	39,7 6	69,6 9	86,1 2	62,7 8	41,6 4	39,3	376,9
09 05 2022	AM	1,56	2,61	8,16	21,1 2	43,8 5	66,3 3	71,0 6	55,2 4	42,6 7	43,9 2	357,6
09 05 2022	PM	1,57	3,36	10,42	23,2 7	45,7 2	77,1 7	83,4 6	51,9 6	33,0 2	36,2 3	367,2
10 05 2022	AM	1,58	2,93	10,36	26,7 3	45,2 9	69,8 6	83,3 9	56,1 2	34,0 3	31,8 8	361,3

10 05 2022	PM	1,59	2,65	9,23	25,5 8	43,7	66,3 7	89,2 4	61,5 2	32,8 4	25,1 1	354,9
11 05 2022	PM	1,6	2,63	8,11	21,5	51,2	79,4 6	69,7 6	39,4 3	29,1 2	39,0 9	343,6
12 05 2022	AM	1,61	3,52	11,91	28,6 2	55,3 8	88,1 7	82,5 5	37,1 4	14,8 9	17,6 2	339,1
12 05 2022	PM	1,62	2,63	9,3	25,6 5	46,4 5	70,4 7	77,7 9	52,5 2	34,4 3	34,1 5	354,2
13 05 2022	AM	1,5	3,32	9,79	19,9 1	41,5 8	73,9 4	78,9 5	53,0 4	37,4 6	42,2 5	363,8
15 05 2022	AM	1,31	2,74	9,43	25,4 6	44,9 3	63,8 8	75,7	54,6 1	35	33,2 3	345,6
15 05 2022	PM	1,47	3,29	10,81	25,1 6	43,5 4	66,6 6	80,8 4	56,5 2	33,6	30,0 4	344,7
16 05 2022	AM	1,33	2,76	8,82	22,1 4	48,6 9	81,7 4	72,9 1	37,1 9	28,4 8	45,8 8	354,3
17 05 2022	PM	1,39	3,02	10,11	23,8	41,3 4	75,1 7	92,9 9	55,5 3	28,7 5	27,0 6	358
18 05 2022	AM	1,21	2,4	9,02	26,8 6	44,1 6	62,5 2	79,0 4	61,3 9	41,9 7	39,7 8	368,5
18 05 2022	PM	1,35	2,87	9,72	25,8 2	46,9 7	68,5 5	83,8 6	58,7	33,8	28,2 2	357,9
19 05 2022	AM	1,29	2,67	9,35	25,8 7	45,1 2	66,4 7	81,1 6	54,0 6	30,9 4	28,7 7	344,3
19 05 2022	PM	1,09	1,77	6,16	22,9 2	43,2 6	59,4 4	68,2 2	53,0 4	40,7 7	45,5 4	344,1
20 05 2022	PM	1,46	3,26	10,48	22,6 9	40,7 8	73,0 2	83,5 1	50,8 8	29,4 2	31,2 3	346,1
24 05 2022	AM	1,26	2,59	9,71	27,5 4	43,3 7	59,7 6	82,2 4	62,7 8	34,8 3	23	34,9
29 05 2022	AM	1,26	2,48	7,8	19,7 2	42,0 2	71,0 8	83,8 9	67,6 8	50,4 2	52,8 6	401,7
30 05 2022	PM	1,27	2,55	8,49	23,0 8	46,4 3	67,9 7	77,2	65,3 7	51,3 8	55,8 9	402,8
31 05 2022	AM	1,38	3,06	11,42	28,9 1	41,0 5	60,1 8	91,4 4	70,7 5	40,3 1	30,0 7	376,1
31 05 2022	PM	1,39	2,97	9,73	23,7 1	39,6 7	55,8 7	90,1 5	79,9 6	45,8 2	26,7 7	371,2
01 06 2022	PM	1,39	2,96	9,44	21,7 4	43,8 8	70,9 9	75,4 1	53,4	37,7 7	42,7 1	361,1
02 06 2022	PM	1,17	2,19	8,09	25,4 5	43,0 2	59,4	77,7 1	63,9	45,6 4	46,9 3	374,8
03 06 2022	AM	1,27	2,53	8,68	24,2	43,6 1	57,1 2	68,6 1	56,7 6	39,9 4	39,7 3	342,3
03 06 2022	PM	1,22	2,41	9,11	26,0 4	41,3 7	59,2 7	73,9 5	55,5 5	37,1 7	38,1 5	344,1
05 06 2022	PM	1,34	2,8	9,23	22,9 2	42,1 4	61,1 3	68,0 9	49,0 5	33,6	38,1 7	329
06 06 2022	AM	1,21	2,37	8,96	27,7 1	47,4 2	60,8 3	67,6 6	46,4 2	27,9 1	27,7 9	316,5
11 06 2022	PM	1,31	2,7	9,25	25,1 5	46,2 5	61,0 2	67,6 3	49,8 9	33,4 9	37,2 2	334
12 06 2022	AM	1,2	2,26	7,89	24,5 7	47,4	59,5 3	58,3	42,1 7	31,0 9	38,6	313,5
12 06 2022	PM	1,34	2,74	8,74	20,7 1	41,0 3	63,5 5	66,7 1	45,9 1	31,3 8	37,5 4	322,1

15 06 2022	PM	1,21	2,39	9,53	27,7 6	42,0 9	64,7 9	88,1 1	60,4 8	31,6 7	24,0 1	348,3
16 06 2022	AM	1,09	1,83	6,87	26,4 7	48,1 2	55,8 6	70,0 8	58,5 8	37,1 9	31,0 9	333,9
17 06 2022	AM	1,23	2,43	9,27	26,4 6	39,8 6	57,1 5	80,1 3	62,1 3	39,1 2	38,8 8	356,2
18 06 2022	AM	1,31	2,72	9,89	26,8 4	44,3 5	60,2 2	72,0 3	50	27,0 8	21,6 4	312,1
18 06 2022	PM	1,32	2,7	9,06	24,2 3	46,9 4	62,8 8	64,4	44,2 2	27,8 8	30,4 6	312,7
19 06 2022	AM	1,39	2,94	9,47	21,9 3	41,6 8	62,8 8	64,9 6	41,5 7	25,5 9	31,0 8	303
20 06 2022	PM	1,07	1,74	6,62	26,0 8	49,0 2	57,3 5	55,4 4	40,7 2	29,8 5	37,6 4	305,7
21 06 2022	AM	1,13	1,99	7,51	25,9 1	46,1 2	56,2 1	60,2 9	46,8 3	33,3 7	39,3 3	318,7
22 06 2022	PM	1,29	2,59	8,48	22,1 6	43,4 6	60,8 7	65,9 2	50,6	36,3 4	44,5 9	337,7
23 06 2022	AM	1,04	1,72	7,69	30,3 5	46,6 7	53,0 2	69,6	58,7 7	38,4 4	36,7	342,4
24 06 2022	AM	1,23	2,42	8,86	27,1 5	48,0 4	59,8 5	69,5 3	52,8 6	32,8 9	32,4 4	333,5
25 06 2022	PM	1,17	2,15	7,46	24,5 8	50,2 3	63,8 2	65,5 2	49,3 7	34,6 1	41,0 5	340,3
26 06 2022	AM	1,19	2,27	8,47	26,4 5	46,8 1	59,9 2	64,1 4	46,9 3	32,1 6	39,4 6	328,2
27 06 2022	PM	1,27	2,5	8,16	22,1	47,1	68,3 9	65,2 4	41,4 3	27,3 9	36,5 2	320,5
28 06 2022	AM	1,31	2,63	8,47	22,6 8	50,2 7	67,4 9	61,3 4	42,0 6	29,4 7	38,2 7	324,4
29 06 2022	PM	1,22	2,4	9,03	26,8 2	45,8 5	61,5 8	66,6 9	46,4 9	30,1 5	35,9 9	326
30 06 2022	AM	1,25	2,45	8,58	24,5 6	47,1	63,2 8	61,1 1	42,4 4	30,4 1	41,3 3	323,7
01 07 2022	PM	1,3	2,62	8,76	24,0 7	49,5 4	65,1 4	60,4 2	41,3 7	28,8 1	38,0 9	320,7
02 07 2022	AM	1,28	2,58	8,84	23,9	44,8 3	61,4 4	61,5 4	41,7 9	28,6 1	39,1 4	315
03 07 2022	PM	1,08	1,83	7,31	27,2 8	48,7 1	59,5 1	56,2 1	37,6 4	26,3 6	36,7 1	303,1
04 07 2022	AM	1,25	2,47	8,74	25,8 2	49	59,9 6	54,1 2	36,7 9	25,9 7	36,2 7	300,7
05 07 2022	AM	1,42	3,09	10,61	26,3 2	45,4 3	59,9 5	59,9 2	38,5 4	24,0 6	33,7 8	303,6
06 07 2022	AM	1,22	2,33	7,86	23,1	46,1 5	61,5 7	57,8 2	38,7 4	27,4 5	40,6	308,2
07 07 2022	AM	1,34	2,78	9,35	23,7 8	44,9 9	68,1 6	65,7 4	36,8 5	21,2 2	34,4 3	309,9
08 07 2022	AM	1,3	2,6	8,74	23,0 4	42,3 1	63,2 7	72,8 2	53,2 1	35,0 9	49,5 2	354,7
09 07 2022	PM	1,23	2,39	8,92	26,5 8	43,8 2	62,3 4	80,1 4	57,8 4	32,2 4	34,4 9	348,5
10 07 2022	AM	1,22	2,33	8,06	23,9 1	44,0 8	61,1 3	71,4 6	52,6 7	30,8 3	34,0 7	328
11 07 2022	PM	1,15	2,1	8,15	26,0 5	42,9 8	59,1 5	66,9 3	47,0 3	28,4 6	36,9 7	318,8

12 07 2022	AM	1,25	2,41	8,13	23,9 7	46,9 9	58,8 6	57,0 7	41,3 3	27,2 9	39,1 7	307,2
13 07 2022	PM	1,39	2,92	9,35	23,0 5	46,8 3	65,5 4	59,3 2	38,2 8	24,3 3	35,9	309,1
14 07 2022	AM	1,3	2,6	8,54	22,9	46,2 3	64,9 8	59,1 1	36,8 3	23,3	36,7 7	303,5
15 07 2022	PM	1,25	2,43	8,42	24,7 3	47,5	62,2 8	58,5 6	38,7 2	24,9 4	38,2 3	308
22 07 2022	AM	1,27	2,51	8,64	24,5 7	45,2 5	60,0 1	61,5 6	42,0 4	25,5	35,6 2	307,1
23 07 2022	AM	1,32	2,66	8,42	22	47,3 4	66,3 7	58,4 2	37,2 5	24,6 2	40,4 9	310,7
24 07 2022	AM	1,23	2,49	10,07	29,5 9	42,2 2	51,2 1	66,4 5	52,3 9	31,0 9	37,7 4	324,1
24 07 2022	PM	1,37	2,88	9,6	24,2 8	43,5 6	63,2 3	69,6 3	46,9 5	26,6 4	34,5 5	322,3
25 07 2022	AM	1,29	2,61	8,94	25,2 1	46,9 4	62,1 9	63,5 4	43,0 8	25,0 7	33,0 8	311,1
25 07 2022	PM	1,41	2,99	9,14	20,6 8	44,2 2	70,5 9	63,1 6	36,0 9	21,1 2	34,0 6	307,6
28 07 2022	AM	1,22	2,31	7,82	24,0 3	48,8 3	65,1 2	63,7 1	44,5 4	27,6 6	39,6 7	325,5
29 07 2022	AM	1,32	2,67	8,42	21,0 9	43,1 4	67,6 4	67,4 5	43,6 1	26,6 2	41,9 2	325,7
03 08 2022	AM	1,52	3,41	10,55	22,8	48,1 4	78,7 2	61,6 3	29,6 1	17,2 3	35,1 2	310,7
03 08 2022	PM	1,19	2,26	8,59	27,1 2	45,8 2	58,3 5	60,3 6	41,5 7	24,6 1	36,9 6	307,3
04 08 2022	AM	1,31	2,64	8,59	23,1 1	45,8 7	63,6 3	58,3 1	37,2 9	22,6 6	37,2 6	301,7
04 08 2022	PM	1,29	2,58	8,62	24,1 1	46,6	62,9 9	61,2 9	41,4 3	24,5 4	36,9 5	310,8
05 08 2022	AM	1,31	2,62	8,34	23,0 5	48,6 5	64,6	54,0 4	33,6 1	21,3 4	38,1 4	297,3
05 08 2022	PM	1,25	2,44	8,49	25,7 7	48,3 9	60,4 8	57,2	38,7	23,1 9	36,2 6	302,7
07 08 2022	AM	1,24	2,36	7,76	22,6 2	43,8 4	57,9 6	53,1 8	36,2 3	23,5 1	41,3 3	292,1
07 08 2022	PM	1,33	2,73	9,25	24,5 5	43,4	62	67,5 3	45,2 2	24,3 8	33,9 7	314
08 08 2022	PM	1,33	2,77	9,79	26,2 5	42,8 2	58,8 2	69,8 5	50,2 4	27,0 9	35,3 4	323,6
10 08 2022	AM	1,23	2,43	9,53	27,8 8	41,3 4	54,8 4	68,8 6	51,4 6	28,6 1	39,8	326,5
11 08 2022	AM	1,26	2,46	8,67	25	42,6 8	57,2	64,6 4	48,7	28,9 4	44,1 5	325,5
17 08 2022	AM	1,09	1,89	8,41	31,4 5	48,1 9	49,0 1	53,4 8	43,7 8	26,0 7	39,7 7	304
17 08 2022	PM	1,5	3,49	11,96	27,3 7	41,6 7	64,0 7	68,4 3	38,1 9	17,0 4	26,0 9	299,2
18 08 2022	AM	1,31	2,71	9,52	26,9 9	45,9 8	55,2 8	51,7 8	34,9 3	20,2 4	35,3 1	285,1
18 08 2022	PM	1,39	2,94	9,53	24,3 7	44,9 2	61,5 4	59,1 6	37,5 5	19,7 5	31,1 9	292,1
19 08 2022	PM	1,44	3,08	9,33	21,7 4	41,6 8	60,0 3	54,5 9	33,9 8	19,3 3	35,0 8	281,5

20 08 2022	PM	1,36	2,84	9,32	23,9 4	39,2 4	49,4 1	56,5 6	42,9 4	22,7 9	31,7 2	279,1
21 08 2022	AM	1,65	3,78	10,4	20,9 2	47,8 1	72,4 5	54,1 8	28,9 3	15,6 8	27,7 4	282,6
25 08 2022	PM	1,17	2,12	8,15	27,3 7	47,2 5	55,9 6	52,8 8	38,6 7	23,2 5	41,5 7	300,7
26 08 2022	AM	1,29	2,61	9,06	26,1 7	45,1 4	53,5 8	50,9 3	38,0 5	23,1 5	42,2 7	295
27 08 2022	AM	1,18	2,21	8,74	28,7	43,3 6	44,5 5	51,5 6	44,3 7	25,4 3	40,2 5	291,7
27 08 2022	PM	1,49	3,3	10,06	23,2 8	40,9 9	53,8 6	56,1 8	44,0 2	25,7 8	43,7	305,2
28 08 2022	AM	1,39	2,94	9,37	23,6 7	40,7 8	51,2 9	50,4 6	37,9 6	22,9 2	42,3	285,9
29 08 2022	PM	1,4	2,95	9,05	21,3 5	38,5 6	57,3 2	55,1 4	36,5 6	21,0 6	39,8 5	285,7
01 09 2022	AM	1,48	3,29	10,31	23,1 3	35,2 8	49,2 5	60,3 5	44,5 4	22,3 5	34,6 8	285,2
03 09 2022	AM	1,34	2,72	8,66	23,7 5	44,1 3	55,5	54,1 7	40,2 4	22,0 1	36,2 5	289,4
03 09 2022	PM	1,38	2,98	10,14	25,9 7	38,9 5	50,0 7	67,9 5	52,7 2	23,9 8	29,1 3	301
04 09 2022	AM	1,33	2,65	8,03	21,6 8	42,5 8	55,7 3	52,4 1	38,8 5	22,6 2	41,4 5	289,9
05 09 2022	AM	1,59	3,65	10,68	22,8 6	39,1 3	54,6 1	57,4 6	40,1 2	20,0 6	32,5 8	283,2
05 09 2022	PM	1,57	3,55	10,17	21,7 4	41,1 9	62,1 9	59,1 7	37,0 8	18,1 5	30,0 6	284,7
06 09 2022	AM	1,39	2,89	8,8	23,2 3	43,6 9	51,4 6	48,7 1	39,7 9	23,4 8	41,6 6	287,5
06 09 2022	PM	1,47	3,33	10,99	25,8 9	39,8 9	56,3 4	65,2 1	43,9 3	20,3 6	31,4 8	299
07 09 2022	AM	1,44	3,19	10,38	25,1 5	39,0 8	51,7 1	63,4 4	48,5 4	23,7	34,7 4	301,3
07 09 2022	PM	1,36	2,84	9,13	23,9 1	41,0 2	53,4 7	61,1 9	47,9 8	24,6 2	37,3 8	303,5
08 09 2022	AM	1,38	2,94	9,67	25	42,5 9	56,1 1	58,5 3	42,6	22,2 1	36,8 9	299,1
13 09 2022	AM	1,44	3,18	10,17	24,9 7	41,6 3	57,7 7	62,2 3	40,5	17,8 1	26,3 7	284,8
17 09 2022	AM	1,44	3,17	10,14	24,7 7	41,0 6	58,2 4	67,5 1	49,0 6	23,1 3	35,6 8	315,1
23 09 2022	AM	1,48	3,35	10,69	26,0 8	44,3 7	66,2 2	78,3	53,1 1	21,9 9	29,3 3	333,8
23 09 2022	PM	1,57	3,56	10,3	23,8 1	46,2 4	70,8 5	73,5 9	47,7 5	20,9 6	32,1	331,3
24 09 2022	AM	1,42	2,93	8,2	19,2 1	36,8 3	62,9 7	77,4 2	53,8 4	23,9 9	37,6 1	326,5
26 09 2022	AM	1,5	3,38	10,33	23,2 1	38,5 8	64,2 5	79,4 6	55,5 2	24,4 2	36,3 6	338,5
05 10 2022	PM	1,63	3,89	11,67	26,8 4	48,4 9	64,7	52,3 3	28,7 2	12,9 5	23,0 7	269,9
07 10 2022	AM	1,53	3,51	10,78	25,5 6	43,1 9	55,5 6	53,7 6	36,4 7	16,6 2	25,7 4	272
07 10 2022	PM	1,7	4,1	11,51	23,1 5	40,2 1	62,2	59,1	34,7 8	15,2 6	25,5 5	277,5

10 10 2022	AM	1,41	3,13	10,66	27,4	41,6	47,7	59,0	50,9	22,7	28,0	291,3
12 10 2022	AM	1,52	3,35	9,38	21,2	38,2	55,0	62,0	48,9	23,4	34,9	299,9
13 10 2022	AM	1,44	3,19	10,33	25,7	41,9	56,9	65	47,3	20,6	28,6	301
13 10 2022	PM	1,64	3,83	10,56	22,4	42,5	67,3	64,7	39,7	17,8	29,3	308
17 10 2022	AM	1,56	3,54	10,04	22,5	41,7	60,5	52,1	29,7	14,0	25,3	261,8
17 10 2022	PM	1,69	3,9	9,6	18,9	44,6	72,1	43,5	16,8	11,7	32,8	260,7
18 10 2022	AM	1,76	4,21	10,66	20,3	41,1	66,8	51,9	24,6	11,1	20,9	252,7
20 10 2022	AM	1,6	3,59	9,42	19,7	37,6	58,0	61,7	45,4	21,3	30,7	290,3
24 10 2022	PM	1,29	2,52	8,5	27,3	50,0	50,0	43,8	42,3	24,1	36,1	289
26 10 2022	PM	1,57	3,53	9,48	19,8	35,1	52,6	53,9	37,4	18,3	29,0	262,7
27 10 2022	AM	1,56	3,45	9,23	20,8	39,5	50,1	45,3	37,9	20,1	27,6	255,3
27 10 2022	PM	1,58	3,56	9,47	19,3	33,1	48,3	50,7	37,2	18,7	29,0	252,5
28 10 2022	AM	1,58	3,55	9,53	20,7	36,6	45,1	45,3	41,8	21,8	28,3	254,2
02 11 2022	PM	1,46	3,14	9,08	21,4	37,5	54,0	60,5	46,3	22,0	28,9	285,1
03 11 2022	AM	1,49	3,29	9,48	22,0	37,8	52,9	63,2	50,8	22,7	25,5	288
03 11.2022	PM	1,5	3,13	7,57	16,3	36,2	55,8	50,1	43,3	26,6	40,6	286,1
06 11 2022	AM	1,54	3,49	10,08	22,9	39,7	56,4	64,7	50,8	22,4	23,2	292,7
06 11 2022	PM	1,52	3,31	8,85	20,2	39,8	59,3	59,8	43,7	20,8	26,3	283,6
08 11 2022	AM	1,5	3,35	9,7	21,9	38,7	61,9	69,3	45,3	18,6	21,3	289,8
08 11 2022	PM	1,67	3,89	9,79	18,4	35,9	67,5	67,9	37,9	16,4	23,6	283,3
09 11 2022	AM	1,42	2,86	7,69	19,9	43,6	62,3	49,9	35,3	21,2	33,4	281,2
09 11 2022	PM	1,62	3,7	9,54	20,0	44,8	77,6	56,1	22,2	12,0	26,4	277,1
15 11 2022	PM	1,76	4,19	10,21	18,4	36,3	68,2	65,8	37,3	17,3	24,1	283,9
20 11 2022	AM	1,58	3,5	8,69	17,7	34,4	53,8	60,0	53,0	29,0	33,7	297,8
20 11 2022	PM	1,57	3,54	9,45	19,4	34,5	58,0	68,4	50,2	23,9	27,0	296,4
21 11 2022	AM	1,69	3,89	9,12	15,9	30,5	60,4	72,1	53,9	26,9	31,4	308
08 12 2022	AM	1,68	3,88	9,3	16,2	28,4	54,9	69,2	47,9	22,6	23,4	277,1
08 12 2022	PM	1,24	2,05	5,89	19,9	39,2	49,2	54,9	50,4	27,6	26,8	276,9

09 12 2022	PM	1,8	4,31	10,05	16.4 5	29.1 9	60.0 6	71.5 8	47.0 0	22.5 6	24.1 1	286,9
14 12 2022	PM	1,59	3,57	9,01	18.2 6	33.2 8	55.1 9	71.7 3	59.9 9	30.6 2	27.5 7	310,6
28 12 2022	AM	1,5	3,2	8,25	17.7 7	31.3 7	46.7 8	56.0 3	50.0 6	31.0 8	29.4 5	276,2

Rozkład pionowy ozonu metodą promieniowania UV-B w 2022

Miesiąc	Dzień	CZO Dobson [D]	CZO Brewer [D]	UV-B [SED]	Indeks UV-B
1	1		303,2	0,9	0,4
1	2		293,2	0,8	0,3
1	3			0,44	0,1
1	4	322	342,9	0,71	0,2
1	5	364	369,9	0,54	0,2
1	6		399,1	0,61	0,2
1	7	314	311,2	1,74	0,5
1	8	420	414,3	1,04	0,3
1	9	384	388,3	1,51	0,4
1	10	413	392,6	0,64	0,2
1	11	336	344,4	1,46	0,4
1	12	315	319,2	1,33	0,4
1	13		291,7	0,48	0,2
1	14		318,2	0,75	0,3
1	15	327	321	1,85	0,5
1	16	299	298,8	0,87	0,3
1	17	370	371,9	0,88	0,5
1	18	326	323,5	1,92	0,6
1	19	329	334,1	1,01	0,3
1	20	378	351,7	1,53	0,5
1	21	393	393,4	1,81	0,5
1	22	368	363,9	1,95	0,6
1	23	349	344,8	2,23	0,7
1	24	336	350,5	1,64	0,4
1	25	370	368,1	0,9	0,3
1	26	355	360	1,23	0,4
1	27	343	342,4	0,6	0,2
1	28	362	366,6	0,95	0,4
1	29	325	340,9	2,14	0,7
1	30	-	345,4	0,98	0,5
1	31	368	380,5	1,85	0,5
2	1	335	338,8	2,13	0,6
2	2	403	397,9	1,27	0,4
2	3	328	328,1	2,61	0,7
2	4	339	344	1,57	0,6
2	5	384	376,8	1,5	0,5
2	6		366,4	1,25	0,4
2	7	473	464,2	1,21	0,4
2	8	341	344,2	2,17	0,9
2	9	338	337,1	1,77	0,6
2	10	323	331,4	2,46	1,1
2	11		367,1	1,28	0,3
2	12	338	344,1	4,62	1,1
2	13	324	343,2	4,34	1

2	14	330	333,4	4,8	1,1
2	15	335	334,1	3,32	1,1
2	16	359	359,8	4,44	1,1
2	17	349	346,4		
2	18	343	339,1		
2	19	387	412,5		
2	20	433	465,2	1,68	0,6
2	21	358	367,8	2,41	0,6
2	22	392	376,9		
2	23	364	374	2,96	1,4
2	24	333	332,5	6,69	1,5
2	25	388	390,5	4,78	1,4
2	26	391	415	3,85	1,2
2	27	363	368,7	4,75	1,5
2	28	395	395,3	3,28	1,3
3	1	381	383,1	6,31	1,3
3	2	390	391,3	6,26	1,3
3	3	382	381,3	5,7	1,3
3	4	377	378,3	2,88	1,2
3	5	381	389,5	3,7	0,9
3	6	359	366	4,15	1,2
3	7	354	356,1	7,35	1,8
3	8	353	349,8	5,27	1,3
3	9	339	345,6	5,97	1,5
3	10	388	388,8	8,65	1,8
3	11	388	388,2	8,96	1,8
3	12	383	378,2	9,24	1,9
3	13	362	357,4	9,19	1,9
3	14	380	381	9,5	1,9
3	15	416	412,8	5,7	1,6
3	16	370	374,7	7,31	1,6
3	17	349	348,7	9,75	2
3	18	329	329	12,2	2,4
3	19	319	321,5	12,13	1,4
3	20	331	332	12,13	2,4
3	21	339	342,4	12,5	2,5
3	22	337	340,6	13,06	2,6
3	23	339	339,3	13,19	2,6
3	24	340	342,6	13,65	2,7
3	25	318	319,6	15	2,9
3	26	353	324,5	8,36	2,4
3	27	331	338,8	14,97	3
3	28	324	325,2	16,59	3,3
3	29	330	329,3	8,22	2,8
3	30	343	342,2	11,69	3
3	31	357	353,5	6,46	1,6
4	1	386	363,1	7,69	1,8
4	2		389,2	10,97	2,3
4	3		381,5	17,92	4
4	4	386	383,4	17	1,2
4	5	385	385,6	8,6	3,2
4	6	367	378,7	5,43	2,4
4	7	322	327,4	17,46	4,2
4	8	357	352,5	10,93	3,9
4	9	349	359	11,05	2,7

4	10	385	371,4	10,56	3,3
4	11	378	386	13,12	3,6
4	12	349	348,5	18,36	4
4	13	350	353,1	18,35	3,9
4	14	348	344,7	20,5	3,9
4	15	377	387,4	7,04	2,3
4	16	399	393,7	16,16	3,8
4	17	402		15,02	3,5
4	18	393		19,77	3,6
4	19	412	417,3	8,33	1,8
4	20	413	410,5	5,14	1,8
4	21	371	377,8	6,61	1,9
4	22	370	373,7	13,34	4,3
4	23	400	387,1	10,73	2,6
4	24	373	367,6	22,55	4,5
4	25	389	382,6	11,61	4,5
4	26	371	378,6	10,51	2,6
4	27	364	361,6	18,53	5,1
4	28	357	354,4	18,34	4,3
4	29	370	369	19,43	4,4
4	30	381	372,3	20,81	4
5	1	387	377,5	22,98	4,4
5	2	378	377,6	22,05	4,5
5	3	367	364,8	23,64	4,7
5	4	357	353,6	23,15	5,3
5	5	366	363,8	24,09	4,6
5	6	376	376	22,7	4,6
5	7	363	353,9	27,22	5,3
5	8	356	357,2	21,33	5,5
5	9	369	368,4	28,29	4,9
5	10	364	361,1	29,95	5,1
5	11	350	345,2	25,2	5,4
5	12	349	346,9	25,57	5,2
5	13	379	374,9	25,32	5,2
5	14	354	351,5	17,93	5,8
5	15	346	345,2	33,19	5,9
5	16	365	361,5	30,8	5,3
5	17	361	357,6	29,34	5,6
5	18	368	366,2	31,66	5,3
5	19	351	347,9	32,74	5,5
5	20	355	348,1	28,7	5,6
5	21	381	368	19,92	5,5
5	22	374	375,8	16,31	5,2
5	23	360	356,7	26,35	5,9
5	24	349	348,6	19,95	4,6
5	25	363	379,3	7,09	1,9
5	26	359	353,2	25,72	6,1
5	27	371	371,7	11,25	2,7
5	28	413	412,6	20,95	5
5	29	398	397,1	22,5	5,5
5	30	405	403,9	13,06	2,9
5	31	377	374,5	32,69	5,6
6	1	376	367,3	22,75	5,7
6	2	367	368,1	29,48	6,2
6	3	346	346,1	36,44	6,4

6	4	341	328,1	18,12	4,8
6	5	347	349,2	37,93	6,1
6	6	323	317,2	40,07	7
6	7	314	308,5	27,48	7
6	8	322	313,3	18,56	5,4
6	9	331	321,7	24,4	6,7
6	10	329	331,5	28,39	6,7
6	11	339	333,9	39,25	6,5
6	12	326	321,3	35,51	6,9
6	13	354	351,5	9,42	2,8
6	14	349	349,2	26,3	6,8
6	15	347	338	29,5	6,5
6	16	345	339,5	32,98	6,6
6	17	354	353,7	33,78	6,4
6	18	321	313,2	34,37	7,2
6	19	311	306,8	36,93	6
6	20	303	298	26,12	6,8
6	21	377	368,9	22,72	6,1
6	22	332	326,9	39,89	7,2
6	23	344	338,8	35,22	6,9
6	24	345	339,6	39,03	6,5
6	25	335	327,1	41,08	6,7
6	26	334	325	40,57	6,8
6	27	331	325,4	31,82	5,8
6	28	325	317,4	33,95	6,7
6	29	308	304,5	21,5	5,8
6	30	314	308,5	32,45	6,1
7	1	311	305,1	40,82	6,6
7	2	332	336,9	11,51	2,7
7	3	316	306,1	42,6	7,2
7	4	318	312,9	34,26	7,3
7	5	313	307,5	17,78	4,5
7	6	324	326,1	31,01	7,2
7	7	352	347,6	27,19	6,6
7	8	361	352,9	20,27	5,6
7	9	341	334,3	31,12	7,2
7	10	372	364	24,52	6,3
7	11	380	370,9	20,59	6,1
7	12	357	346,6	21,45	5,4
7	13	331	321,5	35,75	7
7	14	317	310,4	39,67	6,8
7	15	367	359,9	30,01	6,2
7	16	364	362,6	19,93	5,4
7	17	363	357,6	26,05	6,1
7	18	338	332,3	35,6	6,7
7	19	330	321,2	31,07	6,7
7	20	318	309,2	37,52	6,3
7	21	313	308,4	36,19	6
7	22	322	314,7	33,96	5,8
7	23	319	312,6	31,64	6,3
7	24	330	327,2	26,5	6,2
7	25	317	311,7	38,13	6,7
7	26	313	306,9	20,08	5,4
7	27	330	322,8	26,35	6,4
7	28	333	325	35,22	6,2

7	29	329	324,4	30,63	6,1
7	30	329	315,3	8,56	2,4
7	31		340,1	5,94	1,4
8	1	326	314,2	30,29	6,4
8	2	323	322,4	21,01	5,3
8	3	314	310	30,09	6
8	4	314	308,5	33,57	6
8	5	310	303	34,82	6
8	6	338	294,7	9,7	3,1
8	7	323	309,9	33,35	6,1
8	8	328	313,9	31,22	6
8	9	334	329,9	23,91	4,9
8	10	334	326,2	25,66	5,5
8	11	337	335,2	21,13	5,2
8	12	317	311,8	19,55	4,9
8	13	313	316,9	16,29	4,8
8	14	342	335,5	19,91	5,1
8	15	333	328,9	20,5	4,8
8	16	327	314,5	21,63	5
8	17	311	303,6	25,52	5,2
8	18	294	288,9	28,83	5,4
8	19	290	283,6	26,35	4,8
8	20	289	275,3	24,83	4,8
8	21	293	285,1	23,97	5,1
8	22	287	286,5	19,95	4,2
8	23	306	297,4	19,51	4,7
8	24	307	297,4	20,05	4,4
8	25	309	299,5	24,2	4,6
8	26	308	301,6	21,86	4,5
8	27	305	300,1	23,18	4,4
8	28	297	288,2	22,33	4,6
8	29	292	288,5	23,25	5,1
8	30	290	287,1	12,08	3,8
8	31	294	289,5	17,66	4,8
9	1	295	290,5	19,94	4,5
9	2	297	294,1	22,04	5
9	3	297	295,5	23,15	4,3
9	4	308	297,2	20,3	4,6
9	5	290	284,6	24,48	4,3
9	6	303	295,8	21,95	4
9	7	308	303,5	21,28	3,6
9	8	308	299,4	19,38	3,8
9	9	318	314,7	6,49	3,9
9	10	367	345	3,69	3,9
9	11	313	314	5,97	3,6
9	12	319	321,1	5,21	4,1
9	13	297	290,8	13,95	4,1
9	14	304	294,9	15,4	3,9
9	15	315	305	12,86	3,8
9	16	316	308	12,73	3,1
9	17	324	316,2	6,87	2,4
9	18	341	333,1	9,76	1,8
9	19	354	349,8	7,31	1,5
9	20	351	346,4	8,31	2,7
9	21	348	346,4	8,37	3,4

9	22	353	346,8	8,28	3,2
9	23	336	335,3	11,92	2,4
9	24	336	329,6	9,62	2,8
9	25	339	335,7	9,74	1,9
9	26	342	338,9	8,71	3
9	27	331	327	6,16	2,9
9	28	339	338,2	9,01	2,9
9	29	327	321,4	8,7	2,9
9	30	316	324,9	5,01	2,5
10	1	327	321,5	5,76	2,3
10	2	336	330,8	5,45	2,1
10	3	312	311,3	5,16	2
10	4	317	307,7	7,22	2,3
10	5	279	273,2	8,36	2,4
10	6	278	268,2	8,21	2,6
10	7	276	273,8	10,9	2,4
10	8	277	274,6	7,87	2,1
10	9	302	306,5	4,5	1,2
10	10	293	289,7	9,59	2,1
10	11	296	293,5	7,35	1,9
10	12	304	301,8	7,16	1,9
10	13	310	305,5	8,02	1,8
10	14	323	317,8	5,42	1,3
10	15	320	308,6	5,14	1,6
10	16	278	278	6,98	1,8
10	17	268	263,8	7,82	1,7
10	18	257	258,6	7,14	1,7
10	19	322	319,9	3,66	1,3
10	20	292	290,6	5,26	1,5
10	21	256	255,4	5,5	1,6
10	22	270	267,4	2,72	0,9
10	23	300	292,2	3,58	1
10	24	293	291,7	4,12	1,2
10	25	287	284,1	3,96	1,1
10	26	265	261,9	4,1	1
10	27	257	256,1	6,09	1,4
10	28	256	255,4	5,71	1,4
10	29	252	252,8	4,88	1,4
10	30	240	247,9	2,96	0,8
10	31	258	249,6	2,71	0,7
11	1		273	1,9	0,5
11	2	287	286,9	3,43	1
11	3	288	288,7	4,25	1
11	4	272	273,5	3,46	1,1
11	5	309	299,4	0,85	0,3
11	6	283	290,4	3,71	0,9
11	7	283	284,2	2,54	0,7
11	8	286	286,9	3,62	0,9
11	9	279	280,3	2,94	0,8
11	10		331,9	1,38	0,5
11	11	268	276,1	2,23	0,6
11	12	268	260,8	0,7	0,2
11	13	278	271,6	1,6	0,6
11	14	275	275,8	1,17	0,4
11	15	283	285,9	1,74	0,5

11	16	304	299,6	0,71	0,3
11	17	306	321,4	0,67	0,2
11	18	271	268,7	0,95	0,5
11	19	299	306,1	2,05	0,6
11	20	280	298,7	2,36	0,6
11	21	301	311,4	1,87	0,6
11	22	289	294,7	1,2	0,4
11	23	313	329,1	0,68	0,2
11	24		361	0,83	0,3
11	25	340	351,9	1,03	0,3
11	26	323		0,79	0,3
11	27	331	342,7	0,92	0,3
11	28	279	281,6	0,72	0,2
11	29	269	273,6	0,94	0,3
11	30	261		0,7	0,3
12	1		290,5	0,5	0,2
12	2	294		0,34	0,1
12	3	299	309,1	0,54	0,2
12	4	293	306,7	0,49	0,2
12	5	314	333,3	0,46	0,1
12	6		322,9	0,37	0,2
12	7	289	290,4	0,63	0,3
12	8	268	277,4	1,44	0,4
12	9	282	289,8	1,3	0,4
12	10		298,3	0,5	0,2
12	11			0,96	0,3
12	12	355	367,7	0,97	0,3
12	13	374	381,5	0,82	0,3
12	14	300	319,4	1,73	0,5
12	15	287	293,6	0,79	0,3
12	16			1,02	0,3
12	17			1,29	0,4
12	18	282		1,95	0,5
12	19	272		2,72	0,7
12	20	270	262,2	1,57	0,5
12	21	231	241,1	1,69	0,5
12	22	265	277,8	1,38	0,5
12	23	278	289,9	0,79	0,3
12	24		296,9	0,38	0,1
12	25	314	321,2	0,62	0,3
12	26	305	325,4	0,85	0,3
12	27	359	375,7	0,8	0,3
12	28	265	276,7	1,23	0,4
12	29	303	308,5	1,02	0,4
12	30	335	342,6	1,27	0,4
12	31	304	311,5	1,24	0,4